

NTNU Vitenskapsmuseet
arkæologisk rapport 2018-19



Hanne Bryn og Raymond Sauvage

Arkeologisk undersøkelse, Korsmyra, Fræna
kommune, Møre og Romsdal

 NTNU

Vitenskapsmuseet

NTNU Vitenskapsmuseet arkeologisk rapport 2018:19

Hanne Bryn og Raymond Sauvage

**Arkeologisk undersøkelse, Korsmyra, Fræna
kommune, Møre og Romsdal**

NTNU Vitenskapsmuseet arkeologisk rapport

Dette er en elektronisk serie fra 2014. Serien er ikke periodisk, og antall nummer varierer per år. Rapportserien benyttes ved endelig rapportering fra prosjekter eller utredninger, der det også forutsettes en mer grundig faglig bearbeidelse.

Tidligere utgivelser: <http://www.ntnu.no/vitenskapsmuseet/publikasjoner>

Referanse

Bryn, H. og Sauvage, R. 2018: NTNU Vitenskapsmuseet arkeologisk rapport 2018:19. Arkeologisk undersøkelse, Korsmyra, Fræna kommune, Møre og Romsdal.

Trondheim, november, 2018

Utgiver

NTNU Vitenskapsmuseet
Institutt for arkeologi og kulturhistorie
7491 Trondheim
Telefon: 73 59 21 45
e-post: postmottak@museum.ntnu.no

Ansvarlig signatur

Bernt Rundberget (Instituttleder)

Kvalitetssikret av

Ellen Grav Ellingsen (serieredaktør)

Publiseringstype

Digitalt dokument (pdf)

Forsidefoto

Da61856_008, Graving av prøvekvadranter på Korsmyra 2. Foto: Hanne Bryn, NTNU Vitenskapsmuseet.

www.ntnu.no/vitenskapsmuseet

ISBN 978-82-8322-157-2

ISSN 2387-3965

Sammendrag

Bryn, H. og Sauvage, R. 2018: NTNU Vitenskapsmuseet arkeologisk rapport 2018:19. Arkeologisk undersøkelse, Korsmyra, Fræna kommune, Møre og Romsdal.

Arkeologisk undersøkelse av to steinalderlokaliteter på Korsmyra i Bud, Møre og Romsdal. Undersøkelsen ble gjennomført høsten 2016 i forkant av boligutbygging på området. Lokalitetene daterte seg henholdsvis til tidligmesolitikum (T27310) og neolitikum (T27311), og det ble til sammen gjort over 35000 funn på de to lokalitetene. Korsmyra 2 (T27310) var et aktivitetsområde fra tidligmesolitikum.

På Korsmyra 1 ble det avdekket et område på totalt 489 m², og det utgravde området var på tilsammen 218 m². Et kulturlag dekket hele lokaliteten og hadde flere steder en tykkelse på mer enn 40 cm. Til sammen ble det katalogisert 26861 litiske funn fra lokaliteten. Flint var det dominerende råstoffet, men det ble også funnet mer enn 50 pilspisser av slipt skifer. Skiferskniv, fragment av en fiskekrok og en harpun trolig av horn/gevir finnes også blant funnmaterialet. 10 kullprøver og 19 brente hasselnøttskall er katalogisert. C14-dateringene fra disse prøvene viste en gjentagende bruk av lokaliteten gjennom hele neolitikum, med en hovedfase i mellomneolitikum. Kulturlaget hadde gode bevaringsforhold og det ble gjort funn av en større mengde animalosteologisk materiale, og til sammen 247 kontekster animalosteologisk materiale ble katalogisert. 24 av disse kontekstene ble analysert av Universitetsmuseet i Bergen.

På Korsmyra 2 ble det avdekket et område med en total størrelse på 471 m², mens det utgravde området var på 48 m². Det ble katalogisert 8359 litiske funn og 1 kullprøve fra lokaliteten. Funnmengden koncentrerte seg til det nordøstre hjørnet av lokaliteten og var svært koncentrert rundt et ildsted (A223) som ble datert til BP 9480 +/- 35, Cal. 9117-8639 BC (T27310:1051). I tillegg ble det gjort enkelte gjenstandsfunn etter en yngre aktivitetsfase på lokaliteten. Disse gjenstandene var slipe skifergjenstander og bestod av slipt pilspiss med rombisk bladsnitt, slipt emne med knekkfure og fragment fra mulig hengesmykke, samt slipestein. Trolig har området også vært i bruk i neolitikum og kan sees i sammenheng med den høye aktiviteten på Korsmyra 1.

Nøkkelord: Steinalder – Mesolitikum – Neolitikum – Flint – Skifer – Osteologi

Hanne Bryn og Raymond Sauvage, NTNU Vitenskapsmuseet, Institutt for arkeologi og kulturhistorie, NO-7491 Trondheim

Summary

Bryn, H. og Sauvage, R. 2018: NTNU Vitenskapsmuseet arkeologisk rapport 2018:19. Arkeologisk undersøkelse, Korsmyra, Fræna kommune, Møre og Romsdal.

During the fall of 2016, a Stone Age excavation of two sites was carried out at Korsmyra in Bud, Møre og Romsdal. The excavation came prior to a planned housing development. The two sites have been dated to Early Mesolithic (T27310) and Middle Neolithic (T27311).

At Korsmyra 1, a total area of 489 m² was excavated, and the investigated areas totalled 218 m². A cultural layer covered the entire site, and in total, 26861 lithic finds were collected from the site. Flint was the dominant material, but more than 50 arrowheads made out of slate were also found. A slate knife, fragments of a fishhook and a harpoon made out of bone/antler were also among the finds. 10 charcoal samples and burned hazelnut shells from 19 contexts were catalogued. The C¹⁴-results from these samples showed a repeated use of the site throughout the Neolithic, with a main phase in the middle Neolithic. The cultural layer contained a large amount of osteological material, and a total of 247 contexts of osteological material were catalogued. 24 of these contexts were analyzed by the University Museum in Bergen.

At Korsmyra 2, a total area of 471 m² was excavated, and the investigated areas totalled 48 m². A total of 8359 finds were collected from the site. The majority of the finds were concentrated on the north-eastern corner of the site and were highly concentrated around a fireplace (A223) which was dated to BP 9480 +/- 35, Cal. 9117-8639 BC (T27310:1051). In addition, some findings that were collected belonged to a younger activity phase on the site. These objects were out of slate and represented a Neolithic activity, and can be seen in conjunction with the Neolithic activity of Korsmyra 1.

Key words: Stone Age – Mesolithic – Neolithic – Flint – Slate – Osteology

Hanne Bryn and Raymond Sauvage, Museum of Natural History and Archaeology, The Norwegian University of Science and Technology, NO-7491 Trondheim, Norway.

Arkivreferanser

Korsmyra 2016

| | |
|----------------------|------------------------|
| Intrasisnr. | 2016/121 |
| AskeladdenID | 147661 og 170795 |
| Saksnummer (ePhorte) | 2014/6340 |
| Aksesjonsnummer | 2016/121 |
| Tilvekstnr. | T27310 og T27311 |
| Fotonr. | Da61856, Da62048-62053 |

| | |
|-----------------|---------------------------------------|
| Fylke | Møre og Romsdal |
| Kommune | Fræna |
| Gårdsnavn | Kalsvik Ytre |
| Gårdsnr | 112/18 og 112/609 |
| Lokalitet | Korsmyra 1 og 2 |
| Kulturminnetype | Bosetningsspor fra steinalder |
| Datering | Tidligmesolitikum og mellomneolitikum |

Innhold

| | |
|--|----|
| Sammendrag..... | 4 |
| Summary..... | 5 |
| Arkivreferanser..... | 6 |
| 1. Bakgrunn for undersøkelsen | 10 |
| 1.1. Områdebeskrivelse | 10 |
| 1.2. Kulturhistorisk bakgrunn og tidligere undersøkelser | 13 |
| 1.3. Registrering 2011 og 2012..... | 15 |
| 1.4. Utgraving Lorentzen 2013..... | 17 |
| 2. Undersøkelsens rammer..... | 19 |
| 2.1. Tid, deltagere..... | 19 |
| 2.2. Problemstillinger | 20 |
| 2.3. Metode..... | 20 |
| 2.4. Dokumentasjon..... | 21 |
| 2.5. Formidling | 22 |
| 3. Gjennomføring av utgravingsprosjektet..... | 23 |
| 3.1. Korsmyra 1 | 24 |
| 3.1.1.Prøvekvadranter | 25 |
| 3.1.2.Utgravde områder | 25 |
| 3.2. Korsmyra 2 | 36 |
| 3.2.1.Prøvekvadranter | 36 |
| 3.2.2.Utgravd område..... | 38 |
| 4. Funnmateriale..... | 42 |
| 4.1. Korsmyra 1 | 42 |
| 4.2. Korsmyra 2 | 53 |
| 4.3. Dateringer | 59 |
| 4.4. Naturvitenskaplige prøver og analyser | 64 |
| 4.4.1.Makrofossilanalyser..... | 64 |
| 4.4.2.Jordmikromorfologianalyser..... | 65 |
| 4.4.3.Animalosteologiske analyser | 66 |
| 5. Resultat | 72 |
| 6. Litteratur | 75 |
| Vedlegg | 75 |

Figurliste

| | |
|---|----|
| <i>Figur 1: Periodetabell.</i> | 10 |
| <i>Figur 2: Oversiktskart over lokalitetens plassering i Midt-Norge.</i> | 11 |
| <i>Figur 3: Oversiktskart over lokalitetens plassering i Møre og Romsdal.</i> | 12 |
| <i>Figur 4: Strandlinjekurve for Nyhamna på Gossen.</i> | 13 |
| <i>Figur 5: Registrerte kulturminner i Askeladden.</i> | 14 |
| <i>Figur 6: Tabell over tidligere undersøkte kulturlagslokaliteter.</i> | 15 |
| <i>Figur 7: Prøvestikk innenfor lokalitetene ID147661 og ID170795.</i> | 16 |
| <i>Figur 8: Dateringsresultater fra undersøkelsene på Korsmyra i 2013.</i> | 17 |
| <i>Figur 9: Oversiktskart over utgravde lokaliteter på Korsmyra i 2013.</i> | 18 |
| <i>Figur 10: Dronefoto over Bud med Korsmyra 1 og 2 i forgrunnen.</i> | 21 |
| <i>Figur 11: Såldestasjon på Korsmyra.</i> | 23 |
| <i>Figur 12: Kart Korsmyra 1 og ID170796.</i> | 24 |
| <i>Figur 13: Kart over prøvekvaranter på Korsmyra 1.</i> | 25 |
| <i>Figur 14: Oversiktskart over Korsmyra 1.</i> | 26 |
| <i>Figur 15: Oversikt over alle utgravde lag vest på Korsmyra 1.</i> | 27 |
| <i>Figur 16: Rentegning av mekanisk lag 1 og 2 på Korsmyra 1.</i> | 28 |
| <i>Figur 17: Rentegning av mekanisk lag 3.</i> | 29 |
| <i>Figur 18: Steinlegginger på Korsmyra 1..</i> | 31 |
| <i>Figur 19: Oversikt over kontekster og utgravde lag øst på Korsmyra 1.</i> | 32 |
| <i>Figur 20: Oversiktsbilde av hovedområdet på Korsmyra 1.</i> | 34 |
| <i>Figur 21: Rentegning profilbenk nordre side (profil 2525).</i> | 35 |
| <i>Figur 22: Rentegning profilbenk sørnre side (profil 2524).</i> | 35 |
| <i>Figur 23: Kart over prøvekvaranter på Korsmyra 2.</i> | 36 |
| <i>Figur 24: Oversiktskart over Korsmyra 2.</i> | 37 |
| <i>Figur 25: Rentegning av mekanisk lag 1 på Korsmyra 2.</i> | 38 |
| <i>Figur 26: Kart over utgravde lag på Korsmyra 2..</i> | 39 |
| <i>Figur 27: Foto og rentegning av ildsted A223.</i> | 41 |
| <i>Figur 28: Tabell over spredning av flint, brent og vannrullet i de ulike lagene.</i> | 42 |
| <i>Figur 29: Funnliste for Korsmyra 1 (T27311).</i> | 45 |
| <i>Figur 30: Funnspredningskart over Korsmyra 1.</i> | 46 |
| <i>Figur 31: Flintredskaper fra Korsmyra 1.</i> | 47 |
| <i>Figur 32: Skiferspisser med strekdekor vinkelrett på ryggen.</i> | 48 |
| <i>Figur 33: Pilspisser av skifer fra Korsmyra 1.</i> | 49 |
| <i>Figur 34: Tabell over skiferspisser delt inn etter tverrsnitt og agnorer.</i> | 50 |

| | |
|--|----|
| <i>Figur 35: Skiferkniv T27311:1622 fra Korsmyra 1.....</i> | 50 |
| <i>Figur 36: Meisler fra Korsmyra 1.</i> | 51 |
| <i>Figur 37: Redskaper av bein/gevir fra Korsmyra 1.....</i> | 51 |
| <i>Figur 38: Spredningen av osteologisk materiale i alle lag på Korsmyra 1.</i> | 52 |
| <i>Figur 39: Funnspredning over alle funn i de utgravde lag på Korsmyra 2.</i> | 53 |
| <i>Figur 40: Spredningskart over brent flint i alle utgravde lag på Korsmyra 2.....</i> | 54 |
| <i>Figur 41: Funnliste for Korsmyra 2 (27310).</i> | 57 |
| <i>Figur 42: Ensidige kjerner og prosjektiler fra Korsmyra 2.....</i> | 58 |
| <i>Figur 43: Mulig skiveøks og kjerneøks fra Korsmyra 2.....</i> | 59 |
| <i>Figur 44: Tabell over dateringsresultater Korsmyra 1 og 2.</i> | 61 |
| <i>Figur 45: Kurver over samtlige dateringsresultater fra Korsmyra 1.</i> | 62 |
| <i>Figur 46: Kurve over daterte hasselnøttskall fra korsmyra 1.</i> | 63 |
| <i>Figur 47: Kurve over daterte trekullprøver fra Korsmyra 1.</i> | 64 |
| <i>Figur 48: Tabell over analyserte makrofossilprøver</i> | 65 |
| <i>Figur 49: Tabell over utvalgte kontekster for osteologisk analyse fra lag 1.</i> | 67 |
| <i>Figur 50: Tabell over utvalgte kontekster for osteologisk analyse fra lag 2.</i> | 67 |
| <i>Figur 51: Kart over utvalgte kontekster med osteologisk materiale</i> | 68 |
| <i>Figur 52: Illustrasjonsfoto av osteologisk materiale fra Korsmyra 1.....</i> | 69 |
| <i>Figur 53: Tabell over antall identifisert osteologiske fragmenter.</i> | 70 |
| <i>Figur 54: Tabell over antall fragmenter pr. arkeologiske kontekst og pr. klasse.</i> | 71 |
| <i>Figur 55: Trekulldateringer fra profil 2574 på Korsmyra 1.....</i> | 73 |

1. Bakgrunn for undersøkelsen

Undersøkelsen ble gjennomført i forbindelse med en reguleringssendring av Korsmyra i Bud, Fræna kommune, som innebar en regulering til frittliggende småhusbebyggelse og rekkehus. Innenfor denne reguleringsplanen lå lokalitetene ID147661 og 170795 som ble berørt av tiltaket. Kulturminnene ble påvist gjennom registreringsundersøkelser gjennomført av Møre og Romsdal fylkeskommune i 2011 og 2012 og omfattet bosetning- og aktivitetsområder fra steinalder. Lokalitet ID147661 ble delvis undersøkt av NTNU Vitenskapsmuseet i 2013 i forbindelse med anleggelsen av gang- og sykkelvei parallelt med RV 664 gjennom Bud. Denne undersøkelsen påviste et tykt kulturlag med stor tetthet av litiske funn samt osteologisk materiale. Lokaliteten ble datert til mellom- og senneolitikum.

| Steinalder |
|--|
| Eldre steinalder 9200-1700 f.Kr. |
| Tidligmesolitikum (TM) 9200-8100 f.Kr. |
| Mellommesolitikum (MM) 8100-6400 f.Kr. |
| Senmesolitikum (SM) 6400-4000 f.Kr. |
| Yngre steinalder 4000-1700 f.Kr. |
| Tidlige neolitikum (TN) 4000-3300 f.Kr. |
| Mellomneolitikum (MN) 3300-2300 f.Kr. |
| Mellomneolitikum a (MNa) 3300-2600 f.Kr. |
| Mellomneolitikum b (MNb) 2600-2300 f.Kr. |
| Senneolitikum (SN) 2300-1700 f.Kr. |
| Bronsealder |
| Eldre bronsealder (1700-1100 f.Kr.) |
| Yngre bronsealder (1100-500 f.Kr.) |

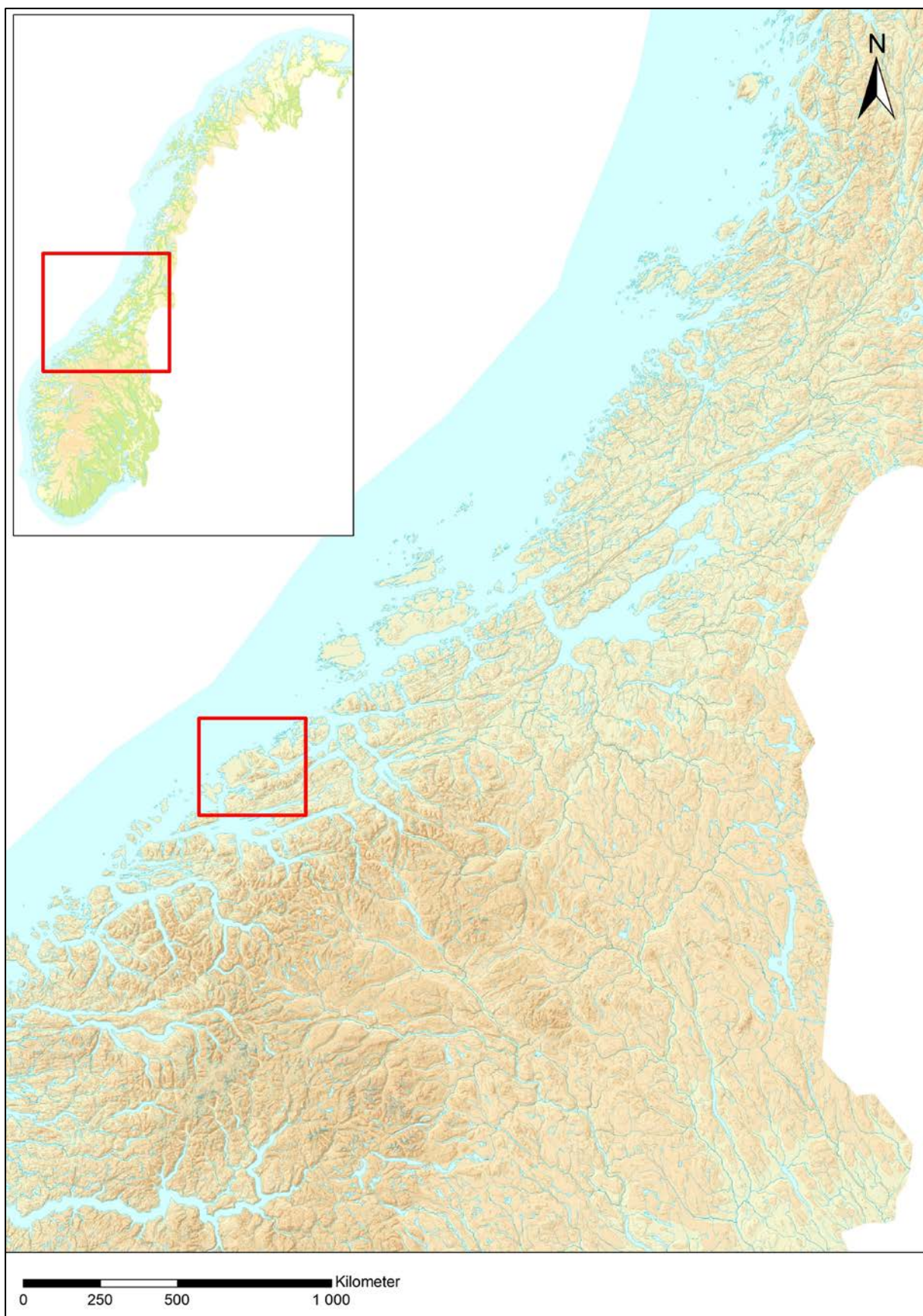
Figur 1: Periodetabell. Illustrasjon: NTNU Vitenskapsmuseet

1.1. Områdebeskrivelse

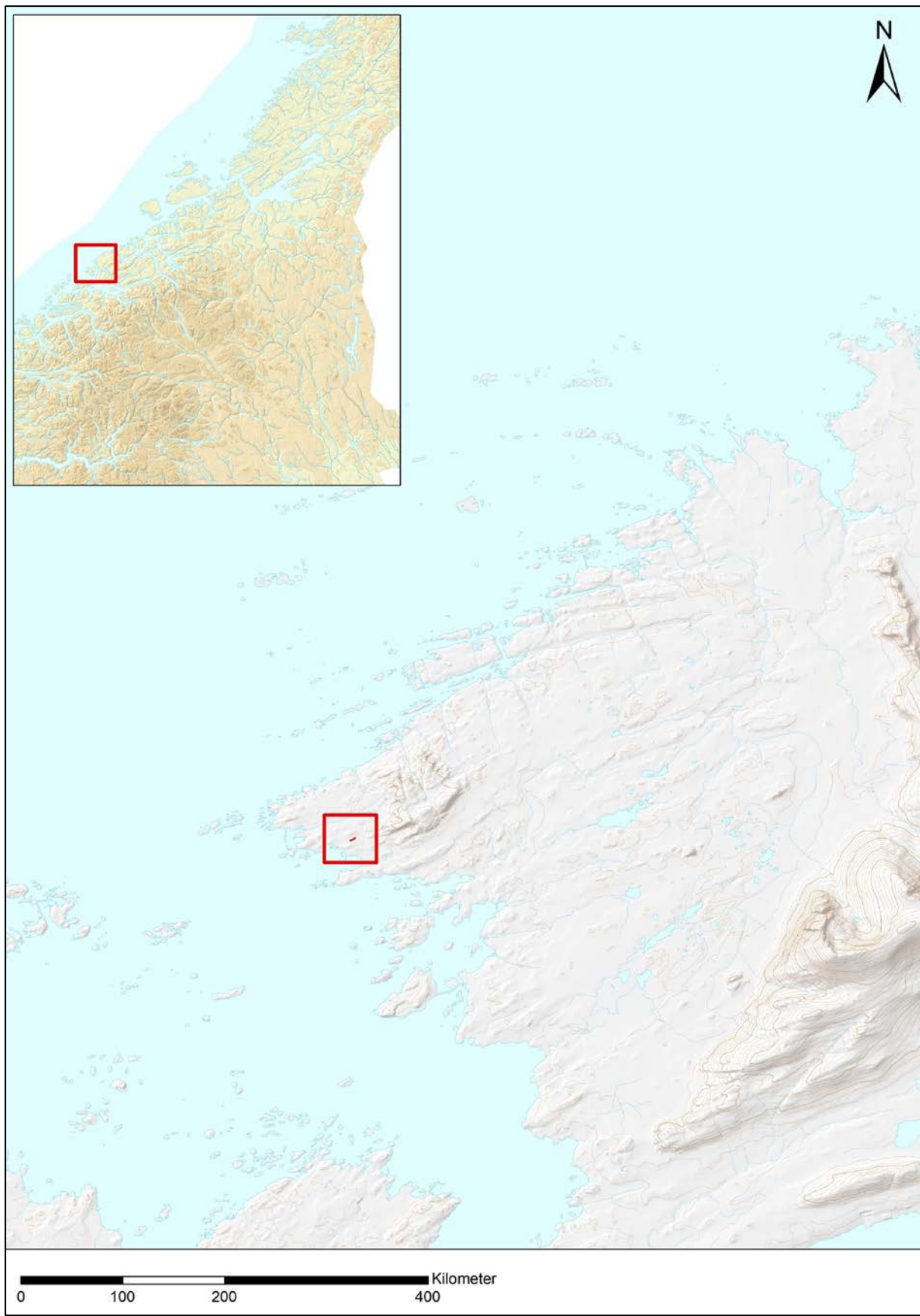
Bud er et tettsted om lag 40 km nordvest for Molde. Korsmyra ligger sentralt i Bud, på nordsiden av RV 664, mellom idrettsanlegget og Bud skole. Det aktuelle området for utgravingene bestod av beitemark/dyrket mark med enkelte bergknauser stikkende opp. Området bestod i dag av gresseng, men ifølge opplysninger gitt av naboer i løpet av undersøkelsen, har området også blitt brukt til potetåker og til å skjære torv. Lokalitetene lå i svak sørøstlig helling og mellom 8-13 meter over dagens havnivå, og var begge på om lag 460 m² hver før utgravingen begynte.

ID170795 var den høyest liggende lokaliteten og lå på mellom 11-13 meter over dagens havnivå. Den lå bak en strandvoll og hadde berg i dagen i sør. Oppå strandvollen gikk det en vei inn til et hus som lå nord for lokalitetten. ID170795 strakk seg på begge sider av denne gårdsveien. Lokalitetens høyeste punkt var i sør samt langsmed gårdsveien og hadde helling mot nord. De nordlige områdene fremsto som fuktige.

ID147661 lå om lag 20 m sørvest for ID 170795 og hadde en høyde mellom 8-11 moh. Lokaliteten lå tett intil RV 664 som går inn til Bud sentrum, og hadde berg i dagen i sør. De høyeste områdene var i sør, inn mot veien og med en markant helling mot nord.

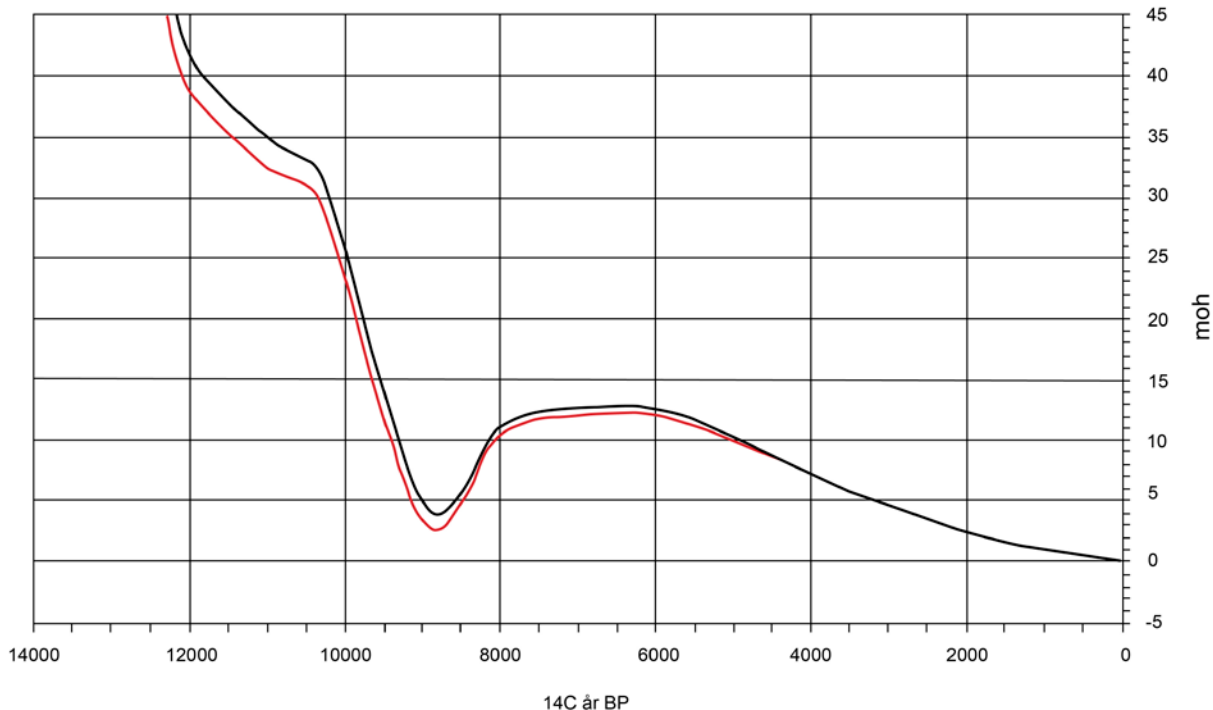


Figur 2: Oversiktskart over lokalitetens plassering i Midt-Norge. Kart: Hanne Bryn, NTNU Vitenskapsmuseet.



Figur 3: Oversiktskart over lokalitetens plassering i Møre og Romsdal. Kart: Hanne Bryn, NTNU Vitenskapsmuseet.

Strandlinjekurve for Bud, Møre og Romsdal



Figur 4: Strandlinjekurve for Nyhamna på Gossen, gjengitt etter Bjerck et al. 2008:78. I henhold til isobasekartet til Svendsen & Mangerud 1987 og Bondevik et al. 1998 ligger Nyhamna ca. på isobase 30. De gjengitte kurvene er basert på isobase 29 (rød) og 31 (sort).

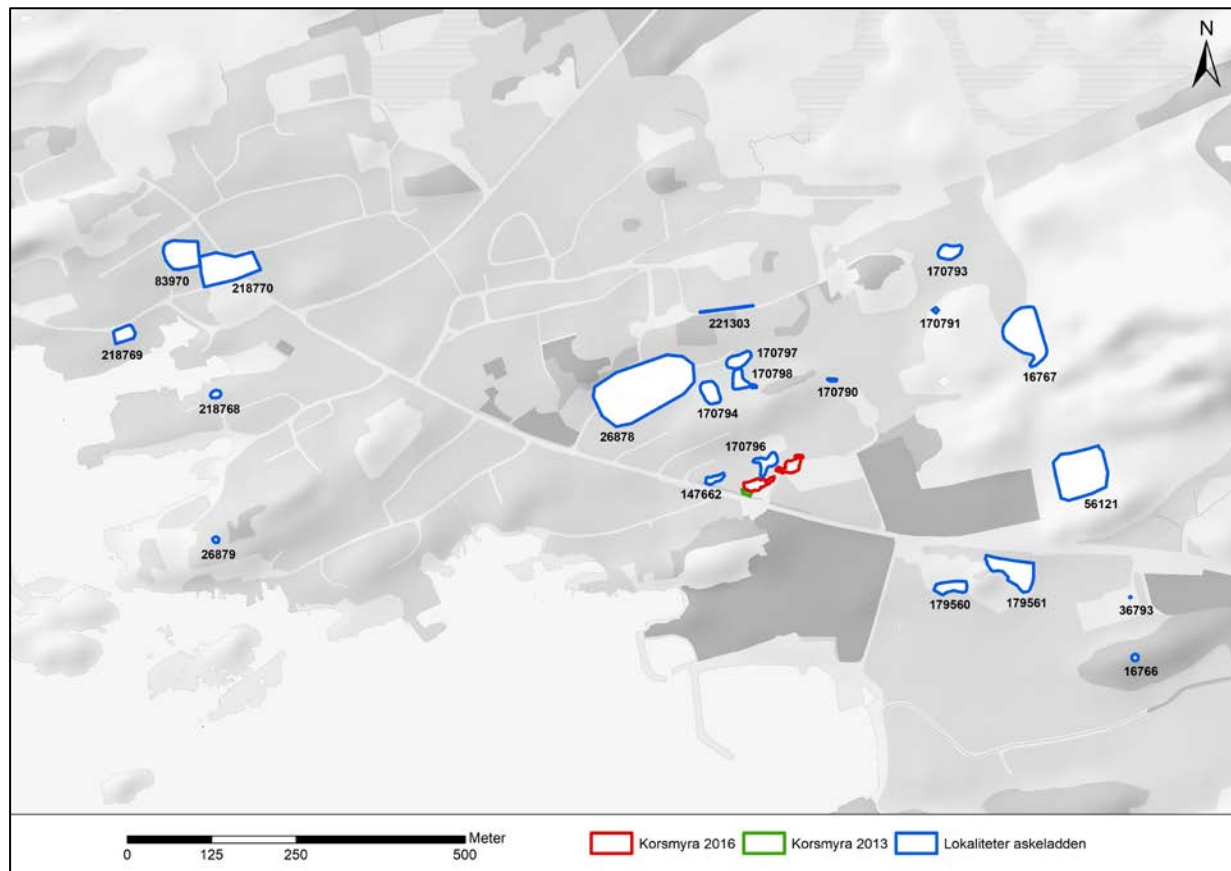
1.2. Kulturhistorisk bakgrunn og tidligere undersøkelser

Steinalderlokaliteter er en vanlig kulturminnetype å finne på Nordmøre og i Romsdalen, og flere av disse er blitt undersøkt. Regionen og særlig områdene Aukra, Averøy og Kristiansund regnes som et av de sentrale stedene for tidlig bosetning, og de første Fosnaleraliteter ble oppdaget i disse områdene av Anders Numedal i 1910. Det ser ut til at øyene i dette området ble tidlig isfritt og tilgjengelig for bosetning da isen trakk seg tilbake for ca. 12000 år siden.

Bud er et gammelt fiskevær og kirkested med røtter tilbake til middelalder. Bud kirke ligger om lag 1 km nordvest for lokalitetene på Korsmyra, og kirkens første direkte omtale stammer fra 1589. Stedsnavnene Korshaugen og Korsmyra antas å ha forbindelse til dette kirkestedet. Når det gjelder eldre funn så er det kjent flere arkeologiske lokaliteter i nærområdet til utgravningsfeltet. På Kalsvik Ytre (gnr. 112) er det registrert tre steinalderlokaliteter (ID56121, 16767 og 26878). I tillegg er det også kjent en gravhaug (ID16766) og en bautasteinlokalitet (ID36793) fra denne gården. Det har også kommet inn flere løsfunn fra området hvor en del kan dateres til steinalder.

| Askeladden ID | Lokalitet | Type | Periode | Status |
|---------------|-----------------------------|----------------------------|-----------------------|--------|
| 16766 | Prestegården | Gravminne | Jernalder | AUT |
| 16767 | Prestegården/Korsmyra lok.5 | Bosetning-aktivitetsområde | Steinalder | AUT |
| 26878 | Prestegården | Bosetning-aktivitetsområde | Steinalder | AUT |
| 26879 | Kippersund | Gravminne | Bronsealder/Jernalder | AUT |

| | | | | |
|--------|------------------------------------|-----------------------------|-------------------|----------|
| 36793 | Prestegården | Bautasteinslokalisitet | Førreformatrisk | AUT |
| 56121 | Prestegården | Bosetning-aktivitetsområde | Steinalder | AUT |
| 83970 | Bud kyrkjested | Kirkested | Middelalder | Fredet |
| 147662 | Lok. 2, Korsmyra | Bosetning-aktivitetsområde | Steinalder | FJE |
| 170790 | Lok. 3, Korsmyra | Annen arkeologisk lokalitet | Middelalder | AUT |
| 170791 | Lok. 4, Korsmyra | Uspesifisert | Eldre bronsealder | AUT |
| 170793 | Lok. 6, Korsmyra | Bosetning-aktivitetsområde | Steinalder | AUT |
| 170794 | Lok. 7, Korsmyra | Bosetning-aktivitetsområde | Steinalder | AUT |
| 170796 | Lok. 9, Korsmyra | Bosetning-aktivitetsområde | Steinalder | AUT |
| 170797 | Lok. 10, Korsmyra | Bosetning-aktivitetsområde | Eldre steinalder | AUT |
| 170798 | Lok. 11, Korsmyra | Bosetning-aktivitetsområde | Steinalder | AUT |
| 179560 | Prestemarka lok. 1 | Bosetning-aktivitetsområde | Steinalder | FJE |
| 179561 | Prestemarka lok. 2 | Bosetning-aktivitetsområde | Eldre steinalder | AUT |
| 218768 | Skrivarhaugen | Funnsted | Vikingtid | AUT |
| 218769 | Ivergården | Bosetning-aktivitetsområde | Middelalder | AUT |
| 218770 | Eldre kirkegård, Bud kyrkjestad | Annen arkeologisk lokalitet | Middelalder | Uavklart |
| 221303 | Korsmyra | Dyrkingsspor | Førreformatrisk | FJE |



Figur 5: Registrerte kulturminner i Askeladden i området rundt Korsmyra. Kart: Hanne Bryn, NTNU Vitenskapsmuseet.

Det er undersøkt flere kulturlagslokaliteter fra senmesolitikum/tidlig- og mellomneolitikum i regionen (se tabell nedenfor). En av de viktigste undersøkelsene var i forbindelse med landanlegget til Ormen Lange på Aukra i 2003 og 2004. Her ble det undersøkt flere lokaliteter med funn fra senmesolitikum og tidlige neolitikum, da spesielt lok 30 som var den største kulturlagslokaliteten som ble undersøkt i løpet av prosjektet. Her ble det funnet både senmesolitiske og tidlige neolitiske faser, samt tufter. De mellomneolitiske lokalitetene 63 og 34, som begge hadde boligstrukturer, samt den mellomneolitiske lok 54 hvor det ble undersøkt kulturlag, beinmateriale, ildsteder og boligstrukturer, er alle med på kunnskapsoppbyggingen rundt kulturlagslokaliteter på Nordmøre. Generelt sett ble det på flere av lokalitetene på Aukra funnet skiferredskaper og bergartsøkser, fiskesøkker og osteologisk materiale i tillegg til flintmateriale (Bjerck (red.) et. al 2008). I 2001 ble det i forbindelse med omleggingen av RV 680 i Foldfjorden undersøkt en senmesolitisk lokalitet på Straumsvik i Aure med bevarte rester av kulturlag samt et rikt flintmateriale. Denne lokaliteten ble datert til 7500 BP, og i 2006 ble det i forbindelse med utbedring av FV 251 Skaret-Langøybrua på Averøy undersøkt en senmesolitisk lokalitet. Her ble det funnet rester av kulturlag med tuft, samt flint- og skifermateriale. Det ble også funnet en slipt trinnøks i diabas på lokaliteten (T23420:155).

| Museumsnummer | Lokalitet | Gård/gnr/kommune | Periode |
|---------------|--------------------------------|--------------------------|------------------|
| T21271 | Tjeldbergodden, Storvika 1 | Dromnes (55), Aure | TN/MN |
| T22329 | Hamna 1 | Jelkrem (50), Gjemnes | Yngre steinalder |
| T22706 | Lokalitet 2 Slettsanden | Eikrem (11), Aukra | MNb |
| T22715 | Lokalitet 29B Fredly | Sporsem (9), Aukra | Hovedfase MNb |
| T22740 | Lokalitet 34 Håhaugane | Sæter (10), Aukra | MNa/MNb |
| T22758 | Lokalitet 54 Håsanden | Sporsem (9), Aukra | MNa/MNb+SN+BA |
| T22767 | Lokalitet 63 Litle Grynnvika | Eikrem (11), Aukra | MNa |
| T22763 | Lokalitet 67 Selneset | Sæter (10), Aukra | MNa/MNb |
| T22769 | Lokalitet 69 Søndre Steghaugen | Sporsem (9), Aukra | SM-TN |
| T23373 | Aursjøen, R-210 | Nesset | SM/TN |
| T25789 | Ytterhamna | Jelkrem (50), Gjemnes | SN |
| T26093 | Skorpa, lok 9 | Skorpa (9), Kristiansund | TN |
| T27655 | Skjølsvik | Skjølsvik (76), Gjemnes | SM5/TN |

Figur 6: Tabell over tidligere undersøkte kulturlagslokaliteter fra neolitikum i regionen.

1.3. Registrering 2011 og 2012

De to lokalitetene som var utgangspunktet for utgravingen ble registrert ved to registreringsundersøkelser, henholdsvis i 2011 og 2012. Begge ble utført av Aaron Johnston fra Møre og Romsdal fylkeskommune. Registreringsundersøkelsen ble gjennomført ved prøvestikking og maskinell søkesjaktning. Fylkeskommunens prøvestikk målte 40x40 cm og ble gravd med jevn spredning innenfor tiltaksområdet. Jorda i prøvestikkene ble vannsåldet i såld med 5 mm maskevidde, og eventuelle funn ble innsamlet og dybden ble dokumentert. Sjaktene ble gravd med et mellomrom på 10-15 m, og eventuelle funn ble registrert og dokumentert.

I perioden 26.-29.04. og 09.05.-12.05.2011 ble det gjennomført registreringsundersøkelser i forbindelse med utbygging av gang- og sykkelvei mellom Gule og Bud. Ved dette arbeidet

ble det registrert to lokaliteter; ID147661 og 147662. Begge lokalitetene ble berørt av utbyggingen og det ble gjennomført en arkeologisk utgraving i 2013 (se punkt 1.4.). ID147661 ble identifisert ved 6 positive prøvestikk, hvor det ble påvist flint og noe osteologisk materiale. ID147662 ble identifisert ved 3 søkesjakter og 6 positive prøvestikk. I tillegg til noe litisk funnmateriale ble det også registrert et mulig kulturlag i sjaktene, men lokaliteten var sterkt forstyrret av flere moderne grøfter. Begge lokalitetene ble avgrenset med negative prøvestikk, ID147662 ble også avgrenset av en negativ sjakt.

Registeringsundersøkelsene i forbindelse med det planlagte boligfeltet på Korsmyra ble gjennomført i perioden 27.06.-07.11.2012 og det ble til sammen brukt 27 dagsverk i felt. Undersøkelsesområdet hadde en total størrelse på 77600 m² og det ble til sammen registrert 11 lokaliteter. Av disse var det kun ID170795 som ble berørt av tiltaket, i tillegg til den resterende delen av ID147661. ID170795 ble identifisert ved 7 positive prøvestikk, og det ble ikke observert kull eller kulturlag i noen av prøvestikkene. Til forskjell fra ID147661 ble det på ID170795 gjort funn av vannrullet flint. I tillegg lå funnene dypt, helt ned i bøttelag 4. I forbindelse med registreringen i 2012 ble det også gravd ytterligere 11 positive prøvestikk innenfor ID147661, som etter registreringen totalt hadde 17 positive prøvestikk.

Ut ifra de funnene som ble gjort, var dette to lokaliteter med et funnmateriale av høy vitenskapelig kildeverdi. På forhånd ble det antatt at lokalitet ID147661 hadde et større potensiale enn ID170795, på grunn av det store kulturlaget med gode bevaringsforhold for bl.a. organisk materiale.



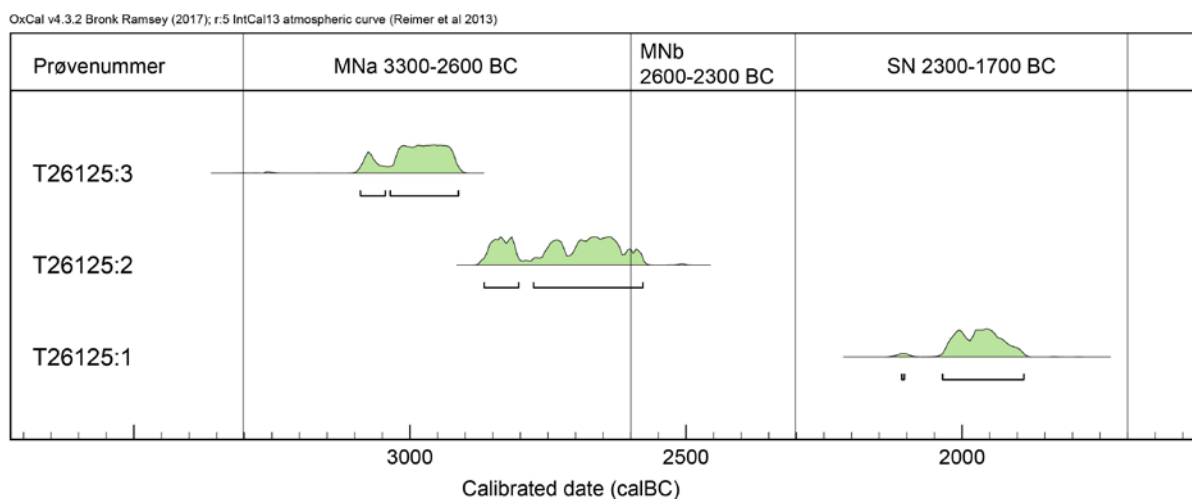
Figur 7: Prøvestikk innenfor lokalitetene ID147661 (venstre) og ID170795 (høyre). Prøvestikk gravd i 2011 er markert grønt, mens prøvestikk fra 2012 er blå. Kart: Hanne Bryn, NTNU Vitenskapsmuseet.

1.4. Utgraving Lorentzen 2013

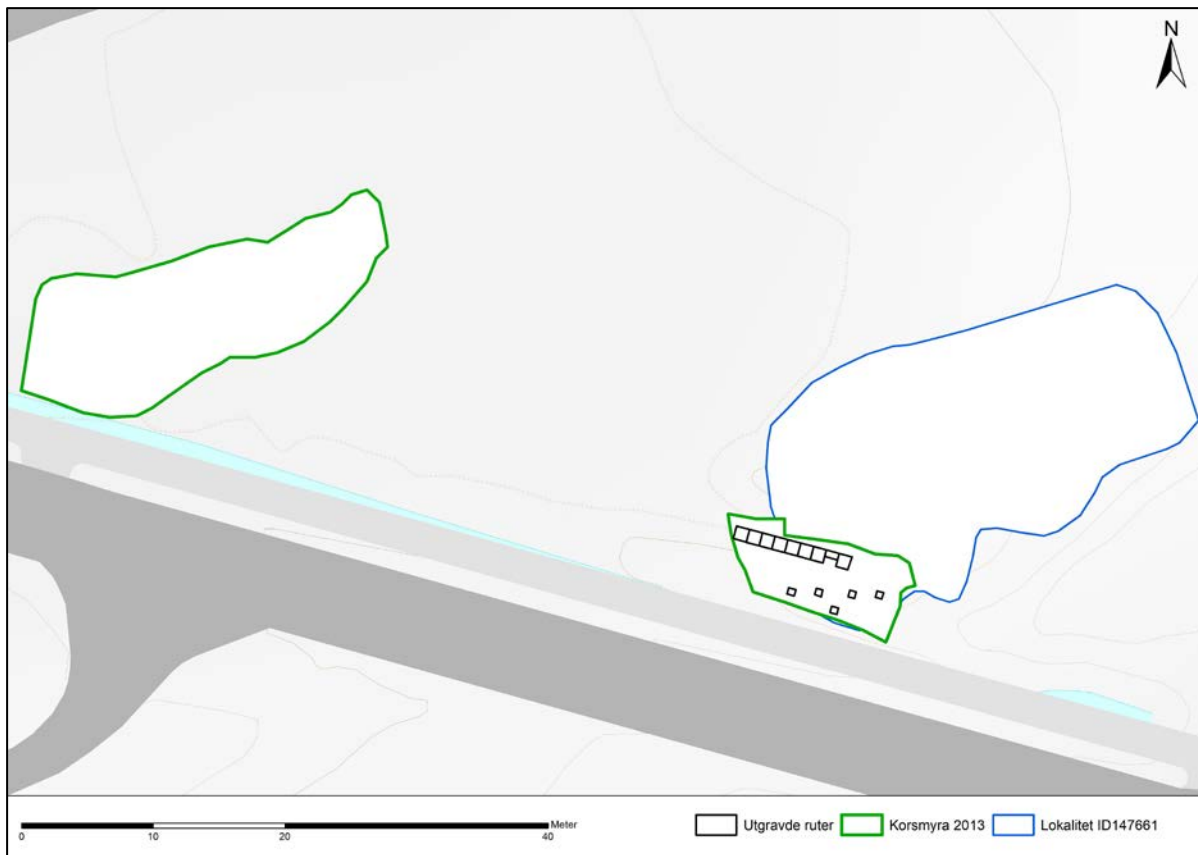
I 2013 gjennomførte NTNU Vitenskapsmuseet en arkeologisk undersøkelse av lokalitetene ID147662 (lok 2) og deler av ID147661 (lok 1) på Korsmyra i forbindelse med anleggelsen av gang- og sykkelvei mellom Bud skole og Bud stadion. Begge lokalitetene ble maskinelt flateavdekket. Lok 2 viste store forstyrrelser i form av utbredt grøftegraving samt at området var berglendt. Det var et tynt dekke med torv over berg og det fremkom av flateavdekkingen at grøftegraverne raskt hadde skiftet retning da de hadde truffet på berg. Potensialet på lok 2 ble derfor sett på som minimalt da det var svært lite igjen av den naturlige undergrunnen.

Gang- og sykkelveien berørte kun ytterkanten av lok 1, så de resterende delene av lokaliteten ble bevart. Det ble maskinelt avdekket et område på ca. 100 m², som igjen viste et kulturlag på ca. 70 m². Det utgravde området ble anlagt som en sjakt som lå VNV-ØSØ og målte 1 x 9 m. Totalt ble det gjort funn av 2993 steinartefakter, hvor det meste ble funnet i kulturlaget. Det ble tatt ut 5 vitenskapelige prøver, i tillegg ble det funnet to fragmenter av brent nøtteskall. Det ble også samlet inn 534,77 g brent og ubrent osteologisk materiale.

Det littiske materialet pekte mot en datering til neolitikum. Tre analyserte C¹⁴-dateringer havnet innenfor periodene mellom- og senneolitikum. De tre dateringene var innsamlet fra tre ulike nivåer av kulturlaget hadde en alder på henholdsvis BC 2110-1889 (BP 3610±30, Beta-364268), BC 2866-2579 (BP 4120±30, Beta-364269) og BC 3090-2913 (BP 4380±30, Beta-364270). Den yngste tilsvarer senneolitikum mens de to eldste havner i siste del av MNa og overgangen MNa og MNb. En ser altså en bruksfase på 800 C¹⁴-år på lokaliteten. Dateringene passer godt med anslått alder basert på funnmateriale og høyde over havet. Av funnmateriale ble det funnet 5 skiferspisser som kan dateres til tidlig- eller mellomneolitikum. Det ble også gjort funn av en del bipolare kjerner og pimpsteiner med slipefurur. Av osteologisk materiale ble det gjort en rekke funn i kulturlaget, men det var ikke mulighet til å gjennomføre osteologiske analyser grunnet prosjektets strenge økonomiske rammer. For nærmere utredning, se rapport Lorentzen 2013.



Figur 8: Dateringsresultater fra undersøkelsene på Korsmyra i 2013.



Figur 9: Oversiktskart over utgravde lokaliteter på Korsmyra i 2013. Lok 2 til vestre, og utgravd lok 1 til høyre. Kart: Hanne Bryn, NTNU Vitenskapsmuseet.

2. Undersøkelsens rammer

I forbindelse med regulering av Korsmyra i Bud til frittliggende småhusbebyggelse og rekkehus påviste Møre og Romsdal fylkeskommune automatisk fredete kulturminner innenfor planområdet under registreringsundersøkelser i henholdsvis 2011 og 2012. Fra tidligere undersøkelser var det kjent at området innehadde lokalitet med kulturlag med stor funntetthet av både litisk, men også osteologisk materiale. Kulturminnene kunne ikke sies å ha noen vesentlig opplevelsesverdi da de lå skjult under matjorda, men de hadde derimot høy regional verdi. Sammen med tidligere undersøkelser i nærområdet kunne lokalitetene på Korsmyra være med på å øke kunnskapen om steinalderens bosetninger i området. Kulturminnenes vitenskapelige verdi måtte ansees som høy. En omfattende arkeologisk undersøkelse i Bud vil, sammen med Ormen Lange-undersøkelsene på Aukra, skaffe til veie stor kunnskap om steinalderen innenfor et begrenset geografisk område.

Utgravingen ble gjennomført i løpet av 10 uker i august-oktober 2016.

2.1. Tid, deltagere

Til sammen hadde de to lokalitetene ID147661 (Korsmyra 1) og ID170795 (Korsmyra 2) en samlet størrelse på 920 m², og det ble på forhånd beregnet å avdekke det totale arealet da dette ble ansett som nødvendig for å belyse prosjektets problemstillinger (se punkt 2.2). Det ble lagt opp til å bruke inntil 148 dagsverk på undersøkelsen. Da utgravingen var ferdig var det blitt avdekket et totalt areal på 961 m² og brukt 214 dagsverk.

Feltarbeidet ble gjennomført i tidsrommet 08.08.-14.10.2016. Feltleder gjennom hele prosjektet var Hanne Bryn og prosjektleder var Raymond Sauvage. Arbeidsstaben ble gradvis økt gjennom prosjektet og på det meste var det til sammen 6 arkeologer i felt. Se tabell for oversikt over deltagere og tidsrom. Flateavdekkingen ble utført av Finn Gammelsæter fra Gammelsæter Maskin AS og maskinen var av typen New Holland Kobelko E 135b på 16 tonn med pusseskuff på 140 cm. Avdekkingen ble utført 09.08.-10.08.2016, samt mindre utvidelser avfeltet 01.09. og 12.09. For utvidelsene av feltet ble det brukt en New Holland Kobelko E 70SR på 7 tonn med pusseskuff på 80 cm. Til sammen ble det benyttet maskin i 18 timer.

Etterarbeid samt rapportskriving ble utført av Hanne Bryn i tidsrommet 17.10.2016-27.04.2018. Grete Irene Solvold hjalp til med katalogisering av funnmaterialet i perioden 05.12.2016-03.02.2017.

| Stilling | Navn | Periode | Dagsverk |
|---------------|----------------------|----------------------------|------------|
| Feltleder | Hanne Bryn | 08. august – 14. oktober | 50 |
| Feltarkeolog | Gjermund Christensen | 08. august – 14. oktober | 50 |
| Feltarkeolog | Michał Adamczyk | 08. august – 30. september | 40 |
| Feltarkeolog | Isabella Foldøy | 08. august – 02. september | 20 |
| Feltarkeolog | Monica Svendsen | 08. august – 26. august | 15 |
| Feltarkeolog | Elisabeth Swensen | 22. august – 08. september | 14 |
| Feltarkeolog | Margrethe Langhelle | 29. august – 30. september | 25 |
| Totalt | | | 214 |

2.2. Problemstillinger

Bortsett fra de omfattende undersøkelsene i forbindelse med Ormen Lange-prosjektet på Aukra i 2003-2004, er det undersøkt relativt få kulturlagslokaliteter fra senmesolitikum/tidlig- og mellomneolitikum i området. NTNU Vitenskapsmuseet har hatt et særlig fokus på husdyrholt og tidlig jordbruk, og lokaliteter med bevarte kulturlag vil kunne gi viktige bidrag omkring denne forskningen. Gjennom hele yngre steinalder ser vi en utvikling mot mer sedentære samfunn, som kan være relatert til etableringen av jordbruk. Denne utviklingen kan ha startet allerede mot slutten av eldre steinalder med større grad av bopasthet som kommer til syne på kulturlagslokaliteter. Studier også fra Vestlandet viser at undersøkelser av dyrkingsprofiler og boplasser fra senmesolitikum /tidlig- og mellomneolitikum kan gi vesentlig ny kunnskap om stabilitet og endring av næringsmønstre.

Gjennom undersøkelsene på Korsmyra vil fokuset være særlig på dannelsesprosessen av kulturlaget og hva dette kan si om sedentære vs. nomadiske samfunn.

Gjennomføringen av utgravingen baserer seg på følgende problemstillinger:

1. Hvilke typer mekanismer ligger bak dannelsen av kulturlaget på lokalitet ID147661?
2. Alderen på lokalitetene og eventuelle bruksfaser.
3. Hva slags type lokaliteter er det. Kan materialet si noe om dette har vært kortere opphold, sesongbetont eller spor etter lengre opphold på stedet.
4. Representerer ID147661 og ID170795 en del av det samme boplassområdet eller representerer de ulike aktivitetsområder og lokaliteter?

2.3. Metode

Korsmyra 1 ble identifisert med 17 positive prøvestikk og Korsmyra 2 hadde 7 positive. Ut ifra de funnene som ble gjort, var dette to lokaliteter med et funnmateriale av høy vitenskapelig kildeverdi. På forhånd ble det antatt at Korsmyra 1 hadde et større potensiale enn Korsmyra 2, dette på grunn av det store kulturlaget med gode bevaringsforhold bl.a. for organisk materiale.

Utgravingen av området startet med en maskinell avdekking av de to lokalitetene. Torv og matjord ble fjernet for å avdekke henholdsvis kulturlag på Korsmyra 1 og undergrunn på Korsmyra 2 (jf. Løken m.fl. 1996). Avdekkingen av begge lokalitetene ble gjennomført på 2 dager, og det ble avdekket 421,5 m² pr. dag. I tillegg ble det gjort mindre utvidelser på begge lokalitetene. Disse målte 118 m² og ble gjennomført i løpet av 4 timer.

Etter avdekking ble det satt ut et lokalt koordinatsystem på de to lokalitetene. Disse var opprettet på forhånd og plassert ut på lokaliteten ved hjelp av GPS. På Korsmyra 1 var origo satt til 100x 100y og på Korsmyra 2 var origo 200x 200y. Undersøkelsen ble gjennomført ved graving i ruter og lag. Rutene målte 1x1 m og var delt opp i 4 kvadranter som hver målte 50x50 cm. Kvadrantene ble merket med himmelretning; NV, NØ, SV og SØ. Rutens koordinat ble angitt etter rutens sørvestre hjørne. Hver kvadrant ble gravd i 10 cm lag og massene vannsåldet i såld med 4 mm maskevidde. For rutekart, se vedlegg 3.

Som første ledd i undersøkelsen ble det gravd prøvekvadranter på begge lokalitetene. Disse ble hovedsakelig gravd i rutenes SV-kvadrant, gjennom alle funnførende lag. Dette for å kunne lokalisere funnkonsentrasjoner innenfor hver av lokalitetene. Det ble gravd prøvekvadrant for hver fjerde meter innenfor begge lokalitetene.



Figur 10: Dronefoto over Bud med Korsmyra 1 og 2 i forgrunnen. Da61856_034. Foto: Raymond Sauvage, NTNU Vitenskapsmuseet.

2.4. Dokumentasjon

Innmålinger ble gjort i Intrasis med Topcon FC250 målebok og CPOS av typen Topcon Hiper II GNSS. Det ble oppnådd RTKfix. Innmålingsdata ble i ettertid behandlet i Intrasis 3.0. ArcMap 10.3 ble benyttet til å fremstille kartene i rapporten. Alle utgravde kvadranter ble dokumentert digitalt i felt ved bruk av iPad med programvaren Filemaker Go, som ved etterarbeidet ble importert til Intrasis.

Utdragingsprosessen ble dokumentert ved foto. Dette var i hovedsak arbeidsbilder samt detaljfoto av ulike kontekster av spesiell interesse. Alle bilder ble tatt med et digitalkamera av typen Olympus Stylus Tg-4, i formatene JPG og ORF. De prioriterte bildene ble konvertert fra ORF til TIFF og lagt inn i NTNU Vitenskapsmuseets fotobase. Filnavnene i basen fikk da et Da-nr. i tillegg til løpenummer. For Korsmyra 2016 er nummeret Da61856, og 37 bilder ble arkivert i basen.

Utdragningsområdene ble dokumentert med fotogrammetri etter utgraving av hvert lag. Billedserier med overlappende bilder av de utgravde områdene ble tatt ved hjelp av fotostang og digitalkamera. Før fotografering ble det satt ut referansepunkter for georeferering av 3D-modellen. Bildene ble behandlet i Agisoft PhotoScan Professional, og 6 av modellene ble arkivert i NTNU Vitenskapsmuseets fotobase med nummer Da62048-62053.

Alle funn ble katalogisert i MUSITs Gjenstandsdatabase og lokalitetene ble tildelt hvert sitt T-nr. Korsmyra 1 er katalogisert under T27311 og Korsmyra 2 under T27310. MUSITs retningslinjer for bruk av basen ble benyttet (Johansen 2013). NTNU Vitenskapsmuseet har utarbeidet termlister og steinaldernomenklatur som brukes i basen (NTNU Vitenskapsmuseet 2012). Nomenklaturen er dannet på bakgrunn av katalogiseringsstandarder fra Ormen

Lange-prosjektet. Et utvalg av gjenstandene ble fotografert av Åge Hojem ved NTNU Vitenskapsmuseet. Gjenstandsfotoene ligger under Da62100 og 13 bilder ble arkivert i basen.

2.5. Formidling

Det ble ikke organisert et formidlingsopplegg i løpet av undersøkelsene på Korsmyra. Da utgravningsområdet lå sentralt i Bud, inntil gang- og sykkelvei samt nære Bud skole, forventet vi at det ville komme forespørsler angående omvisning på feltet. Dette uteble, men vi var likevel aktive med å formidle til alle som viste interesse.

Vi registrerte 67 besøkende til utgravingen. Disse var naboer, tilfeldig forbipasserende, arkeologer og ansatte i kommunen. I tillegg formidlet vi til enkelte skoleklasser som gikk forbi, til sammen ca. 30 elever. Totalt gjennom prosjektet ble det brukt ca. 11 timer til formidling. Det ble også skrevet ett blogginnlegg om utgravingen som ble publisert på Norark.no.

| Dato | Sted | Tema/tittel |
|----------|-----------|------------------------|
| 28.08.16 | Norark.no | Om stein og bein i Bud |

3. Gjennomføring av utgravingsprosjektet

Utgangspunktet for utgravingsprosjektet var undersøkelsen av to lokaliteter; Korsmyra 1 (ID147661) og Korsmyra 2 (ID170795). Feltarbeidet startet opp 8. august 2016 med 5 feltarkeologer. Den første uken bestod i avtorving av lokalitetene, bygging av såldestasjon og utstikking av koordinatsystemene, før gravingen av prøvekvartrantene begynte. Antallet ansatte økte noe mot slutten av august og begynnelsen av september, for deretter å avta mot slutten av prosjektet. På det meste var det 6 arkeologer i felt.

Været var svært varierende gjennom hele prosjektet, da storfjordet står rett inn mot Bud. Prosjektet opplevde en stor del regn og sterk vind, men ingenting som stoppet arbeidet. I prosjektets to siste uker, i starten av oktober, var vi rammet av frost hver morgen. Dette gjorde at både hovedvannslangen samt vannslangene ved såldestasjonen frosset, og såldingen kom derfor ikke i gang før noen timer ut på dagen. Det ble utviklet en rutine for demontering av 150 m vannslange for opptining i solen hver morgen.



Figur 11: Såldestasjon på Korsmyra Da61856_005. Plassert på den høyeste delen av området, nordvest for Korsmyra 2.
Foto: Hanne Bryn, NTNU Vitenskapsmuseet.

3.1. Korsmyra 1

Museumsnummer: T27311

Askeladden ID: 147661

Høyde: 8-11 moh.

Datering: BC 3700-2000

Avdekt areal: 489 m²

Utgravd areal: 218,25 m²

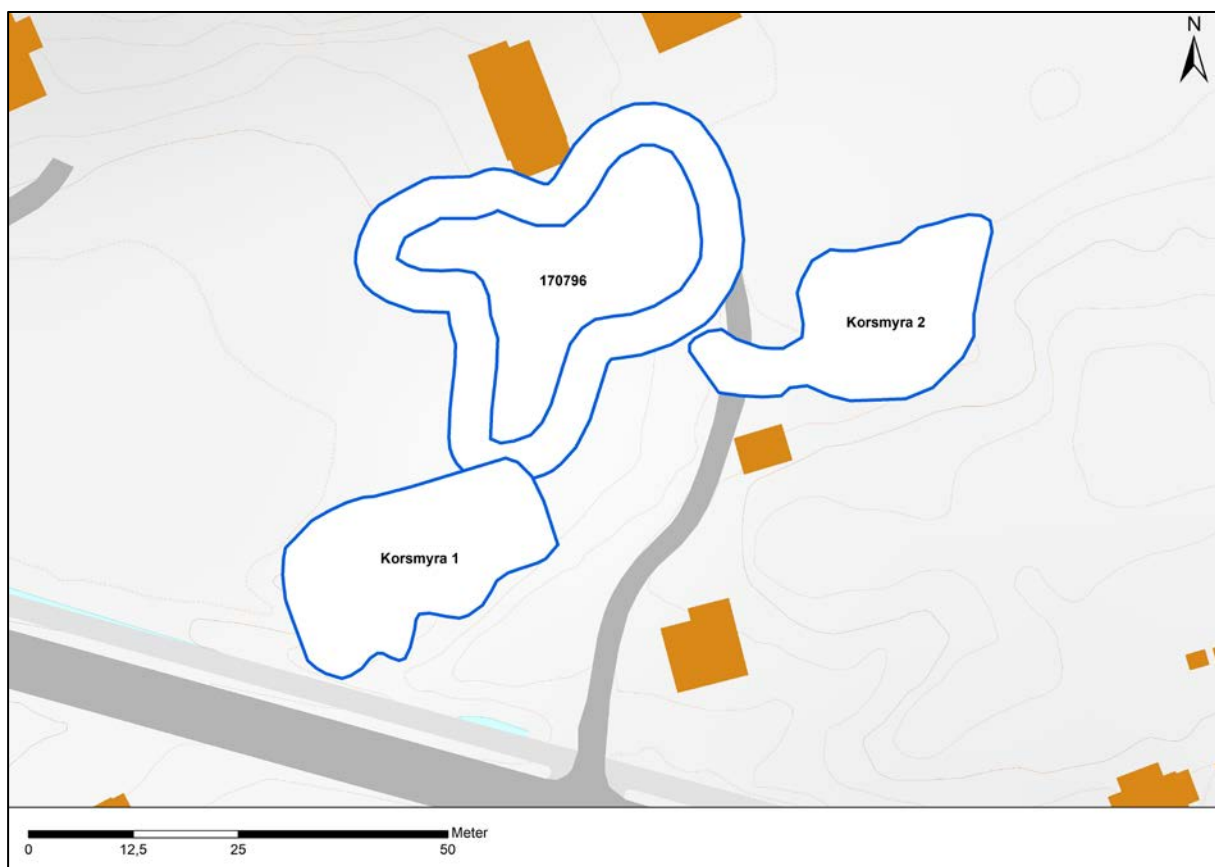
Utgravd kubikk: 21,825 m³

Antall strukturer: 1

Antall funn: 27144

Ut i fra NTNU Vitenskapsmuseet sin undersøkelse i 2013 og den utvidede registreringen utført av Møre og Romsdal fylkeskommune i 2012, var det tydelig at kulturlaget strakk seg over store deler av lokaliteten. Det var registrert kulturlag i 10 av prøvestikkene som var fordelt jevnt utover det definerte lokalitetsområdet.

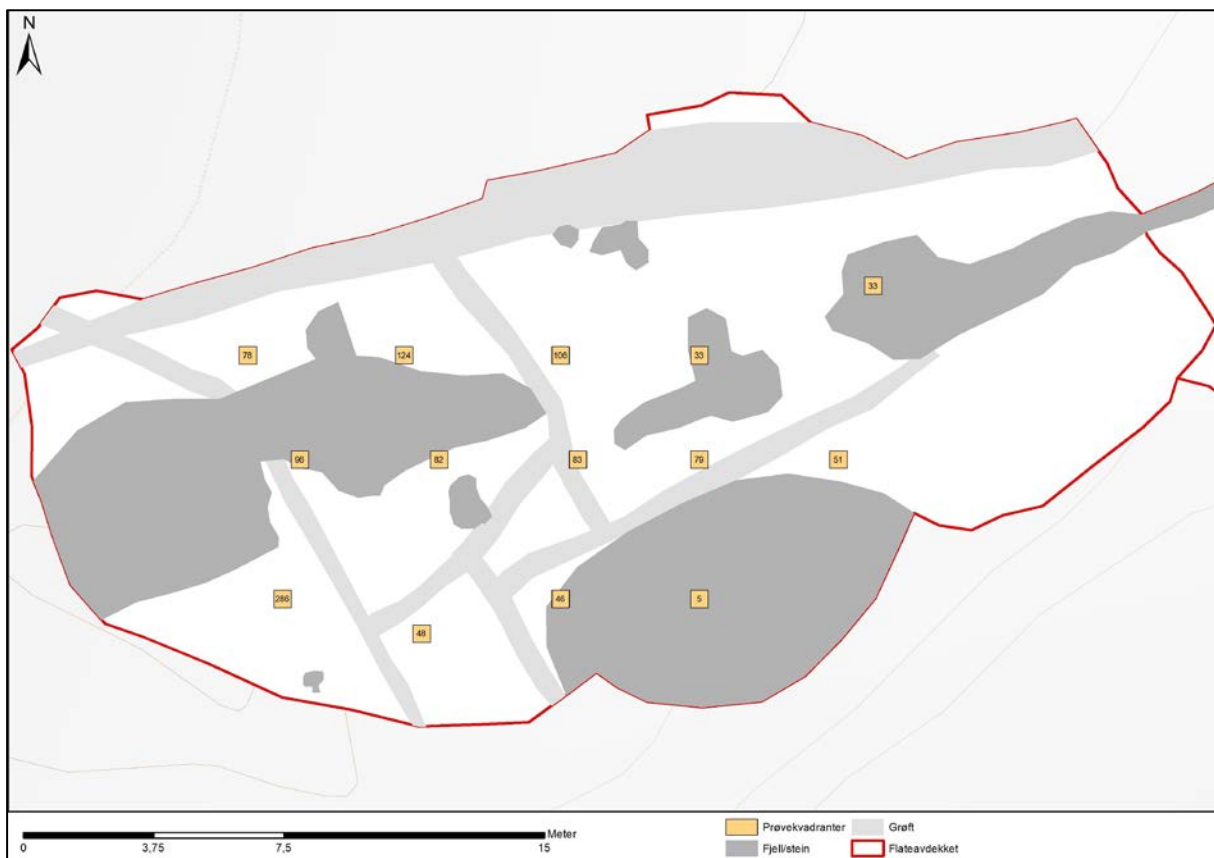
Lokaliteten gikk delvis innenfor sikringssonen til ID170796 i nordøst. Det var derfor nødvendig å utelate en et lite stykke av Korsmyra 1 da det ikke forelå dispensasjon til inngrep i ID170796. Etter avdekking ble det tydelig at hele den nordre ytterkanten av utgravingsfeltet var skadet av en kabelgrøft, inkludert området som krysset over med ID170796. Den nordre delen av lokaliteten lå også lavere enn resten og ble med dette ansett til å ha mindre potensiale enn det øvrige området.



Figur 12: Korsmyra 1 lå delvis innenfor sikringssonen til ID170796. Kart: Hanne Bryn, NTNU Vitenskapsmuseet.

3.1.1. Prøvekvadranter

Undersøkelsen av Korsmyra 1 startet med graving av prøvekvadranter. Ut i fra lokalitetens størrelse ble det ansett som tilstrekkelig å legge prøvekvadrantene med et mellomrom på 4 m, og det ble til sammen gravd 14 prøvekvadranter. Ettersom lokaliteten hadde flere synlige bergknuser og steingrøfter ble prøvekvadrantene plassert mest mulig hensiktsmessig i forhold til disse. Hovedsakelig var det den sørvestre kvadranten innenfor den aktuelle ruta som ble undersøkt. Prøvekvadrantene ble gravd i lag på 10 cm, og gjennom alle funnførende lag. Antall funn samt typen funn i prøvekvadrantene lå til grunn for hvilke område av lokaliteten som skulle undersøkes. På Korsmyra 1 var også topografien en tredje faktor som var med på å bestemme hvor det skulle graves. Det ble observert høye antall funn jevnt over lokaliteten, men spesielt områdene i sørvest utpekte seg som særlig funnrike.



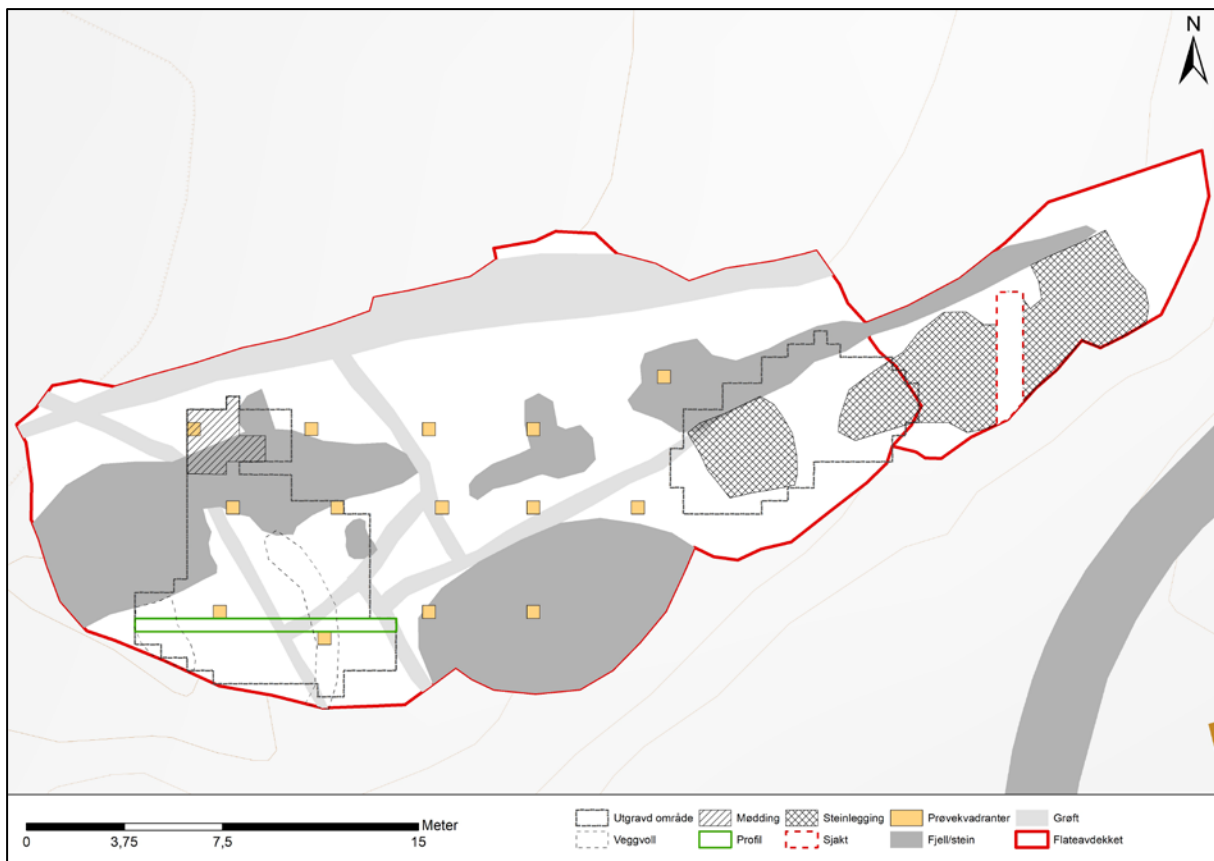
Figur 13: Kart over prøvekvadranter på Korsmyra 1. Antall funn markert i hver kvadrant. Kart: Hanne Bryn, NTNU Vitenskapsmuseet.

3.1.2. Utgravde områder

Det avdekkede området målte 489 m² og var dekket av et 20-30 cm tykt torvlag. Avdekkingen startet i øst og gikk mot vest. Torvlaget var enkelte steder vanskelig å skille fra kulturlaget da begge var mørkebrun til sort i farge. Været var også dårlig under avdekkingen, noe som gjorde arbeidet utfordrende. Enkelte steder på lokaliteten ble det derfor liggende igjen noe torv som ble fjernet da området eventuelt ble undersøkt. I sør lå fremdeles de oppgravde massene fra flateavdekkingen i 2013 i form av en synlig jordvoll. Det ble valgt å avdekke inntil denne vollen og ikke de siste meterne inn til de utgravde rutene fra 2013, da det var fare for at dette området var omrotet.

Det var to områder av lokaliteten som ble undersøkt. Hovedundersøkelsen foregikk i vest hvor funnkonsentrasjonen var størst, samt at dette området var eneste flaten på lokaliteten. I

tillegg ble det undersøkt et mindre område i øst på bakgrunn av en steinlegging som lå i dette området. Steinleggingen ble før undersøkelse ansett som potensielt gammel og et mulig gravminne.



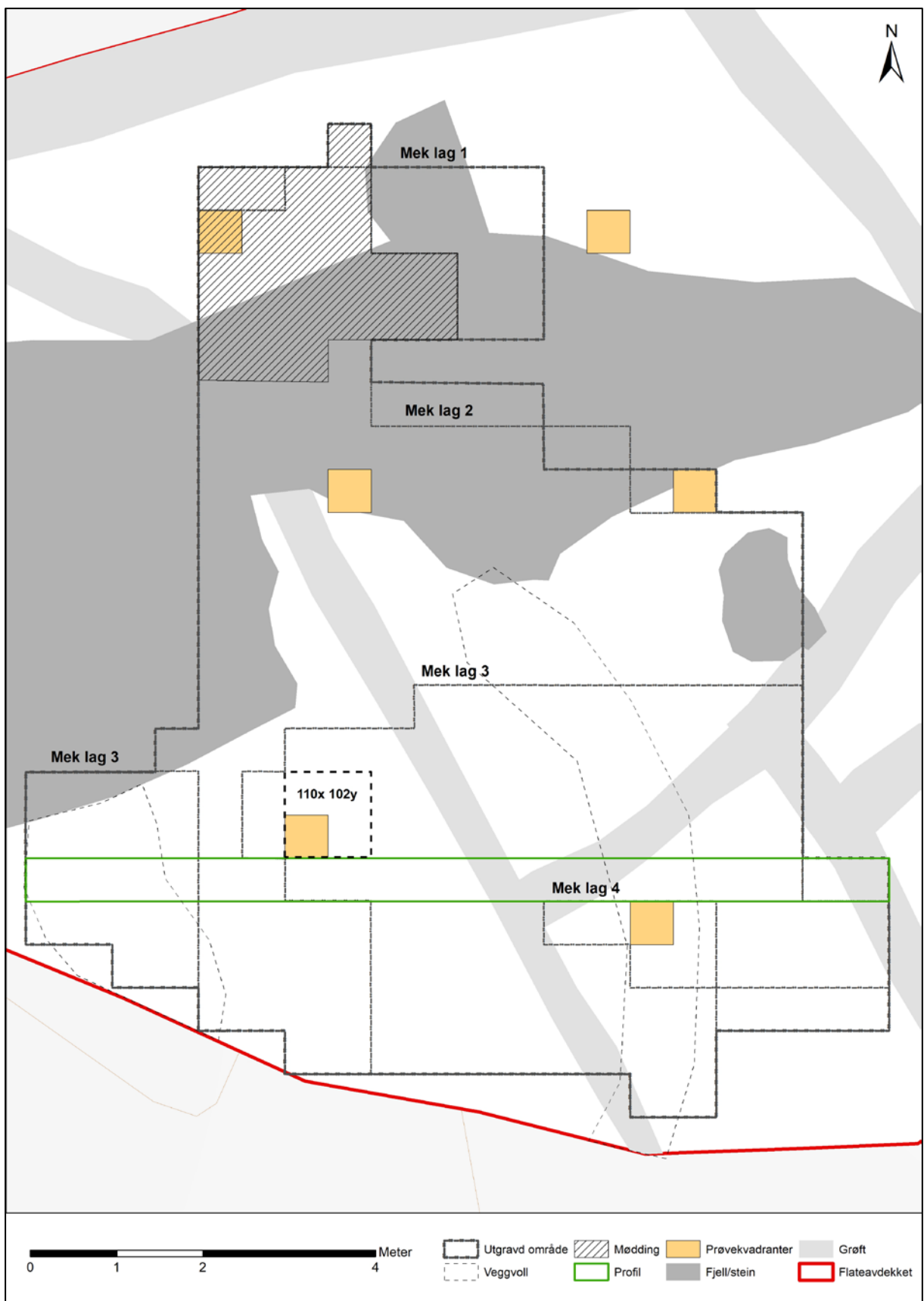
Figur 14: Oversiktskart over Korsmyra 1. Kart: Hanne Bryn, NTNU Vitenskapsmuseet.

Utgravde lag vest/hovedundersøkelse

Hovedundersøkelsen ble gjort vest på lokaliteten. Her var det et flatt område liggende noe i le av en større bergknaus. Området hadde også gjennomgående noe høyere funnhet i prøvekvadrantene enn ellers på feltet. I midlertid var dette området også svært forstyrret av moderne dreneringer i form av steingrøfter. Undersøkelsen av området ble påbegynt med utgangspunkt i prøvekvadrant 110x 102y SV. Bakgrunnen for dette var at funnkonsentrasjonen var betydelig høyere i denne prøvekvadranten enn ellers på feltet, samt det ble gjort funn av beinharpun i lag 2 (T27311:1905). Før utgravingen av lag 1 ble påbegynt, ble det satt ut en profilbenk i øst-vest retning over området som var planlagt utgravd. Dette for å kunne se eventuelle lagskiller i kulturlaget samt for innsamling av prøver mot slutten av utgravingen.

Mekanisk lag 1

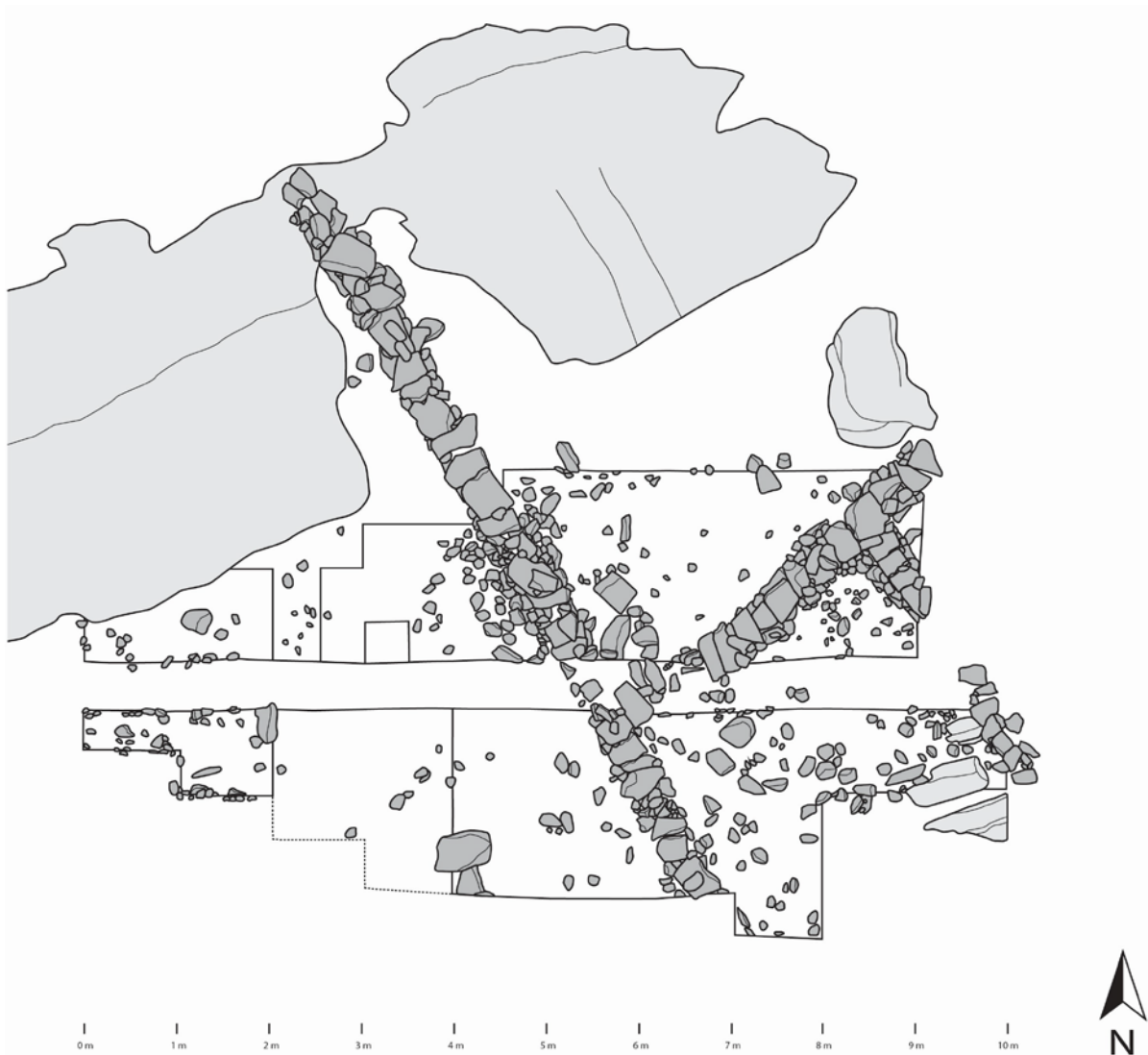
Mekanisk lag 1 hadde en total utstrekning på 69 m². Undersøkelsen startet i det den sørlige delen av området og bevegde seg nordover, hvor det kom det frem berg rett under kulturlaget. Dette berget hellet bratt nedover mot nord og kulturlaget var her tykt og rikt. Den helt nordre delen av mekanisk lag 1 lå på nedsiden av dette berget og funnmaterialet i dette området bestod av en stor mengde beinfragmenter samt flere knekte pilspisser av skifer, sammen med en stor andel flint. De utgravde kvadrantene helt i nord bar preg av å være en mødding. Da lag 1 var ferdig undersøkt var det kommet frem antydninger til steinvoller rundt en ryddet flate i den sørlige delen av utgravningsområdet.



Figur 15: Oversikt over alle utgravde lag vest på Korsmyra 1. Kart: Hanne Bryn, NTNU Vitenskapsmuseet.



Figur 16: Rentegning av mekanisk lag 1 (over) og mekanisk lag 2 (under). Tegnet av: Hanne Bryn, NTNU Vitenskapsmuseet.



Figur 17: Rentegning av mekanisk lag 3. Tegnet av: Hanne Bryn, NTNU Vitenskapsmuseet.

Mekanisk lag 2

Mekanisk lag 2 hadde en utbredelse på $63,75 \text{ m}^2$ og var med dette omtrent like stort som lag 1. De nordøstre kvadrantene ble ikke undersøkt ytterligere da det kun var berg her. På grunn av at undersøkelsen av lag 1 viste antydninger til en ryddet flate med steinvoller rundt, endret undersøkelsen derfor strategi og gikk over til en mekanisk-stratigrafisk utgravingsmetode. Det vil si at i de påfølgende lagene kun ble det gravd kulturlag. Kvadranter som ikke inneholdt kulturlag ble ikke utgravd ytterligere. Det ble også klart at den sterile grunnen under kulturlaget hadde få eller ingen funn. Innenfor denne mekanisk-stratigrafiske metoden ble likevel ingen kvadranter gravd dypere enn 10 cm pr. lag.

I løpet av undersøkelsen av lag 2 ble det synlig et tynnere kulturlag i den sørlige delen området, da spesielt sør og øst for den store bergknausen. Innenfor dette området ble det på lik linje med mek. lag 1, også observert svært lite stein. Antydningene til steinvoller ble også svært tydelig etter undersøkelse av lag 2. Disse koncentrasjonene utgjorde en større steinmengde enn den naturlige spredningen av stein på feltet. Kulturlaget var også dypere under steinvollene enn på midten av feltet. Den forhøyede funnmengden innenfor det ryddede området ble også observert i lag 2.

Mekanisk lag 3

Mekanisk lag 3 hadde en utstrekning på 29,75 m². Lag 3 ble gravd i to områder; ett mindre område sør for bergknausen lengst vest i utgravningsområdet, samt et større felt i de sentrale deler. Lag 3 strakk seg ikke over bergknausen i nord, ned mot møddingen. Det ble fokusert på å undersøke de resterende områdene med kulturlag samt videre utgraving av den ryddede flaten. Det var gjennomgående mindre funn i lag 3, men fortsatt en forhøyet funntetthet i de sentrale delene. Ved starten av lag 3 var det kun et tynt kulturlag igjen i sentrale delene av undersøkelsesområdet, og flere steder var det ikke tykkere enn 5 cm. Da undersøkelsen av lag 3 var ferdig var kulturlaget helt fjernet innenfor den ryddede flaten.

Mekanisk lag 4

Det ble undersøkt et mindre område som mekanisk lag 4. Dette laget målte 1,5 m² og lå sørøst i det utgravde området, sør for profilbenken. Det ble observert et lagskille her etter graving av lag 3 som var mørk og fettet. Laget inneholdt lite litisk materiale og ble ikke prioritert videre på grunn av tidspress.

Utgravd lag øst

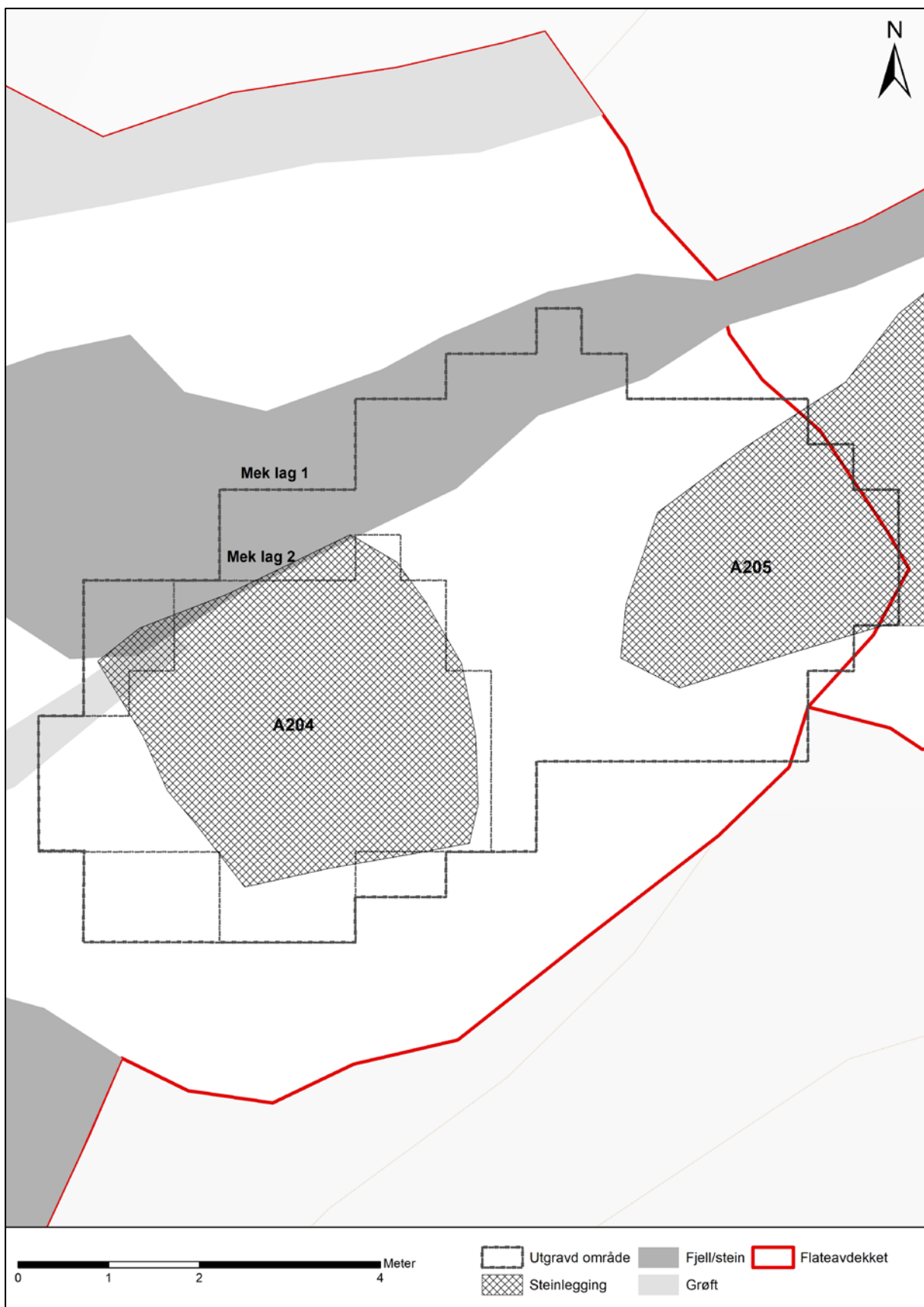
Under flateavdekkingen kom det frem to steinlegginger øst på lokaliteten, A204 og A205. A204 bestod av rundkuppel og var 3,5 m i diameter, mens A205 fortsatte ut av feltet i øst og bestod av flate steinheller som var sirlig nedlagt. Det ble gjort enkelte flintfunn under opprensing samt noen få metallfunn. Det var usikkerhet om massene som lå over steinleggingene var torv eller kulturlag, da begge var mørk i farge. På grunn av usikkerhet rundt anleggene og deres funksjon, samt massene som lå over, ble området utgravd som mekanisk lag 1. På denne måten fikk vi kontroll på eventuelle funn i området.

Ettersom A205 ikke hadde noen avgrensning, ble det bestemt å utvide feltet mot øst for å finne avgrensningen på steinleggingen. Området ble utvidet i to omganger; 01. september og 12. september. Ved første utvidelsen var været svært dårlig og det var mye nedbør. Dette gjorde arbeidet utfordrende og det var svært vanskelig å se hvor steinleggingen sluttet. Da opprensingen av området var ferdig påfølgende dag, ble det klart at vi ikke hadde nådd enden, og feltet måtte utvides ytterligere. Etter andre omgang med avdekking ble enden nådd. Området bestod av flate heller og målte 12,5 x 4,5 m. Det ble anlagt en sjakt som målte 1 x 5 m gjennom midten av steinleggingen og anlegget ble avskrevet. Over steinleggingen var det kun torv, og under var det en fordypning i berget med noe kulturlag. Det ble konkludert med at A205 var en moderne konstruksjon som var lagt ned som en drenering over berg.

A204 bestod av rundkuppel og skilte seg fra A205. På grunn av konstruksjonens utseende og oppbygging ble den tolket som et mulig gravminne. Anlegget ble undersøkt ved å fjerne alle steinene i flate. Det ble raskt klart at det kun dreide seg om ett lag Stein og at flere av disse lå over en av steingrøftene som var synlig på lokaliteten. Det ble også funnet kulturlag under steinleggingen. A204 ble, på lik linje med A205, tolket som en moderne konstruksjon og avskrevet.



Figur 18: Steinlegginger på Korsmyra 1. Over: Steinlegging A204 etter graving av mekanisk lag 1 i den østre delen av lokaliteten (Da61856_016). Foto: Hanne Bryn, NTNU Vitenskapsmuseet. Under: Dronefoto av steinlegging A205 sett mot sør, Da61856_037. Foto: Raymond Sauvage, NTNU Vitenskapsmuseet.



Figur 19: Oversikt over kontekster og utgravde lag øst på Korsmyra 1. Kart: Hanne Bryn, NTNU Vitenskapsmuseet.

Det ble gravd 2 mekaniske lag i området til hvor A204 hadde ligget. Dette ble gjort som en måte å undersøke andre områder på lokaliteten, litt utenfor hovedområdet. Dessuten var det dager da hovedområdet ikke kunne graves på grunn av stor nedbør eller pågående dokumentasjon. Lag 1 omfattet massen over/mellom og rundt steinleggingene, mens lag 2 omfattet kulturlaget under A204 etter at den var fjernet. Kulturlaget i dette området var tynt da det lå rett på berg, men enkelte områder var likevel funnrike, spesielt de vestligste kvadrantene. Det utgravde området lå i svak vestvendt helling ned mot hovedområdet. Metallfunnene i lag 1 var kun spor etter moderne aktivitet.

Tuft

Vest på lokaliteten ble det gjort observasjoner som tydet på at det her har stått en boligkonstruksjon (A232). Området lå på en liten flate omringet av en forhøyning i sør og lave bergpartier mot nord. Her ble det observert en ryddet flate på om lag 5 x 4 m som var omringet i øst og vest av det som kan karakteriseres som lave steinvoller. Steinfullene besto av en blanding av kulturlag og stein, hvor steinene varierte i størrelse, fra nestestore til ca. 30 cm i diameter. Strukturens størrelse inkludert steinvollene var ca. 7x7 m. Innenfor vollene var det mellom 10-20 cm med kulturlagsavsetninger. Steinfullene lå dypere i grunnen enn den ryddede flaten, og inneholdt lite funn i forhold til områdene innenfor og utenfor.

Ved utgraving skilte dette området seg ut ved at det stort sett var steinfritt og at kulturlaget var tynnere her enn ellers på lokaliteten. De høyeste funnkonsentrasjonene lokaliteten lå innenfor dette området, da både av litisk og osteologisk funnmateriale. Innenfor tuften lå også den mest funnrike prøvekvadranten på feltet, 110x 102y SV.

Det ble ikke gjort observasjoner av stolpehull, ildsted eller andre nedgravde strukturer i forbindelse med boligkonstruksjonen. Eventuelle stolpehull kan ha vært nedgravd i kulturlaget, men at dette ikke ble observert på grunn av vansker med å identifisere fyllskifter i kulturlaget. Laget inneholdt en del trekull som viste at det har foregått brenning på lokaliteten, noe som også gjenspeiles i at mer enn 90% av det samlede flintmaterialet var brent (se punkt 4.1. for utredning om funnmaterialet). Mangel på direkte fysiske spor etter ildstedet kan dermed indikere at det ble ryddet etter hver okkupasjon av flaten.

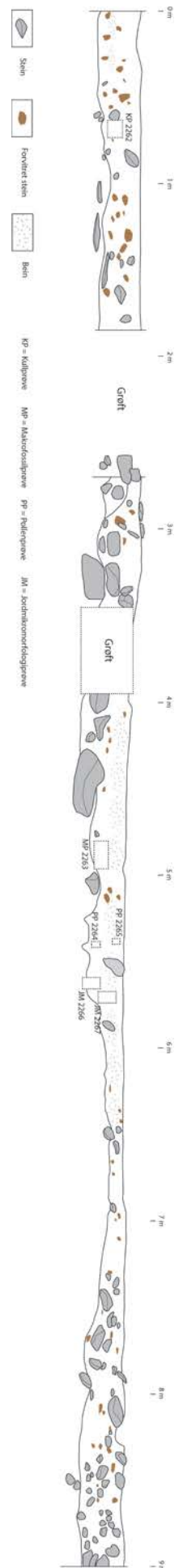
Mødding

Et fremtredende område på lokaliteten var de nordligste rutene innenfor hovedområdet, hvor det var synlig store mengder bein i overflaten etter avdekking. Området lå på kanten av det nordre bergpartiet, før det ble betydelig dypere helt i nord av det utgravde området. Etter utgraving ble dette området betegnet som en mødding (A233).

Prøvekvadranten som ble gravd 1 m på utsiden av hovedområdet ble gravd helt ned til lag 4 før det støtte på berg, noe som tilsvarer en dybde på 40 cm. Kvadranten hadde til sammen 124 litiske funn med beinmateriale helt nede på lag 3 og 4. De utgravde kvadrantene innenfor møddingen kom ned på berg etter lag 2. Kulturlagsforekomsten her var kraftig og hadde fylt ut det naturlige terrenget på en betydelig større måte enn oppå flaten. Laget var her tett og homogent mørkt, på lik linje med ellers på flaten. I overgangen mellom berg og nedsiden i nord ble det funnet en større mengde bein. Konsentrasjonen av flint var også stor i dette området, sammen med at det ble funnet flere knekte skiferspisser innenfor et lite område.



Figur 20: Over: Oversiktsbilde av hovedområdet på Korsmyra 1 etter ferdig utgravd mekanisk lag 2, Da61856_019.
Under: Detaljfoto av beinkonsentrasjon i profilbenken innenfor tuften på Korsmyra 1, Da61856_032. Foto: Hanne Bryn, NTNU Vitenskapsmuseet.



Figur 21: Rentegning profilbenk nordre side (profil 2525). Tegnet av: Hanne Bryn, NTNU Vitenskapsmuseet.

Figur 22: Rentegning profilbenk søndre side (profil 2524). Tegnet av Hanne Bryn, NTNU Vitenskapsmuseet.

3.2. Korsmyra 2

Museumsnummer: T27310

Askeladden ID: 170795

Høyde: 11-13 moh.

Datering: BC 9117-8639

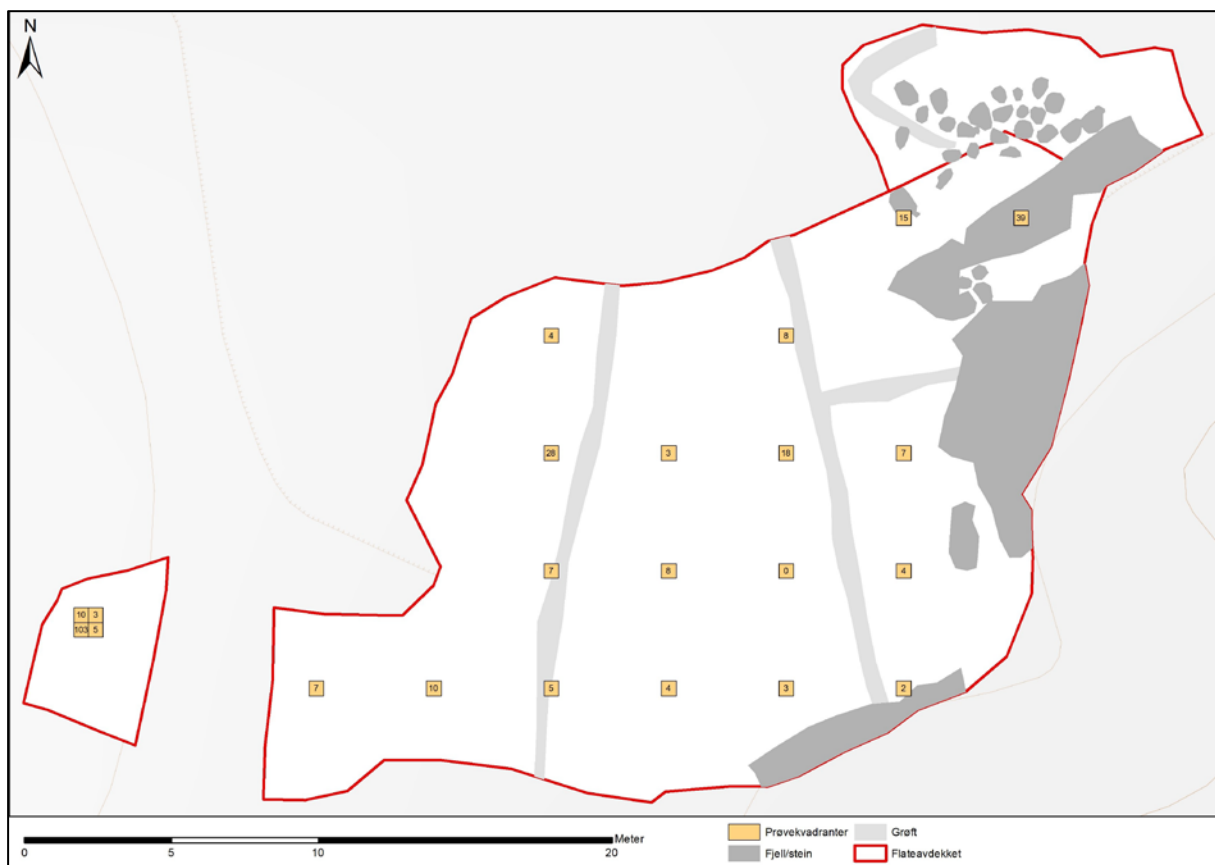
Avdekt areal: 471 m²

Utgravd areal: 48,5 m²

Utgravd kubikk: 4,85 m³

Antall strukturer: 2

Antall funn: 8359



Figur 23: Kart over prøvekvadranter på Korsmyra 2. Antall funn markert i hver kvadrant. Kart: Hanne Bryn, NTNU Vitenskapsmuseet.

3.2.1. Prøvekvadranter

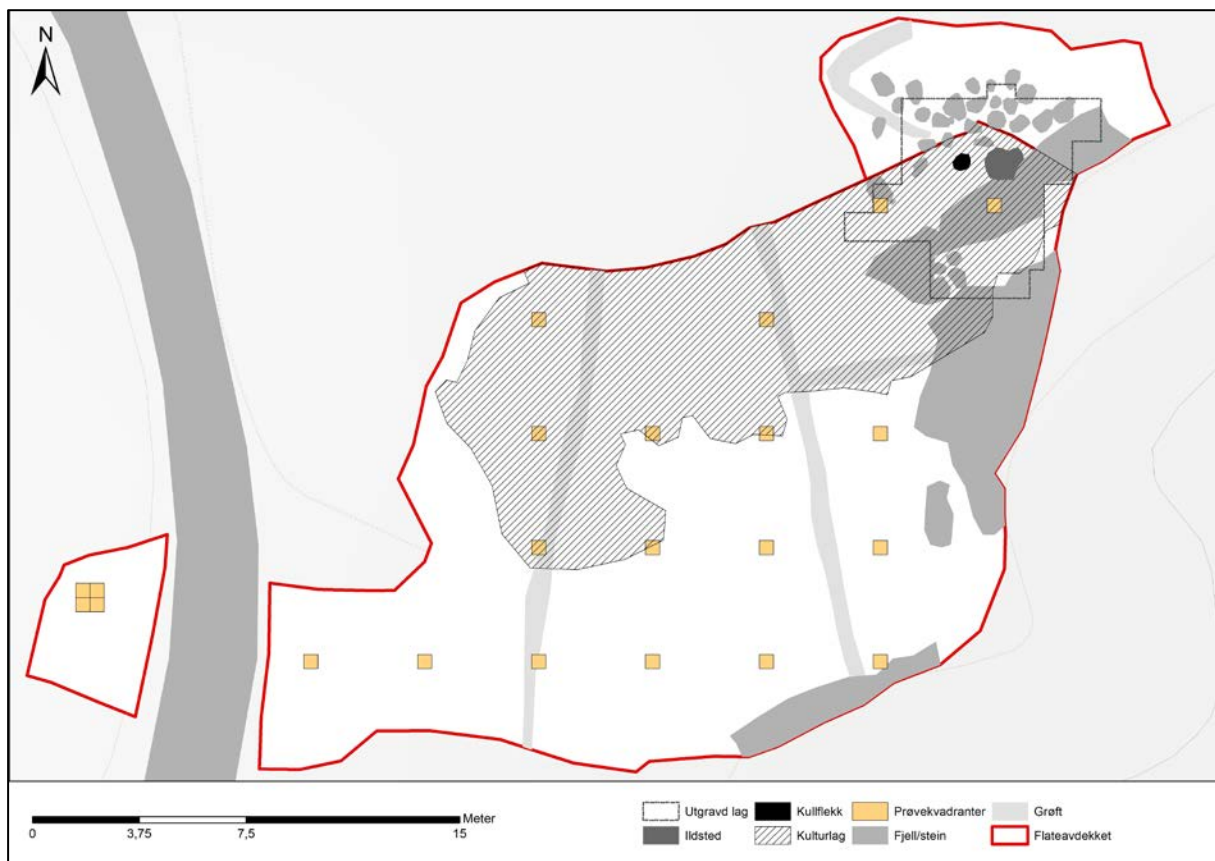
Korsmyra 2 lå i svakt hellende terrenget mot nord og med berg i dagen i øst og sør. Da flateavdekkingen startet ble det klart at undergrunnen på lokaliteten bestod av nevestor rullestein og det var lite jord generelt. Avdekkingen viste også et tynt kulturlag (A206) som lå over deler av lokaliteten, hovedsakelig over den nordre halvdelen. Dette kulturlaget var til

forskjell fra laget på Korsmyra 1 svært tynt og det var vanskelig å ikke å rive det med under flateavdekkingen.

Det ble gravd prøvekvadranter over hele lokaliteten med samme spredning som for Korsmyra 1, med unntak av den lille delen av lokaliteten som lå vest for gårdsveien. Dette området målte 20 m² og det ble her gravd en hel prøverute. Kvadrantene NV, NØ og SØ ble gravd i ett lag (10 cm), mens SV-kvadranten ble gravd gjennom alle funnførende lag.

Under gravingen av prøvekvadrantene ellers på lokaliteten ble det klart at det tynne kulturlaget i nord ikke var særlig funnførende. Det ble likevel funnet en liten mengde løsfunn av skarp flint samt kvarts spredt utover lokaliteten som antas å stamme fra dette kulturlagets aktivitetsfase.

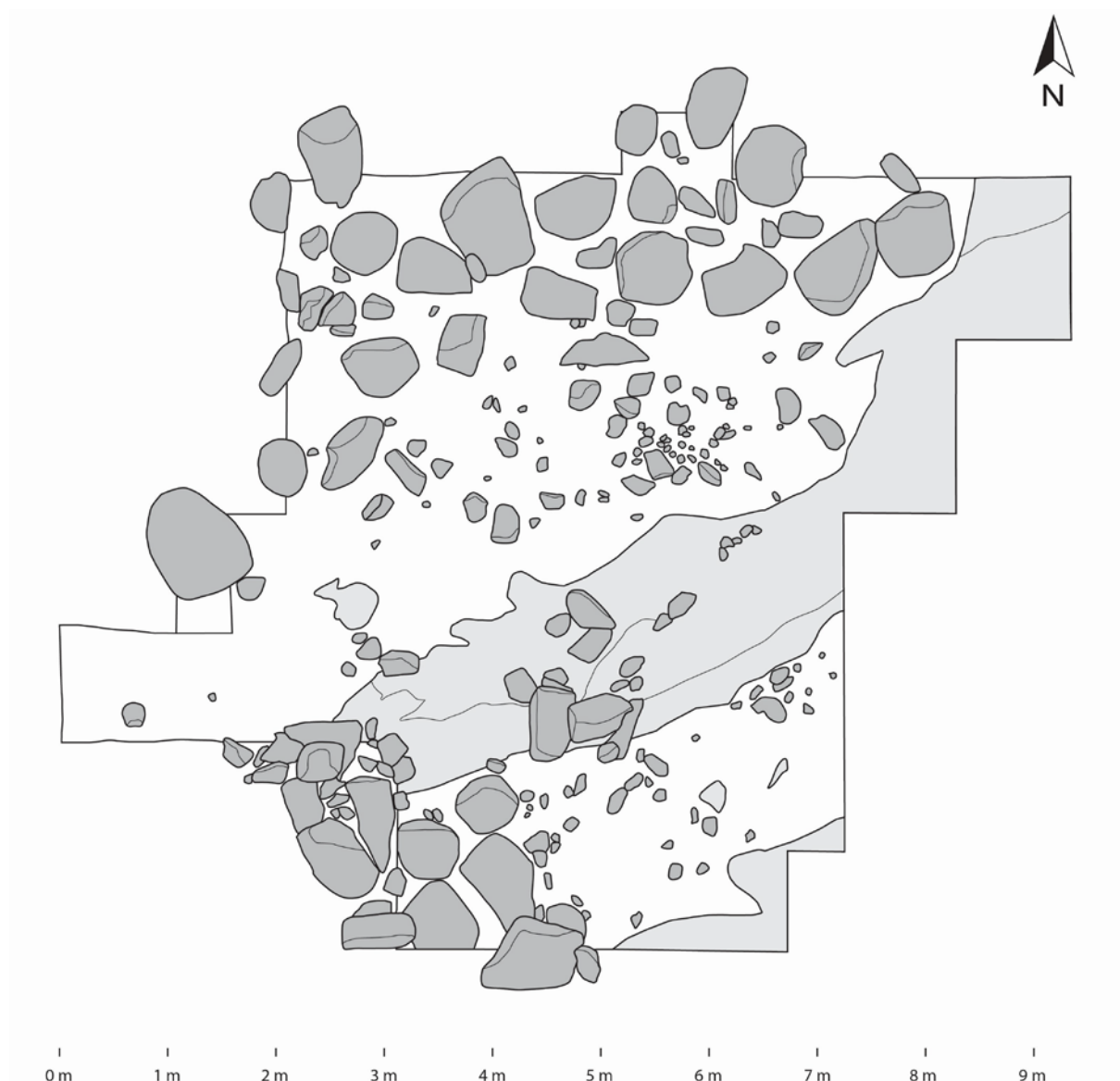
Antall funn samt typen funn i prøvekvadrantene lå til grunn for hvilke områder som skulle undersøkes. På Korsmyra 2 var en stor del av funnene i prøvekvadrantene vannrullede og hovedsakelig naturlig strandflint. I tillegg lå funnene ofte svært dypt da de var blitt vasket ned gjennom rulleteinlagene over tid. Prøvekvadrantene viste et mindre område med ikke vannrullet flint i det nordvestre hjørnet av feltet. Området her bestod av finkornet sand over grunnfjell. Hele lokaliteten lå på mellom 11-13 moh., mens funnområdet som ble utgravd lå på 11,8 m. Størstedelen av lokaliteten lå på baksiden av en strandvoll som hadde en maksimal høyde på 13,3 moh. Strandlinjekurven (se figur 4) viser at tapes maksimum for Bud er ca. 13 moh. (Bjerck *et al.* 2008; Svendsen & Mangerud 1987). Transgresjonen i området startet omkring 8500 BP, midt i mellomesolitikum og nådde maksimum mellom 6500-6000 BP, som tilsvarer midt i senmesolitisk tid. Ut i fra høyden over havet vil lokalitetens brukstid trolig ha vært før eller etter transgresjonen, da enten i første del av tidligmesolitikum eller siste del av senmesolitikum. Det arkeologiske materialet i de utgravde områdene på Korsmyra 2 lå i fin sand, rett under torvdekket, og bar ikke preg av å ha blitt begravd i sedimentene.



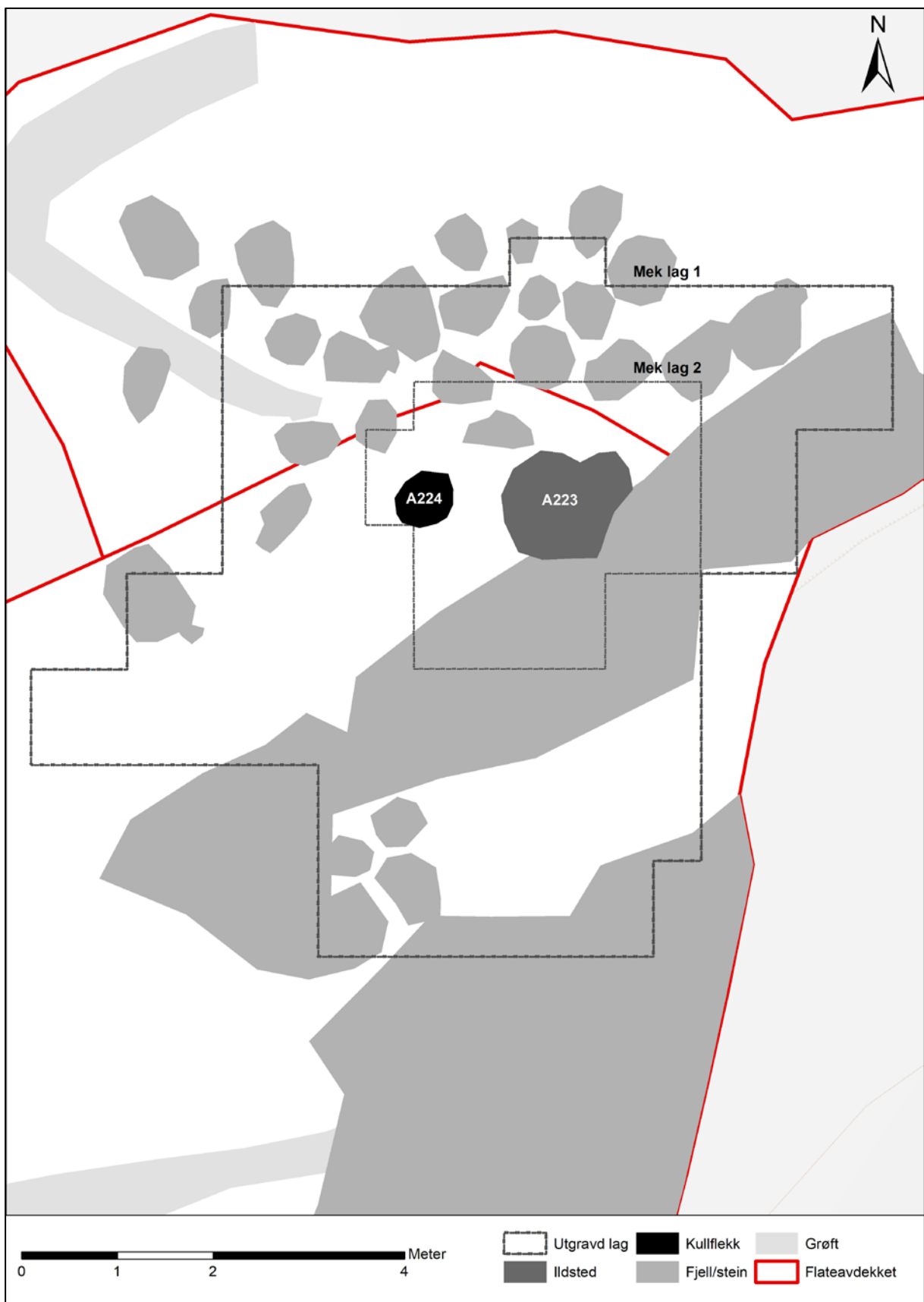
3.2.2. Utgravd område

Mekanisk lag 1

Funnområdet var konsentrert i det nordøstre hjørnet av lokaliteten. Her var det en forhøyet funntetthet enn ellers på feltet. Lag 1 ble gravd ut i fra prøvekvadrant 220x 229y SV. Herifra økte funnmengden mot nord. Etter endt undersøkelse hadde laget en utbredelse på til sammen 40,5 m². De sørligste delene av laget hadde få funn og lå inn mot berg. Lagets sentrale deler viste den største funntettheten, hvor på ruten 220x 229y markerte den sørlige utkant av funnkonsentrasjonen. I området med høyest funntetthet ble det observert en steinkonstruksjon som ble tolket som mulig ildsted (A223). Området nordover mot feltgrensen var svært funnrike, noe som resulterte i at feltet ble utvidet ut i sikringssonen i nordøst. Området i denne utvidelsen viste seg å være svært steinet og i tillegg var det anlagt en moderne dreneringsgrøft her, av samme konstruksjon som på Korsmyra 1. Funnkonsentrasjonen avtok raskt i det utvidede området, og etter en utstrekning på kun 1 m var det nesten funntomt. Den høyeste konsentrasjonen av funn lå innenfor om lag 9 m². Det ble undersøkt godt utenfor denne konsentrasjonen for å fange opp eventuelle andre aktivitetssoner.



Figur 25: Rentegning av mekanisk lag 1 på Korsmyra 2. Tegnet av Hanne Bryn, NTNU Vitenskapsmuseet.



Figur 26: Kart over utgravde lag på Korsmyra 2. Kart: Hanne Bryn, NTNU Vitenskapsmuseet.

Mekanisk lag 2

Utbredelsen av lag 2 var på 7,5 m². Funnmengden var høy og konsentrert innenfor om lag 3 av disse kvadratmeterne, med hovedvekten innenfor A223. Funnkonsentrasjonen avtak raskt utenfor ildstedkonstruksjonen. Kvadrantene rundt ble undersøkt for å sikre at hovedforekomsten av funn var utgravd. Ved undersøkelse av lag 2 kom det frem det som karakteriseres som en kullflekk (A224), om lag 0,5 m vest for ildstedet. Denne kullkonsentrasjonen var ikke synlig i lag 1 eller i topp av lag 2. Den ble derfor ansett som å ha en tilknytning til ildsted A223 og ikke være et resultat av moderne aktivitet som rotbrann eller lignende. Den ville da trolig ha vært synlig i lagene høyere opp. Kvadrant 221 x 228 NV som utgjorde størstedelen av kullflekken ble derfor utgravd i lag 3 for å få ut C¹⁴-prøve (2559). Jordmassene fra denne kvadranten ble tatt med inn til museet hvor det ble sortert ut kull og eventuelle funn i kontrollerte omgivelser. Aktivitetsområdet på Korsmyra 2 ble ansett som totalgravd ved endt undersøkelse.

Lag 2 ble gravd ferdig 28.09.16, men ble ikke dokumentert ved fotogrammetri etter utgraving på grunn av oversvømmelse. Restene av den tropiske stormen Karl skylte inn over Vestlandet med sterk vind og veldig mye regn. Da været bedret seg ble det også betraktelig kaldere, og dette i prosjektets siste to uker. Lag 2 var fylt med vann og da det lå i de lavereliggende områdene av lokaliteten var det svært vanskelig å bli kvitt vannet på grunn av stadig tilsig. Dessuten var det oppsamlede vannet frosset første halvdel av dagen. De store vannmengdene hadde tilført en stor del slam fra lokaliteten så det ikke var mulig å gjenfinne lag 2 da vært bedret seg.

Ildsted

Generelt sett var det utgravde området svært steinet. Det lå berg i dagen sentralt i mekanisk lag 1, og rett nord for dette berget kom det til synne en steinkonsentrasjon (A223). Denne steinkonsentrasjonen lå på det som best kan betegnes som en flate med noe mindre Stein enn ellers og området hadde trolig blitt ryddet. Nord og sør for denne flaten lå det en rekke større steiner. Da disse lå rundt aktivitetsflaten er det nærliggende å tro at disse er blitt benyttet i forbindelse med oppsetting av telt. Hvorvidt disse kan karakteriseres som en teltring eller ikke er vanskelig å si, men at folkene som har hatt tilhold her har satt opp telt, er ganske sikkert.

Steinkonstruksjonen kom frem etter graving av lag 1 og var godt synlig i topp av lag 2. Strukturen målte om lag 1 x 1 m og bestod av nevestore steiner med flere større steiner i ytterkant, spesielt i nord og vest. Enkelte større steiner lå også mer sentralt i steinkonsentrasjonen. 0,5 m vest for A223, lå kullkonsentrasjonen A224. Denne strukturen ble tolket til å ha en sammenheng med steinkonsentrasjonen, trolig som utkast eller lignende fra ildstedet. Selve steinpakningen var forskjøvet i forhold til kullkonsentrasjonen. Med bakgrunn i funn fra andre mesolitiske utgravinger ble steinkonsentrasjonen og kullkonsentrasjonen tolket som et ildsted. Eksempelvis ildsted S1 på lok 48 fra Ormen Lange-undersøkelsene hadde en lignende oppbygging, samt at steinpakningen også her lå forskjøvet fra kullet (Bjerck *et al.* 2008:222-223). Det undersøkte områdets største funnkonsentrasjoner lå i og over ildsted A223, hvorpå størsteparten lå over steinlaget. Steinene i steinpakningen var ikke synlig varmepåvirket. De var ikke krakelert eller oppsprukne, men har nok blitt moderat varmepåvirket. Hovedvekten av den brente flinten fra lokaliteten ble funnet i eller rett på utsiden av A223, mens andelen brent flint i A224 var betraktelig lavere. Denne høye andelen brent flint indikerer at steinkonstruksjonen også var brent uten at det var synlig i særlig grad.



Figur 27: Foto og rentegning av ildsted A223. Fotografert etter utgraving av mekanisk lag 1, Da61856_026. Foto: Michał Adamczyk, NTNU Vitenskapsmuseet. Rentegning: Hanne Bryn, NTNU Vitenskapsmuseet.

4. Funnmateriale

Det totale litiske materialet fra Korsmyra var på 35219 enkeltobjekter, hvorav 26861 ble funnet på Korsmyra 1 og 8358 ble funnet på Korsmyra 2. I tillegg ble det på Korsmyra 1 utgravd 247 kontekster som inneholdt osteologisk materiale, som til sammen utgjorde 2,14 kg. Det ble til sammen tatt ut 11 trekullprøver, og brente hasselnøttskall fra 25 kontekster.

4.1. Korsmyra 1

Av funnmaterialet på Korsmyra 1 var flint det helt klart dominerende råstoffet og utgjorde 97,4 % av det totale litiske materialet fra lokaliteten. En svært stor andel av denne flinten var varmepåvirket, og en stor del var også til dels svært hardt brent. Funnmaterialet viste at det er blitt utført prosesser her som har resultert i at 92,4 % av det samlede flintmaterialet er blitt brent, og den varmepåvirkede flinten var spredt over hele lokaliteten. Når det gjelder vannrullet materiale ligger dette innenfor normalen, da normalen ansees for å være 10 %. For Korsmyra 1 var kun 2 % av det litiske materialet vannrullet. Tabellen under viser prosentvis fordeling av brent og vannrullet flint i de ulike lagene.

Av andre råstoffer utgjorde kvarts 1,15 % av materialet, mens skifer var det tredje vanligste råstoffet med 0,41 % av den totale funn mengden.

| Mek. Lag | Antall funn | Antall brent | % brent | Antall vannrullet | % vannrullet |
|----------|-------------|--------------|---------|-------------------|--------------|
| Lag 1 | 16834 | 15687 | 93,1 % | 286 | 1,6 % |
| Lag 2 | 8179 | 8019 | 98 % | 164 | 2 % |
| Lag 3 | 897 | 869 | 96,8 % | 87 | 9,6 % |

Figur 28: Tabell over spredning av flint, brent og vannrullet i de ulike lagene.

Funnmaterialet representerte elementer som forbinder med neolitikum, da spesielt gjenstander av slipt skifer. Flintmaterialet var generelt hardt redusert ved bruk av bipolar teknikk, noe som sees i et svært stort avslagsmateriale samt høy andel bipolare kjerner. Lokaliteten hadde ingen klare funnkonsentrasjoner, da funnmengden var høy over hele feltet. Det var likevel mulig å skille ut soner da enkelte områder var noe mer funnrike enn andre. Rik funnmengde sammen med et tykt kulturlag viser at Korsmyra 1 er en lokalitet som har sett gjentagende bruk i lang tid.

| Funnliste for Korsmyra 1 (T27311) | | | |
|-----------------------------------|---------------------------|--------------|--------|
| Kode | Klassifiseringsbetegnelse | Råstoff | Antall |
| | Flekke | | |
| 0111 | Makroflekke | Flint | 9 |
| 0112 | Medioflekke | Flint | 31 |
| 0112 | Medioflekke | Kvartsitt | 1 |
| 0113 | Mikroflekke | Flint | 67 |
| | Avslag | | |
| 012 | Avslag | Flint | 24643 |
| 012 | Avslag | Kvarts | 297 |
| 012 | Avslag | Bergkrystall | 32 |
| 012 | Avslag | Kvartsitt | 65 |
| 012 | Avslag | Skifer | 20 |
| 012 | Avslag | Chert | 1 |
| 012 | Avslag | Sandstein | 24 |

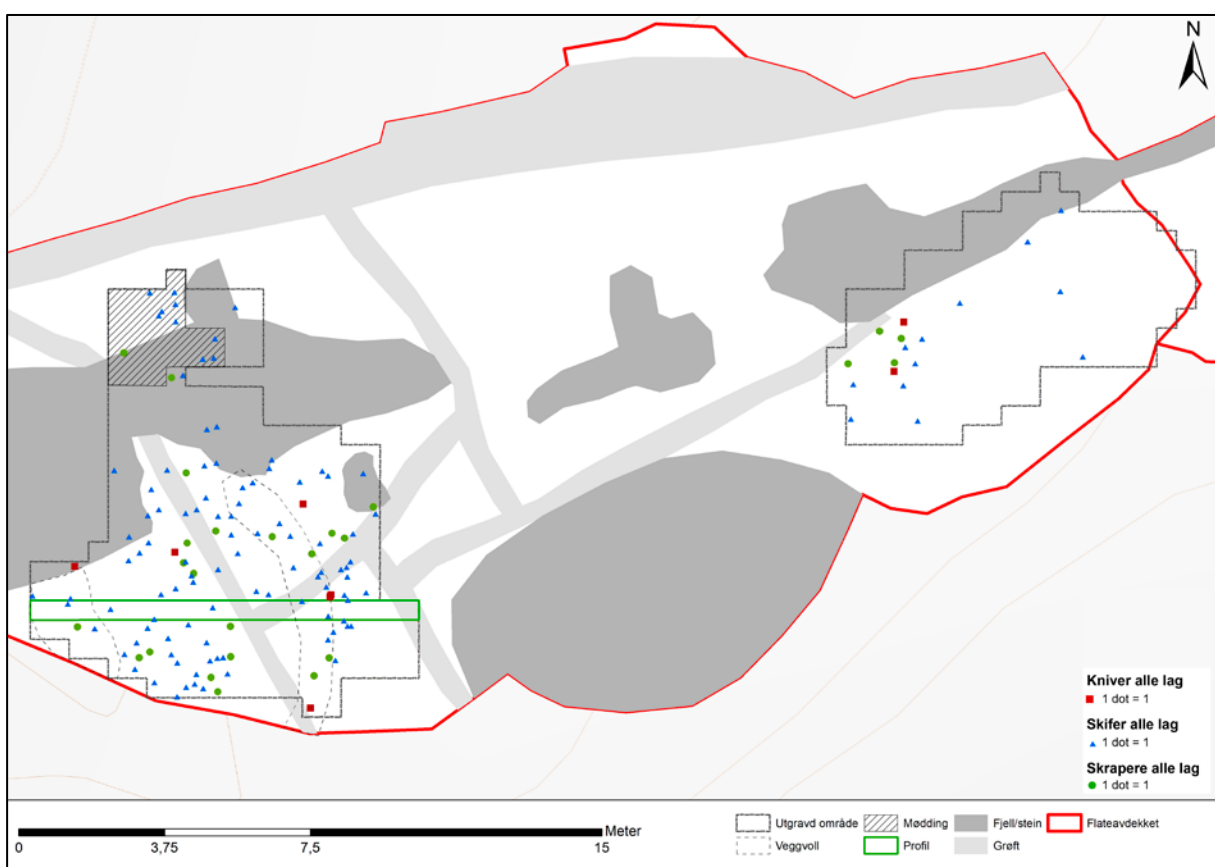
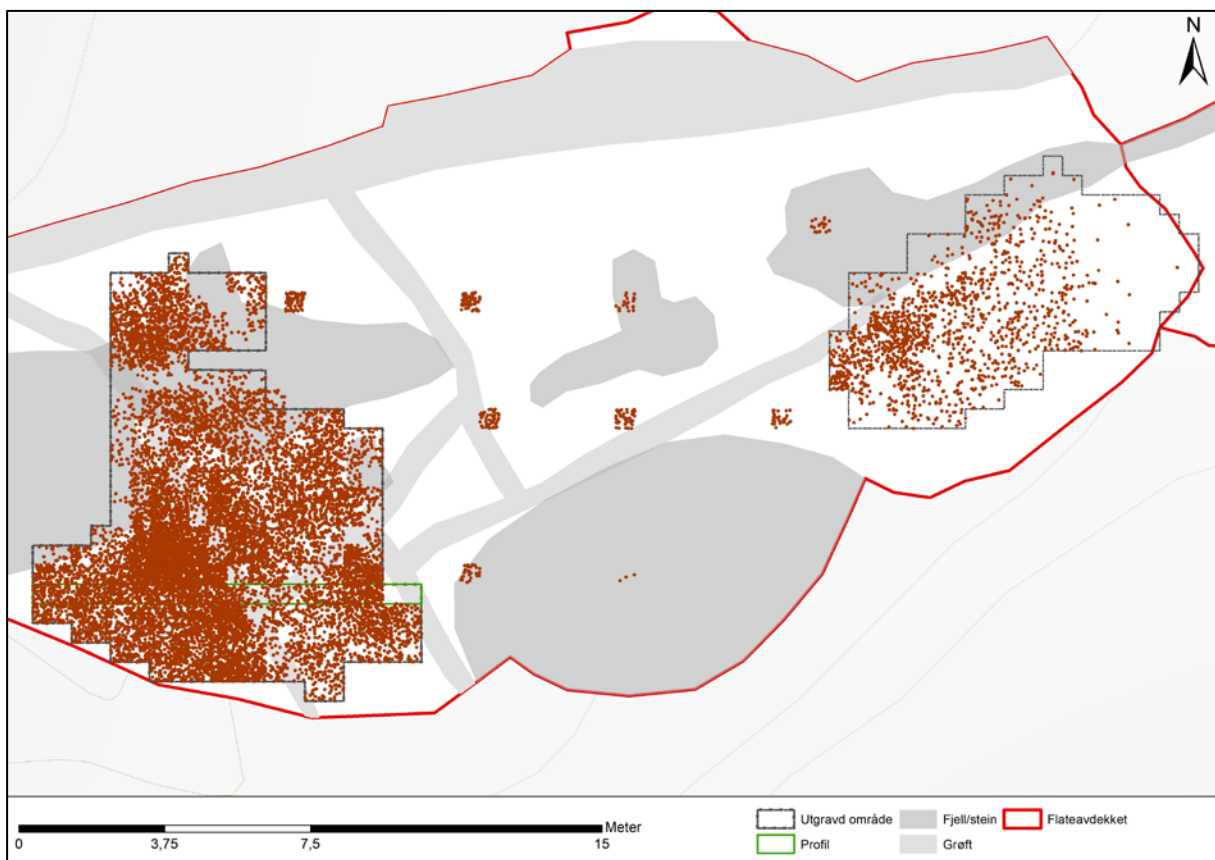
| | | | |
|---------------------------|---|--------------|-----|
| 012 | Avslag | Diabas | 1 |
| 012 | Avslag | Bergart | 23 |
| 01211 | Makroavslag med bruksspor | Flint | 9 |
| 01211 | Makroavslag med bruksspor | Kvartsitt | 2 |
| 01211 | Makroavslag med bruksspor | Bergart | 1 |
| 01221 | Medioavslag med bruksspor | Flint | 229 |
| 01221 | Medioavslag med bruksspor | Bergkrystall | 1 |
| 01221 | Medioavslag med bruksspor | Kvartsitt | 2 |
| 01221 | Medioavslag med bruksspor | Chert | 1 |
| 01231 | Mikroavslag med bruksspor | Flint | 4 |
| 0124 | Fragment | Flint | 1 |
| 0124 | Fragment | Skifer | 3 |
| Diagnostisk avslag | | | |
| 0130 | Cortexflekke | Flint | 14 |
| 0131 | Flekkelignende avslag | Flint | 4 |
| 0132 | Hengselflekke | Flint | 4 |
| 0134 | Avslag av slipt gjenstand | Skifer | 13 |
| 0134 | Avslag av slipt gjenstand | Sandstein | 5 |
| 0134 | Avslag av slipt gjenstand | Bergart | 2 |
| 0136 | Avslag fra skraperproduksjon | Flint | 1 |
| 01361 | Skrapereggoppkjøring | Flint | 4 |
| Kjerne | | | |
| 0216 | Bipolar kjerne | Flint | 388 |
| 0216 | Bipolar kjerne | Kvarts | 4 |
| 0216 | Bipolar kjerne | Bergkrystall | 4 |
| 0218 | Ubestemt kjerne | Flint | 9 |
| 0218 | Ubestemt kjerne | Kvarts | 1 |
| 02181 | Ubestemt kjerne med én plattform | Flint | 2 |
| 02182 | Ubestemt kjerne med flere plattformer | Flint | 3 |
| 02182 | Ubestemt kjerne med flere plattformer | Kvarts | 2 |
| 02182 | Ubestemt kjerne med flere plattformer | Bergkrystall | 1 |
| 02183 | Ubestemt mikroflekkekjerne med én plattform | Flint | 1 |
| 0219 | Forarbeid til kjerne | Flint | 1 |
| Kjernefragment | | | |
| 0221 | Bipolart kjernefragment | Flint | 397 |
| 0221 | Bipolart kjernefragment | Kvarts | 5 |
| 0221 | Bipolart kjernefragment | Bergkrystall | 4 |
| 0221 | Bipolart kjernefragment | Kvartsitt | 2 |
| 0222 | Plattformkjernefragment | Flint | 1 |
| 0224 | Ubestemt kjernefragment | Flint | 6 |
| Øks | | | |
| 03111 | Firesidig bergartsøks | Sandstein | 1 |
| 03111 | Firesidig bergartsøks | Diabas | 1 |
| 03111 | Firesidig bergartsøks | Bergart | 1 |
| Meisel | | | |
| 032 | Meisel | Sandstein | 1 |
| 0325 | Firesidig bergartsmeisel | Sandstein | 2 |

| | | | |
|--------|---|-----------|-----|
| | Kniv | | |
| 0432 | Tveegget skiferkniv | Skifer | 1 |
| 04351 | Halvmåneformet kniv med rettslipt egg | Sandstein | 1 |
| 04354 | Ubestemt platekniv | Sandstein | 2 |
| 04372 | Flekkekni på brudd | Flint | 2 |
| 04381 | Kniv med konveks retusj og skarp sidekant | Flint | 3 |
| 04382 | Annen avslagskniv | Flint | 3 |
| | Pilspiss | | |
| 05111 | Slipt pilspiss | Skifer | 6 |
| 051111 | Slipt pilspiss med spissovalt bladsnitt | Skifer | 5 |
| 051112 | Slipt pilspiss med rombisk bladsnitt | Skifer | 46 |
| 051114 | Slipt pilspiss med triangulært bladsnitt | Skifer | 1 |
| 051117 | Slipt pilspiss med ubestemt bladsnitt | Skifer | 5 |
| | Spydspiss | | |
| 0522 | Slipt spydspiss | Bergart | 1 |
| | Skraper | | |
| 06121 | Endeskrapa på fleske | Flint | 1 |
| 06122 | Endeskrapa på avslag | Flint | 5 |
| 0616 | Ubestemt skraper | Flint | 20 |
| | Retusjert avslag | | |
| 06211 | Makroavslag med rett retusj | Flint | 1 |
| 06212 | Makroavslag med konkav retusj | Flint | 2 |
| 06213 | Makroavslag med annen retusj | Flint | 5 |
| 06214 | Makroavslag med hakk | Flint | 1 |
| 06221 | Medioavslag med rett retusj | Flint | 62 |
| 06221 | Medioavslag med rett retusj | Kvartsitt | 1 |
| 06222 | Medioavslag med konkav retusj | Flint | 25 |
| 06223 | Medioavslag med annen retusj | Flint | 144 |
| 06224 | Medioavslag med hakk | Flint | 2 |
| 06225 | Medioavslag med tanning | Flint | 2 |
| 06226 | Medioavalsg med hjørneretusj | Flint | 14 |
| 0623 | Retusjert mikroavslag | Flint | 24 |
| 06241 | Fragment med rett retusj | Flint | 2 |
| 06243 | Fragment med annen retusj | Flint | 6 |
| 06246 | Fragment med hjørneretusj | Flint | 1 |
| | Retusjert fleske | | |
| 06313 | Makrafleske med annen retusj | Flint | 3 |
| 06323 | Mediofleske med annen retusj | Flint | 2 |
| 06333 | Mikrofleske med annen retusj | Flint | 2 |
| | Slipeplate | | |
| 101 | Slipeplate | Bergart | 1 |
| | Knakkestein | | |
| 102 | Knakkestein | Bergart | 6 |
| | Slipestein | | |
| 10321 | Pimpstein med fure | Pimpstein | 44 |
| 10322 | Annen bearbeidet pimpstein | Pimpstein | 31 |
| 1033 | Annen slipestein | Sandstein | 1 |

| | Emne | | |
|-------|------------------------------|------------|--------------|
| 1104 | Spissemne | Kvarts | 1 |
| 1104 | Spissemne | Sandstein | 1 |
| 11061 | Slipt emne med knekkfure | Skifer | 3 |
| 11092 | Ubestemt hugget emne | Skifer | 2 |
| | Fragment | | |
| 1111 | Slipt fragment | Flint | 1 |
| 1111 | Slipt fragment | Skifer | 3 |
| 1111 | Slipt fragment | Sandstein | 2 |
| 1111 | Slipt fragment | Bergart | 1 |
| | Fiskekrok | | |
| 121 | Fiskekrok | Bein | 1 |
| | Harpun | | |
| 122 | Harpun | Bein | 1 |
| | Søkke | | |
| 1312 | Garnsøkke | Bergart | 1 |
| | Ukjent | | |
| 14152 | Ukjent slipt gjenstand | Skifer | 3 |
| | Prøve | | |
| 1501 | Trekullprøve | Trekull | 10 |
| | Osteologisk materiale | | |
| 161 | Osteologisk materiale | Bein | 1 |
| 1611 | Brent animalosteologisk | Bein | 246 |
| 1614 | Ubrent animalosteologisk | Bein | 7 |
| | Nøtteskall | | |
| | Brent nøtteskall | Nøtteskall | 19 |
| | Knoll | | |
| 181 | Knoll | Flint | 6 |
| | Sum | | 27144 |

Figur 29: Funnliste for Korsmyra 1 (T27311).

| Råstoffordeling | |
|------------------------|---------------|
| Råstoff | Antall |
| Bein | 249 |
| Bergart | 37 |
| Bergkrystall | 42 |
| Chert | 2 |
| Diabas | 2 |
| Flint | 26168 |
| Kvarts | 310 |
| Kvartsitt | 73 |
| Nøtteskall | 19 |
| Pimpstein | 74 |
| Sandstein | 40 |
| Skifer | 111 |
| Tann | 7 |
| Trekull | 10 |



Figur 30: Funnspredningskart over Korsmyra 1. Over: Spredning av alle funn i alle lag. 1 dot = 1 funn. Under: Spredning av utvalgte gjenstandskategorier i alle lag. Kart: Hanne Bryn, NTNU Vitenskapsmuseet.

Flint

Funnmengden på Korsmyra 1 var stor. Av det samlede gjenstandsmaterialet på 26861, utgjorde avslag 93,4 % av den totale funnmengden, noe som tilsvarer 25106 avslag. Denne avslagsmengden viste at materialet generelt var hardt redusert ved bruk av bipolar teknikk og antallet bipolare kjerner og bipolare kjernefragment er relativt høyt, til sammen 795 gjenstander som utgjorde 2,95 % av det totale materialet. 95,1 % av det totale kjernematerialet var bipolart. Det som sees i kjernematerialet er at de bipolare kjernene dominerer, og det totale fraværet av plattformkjerner. Det er heller ikke katalogisert noen plattformavslag, og kun ett plattformkjernefragment. I det katalogiserte flekkematerialet sees det 9 makroflekker, 32 medioflekker og 67 mikroflekker. Av diagnostiske avslag sees det 14 cortexflekker, 4 flekkelignende avslag og 4 hengselflekker. Til sammen 7 flekker hadde retusj. Trolig er alle flekkene fra lokaliteten bipolare, da ingen kan sies å være klart regulære. Ut i fra materialet er det vanskelig å se om det representerer sluttstadiet i en produksjonsprosess hvor plattformteknikk har inngått.

Skrapere er den gjenstandskategorien som opptrer i størst kvanta. Det ble funnet til sammen 26 skrapere eller fragmenter av skrapere. I tillegg ble det også funnet diagnostiske avslag forbundet med skrapereproduksjon i form av 4 avslag fra skrapereggoppskjerping og 1 avslag fra skrapereproduksjon. 5 av skraperne er endeskaper på avslag, 1 endeskaper på fleske, mens 20 stk. er katalogisert som ubestemte skrapere. Skraperne fordeler seg jevnt utover det utgravde hovedområdet, med hovedvekten i lag 1 og avtagende funnmengde i lag 2. For det utgravde området i øst ble det funnet 4 skrapere, hvor alle lå innenfor samme rute, 116 x 120y. 3 av skraperne ble funnet i NØ kvadranten i lag 2.

Det var til sammen 8 kniver av flint på hele lokaliteten. Av disse var det 2 flekkekniver på brudd, 3 kniver med konveks retusj og skarp sidekant, og 3 ble katalogisert som annen flekkekniv. Størsteparten av knivene lå i lag 1, hvorav 2 stk. ble funnet i det østre utgravingfeltet.

Det sees generelt en stor andel avslag med bruksspor og retusj i funnmaterialet fra Korsmyra 1. Her er det et tydelig skille mellom det som katalogiseres som redskap og det som brukes som redskap. Den store andelen avslag med bruksspor og retusj viser til kategorier som ikke faller inn under redskapskarakteristika selv om de trolig er blitt brukt som nettopp det. Det er også verdt å merke seg at det ikke ble funnet prosjektiler av flint på Korsmyra 1.



Figur 31: Flintredskaper fra Korsmyra 1, Da62100_013. Øverste rad: Kniver (T27311:2116, T27311:1526 og T27311:1338). Nederste rad: Skrapere (T27311:2612, T27311:2514 og T27311:1430). Foto: Åge Hojem, NTNU Vitenskapsmuseet.



Figur 32: Skiferspisser med strekdekor vinkelrett på ryggen, Da62100_005. T27311:919 (venstre) og T27311:1494, T27311:1483 (odd) (høyre). Foto: Åge Hojem, NTNU Vitenskapsmuseet.

Skifer

Den store stjernen i funnmaterialet fra Korsmyra 1 er alle gjenstandene av slipt skifer. 63 gjenstander er katalogisert som slipte pilspisser eller fragmenter av pilspisser. 8 av disse gjenstandene passer sammen og utgjør 4 ulike prosjektiler. Det vil si at det ble funnet hele eller deler av 59 ulike prosjektiler. Det sees en stor variasjon i materialet, som form, størrelse og type skifter. Majoriteten har rombisk tverrsnitt, mens 3 spisser også har ornamentikk i form av strekdekor på vinkelrett på ryggen. De dekorerte spissene har alle rombisk tverrsnitt, og samtlige ble funnet i lag 1. Det ble også funnet 3 slipte emner med knekkfure, såkalte sjokoladeplater. Emnene har slipte furer enten på en side eller motstående på begge sider. Furene er blitt slipt for at det skulle være lettere å knekke opp til mindre emner, f.eks. til pilspisser.

Det ble funnet én skiferkniv på Korsmyra 1 (T27311:1622). Dette var en nesten komplett asymmetrisk tveegg形 kniv i 3 fragmenter. Kniven hadde gjennomgående rombisk tverrsnitt med hakk i overgangen mellom blad og skaft. 3 hakk på ryggsiden og 2 på motstående side. Kniven er ikke helt ulik fig. 98 (Ts 1270) i *Den Arktiske Stenalder i Norge* (Brøgger 1909). Dette er en type kniv Brøgger betegner som bananformede kniver. Det ble også funnet fragmenter av 3 sandsteinskniver, henholdsvis 1 halvmåneformet platekniv med rettslipt egg og 2 ubestemte platekniver. Det er en mulighet for at knivfragmentene fra disse to kontekstene tilhører samme objekt uten at dette var mulig å bekrefte. Generelt sett var knivmaterialet på lokaliteten lite.



Figur 33: Pilspisser av skifer fra Korsmyra 1, Da62100_004. Fra venstre: T27311:1126, T27311:450, T27311:705, T27311:1604 og T27311:574. Foto: Åge Hojem, NTNU Vitenskapsmuseet.

| Tverrsnitt | Hengende agnorer | Rette agnorer | Ikke agnorer | Ikke bestembar i hht. agnorer | Antall |
|----------------|------------------|---------------|--------------|-------------------------------|--------|
| Spisoval | 2 | 1 | 0 | 2 | 5 |
| Rombisk | 12 | 3 | 2 | 25 | 42 |
| Rund | 0 | 0 | 0 | 0 | 0 |
| Triangulær | 0 | 0 | 0 | 1 | 1 |
| Flat/spisst | 0 | 0 | 0 | 0 | 0 |
| Ikke bestembar | 1 | 0 | 0 | 10 | 11 |
| Totalt | 15 | 4 | 2 | 38 | 59 |

Figur 34: Tabell over skiferspisser delt inn etter tverrsnitt og agnorer. Fragmenter av spisser som kun består av tange, er lagt inn som ikke bestembar. Det sees en klar overvekt av spisser med rombisk tverrsnitt. Av spisser med agnorer bevart, er hengende den dominerende typen.



Figur 35: Skiferkniv T27311:1622 fra Korsmyra 1, Da62100_011. Foto: Åge Hojem, NTNU Vitenskapsmuseet.

Økser/meisler

Øksematerialet var godt representert ved Korsmyra 1. Det ble funnet 3 firesidige bergartsøkser, 2 firesidige bergartsmeisler og 1 meisel av ubestemt type. Råstoffbruken viser til at sandstein var foretrukket ved 4 av 6 gjenstander. Bergartsøksene ble funnet henholdsvis i lag 1 og 3, mens meislene lå i lag 1 og 2. Det vil si en større mengde i lag 1 enn i de eldre fasene. Alle øksene er fragmenter eller fragmentert. To av meislene er fragmentert, mens én er komplett (T27311:901). Meiselen var helslipt med rektangulært tverrsnitt. Den hadde tilnærmet rett egg og tydelig eggfasett. Meiselen var svært liten, da største lengde kun var 3,9 cm.

Figur 36: Meisler fra Korsmyra 1, Da62100_009. Fra venstre: T27311:2348, T27311:1173 og T27311:901. Foto: Åge Hojem, NTNU Vitenskapsmuseet.



Figur 37: Redskaper av bein/gevir fra Korsmyra 1. Venstre: Del av fiskekrok T27311:1781, Da62100_006. Høyre: Harpun eller mulig lystertann T27311:1905, Da62100_007. Foto: Åge Hojem, NTNU Vitenskapsmuseet.

Osteologisk materiale

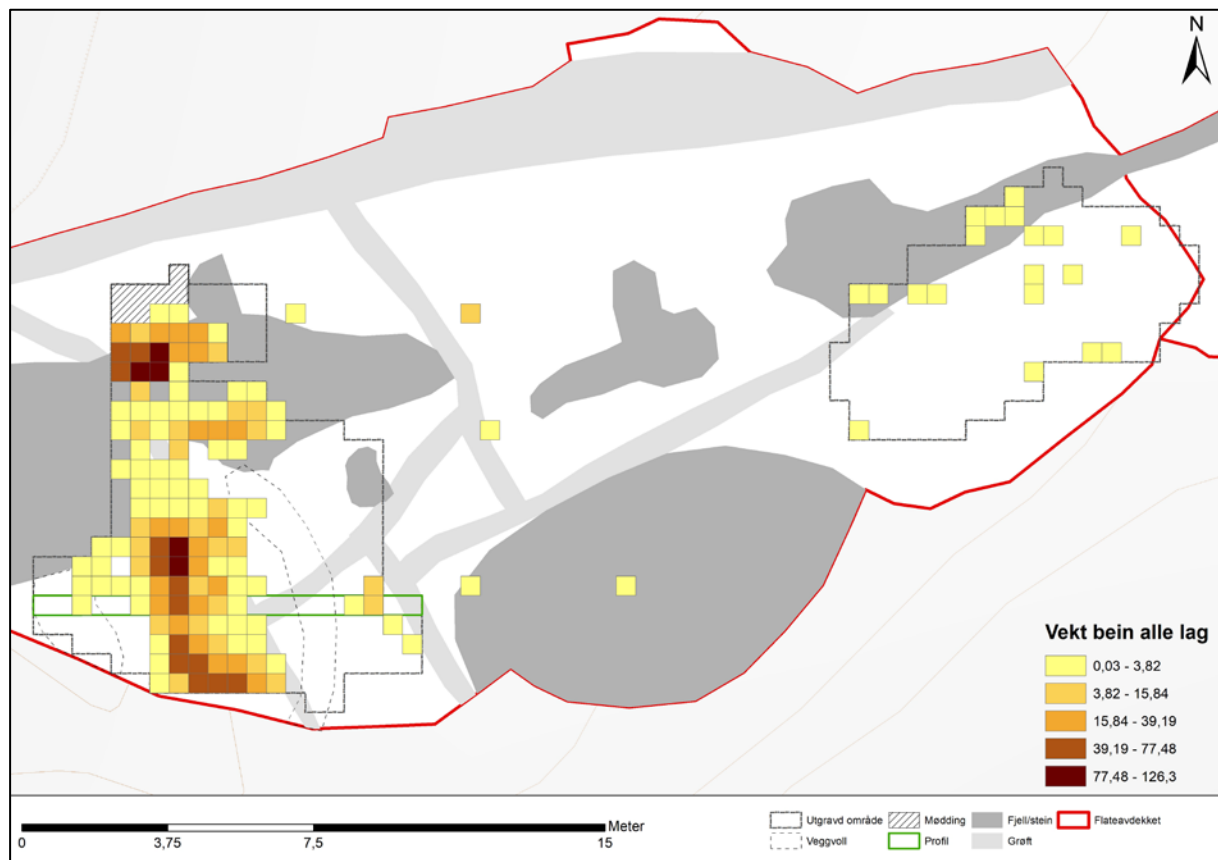
Utgravingen av hovedområdet hadde en gjennomgående stor mengde osteologisk materiale i de utgravde lag. Til sammen om lag 2,14 kg bein fra 247 kontekster ble samlet inn fra utgravingen. Størsteparten av dette materialet bestod av matavfall. Materialet var rikt og til dels godt bevart, og det ble observert en større del av fragmentering i lag 1, enn i lag 2. De osteologiske funnene avtok i lag 3, hvor det kun ble funnet bein i 23 kontekster. Av det osteologiske materialet var det aller meste brent. Det ble funnet ubrent bein i kun 4 kontekster. 5 kontekster inneholdt tenner fra hai. Ut i fra typen tann, stammer disse utelukkende fra håbrann. For en inngående analyse av dette osteologiske materialet, se avsnitt 4.4.3.

Blant dette store materialet ble det også gjort enkelte gjenstandsfunn. Et av de tidligste funnene som ble gjort under utgravingen var en harpun av bein/gevir (T27311:1905) som ble funnet i lag 2 under graving av prøvekvadrantene. Gjenstanden ble karakterisert som en

harpun eller mulig lystertann med én mothake bevart. Den hadde en mulig bruddflate på motstående sidekant som kan være spor etter en andre mothake. Basis var knekt av og den har svakt konvergerende sider. På grunn av manglende basis er det ikke mulig å fastslå om gjenstanden har hatt festeanordning for line.

I nabokvadranten til funnstedet for harpunen, ble det gjort funn av en fragmentert fiskekrok av bein/gevir (T27311:1781). Det var kun krokens bøy som var bevart, som er et kort tverrstykke mellom stamme og odd, som var planslipt i bunnen. Overgangen mellom stamme og rygg er v-slipt. Kroken er svært skjør og en del av stamme eller rygg knakk dessverre av etter at den ble funnet. Største mål slik den fremstår i dag er kun 0,7 cm. Kroken har en likhet med fig. 166 i *Yngre Steinalder i Nord-Norge* (Gjessing 1942), hvor på kroken fra Korsmyra har en mye smalere overgang mellom stamme og odd. Parallelten er basert på formen på krokens bøy

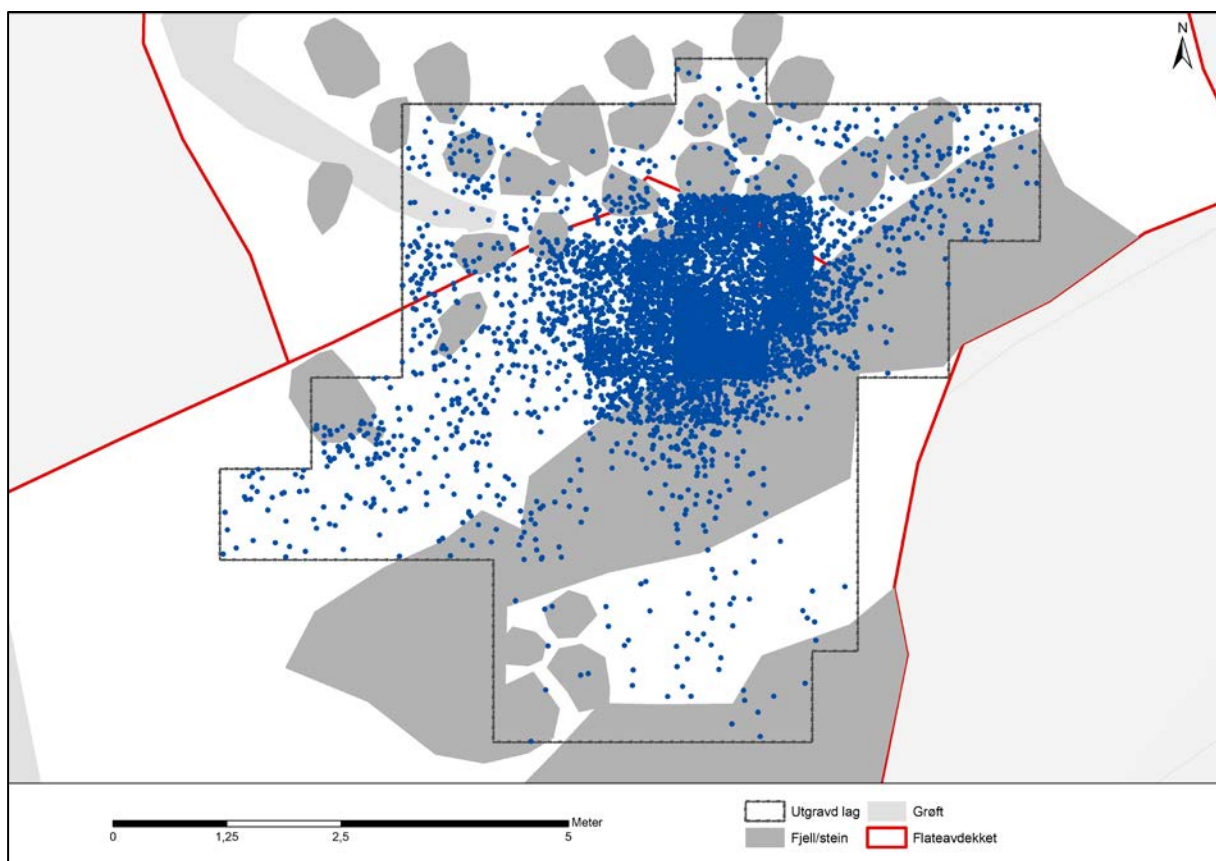
For fullstendig funnliste over Korsmyra 1, se vedlegg 5.2.



Figur 38: Spredningen av osteologisk materiale i alle lag på Korsmyra 1. Forhøyde verdier sentralt i tuften og i møddingen. Kart: Hanne Bryn, NTNU Vitenskapsmuseet.

4.2. Korsmyra 2

På lik linje med Korsmyra 1, var flint det dominerende råstoffet også på Korsmyra 2. 97 % av funnmaterialet var flint, mens bergkrystall var det nest mest brukte råstoffet, og utgjorde en andel på 1,97 %. Derimot sees ikke den høye andelen brent flint på Korsmyra 2. Her er andelen brent flint nærmere det normale og ligger på 21,3 %. Størsteparten av dette materialet lå i forbindelse med strukturene A223 og A224. Kun 2,4 % av det totale flintmaterialet var vannrullet, hvorav størstedelen av den vannrullede flinten stammer fra den naturlige deponerte flinten i området, jf. lag 3 i tabellen nedenfor. Flere av de vannrullede funnene var knoller hvor det var blitt gjort prøveslag. Majoriteten av lag 3 er fra prøvekvadrantene på feltet utenfor det utgravde området. Innenfor utgravd lag 3 ble det gjort 14 funn hvorav 8 var varmepåvirket og 1 var vannrullet.

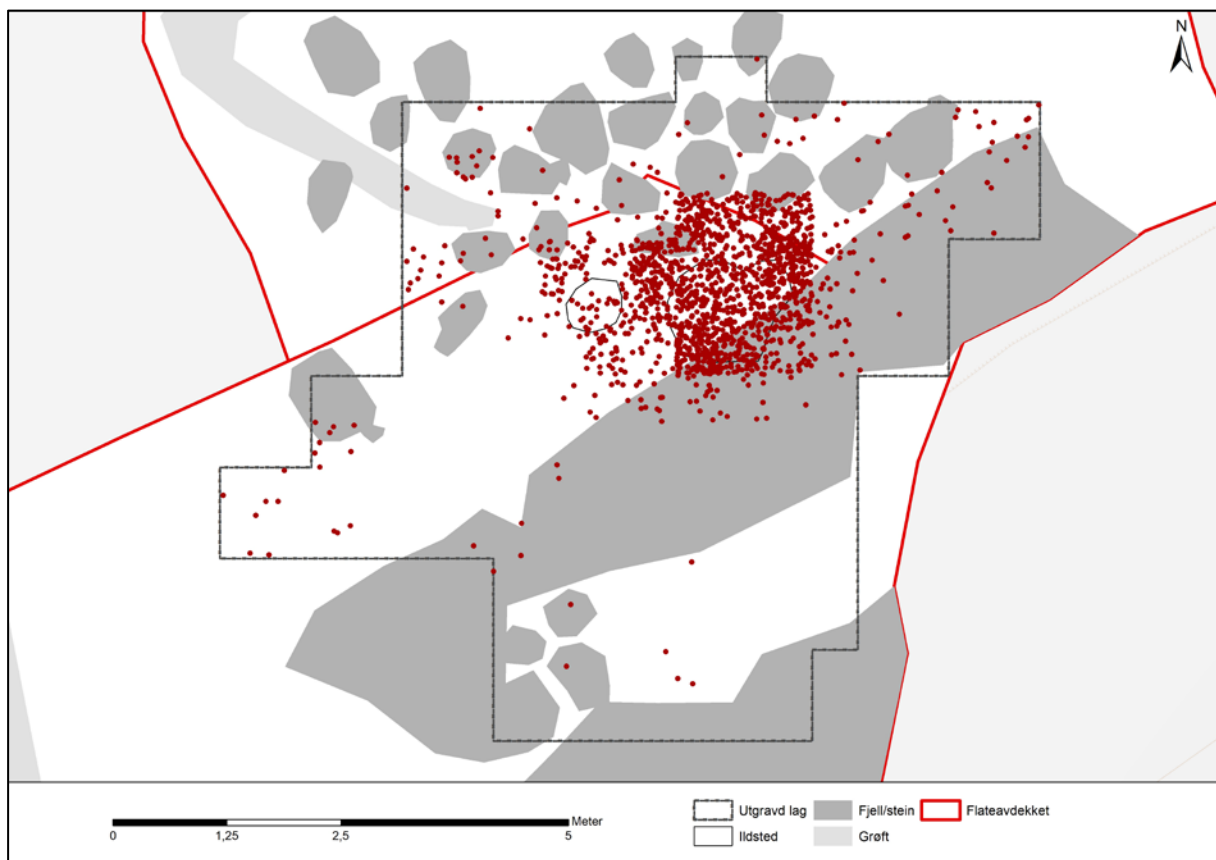


Figur 39: Funnspredning over alle funn i de utgravde lag på Korsmyra 2. 1 dot = 1 funn. Kart: Hanne Bryn, NTNU Vitenskapsmuseet.

| Mek. Lag | Antall funn | Antall brent | % brent | Antall vannrullet | % vannrullet |
|----------|-------------|--------------|---------|-------------------|--------------|
| Lag 1 | 5275 | 1017 | 19,2 % | 80 | 1,5 % |
| Lag 2 | 2661 | 647 | 24,3 % | 29 | 1 % |
| Lag 3 | 88 | 57 | 64,7 % | 30 | 34 % |

Funnmaterialet representerte typologiske elementer som forbinder med TM; tangespisser, lanseettmikrolitter, mikrostikkeltteknikk, kantavslag av skiveøks, ensidige kjerner med spiss avspaltningsvinkel og flekketeknikk representert med vanlige flekker. Funnkonsentrasjonen bar preg av å være en liten knakkeplass/aktivitetsområde med mange artefakter av samme flinttype.

Det ble gjort funn av sligte skifergjenstander på lokaliteten i form av pilspiss (1), hengesmykke (1), slift emne med knekkfure (1), ukjent slift gjenstand (1) samt slipestein av sandstein og pimpstein med slipefure. Disse antas å ha sammenheng med det tynne kulturlaget som lå over deler av lokaliteten og at det tilhører en neolitisk bruksfase.



Figur 40: Spredningskart over brent flint i alle utgravde lag på Korsmyra 2. 1 dot = 1 funn. Kart: Hanne Bryn, NTNU Vitenskapsmuseet.

| Funnliste for Korsmyra 2 (T27310) | | | |
|-----------------------------------|---------------------------|--------------|--------|
| Kode | Klassifiseringsbetegnelse | Råstoff | Antall |
| | Flekke | | |
| 0111 | Makroflekke | Flint | 74 |
| 0111 | Makroflekke | Bergkrystall | 1 |
| 0112 | Medioflekke | Flint | 61 |
| 0113 | Mikroflekke | Flint | 78 |
| | Avslag | | |
| 012 | Avslag | Flint | 7325 |
| 012 | Avslag | Kvarts | 64 |
| 012 | Avslag | Bergkrystall | 161 |
| 012 | Avslag | Kvartsitt | 1 |
| 0121 | Makroavslag | Flint | 1 |
| 01211 | Makroavslag med bruksspor | Flint | 26 |
| 01221 | Medioavslag med bruksspor | Flint | 89 |
| 01221 | Medioavslag med bruksspor | Bergkrystall | 2 |
| 0124 | Fragment | Flint | 1 |

| | Diagnostisk avslag | | |
|-------|--|--------|----|
| 0130 | Cortexflekke | Flint | 93 |
| 0131 | Flekkelignende avslag | Flint | 36 |
| 0132 | Hengselflekke | Flint | 18 |
| 01371 | Kantavslag fra skiveøksproduksjon | Flint | 10 |
| 01372 | Eggoppeskjerpingsavslag fra skive-/kjerneøks | Flint | 9 |
| 0138 | Stikkelavslag | Flint | 2 |
| 01381 | Stikkelavslag med lederygg | Flint | 1 |
| 0139 | Mikrostikkels | Flint | 1 |
| 01391 | Oddmikrostikkels | Flint | 3 |
| 01393 | Oddoppskjerping | Flint | 10 |
| 01394 | Mikrostikkels med feilbrudd | Flint | 1 |
| 01395 | Ubestembar mikrostikkels teknikk | Flint | 4 |
| | Kjerne | | |
| 021 | Kjerne | Flint | 1 |
| 02141 | Ensidig kjerne med én plattform | Flint | 1 |
| 02142 | Ensidig kjerne med flere plattformer | Flint | 5 |
| 0216 | Bipolar kjerne | Flint | 25 |
| 0218 | Ubestemt kjerne | Flint | 1 |
| 02181 | Ubestemt kjerne med én plattform | Flint | 6 |
| 02182 | Ubestemt kjerne med flere plattformer | Flint | 22 |
| 02182 | Ubestemt kjerne med flere plattformer | Kvarts | 1 |
| 0219 | Forarbeid til kjerne | Flint | 1 |
| 0219 | Forarbeid til kjerne | Kvarts | 1 |
| | Kjernefragment | | |
| 0221 | Bipolart kjernefragment | Flint | 17 |
| 0221 | Bipolart kjernefragment | Kvarts | 1 |
| 0222 | Plattformkjernefragment | Flint | 6 |
| 0223 | Overløpen flekke | Flint | 6 |
| 0224 | Ubestemt kjernefragment | Flint | 2 |
| | Prepareringsavslag | | |
| 023 | Prepareringsavslag | Flint | 1 |
| 0231 | Ryggflekke | Flint | 8 |
| 02311 | Rykkmakroflekke | Flint | 4 |
| 02312 | Ryggmedioflekke | Flint | 5 |
| 02313 | Ryggmikroflekke | Flint | 6 |
| 0232 | Plattformavslag | Flint | 10 |
| 02321 | Skiveformet | Flint | 2 |
| 02322 | Vingeformet | Flint | 6 |
| 0233 | Flekkefront | Flint | 4 |
| | Øks | | |
| 03101 | Kjerneøks | Flint | 1 |
| | Kniv | | |
| 04371 | Flekkekni med skrå enderetusj | Flint | 1 |
| 04372 | Flekkekni med skræbuend retusj | Flint | 1 |
| 04381 | Avslagskniv med konveks retusj og skarp sidekant | Flint | 1 |
| 04382 | Annen avslagskniv | Flint | 3 |

| | | | |
|--------|--------------------------------------|-----------|----|
| | Pilspiss | | |
| 051 | Pilspiss | Flint | 3 |
| 051012 | Tangespiss med odd i distalenden | Flint | 4 |
| 051013 | Ubestemt tangespiss med kantretusj | Flint | 4 |
| 05107 | Eneget spiss | Flint | 2 |
| 051112 | Slipt pilspiss med rombisk bladsnitt | Skifer | 1 |
| | Mikrolitt | | |
| 0531 | Lansettmikrolitt | Flint | 1 |
| | Borspiss | | |
| 0542 | Borspiss på fleske | Flint | 1 |
| | Skraper | | |
| 061 | Skraper | Flint | 1 |
| 0612 | Endeskrapere | Flint | 1 |
| 0616 | Ubestemt skraper | Flint | 2 |
| | Retusjert avslag | | |
| 06211 | Makroavslag med rett retusj | Flint | 2 |
| 06213 | Makroavslag med annen retusj | Flint | 4 |
| 06213 | Makroavslag med annen retusj | Kvarts | 1 |
| 06214 | Makroavslag med hakk | Flint | 2 |
| 06214 | Makroavslag med hakk | Kvartsitt | 1 |
| 0622 | Retusjert medioavslag | Flint | 4 |
| 06221 | Medioavslag med rett retusj | Flint | 25 |
| 06222 | Medioavslag med konkav retusj | Flint | 14 |
| 06223 | Medioavslag med annen retusj | Flint | 22 |
| 06224 | Medioavslag med hakk | Flint | 2 |
| 0623 | Retusjert mikroavslag | Flint | 4 |
| 0624 | Retusjert fragment | Flint | 1 |
| 06241 | Fragment med rett retusj | Flint | 1 |
| | Retusjert fleske | | |
| 06312 | Makrofleske med konkav enderetusj | Flint | 1 |
| 06313 | Makrofleske med annen retusj | Flint | 3 |
| 06323 | Mediofleske med annen retusj | Flint | 3 |
| | Stikkel | | |
| 0711 | Kantstikkel | Flint | 3 |
| 07111 | Kantstikkel på brudd | Flint | 1 |
| 0713 | Kjernestikkel | Flint | 1 |
| 0714 | Ubestemt stikkel | Flint | 2 |
| | Knakkestein | | |
| 102 | Knakkestein | Bergart | 1 |
| | Slipestone | | |
| 10321 | Pimpstein med fure | Pimpstein | 1 |
| 1033 | Annem slipestone | Sandstein | 1 |
| | Emne | | |
| 11061 | Slipt emne med knekkfure | Skifer | 1 |
| | Pren | | |
| 1402 | Pren | Flint | 5 |
| | Hengesmykke | | |

| | | | |
|------------|------------------------|--------------|-------------|
| 1404 | Hengesmykke | Skifer | 1 |
| | Ukjent | | |
| 14152 | Ukjent slipt gjenstand | Skifer | 1 |
| | Prøve | | |
| 1501 | Trekullprøve | Trekull | 1 |
| | Knoll | | |
| 181 | Knoll | Flint | 7 |
| | Krystall | | |
| 182 | Krystall | Bergkrystall | 1 |
| Sum | | | 8359 |

Figur 41: Funnliste for Korsmyra 2 (27310).

| Råstoffordeling | |
|-----------------|--------|
| Råstoff | Antall |
| Bergart | 1 |
| Bergkrystall | 165 |
| Flint | 8116 |
| Kvarts | 68 |
| Kvartsitt | 2 |
| Pimpstein | 1 |
| Sandstein | 1 |
| Skifer | 4 |
| Trekull | 1 |

Flekker og kjerner

Av totalt 8358 gjenstandsfunn var 221 flekker; henholdsvis fordelt på makroflekker (75), medioflekker (61) og mikroflekker (78). Til sammen 7 flekker hadde retusj. Retusjert medioflekket T27310:811 er en mulig lanseettmikrolitt. Den er katalogisert som retusjert flekke da det var tvil om typologien til gjenstanden da den ikke helt klart utga seg for å være lanseettmikrolitt, men at den har samsvarende typologiske trekk. Av det flekkeligende/flekkerelaterte materialet var det 36 flekkelignende avslag, hengselflekk (18), cortexflekk (93), overløpen flekke (6), ryggflekk (23), og flekkefront (4). Denne produksjonen av flekker vises også i 10 platformavslag og 6 ensidige kjerner. De ensidige kjernene er relativt få i materialet til forskjell fra de bipolare kjernene (25) og ubestemt kjerne med én eller flere plattformer (29). Disse kjernene kan reflekteres i flekkematerialets ujevnheter, med uregelmessige sidekanter og rygger. Dette er også noe som karakteriserer flekkematerialet fra TM.

Økser

Det ble funnet én kjerneøks (T27310:940), men ingen skiveøkser blant gjenstandsmaterialet på Korsmyra 2. Det ble imidlertid funnet én gjenstand som kan være et mulig forsøk på skiveøks, men som ble katalogisert som et retusjert makroavslag (T27310:137) da gjenstanden ikke innehar de helt rette morfologiske trekk. Retusjen kan se ut som begynnende kanthugging på den ene siden, og på den andre sidekanten mislykket kanthugging. Forsøk på flatehugging på dorsalsiden av avslaget. Det ble likevel påvist tilstedeværelse av skiveøkser i materialet i form av 10 kantavslag fra skiveøksproduksjon, samt 9 eggoppkjerpingsavslag fra skive-/kjerneøks.

Prosjektiler

Av prosjektiler sees det en stor variasjon i materialet. Det ble til sammen funnet 14 gjenstander i kategorien prosjektiler, fragmenter inkludert; 1 lansettmikrolitt, 8 tangespisser, 2 eneggede spisser og 3 oddfragmenter. Funnmaterialet inneholder også én pilspiss i slipt skifer. Denne regnes ikke med til den tidligmesolitiske fasen på Korsmyra 2, men til en trolig neolitisk aktivitetsfase. 3 av tangespissene kan karakteriseres som atypiske da de er uregelmessig i formen, med veldig markerte skuldre og lang tange. Enkelte av prosjektilene hadde skuddskade på odden. På et fåtall spisser er det observert mikrostikkelfasett. Denne teknikken er mer synlig i avslagsmaterialet enn på spissene, da det til sammen ble funnet 19 mikrostikler. En betydelig andel av disse er mikrostikler etter oddoppeskjerping hvor det er synlig skuddskade. Tangespissene er i overvekt blant prosjektilene, hvorav prosjektiler uten tange, mikrolitter, er lite representert. 7 av 8 tangespisser har odden i distalenden. Kun én sikker lansettmikrolitt ble funnet (T27310:171).

Skrapere og kniver

Det ble katalogisert til sammen 4 skrapere og 6 kniver. Av skraperne finnes det kun én endeskaper, mens de øvrige er ubestemte (2) og 1 er en mulig skraper. Endeskraperen (T27310:898) er sekundært tilvirket da den har patinert dorsalside. Av knivene er 4 stk. kategorisert som avlagskniv, mens 2 er flikkekniver. Antallet avslag med bruksspor og avslag med retusj derimot, er svært høyt i forhold. Skillet går her mellom det som karakteriseres som redskap og det som brukes som redskap, men som ikke faller under redskapskategorien i en katalogiseringsprosess.

For fullstendig funnliste over Korsmyra 2, se vedlegg 5.1.



Figur 42: Venstre: Ensidige kjerner (Da62100_002). Fra øverst venstre: T27310:58, T27310:136, T27310:128 og T27310:247 (nederst til høyre). Til høyre: Prosjektiler, Da62100_001. Fra øverst venstre: Tangespisser T27310:707, T27310:810, T27310:647, T27310:476, T27310:914, T27310:853 og T27310:750. Nederst fra venstre: Eneggede spisser T27310:595 og T27310:749. Lansettmikrolitt T27310:171. Foto: Åge Hojem, NTNU Vitenskapsmuseet.



Figur 43: Til venstre: mulig skiveøks T27310:137. Til høyre: Kjerneøks T27310:940. Da62100_003. Foto: Åge Hojem, NTNU Vitenskapsmuseet.

4.3. Dateringer

Det ble til sammen tatt ut 36 C¹⁴-prøver fra lokalitetene på Korsmyra, 10 trekullprøver fra Korsmyra 1 og én trekullprøve fra Korsmyra 2. Det ble også samlet inn brente hasselnøttskall fra 25 kontekster på Korsmyra 1, hvorav 19 av disse ble datert. Trekullprøvene samt hasselnøttskallene ble sendt til vedartsanalyse og datering hos Nasjonallaboratoriene for datering ved NTNU. Se vedlegg 4 for fullstendig liste over C¹⁴-prøver samt oversiktskart.

Fra Korsmyra 1 ble det samlet inn til sammen 5 trekullprøver fra profilbenken; 4 prøver fra profil 2574, som var søndre side av profilbenken, og 1 prøve fra profil 2575 som var den nordre side av benken (se figur 21 og 22). Disse prøvene fordelte seg over alle de utgravde lag, hvorpå to prøver ble samlet inn fra lag 3. De øvrige 5 trekullprøvene fra lokaliteten ble samlet inn fra såld. Av hasselnøttskall sees det en høy mengde i lag 1 og 2, for så å avta kraftig i lag 3. Ingen hasselnøttskall ble funnet i lag 4.

| Mekanisk lag | Antall kullprøver | Antall hasselnøttskall |
|---------------|-------------------|------------------------|
| Lag 1 | 4 | 14 |
| Lag 2 | 1 | 10 |
| Lag 3 | 2 | 1 |
| Lag 4 | 3 | - |
| Totalt | 10 | 25 |

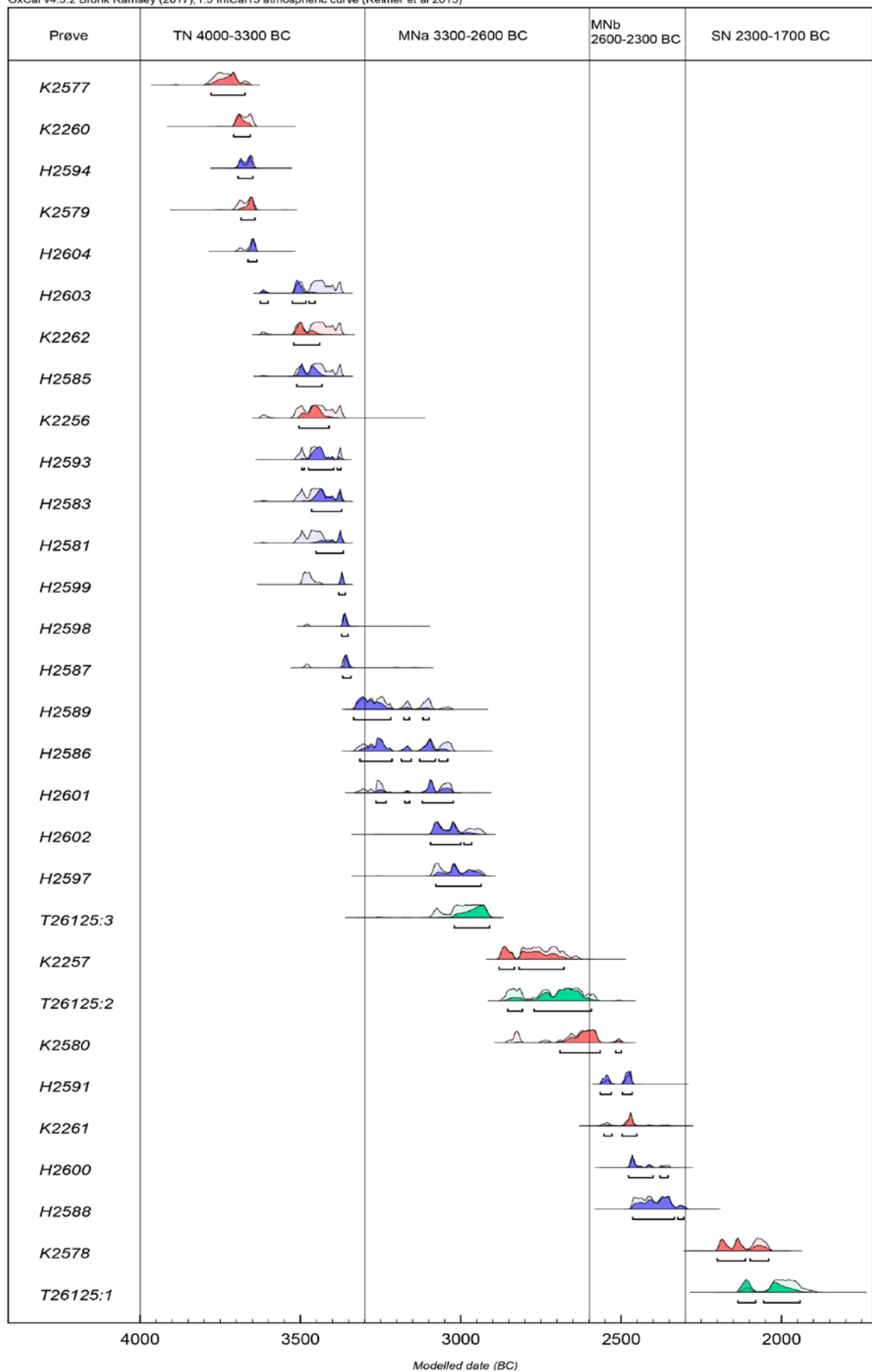
OxCal v4.3.2 Bronk Ramsey (2017); r.5; IntCal13 atmospheric curve (Reimer et al 2013)

| Prøvenr. | Koordinat/Strukturnr. | Lab ID. | Datert materiale | Datert BP | Kalibrert alder 1 sigma | Kalibrert alder 2 sigma |
|----------|-----------------------|-----------|---|-------------|-------------------------|-------------------------|
| K2256 | Profil 2574 | TRa-11180 | Trekull av bjørk/vier (<i>Betula sp./Salix sp.</i>) | 4670 +/- 30 | BC 3515-3373 | BC 3620-3367 |
| K2257 | Profil 2574 | TRa-11181 | Trekull av hassel/or/bjørk (<i>Corylus sp./Alnus sp./Betula sp.</i>) | 4165 +/- 25 | BC 2873-2696 | BC 2879-2639 |
| K2260 | Profil 2574 | TRa-11182 | Trekull av bjørk (<i>Betula sp.</i>) | 4895 +/- 25 | BC 3695-3651 | BC 3707-3642 |
| K2261 | Profil 2574 | TRa-11183 | Trekull av hassel (<i>Corylus sp.</i>) | 3955 +/- 20 | BC 2550-2460 | BC 2566-2349 |
| K2262 | Profil 2575 | TRa-11184 | Trekull av hassel (<i>Corylus sp.</i>) | 4675 +/- 25 | BC 3515-3374 | BC 3618-3370 |
| K2559 | A224 | TRa-11185 | Trekull av bjørk (<i>Betula sp.</i>) | 9480 +/- 35 | BC 8824-8711 | BC 9117-8639 |
| K2576 | 117x 125y NØ Lag 1 | TRa-11186 | Trekull av furu (<i>Pinus sp.</i>) | 2405 +/- 20 | BC 488-409 | BC 703-402 |
| K2577 | 108x 106y NØ Lag 4 | TRa-11187 | Trekull av bjørk (<i>Betula sp.</i>) | 4960 +/- 25 | BC 3766-3705 | BC 3791-3662 |
| K2578 | 114x 118y SV Lag 1 | TRa-11188 | Trekull av furu (<i>Pinus sp.</i>) | 3725 +/- 20 | BC 2194-2047 | BC 2200-2037 |
| K2579 | 108x 106y NV Lag 4 | TRa-11189 | Trekull av bjørk (<i>Betula sp.</i>) | 4885 +/- 25 | BC 3694-3645 | BC 3702-3641 |
| K2580 | 117x 104y NØ Lag 1 | TRa-11190 | Trekull av bjørk / vier/osp (<i>Betula sp./Salix sp./Populus sp.</i>) | 4085 +/- 25 | BC 2834-2576 | BC 2854-2500 |
| H2581 | 108x 108y SV Lag 1 | TRa-11191 | Hasselnøttskall | 4660 +/- 20 | BC 3501-3372 | BC 3516-3367 |
| H2583 | 112x 105y SV Lag 1 | TRa-11192 | Hasselnøttskall | 4665 +/- 20 | BC 3506-3373 | BC 3517-3369 |
| H2585 | 111x 105y NV Lag 1 | TRa-11193 | Hasselnøttskall | 4670 +/- 20 | BC 3511-3374 | BC 3518-3371 |
| H2586 | 107x 103y NØ Lag 2 | TRa-11194 | Hasselnøttskall | 4455 +/- 20 | BC 3312-3029 | BC 3329-3024 |

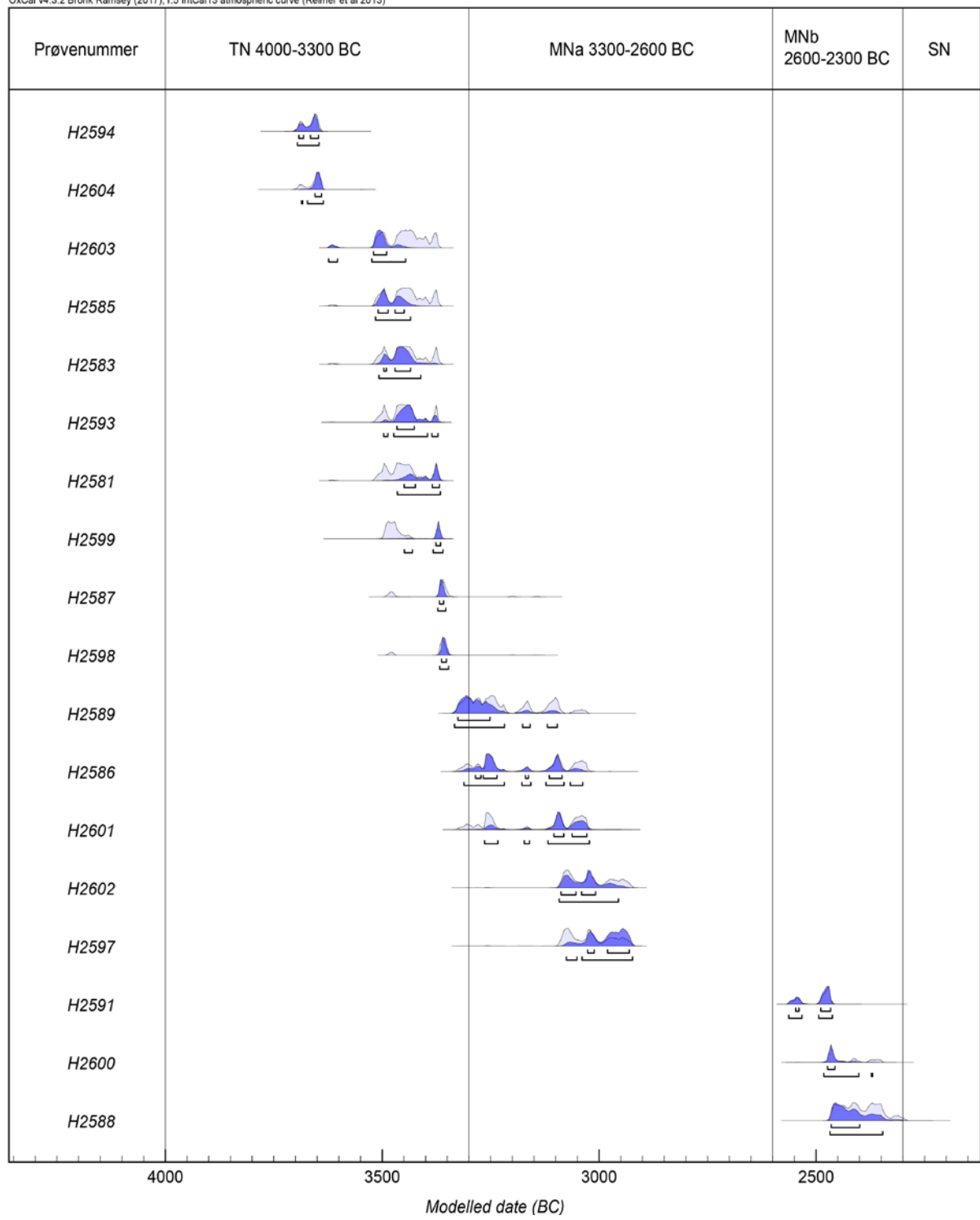
| | | | | | | |
|--------------|-----------------------|-----------|-----------------|-------------|--------------|--------------|
| H2587 | 111x 105y NØ Lag 1 | TRa-11165 | Hasselnøttskall | 4590 +/- 20 | BC 3370-3350 | BC 3495-3196 |
| H2588 | 116x 103y NØ Lag 1 | TRa-11166 | Hasselnøttskall | 3905 +/- 20 | BC 2464-2349 | BC 2470-2308 |
| H2589 | 112x 106y SV Lag 1 | TRa-11167 | Hasselnøttskall | 4470 +/- 15 | BC 3321-3095 | BC 3331-3034 |
| H2591 | 116x 102y SV Lag 1 | TRa-11168 | Hasselnøttskall | 3965 +/- 15 | BC 2547-2467 | BC 2565-2461 |
| H2593 | 114x 118y SV Lag 2 | TRa-11169 | Hasselnøttskall | 4665 +/- 15 | BC 3501-3374 | BC 3516-3369 |
| H2594 | 109x 106y SV Lag 3 | TRa-11170 | Hasselnøttskall | 4885 +/- 15 | BC 3694-3646 | BC 3696-3643 |
| H2596 | 120x 125y NV Lag 1 | TRa-11171 | Hasselnøttskall | 285 +/- 10 | AD 1530-1649 | AD 1526-1650 |
| H2597 | 113x 106y NØ Lag 1 | TRa-11172 | Hasselnøttskall | 4405 +/- 15 | BC 3089-2940 | BC 3092-2929 |
| H2598 | 110x 101y NV Lag 2 | TRa-11173 | Hasselnøttskall | 4590 +/- 15 | BC 3369-3354 | BC 3487-3347 |
| H2599 | 110x 102y NV Lag 2 | TRa-11174 | Hasselnøttskall | 4635 +/- 15 | BC 3495-3367 | BC 3499-3363 |
| H2600 | 108x 102y NØ Lag 1 | TRa-11175 | Hasselnøttskall | 3935 +/- 15 | BC 2476-2353 | BC 2481-2347 |
| H2601 | 110x 102y SØ Lag 2 | TRa-11176 | Hasselnøttskall | 4450 +/- 15 | BC 3264-3028 | BC 3324-3023 |
| H2602 | 111x 102y NØ Lag 2 | TRa-11177 | Hasselnøttskall | 4405 +/- 15 | BC 3089-2940 | BC 3092-2929 |
| H2603 | 110x 104y NØ Lag 2 | TRa-11178 | Hasselnøttskall | 4675 +/- 20 | BC 3512-3375 | BC 3520-3371 |
| H2604 | 109x 106y NØ Lag 2 | TRa-11179 | Hasselnøttskall | 4870 +/- 20 | BC 3662-3639 | BC 3696-3637 |

Figur 44: Tabell over dateringsresultater Korsmyra 1 og 2.

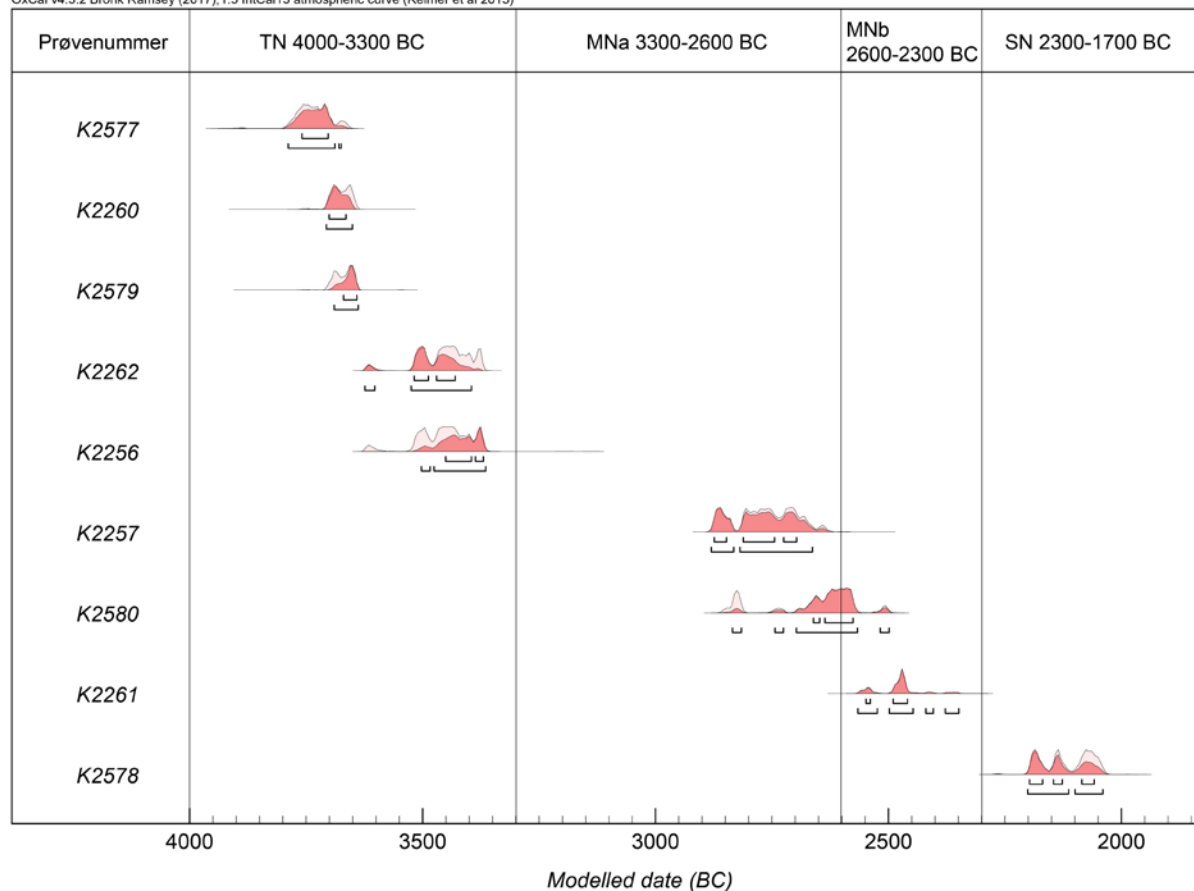
To dateringsresultater er ikke representert i figur 45 da disse er datert til en yngre fase som ikke har forbindelse med undersøkelsen. Trekullprøve K2576 er samlet inn fra mekanisk lag 1 gravd ut helt øst i utgravningsområdet, i ytterkant av A205. Denne ble datert til BC 703-402 (BP 2405 ± 20), som tilsvarer overgangen bronsealder/førromersk jernalder. Hasselnøttskall H2596 ble samlet inn 3 m nord for K2576 og ble datert til AD 1526-1650 (BP 285 ± 10) som tilsvarer senmiddelalder og nyere tid. Dette viser til at laget som lå over steinleggingene A204 og A205 er omrotet og at området har hatt en bruk av ukjent omfang også i bronsealder/eldre jernalder/middelalder/nyere tid.



Figur 45: Kurver over samtlige dateringsresultater fra Korsmyra 1. Rødt (K) indikerer trekullprøver, blå (H) indikerer hasselnøttskall og grønn (T) er prøver fra utgravingen i 2013.



Figur 46: Kurve over daterte hasselnøttskall fra korsmyra 1.



Figur 47: Kurve over daterte trekullprøver fra Korsmyra 1.

4.4. Naturvitenskaplige prøver og analyser

I tillegg til C¹⁴-prøver, ble det tatt ut makrofossilprøver og jordmikromorfologiprøver fra profilbenken på Korsmyra 1. Tre makrofossilprøver ble sendt til Natur og Kultur i København hvor de ble analysert av Annine Moldsen. To jordmikromorfologiprøver ble sendt til analyse hos Dr. Richard MacPhail hos UCL Institute of Archaeology i London.

Av det animalosteologiske materialet ble bein fra 24 kontekster sendt til analyse ved Universitetsmuseet i Bergen. De utvalgte kontekstene utgjorde en representativ spredning av osteologisk materiale både mellom lag, samt innenfor og utenfor tuften. Til sammen ble det sendt 655 g osteologisk materiale av det totale beinmaterialet på til sammen 2139 g.

4.4.1. Makrofossilanalyser

3 makrofossilprøver ble sendt til analyse hos Natur og Kultur i København. Prøvene ble tatt fra profilbenken på Korsmyra 1 for å undersøke muligheten for tilstedeværelsen av tidlig jordbruk. Prøvene ble flottert i sikt med 0,5 mm maskevidde. Floteringsresten ble gjennomsøkt etter materiale av kultурhistorisk verdi. Volumet av den flotterte prøven ble målt, og prøvene ble deretter analysert under stereomikroskop med opptil 80 x forstørrelse. Innholdet i prøvene ble beskrevet og telt. Korn og andre frø ble sortert og artsbestemt ut i fra et bredt spekter av referanselitteratur, samt NOKs samling av referanseemateriale.

Analyse

I alle tre prøvene var trekullet slitt, noe som indikerer at de har ligget eksponert og blitt utsatt for mekanisk slitasje.

I prøve 2263 fra den nordre langside, profil 2575, ble det funnet en del fragmenter av brente bein. Flere av beina var rørknokler. Det var dessuten to fragmenter av brent hasselnøttskall, men dessverre ingen frø. Innholdet kan tyde på at det er måltidsrester som er blitt kastet på bålet. Det var også noe skjørbrent stein i prøven, som sannsynligvis stammer fra et ildsted.

De to siste prøvene er tatt ut litt lengre øst i den søndre side av profilbenken, profil 2574. Prøvene inneholdt trekull. Den største forekomsten av trekull kom fra prøve 2259.

| ID | Kontekst | Volum jordprøve ml | Volum flottert ml | Innhold forkullet og slitegrad | Innhold |
|------|----------------------------|--------------------|-------------------|--------------------------------|---|
| 2258 | Bunn kulturlag profil 2574 | 1150 | 40 | xx R og litt S | |
| 2259 | Topp kulturlag profil 2574 | 1050 | 70 | xx R og litt S | |
| 2263 | Bunn kulturlag profil 2575 | 1000 | 50 | xxx små R og litt S | Brente bein ca. 50 små fragmenter Hasselnøttskall 2f Skjørbrent stein (x) |

Figur 48: Tabell over analyserte makrofossilprøver. I tabellen er innholdet av forkullet materiale angitt med x hvor xxx = alt i prøven var forkullet og (x) = kun enkelte forkullede biter. S = skarpkantede, R = avrundede.

4.4.2. Jordmikromorfologianalyser

2 jordmikromorfologiske prøver ble sent til analyse hos Richard Macphail ved Institute of Archaeology, University College London (UCL). Begge prøvene ble samlet inn fra profil 2575, den nordre siden av profilbenken.

De jordmikromorfologiske resultatene er presentert i sin helhet i vedlegg 8.2.

Metode

Jordmikromorfprøvene ble innsatt med en klar polyester harpiks-acetonblanding. 15 tynne delprøver ble deretter toppet med harpiks før herding og produksjon av tynnprofiler på 75x50 mm. Tynne seksjoner ble deretter polert og analysert ved hjelp av et polarisasjonsmikroskop under planpolarisert lys (PPL), krysset polarisert lys (XPL), skrå innfallende lys (OIL) og ved bruk av fluorescensmikroskop (blått lys – BL) ved forstørrelser fra x1 til x200/400. Kull og bein fra prøve 2267 ble undersøkt ved bruk av SEM / EDS (energidispersiv røntgenspektronomi).

Resultat

Prøve 2266 var samlet inn fra de nedre delene av kulturlaget i profil 2575. De nederste avsetningene fremstår som løse. Sort sand dominert av grus og små steiner (maks 15 mm). Det er lite organisk materiale, men som blir mer tallrike videre oppover. Noe kull og spor etter brent bein som også øker i mengde oppover i profilen. Underlaget består av sand, grus og små steiner, som sannsynligvis er en blanding av forvitret stein og strandavsetninger. Sandelementet kan også være et resultat av vind. Lagets menneskeskapte karakter består

hovedsakelig av forkullet organisk materiale og brent bein. Disse kommer fra bosettingsflater over. Spor etter amorf kornbelegg vitner om en form for væskeforurensning fra gulvalgene over.

Prøve 2267 var samlet inn fra de øvre delene av kulturlaget i profil 2575. Seksjonen viser diffus lagdelte 5-20 mm tykke lag bestående av sort sand med ~10 mm tykke steinlag. Det er sammensatt av sand sammen med grus og små steiner, inkludert et oppsprukket 25 mm langt fragment av vulkansk bergart, og er karakterisert av mange fragmenter av skjørbrønsteiner, hvor enkelte er oppsprukne. Mye brent organisk materiale; kull og brent bein, samt enkelte røtter. Her er det mulige diffuse bosettingslag, sammensatt av steiner og forkullet organisk materiale, samt beinrike forekomster. Mye kull og bein har trolig blitt fragmentert ved tramping. Enkelte amorf misfarginger (jernfosfat) er samtidige, mens rotspor kan indikere vegetasjon på området mellom bosettingsfaser.

Analyse

Laget er dannet av periodisk bosetting, og ble sannsynligvis dannet gjennom bosettingsaktivitet som ga kull og brent bein over sand og grus, samt noe sand som er resultat av viderosjon. Spor etter røtter kan også indikere opphold mellom bosettingsfaser, da området er blitt overgrodd. Til forskjell fra andre bosettingslag fra tufter, viser lagene fra Korsmyra lite eller ingen omarbeiding. Det kan også legges til at kullet med misfarginger etter jernfosfat indikerer en mulig bruk av drivved, noe som er observert ved andre norske kystboplasser.

4.4.3. Animalosteologiske analyser

Til sammen osteologisk materiale fra 24 kontekster ble sent til analyse hos Universitetsmuseet i Bergen. Analysen ble foretatt i 2017 og 2018 av Olaug Flatnes Bratbak og Liselotte Takken Beijersbergen.

Metode

Det analyserte materialet bestod av elleve kontekster fra lag 1 og tretten kontekster fra lag 2. Av kontekstene fra lag 1 var syv kontekster fra tuft og mødding, mens fire var tilfeldige. Fra lag 2 var åtte kontekster fra tuft og mødding, mens fem kontekster var tilfeldige. Se tabell nedenfor. Hver kontekst ble sortert etter familie, og hvis mulig, identifisert til taxon og skjelettelement. På grunn av fragmenteringsgraden på materialet kunne bein fra pattedyr kun identifiseres til klasse (fisk/fugl/pattedyr). Identifiseringen av fiskebein var mulig på et høyere nivå, og artsammesetning av hele samlingen ble foretatt etter at uidentifiserbare elementer var ekskludert. På grunn av den utstrakte fragmenteringen av materialet ble det ikke funnet elementer som egnet seg for kjønns- eller aldersbestemmelse.

Problemstillinger for analysen:

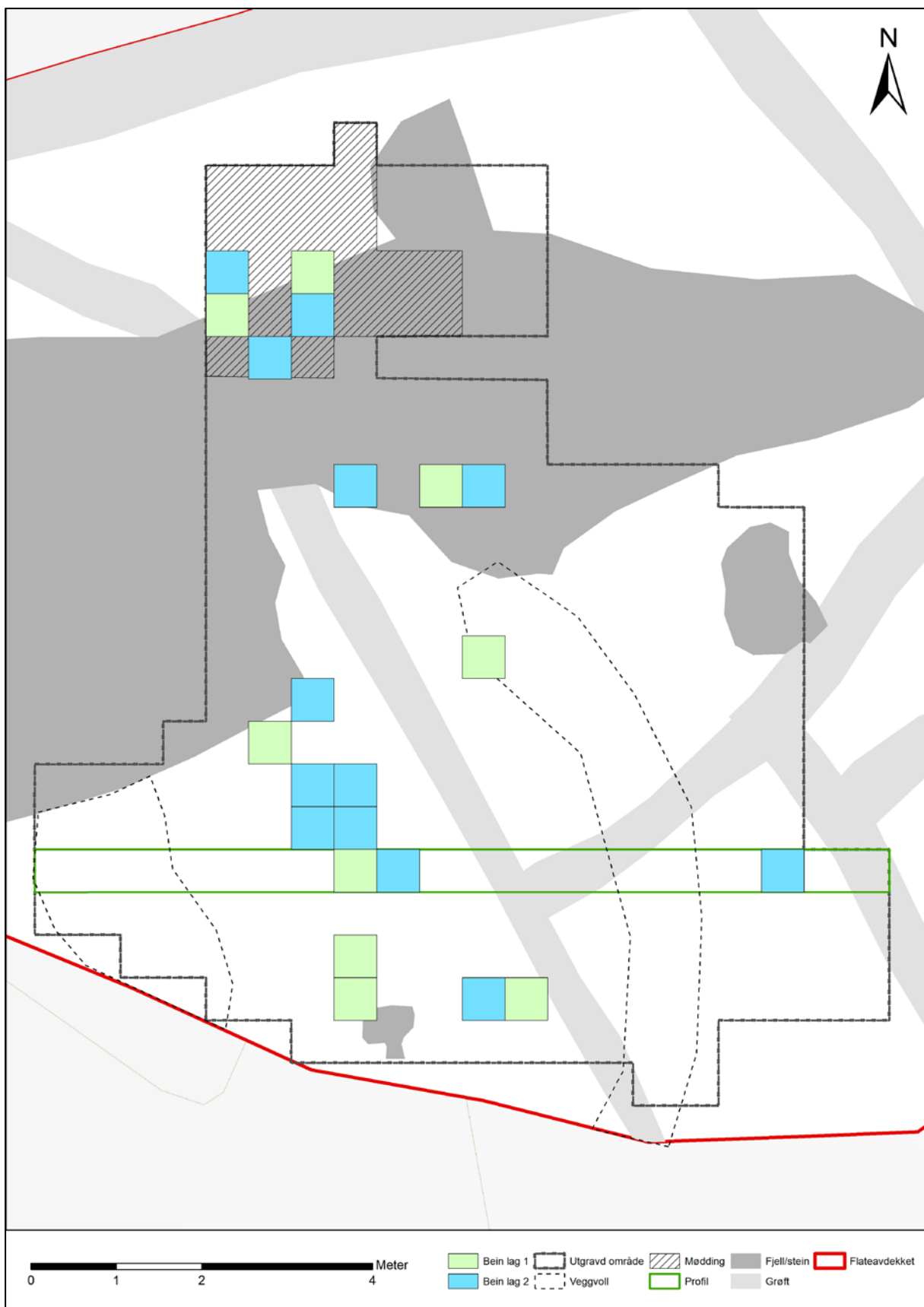
- Å få innsikt i fiske- og fangststrategiene som ble benyttet på Korsmyra (inkludert dybde og avstand fra land).
- Beskrive behandlingen og deponeringen av fisk, samt deponeringen av fiskebein på boplassen.
- Identifisere og tolke de tafonomiske prosessene og avsetningsstrategiene som dannet området.
- Identifisere pattedyr i samlingen, men fokusere på husdyr og marine pattedyr.
- Plassere og tolke lokaliteten i en videre kontekst.

| Lokal X | Lokal Y | Kvadrant | Lag | Museumsnr. | Innsamlet fra |
|---------|---------|----------|-----|-------------|-----------------|
| 108 | 102 | NØ | 1 | T27311:2626 | Tuft |
| 108 | 102 | SØ | 1 | T27311:2628 | Tuft |
| 108 | 104 | SØ | 1 | T27311:2636 | Tuft |
| 109 | 102 | NØ | 1 | T27311:2641 | Tuft, tilfeldig |
| 111 | 101 | SØ | 1 | T27311:2663 | Tuft, tilfeldig |
| 112 | 104 | SV | 1 | T27311:2682 | Tilfeldig |
| 114 | 103 | SØ | 1 | T27311:2694 | Tilfeldig |
| 116 | 101 | NV | 1 | T27311:2706 | Mødding |
| 116 | 101 | SV | 1 | T27311:2708 | Mødding |
| 116 | 102 | NV | 1 | T27311:2711 | Mødding |
| 116 | 102 | SV | 1 | T27311:2713 | Mødding |

Figur 49: Tabell over utvalgte kontekster for analyse fra lag 1.

| Lokal X | Lokal Y | Kvadrant | Lag | Museumsnr. | Innsamlet fra |
|---------|---------|----------|-----|------------------|-----------------|
| 108 | 104 | SV | 2 | T27311:2752 | Tuft |
| 109 | 103 | NV | 2 | T27311:2759 | Tuft |
| 109 | 107 | NØ | 2 | T27311:2766 | Tilfeldig |
| 110 | 102 | NV | 2 | T27311:2774 | Tuft |
| 110 | 102 | NØ | 2 | T27311:2775 | Tuft |
| 110 | 102 | SV | 2 | T27311:2777 | Tuft |
| 110 | 102 | SØ | 2 | T27311:2778 | Tuft |
| 111 | 102 | NV | 2 | T27311:2789 | Tuft |
| 114 | 102 | SØ | 2 | T27311:2815 | Tilfeldig |
| 114 | 104 | SV | 2 | T27311:2822 | Tilfeldig |
| 115 | 101 | NØ | 2 | T27311:2828-2829 | Tuft, tilfeldig |
| 116 | 101 | NV | 2 | T27311:2832 | Tuft, tilfeldig |
| 116 | 102 | SV | 2 | T27311:2839-2840 | Tuft |

Figur 50: Tabell over utvalgte kontekster for analyse fra lag 2.



Figur 51: Kart over utvalgte kontekster med osteologisk materiale som ble sendt til analyse hos Universitetet i Bergen.
Kart: Hanne Bryn, NTNU Vitenskapsmuseet.



Figur 52: Illustrasjonsfoto av osteologisk materiale fra Korsmyra 1. Foto: Hanne Bryn, NTNU Vitenskapsmuseet.

Analyse

Det totale antallet identifiserte bein var 11313, hvorav kun 32 fragmenter kunne identifiseres til taxon. Materialet var brent og svært fragmentert, noe som gjorde identifiseringen vanskelig. Likevel var det mulig å identifisere materialet til klasse (fugl/fisk/pattedyr) eller familie. De utvalgte kvadrantene fra tuften inneholdt en større artssammensetning og en høyere andel identifiserbare elementer enn møddingen.

Fiskebein dominerte gjennom hele materialet, da spesielt torskefisk. Mange fragmenter kunne kun identifiseres til torskefamilien, men atlanterhavstorsk (*Gadus morhua*), lange (*Molva molva*) og sei (*Pollachius virens*) ble identifisert med sikkerhet. Ingen ferskvannsfisk ble identifisert. Det var ett beinfragment fra laks i materialet, men ettersom denne er anadrom vil den ikke kunne klassifiseres som en ren ferskvannsfisk. Det ble identifisert seks tenner fra håbrann (*Lamna nasus*), fire fra møddingen og to fra tuften. Disse tilhører trolig ett individ. En tann og ansiktsknokkelfragment (*premaxillare* eller *maxillare*) fra gråsteinbit (*Anarhichas lupus*) ble også identifisert.

Ett brent bein fra padde, trolig lårbein, ble funnet blandt materialet i møddingen i lag 1. Identifiseringen av herpetologiske levninger er vanskelig og må ofte sees i lys av hele skelettet. Ettersom beinet i tillegg var brent, var en mer detaljert identifisering umulig.

Litt over 50 fragmenter av fuglebein var blandt materialet. De identifiserte artene var alle sjøfugler, dette inkluderer ett vingebein fra havsule (*Morus bassanus*) og et brystbeinfragment fra alke (*Alca torda*). Størsteparten av fuglebena var ikke mulig å identifisere til noen høyere grad enn klasse. Hovedmengden av fuglebeina kom fra tuften, mens møddingen kun hadde seks fragmenter.

Blant 524 fragmenter identifiser som pattedyr, kunne ingen artsbestemmes. Størsteparten var fra tuften. Analysen anser det som sannsynlig at det blant pattedyrbeina var 4 mulige fragmenter av oter (*Lutra lutra*), og 1 mulig fragment av sel (*Phocidae*). I tillegg er det et fragment som kan komme fra rev. På grunn av materialets fragmentering må dette ansees som kun mulige tolkninger. Førtisyv beinfragmenter har tilhørt pattedyr av størrelsen oter.

| | Mødding | | Tuft | | Tifeldig | |
|-----------------------------------|---------------------|--------------|---------------------|--------------|---------------------|-------------|
| | Antall identifisert | Vekt (g) | Antall identifisert | Vekt (g) | Antall identifisert | Vekt (g) |
| <i>Lamna nasus</i> | 4 | 0,2 | 2 | | | |
| <i>Salmonidae</i> , uspesifisert | | | | | 1 | |
| <i>Gadidae</i> , uspesifisert | 24 | 3,5 | 639 | 36,8 | | |
| <i>Gadus morhua</i> | 4 | 1,3 | 5 | 1 | 1 | 0,2 |
| <i>Gadus morhus / Molva molva</i> | 1 | 0,8 | | | | |
| <i>Pollachius virens</i> | 3 | 0,6 | 1 | 0,1 | | |
| <i>Molva molva</i> | 2 | 1 | 6 | 1,3 | | |
| <i>Anarhichas lupus</i> | 2 | 0,1 | | | | |
| Fisk, uspesifisert | 3257 | 212,5 | 4105 | 220,3 | 1139 | 52,5 |
| Amfibier, uspesifisert | 1 | <0,1 | | | | |
| <i>Morus bassanus</i> | | | 1 | 0,3 | | |
| <i>Alca torda</i> | 1 | 0,4 | | | | |
| <i>Alcidae</i> , uspesifisert | 1 | <0,1 | | | | |
| Fugl, uspesifisert | 4 | 0,2 | 38 | 2 | 5 | 0,3 |
| Pattedyr, uspesifisert | 175 | 17,7 | 308 | 27,1 | 41 | 5,3 |
| Pattedyrfisk, uspesifisert | 27 | 1,8 | 1514 | 83 | | |
| Totalt | 3506 | 240,1 | 6619 | 371,9 | 1188 | 58,4 |

Figur 53: Antall identifisert fragmenter og vekt fordelt på tuft, mødding og tilfeldig utvalgte kontekster. Tabell gjengitt etter Beijersbergen, Bratbak og Hufthammer 2018.

| Innsamlet fra | Museumsnr. | Pattedyr | Fisk | Amfibier | Fugl |
|---------------|-------------|----------|------|----------|------|
| Mødding | T27311:2706 | 8 | 187 | | |
| Mødding | T27311:2708 | 10 | 443 | 1 | 1 |
| Mødding | T27311:2709 | | 1 | | |
| Mødding | T27311:2711 | | 171 | | |
| Mødding | T27311:2713 | | 160 | | |
| Mødding | T27311:2714 | | 1 | | |
| Mødding | T27311:2839 | 47 | 1190 | | 1 |
| Mødding | T27311:2840 | 2 | | | |
| Mødding | T27311:2841 | | 2 | | |

| | | | | | |
|--------------------|-------------|------------|-------------|----------|-----------|
| Mødding, tilfeldig | T27311:2828 | | 865 | | 1 |
| Mødding, tilfeldig | T27311:2829 | 76 | 6 | | |
| Mødding, tilfeldig | T27311:2832 | 32 | 271 | | |
| Tilfeldig | T27311:2682 | 1 | 59 | | 1 |
| Tilfeldig | T27311:2694 | 14 | 240 | | |
| Tilfeldig | T27311:2766 | 20 | 316 | | 3 |
| Tilfeldig | T27311:2815 | 1 | 107 | | 1 |
| Tilfeldig | T27311:2822 | 5 | 419 | | 1 |
| Tuft | T27311:2626 | 936 | | | |
| Tuft | T27311:2628 | 20 | 773 | | |
| Tuft | T27311:2636 | 8 | 77 | | |
| Tuft | T27311:2752 | 112 | 47 | | 35 |
| Tuft | T27311:2759 | 13 | 152 | | |
| Tuft | T27311:2774 | 58 | 635 | | |
| Tuft | T27311:2775 | | 107 | | 2 |
| Tuft | T27311:2776 | | 1 | | |
| Tuft | T27311:2777 | 8 | 211 | | 1 |
| Tuft | T27311:2778 | 64 | 614 | | |
| Tuft | T27311:2789 | 17 | 312 | | |
| Tuft, tilfledig | T27311:2614 | | 802 | | |
| Tuft, tilfeldig | T27311:2663 | 8 | 91 | | 1 |
| Totalt | | 524 | 9196 | 1 | 51 |

Figur 54: Tabell over antall fragmenter pr. arkeologiske kontekst og pr. klasse. Tabell gjengitt etter Beijersbergen, Bratbak og Hufthammer 2018.

5. Resultat

Den arkeologiske undersøkelsen i forbindelse med reguleringsendringen av Korsmyra i 2016 resulterte i innhenting av totalt 35305 arkeologiske funn fra to lokaliteter, henholdsvis fra mesolitikum og neolitikum. C¹⁴-dateringene viste aktivitet i tidligmesolitikum for Korsmyra 2 og en lengre bosettingsfase gjennom hele neolitikum for Korsmyra 1.

Undersøkelsesområdet lå i innmark som ikke er blitt plogd i utstrakt grad da området er blitt brukt som beitemark, men også som potetåker og til å skjære torv. På grunn av lite ploying var begge lokalitetene godt bevart med lite omroting som følge av moderne jordbruksaktivitet. De to lokalitetene representerer to ulike deler av steinalderen. Dette vises både i materialet og i typen aktivitet på lokalitetene. Mens det på Korsmyra 2 var et lite funnområde som bar preg av å ha vært et kort opphold, har Korsmyra 1 spor etter gjentagende aktivitet i form av et tykt kulturlag og spor etter en tuft.

Korsmyra 2

Korsmyra 2 var den eldste av de to lokalitetene og viste til en kort aktivitetsfase. Det er blitt laget et ildsted, produsert redskaper og trolig satt opp telt. Gjenstandsmaterialet viste at bruksfasen hørte hjemme i TM da det bestod av tidstypiske gjenstander som tangespisser, ensidige kjerner og flekker med plattformrest. Dateringen av kullprøve K2559 som ble samlet inn fra kullholdig struktur A224 og sett i sammenheng med ildsted A223, plasserte aktiviteten midt i tidligmesolitikum (TM2) med en datering til BC 9117-8639 (BP 9840 ± 35). Dette bygger opp under den typologiske dateringen av lokaliteten.

Høyden til det utgravde laget var på 11,8 moh. og lå på baksiden av en strandvoll som hadde en maksimal høyde på 13,3 moh. Det arkeologiske materialet på Korsmyra 2 lå i fin sand rett under torvdekket og bar ikke preg av å ha blitt begravd i sedimentene. Det var heller ikke noen utstrakt vannrulling av artefaktene innenfor de utgravde lag. Normalt sett ville denne mangelen på vannrulling ha pekt i retning av at lokaliteten hadde sin opprinnelse etter transgresjonen, i SM, og at det var blitt brent gamle trestokker på ildstedet. På grunn av typologiske elementer i gjenstandsmaterialet som forbindes med TM, samt mangelen på vannrulling, peker dette imot at strandvollen er blitt dannet som følge av transgresjonen og at den har beskyttet funnområdet mot utvasking. Uten denne strandvollen ville vi ikke ha funnet ildstedet, og aktivitetsområdet med artefaktene ville heller trolig ikke ha eksistert i dag.

Det ble også registrert en neolitisk aktivitet på Korsmyra 2. Denne aktiviteten kan trolig sees i sammenheng med Korsmyra 1, og bestod av gjenstander av slipt skifer samt et kulturlag over deler av lokaliteten. Dette kulturlaget var tynt og hadde få gjenstandsfunn som klart kunne knyttes til neolitikum. Gjenstandene av slipt skifer ble funnet innenfor det utgravde området og som løsfunn i avdekkingsmassene. Den neolitiske aktiviteten i området har trolig hatt en større utbredelse enn de registrerte lokalitetene. Det ble bl.a. gjort funn av et makroavslag av flint med bruksspor (T27310:963) under byggingen av sålestasjonen nord for Korsmyra 2. Det er ikke registrert lokalitet her.

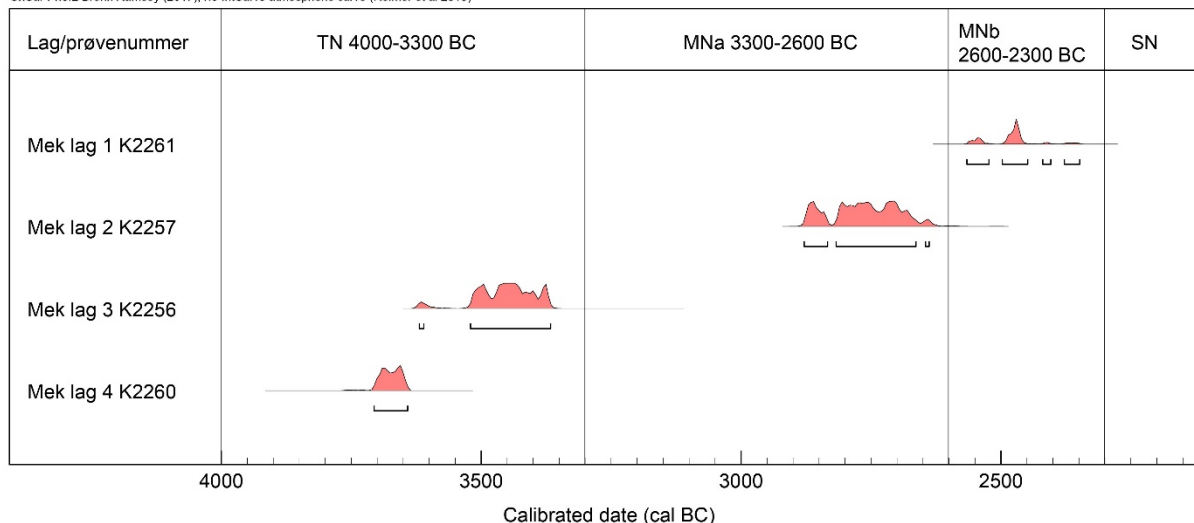
Korsmyra 1

Dannelsen av kulturlaget på Korsmyra 1 har vært et resultat av bosetting over lang tid hvor matavfall, kull fra ildsteder og redskapsproduksjon har vært med på å danne et tykt og rikt lag. Gjenstandsmaterialet var rikt, men hardt redusert ved bipolar teknikk. Det ble funnet rett i underkant av 800 bipolare kjerner og bipolare kjernefragmenter, og ingen flekker var regulære. Det var heller ingen prosjektiler av flint i materialet. Derimot ble det funnet en stor mengde pilspisser av slipt skifer, flere tidstypiske for mellomneolitikum.

Det ble til sammen samlet inn fem trekullprøver fra profilbenken sentralt i tuften, hvorav fire prøver ble tatt i samme sekvens fra profil 2574, den søndre side av profilen (prøve K2257, K2258, K2260 og K2261). Den femte prøven (K2262) ble samlet inn fra mekanisk lag 3 i profil 2575 (nordre side) og ble datert BC 3618-3370 (BP 4675 ± 25). Disse prøvene viste lite omroting av lagene i tuften, da den eldste prøven ble samlet inn fra mekanisk lag 4 og den

yngste fra mekanisk lag 1. C¹⁴-dateringene fra trekullprøvene som ble samlet inn fra profilbenken viste en bruksfase på ca. 1350 år, fra midt i TN til MNb. Det ble samlet inn to hasselnøtteskall fra lag 1 i møddingen. Hasselnøtt H2591 ble datert til BC 2565-2461 (3965 ± 15) og hasselnøtt H2588 ble datert til BC 2470-2308 (3905 ± 20). Begge ble samlet inn fra mekanisk lag 1. Dateringene plasserer seg i MNb og samsvarer med trekullprøve K2261 innsamlet fra mekanisk lag 1 i profil 2574.

OxCal v4.3.2 Bronk Ramsey (2017); r:5 IntCal13 atmospheric curve (Reimer et al 2013)



Figur 55: Trekkulldateringer fra profil 2574 på Korsmyra 1.

Spredningen i dateringsresultatene viser totalt en aktivitet på Korsmyra 1 over nesten 1900 år. Det største tidsspennet sees i trekkulldateringene. Her sees jevn aktivitet gjennom TN, før det blir et opphold i første halvdel av MNa. Aktiviteten gjenoppstår i siste halvdel av MNa og fortsetter ut i SN. Dateringsresultatene fra hasselnøtteskallene viser til en tidshorisont på 1400 år. Disse dateringene viser en jevn aktivitet gjennom TN og første halvdel av MNa. Det blir et opphold i aktiviteten i siste halvdel av MNa, før det kommer en ny fase i MNb. (se figur 46 og 47 under dateringer). Hvorvidt dette representerer et opphold i bosettingsaktiviteten på Korsmyra 1 eller ikke er vanskelig å si noe om. Dateringer av hasselnøtteskall kan være mer representative for aktivitetsfasen da nøttene er kortlevde planter som trolig er benyttet i rimelig tid etter sanking. Trekkullprøver kan gjøre at dateringene viser en videre tidshorisont enn hva som er reelt for lokalitetens bruksfase, da det ikke kan utelukkes at det er blitt brukt gammelt treverk i ildstedene. Siden oppholdet i dateringene faller på henholdsvis første og siste halvdel i MNa, utfyller de hverandre. Hvis det er blitt brukt gammelt treverk i ildstedene, kan oppholdet trekkulldateringene viser i MNa være misvisende for den reelle aktiviteten på lokaliteten.

Det osteologiske materialet viste en forhøyet funnmengde innenfor tuften samt i møddingen i nord. I møddingen forblir beinkonsentrasjonen på samme sted både i mekanisk lag 1 og 2. innenfor tuften sees det en endring i hvor det osteologiske materialet er deponert; fra å ha hovedvekten i den sørlige ytterkant av tuften med høyere verdier inn mot midten i mekanisk lag 1, til å forflyttes til de sentrale deler i mekanisk lag 2 og 3. De sentrale delene av tuften hvor de ble funnet mest osteologisk materiale i mekanisk lag 2 og 3 sammenfaller med de høyeste konsentrasjonene av brent flint i alle lag. Det ble ikke funnet spor etter ildsted innenfor tuften, men spredningen av den brente flinten samt forhøyede verdier osteologisk materiale, indikerer ildstedets plassering sentralt i tuften. For funnspredningskart, se vedlegg 7.

Det ble gjort jordmikromorfologiske analyser av kulturlaget innfor tuften. Richard MacPhail (2017) mener prøvene indikerer en periodisk bosetning, mulig en sesongboplass for jakt og fiske. De jordmikromorfologiske prøvene som ble samlet inn fra profilbenken viser at det trolig har vært en gjengroing av området mellom bosettingsfaser. Spor etter røtter viser til vegetasjon mellom lagene. Det ble også observert tynne lag med sand som igjen viser til en vinterosjon/gjenblåsing i brakkperioder. Lagene var tynne, noe som viser til at brakkperiodene har vært korte. Laget bar preg av tramping og det var lite eller ingen omroting til forskjell fra mange andre kulturlagslokaliteter. MacPhail mener at til forskjell fra andre bosettingslag med tufter, viser lagene fra Korsmyra 1 lite eller ingen omarbeiding. Det kan også legges til at noe av kullet som var misfarget av jernfosfat kan indikere en bruk av drivved, noe som er observert ved andre norske kystboplasser. Denne mulige bruken av drivved kan være grunnen til den lange aktivitetsfasen som sees i dateringsmaterialet.

Resultatene av de osteologiske analysene viser at folkene som hadde tilhold på Korsmyra i neolitikum helt klart hadde en marin livsstil. Hovedvekten av det analyserte materialet var fra fisk, da hovedsakelig torskefisk, og ingen ferskvannsfisk. De identifiserte fuglene var sjøfugl, og selv om ingen av pattedyrbeina kunne identifiseres til taxon med sikkerhet, er det likevel sannsynlig at sel og oter er representert blant materialet. Det eneste avviket fra dette marine fokuset var ett fragment av skinnebein som kan komme fra rev.

Det ble funnet flere tenner fra håbrann i løpet av utgravingen. Hattenner ble også funnet under utgravingen i 2013 (Lorentzen 2013). Håbrann er en rask jeger som finnes i størst antall på fiskebankene, men den kan også forekomme på grunnere vann nære land. Håbranner er store og aktive, og kraftig utstyr er nødvendig da haien kan ha en størrelse på opptil 3 m og med en vekt på 200 kg. Om håbrannen på Korsmyra ble fanget eller skylt i land vites ikke, men ettersom to tenner ble funnet i tuften er det nærliggende å tro at den er blitt fanget. Siden tennene og trolig resten av skallen er blitt brent sammen med øvrig fiskeavfall på boplassen, er den trolig blitt utnyttet av folkene på Korsmyra. Funn av bruskfisk begrenses ofte til tenner da resten av skjelettet ikke bevares.

På grunn av brenningsgraden og fragmenteringen av materialet, kunne ingen av fragmentene bedømmes til størrelse, og noen formening om fiskens størrelse er derfor kun antagelser. Ulike fiskemetoder brukes for å fange fisk av ulik størrelse. Tosk fanges ofte nære land, mens større tosk vanligvis fanges på dypere vann. Sei og lange fanges vanligvis på dypt vann, men de kan også finnes nærmere land. Steinbit forekommer på dypt vann nære bunnen. Stor steinbit holder seg vanligvis på dypt vann, men kan finnes på grunnere vann om våren. Med dette utvalget av fisk i materialet, kan det tolkes til at folkene på Korsmyra trolig har fisket på dypt vann. Områdene rundt Bud er grunne i dag, og det er vanskelig å fiske fra land. Med et flatt landskap har området trolig også vært langgrunt i neolitikum, og det er nærliggende å tro at steinaldermenneskene har reist ut i båt for å fiske. Som så mange andre steder langs kysten, trenger en ikke reise veldig langt ut for å nå dypere vann. Fra Kalsneset som ligger om lag 800 m i luftlinje sør for Korsmyra, er det mindre enn 500 m ut til dybder på opptil 200 m. Den eneste sesongindikatoren som ble funnet i materialet, var laks. Fordi laks gyter i ferskvann, men tilbringer størstedelen av livet i åpent hav, er denne ofte brukt som en indikator på at boplassene er brukt om sommeren.

Foruten fisk, var også sjøfugl en del av dietten til folkene på Korsmyra. Havsulen tilbringer store deler av livet ute til havs, og den nærmeste hekkeplassen er i dag på Runde. Trolig var havsulen mer utbredt langs kysten i neolitikum, og på grunn av bein fra havsuler i materialet, kan det antydes at det har vært en hekkekoloni i nærheten av boplassen på Korsmyra. Når det gjelder pattedyrene i materialet er det trolig at disse tilhører dyr som ble fanget for pelsen. I forhold til fisk, har pattedyr spilt en mindre rolle for livsgrunnlaget. Det ble heller ikke funnet spor etter tamdyr.

6. Litteratur

Bjerck, H.B. (red.), L.I. Åstveit, T. Meling, J. Gundersen, G. Jørgensen & S. Normann 2008: *NTNU Vitenskapsmuseets arkeologiske undersøkelser Ormen Lange Nyhamna*. Trondheim: Tapir Akademisk Forlag.

Bondevik, S., J.I. Svendsen og J. Mangerud 1998: Distinction between the Storegga tsunami and the Holocene marine transgression in costal basin deposits of western Norway. *Journal of Quaternary Science*, 13(6):529-537.

Brøgger A.W. 1909: *Den Arktiske Stenalder i Norge*. Videnskabs-Selskabets Skrifter II. Hist-Filos. Klasse 1909. No. 1. Christiania

Gjessing, G. 1942: *Yngre Steinalder i Nord-Norge*. Instituttet for sammenlignende kulturforskning. Serie B skrifter 39

Haug, A. 2014: *Prosjektplan. Reguleringsplan for Korsmyra. Bud, Fræna, Møre og Romsdal*. NTNU Vitenskapsmuseet.

Helskog, K., S. Indrelid og E. Mikkelsen 1976: Morfologisk klassifisering av slåtte steinartefakter. *Universitetets Oldsaksamling Årbok 1972-74*, s. 9-40.

Johnston, A. og T.B. Johnston 2013: *Innberetning om registrering, Korsmyra boligfelt*. Arkeologisk registreringsrapport, Møre og Romsdal fylkeskommune.

Lorentzen, A.B. 2013: *Rapport. Reguleringsplan fylkesvei 664. Gangvei Bud skole – Bud stadion*. NTNU Vitenskapsmuseet arkeologisk rapport.

Svendsen, J.I. og J. Mangerud 1987: Late Weichselian and Holocene sea-level history for a cross-section og western Norway. *Journal of Quaternary Science*, 2:113-132.

Vedlegg

Vedlegg 1 Fotoliste

Vedlegg 2 Kontekstliste

Vedlegg 3 Rutekart

 3.1 Rutekart Korsmyra 1

 3.2 Rutekart Korsmyra 2

Vedlegg 4 C¹⁴-prøver

 4.1 Tabell over samtlige C¹⁴-prøver

 4.2 Oversiktskart kontekster med trekullprøver

 4.3 Oversiktskart kontekster med hasselnøttskall

Vedlegg 5 Funnliste

 5.1 Funnliste T27310

 5.2 Funnliste T27311

Vedlegg 6 Katalogtekst

 6.1 Katalogtekst T27310

 6.2 Katalogtekst T27311

Vedlegg 7 Spredningskart

- 7.1 Spredningskart vekt bein lag 1
- 7.2 Spredningskart vekt bein lag 2
- 7.3 Spredningskart vekt bein lag 3
- 7.4 Spredningskart brent flint lag 1
- 7.5 Spredningskart brent flint lag 2
- 7.6 Spredningskart brent flint lag 3

Vedlegg 8 Naturvitenskaplige rapporter

- 8.1 Analyserapport makrofossil, Natur og Kultur
- 8.2 Analyserapport jordmikromorfologi, University College London
- 8.3 Analyserapport Osteologi, Universitetet i Bergen

Vedlegg 1: Fotoliste

Feltfoto Da61856

| Filnavn | Beskrivelse | Retning | Dato | Fotograf |
|-------------|---|----------|------------|---------------------|
| Da61856_001 | Avdekking Korsmyra 1 | Vest | 09.08.2016 | Hanne Bryn |
| Da61856_002 | Avdekking Korsmyra 1 | Vest | 09.08.2016 | Hanne Bryn |
| Da61856_003 | Avdekking Korsmyra 1. Monica Svendsen krafser | Vest | 09.08.2016 | Hanne Bryn |
| Da61856_004 | Avdekking Korsmyra 1. Isabella Foldøy krafser | Nordvest | 09.08.2016 | Hanne Bryn |
| Da61856_005 | Ferdig såldestasjon | Øst | 11.08.2016 | Hanne Bryn |
| Da61856_006 | Avdekking Korsmyra 2 | Sørvest | 11.08.2016 | Hanne Bryn |
| Da61856_007 | Graving av prøvekvaranter Korsmyra 2 | Sørøst | 11.08.2016 | Hanne Bryn |
| Da61856_008 | Graving av prøvekvaranter Korsmyra 2 | Vest | 16.08.2016 | Hanne Bryn |
| Da61856_009 | Arbeidsbilde. Graving av lag 1 på Korsmyra 1 | Nord | 24.08.2016 | Hanne Bryn |
| Da61856_010 | Arbeidsbilde. Graving av lag 1 på Korsmyra 1 | Sør | 24.08.2016 | Hanne Bryn |
| Da61856_011 | Arbeidsbilde. Oversikt over Korsmyra 1 | Nordvest | 24.08.2016 | Hanne Bryn |
| Da61856_012 | Framrensing av steinlegging på Korsmyra 1 etter utvidelse mot øst. | Sørøst | 01.09.2016 | Hanne Bryn |
| Da61856_013 | Oversiktsbilde Korsmyra 1. Ferdig gravd lag 1 | Vest | 02.09.2016 | Hanne Bryn |
| Da61856_014 | Oversiktsbilde Korsmyra 1. Ferdig gravd lag 1 | Sørvest | 02.09.2016 | Hanne Bryn |
| Da61856_015 | Planfoto av steinlegging 204 | Sør | 15.09.2016 | Hanne Bryn |
| Da61856_016 | Planfoto av steinlegging 204 | Vest | 15.09.2016 | Hanne Bryn |
| Da61856_017 | Feltkatt | Vest | 15.09.2016 | Hanne Bryn |
| Da61856_018 | Oversiktsbilde Korsmyra 1. Ferdig gravd lag 2 | Øst | 26.09.2016 | Hanne Bryn |
| Da61856_019 | Oversiktsbilde Korsmyra 1. Ferdig gravd lag 2 | Vest | 26.09.2016 | Hanne Bryn |
| Da61856_020 | Oversiktsbilde Korsmyra 1. Ferdig gravd lag 2 | Nordvest | 26.09.2016 | Hanne Bryn |
| Da61856_021 | Arbeidsbilde. Graving av lag 1 på Korsmyra 2 | Nordøst | 26.09.2016 | Hanne Bryn |
| Da61856_022 | Arbeidsbilde. Graving av lag 1 på Korsmyra 2 | Nordøst | 26.09.2016 | Hanne Bryn |
| Da61856_023 | Arbeidsbilde. Michal sålder i høstsol | Sørøst | 26.09.2016 | Hanne Bryn |
| Da61856_024 | Korsmyra 2. Ferdig gravd lag 1 | Øst | 26.09.2016 | Hanne Bryn |
| Da61856_025 | Korsmyra 2. Ferdig gravd lag 1 | Vest | 26.09.2016 | Hanne Bryn |
| Da61856_026 | Steinstruktur A223 Korsmyra 2 før utgraving | Nord | 26.09.2016 | Michal Adamczyk |
| Da61856_027 | Detaljbilde steinstruktur A223 på Korsmyra 2. Flint synlig i overflaten etter fjerning av steiner i toppen. | Nord | 27.09.2016 | Michal Adamczyk |
| Da61856_028 | Profil steinstruktur A223 på Korsmyra 2 | Øst | 27.09.2016 | Michal Adamczyk |
| Da61856_029 | Planfoto kullflekk A224. Tatt i regn | Vest | 28.09.2016 | Margrethe Langhelle |
| Da61856_030 | Korsmyra 1. Lag 3 ferdig gravd | Vest | 05.10.2016 | Hanne Bryn |
| Da61856_031 | Oversiktsbilde profilbenk på Korsmyra 1. Sett mot nord | Sør | 06.10.2016 | Hanne Bryn |
| Da61856_032 | Beinlag i profilbenk på Korsmyra 1 | Vest | 06.10.2016 | Hanne Bryn |
| Da61856_033 | Dronefoto Korsmyra 1 med folk | | 08.09.2016 | Raymond Sauvage |

| | | | | |
|-------------|--|------|------------|-----------------|
| Da61856_034 | Dronefoto Korsmyra 1 og 2 | | 08.09.2016 | Raymond Sauvage |
| Da61856_035 | Dronefoto av Bud med utgravningsfeltene i forgrunnen | Vest | 08.09.2016 | Raymond Sauvage |
| Da61856_036 | Dronefoto Korsmyra 1 uten folk | | 20.09.2016 | Raymond Sauvage |
| Da61856_037 | Dronefoto steinlegging Korsmyra 1 | | 20.09.2016 | Raymond Sauvage |

Fotogrammetri Da62048-Da62053

| Filnavn | Beskrivelse | Dato | Fotograf |
|---------|---|------------|-----------------|
| Da62048 | Fotogrammetri av Korsmyra 1 etter avdekking | 20.09.2016 | Raymond Sauvage |
| Da62049 | Fotogrammetri av Korsmyra 2 etter avdekking | 08.09.2016 | Raymond Sauvage |
| Da62050 | Fotogrammetri av utgravd lag 1, Korsmyra 1 | 09.09.2016 | Hanne Bryn |
| Da62051 | Fotogrammetri av utgravd lag 2, Korsmyra 1 | 26.09.2016 | Hanne Bryn |
| Da62052 | Fotogrammetri av utgravd lag 3, Korsmyra 1 | 05.10.2016 | Hanne Bryn |
| Da62053 | Fotogrammetri av utgravd lag 1, Korsmyra 2 | 26.09.2016 | Hanne Bryn |

Gjenstandsfoto Da62100

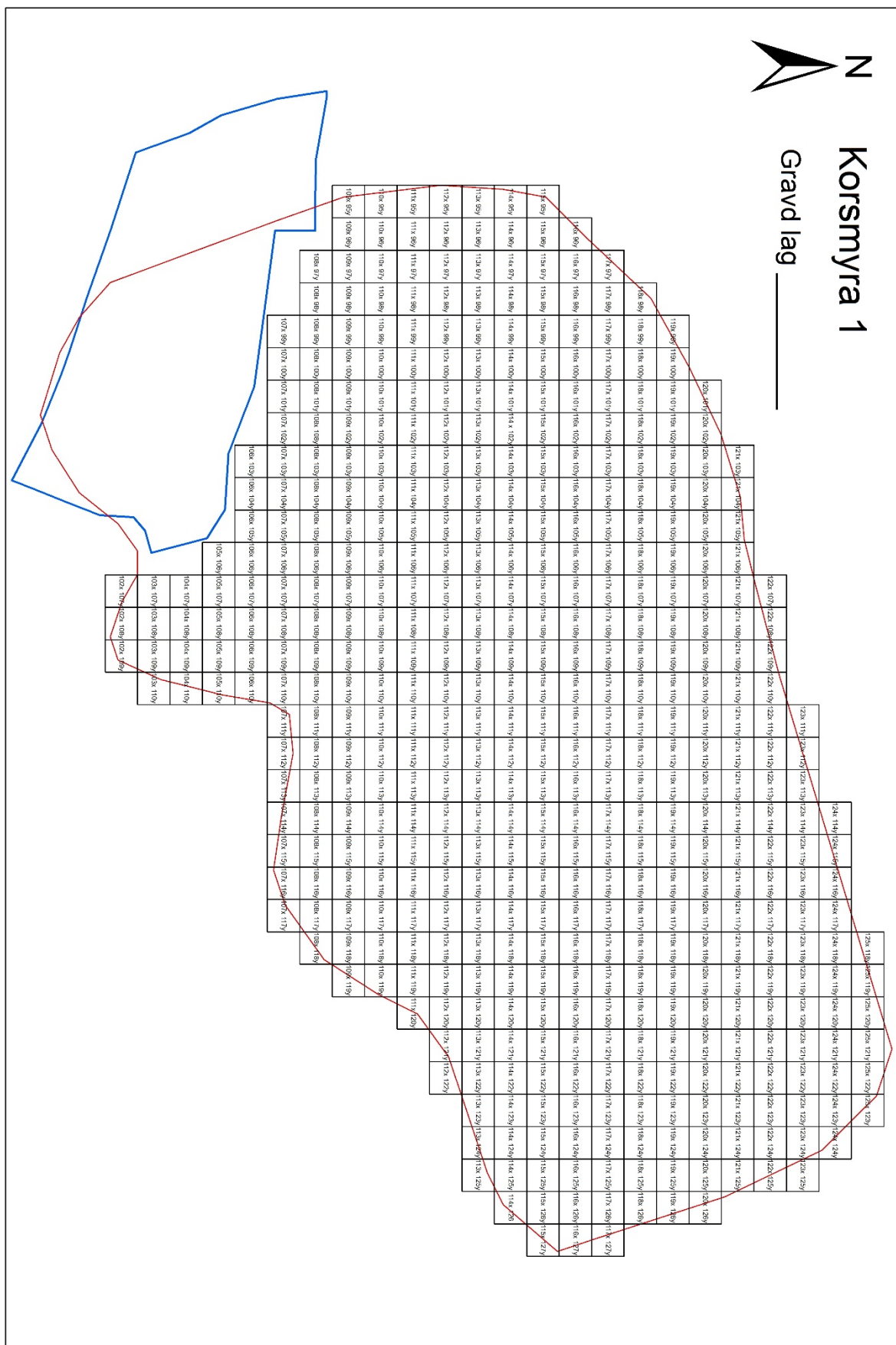
| Filnavn | Beskrivelse | Dato | Fotograf |
|-------------|--|------------|-----------|
| Da62100_001 | Tangespisser i flint fra Korsmyra 2. Fra venstre øverst: T27310:707, T27310:810, T27310:647, T27310:476, T27310:914, T27310:853, T27310:750, T27310:595, T27310:749, T27310:171. | 07.12.2017 | Åge Hojem |
| Da62100_002 | Ensidige kjerner i flint fra Korsmyra 2. Fra venstre øverst: T27310:247, T27310:128, T27310:136, T27310:58. | 07.12.2017 | Åge Hojem |
| Da62100_003 | Mulig skiveøks og kjerneøks i flint fra Korsmyra 2. T27310:137 og T27310:940. | 07.12.2017 | Åge Hojem |
| Da62100_004 | Pilspisser i slipt skifer. T27311:1126, T27311:450, T27311:705, T27311:1604, T27311:574. | 07.12.2017 | Åge Hojem |
| Da62100_005 | Pilspisser i slipt skifer. T27311:919, T27311:1484, 1494. | 07.12.2017 | Åge Hojem |
| Da62100_006 | Fiskekrok i bein/gevir. T27311:1781 | 07.12.2017 | Åge Hojem |
| Da62100_007 | Harpun i horn/gevir. T27311:1905 | 07.12.2017 | Åge Hojem |
| Da62100_008 | Harpun i horn/gevir. T27311:1905 | 07.12.2017 | Åge Hojem |
| Da62100_009 | Slipt meisel i bergart T27311:901, firesidig bergartsøks T27311:1173, Slipt meisel i bergart T27311:2348. | 07.12.2017 | Åge Hojem |
| Da62100_010 | Garnsøkke i bergart. T27311:197. | 07.12.2017 | Åge Hojem |
| Da62100_011 | Tveegget kniv i skifer. T27311:1622. | 07.12.2017 | Åge Hojem |
| Da62100_012 | Slipte emner med knekkfure (sjokoladeplate) T27311:1288, T27311:159, T27311:668 | 07.12.2017 | Åge Hojem |
| Da62100_013 | Kniver i flint: T27311:2116, T27311:1526, T27311:1338. Skrapere i flint: T27311:2612, T27311:2514, T27311:1430 | 07.12.2017 | Åge Hojem |

Vedlegg 2: Kontekstliste

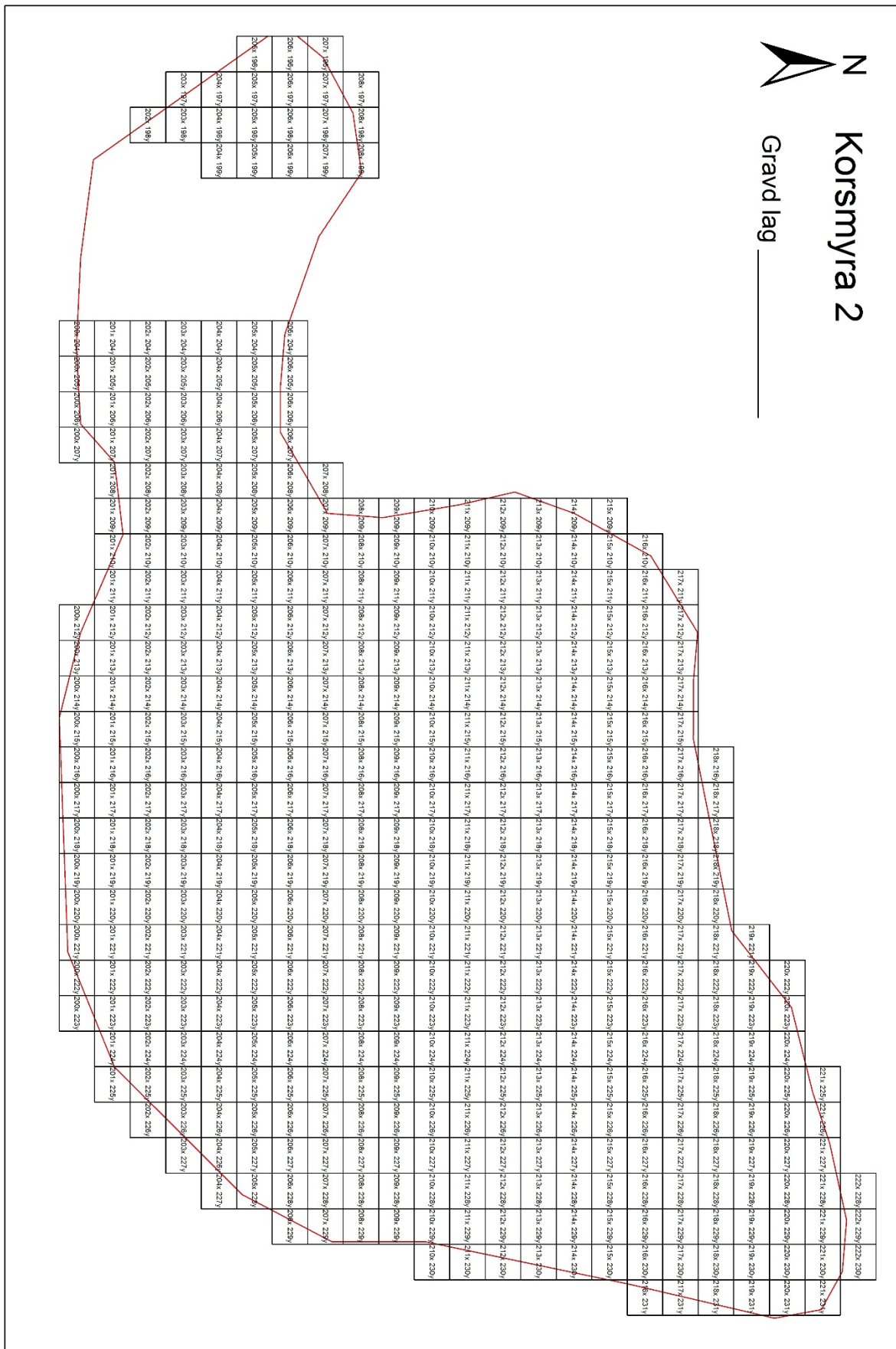
| ID | Kontekst | Beskrivelse | Lengde i cm | Bredde i cm | Dybde i cm |
|-----|------------------------|--|-------------|-------------|------------|
| 203 | Grop | Ikke undersøkt | | | |
| 204 | Steinlegging Avskrevet | Lett oval i plan. Noe vanskelig å se avgrensning i sør grunnet steinet undergrunn. Består av jevnstor kuppel (rullestein). Noe flintfunn og nagle gjort under opprensing. Tolkes som mulig gravanlegg. Avskrevet etter undersøkelse. Det viste seg at det kun dreide seg om moderne drenering. | 375 | 345 | |
| 205 | Steinlegging Avskrevet | Større Steinlegging i feltets østre hjørne. Består av flate heller lagt ned inntil hverandre. Ser ut til å være samme som grunnfjellet. Feltet ble utvidet for å finne avgrensningen. Få funn av flint under opprensing. Ligger inntil berg i sørøst, noe ujevn i avgrensningen i nord/nordvest. Ligger over en forsenkning i grunnfjellet. Avskrevet etter undersøkelse. Moderne drenering. Sjakt 229 ble gravd gjennom steinleggingens midtre del. Lå kun på grunnfjell, noe kulturlag under. | 1200 | 450 | |
| 206 | Kulturlag | Kulturlagsforekomst på Korsmyra 2. Meget tynt, men mørkere enn torvjorden over. Sannsynligvis spor etter en aktivitetsfase i yngre steinalder. | 2200 | 700 | 1-2 |
| 207 | Kulturlag | Beinkonsentrasjon i mekanisk lag 1 på Korsmyra 1. | | | |
| 208 | Kulturlag | Beinkonsentrasjon i Mekanisk lag 1 på Korsmyra 1 | | | |
| 209 | Lag | Mekanisk lag 1 vest Korsmyra 1 | | | |
| 212 | Lag | Mekanisk lag 1 øst Korsmyra 1 | | | |
| 217 | Lag | Mekanisk lag 2 øst Korsmyra 1 | | | |
| 218 | Lag | Bunn tuft topp lag 3 Korsmyra 1 | | | |
| 219 | Lag | Kulturlag topp lag 3 Korsmyra 1 | | | |
| 220 | Lag | Kulturlag topp lag 3 Korsmyra 1 | | | |
| 221 | Lag | Mekanisk lag 1 Korsmyra 2 | | | |
| 223 | Steinansamling | Ytre ring med større steiner (20-25 cm) som er fylt med mindre steiner (5-10 cm). Om lag 1 m i diameter. Steinstruktur funnet i top av lag 2. Dekker en konsentrasjon med flintfunn. Inneholder ikke kull. En del flint funnet rett under steinene, få funn i bunn av lag 2. Steinene i konsentrasjonen er ikke blitt brukt til knakkning, da de ikke har synlige bruksspor. Massene under steinen er homogene, ingen synlig struktur utenom steinene. Mulig rest av ildsted, bør sees i sammenheng med kullflekk 224. | 100 | | 5 |
| 224 | Kullflekk | Kullflekk som kom frem etter graving av lag 2 på Korsmyra 2. 0,5 m vest for mulig ildsted 223. Ikke kull synlig i lagene over. Kullprøve tatt ut. | 70 | 60 | |
| 225 | Lag | Kulturlag topp lag 4 Korsmyra 1 | | | |
| 226 | Lag | Mekanisk lag 3 Korsmyra 1 | | | |
| 226 | Lag | Mekanisk lag 3 Korsmyra 1 | | | |
| 227 | Lag | Mekanisk lag 4 Korsmyra 1 | | | |
| 228 | Lag | Mekanisk lag 2 Korsmyra 2 | | | |

| | | | | | |
|------------|----------|--|--|--|--|
| 230 | Lag | Mekanisk lag 3 Korsmyra 2 | | | |
| 231 | Lag | Mekanisk lag 2 vest Korsmyra 1 | | | |
| 232 | Veggvoll | Steinvoller rundt boligflate/tuft på Korsmyra 1. | | | |
| 233 | Mødding | Mødding/avfallsområde nord for tuften på Korsmyra 1. Inneholdt høy andel brent bein, flint og skiferspisser. | | | |

Vedlegg 3.1: Rutekart Korsmyra 1



Vedlegg 3.2: Rutekart Korsmyra 2



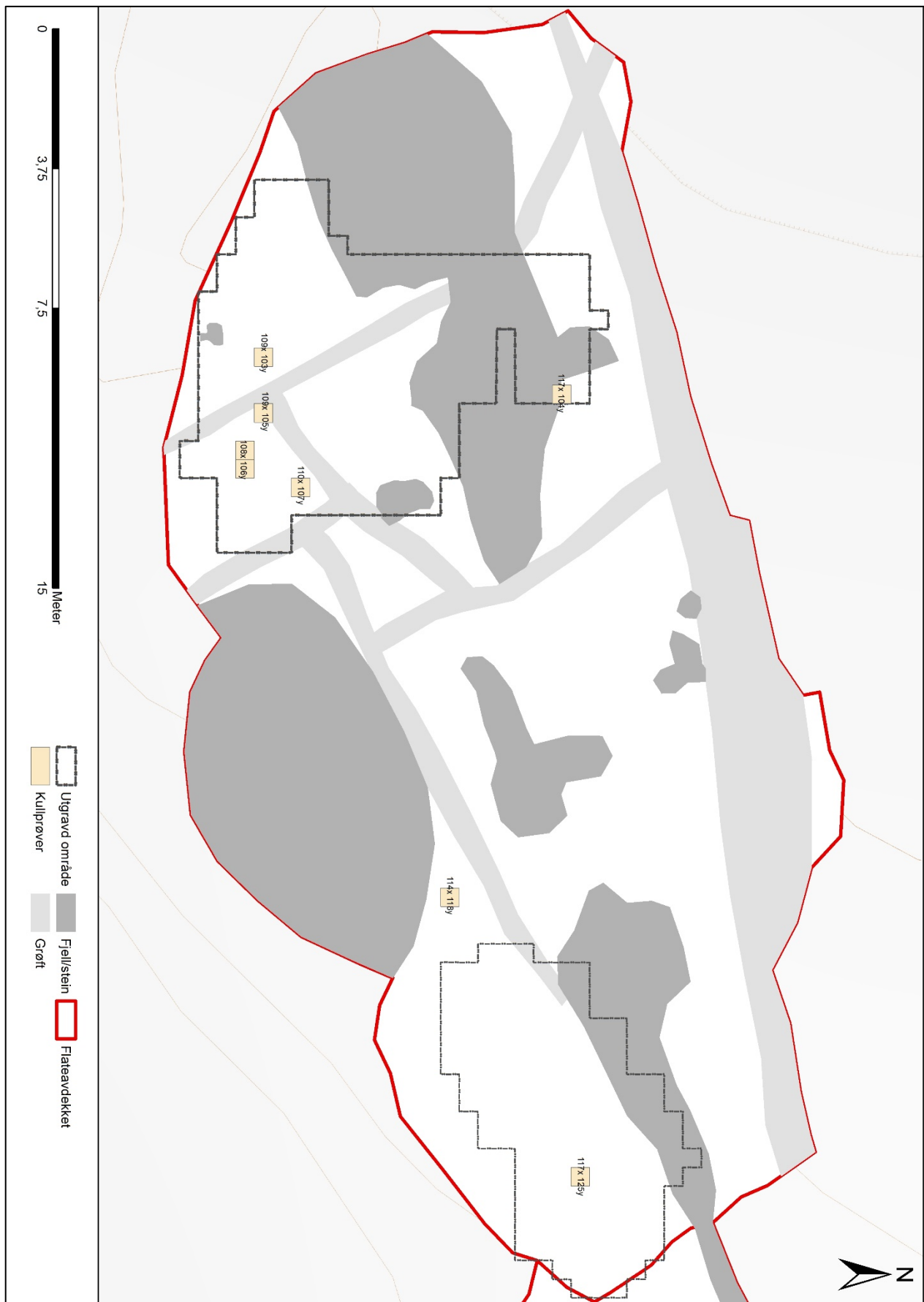
Vedlegg 4.1: Tabell over C¹⁴-prøver

OxCal v4.3.2 Bronk Ramsey (2017); r.5; IntCal13 atmospheric curve (Reimer et al 2013)

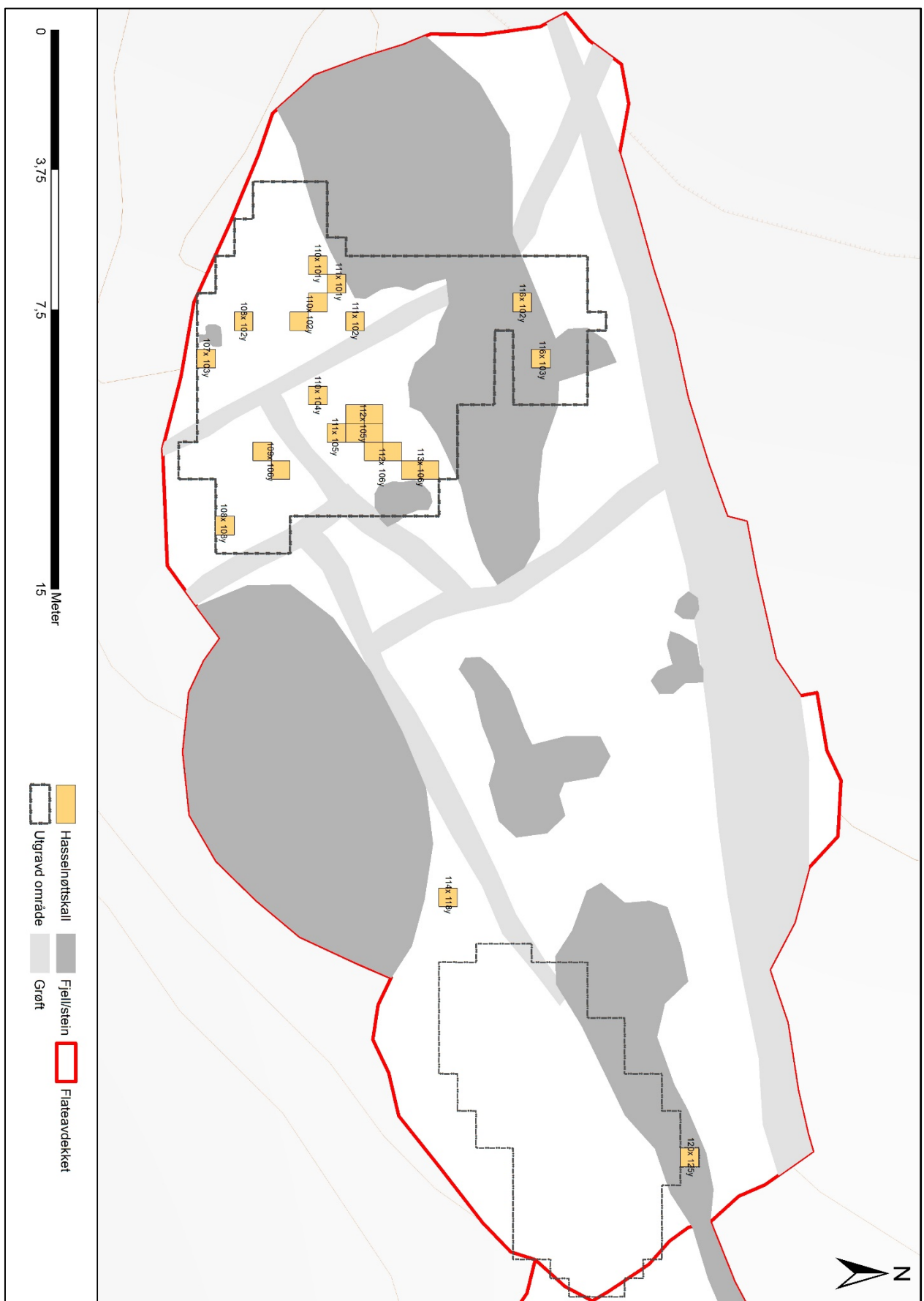
| Prøvenr. | Koordinat/ Strukturnr. | Lab ID. | Datert materiale | Datert BP | Kalibrert alder 1 sigma | Kalibrert alder 2 sigma |
|----------|---------------------------|-----------|--|-------------|----------------------------|----------------------------|
| 2256 | Profil 2574 | TRa-11180 | Trekull av bjørk/ vier (<i>Betula sp./</i> <i>Salix sp.</i>) | 4670 +/- 30 | BC 3515-3373 | BC 3620-3367 |
| 2257 | Profil 2574 | TRa-11181 | Trekull av hassel/or/bjørk (<i>Corylus sp./</i> <i>Alnus sp./</i> <i>Betula sp.</i>) | 4165 +/- 25 | BC 2873-2696 | BC 2879-2639 |
| 2260 | Profil 2574 | TRa-11182 | Trekull av bjørk (<i>Betula sp.</i>) | 4895 +/- 25 | BC 3695-3651 | BC 3707-3642 |
| 2261 | Profil 2574 | TRa-11183 | Trekull av hassel (<i>Corylus</i> <i>sp.</i>) | 3955 +/- 20 | BC 2550-2460 | BC 2566-2349 |
| 2262 | Profil 2575 | TRa-11184 | Trekull av hassel (<i>Corylus</i> <i>sp.</i>) | 4675 +/- 25 | BC 3515-3374 | BC 3618-3370 |
| 2559 | A224 | TRa-11185 | Trekull av bjørk (<i>Betula sp.</i>) | 9480 +/- 35 | BC 8824-8711 | BC 9117-8639 |
| 2576 | 117x 125y NØ Lag 1 | TRa-11186 | Trekull av furu (<i>Pinus sp.</i>) | 2405 +/- 20 | BC 488-409 | BC 703-402 |
| 2577 | 108x 106y NØ Lag 4 | TRa-11187 | Trekull av bjørk (<i>Betula sp.</i>) | 4960 +/- 25 | BC 3766-3705 | BC 3791-3662 |
| 2578 | 114x 118y SV Lag 1 | TRa-11188 | Trekull av furu (<i>Pinus sp.</i>) | 3725 +/- 20 | BC 2194-2047 | BC 2200-2037 |
| 2579 | 108x 106y NV Lag 4 | TRa-11189 | Trekull av bjørk (<i>Betula sp.</i>) | 4885 +/- 25 | BC 3694-3645 | BC 3702-3641 |
| 2580 | 117x 104y NØ Lag 1 | TRa-11190 | Trekull av bjørk / vier/osp (<i>Betula</i> <i>sp./Salix</i> <i>sp./Populus sp.</i>) | 4085 +/- 25 | BC 2834-2576 | BC 2854-2500 |
| 2581 | 108x 108y SV Lag 1 | TRa-11191 | Hasselnøttskall | 4660 +/- 20 | BC 3501-3372 | BC 3516-3367 |
| 2582 | 113x 106y SØ Lag 1 | Ubenyttet | Hasselnøttskall | | | |
| 2583 | 112x 105y SV Lag 1 | TRa-11192 | Hasselnøttskall | 4665 +/- 20 | BC 3506-3373 | BC 3517-3369 |
| 2584 | 112x 105y SØ Lag 1 | Ubenyttet | Hasselnøttskall | | | |
| 2585 | 111x 105y NV Lag 1 | TRa-11193 | Hasselnøttskall | 4670 +/- 20 | BC 3511-3374 | BC 3518-3371 |
| 2586 | 107x 103y NØ Lag 2 | TRa-11194 | Hasselnøttskall | 4455 +/- 20 | BC 3312-3029 | BC 3329-3024 |

| | | | | | | |
|-------------|-----------------------|-----------|-----------------|-------------|--------------|--------------|
| 2587 | 111x 105y NØ Lag 1 | TRa-11165 | Hasselnøttskall | 4590 +/- 20 | BC 3370-3350 | BC 3495-3196 |
| 2588 | 116x 103y NØ Lag 1 | TRa-11166 | Hasselnøttskall | 3905 +/- 20 | BC 2464-2349 | BC 2470-2308 |
| 2589 | 112x 106y SV Lag 1 | TRa-11167 | Hasselnøttskall | 4470 +/- 15 | BC 3321-3095 | BC 3331-3034 |
| 2590 | 111x 105y SØ Lag 1 | Ubenyttet | Hasselnøttskall | | | |
| 2591 | 116x 102y SV Lag 1 | TRa-11168 | Hasselnøttskall | 3965 +/- 15 | BC 2547-2467 | BC 2565-2461 |
| 2592 | 112x 106y NV Lag 1 | Ubenyttet | Hasselnøttskall | | | |
| 2593 | 114x 118y SV Lag 2 | TRa-11169 | Hasselnøttskall | 4665 +/- 15 | BC 3501-3374 | BC 3516-3369 |
| 2594 | 109x 106y SV Lag 3 | TRa-11170 | Hasselnøttskall | 4885 +/- 15 | BC 3694-3646 | BC 3696-3643 |
| 2595 | 109x 106y SV Lag 2 | Ubenyttet | Hasselnøttskall | | | |
| 2596 | 120x 125y NV Lag 1 | TRa-11171 | Hasselnøttskall | 285 +/- 10 | AD 1530-1649 | AD 1526-1650 |
| 2597 | 113x 106y NØ Lag 1 | TRa-11172 | Hasselnøttskall | 4405 +/- 15 | BC 3089-2940 | BC 3092-2929 |
| 2598 | 110x 101y NV Lag 2 | TRa-11173 | Hasselnøttskall | 4590 +/- 15 | BC 3369-3354 | BC 3487-3347 |
| 2599 | 110x 102y NV Lag 2 | TRa-11174 | Hasselnøttskall | 4635 +/- 15 | BC 3495-3367 | BC 3499-3363 |
| 2600 | 108x 102y NØ Lag 1 | TRa-11175 | Hasselnøttskall | 3935 +/- 15 | BC 2476-2353 | BC 2481-2347 |
| 2601 | 110x 102y SØ Lag 2 | TRa-11176 | Hasselnøttskall | 4450 +/- 15 | BC 3264-3028 | BC 3324-3023 |
| 2602 | 111x 102y NØ Lag 2 | TRa-11177 | Hasselnøttskall | 4405 +/- 15 | BC 3089-2940 | BC 3092-2929 |
| 2603 | 110x 104y NØ Lag 2 | TRa-11178 | Hasselnøttskall | 4675 +/- 20 | BC 3512-3375 | BC 3520-3371 |
| 2604 | 109x 106y NØ Lag 2 | TRa-11179 | Hasselnøttskall | 4870 +/- 20 | BC 3662-3639 | BC 3696-3637 |
| 2605 | 111x 101y SØ Lag 2 | Ubenyttet | Hasselnøttskall | | | |

Vedlegg 4.2: Oversiktskart kontekster med trekullprøver



Vedlegg 4.3: Oversiktskart kontekster med hasselnøttskall



Vedlegg 5.1: Funnliste T27310

| Unr. | Antall | Gjenstand | Form | Materiale | X | Y | Kvadrant | Mek.Lag | Funnkontekst |
|------|--------|--------------------|-------------------------|--------------|-----|-----|----------|---------|--------------|
| 1 | 2 | Avslag | | flint | 217 | 227 | NØ | 1 | |
| 2 | 1 | Kjernefragment | bipolart kjernefragment | kvarts | 217 | 227 | SV | 1 | |
| 3 | 1 | Avslag | | flint | 217 | 228 | NV | 1 | |
| 4 | 2 | Avslag | | flint | 217 | 228 | NØ | 1 | |
| 5 | 1 | Kjerne | forarbeide til kjerne | kvarts | 217 | 228 | NØ | 1 | |
| 6 | 4 | Avslag | | flint | 217 | 229 | NV | 1 | |
| 7 | 1 | Avslag | | kvarts | 217 | 229 | NV | 1 | |
| 8 | 1 | Flekke | medioflekke | flint | 217 | 229 | NV | 1 | |
| 9 | 1 | Avslag | | flint | 217 | 229 | NØ | 1 | |
| 10 | 4 | Avslag | | flint | 217 | 229 | SØ | 1 | |
| 11 | 2 | Avslag | | flint | 217 | 230 | NV | 1 | |
| 12 | 1 | Avslag | | flint | 218 | 227 | NV | 1 | |
| 13 | 3 | Avslag | | flint | 218 | 227 | SØ | 1 | |
| 14 | 3 | Avslag | | flint | 218 | 228 | SV | 1 | |
| 15 | 1 | Skrapere | | flint | 218 | 228 | SV | 1 | |
| 16 | 1 | Avslag | | flint | 218 | 228 | NØ | 1 | |
| 17 | 1 | Diagnostisk avslag | flekkelignende avslag | flint | 218 | 228 | NØ | 1 | |
| 18 | 1 | Avslag | | kvarts | 218 | 228 | SØ | 1 | |
| 19 | 2 | Avslag | | flint | 218 | 229 | NV | 1 | |
| 20 | 2 | Avslag | | kvarts | 218 | 229 | NV | 1 | |
| 21 | 4 | Avslag | | kvarts | 218 | 229 | NØ | 1 | |
| 22 | 1 | Pilspiss | slipt pilspiss | skifer | 218 | 229 | NØ | 1 | |
| 23 | 1 | Avslag | | flint | 218 | 229 | SV | 1 | |
| 24 | 6 | Avslag | | kvarts | 218 | 229 | SV | 1 | |
| 25 | 1 | Retusjert avslag | retusjert medioavslag | flint | 218 | 229 | SØ | 1 | |
| 26 | 1 | Avslag | | flint | 218 | 230 | NØ | 1 | |
| 27 | 1 | Avslag | | kvarts | 218 | 230 | NØ | 1 | |
| 28 | 2 | Avslag | | kvarts | 218 | 230 | SV | 1 | |
| 29 | 2 | Avslag | | flint | 218 | 230 | SØ | 1 | |
| 30 | 8 | Avslag | | flint | 219 | 224 | NV | 1 | |
| 31 | 1 | Avslag | | bergkrystall | 219 | 224 | NV | 1 | |
| 32 | 1 | Kjerne | ubestemt kjerne | flint | 219 | 224 | NV | 1 | |
| 33 | 1 | Avslag | medioavslag | flint | 219 | 224 | NV | 1 | |
| 34 | 9 | Avslag | | flint | 219 | 224 | NØ | 1 | |
| 35 | 4 | Avslag | | flint | 219 | 224 | SV | 1 | |
| 36 | 3 | Avslag | | flint | 219 | 224 | SØ | 1 | |
| 37 | 1 | Avslag | | kvarts | 219 | 224 | SØ | 1 | |
| 38 | 1 | Kjerne | forarbeide til kjerne | flint | 219 | 224 | SØ | 1 | |
| 39 | 4 | Avslag | | flint | 219 | 225 | NV | 1 | |
| 40 | 9 | Avslag | | flint | 219 | 225 | NØ | 1 | |

| Unr. | Antall | Gjenstand | Form | Materiale | X | Y | Kvadrant | Mek.Lag | Funnkontekst |
|------|--------|--------------------|---------------------------|--------------|-----|-----|----------|---------|--------------|
| 41 | 5 | Avslag | | flint | 219 | 225 | SV | 1 | |
| 42 | 2 | Avslag | | flint | 219 | 225 | SØ | 1 | |
| 43 | 7 | Avslag | | flint | 219 | 226 | NV | 1 | |
| 44 | 6 | Avslag | | flint | 219 | 226 | NØ | 1 | |
| 45 | 1 | Avslag | | flint | 219 | 226 | SV | 1 | |
| 46 | 1 | Kjerne | ubestemt kjerne | flint | 219 | 226 | SV | 1 | |
| 47 | 6 | Avslag | | flint | 219 | 226 | SØ | 1 | |
| 48 | 1 | Avslag | makroavslag | flint | 219 | 226 | SØ | 1 | |
| 49 | 6 | Avslag | | flint | 219 | 227 | NV | 1 | |
| 50 | 1 | Avslag | | kvarts | 219 | 227 | NV | 1 | |
| 51 | 1 | Diagnostisk avslag | avslag fra økseproduksjon | flint | 219 | 227 | NV | 1 | |
| 52 | 1 | Retusjert avslag | retusjert medioavslag | flint | 219 | 227 | NV | 1 | |
| 53 | 6 | Avslag | | flint | 219 | 227 | NØ | 1 | |
| 54 | 1 | Flekke | medioflekke | flint | 219 | 227 | NØ | 1 | |
| 55 | 1 | Knoll | | flint | 219 | 227 | NØ | 1 | |
| 56 | 6 | Avslag | | flint | 219 | 227 | SV | 1 | |
| 57 | 1 | Flekke | medioflekke | flint | 219 | 227 | SV | 1 | |
| 58 | 1 | Kjerne | ensidig kjerne | flint | 219 | 227 | SV | 1 | |
| 59 | 1 | Avslag | medioavslag | flint | 219 | 227 | SV | 1 | |
| 60 | 1 | Slipestein | pimpstein med bruksspor | pimpstein | 219 | 227 | SV | 1 | |
| 61 | 3 | Avslag | | flint | 219 | 227 | SØ | 1 | |
| 62 | 1 | Flekke | mikroflekke | flint | 219 | 227 | SØ | 1 | |
| 63 | 1 | Knoll | | flint | 219 | 227 | SØ | 1 | |
| 64 | 1 | Avslag | | kvarts | 219 | 228 | NV | 1 | |
| 65 | 2 | Avslag | | flint | 219 | 228 | NØ | 1 | |
| 66 | 2 | Avslag | | kvarts | 219 | 228 | NØ | 1 | |
| 67 | 13 | Avslag | | flint | 219 | 229 | NV | 1 | |
| 68 | 4 | Avslag | | flint | 219 | 229 | NØ | 1 | |
| 69 | 1 | Avslag | | bergkrystall | 219 | 229 | NØ | 1 | |
| 70 | 1 | Avslag | | kvarts | 219 | 229 | NØ | 1 | |
| 71 | 1 | Kjernefragment | bipolart kjernefragment | flint | 219 | 229 | NØ | 1 | |
| 72 | 4 | Avslag | | flint | 219 | 229 | SV | 1 | |
| 73 | 3 | Avslag | | kvarts | 219 | 229 | SV | 1 | |
| 74 | 1 | Retusjert avslag | retusjert medioavslag | flint | 219 | 229 | SV | 1 | |
| 75 | 1 | Avslag | | flint | 219 | 229 | SØ | 1 | |
| 76 | 1 | Avslag | | flint | 219 | 230 | SV | 1 | |
| 77 | 6 | Avslag | | flint | 220 | 225 | NØ | 1 | |
| 78 | 1 | Avslag | | kvarts | 220 | 225 | NØ | 1 | |
| 79 | 1 | Prepareringsavslag | ryggflekke | flint | 220 | 225 | NØ | 1 | |
| 80 | 10 | Avslag | | flint | 220 | 225 | SV | 1 | |
| 81 | 1 | Diagnostisk avslag | cortexflekke | flint | 220 | 225 | SV | 1 | |

| Unr. | Antall | Gjenstand | Form | Materiale | X | Y | Kvadrant | Mek.Lag | Funnkontekst |
|-------------|---------------|--------------------|---------------------------|------------------|----------|----------|-----------------|----------------|---------------------|
| 82 | 24 | Avslag | | flint | 220 | 225 | SØ | 1 | |
| 83 | 1 | Avslag | | kvarts | 220 | 225 | SØ | 1 | |
| 84 | 1 | Diagnostisk avslag | flekkelignende avslag | flint | 220 | 225 | SØ | 1 | |
| 85 | 5 | Avslag | | flint | 220 | 226 | NV | 1 | |
| 86 | 1 | Knoll | | flint | 220 | 226 | NV | 1 | |
| 87 | 19 | Avslag | | flint | 220 | 226 | NØ | 1 | |
| 88 | 1 | Avslag | | kvarts | 220 | 226 | NØ | 1 | |
| 89 | 1 | Flekke | mikroflekke | flint | 220 | 226 | NØ | 1 | |
| 90 | 1 | Flekke | medioflekke | flint | 220 | 226 | NØ | 1 | |
| 91 | 1 | Diagnostisk avslag | flekkelignende avslag | flint | 220 | 226 | NØ | 1 | |
| 92 | 11 | Avslag | | flint | 220 | 226 | SV | 1 | |
| 93 | 13 | Avslag | | flint | 220 | 226 | SØ | 1 | |
| 94 | 1 | Diagnostisk avslag | cortexflekke | flint | 220 | 226 | SØ | 1 | |
| 95 | 1 | Diagnostisk avslag | avslag fra økseproduksjon | flint | 220 | 226 | SØ | 1 | |
| 96 | 7 | Avslag | | flint | 220 | 227 | NV | 1 | |
| 97 | 1 | Kjerne | | flint | 220 | 227 | NV | 1 | |
| 98 | 1 | Retusjert avslag | retusjert medioavslag | flint | 220 | 227 | NV | 1 | |
| 99 | 1 | Avslag | medioavslag | flint | 220 | 227 | NV | 1 | |
| 100 | 5 | Avslag | | flint | 220 | 227 | NØ | 1 | |
| 101 | 1 | Avslag | | kvarts | 220 | 227 | NØ | 1 | |
| 102 | 2 | Avslag | | flint | 220 | 227 | SØ | 1 | |
| 103 | 19 | Avslag | | flint | 220 | 228 | NV | 1 | |
| 104 | 1 | Flekke | makroflekke | flint | 220 | 228 | NV | 1 | |
| 105 | 1 | Flekke | medioflekke | flint | 220 | 228 | NV | 1 | |
| 106 | 1 | Kjerne | ubestemt kjerne | flint | 220 | 228 | NV | 1 | |
| 107 | 1 | Diagnostisk avslag | flekkelignende avslag | flint | 220 | 228 | NV | 1 | |
| 108 | 1 | Diagnostisk avslag | flekkelignende avslag | flint | 220 | 228 | NV | 1 | |
| 109 | 1 | Diagnostisk avslag | flekkelignende avslag | flint | 220 | 228 | NV | 1 | |
| 110 | 1 | Knakkestein | | bergart | 220 | 228 | NV | 1 | |
| 111 | 104 | Avslag | | flint | 220 | 228 | NØ | 1 | |
| 112 | 2 | Avslag | | kvarts | 220 | 228 | NØ | 1 | |
| 113 | 1 | Flekke | makroflekke | flint | 220 | 228 | NØ | 1 | |
| 114 | 1 | Flekke | makroflekke | flint | 220 | 228 | NØ | 1 | |
| 115 | 1 | Flekke | medioflekke | flint | 220 | 228 | NØ | 1 | |
| 116 | 1 | Flekke | medioflekke | flint | 220 | 228 | NØ | 1 | |
| 117 | 1 | Flekke | medioflekke | flint | 220 | 228 | NØ | 1 | |
| 118 | 1 | Flekke | mikroflekke | flint | 220 | 228 | NØ | 1 | |
| 119 | 1 | Prepareringsavslag | ryggflekke | flint | 220 | 228 | NØ | 1 | |
| 120 | 1 | Kjernefragment | plattformkjernefragment | flint | 220 | 228 | NØ | 1 | |
| 121 | 1 | Diagnostisk avslag | flekkelignende avslag | flint | 220 | 228 | NØ | 1 | |
| 122 | 1 | Diagnostisk avslag | flekkelignende avslag | flint | 220 | 228 | NØ | 1 | |

| Unr. | Antall | Gjenstand | Form | Materiale | X | Y | Kvadrant | Mek.Lag | Funnkontekst |
|------|--------|--------------------|---------------------------|--------------|-----|-----|----------|---------|--------------|
| 123 | 1 | Diagnostisk avslag | flekkelignende avslag | flint | 220 | 228 | NØ | 1 | |
| 124 | 1 | Diagnostisk avslag | flekkelignende avslag | flint | 220 | 228 | NØ | 1 | |
| 125 | 1 | Diagnostisk avslag | flekkelignende avslag | flint | 220 | 228 | NØ | 1 | |
| 126 | 6 | Avslag | | flint | 220 | 228 | SV | 1 | |
| 127 | 18 | Avslag | | flint | 220 | 228 | SØ | 1 | |
| 128 | 1 | Kjerne | ensidig kjerne | flint | 220 | 228 | SØ | 1 | |
| 129 | 1 | Kjernefragment | overløpen flekke | flint | 220 | 228 | SØ | 1 | |
| 130 | 1 | Retusjert avslag | retusjert medioavslag | flint | 220 | 228 | SØ | 1 | |
| 131 | 31 | Avslag | | flint | 220 | 229 | SV | 1 | |
| 132 | 1 | Flekke | medioflekke | flint | 220 | 229 | SV | 1 | |
| 133 | 1 | Flekke | makroflekke | flint | 220 | 229 | SV | 1 | |
| 134 | 1 | Diagnostisk avslag | cortexflekke | flint | 220 | 229 | SV | 1 | |
| 135 | 1 | Diagnostisk avslag | cortexflekke | flint | 220 | 229 | SV | 1 | |
| 136 | 1 | Kjerne | ensidig kjerne | flint | 220 | 229 | SV | 1 | |
| 137 | 1 | Retusjert avslag | retusjert makroavslag | flint | 220 | 229 | SV | 1 | |
| 138 | 1 | Avslag | makroavslag | flint | 220 | 229 | SV | 1 | |
| 139 | 1 | Diagnostisk avslag | avslag fra økseproduksjon | flint | 220 | 229 | SV | 1 | |
| 140 | 6 | Avslag | | flint | 220 | 229 | SØ | 1 | |
| 141 | 1 | Flekke | mikroflekke | flint | 220 | 229 | SØ | 1 | |
| 142 | 1 | Diagnostisk avslag | cortexflekke | flint | 220 | 229 | SØ | 1 | |
| 143 | 146 | Avslag | | flint | 220 | 229 | NV | 1 | |
| 144 | 1 | Avslag | | bergkrystall | 220 | 229 | NV | 1 | |
| 145 | 1 | Diagnostisk avslag | flekkelignende avslag | flint | 220 | 229 | NV | 1 | |
| 146 | 1 | Diagnostisk avslag | avslag fra økseproduksjon | flint | 220 | 229 | NV | 1 | |
| 147 | 1 | Flekke | makroflekke | flint | 220 | 229 | NV | 1 | |
| 148 | 1 | Flekke | makroflekke | flint | 220 | 229 | NV | 1 | |
| 149 | 1 | Flekke | medioflekke | flint | 220 | 229 | NV | 1 | |
| 150 | 1 | Flekke | mikroflekke | flint | 220 | 229 | NV | 1 | |
| 151 | 1 | Flekke | mikroflekke | flint | 220 | 229 | NV | 1 | |
| 152 | 1 | Flekke | mikroflekke | flint | 220 | 229 | NV | 1 | |
| 153 | 1 | Flekke | mikroflekke | flint | 220 | 229 | NV | 1 | |
| 154 | 1 | Diagnostisk avslag | cortexflekke | flint | 220 | 229 | NV | 1 | |
| 155 | 1 | Diagnostisk avslag | cortexflekke | flint | 220 | 229 | NV | 1 | |
| 156 | 1 | Avslag | makroavslag | flint | 220 | 229 | NV | 1 | |
| 157 | 1 | Avslag | medioavslag | flint | 220 | 229 | NV | 1 | |
| 158 | 59 | Avslag | | flint | 220 | 229 | NØ | 1 | |
| 159 | 1 | Pilspiss | | flint | 220 | 229 | NØ | 1 | |
| 160 | 1 | Diagnostisk avslag | avslag fra økseproduksjon | flint | 220 | 229 | NØ | 1 | |
| 161 | 1 | Diagnostisk avslag | flekkelignende avslag | flint | 220 | 229 | NØ | 1 | |
| 162 | 1 | Diagnostisk avslag | cortexflekke | flint | 220 | 229 | NØ | 1 | |
| 163 | 1 | Flekke | makroflekke | flint | 220 | 229 | NØ | 1 | |

| Unr. | Antall | Gjenstand | Form | Materiale | X | Y | Kvadrant | Mek.Lag | Funnkontekst |
|------|--------|--------------------|-------------------------|--------------|-----|-----|----------|---------|--------------|
| 164 | 9 | Avslag | | flint | 220 | 230 | NV | 1 | |
| 165 | 1 | Retusjert avslag | retusjert medioavslag | flint | 220 | 230 | NV | 1 | |
| 166 | 1 | Avslag | medioavslag | flint | 220 | 230 | NV | 1 | |
| 167 | 15 | Avslag | | flint | 221 | 226 | NV | 1 | |
| 168 | 1 | Flekke | mikroflekke | flint | 221 | 226 | NV | 1 | |
| 169 | 1 | Kjerne | bipolar kjerne | flint | 221 | 226 | NV | 1 | |
| 170 | 6 | Avslag | | flint | 221 | 226 | NØ | 1 | |
| 171 | 1 | Mikrolitt | lansettmikrolitt | flint | 221 | 226 | NØ | 1 | |
| 172 | 1 | Flekke | makroflekke | flint | 221 | 226 | NØ | 1 | |
| 173 | 14 | Avslag | | flint | 221 | 226 | SV | 1 | |
| 174 | 1 | Flekke | medioflekke | flint | 221 | 226 | SV | 1 | |
| 175 | 1 | Kjernefragment | overløpen flekke | flint | 221 | 226 | SV | 1 | |
| 176 | 1 | Prepareringsavslag | plattformavslag | flint | 221 | 226 | SV | 1 | |
| 177 | 2 | Avslag | | flint | 221 | 226 | SØ | 1 | |
| 178 | 1 | Flekke | medioflekke | flint | 221 | 226 | SØ | 1 | |
| 179 | 1 | Diagnostisk avslag | cortexflekke | flint | 221 | 226 | SØ | 1 | |
| 180 | 1 | Kjerne | ubestemt kjerne | flint | 221 | 226 | SØ | 1 | |
| 181 | 1 | Prepareringsavslag | plattformavslag | flint | 221 | 226 | SØ | 1 | |
| 182 | 14 | Avslag | | flint | 221 | 227 | NV | 1 | |
| 183 | 1 | Flekke | makroflekke | flint | 221 | 227 | NV | 1 | |
| 184 | 1 | Prepareringsavslag | plattformavslag | flint | 221 | 227 | NV | 1 | |
| 185 | 18 | Avslag | | flint | 221 | 227 | NØ | 1 | |
| 186 | 1 | Diagnostisk avslag | cortexflekke | flint | 221 | 227 | NØ | 1 | |
| 187 | 1 | Kjernefragment | plattformkjernefragment | flint | 221 | 227 | NØ | 1 | |
| 188 | 23 | Avslag | | flint | 221 | 227 | SV | 1 | |
| 189 | 1 | Diagnostisk avslag | hengselflekke | flint | 221 | 227 | SV | 1 | |
| 190 | 1 | Diagnostisk avslag | hengselflekke | flint | 221 | 227 | SV | 1 | |
| 191 | 1 | Diagnostisk avslag | cortexflekke | flint | 221 | 227 | SV | 1 | |
| 192 | 1 | Diagnostisk avslag | cortexflekke | flint | 221 | 227 | SV | 1 | |
| 193 | 1 | Diagnostisk avslag | stikkelaavslag | flint | 221 | 227 | SV | 1 | |
| 194 | 1 | Avslag | makroavslag | flint | 221 | 227 | SV | 1 | |
| 195 | 19 | Avslag | | flint | 221 | 227 | SØ | 1 | |
| 196 | 1 | Prepareringsavslag | | flint | 221 | 227 | SØ | 1 | |
| 197 | 1 | Prepareringsavslag | plattformavslag | flint | 221 | 227 | SØ | 1 | |
| 198 | 1 | Avslag | makroavslag | flint | 221 | 227 | SØ | 1 | |
| 199 | 1 | Avslag | makroavslag | flint | 221 | 227 | SØ | 1 | |
| 200 | 13 | Avslag | | flint | 221 | 228 | NV | 1 | |
| 201 | 1 | Avslag | | bergkrystall | 221 | 228 | NV | 1 | |
| 202 | 2 | Avslag | | kvarts | 221 | 228 | NV | 1 | |
| 203 | 1 | Flekke | mikroflekke | flint | 221 | 228 | NV | 1 | |
| 204 | 1 | Diagnostisk avslag | cortexflekke | flint | 221 | 228 | NV | 1 | |
| 205 | 12 | Avslag | | flint | 221 | 228 | NØ | 1 | |

| Unr. | Antall | Gjenstand | Form | Materiale | X | Y | Kvadrant | Mek.Lag | Funnkontekst |
|------|--------|--------------------|------------------------------|--------------|-----|-----|----------|---------|--------------|
| 206 | 1 | Avslag | | kvarts | 221 | 228 | NØ | 1 | |
| 207 | 106 | Avslag | | flint | 221 | 228 | SV | 1 | |
| 208 | 3 | Avslag | | bergkrystall | 221 | 228 | SV | 1 | |
| 209 | 3 | Avslag | | kvarts | 221 | 228 | SV | 1 | |
| 210 | 1 | Flekke | makroflekke | flint | 221 | 228 | SV | 1 | |
| 211 | 1 | Prepareringsavslag | plattformavslag | flint | 221 | 228 | SV | 1 | |
| 212 | 1 | Kjerne | ubestemt kjerne | flint | 221 | 228 | SV | 1 | |
| 213 | 18 | Avslag | | flint | 221 | 228 | SØ | 1 | |
| 214 | 1 | Flekke | medioflekke | flint | 221 | 228 | SØ | 1 | |
| 215 | 1 | Diagnostisk avslag | avslag fra økseproduksjon | flint | 221 | 228 | SØ | 1 | |
| 216 | 1 | Diagnostisk avslag | flekkelignende avslag | flint | 221 | 228 | SØ | 1 | |
| 217 | 262 | Avslag | | flint | 221 | 229 | NV | 1 | |
| 218 | 17 | Avslag | | bergkrystall | 221 | 229 | NV | 1 | |
| 219 | 1 | Flekke | makroflekke | flint | 221 | 229 | NV | 1 | |
| 220 | 1 | Flekke | makroflekke | flint | 221 | 229 | NV | 1 | |
| 221 | 1 | Flekke | mikroflekke | flint | 221 | 229 | NV | 1 | |
| 222 | 1 | Prepareringsavslag | ryggflekke | flint | 221 | 229 | NV | 1 | |
| 223 | 1 | Diagnostisk avslag | cortexflekke | flint | 221 | 229 | NV | 1 | |
| 224 | 1 | Diagnostisk avslag | cortexflekke | flint | 221 | 229 | NV | 1 | |
| 225 | 1 | Diagnostisk avslag | cortexflekke | flint | 221 | 229 | NV | 1 | |
| 226 | 1 | Kjerne | bipolar kjerne | flint | 221 | 229 | NV | 1 | |
| 227 | 1 | Prepareringsavslag | plattformavslag | flint | 221 | 229 | NV | 1 | |
| 228 | 1 | Prepareringsavslag | plattformavslag | flint | 221 | 229 | NV | 1 | |
| 229 | 3 | Diagnostisk avslag | avslag fra økseproduksjon | flint | 221 | 229 | NV | 1 | |
| 230 | 1 | Avslag | medioavslag | flint | 221 | 229 | NV | 1 | |
| 231 | 101 | Avslag | | flint | 221 | 229 | NØ | 1 | |
| 232 | 1 | Avslag | | bergkrystall | 221 | 229 | NØ | 1 | |
| 233 | 1 | Flekke | makroflekke | flint | 221 | 229 | NØ | 1 | |
| 234 | 1 | Flekke | makroflekke | flint | 221 | 229 | NØ | 1 | |
| 235 | 1 | Flekke | makroflekke | flint | 221 | 229 | NØ | 1 | |
| 236 | 1 | Flekke | mikroflekke | flint | 221 | 229 | NØ | 1 | |
| 237 | 1 | Diagnostisk avslag | cortexflekke | flint | 221 | 229 | NØ | 1 | |
| 238 | 1 | Diagnostisk avslag | hengselflekke | flint | 221 | 229 | NØ | 1 | |
| 239 | 1 | Kjerne | bipolar kjerne | flint | 221 | 229 | NØ | 1 | |
| 240 | 1 | Diagnostisk avslag | avslag fra økseproduksjon | flint | 221 | 229 | NØ | 1 | |
| 241 | 1 | Diagnostisk avslag | mikrostikkels | flint | 221 | 229 | NØ | 1 | |
| 242 | 1 | Kjernefragment | plattformkjernefragment | flint | 221 | 229 | NØ | 1 | |
| 243 | 1 | Kjernefragment | plattformkjernefragment | flint | 221 | 229 | NØ | 1 | |
| 244 | 812 | Avslag | | flint | 221 | 229 | SV | 1 | |
| 245 | 34 | Avslag | | bergkrystall | 221 | 229 | SV | 1 | |
| 246 | 1 | Pilspiss | | flint | 221 | 229 | SV | 1 | |

| Unr. | Antall | Gjenstand | Form | Materiale | X | Y | Kvadrant | Mek.Lag | Funnkontekst |
|------|--------|--------------------|-----------------------|-----------|-----|-----|----------|---------|--------------|
| 247 | 1 | Kjerne | ensidig kjerne | flint | 221 | 229 | SV | 1 | |
| 248 | 1 | Kjerne | ubestemt kjerne | flint | 221 | 229 | SV | 1 | |
| 249 | 1 | Flekke | makroflekke | flint | 221 | 229 | SV | 1 | |
| 250 | 1 | Flekke | makroflekke | flint | 221 | 229 | SV | 1 | |
| 251 | 1 | Flekke | makroflekke | flint | 221 | 229 | SV | 1 | |
| 252 | 1 | Flekke | makroflekke | flint | 221 | 229 | SV | 1 | |
| 253 | 1 | Flekke | makroflekke | flint | 221 | 229 | SV | 1 | |
| 254 | 1 | Flekke | makroflekke | flint | 221 | 229 | SV | 1 | |
| 255 | 1 | Flekke | medioflekke | flint | 221 | 229 | SV | 1 | |
| 256 | 1 | Flekke | medioflekke | flint | 221 | 229 | SV | 1 | |
| 257 | 1 | Flekke | medioflekke | flint | 221 | 229 | SV | 1 | |
| 258 | 1 | Flekke | medioflekke | flint | 221 | 229 | SV | 1 | |
| 259 | 1 | Flekke | medioflekke | flint | 221 | 229 | SV | 1 | |
| 260 | 1 | Flekke | medioflekke | flint | 221 | 229 | SV | 1 | |
| 261 | 1 | Flekke | medioflekke | flint | 221 | 229 | SV | 1 | |
| 262 | 1 | Flekke | mikroflekke | flint | 221 | 229 | SV | 1 | |
| 263 | 1 | Flekke | mikroflekke | flint | 221 | 229 | SV | 1 | |
| 264 | 1 | Flekke | mikroflekke | flint | 221 | 229 | SV | 1 | |
| 265 | 1 | Flekke | mikroflekke | flint | 221 | 229 | SV | 1 | |
| 266 | 1 | Flekke | mikroflekke | flint | 221 | 229 | SV | 1 | |
| 267 | 1 | Flekke | mikroflekke | flint | 221 | 229 | SV | 1 | |
| 268 | 1 | Prepareringsavslag | ryggflekke | flint | 221 | 229 | SV | 1 | |
| 269 | 1 | Prepareringsavslag | ryggflekke | flint | 221 | 229 | SV | 1 | |
| 270 | 1 | Prepareringsavslag | ryggflekke | flint | 221 | 229 | SV | 1 | |
| 271 | 1 | Kjernefragment | overløpen flekke | flint | 221 | 229 | SV | 1 | |
| 272 | 1 | Diagnostisk avslag | cortexflekke | flint | 221 | 229 | SV | 1 | |
| 273 | 1 | Diagnostisk avslag | cortexflekke | flint | 221 | 229 | SV | 1 | |
| 274 | 1 | Diagnostisk avslag | cortexflekke | flint | 221 | 229 | SV | 1 | |
| 275 | 1 | Diagnostisk avslag | cortexflekke | flint | 221 | 229 | SV | 1 | |
| 276 | 1 | Diagnostisk avslag | cortexflekke | flint | 221 | 229 | SV | 1 | |
| 277 | 1 | Diagnostisk avslag | cortexflekke | flint | 221 | 229 | SV | 1 | |
| 278 | 1 | Diagnostisk avslag | cortexflekke | flint | 221 | 229 | SV | 1 | |
| 279 | 1 | Diagnostisk avslag | cortexflekke | flint | 221 | 229 | SV | 1 | |
| 280 | 1 | Diagnostisk avslag | cortexflekke | flint | 221 | 229 | SV | 1 | |
| 281 | 1 | Diagnostisk avslag | cortexflekke | flint | 221 | 229 | SV | 1 | |
| 282 | 1 | Diagnostisk avslag | flekkelignende avslag | flint | 221 | 229 | SV | 1 | |
| 283 | 1 | Diagnostisk avslag | flekkelignende avslag | flint | 221 | 229 | SV | 1 | |
| 284 | 1 | Diagnostisk avslag | flekkelignende avslag | flint | 221 | 229 | SV | 1 | |
| 285 | 1 | Diagnostisk avslag | flekkelignende avslag | flint | 221 | 229 | SV | 1 | |
| 286 | 1 | Diagnostisk avslag | flekkelignende avslag | flint | 221 | 229 | SV | 1 | |
| 287 | 1 | Retusert avslag | retusert makroavslag | flint | 221 | 229 | SV | 1 | |
| 288 | 1 | Prepareringsavslag | flekkefront | flint | 221 | 229 | SV | 1 | |

| Unr. | Antall | Gjenstand | Form | Materiale | X | Y | Kvadrant | Mek.Lag | Funnkontekst |
|------|--------|--------------------|-------------------------|--------------|-----|-----|----------|---------|--------------|
| 289 | 1 | Prepareringsavslag | flekkefront | flint | 221 | 229 | SV | 1 | |
| 290 | 1 | Retusjert avslag | retusjert makroavslag | flint | 221 | 229 | SV | 1 | |
| 291 | 1 | Retusjert avslag | retusjert medioavslag | flint | 221 | 229 | SV | 1 | |
| 292 | 1 | Retusjert avslag | retusjert medioavslag | flint | 221 | 229 | SV | 1 | |
| 293 | 1 | Retusjert avslag | retusjert medioavslag | flint | 221 | 229 | SV | 1 | |
| 294 | 1 | Retusjert avslag | retusjert medioavslag | flint | 221 | 229 | SV | 1 | |
| 295 | 1 | Retusjert avslag | retusjert medioavslag | flint | 221 | 229 | SV | 1 | |
| 296 | 1 | Retusjert avslag | retusjert medioavslag | flint | 221 | 229 | SV | 1 | |
| 297 | 1 | Retusjert avslag | retusjert medioavslag | flint | 221 | 229 | SV | 1 | |
| 298 | 1 | Retusjert avslag | retusjert medioavslag | flint | 221 | 229 | SV | 1 | |
| 299 | 1 | Retusjert avslag | retusjert fragment | flint | 221 | 229 | SV | 1 | |
| 300 | 1 | Avslag | medioavslag | flint | 221 | 229 | SV | 1 | |
| 301 | 1 | Avslag | medioavslag | flint | 221 | 229 | SV | 1 | |
| 302 | 1 | Kjernefragment | bipolart kjernefragment | flint | 221 | 229 | SV | 1 | |
| 303 | 490 | Avslag | | flint | 221 | 229 | SØ | 1 | |
| 304 | 1 | Avslag | | kvarts | 221 | 229 | SØ | 1 | |
| 305 | 5 | Avslag | | bergkrystall | 221 | 229 | SØ | 1 | |
| 306 | 1 | Diagnostisk avslag | mikrostikkel | flint | 221 | 229 | SØ | 1 | |
| 307 | 1 | Borspiss | borspiss på fleske | flint | 221 | 229 | SØ | 1 | |
| 308 | 1 | Pren | | flint | 221 | 229 | SØ | 1 | |
| 309 | 1 | Stikkel | ubestemt stikkel | flint | 221 | 229 | SØ | 1 | |
| 310 | 1 | Fleske | makrofleske | flint | 221 | 229 | SØ | 1 | |
| 311 | 1 | Fleske | makrofleske | flint | 221 | 229 | SØ | 1 | |
| 312 | 1 | Fleske | makrofleske | flint | 221 | 229 | SØ | 1 | |
| 313 | 1 | Fleske | makrofleske | flint | 221 | 229 | SØ | 1 | |
| 314 | 1 | Fleske | makrofleske | flint | 221 | 229 | SØ | 1 | |
| 315 | 1 | Fleske | mediofleske | flint | 221 | 229 | SØ | 1 | |
| 316 | 1 | Fleske | mediofleske | flint | 221 | 229 | SØ | 1 | |
| 317 | 1 | Fleske | mediofleske | flint | 221 | 229 | SØ | 1 | |
| 318 | 1 | Fleske | mikrofleske | flint | 221 | 229 | SØ | 1 | |
| 319 | 1 | Fleske | mikrofleske | flint | 221 | 229 | SØ | 1 | |
| 320 | 1 | Fleske | mikrofleske | flint | 221 | 229 | SØ | 1 | |
| 321 | 1 | Fleske | mikrofleske | flint | 221 | 229 | SØ | 1 | |
| 322 | 1 | Diagnostisk avslag | cortexfleske | flint | 221 | 229 | SØ | 1 | |
| 323 | 1 | Diagnostisk avslag | cortexfleske | flint | 221 | 229 | SØ | 1 | |
| 324 | 1 | Diagnostisk avslag | cortexfleske | flint | 221 | 229 | SØ | 1 | |
| 325 | 1 | Diagnostisk avslag | cortexfleske | flint | 221 | 229 | SØ | 1 | |
| 326 | 1 | Diagnostisk avslag | cortexfleske | flint | 221 | 229 | SØ | 1 | |
| 327 | 1 | Diagnostisk avslag | cortexfleske | flint | 221 | 229 | SØ | 1 | |
| 328 | 1 | Diagnostisk avslag | flekkelignende avslag | flint | 221 | 229 | SØ | 1 | |
| 329 | 1 | Prepareringsavslag | plattformavslag | flint | 221 | 229 | SØ | 1 | |
| 330 | 1 | Prepareringsavslag | flekkefront | flint | 221 | 229 | SØ | 1 | |

| Unr. | Antall | Gjenstand | Form | Materiale | X | Y | Kvadrant | Mek.Lag | Funnkontekst |
|------|--------|--------------------|---------------------------|--------------|-----|-----|----------|---------|--------------|
| 331 | 1 | Retusjert avslag | retusjert fragment | flint | 221 | 229 | SØ | 1 | |
| 332 | 1 | Retusjert avslag | retusjert medioavslag | flint | 221 | 229 | SØ | 1 | |
| 333 | 1 | Retusjert avslag | retusjert medioavslag | flint | 221 | 229 | SØ | 1 | |
| 334 | 1 | Retusjert avslag | retusjert medioavslag | flint | 221 | 229 | SØ | 1 | |
| 335 | 1 | Retusjert avslag | retusjert medioavslag | flint | 221 | 229 | SØ | 1 | |
| 336 | 1 | Retusjert avslag | retusjert medioavslag | flint | 221 | 229 | SØ | 1 | |
| 337 | 1 | Retusjert avslag | retusjert medioavslag | flint | 221 | 229 | SØ | 1 | |
| 338 | 1 | Kjernefragment | bipolart kjernefragment | flint | 221 | 229 | SØ | 1 | |
| 339 | 2 | Avslag | makroavslag | flint | 221 | 229 | SØ | 1 | |
| 340 | 5 | Avslag | medioavslag | flint | 221 | 229 | SØ | 1 | |
| 341 | 304 | Avslag | | flint | 221 | 230 | NV | 1 | |
| 342 | 5 | Avslag | | bergkrystall | 221 | 230 | NV | 1 | |
| 343 | 1 | Skrapere | ubestemt skrapere | flint | 221 | 230 | NV | 1 | |
| 344 | 1 | Flekke | makroflekke | flint | 221 | 230 | NV | 1 | |
| 345 | 1 | Flekke | medioflekke | flint | 221 | 230 | NV | 1 | |
| 346 | 1 | Flekke | mikroflekke | flint | 221 | 230 | NV | 1 | |
| 347 | 1 | Flekke | mikroflekke | flint | 221 | 230 | NV | 1 | |
| 348 | 1 | Diagnostisk avslag | flekkelignende avslag | flint | 221 | 230 | NV | 1 | |
| 349 | 1 | Diagnostisk avslag | avslag fra økseproduksjon | flint | 221 | 230 | NV | 1 | |
| 350 | 1 | Kjerne | ubestemt kjerne | flint | 221 | 230 | NV | 1 | |
| 351 | 1 | Kjerne | ubestemt kjerne | flint | 221 | 230 | NV | 1 | |
| 352 | 1 | Kjerne | ubestemt kjerne | flint | 221 | 230 | NV | 1 | |
| 353 | 1 | Kjerne | ubestemt kjerne | flint | 221 | 230 | NV | 1 | |
| 354 | 1 | Kjerne | ubestemt kjerne | flint | 221 | 230 | NV | 1 | |
| 355 | 1 | Diagnostisk avslag | mikrostikkels | flint | 221 | 230 | NV | 1 | |
| 356 | 1 | Diagnostisk avslag | mikrostikkels | flint | 221 | 230 | NV | 1 | |
| 357 | 1 | Kjerne | bipolar kjerne | flint | 221 | 230 | NV | 1 | |
| 358 | 1 | Prepareringsavslag | plattformavslag | flint | 221 | 230 | NV | 1 | |
| 359 | 1 | Kernefragment | bipolart kernefragment | flint | 221 | 230 | NV | 1 | |
| 360 | 1 | Avslag | medioavslag | flint | 221 | 230 | NV | 1 | |
| 361 | 64 | Avslag | | flint | 221 | 230 | NØ | 1 | |
| 362 | 1 | Flekke | makroflekke | flint | 221 | 230 | NØ | 1 | |
| 363 | 1 | Flekke | medioflekke | flint | 221 | 230 | NØ | 1 | |
| 364 | 1 | Diagnostisk avslag | flekkelignende avslag | flint | 221 | 230 | NØ | 1 | |
| 365 | 1 | Diagnostisk avslag | flekkelignende avslag | flint | 221 | 230 | NØ | 1 | |
| 366 | 1 | Pren | | flint | 221 | 230 | NØ | 1 | |
| 367 | 1 | Kniv | avslagskniv | flint | 221 | 230 | NØ | 1 | |
| 368 | 1 | Diagnostisk avslag | flekkelignende avslag | flint | 221 | 230 | NØ | 1 | |
| 369 | 1 | Retusjert avslag | retusjert medioavslag | flint | 221 | 230 | NØ | 1 | |
| 370 | 1 | Retusjert avslag | retusjert medioavslag | flint | 221 | 230 | NØ | 1 | |
| 371 | 1 | Kjerne | ubestemt kjerne | flint | 221 | 230 | NØ | 1 | |

| Unr. | Antall | Gjenstand | Form | Materiale | X | Y | Kvadrant | Mek.Lag | Funnkontekst |
|------|--------|--------------------|-------------------------|--------------|-----|-----|----------|---------|--------------|
| 372 | 1 | Avslag | makroavslag | flint | 221 | 230 | NØ | 1 | |
| 373 | 1 | Avslag | medioavslag | flint | 221 | 230 | NØ | 1 | |
| 374 | 1 | Knoll | | flint | 221 | 230 | NØ | 1 | |
| 375 | 72 | Avslag | | flint | 221 | 230 | SV | 1 | |
| 376 | 1 | Avslag | | bergkrystall | 221 | 230 | SV | 1 | |
| 377 | 1 | Flekke | medioflekke | flint | 221 | 230 | SV | 1 | |
| 378 | 1 | Flekke | mikroflekke | flint | 221 | 230 | SV | 1 | |
| 379 | 1 | Retusjert avslag | retusjert medioavslag | flint | 221 | 230 | SV | 1 | |
| 380 | 1 | Retusjert avslag | retusjert makroavslag | flint | 221 | 230 | SV | 1 | |
| 381 | 1 | Retusjert avslag | retusjert medioavslag | flint | 221 | 230 | SV | 1 | |
| 382 | 1 | Retusjert avslag | retusjert medioavslag | flint | 221 | 230 | SV | 1 | |
| 383 | 1 | Retusjert avslag | retusjert medioavslag | flint | 221 | 230 | SV | 1 | |
| 384 | 12 | Avslag | | flint | 221 | 230 | SØ | 1 | |
| 385 | 1 | Diagnostisk avslag | cortexflekke | flint | 221 | 230 | SØ | 1 | |
| 386 | 4 | Avslag | | flint | 221 | 231 | NV | 1 | |
| 387 | 1 | Flekke | makroflekke | flint | 221 | 231 | NV | 1 | |
| 388 | 1 | Kjerne | bipolar kjerne | flint | 221 | 231 | NV | 1 | |
| 389 | 2 | Avslag | fragment | flint | 221 | 231 | SV | 1 | |
| 390 | 4 | Avslag | | flint | 222 | 226 | NV | 1 | |
| 391 | 2 | Avslag | | bergkrystall | 222 | 226 | NV | 1 | |
| 392 | 1 | Avslag | medioavslag | flint | 222 | 226 | NV | 1 | |
| 393 | 3 | Avslag | | flint | 222 | 226 | NØ | 1 | |
| 394 | 31 | Avslag | | flint | 222 | 226 | SV | 1 | |
| 395 | 1 | Avslag | makroavslag | flint | 222 | 226 | SV | 1 | |
| 396 | 1 | Avslag | makroavslag | flint | 222 | 226 | SV | 1 | |
| 397 | 1 | Avslag | medioavslag | flint | 222 | 226 | SV | 1 | |
| 398 | 14 | Avslag | | flint | 222 | 226 | SØ | 1 | |
| 399 | 10 | Avslag | | flint | 222 | 227 | NV | 1 | |
| 400 | 1 | Flekke | mikroflekke | flint | 222 | 227 | NV | 1 | |
| 401 | 1 | Diagnostisk avslag | hengselflekke | flint | 222 | 227 | NV | 1 | |
| 402 | 7 | Avslag | | flint | 222 | 227 | NØ | 1 | |
| 403 | 1 | Kjerne | ubestemt kjerne | flint | 222 | 227 | NØ | 1 | |
| 404 | 1 | Avslag | medioavslag | flint | 222 | 227 | NØ | 1 | |
| 405 | 16 | Avslag | | flint | 222 | 227 | SV | 1 | |
| 406 | 1 | Flekke | makroflekke | flint | 222 | 227 | SV | 1 | |
| 407 | 1 | Flekke | mikroflekke | flint | 222 | 227 | SV | 1 | |
| 408 | 1 | Diagnostisk avslag | cortexflekke | flint | 222 | 227 | SV | 1 | |
| 409 | 1 | Kjernefragment | plattformkjernefragment | flint | 222 | 227 | SV | 1 | |
| 410 | 1 | Avslag | medioavslag | flint | 222 | 227 | SV | 1 | |
| 411 | 62 | Avslag | | flint | 222 | 227 | SØ | 1 | |
| 412 | 1 | Skraper | ubestemt skraper | flint | 222 | 227 | SØ | 1 | |
| 413 | 1 | Diagnostisk avslag | cortexflekke | flint | 222 | 227 | SØ | 1 | |

| Unr. | Antall | Gjenstand | Form | Materiale | X | Y | Kvadrant | Mek.Lag | Funnkontekst |
|------|--------|--------------------|-------------------------|--------------|-----|-----|----------|---------|--------------|
| 414 | 1 | Diagnostisk avslag | cortexflekke | flint | 222 | 227 | SØ | 1 | |
| 415 | 17 | Avslag | | flint | 222 | 228 | NV | 1 | |
| 416 | 1 | Avslag | | bergkrystall | 222 | 228 | NV | 1 | |
| 417 | 1 | Avslag | makroavslag | flint | 222 | 228 | NV | 1 | |
| 418 | 1 | Avslag | medioavslag | flint | 222 | 228 | NV | 1 | |
| 419 | 26 | Avslag | | flint | 222 | 228 | NØ | 1 | |
| 420 | 1 | Flekke | makroflekke | flint | 222 | 228 | NØ | 1 | |
| 421 | 1 | Flekke | mikroflekke | flint | 222 | 228 | NØ | 1 | |
| 422 | 1 | Retusjert avslag | retusjert medioavslag | flint | 222 | 228 | NØ | 1 | |
| 423 | 1 | Avslag | medioavslag | bergkrystall | 222 | 228 | NØ | 1 | |
| 424 | 38 | Avslag | | flint | 222 | 228 | SV | 1 | |
| 425 | 1 | Flekke | medioflekke | flint | 222 | 228 | SV | 1 | |
| 426 | 1 | Retusjert avslag | retusjert medioavslag | flint | 222 | 228 | SV | 1 | |
| 427 | 1 | Retusjert avslag | retusjert medioavslag | flint | 222 | 228 | SV | 1 | |
| 428 | 1 | Kjerne | bipolar kjerne | flint | 222 | 228 | SV | 1 | |
| 429 | 194 | Avslag | | flint | 222 | 228 | SØ | 1 | |
| 430 | 1 | Stikkel | kantstikkel | flint | 222 | 228 | SØ | 1 | |
| 431 | 1 | Stikkel | kantstikkel | flint | 222 | 228 | SØ | 1 | |
| 432 | 1 | Diagnostisk avslag | stikkelaavslag | flint | 222 | 228 | SØ | 1 | |
| 433 | 1 | Diagnostisk avslag | mikrostikkel | flint | 222 | 228 | SØ | 1 | |
| 434 | 1 | Flekke | makroflekke | flint | 222 | 228 | SØ | 1 | |
| 435 | 1 | Flekke | makroflekke | flint | 222 | 228 | SØ | 1 | |
| 436 | 1 | Flekke | medioflekke | flint | 222 | 228 | SØ | 1 | |
| 437 | 1 | Flekke | mikroflekke | flint | 222 | 228 | SØ | 1 | |
| 438 | 1 | Flekke | mikroflekke | flint | 222 | 228 | SØ | 1 | |
| 439 | 1 | Flekke | mikroflekke | flint | 222 | 228 | SØ | 1 | |
| 440 | 1 | Flekke | mikroflekke | flint | 222 | 228 | SØ | 1 | |
| 441 | 1 | Flekke | mikroflekke | flint | 222 | 228 | SØ | 1 | |
| 442 | 1 | Diagnostisk avslag | cortexflekke | flint | 222 | 228 | SØ | 1 | |
| 443 | 1 | Diagnostisk avslag | cortexflekke | flint | 222 | 228 | SØ | 1 | |
| 444 | 1 | Retusjert avslag | retusjert medioavslag | flint | 222 | 228 | SØ | 1 | |
| 445 | 1 | Retusjert avslag | retusjert mikroavslag | flint | 222 | 228 | SØ | 1 | |
| 446 | 1 | Kjernefragment | plattformkjernefragment | flint | 222 | 228 | SØ | 1 | |
| 447 | 1 | Kjernefragment | bipolart kjernefragment | flint | 222 | 228 | SØ | 1 | |
| 448 | 1 | Avslag | medioavslag | flint | 222 | 228 | SØ | 1 | |
| 449 | 185 | Avslag | | flint | 222 | 229 | NV | 1 | |
| 450 | 1 | Avslag | | bergkrystall | 222 | 229 | NV | 1 | |
| 451 | 1 | Avslag | | kvarts | 222 | 229 | NV | 1 | |
| 452 | 1 | Kjerne | ubestemt kjerne | flint | 222 | 229 | NV | 1 | |
| 453 | 1 | Kjerne | bipolar kjerne | flint | 222 | 229 | NV | 1 | |
| 454 | 1 | Kjerne | ubestemt kjerne | flint | 222 | 229 | NV | 1 | |
| 455 | 1 | Retusjert flekke | retusjert makroflekke | flint | 222 | 229 | NV | 1 | |

| Unr. | Antall | Gjenstand | Form | Materiale | X | Y | Kvadrant | Mek.Lag | Funnkontekst |
|------|--------|--------------------|-------------------------|--------------|-----|-----|----------|---------|--------------|
| 456 | 1 | Flekke | makroflekke | flint | 222 | 229 | NV | 1 | |
| 457 | 1 | Flekke | makroflekke | flint | 222 | 229 | NV | 1 | |
| 458 | 1 | Flekke | medioflekke | flint | 222 | 229 | NV | 1 | |
| 459 | 1 | Flekke | mikroflekke | flint | 222 | 229 | NV | 1 | |
| 460 | 1 | Prepareringsavslag | ryggflekke | flint | 222 | 229 | NV | 1 | |
| 461 | 1 | Diagnostisk avslag | cortexflekke | flint | 222 | 229 | NV | 1 | |
| 462 | 1 | Diagnostisk avslag | cortexflekke | flint | 222 | 229 | NV | 1 | |
| 463 | 1 | Diagnostisk avslag | cortexflekke | flint | 222 | 229 | NV | 1 | |
| 464 | 1 | Diagnostisk avslag | flekkelignende avslag | flint | 222 | 229 | NV | 1 | |
| 465 | 1 | Diagnostisk avslag | flekkelignende avslag | flint | 222 | 229 | NV | 1 | |
| 466 | 1 | Retusjert avslag | retusjert medioavslag | flint | 222 | 229 | NV | 1 | |
| 467 | 1 | Retusjert avslag | retusjert medioavslag | flint | 222 | 229 | NV | 1 | |
| 468 | 1 | Prepareringsavslag | plattformavslag | flint | 222 | 229 | NV | 1 | |
| 469 | 4 | Avslag | medioavslag | flint | 222 | 229 | NV | 1 | |
| 470 | 1 | Avslag | medioavslag | bergkrystall | 222 | 229 | NV | 1 | |
| 471 | 3 | Kjernefragment | bipolart kjernefragment | flint | 222 | 229 | NV | 1 | |
| 472 | 1 | Knoll | | flint | 222 | 229 | NV | 1 | |
| 473 | 1 | Krystall | | bergkrystall | 222 | 229 | NV | 1 | |
| 474 | 214 | Avslag | | flint | 222 | 229 | NØ | 1 | |
| 475 | 1 | Avslag | | bergkrystall | 222 | 229 | NØ | 1 | |
| 476 | 1 | Pilspiss | tangespiss | flint | 222 | 229 | NØ | 1 | |
| 477 | 1 | Diagnostisk avslag | mikrostikkels | flint | 222 | 229 | NØ | 1 | |
| 478 | 1 | Diagnostisk avslag | stikkelavslag | flint | 222 | 229 | NØ | 1 | |
| 479 | 1 | Kniv | flekkekni | flint | 222 | 229 | NØ | 1 | |
| 480 | 1 | Retusjert flekke | retusjert medioflekke | flint | 222 | 229 | NØ | 1 | |
| 481 | 1 | Flekke | makroflekke | flint | 222 | 229 | NØ | 1 | |
| 482 | 1 | Flekke | makroflekke | flint | 222 | 229 | NØ | 1 | |
| 483 | 1 | Flekke | makroflekke | flint | 222 | 229 | NØ | 1 | |
| 484 | 1 | Flekke | makroflekke | flint | 222 | 229 | NØ | 1 | |
| 485 | 1 | Flekke | makroflekke | flint | 222 | 229 | NØ | 1 | |
| 486 | 1 | Flekke | medioflekke | flint | 222 | 229 | NØ | 1 | |
| 487 | 1 | Flekke | medioflekke | flint | 222 | 229 | NØ | 1 | |
| 488 | 1 | Flekke | mikroflekke | flint | 222 | 229 | NØ | 1 | |
| 489 | 1 | Flekke | mikroflekke | flint | 222 | 229 | NØ | 1 | |
| 490 | 1 | Flekke | mikroflekke | flint | 222 | 229 | NØ | 1 | |
| 491 | 1 | Flekke | mikroflekke | flint | 222 | 229 | NØ | 1 | |
| 492 | 1 | Flekke | mikroflekke | flint | 222 | 229 | NØ | 1 | |
| 493 | 1 | Flekke | mikroflekke | flint | 222 | 229 | NØ | 1 | |
| 494 | 1 | Diagnostisk avslag | cortexflekke | flint | 222 | 229 | NØ | 1 | |
| 495 | 1 | Diagnostisk avslag | cortexflekke | flint | 222 | 229 | NØ | 1 | |
| 496 | 1 | Diagnostisk avslag | cortexflekke | flint | 222 | 229 | NØ | 1 | |
| 497 | 1 | Diagnostisk avslag | cortexflekke | flint | 222 | 229 | NØ | 1 | |

| Unr. | Antall | Gjenstand | Form | Materiale | X | Y | Kvadrant | Mek.Lag | Funnkontekst |
|------|--------|--------------------|------------------------------|--------------|-----|-----|----------|---------|--------------|
| 498 | 1 | Diagnostisk avslag | cortexflekke | flint | 222 | 229 | NØ | 1 | |
| 499 | 1 | Diagnostisk avslag | flekkelignende avslag | flint | 222 | 229 | NØ | 1 | |
| 500 | 1 | Retusjert avslag | retusjert medioavslag | flint | 222 | 229 | NØ | 1 | |
| 501 | 1 | Retusjert avslag | retusjert medioavslag | flint | 222 | 229 | NØ | 1 | |
| 502 | 1 | Retusjert avslag | retusjert medioavslag | flint | 222 | 229 | NØ | 1 | |
| 503 | 1 | Retusjert avslag | retusjert medioavslag | flint | 222 | 229 | NØ | 1 | |
| 504 | 1 | Prepareringsavslag | ryggflekke | flint | 222 | 229 | NØ | 1 | |
| 505 | 1 | Kjerne | bipolar kjerne | flint | 222 | 229 | NØ | 1 | |
| 506 | 1 | Kjerne | bipolar kjerne | flint | 222 | 229 | NØ | 1 | |
| 507 | 1 | Kjerne | bipolar kjerne | flint | 222 | 229 | NØ | 1 | |
| 508 | 1 | Kjerne | bipolar kjerne | flint | 222 | 229 | NØ | 1 | |
| 509 | 8 | Avslag | medioavslag | flint | 222 | 229 | NØ | 1 | |
| 510 | 1 | Knoll | | flint | 222 | 229 | NØ | 1 | |
| 511 | 115 | Avslag | | flint | 222 | 229 | SV | 1 | |
| 512 | 1 | Avslag | | bergkrystall | 222 | 229 | SV | 1 | |
| 513 | 1 | Diagnostisk avslag | mikrostikkels | flint | 222 | 229 | SV | 1 | |
| 514 | 1 | Flekke | makroflekke | flint | 222 | 229 | SV | 1 | |
| 515 | 1 | Flekke | makroflekke | flint | 222 | 229 | SV | 1 | |
| 516 | 1 | Flekke | makroflekke | flint | 222 | 229 | SV | 1 | |
| 517 | 1 | Flekke | medioflekke | flint | 222 | 229 | SV | 1 | |
| 518 | 1 | Flekke | medioflekke | flint | 222 | 229 | SV | 1 | |
| 519 | 1 | Flekke | mikroflekke | flint | 222 | 229 | SV | 1 | |
| 520 | 1 | Diagnostisk avslag | cortexflekke | flint | 222 | 229 | SV | 1 | |
| 521 | 1 | Diagnostisk avslag | cortexflekke | flint | 222 | 229 | SV | 1 | |
| 522 | 1 | Diagnostisk avslag | flekkelignende avslag | flint | 222 | 229 | SV | 1 | |
| 523 | 1 | Kjerne | ubestemt kjerne | flint | 222 | 229 | SV | 1 | |
| 524 | 1 | Diagnostisk avslag | avslag fra økseproduksjon | flint | 222 | 229 | SV | 1 | |
| 525 | 1 | Prepareringsavslag | plattformavslag | flint | 222 | 229 | SV | 1 | |
| 526 | 1 | Prepareringsavslag | flekkefront | flint | 222 | 229 | SV | 1 | |
| 527 | 1 | Kjerne | bipolar kjerne | flint | 222 | 229 | SV | 1 | |
| 528 | 1 | Avslag | makroavslag | flint | 222 | 229 | SV | 1 | |
| 529 | 107 | Avslag | | flint | 222 | 229 | SØ | 1 | |
| 530 | 1 | Flekke | makroflekke | flint | 222 | 229 | SØ | 1 | |
| 531 | 1 | Flekke | makroflekke | flint | 222 | 229 | SØ | 1 | |
| 532 | 1 | Diagnostisk avslag | cortexflekke | flint | 222 | 229 | SØ | 1 | |
| 533 | 1 | Diagnostisk avslag | cortexflekke | flint | 222 | 229 | SØ | 1 | |
| 534 | 1 | Diagnostisk avslag | flekkelignende avslag | flint | 222 | 229 | SØ | 1 | |
| 535 | 1 | Diagnostisk avslag | flekkelignende avslag | flint | 222 | 229 | SØ | 1 | |
| 536 | 1 | Retusjert avslag | retusjert medioavslag | flint | 222 | 229 | SØ | 1 | |
| 537 | 1 | Retusjert avslag | retusjert medioavslag | flint | 222 | 229 | SØ | 1 | |
| 538 | 1 | Diagnostisk avslag | avslag fra økseproduksjon | flint | 222 | 229 | SØ | 1 | |

| Unr. | Antall | Gjenstand | Form | Materiale | X | Y | Kvadrant | Mek.Lag | Funnkontekst |
|------|--------|--------------------|-----------------------|--------------|-----|-----|----------|---------|--------------|
| 539 | 5 | Avslag | medioavslag | flint | 222 | 229 | SØ | 1 | |
| 540 | 143 | Avslag | | flint | 222 | 230 | NV | 1 | |
| 541 | 3 | Avslag | | bergkrystall | 222 | 230 | NV | 1 | |
| 542 | 1 | Flekke | makroflekke | flint | 222 | 230 | NV | 1 | |
| 543 | 1 | Flekke | makroflekke | flint | 222 | 230 | NV | 1 | |
| 544 | 1 | Flekke | mikroflekke | flint | 222 | 230 | NV | 1 | |
| 545 | 1 | Flekke | mikroflekke | flint | 222 | 230 | NV | 1 | |
| 546 | 1 | Kjerne | ubestemt kjerne | flint | 222 | 230 | NV | 1 | |
| 547 | 1 | Retusjert avslag | retusjert medioavslag | flint | 222 | 230 | NV | 1 | |
| 548 | 1 | Retusjert avslag | retusjert medioavslag | flint | 222 | 230 | NV | 1 | |
| 549 | 1 | Avslag | medioavslag | flint | 222 | 230 | NV | 1 | |
| 550 | 2 | Avslag | medioavslag | flint | 222 | 230 | NV | 1 | |
| 551 | 10 | Avslag | | flint | 222 | 230 | NØ | 1 | |
| 552 | 1 | Retusjert avslag | retusjert medioavslag | flint | 222 | 230 | NØ | 1 | |
| 553 | 1 | Retusjert avslag | retusjert medioavslag | flint | 222 | 230 | NØ | 1 | |
| 554 | 1 | Avslag | medioavslag | flint | 222 | 230 | NØ | 1 | |
| 555 | 195 | Avslag | | flint | 222 | 230 | SV | 1 | |
| 556 | 1 | Stikkel | kjernestikkel | flint | 222 | 230 | SV | 1 | |
| 557 | 1 | Flekke | makroflekke | flint | 222 | 230 | SV | 1 | |
| 558 | 1 | Flekke | makroflekke | flint | 222 | 230 | SV | 1 | |
| 559 | 1 | Flekke | medioflekke | flint | 222 | 230 | SV | 1 | |
| 560 | 1 | Flekke | mikroflekke | flint | 222 | 230 | SV | 1 | |
| 561 | 1 | Flekke | mikroflekke | flint | 222 | 230 | SV | 1 | |
| 562 | 1 | Flekke | mikroflekke | flint | 222 | 230 | SV | 1 | |
| 563 | 1 | Diagnostisk avslag | cortexflekke | flint | 222 | 230 | SV | 1 | |
| 564 | 1 | Diagnostisk avslag | cortexflekke | flint | 222 | 230 | SV | 1 | |
| 565 | 1 | Diagnostisk avslag | cortexflekke | flint | 222 | 230 | SV | 1 | |
| 566 | 1 | Diagnostisk avslag | cortexflekke | flint | 222 | 230 | SV | 1 | |
| 567 | 1 | Diagnostisk avslag | cortexflekke | flint | 222 | 230 | SV | 1 | |
| 568 | 1 | Diagnostisk avslag | cortexflekke | flint | 222 | 230 | SV | 1 | |
| 569 | 1 | Diagnostisk avslag | cortexflekke | flint | 222 | 230 | SV | 1 | |
| 570 | 1 | Prepareringsavslag | ryggflekke | flint | 222 | 230 | SV | 1 | |
| 571 | 1 | Diagnostisk avslag | flekkelignende avslag | flint | 222 | 230 | SV | 1 | |
| 572 | 1 | Diagnostisk avslag | flekkelignende avslag | flint | 222 | 230 | SV | 1 | |
| 573 | 1 | Diagnostisk avslag | flekkelignende avslag | flint | 222 | 230 | SV | 1 | |
| 574 | 1 | Kjerne | bipolar kjerne | flint | 222 | 230 | SV | 1 | |
| 575 | 1 | Retusjert avslag | retusjert makroavslag | flint | 222 | 230 | SV | 1 | |
| 576 | 1 | Avslag | makroavslag | flint | 222 | 230 | SV | 1 | |
| 577 | 5 | Avslag | medioavslag | flint | 222 | 230 | SV | 1 | |
| 578 | 39 | Avslag | | flint | 222 | 230 | SØ | 1 | |
| 579 | 2 | Avslag | | bergkrystall | 222 | 230 | SØ | 1 | |
| 580 | 1 | Retusjert flekke | retusjert makroflekke | flint | 222 | 230 | SØ | 1 | |

| Unr. | Antall | Gjenstand | Form | Materiale | X | Y | Kvadrant | Mek.Lag | Funnkontekst |
|------|--------|--------------------|-----------------------|--------------|-----|-----|----------|---------|--------------|
| 581 | 1 | Prepareringsavslag | ryggflekke | flint | 222 | 230 | SØ | 1 | |
| 582 | 1 | Diagnostisk avslag | cortexflekke | flint | 222 | 230 | SØ | 1 | |
| 583 | 1 | Diagnostisk avslag | cortexflekke | flint | 222 | 230 | SØ | 1 | |
| 584 | 1 | Kjerne | bipolar kjerne | flint | 222 | 230 | SØ | 1 | |
| 585 | 1 | Retusjert avslag | retusjert medioavslag | flint | 222 | 230 | SØ | 1 | |
| 586 | 1 | Avslag | makroavslag | flint | 222 | 230 | SØ | 1 | |
| 587 | 1 | Avslag | makroavslag | flint | 222 | 230 | SØ | 1 | |
| 588 | 19 | Avslag | | flint | 222 | 231 | NV | 1 | |
| 589 | 1 | Diagnostisk avslag | cortexflekke | flint | 222 | 231 | NV | 1 | |
| 590 | 1 | Kniv | avslagskniv | flint | 222 | 231 | NV | 1 | |
| 591 | 1 | Retusjert avslag | retusjert medioavslag | flint | 222 | 231 | NV | 1 | |
| 592 | 21 | Avslag | | flint | 222 | 231 | NØ | 1 | |
| 593 | 1 | Avslag | medioavslag | flint | 222 | 231 | NØ | 1 | |
| 594 | 12 | Avslag | | flint | 222 | 231 | SV | 1 | |
| 595 | 1 | Pilspiss | enegget spiss | flint | 222 | 231 | SV | 1 | |
| 596 | 1 | Flekke | makroflekke | flint | 222 | 231 | SV | 1 | |
| 597 | 1 | Avslag | makroavslag | flint | 222 | 231 | SV | 1 | |
| 598 | 2 | Avslag | | flint | 222 | 231 | SØ | 1 | |
| 599 | 1 | Flekke | medioflekke | flint | 222 | 231 | SØ | 1 | |
| 600 | 11 | Avslag | | flint | 222 | 232 | NV | 1 | |
| 601 | 1 | Diagnostisk avslag | cortexflekke | flint | 222 | 232 | NV | 1 | |
| 602 | 4 | Avslag | | flint | 223 | 226 | NV | 1 | |
| 603 | 10 | Avslag | | flint | 223 | 226 | NØ | 1 | |
| 604 | 1 | Avslag | | bergkrystall | 223 | 226 | NØ | 1 | |
| 605 | 1 | Diagnostisk avslag | cortexflekke | flint | 223 | 226 | NØ | 1 | |
| 606 | 1 | Retusjert avslag | retusjert medioavslag | flint | 223 | 226 | NØ | 1 | |
| 607 | 1 | Avslag | makroavslag | flint | 223 | 226 | NØ | 1 | |
| 608 | 1 | Avslag | medioavslag | flint | 223 | 226 | NØ | 1 | |
| 609 | 1 | Avslag | medioavslag | flint | 223 | 226 | NØ | 1 | |
| 610 | 5 | Avslag | | flint | 223 | 226 | SV | 1 | |
| 611 | 1 | Avslag | | kvarts | 223 | 226 | SV | 1 | |
| 612 | 24 | Avslag | | flint | 223 | 226 | SØ | 1 | |
| 613 | 1 | Kjerne | bipolar kjerne | flint | 223 | 226 | SØ | 1 | |
| 614 | 5 | Avslag | | flint | 223 | 227 | NV | 1 | |
| 615 | 1 | Avslag | medioavslag | flint | 223 | 227 | NV | 1 | |
| 616 | 3 | Avslag | | flint | 223 | 227 | SØ | 1 | |
| 617 | 2 | Avslag | | flint | 223 | 227 | SV | 1 | |
| 618 | 1 | Kjerne | ubestemt kjerne | flint | 223 | 227 | SV | 1 | |
| 619 | 2 | Avslag | | flint | 223 | 228 | NØ | 1 | |
| 620 | 4 | Avslag | | flint | 223 | 228 | SV | 1 | |
| 621 | 1 | Flekke | makroflekke | flint | 223 | 228 | SV | 1 | |
| 622 | 9 | Avslag | | flint | 223 | 228 | SØ | 1 | |

| Unr. | Antall | Gjenstand | Form | Materiale | X | Y | Kvadrant | Mek.Lag | Funnkontekst |
|------|--------|--------------------|-------------------------|--------------|-----|-----|----------|---------|--------------|
| 623 | 1 | Flekke | medioflekke | flint | 223 | 228 | SØ | 1 | |
| 624 | 2 | Avslag | medioavslag | flint | 223 | 228 | SØ | 1 | |
| 625 | 5 | Avslag | | flint | 223 | 229 | NV | 1 | |
| 626 | 1 | Avslag | | kvarts | 223 | 229 | NV | 1 | |
| 627 | 1 | Avslag | medioavslag | flint | 223 | 229 | NV | 1 | |
| 628 | 4 | Avslag | | flint | 223 | 229 | NØ | 1 | |
| 629 | 1 | Retusjert avslag | retusjert medioavslag | flint | 223 | 229 | NØ | 1 | |
| 630 | 1 | Kjernefragment | bipolart kjernefragment | flint | 223 | 229 | NØ | 1 | |
| 631 | 1 | Avslag | | flint | 223 | 229 | SV | 1 | |
| 632 | 10 | Avslag | | flint | 223 | 229 | SØ | 1 | |
| 633 | 1 | Avslag | | bergkrystall | 223 | 229 | SØ | 1 | |
| 634 | 1 | Kjerne | bipolar kjerne | flint | 223 | 229 | SØ | 1 | |
| 635 | 1 | Avslag | medioavslag | flint | 223 | 229 | SØ | 1 | |
| 636 | 6 | Avslag | | flint | 223 | 230 | NV | 1 | |
| 637 | 1 | Kjerne | ubestemt kjerne | flint | 223 | 230 | NV | 1 | |
| 638 | 1 | Diagnostisk avslag | cortexflekke | flint | 223 | 230 | NV | 1 | |
| 639 | 8 | Avslag | | flint | 223 | 230 | NØ | 1 | |
| 640 | 2 | Avslag | | kvarts | 223 | 230 | NØ | 1 | |
| 641 | 1 | Kjerne | bipolar kjerne | flint | 223 | 230 | NØ | 1 | |
| 642 | 1 | Kjerne | ubestemt kjerne | flint | 223 | 230 | NØ | 1 | |
| 643 | 1 | Diagnostisk avslag | cortexflekke | flint | 223 | 230 | NØ | 1 | |
| 644 | 1 | Prepareringsavslag | ryggflekke | flint | 223 | 230 | NØ | 1 | |
| 645 | 1 | Retusjert avslag | retusjert medioavslag | flint | 223 | 230 | NØ | 1 | |
| 646 | 4 | Avslag | | flint | 223 | 230 | SV | 1 | |
| 647 | 1 | Pilspiss | tangespiss | flint | 223 | 230 | SV | 1 | |
| 648 | 1 | Retusjert avslag | retusjert medioavslag | flint | 223 | 230 | SV | 1 | |
| 649 | 2 | Avslag | | flint | 223 | 230 | SØ | 1 | |
| 650 | 4 | Avslag | | flint | 223 | 231 | NV | 1 | |
| 651 | 1 | Avslag | | bergkrystall | 223 | 231 | NV | 1 | |
| 652 | 1 | Avslag | medioavslag | flint | 223 | 231 | NV | 1 | |
| 653 | 7 | Avslag | | flint | 223 | 231 | NØ | 1 | |
| 654 | 1 | Knoll | | flint | 223 | 231 | NØ | 1 | |
| 655 | 8 | Avslag | | flint | 223 | 231 | SV | 1 | |
| 656 | 1 | Kjerne | ubestemt kjerne | flint | 223 | 231 | SV | 1 | |
| 657 | 14 | Avslag | | flint | 223 | 231 | SØ | 1 | |
| 658 | 1 | Avslag | | kvarts | 223 | 231 | SØ | 1 | |
| 659 | 1 | Retusjert avslag | retusjert medioavslag | flint | 223 | 231 | SØ | 1 | |
| 660 | 1 | Kjerne | bipolar kjerne | flint | 223 | 231 | SØ | 1 | |
| 661 | 14 | Avslag | | flint | 223 | 232 | NV | 1 | |
| 662 | 1 | Avslag | medioavslag | flint | 223 | 232 | NV | 1 | |
| 663 | 9 | Avslag | | flint | 223 | 232 | NØ | 1 | |
| 664 | 1 | Flekke | medioflekke | flint | 223 | 232 | NØ | 1 | |

| Unr. | Antall | Gjenstand | Form | Materiale | X | Y | Kvadrant | Mek.Lag | Funnkontekst |
|------|--------|--------------------|---------------------------|--------------|-----|-----|----------|---------|--------------|
| 665 | 14 | Avslag | | flint | 223 | 232 | SV | 1 | |
| 666 | 1 | Avslag | | kvarts | 223 | 232 | SV | 1 | |
| 667 | 1 | Flekke | medioflekke | flint | 223 | 232 | SV | 1 | |
| 668 | 1 | Flekke | mikroflekke | flint | 223 | 232 | SV | 1 | |
| 669 | 1 | Diagnostisk avslag | hengselflekke | flint | 223 | 232 | SV | 1 | |
| 670 | 1 | Diagnostisk avslag | hengselflekke | flint | 223 | 232 | SV | 1 | |
| 671 | 3 | Avslag | medioavslag | flint | 223 | 232 | SV | 1 | |
| 672 | 3 | Avslag | | flint | 223 | 232 | SØ | 1 | |
| 673 | 1 | Prepareringsavslag | ryggflekke | flint | 223 | 232 | SØ | 1 | |
| 674 | 4 | Avslag | | flint | 224 | 229 | SV | 1 | |
| 675 | 3 | Avslag | | flint | 224 | 229 | SØ | 1 | |
| 676 | 1 | Retusjert avslag | retusjert medioavslag | flint | 224 | 229 | SØ | 1 | |
| 677 | 28 | Avslag | | flint | 220 | 228 | NV | 2 | |
| 678 | 1 | Flekke | makroflekke | flint | 220 | 228 | NV | 2 | |
| 679 | 1 | Flekke | mikroflekke | flint | 220 | 228 | NV | 2 | |
| 680 | 1 | Diagnostisk avslag | hengselflekke | flint | 220 | 228 | NV | 2 | |
| 681 | 1 | Diagnostisk avslag | avslag fra økseproduksjon | flint | 220 | 228 | NV | 2 | |
| 682 | 1 | Retusjert avslag | retusjert medioavslag | flint | 220 | 228 | NV | 2 | |
| 683 | 1 | Kjernefragment | bipolart kjernefragment | flint | 220 | 228 | NV | 2 | |
| 684 | 1 | Avslag | medioavslag | flint | 220 | 228 | NV | 2 | |
| 685 | 16 | Avslag | | flint | 220 | 228 | NØ | 2 | |
| 686 | 1 | Prepareringsavslag | plattformavslag | flint | 220 | 228 | NØ | 2 | |
| 687 | 1 | Kjernefragment | bipolart kjernefragment | flint | 220 | 228 | NØ | 2 | |
| 688 | 4 | Avslag | | flint | 220 | 229 | NV | 2 | |
| 689 | 1 | Diagnostisk avslag | cortexflekke | flint | 220 | 229 | NV | 2 | |
| 690 | 37 | Avslag | | flint | 221 | 227 | NØ | 2 | |
| 691 | 1 | Avslag | | kvarts | 221 | 227 | NØ | 2 | |
| 692 | 1 | Stikkel | kantstikkel | flint | 221 | 227 | NØ | 2 | |
| 693 | 1 | Flekke | mikroflekke | flint | 221 | 227 | NØ | 2 | |
| 694 | 1 | Prepareringsavslag | plattformavslag | flint | 221 | 227 | NØ | 2 | |
| 695 | 2 | Avslag | medioavslag | flint | 221 | 227 | NØ | 2 | |
| 696 | 47 | Avslag | | flint | 221 | 228 | NV | 2 | |
| 697 | 2 | Avslag | | bergkrystall | 221 | 228 | NV | 2 | |
| 698 | 1 | Flekke | makroflekke | flint | 221 | 228 | NV | 2 | |
| 699 | 1 | Flekke | makroflekke | flint | 221 | 228 | NV | 2 | |
| 700 | 1 | Flekke | medioflekke | flint | 221 | 228 | NV | 2 | |
| 701 | 1 | Flekke | mikroflekke | flint | 221 | 228 | NV | 2 | |
| 702 | 1 | Kniv | avslagskniv | flint | 221 | 228 | NV | 2 | |
| 703 | 1 | Retusjert avslag | retusjert medioavslag | flint | 221 | 228 | NV | 2 | |
| 704 | 1 | Retusjert flekke | retusjert medioflekke | flint | 221 | 228 | NV | 2 | |
| 705 | 218 | Avslag | | flint | 221 | 228 | NØ | 2 | |

| Unr. | Antall | Gjenstand | Form | Materiale | X | Y | Kvadrant | Mek.Lag | Funnkontekst |
|------|--------|--------------------|-----------------------|--------------|-----|-----|----------|---------|--------------|
| 706 | 6 | Avslag | | bergkrystall | 221 | 228 | NØ | 2 | |
| 707 | 1 | Pilspiss | tangespiss | flint | 221 | 228 | NØ | 2 | |
| 708 | 1 | Diagnostisk avslag | mikrostikkels | flint | 221 | 228 | NØ | 2 | |
| 709 | 1 | Diagnostisk avslag | mikrostikkels | flint | 221 | 228 | NØ | 2 | |
| 710 | 1 | Pren | | flint | 221 | 228 | NØ | 2 | |
| 711 | 1 | Retusjert flekke | retusjert makroflekke | flint | 221 | 228 | NØ | 2 | |
| 712 | 1 | Flekke | makroflekke | flint | 221 | 228 | NØ | 2 | |
| 713 | 1 | Flekke | makroflekke | flint | 221 | 228 | NØ | 2 | |
| 714 | 1 | Flekke | makroflekke | flint | 221 | 228 | NØ | 2 | |
| 715 | 1 | Flekke | makroflekke | flint | 221 | 228 | NØ | 2 | |
| 716 | 1 | Diagnostisk avslag | hengselflekke | flint | 221 | 228 | NØ | 2 | |
| 717 | 1 | Flekke | medioflekke | flint | 221 | 228 | NØ | 2 | |
| 718 | 1 | Flekke | medioflekke | flint | 221 | 228 | NØ | 2 | |
| 719 | 1 | Flekke | medioflekke | flint | 221 | 228 | NØ | 2 | |
| 720 | 1 | Flekke | medioflekke | flint | 221 | 228 | NØ | 2 | |
| 721 | 1 | Flekke | mikroflekke | flint | 221 | 228 | NØ | 2 | |
| 722 | 1 | Flekke | mikroflekke | flint | 221 | 228 | NØ | 2 | |
| 723 | 1 | Flekke | mikroflekke | flint | 221 | 228 | NØ | 2 | |
| 724 | 1 | Prepareringsavslag | ryggflekke | flint | 221 | 228 | NØ | 2 | |
| 725 | 1 | Prepareringsavslag | ryggflekke | flint | 221 | 228 | NØ | 2 | |
| 726 | 1 | Kjernefragment | overløpen flekke | flint | 221 | 228 | NØ | 2 | |
| 727 | 1 | Kjernefragment | overløpen flekke | flint | 221 | 228 | NØ | 2 | |
| 728 | 1 | Diagnostisk avslag | cortexflekke | flint | 221 | 228 | NØ | 2 | |
| 729 | 1 | Diagnostisk avslag | hengselflekke | flint | 221 | 228 | NØ | 2 | |
| 730 | 1 | Kjerne | bipolar kjerne | flint | 221 | 228 | NØ | 2 | |
| 731 | 1 | Kjerne | ubestemt kjerne | flint | 221 | 228 | NØ | 2 | |
| 732 | 1 | Stikkel | ubestemt stikkel | flint | 221 | 228 | NØ | 2 | |
| 733 | 1 | Retusjert avslag | retusjert makroavslag | flint | 221 | 228 | NØ | 2 | |
| 734 | 1 | Retusjert avslag | retusjert medioavslag | flint | 221 | 228 | NØ | 2 | |
| 735 | 1 | Retusjert avslag | retusjert medioavslag | flint | 221 | 228 | NØ | 2 | |
| 736 | 1 | Avslag | makroavslag | flint | 221 | 228 | NØ | 2 | |
| 737 | 5 | Avslag | medioavslag | flint | 221 | 228 | NØ | 2 | |
| 738 | 90 | Avslag | | flint | 221 | 228 | SV | 2 | |
| 739 | 3 | Avslag | | bergkrystall | 221 | 228 | SV | 2 | |
| 740 | 1 | Flekke | makroflekke | flint | 221 | 228 | SV | 2 | |
| 741 | 1 | Flekke | makroflekke | flint | 221 | 228 | SV | 2 | |
| 742 | 1 | Flekke | mikroflekke | flint | 221 | 228 | SV | 2 | |
| 743 | 1 | Diagnostisk avslag | cortexflekke | flint | 221 | 228 | SV | 2 | |
| 744 | 1 | Diagnostisk avslag | hengselflekke | flint | 221 | 228 | SV | 2 | |
| 745 | 1 | Retusjert avslag | retusjert medioavslag | flint | 221 | 228 | SV | 2 | |
| 746 | 3 | Avslag | medioavslag | flint | 221 | 228 | SV | 2 | |
| 747 | 148 | Avslag | | flint | 221 | 228 | SØ | 2 | |

| Unr. | Antall | Gjenstand | Form | Materiale | X | Y | Kvadrant | Mek.Lag | Funnkontekst |
|------|--------|--------------------|------------------------------|--------------|-----|-----|----------|---------|--------------|
| 748 | 3 | Avslag | | bergkrystall | 221 | 228 | SØ | 2 | |
| 749 | 1 | Pilspiss | enegget spiss | flint | 221 | 228 | SØ | 2 | |
| 750 | 1 | Pilspiss | tangespiss | flint | 221 | 228 | SØ | 2 | |
| 751 | 1 | Pilspiss | tangespiss | flint | 221 | 228 | SØ | 2 | |
| 752 | 1 | Pilspiss | | flint | 221 | 228 | SØ | 2 | |
| 753 | 1 | Kniv | flekkeknav | flint | 221 | 228 | SØ | 2 | |
| 754 | 1 | Diagnostisk avslag | avslag fra økseproduksjon | flint | 221 | 228 | SØ | 2 | |
| 755 | 1 | Diagnostisk avslag | mikrostikkels | flint | 221 | 228 | SØ | 2 | |
| 756 | 1 | Diagnostisk avslag | avslag fra økseproduksjon | flint | 221 | 228 | SØ | 2 | |
| 757 | 1 | Pren | | flint | 221 | 228 | SØ | 2 | |
| 758 | 1 | Flekke | makroflekke | flint | 221 | 228 | SØ | 2 | |
| 759 | 1 | Flekke | medioflekke | flint | 221 | 228 | SØ | 2 | |
| 760 | 1 | Flekke | medioflekke | flint | 221 | 228 | SØ | 2 | |
| 761 | 1 | Flekke | medioflekke | flint | 221 | 228 | SØ | 2 | |
| 762 | 1 | Flekke | mikroflekke | flint | 221 | 228 | SØ | 2 | |
| 763 | 1 | Flekke | mikroflekke | flint | 221 | 228 | SØ | 2 | |
| 764 | 1 | Flekke | mikroflekke | flint | 221 | 228 | SØ | 2 | |
| 765 | 1 | Prepareringsavslag | ryggflekke | flint | 221 | 228 | SØ | 2 | |
| 766 | 1 | Diagnostisk avslag | cortexflekke | flint | 221 | 228 | SØ | 2 | |
| 767 | 1 | Diagnostisk avslag | cortexflekke | flint | 221 | 228 | SØ | 2 | |
| 768 | 1 | Diagnostisk avslag | cortexflekke | flint | 221 | 228 | SØ | 2 | |
| 769 | 1 | Kjerne | ubestemt kjerne | flint | 221 | 228 | SØ | 2 | |
| 770 | 1 | Avslag | makroavslag | flint | 221 | 228 | SØ | 2 | |
| 771 | 1 | Prepareringsavslag | plattformavslag | flint | 221 | 228 | SØ | 2 | |
| 772 | 1 | Retusjert avslag | retusjert medioavslag | flint | 221 | 228 | SØ | 2 | |
| 773 | 1 | Retusjert avslag | retusjert medioavslag | flint | 221 | 228 | SØ | 2 | |
| 774 | 267 | Avslag | | flint | 221 | 229 | NV | 2 | |
| 775 | 19 | Avslag | | bergkrystall | 221 | 229 | NV | 2 | |
| 776 | 1 | Flekke | makroflekke | flint | 221 | 229 | NV | 2 | |
| 777 | 1 | Flekke | makroflekke | flint | 221 | 229 | NV | 2 | |
| 778 | 1 | Flekke | makroflekke | flint | 221 | 229 | NV | 2 | |
| 779 | 1 | Flekke | medioflekke | flint | 221 | 229 | NV | 2 | |
| 780 | 1 | Flekke | medioflekke | flint | 221 | 229 | NV | 2 | |
| 781 | 1 | Flekke | mikroflekke | flint | 221 | 229 | NV | 2 | |
| 782 | 1 | Flekke | mikroflekke | flint | 221 | 229 | NV | 2 | |
| 783 | 1 | Flekke | mikroflekke | flint | 221 | 229 | NV | 2 | |
| 784 | 1 | Flekke | mikroflekke | flint | 221 | 229 | NV | 2 | |
| 785 | 1 | Flekke | mikroflekke | flint | 221 | 229 | NV | 2 | |
| 786 | 1 | Flekke | mikroflekke | flint | 221 | 229 | NV | 2 | |
| 787 | 1 | Pren | | flint | 221 | 229 | NV | 2 | |
| 788 | 1 | Diagnostisk avslag | avslag fra økseproduksjon | flint | 221 | 229 | NV | 2 | |

| Unr. | Antall | Gjenstand | Form | Materiale | X | Y | Kvadrant | Mek.Lag | Funnkontekst |
|------|--------|--------------------|-------------------------|--------------|-----|-----|----------|---------|--------------|
| 789 | 1 | Diagnostisk avslag | mikrostikkkel | flint | 221 | 229 | NV | 2 | |
| 790 | 1 | Diagnostisk avslag | mikrostikkkel | flint | 221 | 229 | NV | 2 | |
| 791 | 1 | Kjerne | ubestemt kjerne | flint | 221 | 229 | NV | 2 | |
| 792 | 1 | Kjerne | bipolar kjerne | flint | 221 | 229 | NV | 2 | |
| 793 | 1 | Kjerne | bipolar kjerne | flint | 221 | 229 | NV | 2 | |
| 794 | 1 | Prepareringsavslag | ryggflekke | flint | 221 | 229 | NV | 2 | |
| 795 | 1 | Prepareringsavslag | ryggflekke | flint | 221 | 229 | NV | 2 | |
| 796 | 1 | Prepareringsavslag | ryggflekke | flint | 221 | 229 | NV | 2 | |
| 797 | 1 | Diagnostisk avslag | cortexflekke | flint | 221 | 229 | NV | 2 | |
| 798 | 1 | Diagnostisk avslag | cortexflekke | flint | 221 | 229 | NV | 2 | |
| 799 | 1 | Diagnostisk avslag | cortexflekke | flint | 221 | 229 | NV | 2 | |
| 800 | 1 | Diagnostisk avslag | hengselflekke | flint | 221 | 229 | NV | 2 | |
| 801 | 1 | Diagnostisk avslag | hengselflekke | flint | 221 | 229 | NV | 2 | |
| 802 | 1 | Diagnostisk avslag | flekkelignende avslag | flint | 221 | 229 | NV | 2 | |
| 803 | 1 | Retusjert avslag | retusjert mikroavslag | flint | 221 | 229 | NV | 2 | |
| 804 | 1 | Avslag | makroavslag | flint | 221 | 229 | NV | 2 | |
| 805 | 1 | Kjernefragment | bipolart kjernefragment | flint | 221 | 229 | NV | 2 | |
| 806 | 46 | Avslag | | flint | 221 | 229 | NØ | 2 | |
| 807 | 1 | Avslag | makroavslag | flint | 221 | 229 | NØ | 2 | |
| 808 | 572 | Avslag | | flint | 221 | 229 | SV | 2 | |
| 809 | 20 | Avslag | | bergkrystall | 221 | 229 | SV | 2 | |
| 810 | 1 | Pilspiss | tangespiss | flint | 221 | 229 | SV | 2 | |
| 811 | 1 | Retusjert flekke | retusjert medioflekke | flint | 221 | 229 | SV | 2 | |
| 812 | 1 | Diagnostisk avslag | mikrostikkkel | flint | 221 | 229 | SV | 2 | |
| 813 | 1 | Diagnostisk avslag | mikrostikkkel | flint | 221 | 229 | SV | 2 | |
| 814 | 1 | Diagnostisk avslag | mikrostikkkel | flint | 221 | 229 | SV | 2 | |
| 815 | 1 | Diagnostisk avslag | mikrostikkkel | flint | 221 | 229 | SV | 2 | |
| 816 | 1 | Diagnostisk avslag | mikrostikkkel | flint | 221 | 229 | SV | 2 | |
| 817 | 1 | Diagnostisk avslag | mikrostikkkel | flint | 221 | 229 | SV | 2 | |
| 818 | 1 | Kjerne | ubestemt kjerne | flint | 221 | 229 | SV | 2 | |
| 819 | 1 | Flekke | medioflekke | flint | 221 | 229 | SV | 2 | |
| 820 | 1 | Flekke | medioflekke | flint | 221 | 229 | SV | 2 | |
| 821 | 1 | Flekke | medioflekke | flint | 221 | 229 | SV | 2 | |
| 822 | 1 | Flekke | medioflekke | flint | 221 | 229 | SV | 2 | |
| 823 | 1 | Flekke | mikroflekke | flint | 221 | 229 | SV | 2 | |
| 824 | 1 | Flekke | mikroflekke | flint | 221 | 229 | SV | 2 | |
| 825 | 1 | Flekke | mikroflekke | flint | 221 | 229 | SV | 2 | |
| 826 | 1 | Flekke | mikroflekke | flint | 221 | 229 | SV | 2 | |
| 827 | 1 | Flekke | mikroflekke | flint | 221 | 229 | SV | 2 | |
| 828 | 1 | Flekke | mikroflekke | flint | 221 | 229 | SV | 2 | |
| 829 | 1 | Flekke | mikroflekke | flint | 221 | 229 | SV | 2 | |
| 830 | 1 | Flekke | mikroflekke | flint | 221 | 229 | SV | 2 | |

| Unr. | Antall | Gjenstand | Form | Materiale | X | Y | Kvadrant | Mek.Lag | Funnkontekst |
|------|--------|--------------------|-----------------------|--------------|-----|-----|----------|---------|--------------|
| 831 | 1 | Diagnostisk avslag | cortexflekke | flint | 221 | 229 | SV | 2 | |
| 832 | 1 | Diagnostisk avslag | cortexflekke | flint | 221 | 229 | SV | 2 | |
| 833 | 1 | Diagnostisk avslag | cortexflekke | flint | 221 | 229 | SV | 2 | |
| 834 | 1 | Diagnostisk avslag | cortexflekke | flint | 221 | 229 | SV | 2 | |
| 835 | 1 | Diagnostisk avslag | cortexflekke | flint | 221 | 229 | SV | 2 | |
| 836 | 1 | Diagnostisk avslag | cortexflekke | flint | 221 | 229 | SV | 2 | |
| 837 | 1 | Diagnostisk avslag | cortexflekke | flint | 221 | 229 | SV | 2 | |
| 838 | 1 | Diagnostisk avslag | cortexflekke | flint | 221 | 229 | SV | 2 | |
| 839 | 1 | Diagnostisk avslag | hengselflekke | flint | 221 | 229 | SV | 2 | |
| 840 | 1 | Diagnostisk avslag | hengselflekke | flint | 221 | 229 | SV | 2 | |
| 841 | 1 | Diagnostisk avslag | hengselflekke | flint | 221 | 229 | SV | 2 | |
| 842 | 1 | Kjernefragment | overløpen flekke | flint | 221 | 229 | SV | 2 | |
| 843 | 1 | Diagnostisk avslag | flekkelignende avslag | flint | 221 | 229 | SV | 2 | |
| 844 | 1 | Prepareringsavslag | plattformavslag | flint | 221 | 229 | SV | 2 | |
| 845 | 1 | Prepareringsavslag | plattformavslag | flint | 221 | 229 | SV | 2 | |
| 846 | 1 | Prepareringsavslag | plattformavslag | flint | 221 | 229 | SV | 2 | |
| 847 | 1 | Retusjert avslag | retusjert medioavslag | flint | 221 | 229 | SV | 2 | |
| 848 | 1 | Avslag | makroavslag | flint | 221 | 229 | SV | 2 | |
| 849 | 1 | Avslag | medioavslag | flint | 221 | 229 | SV | 2 | |
| 850 | 1 | Kjerne | bipolar kjerne | flint | 221 | 229 | SV | 2 | |
| 851 | 174 | Avslag | | flint | 221 | 229 | SØ | 2 | |
| 852 | 6 | Avslag | | bergkrystall | 221 | 229 | SØ | 2 | |
| 853 | 1 | Pilspiss | tangespiss | flint | 221 | 229 | SØ | 2 | |
| 854 | 1 | Kjerne | ensidig kjerne | flint | 221 | 229 | SØ | 2 | |
| 855 | 1 | Kjerne | ubestemt kjerne | flint | 221 | 229 | SØ | 2 | |
| 856 | 1 | Diagnostisk avslag | mikrostikkel | flint | 221 | 229 | SØ | 2 | |
| 857 | 1 | Retusjert flekke | retusjert makrflekke | flint | 221 | 229 | SØ | 2 | |
| 858 | 1 | Flekke | makrflekke | flint | 221 | 229 | SØ | 2 | |
| 859 | 1 | Flekke | makrflekke | flint | 221 | 229 | SØ | 2 | |
| 860 | 1 | Flekke | medioflekke | flint | 221 | 229 | SØ | 2 | |
| 861 | 1 | Flekke | mikroflekke | flint | 221 | 229 | SØ | 2 | |
| 862 | 1 | Flekke | mikroflekke | flint | 221 | 229 | SØ | 2 | |
| 863 | 1 | Flekke | mikroflekke | flint | 221 | 229 | SØ | 2 | |
| 864 | 1 | Diagnostisk avslag | cortexflekke | flint | 221 | 229 | SØ | 2 | |
| 865 | 1 | Diagnostisk avslag | cortexflekke | flint | 221 | 229 | SØ | 2 | |
| 866 | 1 | Diagnostisk avslag | cortexflekke | flint | 221 | 229 | SØ | 2 | |
| 867 | 1 | Diagnostisk avslag | hengselflekke | flint | 221 | 229 | SØ | 2 | |
| 868 | 1 | Diagnostisk avslag | hengselflekke | flint | 221 | 229 | SØ | 2 | |
| 869 | 1 | Prepareringsavslag | plattformavslag | flint | 221 | 229 | SØ | 2 | |
| 870 | 1 | Retusjert avslag | retusjert medioavslag | flint | 221 | 229 | SØ | 2 | |
| 871 | 1 | Retusjert avslag | retusjert medioavslag | flint | 221 | 229 | SØ | 2 | |
| 872 | 1 | Retusjert avslag | retusjert mikroavslag | flint | 221 | 229 | SØ | 2 | |

| Unr. | Antall | Gjenstand | Form | Materiale | X | Y | Kvadrant | Mek.Lag | Funnkontekst |
|------|--------|--------------------|-------------------------|--------------|-----|-----|----------|---------|--------------|
| 873 | 1 | Avslag | medioavslag | flint | 221 | 229 | SØ | 2 | |
| 874 | 41 | Avslag | | flint | 221 | 230 | NV | 2 | |
| 875 | 1 | Flekke | medioflekke | flint | 221 | 230 | NV | 2 | |
| 876 | 6 | Avslag | | flint | 221 | 230 | NØ | 2 | |
| 877 | 1 | Retusjert avslag | retusjert makroavslag | flint | 221 | 230 | NØ | 2 | |
| 878 | 29 | Avslag | | flint | 221 | 230 | SV | 2 | |
| 879 | 2 | Avslag | | bergkrystall | 221 | 230 | SV | 2 | |
| 880 | 1 | Flekke | makroflekke | flint | 221 | 230 | SV | 2 | |
| 881 | 1 | Flekke | medioflekke | flint | 221 | 230 | SV | 2 | |
| 882 | 1 | Diagnostisk avslag | cortexflekke | flint | 221 | 230 | SV | 2 | |
| 883 | 1 | Diagnostisk avslag | cortexflekke | flint | 221 | 230 | SV | 2 | |
| 884 | 1 | Retusjert avslag | retusjert medioavslag | flint | 221 | 230 | SV | 2 | |
| 885 | 9 | Avslag | | flint | 221 | 230 | SØ | 2 | |
| 886 | 1 | Avslag | | kvarts | 221 | 230 | SØ | 2 | |
| 887 | 1 | Kjerne | ubestemt kjerne | flint | 221 | 230 | SØ | 2 | |
| 888 | 1 | Kjerne | bipolar kjerne | flint | 221 | 230 | SØ | 2 | |
| 889 | 4 | Avslag | | flint | 222 | 227 | SØ | 2 | |
| 890 | 7 | Avslag | | flint | 222 | 228 | NV | 2 | |
| 891 | 1 | Prepareringsavslag | ryggflekke | flint | 222 | 228 | NV | 2 | |
| 892 | 1 | Avslag | makroavslag | flint | 222 | 228 | NV | 2 | |
| 893 | 18 | Avslag | | flint | 222 | 228 | NØ | 2 | |
| 894 | 1 | Prepareringsavslag | ryggflekke | flint | 222 | 228 | NØ | 2 | |
| 895 | 1 | Avslag | medioavslag | flint | 222 | 228 | NØ | 2 | |
| 896 | 64 | Avslag | | flint | 222 | 228 | SV | 2 | |
| 897 | 3 | Avslag | | kvarts | 222 | 228 | SV | 2 | |
| 898 | 1 | Skrapere | endeskrapere | flint | 222 | 228 | SV | 2 | |
| 899 | 1 | Flekke | makroflekke | bergkrystall | 222 | 228 | SV | 2 | |
| 900 | 1 | Prepareringsavslag | ryggflekke | flint | 222 | 228 | SV | 2 | |
| 901 | 1 | Diagnostisk avslag | cortexflekke | flint | 222 | 228 | SV | 2 | |
| 902 | 1 | Retusjert avslag | retusjert medioavslag | flint | 222 | 228 | SV | 2 | |
| 903 | 1 | Retusjert avslag | retusjert mikroavslag | flint | 222 | 228 | SV | 2 | |
| 904 | 2 | Avslag | medioavslag | flint | 222 | 228 | SV | 2 | |
| 905 | 116 | Avslag | | flint | 222 | 228 | SØ | 2 | |
| 906 | 4 | Avslag | | bergkrystall | 222 | 228 | SØ | 2 | |
| 907 | 1 | Flekke | makroflekke | flint | 222 | 228 | SØ | 2 | |
| 908 | 1 | Flekke | makroflekke | flint | 222 | 228 | SØ | 2 | |
| 909 | 1 | Flekke | mikroflekke | flint | 222 | 228 | SØ | 2 | |
| 910 | 1 | Diagnostisk avslag | hengselflekke | flint | 222 | 228 | SØ | 2 | |
| 911 | 1 | Kjernefragment | bipolart kjernefragment | flint | 222 | 228 | SØ | 2 | |
| 912 | 1 | Kjerne | ubestemt kjerne | flint | 222 | 228 | SØ | 2 | |
| 913 | 41 | Avslag | | flint | 222 | 229 | NV | 2 | |
| 914 | 1 | Pilspiss | tangespiss | flint | 222 | 229 | NV | 2 | |

| Unr. | Antall | Gjenstand | Form | Materiale | X | Y | Kvadrant | Mek.Lag | Funnkontekst |
|------|--------|--------------------|------------------------------|--------------|-----|-----|----------|---------|--------------|
| 915 | 1 | Flekke | medioflekke | flint | 222 | 229 | NV | 2 | |
| 916 | 1 | Flekke | medioflekke | flint | 222 | 229 | NV | 2 | |
| 917 | 30 | Avslag | | flint | 222 | 229 | NØ | 2 | |
| 918 | 1 | Avslag | | flint | 222 | 229 | NØ | 2 | |
| 919 | 1 | Diagnostisk avslag | cortexflekke | flint | 222 | 229 | NØ | 2 | |
| 920 | 1 | Diagnostisk avslag | cortexflekke | flint | 222 | 229 | NØ | 2 | |
| 921 | 1 | Avslag | medioavslag | flint | 222 | 229 | NØ | 2 | |
| 922 | 44 | Avslag | | flint | 222 | 229 | SV | 2 | |
| 923 | 1 | Kniv | avlagskniv | flint | 222 | 229 | SV | 2 | |
| 924 | 1 | Kjernefragment | ubestemt kjernefragment | flint | 222 | 229 | SV | 2 | |
| 925 | 1 | Flekke | makroflekke | flint | 222 | 229 | SV | 2 | |
| 926 | 1 | Prepareringsavslag | ryggflekke | flint | 222 | 229 | SV | 2 | |
| 927 | 1 | Retusjert avslag | retusjert medioavslag | flint | 222 | 229 | SV | 2 | |
| 928 | 3 | Avslag | medioavslag | flint | 222 | 229 | SV | 2 | |
| 929 | 28 | Avslag | | flint | 222 | 229 | SØ | 2 | |
| 930 | 1 | Flekke | makroflekke | flint | 222 | 229 | SØ | 2 | |
| 931 | 1 | Prepareringsavslag | ryggflekke | flint | 222 | 229 | SØ | 2 | |
| 932 | 1 | Kjerne | ensidig kjerne | flint | 222 | 229 | SØ | 2 | |
| 933 | 43 | Avslag | | flint | 222 | 230 | NV | 2 | |
| 934 | 4 | Avslag | | bergkrystall | 222 | 230 | NV | 2 | |
| 935 | 1 | Diagnostisk avslag | avslag fra økseproduksjon | flint | 222 | 230 | NV | 2 | |
| 936 | 1 | Kjerne | ubestemt kjerne | flint | 222 | 230 | NV | 2 | |
| 937 | 1 | Kjernefragment | ubestemt kjernefragment | flint | 222 | 230 | NV | 2 | |
| 938 | 1 | Retusjert avslag | retusjert medioavslag | flint | 222 | 230 | NV | 2 | |
| 939 | 13 | Avslag | | flint | 222 | 230 | NØ | 2 | |
| 940 | 1 | Øks | kjerneøks | flint | 222 | 230 | NØ | 2 | |
| 941 | 211 | Avslag | | flint | 222 | 230 | SV | 2 | |
| 942 | 8 | Avslag | | bergkrystall | 222 | 230 | SV | 2 | |
| 943 | 1 | Stikkel | kantstikkel | flint | 222 | 230 | SV | 2 | |
| 944 | 1 | Flekke | makroflekke | flint | 222 | 230 | SV | 2 | |
| 945 | 1 | Flekke | makroflekke | flint | 222 | 230 | SV | 2 | |
| 946 | 1 | Flekke | medioflekke | flint | 222 | 230 | SV | 2 | |
| 947 | 1 | Flekke | mikroflekke | flint | 222 | 230 | SV | 2 | |
| 948 | 1 | Flekke | mikroflekke | flint | 222 | 230 | SV | 2 | |
| 949 | 1 | Diagnostisk avslag | cortexflekke | flint | 222 | 230 | SV | 2 | |
| 950 | 1 | Diagnostisk avslag | cortexflekke | flint | 222 | 230 | SV | 2 | |
| 951 | 1 | Diagnostisk avslag | cortexflekke | flint | 222 | 230 | SV | 2 | |
| 952 | 1 | Diagnostisk avslag | flekkelignende avslag | flint | 222 | 230 | SV | 2 | |
| 953 | 1 | Kjerne | bipolar kjerne | flint | 222 | 230 | SV | 2 | |
| 954 | 1 | Retusjert avslag | retusjert medioavslag | flint | 222 | 230 | SV | 2 | |
| 955 | 1 | Avslag | medioavslag | flint | 222 | 230 | SV | 2 | |

| Unr. | Antall | Gjenstand | Form | Materiale | X | Y | Kvadrant | Mek.Lag | Funnkontekst |
|------|--------|--------------------|---------------------------|-----------|-----|-----|----------|---------|----------------|
| 956 | 13 | Avslag | | flint | 222 | 230 | SØ | 2 | |
| 957 | 2 | Avslag | medioavslag | flint | 222 | 230 | SØ | 2 | |
| 958 | 1 | Avslag | makroavslag | flint | 222 | 230 | SØ | 2 | |
| 959 | 14 | Avslag | | flint | 221 | 228 | NV | 3 | Fra kullprøve. |
| 960 | 1 | Hengesmykke | | skifer | | | | | Løsfunn. |
| 961 | 1 | Ukjent | ukjent slipt gjenstand | skifer | | | | | Løsfunn. |
| 962 | 1 | Emne | emne med knekkfure | skifer | | | | | Løsfunn. |
| 963 | 1 | Avslag | makroavslag | flint | | | | | Løsfunn. |
| 964 | 13 | Avslag | | flint | | | | | Løsfunn. |
| 965 | 1 | Avslag | | kvarts | | | | | Løsfunn. |
| 966 | 1 | Avslag | | kvartsitt | | | | | Løsfunn. |
| 967 | 1 | Flekke | makroflekke | flint | | | | | Løsfunn. |
| 968 | 1 | Flekke | medioflekke | flint | | | | | Løsfunn. |
| 969 | 1 | Flekke | medioflekke | flint | | | | | Løsfunn. |
| 970 | 1 | Flekke | medioflekke | flint | | | | | Løsfunn. |
| 971 | 1 | Kjerne | bipolar kjerne | flint | | | | | Løsfunn. |
| 972 | 1 | Kjerne | ubestemt kjerne | kvarts | | | | | Løsfunn. |
| 973 | 1 | Diagnostisk avslag | avslag fra økseproduksjon | flint | | | | | Løsfunn. |
| 974 | 1 | Retusjert avslag | retusjert makroavslag | flint | | | | | Løsfunn. |
| 975 | 1 | Retusjert avslag | retusjert makroavslag | kvarts | | | | | Løsfunn. |
| 976 | 1 | Retusjert avslag | retusjert makroavslag | kvartsitt | | | | | Løsfunn. |
| 977 | 2 | Avslag | | flint | 204 | 205 | SV | 1 | Prøvekvadrant |
| 978 | 2 | Avslag | | flint | 204 | 205 | SV | 2 | Prøvekvadrant |
| 979 | 1 | Retusjert avslag | retusjert medioavslag | flint | 204 | 205 | SV | 2 | Prøvekvadrant |
| 980 | 3 | Avslag | | flint | 204 | 205 | SV | 3 | Prøvekvadrant |
| 981 | 1 | Avslag | medioavslag | flint | 204 | 205 | SV | 3 | Prøvekvadrant |
| 982 | 5 | Avslag | | flint | 204 | 209 | SV | 1 | Prøvekvadrant |
| 983 | 1 | Avslag | medioavslag | flint | 204 | 209 | SV | 1 | Prøvekvadrant |
| 984 | 1 | Avslag | | flint | 204 | 209 | SV | 2 | Prøvekvadrant |
| 985 | 1 | Avslag | | flint | 204 | 209 | SV | 3 | Prøvekvadrant |
| 986 | 1 | Retusjert avslag | retusjert medioavslag | flint | 204 | 209 | SV | 3 | Prøvekvadrant |
| 987 | 1 | Avslag | | flint | 204 | 209 | SV | 4 | Prøvekvadrant |
| 988 | 3 | Avslag | | flint | 204 | 213 | SV | 2 | Prøvekvadrant |
| 989 | 2 | Avslag | | flint | 204 | 213 | SV | 3 | Prøvekvadrant |
| 990 | 1 | Avslag | | flint | 204 | 217 | SV | 1 | Prøvekvadrant |
| 991 | 2 | Avslag | | flint | 204 | 217 | SV | 2 | Prøvekvadrant |
| 992 | 1 | Avslag | | flint | 204 | 217 | SV | 3 | Prøvekvadrant |
| 993 | 3 | Avslag | | flint | 204 | 221 | SV | 2 | Prøvekvadrant |
| 994 | 2 | Avslag | | flint | 204 | 225 | SV | 1 | Prøvekvadrant |
| 995 | 8 | Avslag | | flint | 206 | 197 | NV | 1 | Prøvekvadrant |
| 996 | 2 | Avslag | | kvarts | 206 | 197 | NV | 1 | Prøvekvadrant |

| Unr. | Antall | Gjenstand | Form | Materiale | X | Y | Kvadrant | Mek.Lag | Funnkontekst |
|------|--------|----------------|-------------------------|-----------|-----|-----|----------|---------|---------------|
| 997 | 2 | Avslag | | flint | 206 | 197 | NØ | 1 | Prøvekvadrant |
| 998 | 1 | Avslag | | kvarts | 206 | 197 | NØ | 1 | Prøvekvadrant |
| 999 | 8 | Avslag | | flint | 206 | 197 | SV | 1 | Prøvekvadrant |
| 1000 | 1 | Avslag | | kvarts | 206 | 197 | SV | 1 | Prøvekvadrant |
| 1001 | 6 | Avslag | | flint | 206 | 197 | SV | 2 | Prøvekvadrant |
| 1002 | 33 | Avslag | | flint | 206 | 197 | SV | 3 | Prøvekvadrant |
| 1003 | 3 | Avslag | | kvarts | 206 | 197 | SV | 3 | Prøvekvadrant |
| 1004 | 2 | Kjernefragment | bipolart kjernefragment | flint | 206 | 197 | SV | 3 | Prøvekvadrant |
| 1005 | 16 | Avslag | | flint | 206 | 197 | SV | 4 | Prøvekvadrant |
| 1006 | 16 | Avslag | | flint | 206 | 197 | SV | 5 | Prøvekvadrant |
| 1007 | 1 | Avslag | | kvarts | 206 | 197 | SV | 5 | Prøvekvadrant |
| 1008 | 1 | Avslag | medioavslag | flint | 206 | 197 | SV | 5 | Prøvekvadrant |
| 1009 | 11 | Avslag | | flint | 206 | 197 | SV | 6 | Prøvekvadrant |
| 1010 | 4 | Avslag | | flint | 206 | 197 | SV | 7 | Prøvekvadrant |
| 1011 | 1 | Avslag | | flint | 206 | 197 | SV | 8 | Prøvekvadrant |
| 1012 | 4 | Avslag | | flint | 206 | 197 | SØ | 1 | Prøvekvadrant |
| 1013 | 1 | Kjernefragment | bipolart kjernefragment | flint | 206 | 197 | SØ | 1 | Prøvekvadrant |
| 1014 | 2 | Avslag | | flint | 208 | 213 | SV | 1 | Prøvekvadrant |
| 1015 | 1 | Avslag | | kvarts | 208 | 213 | SV | 1 | Prøvekvadrant |
| 1016 | 1 | Avslag | medioavslag | flint | 208 | 213 | SV | 1 | Prøvekvadrant |
| 1017 | 3 | Avslag | | flint | 208 | 213 | SV | 2 | Prøvekvadrant |
| 1018 | 4 | Avslag | | flint | 208 | 217 | SV | 1 | Prøvekvadrant |
| 1019 | 3 | Avslag | | flint | 208 | 217 | SV | 2 | Prøvekvadrant |
| 1020 | 1 | Avslag | | flint | 208 | 217 | SV | 3 | Prøvekvadrant |
| 1021 | 2 | Avslag | | flint | 208 | 225 | SV | 1 | Prøvekvadrant |
| 1022 | 2 | Avslag | | flint | 208 | 225 | SV | 2 | Prøvekvadrant |
| 1023 | 6 | Avslag | | flint | 212 | 213 | SV | 1 | Prøvekvadrant |
| 1024 | 7 | Avslag | | flint | 212 | 213 | SV | 2 | Prøvekvadrant |
| 1025 | 12 | Avslag | | flint | 212 | 213 | SV | 3 | Prøvekvadrant |
| 1026 | 2 | Avslag | | flint | 212 | 213 | SV | 4 | Prøvekvadrant |
| 1027 | 1 | Flekke | mikroflekke | flint | 212 | 213 | SV | 4 | Prøvekvadrant |
| 1028 | 1 | Slipestein | annen slipestein | sandstein | 212 | 217 | SV | 2 | Prøvekvadrant |
| 1029 | 1 | Avslag | | flint | 212 | 217 | SV | 3 | Prøvekvadrant |
| 1030 | 1 | Avslag | | kvarts | 212 | 217 | SV | 4 | Prøvekvadrant |
| 1031 | 1 | Avslag | | flint | 212 | 221 | SV | 2 | Prøvekvadrant |
| 1032 | 1 | Kjernefragment | bipolart kjernefragment | flint | 212 | 221 | SV | 2 | Prøvekvadrant |
| 1033 | 6 | Avslag | | flint | 212 | 221 | SV | 3 | Prøvekvadrant |
| 1034 | 6 | Avslag | | flint | 212 | 221 | SV | 4 | Prøvekvadrant |
| 1035 | 4 | Avslag | | flint | 212 | 221 | SV | 5 | Prøvekvadrant |
| 1036 | 1 | Avslag | | flint | 212 | 225 | SV | 1 | Prøvekvadrant |
| 1037 | 1 | Avslag | | flint | 212 | 225 | SV | 2 | Prøvekvadrant |
| 1038 | 3 | Avslag | | flint | 212 | 225 | SV | 3 | Prøvekvadrant |

| Unr. | Antall | Gjenstand | Form | Materiale | X | Y | Kvadrant | Mek.Lag | Funnkontekst |
|-------------|---------------|------------------|--------------|------------------|----------|----------|-----------------|----------------|---------------------|
| 1039 | 1 | Avslag | medioavslag | flint | 212 | 225 | SV | 3 | Prøvekvadrant |
| 1040 | 1 | Avslag | | flint | 212 | 225 | SV | 4 | Prøvekvadrant |
| 1041 | 2 | Avslag | | flint | 216 | 213 | SV | 3 | Prøvekvadrant |
| 1042 | 1 | Avslag | | flint | 216 | 213 | SV | 4 | Prøvekvadrant |
| 1043 | 1 | Avslag | makroavslag | flint | 216 | 213 | SV | 4 | Prøvekvadrant |
| 1044 | 2 | Avslag | | flint | 216 | 221 | SV | 3 | Prøvekvadrant |
| 1045 | 2 | Avslag | | kvarts | 216 | 221 | SV | 3 | Prøvekvadrant |
| 1046 | 4 | Avslag | | flint | 216 | 221 | SV | 4 | Prøvekvadrant |
| 1047 | 12 | Avslag | | flint | 220 | 225 | SV | 2 | Prøvekvadrant |
| 1048 | 1 | Avslag | | flint | 220 | 225 | SV | 3 | Prøvekvadrant |
| 1049 | 1 | Avslag | medioavslag | flint | 220 | 225 | SV | 3 | Prøvekvadrant |
| 1050 | 1 | Avslag | | flint | 220 | 225 | SV | 4 | Prøvekvadrant |
| 1051 | 1 | Prøve | trekullprøve | kull | 221 | 228 | NV | 3 | Ildsted A224 |

Vedlegg 5.2: Funnliste T27311

| Unr. | Antall | Gjenstand | Form | Materiale | X | Y | Kvadrant | Mek.Lag | Funnkontekst |
|------|--------|------------------|-------------------------|-----------|-----|-----|----------|---------|--------------|
| 1 | 51 | Avslag | | flint | 107 | 102 | NV | 1 | |
| 2 | 1 | Avslag | | kvartsitt | 107 | 102 | NV | 1 | |
| 3 | 1 | Pilspiss | slipt pilspiss | skifer | 107 | 102 | NV | 1 | |
| 4 | 74 | Avslag | | flint | 107 | 102 | NØ | 1 | |
| 5 | 1 | Flekke | medioflekke | flint | 107 | 102 | NØ | 1 | |
| 6 | 1 | Flekke | mikroflekke | flint | 107 | 102 | NØ | 1 | |
| 7 | 1 | Kjerne | bipolar kjerne | flint | 107 | 102 | NØ | 1 | |
| 8 | 1 | Kjerne | bipolar kjerne | flint | 107 | 102 | NØ | 1 | |
| 9 | 1 | Kjerne | bipolar kjerne | flint | 107 | 102 | NØ | 1 | |
| 10 | 1 | Kjernefragment | bipolart kjernefragment | flint | 107 | 102 | NØ | 1 | |
| 11 | 1 | Avslag | medioavslag | flint | 107 | 102 | NØ | 1 | |
| 12 | 68 | Avslag | | flint | 107 | 103 | NV | 1 | |
| 13 | 1 | Avslag | | sandstein | 107 | 103 | NV | 1 | |
| 14 | 1 | Avslag | | skifer | 107 | 103 | NV | 1 | |
| 15 | 1 | Pilspiss | slipt pilspiss | skifer | 107 | 103 | NV | 1 | |
| 16 | 1 | Kjerne | bipolar kjerne | flint | 107 | 103 | NV | 1 | |
| 17 | 1 | Kjernefragment | bipolart kjernefragment | flint | 107 | 103 | NV | 1 | |
| 18 | 1 | Retusjert avslag | retusjert medioavslag | flint | 107 | 103 | NV | 1 | |
| 19 | 81 | Avslag | | flint | 107 | 103 | NØ | 1 | |
| 20 | 1 | Kniv | platekniv | sandstein | 107 | 103 | NØ | 1 | |
| 21 | 1 | Flekke | mikroflekke | flint | 107 | 103 | NØ | 1 | |
| 22 | 1 | Kjerne | bipolar kjerne | flint | 107 | 103 | NØ | 1 | |
| 23 | 1 | Kjerne | bipolar kjerne | flint | 107 | 103 | NØ | 1 | |
| 24 | 2 | Kjernefragment | bipolart kjernefragment | flint | 107 | 103 | NØ | 1 | |
| 25 | 97 | Avslag | | flint | 107 | 104 | NV | 1 | |
| 26 | 1 | Avslag | | kvarts | 107 | 104 | NV | 1 | |
| 27 | 1 | Kniv | platekniv | sandstein | 107 | 104 | NV | 1 | |
| 28 | 1 | Flekke | mikroflekke | flint | 107 | 104 | NV | 1 | |
| 29 | 1 | Retusjert avslag | retusjert medioavslag | flint | 107 | 104 | NV | 1 | |
| 30 | 1 | Kjerne | bipolar kjerne | flint | 107 | 104 | NV | 1 | |
| 31 | 1 | Kjerne | bipolar kjerne | flint | 107 | 104 | NV | 1 | |
| 32 | 1 | Kjerne | bipolar kjerne | flint | 107 | 104 | NV | 1 | |
| 33 | 1 | Kjerne | bipolar kjerne | flint | 107 | 104 | NV | 1 | |
| 34 | 1 | Kjerne | bipolar kjerne | flint | 107 | 104 | NV | 1 | |
| 35 | 1 | Kjerne | bipolar kjerne | flint | 107 | 104 | NV | 1 | |
| 36 | 80 | Avslag | | flint | 107 | 104 | NØ | 1 | |
| 37 | 1 | Flekke | medioflekke | flint | 107 | 104 | NØ | 1 | |
| 38 | 1 | Slipestein | pimpstein med bruksspor | pimpstein | 107 | 104 | NØ | 1 | |
| 39 | 1 | Kjerne | bipolar kjerne | flint | 107 | 104 | NØ | 1 | |

| Unr. | Antall | Gjenstand | Form | Materiale | X | Y | Kvadrant | Mek.Lag | Funnkontekst |
|-------------|---------------|--------------------|-------------------------|------------------|----------|----------|-----------------|----------------|---------------------|
| 40 | 1 | Retusjert avslag | retusjert medioavslag | flint | 107 | 104 | NØ | 1 | |
| 41 | 45 | Avslag | | flint | 107 | 105 | NV | 1 | |
| 42 | 1 | Kjerne | bipolar kjerne | flint | 107 | 105 | NV | 1 | |
| 43 | 1 | Kjerne | bipolar kjerne | flint | 107 | 105 | NV | 1 | |
| 44 | 1 | Kjernefragment | bipolart kjernefragment | flint | 107 | 105 | NV | 1 | |
| 45 | 6 | Avslag | | flint | 107 | 105 | NØ | 1 | |
| 46 | 1 | Retusjert avslag | retusjert medioavslag | flint | 107 | 105 | NØ | 1 | |
| 47 | 32 | Avslag | | flint | 107 | 106 | NV | 1 | |
| 48 | 1 | Avslag | medioavslag | bergkrystall | 107 | 106 | NV | 1 | |
| 49 | 1 | Kjerne | bipolar kjerne | flint | 107 | 106 | NV | 1 | |
| 50 | 1 | Kjerne | bipolar kjerne | flint | 107 | 106 | NV | 1 | |
| 51 | 41 | Avslag | | flint | 107 | 106 | NØ | 1 | |
| 52 | 1 | Slipestein | pimpstein med bruksspor | pimpstein | 107 | 106 | NØ | 1 | |
| 53 | 1 | Kjerne | bipolar kjerne | flint | 107 | 106 | NØ | 1 | |
| 54 | 1 | Avslag | medioavslag | flint | 107 | 106 | NØ | 1 | |
| 55 | 22 | Avslag | | flint | 107 | 106 | SV | 1 | |
| 56 | 1 | Kjerne | bipolar kjerne | flint | 107 | 106 | SV | 1 | |
| 57 | 2 | Kjernefragment | bipolart kjernefragment | flint | 107 | 106 | SV | 1 | |
| 58 | 27 | Avslag | | flint | 107 | 106 | SØ | 1 | |
| 59 | 1 | Flekke | mikroflekke | flint | 107 | 106 | SØ | 1 | |
| 60 | 1 | Diagnostisk avslag | cortexflekke | flint | 107 | 106 | SØ | 1 | |
| 61 | 1 | Kjerne | forarbeide til kjerne | flint | 107 | 106 | SØ | 1 | |
| 62 | 64 | Avslag | | flint | 108 | 100 | NV | 1 | |
| 63 | 1 | Retusjert avslag | retusjert medioavslag | flint | 108 | 100 | NV | 1 | |
| 64 | 1 | Retusjert avslag | retusjert mikroavslag | flint | 108 | 100 | NV | 1 | |
| 65 | 1 | Kjerne | bipolar kjerne | flint | 108 | 100 | NV | 1 | |
| 66 | 1 | Kjerne | bipolar kjerne | bergkrystall | 108 | 100 | NV | 1 | |
| 67 | 1 | Avslag | medioavslag | flint | 108 | 100 | NV | 1 | |
| 68 | 69 | Avslag | | flint | 108 | 100 | NØ | 1 | |
| 69 | 1 | Flekke | medioflekke | flint | 108 | 100 | NØ | 1 | |
| 70 | 1 | Flekke | medioflekke | flint | 108 | 100 | NØ | 1 | |
| 71 | 1 | Kjerne | bipolar kjerne | flint | 108 | 100 | NØ | 1 | |
| 72 | 1 | Kjerne | bipolar kjerne | flint | 108 | 100 | NØ | 1 | |
| 73 | 4 | Kjernefragment | bipolart kjernefragment | flint | 108 | 100 | NØ | 1 | |
| 74 | 69 | Avslag | | flint | 108 | 101 | NV | 1 | |
| 75 | 1 | Pilspiss | slipt pilspiss | skifer | 108 | 101 | NV | 1 | |
| 76 | 1 | Slipestein | pimpstein med bruksspor | pimpstein | 108 | 101 | NV | 1 | |
| 77 | 1 | Flekke | medioflekke | flint | 108 | 101 | NV | 1 | |
| 78 | 1 | Retusjert avslag | retusjert mikroavslag | flint | 108 | 101 | NV | 1 | |
| 79 | 1 | Kjerne | bipolar kjerne | flint | 108 | 101 | NV | 1 | |
| 80 | 1 | Kjerne | bipolar kjerne | flint | 108 | 101 | NV | 1 | |

| Unr. | Antall | Gjenstand | Form | Materiale | X | Y | Kvadrant | Mek.Lag | Funnkontekst |
|-------------|---------------|--------------------|---------------------------|------------------|----------|----------|-----------------|----------------|---------------------|
| 81 | 1 | Kjerne | bipolar kjerne | flint | 108 | 101 | NV | 1 | |
| 82 | 78 | Avslag | | flint | 108 | 101 | NØ | 1 | |
| 83 | 1 | Avslag | | kvarts | 108 | 101 | NØ | 1 | |
| 84 | 1 | Avslag | | kvartsitt | 108 | 101 | NØ | 1 | |
| 85 | 1 | Pilspiss | slipt pilspiss | skifer | 108 | 101 | NØ | 1 | |
| 86 | 1 | Skraper | ubestemt skraper | flint | 108 | 101 | NØ | 1 | |
| 87 | 1 | Flekke | medioflekke | flint | 108 | 101 | NØ | 1 | |
| 88 | 1 | Diagnostisk avslag | cortexflekke | flint | 108 | 101 | NØ | 1 | |
| 89 | 1 | Kjerne | bipolar kjerne | flint | 108 | 101 | NØ | 1 | |
| 90 | 1 | Kjerne | bipolar kjerne | flint | 108 | 101 | NØ | 1 | |
| 91 | 1 | Retusjert avslag | retusjert medioavslag | flint | 108 | 101 | NØ | 1 | |
| 92 | 2 | Kjernefragment | bipolart kjernefragment | flint | 108 | 101 | NØ | 1 | |
| 93 | 77 | Avslag | | flint | 108 | 101 | SV | 1 | |
| 94 | 1 | Retusjert flekke | retusjert makroflekke | flint | 108 | 101 | SV | 1 | |
| 95 | 1 | Flekke | medioflekke | flint | 108 | 101 | SV | 1 | |
| 96 | 1 | Flekke | mikroflekke | flint | 108 | 101 | SV | 1 | |
| 97 | 1 | Slipestein | pimpstein med bruksspor | pimpstein | 108 | 101 | SV | 1 | |
| 98 | 1 | Kjerne | bipolar kjerne | flint | 108 | 101 | SV | 1 | |
| 99 | 1 | Kjerne | bipolar kjerne | flint | 108 | 101 | SV | 1 | |
| 100 | 1 | Avslag | medioavslag | flint | 108 | 101 | SV | 1 | |
| 101 | 87 | Avslag | | flint | 108 | 101 | SØ | 1 | |
| 102 | 1 | Pilspiss | slipt pilspiss | skifer | 108 | 101 | SØ | 1 | |
| 103 | 1 | Kjerne | bipolar kjerne | flint | 108 | 101 | SØ | 1 | |
| 104 | 1 | Kjerne | bipolar kjerne | flint | 108 | 101 | SØ | 1 | |
| 105 | 1 | Diagnostisk avslag | cortexflekke | flint | 108 | 101 | SØ | 1 | |
| 106 | 1 | Retusjert avslag | retusjert medioavslag | flint | 108 | 101 | SØ | 1 | |
| 107 | 1 | Avslag | medioavslag | flint | 108 | 101 | SØ | 1 | |
| 108 | 102 | Avslag | | flint | 108 | 102 | NV | 1 | |
| 109 | 1 | Skraper | ubestemt skraper | flint | 108 | 102 | NV | 1 | |
| 110 | 1 | Retusjert flekke | retusjert makroflekke | flint | 108 | 102 | NV | 1 | |
| 111 | 1 | Kjerne | bipolar kjerne | flint | 108 | 102 | NV | 1 | |
| 112 | 1 | Kjerne | bipolar kjerne | flint | 108 | 102 | NV | 1 | |
| 113 | 4 | Kjernefragment | bipolart kjernefragment | flint | 108 | 102 | NV | 1 | |
| 114 | 114 | Avslag | | flint | 108 | 102 | NØ | 1 | |
| 115 | 1 | Diagnostisk avslag | avslag av slipt gjenstand | skifer | 108 | 102 | NØ | 1 | |
| 116 | 1 | Kjerne | bipolar kjerne | flint | 108 | 102 | NØ | 1 | |
| 117 | 1 | Avslag | makroavslag | flint | 108 | 102 | NØ | 1 | |
| 118 | 86 | Avslag | | flint | 108 | 102 | SV | 1 | |
| 119 | 1 | Kjerne | bipolar kjerne | flint | 108 | 102 | SV | 1 | |
| 120 | 1 | Kjerne | bipolar kjerne | flint | 108 | 102 | SV | 1 | |
| 121 | 1 | Kjerne | bipolar kjerne | flint | 108 | 102 | SV | 1 | |

| Unr. | Antall | Gjenstand | Form | Materiale | X | Y | Kvadrant | Mek.Lag | Funnkontekst |
|-------------|---------------|--------------------|-------------------------|------------------|----------|----------|-----------------|----------------|---------------------|
| 122 | 1 | Retusjert flekke | retusjert medioflekke | flint | 108 | 102 | SV | 1 | |
| 123 | 1 | Retusjert avslag | retusjert medioavslag | flint | 108 | 102 | SV | 1 | |
| 124 | 1 | Kjernefragment | bipolart kjernefragment | flint | 108 | 102 | SV | 1 | |
| 125 | 131 | Avslag | | flint | 108 | 102 | SØ | 1 | |
| 126 | 1 | Pilspiss | slipt pilspiss | skifer | 108 | 102 | SØ | 1 | |
| 127 | 1 | Flekke | medioflekke | flint | 108 | 102 | SØ | 1 | |
| 128 | 1 | Flekke | mikroflekke | flint | 108 | 102 | SØ | 1 | |
| 129 | 1 | Flekke | mikroflekke | flint | 108 | 102 | SØ | 1 | |
| 130 | 1 | Kjerne | bipolar kjerne | flint | 108 | 102 | SØ | 1 | |
| 131 | 1 | Kjerne | bipolar kjerne | flint | 108 | 102 | SØ | 1 | |
| 132 | 1 | Kjerne | bipolar kjerne | flint | 108 | 102 | SØ | 1 | |
| 133 | 1 | Retusjert avslag | retusjert medioavslag | flint | 108 | 102 | SØ | 1 | |
| 134 | 1 | Kernefragment | bipolart kernefragment | flint | 108 | 102 | SØ | 1 | |
| 135 | 1 | Kernefragment | bipolart kernefragment | kvartsitt | 108 | 102 | SØ | 1 | |
| 136 | 91 | Avslag | | flint | 108 | 103 | NV | 1 | |
| 137 | 1 | Kjerne | bipolar kjerne | flint | 108 | 103 | NV | 1 | |
| 138 | 1 | Slipestein | pimpstein med bruksspor | pimpstein | 108 | 103 | NV | 1 | |
| 139 | 1 | Retusjert avslag | retusjert mikroavslag | flint | 108 | 103 | NV | 1 | |
| 140 | 1 | Retusjert avslag | retusjert mikroavslag | flint | 108 | 103 | NV | 1 | |
| 141 | 1 | Kernefragment | bipolart kernefragment | flint | 108 | 103 | NV | 1 | |
| 142 | 4 | Kernefragment | bipolart kernefragment | flint | 108 | 103 | NV | 1 | |
| 143 | 104 | Avslag | | flint | 108 | 103 | NØ | 1 | |
| 144 | 1 | Avslag | | skifer | 108 | 103 | NØ | 1 | |
| 145 | 1 | Pilspiss | slipt pilspiss | skifer | 108 | 103 | NØ | 1 | |
| 146 | 1 | Kjerne | bipolar kjerne | flint | 108 | 103 | NØ | 1 | |
| 147 | 1 | Flekke | makroflekke | flint | 108 | 103 | NØ | 1 | |
| 148 | 1 | Retusjert avslag | retusjert mikroavslag | flint | 108 | 103 | NØ | 1 | |
| 149 | 2 | Kernefragment | bipolart kernefragment | flint | 108 | 103 | NØ | 1 | |
| 150 | 58 | Avslag | | flint | 108 | 103 | SV | 1 | |
| 151 | 1 | Pilspiss | slipt pilspiss | skifer | 108 | 103 | SV | 1 | |
| 152 | 1 | Retusjert avslag | retusjert medioavslag | flint | 108 | 103 | SV | 1 | |
| 153 | 1 | Retusjert avslag | retusjert medioavslag | flint | 108 | 103 | SV | 1 | |
| 154 | 1 | Diagnostisk avslag | cortexflekke | flint | 108 | 103 | SV | 1 | |
| 155 | 2 | Kernefragment | bipolart kernefragment | flint | 108 | 103 | SV | 1 | |
| 156 | 1 | Avslag | medioavslag | flint | 108 | 103 | SV | 1 | |
| 157 | 87 | Avslag | | flint | 108 | 103 | SØ | 1 | |
| 158 | 1 | Avslag | | kvarts | 108 | 103 | SØ | 1 | |
| 159 | 1 | Emne | emne med knekkfure | skifer | 108 | 103 | SØ | 1 | |
| 160 | 1 | Skrapere | ubestemt skrapere | flint | 108 | 103 | SØ | 1 | |
| 161 | 1 | Retusjert avslag | retusjert medioavslag | flint | 108 | 103 | SØ | 1 | |
| 162 | 1 | Avslag | medioavslag | flint | 108 | 103 | SØ | 1 | |

| Unr. | Antall | Gjenstand | Form | Materiale | X | Y | Kvadrant | Mek.Lag | Funnkontekst |
|------|--------|--------------------|-------------------------|-----------|-----|-----|----------|---------|--------------|
| 163 | 2 | Kjernefragment | bipolart kjernefragment | flint | 108 | 103 | SØ | 1 | |
| 164 | 94 | Avslag | | flint | 108 | 104 | NV | 1 | |
| 165 | 1 | Skrapere | ubestemt skrapere | flint | 108 | 104 | NV | 1 | |
| 166 | 1 | Retusjert avslag | retusjert fragment | flint | 108 | 104 | NV | 1 | |
| 167 | 1 | Retusjert avslag | retusjert medioavslag | flint | 108 | 104 | NV | 1 | |
| 168 | 1 | Flekke | medioflekke | flint | 108 | 104 | NV | 1 | |
| 169 | 1 | Flekke | mikroflekke | flint | 108 | 104 | NV | 1 | |
| 170 | 1 | Flekke | mikroflekke | flint | 108 | 104 | NV | 1 | |
| 171 | 1 | Flekke | mikroflekke | flint | 108 | 104 | NV | 1 | |
| 172 | 1 | Flekke | mikroflekke | flint | 108 | 104 | NV | 1 | |
| 173 | 1 | Flekke | mikroflekke | flint | 108 | 104 | NV | 1 | |
| 174 | 1 | Kjerne | bipolar kjerne | flint | 108 | 104 | NV | 1 | |
| 175 | 1 | Kjerne | bipolar kjerne | flint | 108 | 104 | NV | 1 | |
| 176 | 1 | Kjerne | bipolar kjerne | flint | 108 | 104 | NV | 1 | |
| 177 | 1 | Kjerne | bipolar kjerne | flint | 108 | 104 | NV | 1 | |
| 178 | 1 | Kjerne | bipolar kjerne | flint | 108 | 104 | NV | 1 | |
| 179 | 1 | Kjerne | bipolar kjerne | flint | 108 | 104 | NV | 1 | |
| 180 | 1 | Kjerne | bipolar kjerne | flint | 108 | 104 | NV | 1 | |
| 181 | 1 | Kjerne | bipolar kjerne | flint | 108 | 104 | NV | 1 | |
| 182 | 1 | Kjerne | bipolar kjerne | flint | 108 | 104 | NV | 1 | |
| 183 | 1 | Kjerne | bipolar kjerne | flint | 108 | 104 | NV | 1 | |
| 184 | 5 | Kernefragment | bipolart kernefragment | flint | 108 | 104 | NV | 1 | |
| 185 | 45 | Avslag | | flint | 108 | 104 | NØ | 1 | |
| 186 | 1 | Flekke | medioflekke | flint | 108 | 104 | NØ | 1 | |
| 187 | 1 | Kjerne | bipolar kjerne | flint | 108 | 104 | NØ | 1 | |
| 188 | 1 | Kjerne | bipolar kjerne | flint | 108 | 104 | NØ | 1 | |
| 189 | 4 | Kernefragment | bipolart kernefragment | flint | 108 | 104 | NØ | 1 | |
| 190 | 105 | Avslag | | flint | 108 | 104 | SV | 1 | |
| 191 | 1 | Pilspiss | slipt pilspiss | skifer | 108 | 104 | SV | 1 | |
| 192 | 1 | Kjerne | bipolar kjerne | flint | 108 | 104 | SV | 1 | |
| 193 | 1 | Kjerne | bipolar kjerne | flint | 108 | 104 | SV | 1 | |
| 194 | 4 | Kernefragment | bipolart kernefragment | flint | 108 | 104 | SV | 1 | |
| 195 | 85 | Avslag | | flint | 108 | 104 | SØ | 1 | |
| 196 | 1 | Avslag | | kvartsitt | 108 | 104 | SØ | 1 | |
| 197 | 1 | Søkke | garnsøkke | bergart | 108 | 104 | SØ | 1 | |
| 198 | 1 | Kjerne | bipolar kjerne | flint | 108 | 104 | SØ | 1 | |
| 199 | 1 | Kjerne | bipolar kjerne | flint | 108 | 104 | SØ | 1 | |
| 200 | 1 | Diagnostisk avslag | flekkelignende avslag | flint | 108 | 104 | SØ | 1 | |
| 201 | 1 | Retusjert avslag | retusjert medioavslag | flint | 108 | 104 | SØ | 1 | |
| 202 | 12 | Avslag | | flint | 108 | 105 | NV | 1 | |
| 203 | 14 | Avslag | | flint | 108 | 105 | NØ | 1 | |

| Unr. | Antall | Gjenstand | Form | Materiale | X | Y | Kvadrant | Mek.Lag | Funnkontekst |
|-------------|---------------|--------------------|-------------------------|------------------|----------|----------|-----------------|----------------|---------------------|
| 204 | 1 | Kjerne | bipolar kjerne | flint | 108 | 105 | NØ | 1 | |
| 205 | 1 | Avslag | medioavslag | flint | 108 | 105 | NØ | 1 | |
| 206 | 10 | Avslag | | flint | 108 | 105 | SV | 1 | |
| 207 | 30 | Avslag | | flint | 108 | 105 | SØ | 1 | |
| 208 | 1 | Kjerne | bipolar kjerne | flint | 108 | 105 | SØ | 1 | |
| 209 | 2 | Kjernefragment | bipolart kjernefragment | flint | 108 | 105 | SØ | 1 | |
| 210 | 1 | Slipestein | pimpstein med bruksspor | pimpstein | 108 | 105 | SØ | 1 | |
| 211 | 37 | Avslag | | flint | 108 | 106 | NV | 1 | |
| 212 | 2 | Kjernefragment | bipolart kjernefragment | flint | 108 | 106 | NV | 1 | |
| 213 | 30 | Avslag | | flint | 108 | 106 | NØ | 1 | |
| 214 | 1 | Avslag | | kvarts | 108 | 106 | NØ | 1 | |
| 215 | 1 | Skrapere | ubestemt skrapere | flint | 108 | 106 | NØ | 1 | |
| 216 | 57 | Avslag | | flint | 108 | 106 | SV | 1 | |
| 217 | 1 | Skrapere | ubestemt skrapere | flint | 108 | 106 | SV | 1 | |
| 218 | 1 | Retusjert avslag | retusjert medioavslag | flint | 108 | 106 | SV | 1 | |
| 219 | 1 | Kjerne | bipolar kjerne | flint | 108 | 106 | SV | 1 | |
| 220 | 1 | Kjerne | bipolar kjerne | flint | 108 | 106 | SV | 1 | |
| 221 | 45 | Avslag | | flint | 108 | 106 | SØ | 1 | |
| 222 | 1 | Pilspiss | slipt pilspiss | skifer | 108 | 106 | SØ | 1 | |
| 223 | 2 | Kjernefragment | bipolart kjernefragment | flint | 108 | 106 | SØ | 1 | |
| 224 | 61 | Avslag | | flint | 108 | 107 | NV | 1 | |
| 225 | 1 | Kjerne | bipolar kjerne | flint | 108 | 107 | NV | 1 | |
| 226 | 1 | Retusjert avslag | retusjert makroavslag | flint | 108 | 107 | NV | 1 | |
| 227 | 1 | Retusjert avslag | retusjert makroavslag | flint | 108 | 107 | NV | 1 | |
| 228 | 1 | Retusjert avslag | retusjert medioavslag | flint | 108 | 107 | NV | 1 | |
| 229 | 1 | Diagnostisk avslag | cortexflekke | flint | 108 | 107 | NV | 1 | |
| 230 | 101 | Avslag | | flint | 108 | 107 | NØ | 1 | |
| 231 | 1 | Retusjert avslag | retusjert medioavslag | flint | 108 | 107 | NØ | 1 | |
| 232 | 1 | Retusjert avslag | retusjert medioavslag | flint | 108 | 107 | NØ | 1 | |
| 233 | 1 | Kjerne | bipolar kjerne | flint | 108 | 107 | NØ | 1 | |
| 234 | 1 | Kjerne | bipolar kjerne | flint | 108 | 107 | NØ | 1 | |
| 235 | 52 | Avslag | | flint | 108 | 107 | SØ | 1 | |
| 236 | 1 | Retusjert avslag | retusjert medioavslag | flint | 108 | 107 | SØ | 1 | |
| 237 | 1 | Slipestein | pimpstein med bruksspor | pimpstein | 108 | 107 | SØ | 1 | |
| 238 | 1 | Kjerne | bipolar kjerne | flint | 108 | 107 | SØ | 1 | |
| 239 | 1 | Kjernefragment | bipolart kjernefragment | flint | 108 | 107 | SØ | 1 | |
| 240 | 28 | Avslag | | flint | 108 | 107 | SV | 1 | |
| 241 | 1 | Flekke | medioflekke | flint | 108 | 107 | SV | 1 | |
| 242 | 1 | Flekke | medioflekke | flint | 108 | 107 | SV | 1 | |
| 243 | 72 | Avslag | | flint | 108 | 108 | NV | 1 | |
| 244 | 1 | Avslag | | bergkrystall | 108 | 108 | NV | 1 | |

| Unr. | Antall | Gjenstand | Form | Materiale | X | Y | Kvadrant | Mek.Lag | Funnkontekst |
|-------------|---------------|------------------|-------------------------|------------------|----------|----------|-----------------|----------------|---------------------|
| 245 | 1 | Avslag | medioavslag | flint | 108 | 108 | NV | 1 | |
| 246 | 58 | Avslag | | flint | 108 | 108 | NØ | 1 | |
| 247 | 1 | Avslag | | kvarts | 108 | 108 | NØ | 1 | |
| 248 | 1 | Flekke | mikrflekke | flint | 108 | 108 | NØ | 1 | |
| 249 | 1 | Retusjert avslag | retusjert medioavslag | flint | 108 | 108 | NØ | 1 | |
| 250 | 1 | Kjerne | bipolar kjerne | flint | 108 | 108 | NØ | 1 | |
| 251 | 1 | Kjerne | bipolar kjerne | flint | 108 | 108 | NØ | 1 | |
| 252 | 1 | Avslag | mikroavslag | flint | 108 | 108 | NØ | 1 | |
| 253 | 54 | Avslag | | flint | 108 | 108 | SV | 1 | |
| 254 | 1 | Avslag | | kvarts | 108 | 108 | SV | 1 | |
| 255 | 1 | Retusjert avslag | retusjert medioavslag | flint | 108 | 108 | SV | 1 | |
| 256 | 1 | Retusjert avslag | retusjert mikroavslag | flint | 108 | 108 | SV | 1 | |
| 257 | 24 | Avslag | | flint | 108 | 108 | SØ | 1 | |
| 258 | 1 | Kjerne | bipolar kjerne | flint | 108 | 108 | SØ | 1 | |
| 259 | 1 | Kjerne | bipolar kjerne | flint | 108 | 108 | SØ | 1 | |
| 260 | 1 | Kjerne | bipolar kjerne | bergkrystall | 108 | 108 | SØ | 1 | |
| 261 | 84 | Avslag | | flint | 109 | 99 | NV | 1 | |
| 262 | 1 | Avslag | | kvartsitt | 109 | 99 | NV | 1 | |
| 263 | 1 | Retusjert avslag | retusjert mikroavslag | flint | 109 | 99 | NV | 1 | |
| 264 | 1 | Retusjert avslag | retusjert medioavslag | flint | 109 | 99 | NV | 1 | |
| 265 | 1 | Retusjert avslag | retusjert medioavslag | flint | 109 | 99 | NV | 1 | |
| 266 | 71 | Avslag | | flint | 109 | 99 | NØ | 1 | |
| 267 | 1 | Avslag | | kvarts | 109 | 99 | NØ | 1 | |
| 268 | 1 | Pilspiss | slipt pilspiss | skifer | 109 | 99 | NØ | 1 | |
| 269 | 1 | Retusjert avslag | retusjert medioavslag | flint | 109 | 99 | NØ | 1 | |
| 270 | 3 | Avslag | medioavslag | flint | 109 | 99 | NØ | 1 | |
| 271 | 88 | Avslag | | flint | 109 | 99 | SV | 1 | |
| 272 | 1 | Avslag | | kvartsitt | 109 | 99 | SV | 1 | |
| 273 | 1 | Kjerne | bipolar kjerne | flint | 109 | 99 | SV | 1 | |
| 274 | 1 | Retusjert avslag | retusjert medioavslag | flint | 109 | 99 | SV | 1 | |
| 275 | 1 | Retusjert avslag | retusjert medioavslag | flint | 109 | 99 | SV | 1 | |
| 276 | 1 | Kjernefragment | bipolart kjernefragment | flint | 109 | 99 | SV | 1 | |
| 277 | 1 | Kjernefragment | bipolart kjernefragment | flint | 109 | 99 | SV | 1 | |
| 278 | 47 | Avslag | | flint | 109 | 99 | SØ | 1 | |
| 279 | 1 | Kjerne | bipolar kjerne | flint | 109 | 99 | SØ | 1 | |
| 280 | 1 | Kjerne | bipolar kjerne | flint | 109 | 99 | SØ | 1 | |
| 281 | 1 | Retusjert avslag | retusjert makroavslag | flint | 109 | 99 | SØ | 1 | |
| 282 | 1 | Retusjert avslag | retusjert mikroavslag | flint | 109 | 99 | SØ | 1 | |
| 283 | 2 | Kjernefragment | bipolart kjernefragment | flint | 109 | 99 | SØ | 1 | |
| 284 | 83 | Avslag | | flint | 109 | 100 | NV | 1 | |
| 285 | 1 | Avslag | | kvartsitt | 109 | 100 | NV | 1 | |
| 286 | 1 | Fragment | slipt fragment | sandstein | 109 | 100 | NV | 1 | |

| Unr. | Antall | Gjenstand | Form | Materiale | X | Y | Kvadrant | Mek.Lag | Funnkontekst |
|-------------|---------------|-----------------------|------------------------------|------------------|----------|----------|-----------------|----------------|---------------------|
| 287 | 4 | Kjernefragment | bipolart kjernefragment | flint | 109 | 100 | NV | 1 | |
| 288 | 85 | Avslag | | flint | 109 | 100 | NØ | 1 | |
| 289 | 1 | Kjerne | bipolar kjerne | flint | 109 | 100 | NØ | 1 | |
| 290 | 1 | Kjerne | bipolar kjerne | flint | 109 | 100 | NØ | 1 | |
| 291 | 1 | Retusjert avslag | retusjert medioavslag | flint | 109 | 100 | NØ | 1 | |
| 292 | 1 | Retusjert avslag | retusjert medioavslag | flint | 109 | 100 | NØ | 1 | |
| 293 | 2 | Kernefragment | bipolart kernefragment | flint | 109 | 100 | NØ | 1 | |
| 294 | 69 | Avslag | | flint | 109 | 100 | SV | 1 | |
| 295 | 1 | Flekke | mikroflekke | flint | 109 | 100 | SV | 1 | |
| 296 | 1 | Retusjert avslag | retusjert medioavslag | flint | 109 | 100 | SV | 1 | |
| 297 | 1 | Retusjert avslag | retusjert medioavslag | flint | 109 | 100 | SV | 1 | |
| 298 | 1 | Retusjert avslag | retusjert medioavslag | flint | 109 | 100 | SV | 1 | |
| 299 | 2 | Kernefragment | bipolart kernefragment | flint | 109 | 100 | SV | 1 | |
| 300 | 60 | Avslag | | flint | 109 | 100 | SØ | 1 | |
| 301 | 1 | Retusjert avslag | retusjert medioavslag | flint | 109 | 100 | SØ | 1 | |
| 302 | 97 | Avslag | | flint | 109 | 101 | NV | 1 | |
| 303 | 1 | Pilspiss | slipt pilspiss | skifer | 109 | 101 | NV | 1 | |
| 304 | 1 | Flekke | mikroflekke | flint | 109 | 101 | NV | 1 | |
| 305 | 1 | Flekke | makroflekke | flint | 109 | 101 | NV | 1 | |
| 306 | 90 | Avslag | | flint | 109 | 101 | NØ | 1 | |
| 307 | 1 | Avslag | | kvarts | 109 | 101 | NØ | 1 | |
| 308 | 1 | Kjerne | bipolar kjerne | flint | 109 | 101 | NØ | 1 | |
| 309 | 1 | Retusjert avslag | retusjert medioavslag | flint | 109 | 101 | NØ | 1 | |
| 310 | 1 | Avslag | medioavslag | flint | 109 | 101 | NØ | 1 | |
| 311 | 2 | Kernefragment | bipolart kernefragment | flint | 109 | 101 | NØ | 1 | |
| 312 | 44 | Avslag | | flint | 109 | 101 | SV | 1 | |
| 313 | 1 | Kjerne | bipolar kjerne | flint | 109 | 101 | SV | 1 | |
| 314 | 1 | Kernefragment | bipolart kernefragment | flint | 109 | 101 | SV | 1 | |
| 315 | 117 | Avslag | | flint | 109 | 101 | SØ | 1 | |
| 316 | 1 | Slipestein | pimpstein med brukspor | pimpstein | 109 | 101 | SØ | 1 | |
| 317 | 1 | Kjerne | bipolar kjerne | flint | 109 | 101 | SØ | 1 | |
| 318 | 1 | Kernefragment | bipolart kernefragment | flint | 109 | 101 | SØ | 1 | |
| 319 | 2 | Avslag | medioavslag | flint | 109 | 101 | SØ | 1 | |
| 320 | 3 | Kernefragment | bipolart kernefragment | flint | 109 | 101 | SØ | 1 | |
| 321 | 98 | Avslag | | flint | 109 | 102 | NV | 1 | |
| 322 | 1 | Diagnostisk avslag | avslag av slipt gjenstand | skifer | 109 | 102 | NV | 1 | |
| 323 | 1 | Kjerne | bipolar kjerne | flint | 109 | 102 | NV | 1 | |
| 324 | 1 | Retusjert avslag | retusjert medioavslag | flint | 109 | 102 | NV | 1 | |
| 325 | 1 | Avslag | medioavslag | flint | 109 | 102 | NV | 1 | |
| 326 | 1 | Kernefragment | bipolart kernefragment | flint | 109 | 102 | NV | 1 | |
| 327 | 112 | Avslag | | flint | 109 | 102 | NØ | 1 | |

| Unr. | Antall | Gjenstand | Form | Materiale | X | Y | Kvadrant | Mek.Lag | Funnkontekst |
|------|--------|------------------|-------------------------|--------------|-----|-----|----------|---------|--------------|
| 328 | 1 | Kjerne | bipolar kjerne | flint | 109 | 102 | NØ | 1 | |
| 329 | 1 | Retusjert avslag | retusjert medioavslag | flint | 109 | 102 | NØ | 1 | |
| 330 | 1 | Retusjert avslag | retusjert medioavslag | flint | 109 | 102 | NØ | 1 | |
| 331 | 1 | Kjernefragment | bipolart kjernefragment | flint | 109 | 102 | NØ | 1 | |
| 332 | 87 | Avslag | | flint | 109 | 102 | SV | 1 | |
| 333 | 1 | Pilspiss | slipt pilspiss | skifer | 109 | 102 | SV | 1 | |
| 334 | 1 | Slipestein | pimpstein med bruksspor | pimpstein | 109 | 102 | SV | 1 | |
| 335 | 1 | Slipestein | pimpstein med bruksspor | pimpstein | 109 | 102 | SV | 1 | |
| 336 | 1 | Retusjert avslag | retusjert mikroavslag | flint | 109 | 102 | SV | 1 | |
| 337 | 1 | Avslag | medioavslag | flint | 109 | 102 | SV | 1 | |
| 338 | 3 | Kjernefragment | bipolart kjernefragment | flint | 109 | 102 | SV | 1 | |
| 339 | 98 | Avslag | | flint | 109 | 102 | SØ | 1 | |
| 340 | 1 | Avslag | | bergkrystall | 109 | 102 | SØ | 1 | |
| 341 | 1 | Pilspiss | slipt pilspiss | skifer | 109 | 102 | SØ | 1 | |
| 342 | 1 | Kjerne | bipolar kjerne | flint | 109 | 102 | SØ | 1 | |
| 343 | 1 | Kjerne | bipolar kjerne | flint | 109 | 102 | SØ | 1 | |
| 344 | 1 | Slipestein | pimpstein med bruksspor | pimpstein | 109 | 102 | SØ | 1 | |
| 345 | 1 | Kjernefragment | bipolart kjernefragment | flint | 109 | 102 | SØ | 1 | |
| 346 | 1 | Kjernefragment | bipolart kjernefragment | bergkrystall | 109 | 102 | SØ | 1 | |
| 347 | 98 | Avslag | | flint | 109 | 103 | NV | 1 | |
| 348 | 1 | Retusjert avslag | retusjert mikroavslag | flint | 109 | 103 | NV | 1 | |
| 349 | 1 | Retusjert avslag | retusjert mikroavslag | flint | 109 | 103 | NV | 1 | |
| 350 | 1 | Slipestein | pimpstein med bruksspor | pimpstein | 109 | 103 | NV | 1 | |
| 351 | 1 | Avslag | medioavslag | flint | 109 | 103 | NV | 1 | |
| 352 | 2 | Kjernefragment | bipolart kjernefragment | flint | 109 | 103 | NV | 1 | |
| 353 | 1 | Knoll | | flint | 109 | 103 | NV | 1 | |
| 354 | 72 | Avslag | | flint | 109 | 103 | NØ | 1 | |
| 355 | 1 | Avslag | | kvarts | 109 | 103 | NØ | 1 | |
| 356 | 1 | Avslag | | kvartsitt | 109 | 103 | NØ | 1 | |
| 357 | 1 | Pilspiss | slipt pilspiss | skifer | 109 | 103 | NØ | 1 | |
| 358 | 1 | Avslag | medioavslag | flint | 109 | 103 | NØ | 1 | |
| 359 | 2 | Kjernefragment | bipolart kjernefragment | flint | 109 | 103 | NØ | 1 | |
| 360 | 83 | Avslag | | flint | 109 | 103 | SV | 1 | |
| 361 | 1 | Pilspiss | slipt pilspiss | skifer | 109 | 103 | SV | 1 | |
| 362 | 1 | Kjerne | bipolar kjerne | flint | 109 | 103 | SV | 1 | |
| 363 | 1 | Kjerne | bipolar kjerne | flint | 109 | 103 | SV | 1 | |
| 364 | 1 | Retusjert avslag | retusjert medioavslag | flint | 109 | 103 | SV | 1 | |
| 365 | 1 | Kjernefragment | bipolart kjernefragment | flint | 109 | 103 | SV | 1 | |
| 366 | 96 | Avslag | | flint | 109 | 103 | SØ | 1 | |
| 367 | 1 | Retusjert avslag | retusjert medioavslag | flint | 109 | 103 | SØ | 1 | |
| 368 | 1 | Retusjert avslag | retusjert medioavslag | flint | 109 | 103 | SØ | 1 | |

| Unr. | Antall | Gjenstand | Form | Materiale | X | Y | Kvadrant | Mek.Lag | Funnkontekst |
|-------------|---------------|------------------|-------------------------|------------------|----------|----------|-----------------|----------------|---------------------|
| 369 | 3 | Avslag | medioavslag | flint | 109 | 103 | SØ | 1 | |
| 370 | 5 | Kjernefragment | bipolart kjernefragment | flint | 109 | 103 | SØ | 1 | |
| 371 | 1 | Knoll | | flint | 109 | 103 | SØ | 1 | |
| 372 | 41 | Avslag | | flint | 109 | 104 | NV | 1 | |
| 373 | 1 | Kjernefragment | bipolart kernefragment | flint | 109 | 104 | NV | 1 | |
| 374 | 1 | Retusjert avslag | retusjert medioavslag | flint | 109 | 104 | NV | 1 | |
| 375 | 12 | Avslag | | flint | 109 | 104 | NØ | 1 | |
| 376 | 1 | Avslag | | sandstein | 109 | 104 | NØ | 1 | |
| 377 | 1 | Kjernefragment | bipolart kernefragment | flint | 109 | 104 | NØ | 1 | |
| 378 | 116 | Avslag | | flint | 109 | 104 | SV | 1 | |
| 379 | 1 | Skrapere | ubestemt skrapere | flint | 109 | 104 | SV | 1 | |
| 380 | 1 | Retusjert avslag | retusjert medioavslag | flint | 109 | 104 | SV | 1 | |
| 381 | 1 | Retusjert avslag | retusjert medioavslag | flint | 109 | 104 | SV | 1 | |
| 382 | 1 | Retusjert avslag | retusjert fragment | flint | 109 | 104 | SV | 1 | |
| 383 | 1 | Kerne | bipolar kerne | flint | 109 | 104 | SV | 1 | |
| 384 | 2 | Kernefragment | bipolart kernefragment | flint | 109 | 104 | SV | 1 | |
| 385 | 18 | Avslag | | flint | 109 | 104 | SØ | 1 | |
| 386 | 1 | Kernefragment | bipolart kernefragment | flint | 109 | 104 | SØ | 1 | |
| 387 | 28 | Avslag | | flint | 109 | 105 | NV | 1 | |
| 388 | 1 | Kerne | bipolar kerne | flint | 109 | 105 | NV | 1 | |
| 389 | 1 | Kerne | bipolar kerne | flint | 109 | 105 | NV | 1 | |
| 390 | 1 | Retusjert avslag | retusjert makroavslag | flint | 109 | 105 | NV | 1 | |
| 391 | 31 | Avslag | | flint | 109 | 105 | NØ | 1 | |
| 392 | 35 | Avslag | | flint | 109 | 105 | SV | 1 | |
| 393 | 1 | Avslag | | kvarts | 109 | 105 | SV | 1 | |
| 394 | 1 | Kerne | bipolar kerne | flint | 109 | 105 | SV | 1 | |
| 395 | 1 | Kernefragment | bipolart kernefragment | flint | 109 | 105 | SV | 1 | |
| 396 | 19 | Avslag | | flint | 109 | 105 | SØ | 1 | |
| 397 | 1 | Kerne | bipolar kerne | flint | 109 | 105 | SØ | 1 | |
| 398 | 63 | Avslag | | flint | 109 | 106 | NV | 1 | |
| 399 | 4 | Avslag | | bergart | 109 | 106 | NV | 1 | |
| 400 | 1 | Kerne | bipolar kerne | flint | 109 | 106 | NV | 1 | |
| 401 | 1 | Kerne | bipolar kerne | flint | 109 | 106 | NV | 1 | |
| 402 | 1 | Kernefragment | bipolart kernefragment | flint | 109 | 106 | NV | 1 | |
| 403 | 60 | Avslag | | flint | 109 | 106 | NØ | 1 | |
| 404 | 1 | Avslag | | kvartsitt | 109 | 106 | NØ | 1 | |
| 405 | 1 | Kerne | bipolar kerne | flint | 109 | 106 | NØ | 1 | |
| 406 | 1 | Kerne | bipolar kerne | flint | 109 | 106 | NØ | 1 | |
| 407 | 1 | Kerne | bipolar kerne | flint | 109 | 106 | NØ | 1 | |
| 408 | 1 | Retusjert avslag | retusjert medioavslag | flint | 109 | 106 | NØ | 1 | |
| 409 | 1 | Kernefragment | bipolart kernefragment | flint | 109 | 106 | NØ | 1 | |
| 410 | 36 | Avslag | | flint | 109 | 106 | SV | 1 | Prøvekvadrant |

| Unr. | Antall | Gjenstand | Form | Materiale | X | Y | Kvadrant | Mek.Lag | Funnkontekst |
|-------------|---------------|--------------------|-------------------------|------------------|----------|----------|-----------------|----------------|---------------------|
| 411 | 1 | Avslag | | kvarts | 109 | 106 | SV | 1 | Prøvekvadrant |
| 412 | 1 | Kjernefragment | bipolart kjernefragment | flint | 109 | 106 | SV | 1 | Prøvekvadrant |
| 413 | 1 | Kjernefragment | bipolart kjernefragment | flint | 109 | 106 | SV | 1 | Prøvekvadrant |
| 414 | 62 | Avslag | | flint | 109 | 106 | SØ | 1 | |
| 415 | 1 | Avslag | | bergkrystall | 109 | 106 | SØ | 1 | |
| 416 | 1 | Avslag | | skifer | 109 | 106 | SØ | 1 | |
| 417 | 112 | Avslag | | flint | 109 | 107 | NV | 1 | |
| 418 | 1 | Avslag | | kvarts | 109 | 107 | NV | 1 | |
| 419 | 1 | Kjerne | bipolar kjerne | flint | 109 | 107 | NV | 1 | |
| 420 | 1 | Kjerne | bipolar kjerne | flint | 109 | 107 | NV | 1 | |
| 421 | 1 | Kjerne | bipolar kjerne | flint | 109 | 107 | NV | 1 | |
| 422 | 1 | Retusjert avslag | retusjert medioavslag | flint | 109 | 107 | NV | 1 | |
| 423 | 1 | Retusjert avslag | retusjert medioavslag | flint | 109 | 107 | NV | 1 | |
| 424 | 1 | Kernefragment | bipolart kernefragment | flint | 109 | 107 | NV | 1 | |
| 425 | 101 | Avslag | | flint | 109 | 107 | NØ | 1 | |
| 426 | 1 | Avslag | | kvarts | 109 | 107 | NØ | 1 | |
| 427 | 77 | Avslag | | flint | 109 | 107 | SV | 1 | |
| 428 | 1 | Øks | firesidig bergartsøks | sandstein | 109 | 107 | SV | 1 | |
| 429 | 1 | Pilspiss | slipt pilspiss | skifer | 109 | 107 | SV | 1 | |
| 430 | 3 | Kernefragment | bipolart kernefragment | flint | 109 | 107 | SV | 1 | |
| 431 | 68 | Avslag | | flint | 109 | 107 | SØ | 1 | |
| 432 | 2 | Avslag | | kvarts | 109 | 107 | SØ | 1 | |
| 433 | 1 | Kjerne | bipolar kjerne | flint | 109 | 107 | SØ | 1 | |
| 434 | 2 | Kernefragment | bipolart kernefragment | flint | 109 | 107 | SØ | 1 | |
| 435 | 72 | Avslag | | flint | 109 | 108 | SV | 1 | |
| 436 | 1 | Avslag | | kvarts | 109 | 108 | SV | 1 | |
| 437 | 1 | Avslag | | kvartsitt | 109 | 108 | SV | 1 | |
| 438 | 1 | Flekke | mikrflekke | flint | 109 | 108 | SV | 1 | |
| 439 | 1 | Kjerne | bipolar kjerne | flint | 109 | 108 | SV | 1 | |
| 440 | 1 | Kjerne | bipolar kjerne | flint | 109 | 108 | SV | 1 | |
| 441 | 1 | Kernefragment | bipolart kernefragment | flint | 109 | 108 | SV | 1 | |
| 442 | 31 | Avslag | | flint | 109 | 108 | SØ | 1 | |
| 443 | 1 | Diagnostisk avslag | cortexflekke | flint | 109 | 108 | SØ | 1 | |
| 444 | 1 | Kjerne | bipolar kjerne | flint | 109 | 108 | SØ | 1 | |
| 445 | 11 | Avslag | | flint | 110 | 99 | NV | 1 | |
| 446 | 18 | Avslag | | flint | 110 | 99 | NØ | 1 | |
| 447 | 1 | Avslag | | bergkrystall | 110 | 99 | NØ | 1 | |
| 448 | 1 | Kjerne | bipolar kjerne | flint | 110 | 99 | NØ | 1 | |
| 449 | 77 | Avslag | | flint | 110 | 99 | SV | 1 | |
| 450 | 1 | Pilspiss | slipt pilspiss | skifer | 110 | 99 | SV | 1 | |
| 451 | 1 | Flekke | mikrflekke | flint | 110 | 99 | SV | 1 | |

| Unr. | Antall | Gjenstand | Form | Materiale | X | Y | Kvadrant | Mek.Lag | Funnkontekst |
|-------------|---------------|------------------|------------------------|------------------|----------|----------|-----------------|----------------|---------------------|
| 452 | 1 | Flekke | mikroflekke | flint | 110 | 99 | SV | 1 | |
| 453 | 1 | Kjerne | bipolar kjerne | flint | 110 | 99 | SV | 1 | |
| 454 | 1 | Kjerne | bipolar kjerne | flint | 110 | 99 | SV | 1 | |
| 455 | 1 | Kjerne | bipolar kjerne | flint | 110 | 99 | SV | 1 | |
| 456 | 1 | Kjerne | bipolar kjerne | flint | 110 | 99 | SV | 1 | |
| 457 | 1 | Kjernefragment | bipolart kernefragment | flint | 110 | 99 | SV | 1 | |
| 458 | 2 | Kjernefragment | bipolart kernefragment | flint | 110 | 99 | SV | 1 | |
| 459 | 51 | Avslag | | flint | 110 | 99 | SØ | 1 | |
| 460 | 1 | Avslag | microavslag | flint | 110 | 99 | SØ | 1 | |
| 461 | 32 | Avslag | | flint | 110 | 100 | NV | 1 | |
| 462 | 1 | Retusjert avslag | retusjert medioavslag | flint | 110 | 100 | NV | 1 | |
| 463 | 1 | Retusjert avslag | retusjert medioavslag | flint | 110 | 100 | NV | 1 | |
| 464 | 1 | Kernefragment | bipolart kernefragment | flint | 110 | 100 | NV | 1 | |
| 465 | 31 | Avslag | | flint | 110 | 100 | NØ | 1 | |
| 466 | 1 | Retusjert avslag | retusjert medioavslag | flint | 110 | 100 | NØ | 1 | |
| 467 | 1 | Retusjert avslag | retusjert medioavslag | flint | 110 | 100 | NØ | 1 | |
| 468 | 1 | Retusjert avslag | retusjert medioavslag | flint | 110 | 100 | NØ | 1 | |
| 469 | 1 | Flekke | mikroflekke | flint | 110 | 100 | NØ | 1 | |
| 470 | 1 | Kjerne | bipolar kjerne | flint | 110 | 100 | NØ | 1 | |
| 471 | 36 | Avslag | | flint | 110 | 100 | SV | 1 | |
| 472 | 1 | Flekke | mikroflekke | flint | 110 | 100 | SV | 1 | |
| 473 | 1 | Flekke | mikroflekke | flint | 110 | 100 | SV | 1 | |
| 474 | 1 | Retusjert avslag | retusjert medioavslag | flint | 110 | 100 | SV | 1 | |
| 475 | 1 | Retusjert avslag | retusjert medioavslag | flint | 110 | 100 | SV | 1 | |
| 476 | 1 | Kjerne | bipolar kjerne | flint | 110 | 100 | SV | 1 | |
| 477 | 1 | Kjerne | bipolar kjerne | flint | 110 | 100 | SV | 1 | |
| 478 | 3 | Kernefragment | bipolart kernefragment | flint | 110 | 100 | SV | 1 | |
| 479 | 1 | Avslag | medioavslag | flint | 110 | 100 | SV | 1 | |
| 480 | 36 | Avslag | | flint | 110 | 100 | SØ | 1 | |
| 481 | 1 | Avslag | | kvartsitt | 110 | 100 | SØ | 1 | |
| 482 | 1 | Avslag | medioavslag | flint | 110 | 100 | SØ | 1 | |
| 483 | 1 | Kernefragment | bipolart kernefragment | flint | 110 | 100 | SØ | 1 | |
| 484 | 43 | Avslag | | flint | 110 | 101 | NV | 1 | |
| 485 | 1 | Flekke | medioflekke | flint | 110 | 101 | NV | 1 | |
| 486 | 1 | Retusjert avslag | retusjert medioavslag | flint | 110 | 101 | NV | 1 | |
| 487 | 1 | Retusjert avslag | retusjert medioavslag | flint | 110 | 101 | NV | 1 | |
| 488 | 1 | Kjerne | bipolar kjerne | flint | 110 | 101 | NV | 1 | |
| 489 | 1 | Kjerne | bipolar kjerne | flint | 110 | 101 | NV | 1 | |
| 490 | 157 | Avslag | | flint | 110 | 101 | NØ | 1 | |
| 491 | 1 | Avslag | | kvarts | 110 | 101 | NØ | 1 | |
| 492 | 1 | Retusjert avslag | retusjert medioavslag | flint | 110 | 101 | NØ | 1 | |
| 493 | 1 | Kjerne | bipolar kjerne | flint | 110 | 101 | NØ | 1 | |

| Unr. | Antall | Gjenstand | Form | Materiale | X | Y | Kvadrant | Mek.Lag | Funnkontekst |
|-------------|---------------|--------------------|-------------------------|------------------|----------|----------|-----------------|----------------|---------------------|
| 494 | 1 | Kjerne | bipolar kjerne | flint | 110 | 101 | NØ | 1 | |
| 495 | 1 | Kjerne | bipolar kjerne | flint | 110 | 101 | NØ | 1 | |
| 496 | 1 | Kjernefragment | bipolart kjernefragment | flint | 110 | 101 | NØ | 1 | |
| 497 | 4 | Kjernefragment | bipolart kjernefragment | flint | 110 | 101 | NØ | 1 | |
| 498 | 2 | Avslag | medioavslag | flint | 110 | 101 | NØ | 1 | |
| 499 | 103 | Avslag | | flint | 110 | 101 | SV | 1 | |
| 500 | 1 | Retusjert flekke | retusjert makroflekke | flint | 110 | 101 | SV | 1 | |
| 501 | 1 | Retusjert avslag | retusjert medioavslag | flint | 110 | 101 | SV | 1 | |
| 502 | 1 | Retusjert avslag | retusjert medioavslag | flint | 110 | 101 | SV | 1 | |
| 503 | 1 | Retusjert avslag | retusjert medioavslag | flint | 110 | 101 | SV | 1 | |
| 504 | 4 | Avslag | medioavslag | flint | 110 | 101 | SV | 1 | |
| 505 | 2 | Kjernefragment | bipolart kjernefragment | flint | 110 | 101 | SV | 1 | |
| 506 | 150 | Avslag | | flint | 110 | 101 | SØ | 1 | |
| 507 | 2 | Avslag | | bergkrystall | 110 | 101 | SØ | 1 | |
| 508 | 1 | Diagnostisk avslag | cortexflekke | flint | 110 | 101 | SØ | 1 | |
| 509 | 1 | Retusjert avslag | retusjert medioavslag | flint | 110 | 101 | SØ | 1 | |
| 510 | 1 | Retusjert avslag | retusjert medioavslag | flint | 110 | 101 | SØ | 1 | |
| 511 | 1 | Retusjert avslag | retusjert medioavslag | flint | 110 | 101 | SØ | 1 | |
| 512 | 1 | Retusjert avslag | retusjert mikroavslag | flint | 110 | 101 | SØ | 1 | |
| 513 | 1 | Retusjert avslag | retusjert medioavslag | flint | 110 | 101 | SØ | 1 | |
| 514 | 1 | Retusjert avslag | retusjert medioavslag | flint | 110 | 101 | SØ | 1 | |
| 515 | 1 | Slipestein | pimpstein med bruksspor | pimpstein | 110 | 101 | SØ | 1 | |
| 516 | 1 | Kjerne | bipolar kjerne | flint | 110 | 101 | SØ | 1 | |
| 517 | 1 | Kjerne | bipolar kjerne | flint | 110 | 101 | SØ | 1 | |
| 518 | 1 | Kjerne | bipolar kjerne | flint | 110 | 101 | SØ | 1 | |
| 519 | 1 | Kjerne | bipolar kjerne | flint | 110 | 101 | SØ | 1 | |
| 520 | 1 | Retusjert avslag | retusjert medioavslag | flint | 110 | 101 | SØ | 1 | |
| 521 | 7 | Avslag | medioavslag | flint | 110 | 101 | SØ | 1 | |
| 522 | 2 | Kjernefragment | bipolart kjernefragment | flint | 110 | 101 | SØ | 1 | |
| 523 | 114 | Avslag | | flint | 110 | 102 | NV | 1 | |
| 524 | 1 | Avslag | | kvarts | 110 | 102 | NV | 1 | |
| 525 | 1 | Kjerne | bipolar kjerne | flint | 110 | 102 | NV | 1 | |
| 526 | 1 | Kjerne | bipolar kjerne | flint | 110 | 102 | NV | 1 | |
| 527 | 1 | Kjerne | bipolar kjerne | flint | 110 | 102 | NV | 1 | |
| 528 | 1 | Retusjert avslag | retusjert medioavslag | flint | 110 | 102 | NV | 1 | |
| 529 | 1 | Retusjert avslag | retusjert medioavslag | flint | 110 | 102 | NV | 1 | |
| 530 | 3 | Kjernefragment | bipolart kjernefragment | flint | 110 | 102 | NV | 1 | |
| 531 | 111 | Avslag | | flint | 110 | 102 | NØ | 1 | |
| 532 | 1 | Avslag | | bergkrystall | 110 | 102 | NØ | 1 | |
| 533 | 1 | Flekke | mikroflekke | flint | 110 | 102 | NØ | 1 | |
| 534 | 1 | Kjerne | bipolar kjerne | flint | 110 | 102 | NØ | 1 | |

| Unr. | Antall | Gjenstand | Form | Materiale | X | Y | Kvadrant | Mek.Lag | Funnkontekst |
|------|--------|------------------|-------------------------|--------------|-----|-----|----------|---------|---------------|
| 535 | 1 | Slipestein | pimpstein med bruksspor | pimpstein | 110 | 102 | NØ | 1 | |
| 536 | 1 | Avslag | medioavslag | flint | 110 | 102 | NØ | 1 | |
| 537 | 2 | Kjernefragment | bipolart kjernefragment | flint | 110 | 102 | NØ | 1 | |
| 538 | 107 | Avslag | | flint | 110 | 102 | SV | 1 | Prøvekvadrant |
| 539 | 1 | Avslag | | bergkrystall | 110 | 102 | SV | 1 | Prøvekvadrant |
| 540 | 1 | Kjerne | bipolar kjerne | flint | 110 | 102 | SV | 1 | Prøvekvadrant |
| 541 | 1 | Kjerne | bipolar kjerne | flint | 110 | 102 | SV | 1 | Prøvekvadrant |
| 542 | 1 | Kjerne | bipolar kjerne | flint | 110 | 102 | SV | 1 | Prøvekvadrant |
| 543 | 1 | Kjerne | bipolar kjerne | flint | 110 | 102 | SV | 1 | Prøvekvadrant |
| 544 | 1 | Slipestein | pimpstein med bruksspor | flint | 110 | 102 | SV | 1 | Prøvekvadrant |
| 545 | 3 | Avslag | medioavslag | flint | 110 | 102 | SV | 1 | Prøvekvadrant |
| 546 | 105 | Avslag | | flint | 110 | 102 | SØ | 1 | |
| 547 | 1 | Avslag | | bergkrystall | 110 | 102 | SØ | 1 | |
| 548 | 1 | Flekke | medioflekke | flint | 110 | 102 | SØ | 1 | |
| 549 | 1 | Retusjert avslag | retusjert medioavslag | flint | 110 | 102 | SØ | 1 | |
| 550 | 1 | Retusjert avslag | retusjert medioavslag | flint | 110 | 102 | SØ | 1 | |
| 551 | 1 | Retusjert avslag | retusjert medioavslag | flint | 110 | 102 | SØ | 1 | |
| 552 | 1 | Retusjert avslag | retusjert medioavslag | flint | 110 | 102 | SØ | 1 | |
| 553 | 1 | Retusjert avslag | retusjert medioavslag | flint | 110 | 102 | SØ | 1 | |
| 554 | 1 | Slipestein | pimpstein med bruksspor | pimpstein | 110 | 102 | SØ | 1 | |
| 555 | 1 | Avslag | medioavslag | flint | 110 | 102 | SØ | 1 | |
| 556 | 2 | Kernefragment | bipolart kernefragment | flint | 110 | 102 | SØ | 1 | |
| 557 | 128 | Avslag | | flint | 110 | 103 | NV | 1 | |
| 558 | 1 | Pilspiss | slipt pilspiss | skifer | 110 | 103 | NV | 1 | |
| 559 | 1 | Kjerne | bipolar kjerne | flint | 110 | 103 | NV | 1 | |
| 560 | 1 | Kjerne | bipolar kjerne | flint | 110 | 103 | NV | 1 | |
| 561 | 1 | Retusjert avslag | retusjert medioavslag | flint | 110 | 103 | NV | 1 | |
| 562 | 1 | Retusjert avslag | retusjert medioavslag | flint | 110 | 103 | NV | 1 | |
| 563 | 1 | Retusjert avslag | retusjert medioavslag | flint | 110 | 103 | NV | 1 | |
| 564 | 1 | Retusjert avslag | retusjert medioavslag | flint | 110 | 103 | NV | 1 | |
| 565 | 2 | Kernefragment | bipolart kernefragment | flint | 110 | 103 | NV | 1 | |
| 566 | 45 | Avslag | | flint | 110 | 103 | NØ | 1 | |
| 567 | 1 | Fragment | slipt fragment | flint | 110 | 103 | NØ | 1 | |
| 568 | 1 | Flekke | makroflekke | flint | 110 | 103 | NØ | 1 | |
| 569 | 1 | Retusjert avslag | retusjert medioavslag | flint | 110 | 103 | NØ | 1 | |
| 570 | 1 | Avslag | medioavslag | flint | 110 | 103 | NØ | 1 | |
| 571 | 1 | Kernefragment | bipolart kernefragment | flint | 110 | 103 | NØ | 1 | |
| 572 | 120 | Avslag | | flint | 110 | 103 | SV | 1 | |
| 573 | 1 | Avslag | | bergkrystall | 110 | 103 | SV | 1 | |
| 574 | 1 | Pilspiss | slipt pilspiss | skifer | 110 | 103 | SV | 1 | |
| 575 | 1 | Kjerne | bipolar kjerne | flint | 110 | 103 | SV | 1 | |

| Unr. | Antall | Gjenstand | Form | Materiale | X | Y | Kvadrant | Mek.Lag | Funnkontekst |
|-------------|---------------|------------------|--------------------------|------------------|----------|----------|-----------------|----------------|---------------------|
| 576 | 1 | Kjerne | bipolar kjerne | flint | 110 | 103 | SV | 1 | |
| 577 | 1 | Kjerne | bipolar kjerne | flint | 110 | 103 | SV | 1 | |
| 578 | 1 | Retusjert avslag | retusjert medioavslag | flint | 110 | 103 | SV | 1 | |
| 579 | 1 | Retusjert avslag | retusjert medioavslag | flint | 110 | 103 | SV | 1 | |
| 580 | 1 | Avslag | medioavslag | flint | 110 | 103 | SV | 1 | |
| 581 | 3 | Kjernefragment | bipolart kjernefragment | flint | 110 | 103 | SV | 1 | |
| 582 | 122 | Avslag | | flint | 110 | 103 | SØ | 1 | |
| 583 | 1 | Retusjert avslag | retusjert medioavslag | flint | 110 | 103 | SØ | 1 | |
| 584 | 1 | Retusjert avslag | retusjert medioavslag | flint | 110 | 103 | SØ | 1 | |
| 585 | 1 | Retusjert avslag | retusjert medioavslag | flint | 110 | 103 | SØ | 1 | |
| 586 | 1 | Retusjert avslag | retusjert medioavslag | flint | 110 | 103 | SØ | 1 | |
| 587 | 1 | Retusjert avslag | retusjert medioavslag | flint | 110 | 103 | SØ | 1 | |
| 588 | 1 | Flekke | medioflekke | flint | 110 | 103 | SØ | 1 | |
| 589 | 1 | Flekke | mikroflekke | flint | 110 | 103 | SØ | 1 | |
| 590 | 1 | Slipestein | pimpstein med bruksspor | pimpstein | 110 | 103 | SØ | 1 | |
| 591 | 1 | Slipestein | pimpstein med bruksspor | pimpstein | 110 | 103 | SØ | 1 | |
| 592 | 1 | Slipestein | pimpstein med bruksspor | pimpstein | 110 | 103 | SØ | 1 | |
| 593 | 1 | Kjerne | bipolar kjerne | flint | 110 | 103 | SØ | 1 | |
| 594 | 1 | Kjerne | bipolar kjerne | flint | 110 | 103 | SØ | 1 | |
| 595 | 1 | Kjerne | bipolar kjerne | flint | 110 | 103 | SØ | 1 | |
| 596 | 1 | Kjerne | bipolar kjerne | flint | 110 | 103 | SØ | 1 | |
| 597 | 3 | Avslag | medioavslag | flint | 110 | 103 | SØ | 1 | |
| 598 | 1 | Kjernefragment | bipolart kjernefragment | flint | 110 | 103 | SØ | 1 | |
| 599 | 50 | Avslag | | flint | 110 | 104 | NV | 1 | |
| 600 | 4 | Avslag | | kvarts | 110 | 104 | NV | 1 | |
| 601 | 3 | Avslag | | kvartsitt | 110 | 104 | NV | 1 | |
| 602 | 2 | Avslag | medioavslag | flint | 110 | 104 | NV | 1 | |
| 603 | 1 | Kjernefragment | bipolart kjernefragment | flint | 110 | 104 | NV | 1 | |
| 604 | 76 | Avslag | | flint | 110 | 104 | NØ | 1 | |
| 605 | 1 | Meisel | firesidig bergartsmeisel | sandstein | 110 | 104 | NØ | 1 | |
| 606 | 1 | Kjerne | bipolar kjerne | flint | 110 | 104 | NØ | 1 | |
| 607 | 1 | Kjerne | bipolar kjerne | flint | 110 | 104 | NØ | 1 | |
| 608 | 1 | Retusjert avslag | retusjert medioavslag | flint | 110 | 104 | NØ | 1 | |
| 609 | 3 | Avslag | medioavslag | flint | 110 | 104 | NØ | 1 | |
| 610 | 5 | Kjernefragment | bipolart kjernefragment | flint | 110 | 104 | NØ | 1 | |
| 611 | 9 | Avslag | | flint | 110 | 104 | SV | 1 | |
| 612 | 1 | Flekke | mikroflekke | flint | 110 | 104 | SV | 1 | |
| 613 | 68 | Avslag | | flint | 110 | 104 | SØ | 1 | |
| 614 | 2 | Avslag | | kvarts | 110 | 104 | SØ | 1 | |
| 615 | 1 | Pilspiss | slipt pilspiss | skifer | 110 | 104 | SØ | 1 | |
| 616 | 1 | Kjerne | bipolar kjerne | flint | 110 | 104 | SØ | 1 | |

| Unr. | Antall | Gjenstand | Form | Materiale | X | Y | Kvadrant | Mek.Lag | Funnkontekst |
|-------------|---------------|------------------|-------------------------|------------------|----------|----------|-----------------|----------------|---------------------|
| 617 | 1 | Kjerne | bipolar kjerne | flint | 110 | 104 | SØ | 1 | |
| 618 | 1 | Kjernefragment | bipolart kernefragment | flint | 110 | 104 | SØ | 1 | |
| 619 | 47 | Avslag | | flint | 110 | 105 | NV | 1 | |
| 620 | 1 | Avslag | | bergkrystall | 110 | 105 | NV | 1 | |
| 621 | 1 | Flekke | mikroflekke | flint | 110 | 105 | NV | 1 | |
| 622 | 1 | Retusjert flekke | retusjert mikroflekke | flint | 110 | 105 | NV | 1 | |
| 623 | 1 | Retusjert avslag | retusjert medioavslag | flint | 110 | 105 | NV | 1 | |
| 624 | 1 | Retusjert avslag | retusjert medioavslag | flint | 110 | 105 | NV | 1 | |
| 625 | 1 | Kjerne | bipolar kjerne | flint | 110 | 105 | NV | 1 | |
| 626 | 1 | Kjerne | bipolar kjerne | flint | 110 | 105 | NV | 1 | |
| 627 | 1 | Avslag | medioavslag | flint | 110 | 105 | NV | 1 | |
| 628 | 1 | Kernefragment | bipolart kernefragment | flint | 110 | 105 | NV | 1 | |
| 629 | 61 | Avslag | | flint | 110 | 105 | NØ | 1 | |
| 630 | 4 | Avslag | | kvarts | 110 | 105 | NØ | 1 | |
| 631 | 1 | Avslag | fragment | skifer | 110 | 105 | NØ | 1 | |
| 632 | 1 | Kjerne | bipolar kjerne | flint | 110 | 105 | NØ | 1 | |
| 633 | 1 | Slipestein | pimpstein med bruksspor | pimpstein | 110 | 105 | NØ | 1 | |
| 634 | 1 | Kernefragment | bipolart kernefragment | flint | 110 | 105 | NØ | 1 | |
| 635 | 57 | Avslag | | flint | 110 | 105 | SV | 1 | |
| 636 | 1 | Pilspiss | slipt pilspiss | skifer | 110 | 105 | SV | 1 | |
| 637 | 1 | Retusjert avslag | retusjert medioavslag | flint | 110 | 105 | SV | 1 | |
| 638 | 1 | Retusjert avslag | retusjert medioavslag | flint | 110 | 105 | SV | 1 | |
| 639 | 1 | Flekke | medioflekke | flint | 110 | 105 | SV | 1 | |
| 640 | 2 | Avslag | medioavslag | flint | 110 | 105 | SV | 1 | |
| 641 | 1 | Kernefragment | bipolart kernefragment | bergkrystall | 110 | 105 | SV | 1 | |
| 642 | 20 | Avslag | | flint | 110 | 105 | SØ | 1 | |
| 643 | 1 | Avslag | | kvarts | 110 | 105 | SØ | 1 | |
| 644 | 1 | Kjerne | bipolar kjerne | flint | 110 | 105 | SØ | 1 | |
| 645 | 1 | Kjerne | bipolar kjerne | flint | 110 | 105 | SØ | 1 | |
| 646 | 1 | Retusjert avslag | retusjert medioavslag | flint | 110 | 105 | SØ | 1 | |
| 647 | 31 | Avslag | | flint | 110 | 106 | NV | 1 | |
| 648 | 1 | Retusjert avslag | retusjert mikroavslag | flint | 110 | 106 | NV | 1 | |
| 649 | 23 | Avslag | | flint | 110 | 106 | NØ | 1 | |
| 650 | 1 | Flekke | makroflekke | flint | 110 | 106 | NØ | 1 | |
| 651 | 1 | Kjerne | bipolar kjerne | flint | 110 | 106 | NØ | 1 | |
| 652 | 10 | Avslag | | flint | 110 | 106 | SV | 1 | |
| 653 | 39 | Avslag | | flint | 110 | 106 | SØ | 1 | |
| 654 | 1 | Avslag | | kvarts | 110 | 106 | SØ | 1 | |
| 655 | 1 | Avslag | | sandstein | 110 | 106 | SØ | 1 | |
| 656 | 1 | Kniv | flekkekni | flint | 110 | 106 | SØ | 1 | |
| 657 | 1 | Kniv | avslagskniv | flint | 110 | 106 | SØ | 1 | |

| Unr. | Antall | Gjenstand | Form | Materiale | X | Y | Kvadrant | Mek.Lag | Funnkontekst |
|-------------|---------------|--------------------|---------------------------|------------------|----------|----------|-----------------|----------------|---------------------|
| 658 | 1 | Retusjert avslag | retusjert medioavslag | kvartsitt | 110 | 106 | SØ | 1 | |
| 659 | 1 | Kjerne | bipolar kjerne | flint | 110 | 106 | SØ | 1 | |
| 660 | 1 | Kjerne | bipolar kjerne | flint | 110 | 106 | SØ | 1 | |
| 661 | 1 | Avslag | medioavslag | flint | 110 | 106 | SØ | 1 | |
| 662 | 117 | Avslag | | flint | 110 | 107 | NV | 1 | |
| 663 | 2 | Avslag | | bergkrystall | 110 | 107 | NV | 1 | |
| 664 | 1 | Avslag | | sandstein | 110 | 107 | NV | 1 | |
| 665 | 1 | Diagnostisk avslag | avslag av slipt gjenstand | skifer | 110 | 107 | NV | 1 | |
| 666 | 1 | Diagnostisk avslag | avslag av slipt gjenstand | skifer | 110 | 107 | NV | 1 | |
| 667 | 1 | Diagnostisk avslag | avslag av slipt gjenstand | skifer | 110 | 107 | NV | 1 | |
| 668 | 1 | Emne | emne med knekkfure | skifer | 110 | 107 | NV | 1 | |
| 669 | 1 | Retusjert avslag | retusjert medioavslag | flint | 110 | 107 | NV | 1 | |
| 670 | 1 | Retusjert avslag | retusjert medioavslag | flint | 110 | 107 | NV | 1 | |
| 671 | 1 | Avslag | medioavslag | flint | 110 | 107 | NV | 1 | |
| 672 | 5 | Kjernefragment | bipolart kjernefragment | flint | 110 | 107 | NV | 1 | |
| 673 | 33 | Avslag | | flint | 110 | 107 | NØ | 1 | |
| 674 | 87 | Avslag | | flint | 110 | 107 | SV | 1 | |
| 675 | 1 | Avslag | | bergkrystall | 110 | 107 | SV | 1 | |
| 676 | 1 | Avslag | | kvartsitt | 110 | 107 | SV | 1 | |
| 677 | 1 | Avslag | fragment | skifer | 110 | 107 | SV | 1 | |
| 678 | 1 | Diagnostisk avslag | avslag av slipt gjenstand | skifer | 110 | 107 | SV | 1 | |
| 679 | 1 | Flekke | mikrflekke | flint | 110 | 107 | SV | 1 | |
| 680 | 1 | Flekke | mikrflekke | flint | 110 | 107 | SV | 1 | |
| 681 | 1 | Flekke | mikrflekke | flint | 110 | 107 | SV | 1 | |
| 682 | 1 | Flekke | mikrflekke | flint | 110 | 107 | SV | 1 | |
| 683 | 1 | Retusjert avslag | retusjert medioavslag | flint | 110 | 107 | SV | 1 | |
| 684 | 1 | Avslag | medioavslag | flint | 110 | 107 | SV | 1 | |
| 685 | 1 | Knoll | | flint | 110 | 107 | SV | 1 | |
| 686 | 108 | Avslag | | flint | 110 | 107 | SØ | 1 | |
| 687 | 1 | Pilspiss | slipt pilspiss | skifer | 110 | 107 | SØ | 1 | |
| 688 | 1 | Flekke | mikrflekke | flint | 110 | 107 | SØ | 1 | |
| 689 | 1 | Retusjert avslag | retusjert medioavslag | flint | 110 | 107 | SØ | 1 | |
| 690 | 1 | Kjerne | bipolar kjerne | flint | 110 | 107 | SØ | 1 | |
| 691 | 2 | Kjernefragment | bipolart kjernefragment | flint | 110 | 107 | SØ | 1 | |
| 692 | 16 | Avslag | | flint | 111 | 100 | SØ | 1 | |
| 693 | 70 | Avslag | | flint | 111 | 101 | NØ | 1 | |
| 694 | 1 | Retusjert avslag | retusjert medioavslag | flint | 111 | 101 | NØ | 1 | |
| 695 | 1 | Diagnostisk avslag | cortexflekke | flint | 111 | 101 | NØ | 1 | |
| 696 | 1 | Kjerne | bipolar kjerne | flint | 111 | 101 | NØ | 1 | |
| 697 | 1 | Kjerne | bipolar kjerne | flint | 111 | 101 | NØ | 1 | |
| 698 | 3 | Avslag | medioavslag | flint | 111 | 101 | NØ | 1 | |

| Unr. | Antall | Gjenstand | Form | Materiale | X | Y | Kvadrant | Mek.Lag | Funnkontekst |
|-------------|---------------|--------------------|---------------------------|------------------|----------|----------|-----------------|----------------|---------------------|
| 699 | 26 | Avslag | | flint | 111 | 101 | SV | 1 | |
| 700 | 1 | Slipestein | pimpstein med bruksspor | pimpstein | 111 | 101 | SV | 1 | |
| 701 | 2 | Kjernefragment | bipolart kjernefragment | flint | 111 | 101 | SV | 1 | |
| 702 | 99 | Avslag | | flint | 111 | 101 | SØ | 1 | |
| 703 | 1 | Avslag | | kvartsitt | 111 | 101 | SØ | 1 | |
| 704 | 1 | Avslag | | skifer | 111 | 101 | SØ | 1 | |
| 705 | 1 | Pilspiss | slipt pilspiss | skifer | 111 | 101 | SØ | 1 | |
| 706 | 1 | Diagnostisk avslag | hengselflekke | flint | 111 | 101 | SØ | 1 | |
| 707 | 1 | Flekke | mikroflekke | flint | 111 | 101 | SØ | 1 | |
| 708 | 1 | Retusjert avslag | retusjert medioavslag | flint | 111 | 101 | SØ | 1 | |
| 709 | 1 | Retusjert avslag | retusjert medioavslag | flint | 111 | 101 | SØ | 1 | |
| 710 | 1 | Retusjert avslag | retusjert medioavslag | flint | 111 | 101 | SØ | 1 | |
| 711 | 1 | Retusjert avslag | retusjert medioavslag | flint | 111 | 101 | SØ | 1 | |
| 712 | 3 | Avslag | medioavslag | flint | 111 | 101 | SØ | 1 | |
| 713 | 1 | Kjerne | bipolar kjerne | flint | 111 | 101 | SØ | 1 | |
| 714 | 1 | Kjerne | bipolar kjerne | kvarts | 111 | 101 | SØ | 1 | |
| 715 | 1 | Kjernefragment | bipolart kjernefragment | flint | 111 | 101 | SØ | 1 | |
| 716 | 113 | Avslag | | flint | 111 | 102 | NV | 1 | |
| 717 | 1 | Kjerne | bipolar kjerne | flint | 111 | 102 | NV | 1 | |
| 718 | 1 | Retusjert avslag | retusjert medioavslag | flint | 111 | 102 | NV | 1 | |
| 719 | 1 | Retusjert avslag | retusjert medioavslag | flint | 111 | 102 | NV | 1 | |
| 720 | 1 | Retusjert avslag | retusjert medioavslag | flint | 111 | 102 | NV | 1 | |
| 721 | 2 | Avslag | medioavslag | flint | 111 | 102 | NV | 1 | |
| 722 | 3 | Kjernefragment | bipolart kjernefragment | flint | 111 | 102 | NV | 1 | |
| 723 | 124 | Avslag | | flint | 111 | 102 | NØ | 1 | |
| 724 | 1 | Avslag | | kvarts | 111 | 102 | NØ | 1 | |
| 725 | 1 | Diagnostisk avslag | avslag av slipt gjenstand | bergart | 111 | 102 | NØ | 1 | |
| 726 | 1 | Kjerne | bipolar kjerne | flint | 111 | 102 | NØ | 1 | |
| 727 | 1 | Retusjert avslag | retusjert medioavslag | flint | 111 | 102 | NØ | 1 | |
| 728 | 2 | Avslag | medioavslag | flint | 111 | 102 | NØ | 1 | |
| 729 | 126 | Avslag | | flint | 111 | 102 | SØ | 1 | |
| 730 | 1 | Flekke | medioflekke | flint | 111 | 102 | SØ | 1 | |
| 731 | 1 | Kjerne | bipolar kjerne | flint | 111 | 102 | SØ | 1 | |
| 732 | 1 | Retusjert avslag | retusjert medioavslag | flint | 111 | 102 | SØ | 1 | |
| 733 | 1 | Retusjert avslag | retusjert medioavslag | flint | 111 | 102 | SØ | 1 | |
| 734 | 1 | Retusjert avslag | retusjert medioavslag | flint | 111 | 102 | SØ | 1 | |
| 735 | 1 | Retusjert avslag | retusjert medioavslag | flint | 111 | 102 | SØ | 1 | |
| 736 | 2 | Avslag | medioavslag | flint | 111 | 102 | SØ | 1 | |
| 737 | 2 | Kjernefragment | bipolart kjernefragment | flint | 111 | 102 | SØ | 1 | |
| 738 | 116 | Avslag | | flint | 111 | 102 | SV | 1 | |
| 739 | 3 | Avslag | | kvarts | 111 | 102 | SV | 1 | |

| Unr. | Antall | Gjenstand | Form | Materiale | X | Y | Kvadrant | Mek.Lag | Funnkontekst |
|------|--------|-----------------------|------------------------------|--------------|-----|-----|----------|---------|--------------|
| 740 | 1 | Avslag | | bergkrystall | 111 | 102 | SV | 1 | |
| 741 | 1 | Retusjert avslag | retusjert medioavslag | flint | 111 | 102 | SV | 1 | |
| 742 | 1 | Kjerne | bipolar kjerne | flint | 111 | 102 | SV | 1 | |
| 743 | 1 | Kjerne | bipolar kjerne | flint | 111 | 102 | SV | 1 | |
| 744 | 1 | Kjerne | bipolar kjerne | kvarts | 111 | 102 | SV | 1 | |
| 745 | 2 | Kjernefragment | bipolart kjernefragment | flint | 111 | 102 | SV | 1 | |
| 746 | 22 | Avslag | | flint | 111 | 103 | NV | 1 | |
| 747 | 64 | Avslag | | flint | 111 | 103 | NØ | 1 | |
| 748 | 1 | Slipestein | pimpstein med brukspor | pimpstein | 111 | 103 | NØ | 1 | |
| 749 | 1 | Retusjert avslag | retusjert medioavslag | flint | 111 | 103 | NØ | 1 | |
| 750 | 1 | Retusjert avslag | retusjert medioavslag | flint | 111 | 103 | NØ | 1 | |
| 751 | 1 | Kjerne | bipolar kjerne | flint | 111 | 103 | NØ | 1 | |
| 752 | 1 | Kjernefragment | bipolart kjernefragment | flint | 111 | 103 | NØ | 1 | |
| 753 | 83 | Avslag | | flint | 111 | 103 | SV | 1 | |
| 754 | 1 | Avslag | | kvarts | 111 | 103 | SV | 1 | |
| 755 | 1 | Avslag | | kvartsitt | 111 | 103 | SV | 1 | |
| 756 | 1 | Skraper | endeskramer | flint | 111 | 103 | SV | 1 | |
| 757 | 1 | Retusjert avslag | retusjert medioavslag | flint | 111 | 103 | SV | 1 | |
| 758 | 1 | Retusjert avslag | retusjert medioavslag | flint | 111 | 103 | SV | 1 | |
| 759 | 3 | Kjernefragment | bipolart kjernefragment | flint | 111 | 103 | SV | 1 | |
| 760 | 10 | Avslag | | flint | 111 | 103 | SØ | 1 | |
| 761 | 1 | Retusjert avslag | retusjert medioavslag | flint | 111 | 103 | SØ | 1 | |
| 762 | 97 | Avslag | | flint | 111 | 104 | NV | 1 | |
| 763 | 1 | Emne | ubestemt emne | skifer | 111 | 104 | NV | 1 | |
| 764 | 1 | Diagnostisk avslag | avslag av slipt gjenstand | sandstein | 111 | 104 | NV | 1 | |
| 765 | 1 | Retusjert avslag | retusjert medioavslag | flint | 111 | 104 | NV | 1 | |
| 766 | 1 | Retusjert avslag | retusjert medioavslag | flint | 111 | 104 | NV | 1 | |
| 767 | 1 | Retusjert avslag | retusjert medioavslag | flint | 111 | 104 | NV | 1 | |
| 768 | 1 | Retusjert avslag | retusjert medioavslag | flint | 111 | 104 | NV | 1 | |
| 769 | 1 | Kjerne | bipolar kjerne | flint | 111 | 104 | NV | 1 | |
| 770 | 1 | Kjerne | bipolar kjerne | flint | 111 | 104 | NV | 1 | |
| 771 | 1 | Kjerne | bipolar kjerne | flint | 111 | 104 | NV | 1 | |
| 772 | 1 | Kjerne | bipolar kjerne | flint | 111 | 104 | NV | 1 | |
| 773 | 1 | Kjerne | bipolar kjerne | flint | 111 | 104 | NV | 1 | |
| 774 | 3 | Avslag | medioavslag | flint | 111 | 104 | NV | 1 | |
| 775 | 3 | Kjernefragment | bipolart kjernefragment | flint | 111 | 104 | NV | 1 | |
| 776 | 63 | Avslag | | flint | 111 | 104 | NØ | 1 | |
| 777 | 3 | Avslag | | kvarts | 111 | 104 | NØ | 1 | |
| 778 | 1 | Avslag | | kvartsitt | 111 | 104 | NØ | 1 | |
| 779 | 1 | Diagnostisk avslag | avslag av slipt gjenstand | skifer | 111 | 104 | NØ | 1 | |
| 780 | 1 | Flekke | mikroflekke | flint | 111 | 104 | NØ | 1 | |

| Unr. | Antall | Gjenstand | Form | Materiale | X | Y | Kvadrant | Mek.Lag | Funnkontekst |
|-------------|---------------|--------------------|------------------------------|------------------|----------|----------|-----------------|----------------|---------------------|
| 781 | 1 | Flekke | mikroflekke | flint | 111 | 104 | NØ | 1 | |
| 782 | 1 | Flekke | medioflekke | flint | 111 | 104 | NØ | 1 | |
| 783 | 1 | Kjerne | bipolar kjerne | flint | 111 | 104 | NØ | 1 | |
| 784 | 103 | Avslag | | flint | 111 | 104 | SV | 1 | |
| 785 | 1 | Avslag | | kvarts | 111 | 104 | SV | 1 | |
| 786 | 1 | Avslag | | kvartsitt | 111 | 104 | SV | 1 | |
| 787 | 1 | Avslag | | sandstein | 111 | 104 | SV | 1 | |
| 788 | 1 | Diagnostisk avslag | avslag av slipt gjenstand | skifer | 111 | 104 | SV | 1 | |
| 789 | 1 | Slipestein | pimpstein med bruksspor | pimpstein | 111 | 104 | SV | 1 | |
| 790 | 1 | Flekke | medioflekke | flint | 111 | 104 | SV | 1 | |
| 791 | 1 | Retusjert avslag | retusjert medioavslag | flint | 111 | 104 | SV | 1 | |
| 792 | 1 | Kjerne | bipolar kjerne | flint | 111 | 104 | SV | 1 | |
| 793 | 1 | Kjerne | bipolar kjerne | flint | 111 | 104 | SV | 1 | |
| 794 | 1 | Kjerne | bipolar kjerne | flint | 111 | 104 | SV | 1 | |
| 795 | 1 | Kjernefragment | bipolart kjernefragment | flint | 111 | 104 | SV | 1 | |
| 796 | 4 | Avslag | medioavslag | flint | 111 | 104 | SV | 1 | |
| 797 | 76 | Avslag | | flint | 111 | 104 | SØ | 1 | |
| 798 | 5 | Avslag | | kvarts | 111 | 104 | SØ | 1 | |
| 799 | 1 | Kjerne | bipolar kjerne | flint | 111 | 104 | SØ | 1 | |
| 800 | 1 | Kjerne | bipolar kjerne | flint | 111 | 104 | SØ | 1 | |
| 801 | 1 | Kjerne | bipolar kjerne | flint | 111 | 104 | SØ | 1 | |
| 802 | 1 | Kjerne | bipolar kjerne | flint | 111 | 104 | SØ | 1 | |
| 803 | 1 | Kjerne | bipolar kjerne | flint | 111 | 104 | SØ | 1 | |
| 804 | 1 | Diagnostisk avslag | avslag fra skraperproduksjon | flint | 111 | 104 | SØ | 1 | |
| 805 | 1 | Retusjert avslag | retusjert medioavslag | flint | 111 | 104 | SØ | 1 | |
| 806 | 1 | Retusjert avslag | retusjert mikroavslag | flint | 111 | 104 | SØ | 1 | |
| 807 | 2 | Kjernefragment | bipolart kjernefragment | flint | 111 | 104 | SØ | 1 | |
| 808 | 59 | Avslag | | flint | 111 | 105 | NV | 1 | |
| 809 | 1 | Diagnostisk avslag | avslag av slipt gjenstand | skifer | 111 | 105 | NV | 1 | |
| 810 | 1 | Slipestein | pimpstein med bruksspor | pimpstein | 111 | 105 | NV | 1 | |
| 811 | 1 | Kjerne | bipolar kjerne | flint | 111 | 105 | NV | 1 | |
| 812 | 1 | Kjerne | bipolar kjerne | flint | 111 | 105 | NV | 1 | |
| 813 | 1 | Avslag | medioavslag | flint | 111 | 105 | NV | 1 | |
| 814 | 91 | Avslag | | flint | 111 | 105 | NØ | 1 | |
| 815 | 2 | Avslag | | kvarts | 111 | 105 | NØ | 1 | |
| 816 | 1 | Pilspiss | slipt pilspiss | skifer | 111 | 105 | NØ | 1 | |
| 817 | 1 | Kjerne | bipolar kjerne | flint | 111 | 105 | NØ | 1 | |
| 818 | 1 | Kjerne | bipolar kjerne | flint | 111 | 105 | NØ | 1 | |
| 819 | 1 | Kjerne | bipolar kjerne | flint | 111 | 105 | NØ | 1 | |
| 820 | 1 | Avslag | medioavslag | flint | 111 | 105 | NØ | 1 | |
| 821 | 2 | Kjernefragment | bipolart kjernefragment | flint | 111 | 105 | NØ | 1 | |

| Unr. | Antall | Gjenstand | Form | Materiale | X | Y | Kvadrant | Mek.Lag | Funnkontekst |
|------|--------|--------------------|---------------------------|-----------|-----|-----|----------|---------|--------------|
| 822 | 77 | Avslag | | flint | 111 | 105 | SV | 1 | |
| 823 | 3 | Avslag | | kvarts | 111 | 105 | SV | 1 | |
| 824 | 1 | Retusjert avslag | retusjert medioavslag | flint | 111 | 105 | SV | 1 | |
| 825 | 43 | Avslag | | flint | 111 | 105 | SØ | 1 | |
| 826 | 3 | Avslag | | kvarts | 111 | 105 | SØ | 1 | |
| 827 | 1 | Avslag | | bergart | 111 | 105 | SØ | 1 | |
| 828 | 1 | Kjerne | bipolar kjerne | flint | 111 | 105 | SØ | 1 | |
| 829 | 2 | Avslag | medioavslag | flint | 111 | 105 | SØ | 1 | |
| 830 | 45 | Avslag | | flint | 111 | 106 | NV | 1 | |
| 831 | 8 | Avslag | | kvarts | 111 | 106 | NV | 1 | |
| 832 | 1 | Diagnostisk avslag | avslag av slipt gjenstand | sandstein | 111 | 106 | NV | 1 | |
| 833 | 1 | Flekke | makroflekke | flint | 111 | 106 | NV | 1 | |
| 834 | 1 | Flekke | makroflekke | flint | 111 | 106 | NV | 1 | |
| 835 | 1 | Slipestein | pimpstein med bruksspor | pimpstein | 111 | 106 | NV | 1 | |
| 836 | 1 | Kjerne | bipolar kjerne | flint | 111 | 106 | NV | 1 | |
| 837 | 1 | Kjerne | ubestemt kjerne | kvarts | 111 | 106 | NV | 1 | |
| 838 | 1 | Retusjert avslag | retusjert medioavslag | flint | 111 | 106 | NV | 1 | |
| 839 | 2 | Avslag | medioavslag | flint | 111 | 106 | NV | 1 | |
| 840 | 2 | Kjernefragment | bipolart kjernefragment | flint | 111 | 106 | NV | 1 | |
| 841 | 57 | Avslag | | flint | 111 | 106 | NØ | 1 | |
| 842 | 3 | Avslag | | kvarts | 111 | 106 | NØ | 1 | |
| 843 | 1 | Avslag | | kvartsitt | 111 | 106 | NØ | 1 | |
| 844 | 1 | Skrapere | ubestemt skrapere | flint | 111 | 106 | NØ | 1 | |
| 845 | 1 | Flekke | medioflekke | flint | 111 | 106 | NØ | 1 | |
| 846 | 1 | Kjerne | bipolar kjerne | flint | 111 | 106 | NØ | 1 | |
| 847 | 1 | Kjerne | bipolar kjerne | flint | 111 | 106 | NØ | 1 | |
| 848 | 1 | Retusjert avslag | retusjert makroavslag | flint | 111 | 106 | NØ | 1 | |
| 849 | 1 | Retusjert avslag | retusjert medioavslag | flint | 111 | 106 | NØ | 1 | |
| 850 | 1 | Retusjert avslag | retusjert medioavslag | flint | 111 | 106 | NØ | 1 | |
| 851 | 1 | Retusjert avslag | retusjert medioavslag | flint | 111 | 106 | NØ | 1 | |
| 852 | 1 | Retusjert avslag | retusjert medioavslag | flint | 111 | 106 | NØ | 1 | |
| 853 | 1 | Retusjert avslag | retusjert mikroavslag | flint | 111 | 106 | NØ | 1 | |
| 854 | 3 | Kjernefragment | bipolart kjernefragment | flint | 111 | 106 | NØ | 1 | |
| 855 | 32 | Avslag | | flint | 111 | 106 | SV | 1 | |
| 856 | 7 | Avslag | | kvarts | 111 | 106 | SV | 1 | |
| 857 | 1 | Skrapere | endeskrapere | flint | 111 | 106 | SV | 1 | |
| 858 | 1 | Retusjert avslag | retusjert medioavslag | flint | 111 | 106 | SV | 1 | |
| 859 | 1 | Avslag | makroavslag | flint | 111 | 106 | SV | 1 | |
| 860 | 1 | Kjerne | bipolar kjerne | kvarts | 111 | 106 | SV | 1 | |
| 861 | 16 | Avslag | | flint | 111 | 106 | SØ | 1 | |
| 862 | 1 | Diagnostisk avslag | cortexflekke | flint | 111 | 106 | SØ | 1 | |

| Unr. | Antall | Gjenstand | Form | Materiale | X | Y | Kvadrant | Mek.Lag | Funnkontekst |
|-------------|---------------|--------------------|---------------------------|------------------|----------|----------|-----------------|----------------|---------------------|
| 863 | 1 | Retusjert avslag | retusjert medioavslag | flint | 111 | 106 | SØ | 1 | |
| 864 | 1 | Kjerne | bipolar kjerne | flint | 111 | 106 | SØ | 1 | |
| 865 | 1 | Kjernefragment | bipolart kjernefragment | flint | 111 | 106 | SØ | 1 | |
| 866 | 23 | Avslag | | flint | 111 | 107 | NV | 1 | |
| 867 | 2 | Avslag | | kvarts | 111 | 107 | NV | 1 | |
| 868 | 1 | Skraper | ubestemt skraper | flint | 111 | 107 | NV | 1 | |
| 869 | 1 | Retusjert avslag | retusjert mikroavslag | flint | 111 | 107 | NV | 1 | |
| 870 | 1 | Kjerne | bipolar kjerne | flint | 111 | 107 | NV | 1 | |
| 871 | 1 | Kjerne | bipolar kjerne | flint | 111 | 107 | NV | 1 | |
| 872 | 1 | Kjerne | bipolar kjerne | flint | 111 | 107 | NV | 1 | |
| 873 | 1 | Avslag | makroavslag | flint | 111 | 107 | NV | 1 | |
| 874 | 11 | Avslag | | flint | 111 | 107 | NØ | 1 | |
| 875 | 2 | Avslag | | kvarts | 111 | 107 | NØ | 1 | |
| 876 | 1 | Avslag | | flint | 111 | 107 | SV | 1 | |
| 877 | 19 | Avslag | | flint | 111 | 107 | SØ | 1 | |
| 878 | 1 | Avslag | | kvarts | 111 | 107 | SØ | 1 | |
| 879 | 63 | Avslag | | flint | 112 | 101 | NØ | 1 | |
| 880 | 1 | Retusjert avslag | retusjert medioavslag | flint | 112 | 101 | NØ | 1 | |
| 881 | 2 | Avslag | medioavslag | flint | 112 | 101 | NØ | 1 | |
| 882 | 8 | Avslag | | flint | 112 | 101 | SV | 1 | |
| 883 | 1 | Kjerne | bipolar kjerne | flint | 112 | 101 | SV | 1 | |
| 884 | 1 | Kjerne | bipolar kjerne | flint | 112 | 101 | SV | 1 | |
| 885 | 63 | Avslag | | flint | 112 | 101 | SØ | 1 | |
| 886 | 1 | Avslag | | kvarts | 112 | 101 | SØ | 1 | |
| 887 | 1 | Diagnostisk avslag | cortexflekke | flint | 112 | 101 | SØ | 1 | |
| 888 | 1 | Slipestein | pimpstein med bruksspor | pimpstein | 112 | 101 | SØ | 1 | |
| 889 | 1 | Retusjert avslag | retusjert medioavslag | flint | 112 | 101 | SØ | 1 | |
| 890 | 1 | Kjerne | bipolar kjerne | flint | 112 | 101 | SØ | 1 | |
| 891 | 92 | Avslag | | flint | 112 | 102 | NV | 1 | |
| 892 | 1 | Avslag | | kvartsitt | 112 | 102 | NV | 1 | |
| 893 | 1 | Diagnostisk avslag | avslag av slipt gjenstand | skifer | 112 | 102 | NV | 1 | |
| 894 | 1 | Kjerne | bipolar kjerne | flint | 112 | 102 | NV | 1 | |
| 895 | 1 | Retusjert avslag | retusjert medioavslag | flint | 112 | 102 | NV | 1 | |
| 896 | 1 | Avslag | medioavslag | flint | 112 | 102 | NV | 1 | |
| 897 | 4 | Kjernefragment | bipolart kjernefragment | flint | 112 | 102 | NV | 1 | |
| 898 | 118 | Avslag | | flint | 112 | 102 | SV | 1 | |
| 899 | 2 | Avslag | | skifer | 112 | 102 | SV | 1 | |
| 900 | 1 | Avslag | | sandstein | 112 | 102 | SV | 1 | |
| 901 | 1 | Meisel | firesidig bergartsmeisel | sandstein | 112 | 102 | SV | 1 | |
| 902 | 1 | Retusjert flekke | retusjert mikroflekke | flint | 112 | 102 | SV | 1 | |
| 903 | 1 | Flekke | medioflekke | flint | 112 | 102 | SV | 1 | |

| Unr. | Antall | Gjenstand | Form | Materiale | X | Y | Kvadrant | Mek.Lag | Funnkontekst |
|-------------|---------------|------------------|-------------------------|------------------|----------|----------|-----------------|----------------|---------------------|
| 904 | 1 | Flekke | medioflekke | flint | 112 | 102 | SV | 1 | |
| 905 | 1 | Slipestein | pimpstein med bruksspor | pimpstein | 112 | 102 | SV | 1 | |
| 906 | 1 | Slipestein | pimpstein med bruksspor | pimpstein | 112 | 102 | SV | 1 | |
| 907 | 1 | Slipestein | pimpstein med bruksspor | pimpstein | 112 | 102 | SV | 1 | |
| 908 | 1 | Kjerne | bipolar kjerne | flint | 112 | 102 | SV | 1 | |
| 909 | 1 | Kjerne | bipolar kjerne | flint | 112 | 102 | SV | 1 | |
| 910 | 1 | Kjerne | bipolar kjerne | flint | 112 | 102 | SV | 1 | |
| 911 | 1 | Kjerne | bipolar kjerne | flint | 112 | 102 | SV | 1 | |
| 912 | 1 | Retusjert avslag | retusjert medioavslag | flint | 112 | 102 | SV | 1 | |
| 913 | 1 | Retusjert avslag | retusjert medioavslag | flint | 112 | 102 | SV | 1 | |
| 914 | 1 | Retusjert avslag | retusjert mikroavslag | flint | 112 | 102 | SV | 1 | |
| 915 | 3 | Avslag | medioavslag | flint | 112 | 102 | SV | 1 | |
| 916 | 4 | Kjernefragment | bipolart kjernefragment | flint | 112 | 102 | SV | 1 | |
| 917 | 58 | Avslag | | flint | 112 | 102 | SØ | 1 | |
| 918 | 2 | Avslag | | sandstein | 112 | 102 | SØ | 1 | |
| 919 | 1 | Pilspiss | slipt pilspiss | skifer | 112 | 102 | SØ | 1 | |
| 920 | 1 | Slipestein | pimpstein med bruksspor | pimpstein | 112 | 102 | SØ | 1 | |
| 921 | 1 | Kjerne | bipolar kjerne | flint | 112 | 102 | SØ | 1 | |
| 922 | 1 | Retusjert avslag | retusjert medioavslag | flint | 112 | 102 | SØ | 1 | |
| 923 | 1 | Retusjert avslag | retusjert medioavslag | flint | 112 | 102 | SØ | 1 | |
| 924 | 2 | Avslag | medioavslag | flint | 112 | 102 | SØ | 1 | |
| 925 | 2 | Kjernefragment | bipolart kjernefragment | flint | 112 | 102 | SØ | 1 | |
| 926 | 100 | Avslag | | flint | 112 | 103 | NV | 1 | |
| 927 | 1 | Avslag | | kvarts | 112 | 103 | NV | 1 | |
| 928 | 1 | Slipestein | annen slipestein | sandstein | 112 | 103 | NV | 1 | |
| 929 | 1 | Flekke | medioflekke | flint | 112 | 103 | NV | 1 | |
| 930 | 1 | Flekke | mikroflekke | flint | 112 | 103 | NV | 1 | |
| 931 | 1 | Kjerne | bipolar kjerne | flint | 112 | 103 | NV | 1 | |
| 932 | 1 | Kjerne | bipolar kjerne | flint | 112 | 103 | NV | 1 | |
| 933 | 1 | Kjerne | bipolar kjerne | flint | 112 | 103 | NV | 1 | |
| 934 | 1 | Retusjert avslag | retusjert medioavslag | flint | 112 | 103 | NV | 1 | |
| 935 | 4 | Avslag | medioavslag | flint | 112 | 103 | NV | 1 | |
| 936 | 2 | Kjernefragment | bipolart kjernefragment | flint | 112 | 103 | NV | 1 | |
| 937 | 114 | Avslag | | flint | 112 | 103 | NØ | 1 | |
| 938 | 4 | Avslag | | kvarts | 112 | 103 | NØ | 1 | |
| 939 | 1 | Avslag | | skifer | 112 | 103 | NØ | 1 | |
| 940 | 1 | Kjerne | bipolar kjerne | flint | 112 | 103 | NØ | 1 | |
| 941 | 1 | Kjerne | bipolar kjerne | flint | 112 | 103 | NØ | 1 | |
| 942 | 1 | Kjerne | bipolar kjerne | flint | 112 | 103 | NØ | 1 | |
| 943 | 1 | Kjerne | bipolar kjerne | flint | 112 | 103 | NØ | 1 | |
| 944 | 1 | Kjerne | bipolar kjerne | flint | 112 | 103 | NØ | 1 | |

| Unr. | Antall | Gjenstand | Form | Materiale | X | Y | Kvadrant | Mek.Lag | Funnkontekst |
|------|--------|------------------|-------------------------|-----------|-----|-----|----------|---------|--------------|
| 945 | 1 | Kjerne | bipolar kjerne | flint | 112 | 103 | NØ | 1 | |
| 946 | 1 | Retusjert avslag | retusjert medioavslag | flint | 112 | 103 | NØ | 1 | |
| 947 | 5 | Kjernefragment | bipolart kjernefragment | flint | 112 | 103 | NØ | 1 | |
| 948 | 40 | Avslag | | flint | 112 | 103 | SV | 1 | |
| 949 | 1 | Avslag | | skifer | 112 | 103 | SV | 1 | |
| 950 | 1 | Kjerne | bipolar kjerne | flint | 112 | 103 | SV | 1 | |
| 951 | 1 | Kjerne | bipolar kjerne | flint | 112 | 103 | SV | 1 | |
| 952 | 2 | Kjernefragment | bipolart kjernefragment | flint | 112 | 103 | SV | 1 | |
| 953 | 100 | Avslag | | flint | 112 | 103 | SØ | 1 | |
| 954 | 6 | Avslag | | kvarts | 112 | 103 | SØ | 1 | |
| 955 | 1 | Avslag | | kvartsitt | 112 | 103 | SØ | 1 | |
| 956 | 1 | Avslag | | sandstein | 112 | 103 | SØ | 1 | |
| 957 | 1 | Fragment | slipt fragment | skifer | 112 | 103 | SØ | 1 | |
| 958 | 1 | Flekke | mikrflekke | flint | 112 | 103 | SØ | 1 | |
| 959 | 1 | Retusjert avslag | retusjert medioavslag | flint | 112 | 103 | SØ | 1 | |
| 960 | 1 | Retusjert avslag | retusjert medioavslag | flint | 112 | 103 | SØ | 1 | |
| 961 | 1 | Kjerne | bipolar kjerne | flint | 112 | 103 | SØ | 1 | |
| 962 | 1 | Kjerne | bipolar kjerne | flint | 112 | 103 | SØ | 1 | |
| 963 | 1 | Kjerne | bipolar kjerne | flint | 112 | 103 | SØ | 1 | |
| 964 | 1 | Kjerne | bipolar kjerne | flint | 112 | 103 | SØ | 1 | |
| 965 | 1 | Kjerne | bipolar kjerne | flint | 112 | 103 | SØ | 1 | |
| 966 | 1 | Kjerne | bipolar kjerne | flint | 112 | 103 | SØ | 1 | |
| 967 | 1 | Kjerne | bipolar kjerne | flint | 112 | 103 | SØ | 1 | |
| 968 | 1 | Kjerne | bipolar kjerne | flint | 112 | 103 | SØ | 1 | |
| 969 | 1 | Kjerne | ubestemt kjerne | flint | 112 | 103 | SØ | 1 | |
| 970 | 3 | Kjernefragment | bipolart kjernefragment | flint | 112 | 103 | SØ | 1 | |
| 971 | 85 | Avslag | | flint | 112 | 104 | NV | 1 | |
| 972 | 1 | Avslag | | skifer | 112 | 104 | NV | 1 | |
| 973 | 1 | Emne | spissenne | sandstein | 112 | 104 | NV | 1 | |
| 974 | 1 | Kjerne | bipolar kjerne | flint | 112 | 104 | NV | 1 | |
| 975 | 1 | Kjerne | bipolar kjerne | flint | 112 | 104 | NV | 1 | |
| 976 | 1 | Retusjert avslag | retusjert medioavslag | flint | 112 | 104 | NV | 1 | |
| 977 | 1 | Retusjert avslag | retusjert medioavslag | flint | 112 | 104 | NV | 1 | |
| 978 | 1 | Retusjert avslag | retusjert medioavslag | flint | 112 | 104 | NV | 1 | |
| 979 | 1 | Kjernefragment | bipolart kjernefragment | flint | 112 | 104 | NV | 1 | |
| 980 | 45 | Avslag | | flint | 112 | 104 | NØ | 1 | |
| 981 | 1 | Slipestein | pimpstein med bruksspor | pimpstein | 112 | 104 | NØ | 1 | |
| 982 | 1 | Retusjert avslag | retusjert medioavslag | flint | 112 | 104 | NØ | 1 | |
| 983 | 78 | Avslag | | flint | 112 | 104 | SV | 1 | |
| 984 | 1 | Avslag | | kvartsitt | 112 | 104 | SV | 1 | |
| 985 | 1 | Avslag | | skifer | 112 | 104 | SV | 1 | |

| Unr. | Antall | Gjenstand | Form | Materiale | X | Y | Kvadrant | Mek.Lag | Funnkontekst |
|------|--------|------------------|-------------------------|-----------|-----|-----|----------|---------|--------------|
| 986 | 1 | Kjerne | bipolar kjerne | flint | 112 | 104 | SV | 1 | |
| 987 | 1 | Retusjert avslag | retusjert medioavslag | flint | 112 | 104 | SV | 1 | |
| 988 | 1 | Retusjert avslag | retusjert medioavslag | flint | 112 | 104 | SV | 1 | |
| 989 | 1 | Retusjert avslag | retusjert medioavslag | flint | 112 | 104 | SV | 1 | |
| 990 | 1 | Emne | ubestemt emne | skifer | 112 | 104 | SV | 1 | |
| 991 | 1 | Avslag | medioavslag | flint | 112 | 104 | SV | 1 | |
| 992 | 1 | Kjernefragment | bipolart kjernefragment | flint | 112 | 104 | SV | 1 | |
| 993 | 47 | Avslag | | flint | 112 | 104 | SØ | 1 | |
| 994 | 1 | Avslag | | kvarts | 112 | 104 | SØ | 1 | |
| 995 | 1 | Avslag | medioavslag | flint | 112 | 104 | SØ | 1 | |
| 996 | 1 | Kjernefragment | bipolart kjernefragment | flint | 112 | 104 | SØ | 1 | |
| 997 | 85 | Avslag | | flint | 112 | 105 | NV | 1 | |
| 998 | 3 | Avslag | | kvarts | 112 | 105 | NV | 1 | |
| 999 | 1 | Kjerne | bipolar kjerne | flint | 112 | 105 | NV | 1 | |
| 1000 | 1 | Kjerne | bipolar kjerne | flint | 112 | 105 | NV | 1 | |
| 1001 | 1 | Kjerne | bipolar kjerne | flint | 112 | 105 | NV | 1 | |
| 1002 | 1 | Slipestein | pimpstein med bruksspor | pimpstein | 112 | 105 | NV | 1 | |
| 1003 | 82 | Avslag | | flint | 112 | 105 | NØ | 1 | |
| 1004 | 2 | Avslag | | kvarts | 112 | 105 | NØ | 1 | |
| 1005 | 1 | Kjerne | bipolar kjerne | flint | 112 | 105 | NØ | 1 | |
| 1006 | 1 | Avslag | medioavslag | flint | 112 | 105 | NØ | 1 | |
| 1007 | 70 | Avslag | | flint | 112 | 105 | SV | 1 | |
| 1008 | 1 | Kjernefragment | ubestemt kjernefragment | flint | 112 | 105 | SV | 1 | |
| 1009 | 1 | Kjernefragment | bipolart kjernefragment | flint | 112 | 105 | SV | 1 | |
| 1010 | 97 | Avslag | | flint | 112 | 105 | SØ | 1 | |
| 1011 | 2 | Avslag | | kvarts | 112 | 105 | SØ | 1 | |
| 1012 | 1 | Kjerne | bipolar kjerne | flint | 112 | 105 | SØ | 1 | |
| 1013 | 1 | Kjerne | bipolar kjerne | flint | 112 | 105 | SØ | 1 | |
| 1014 | 1 | Retusjert avslag | retusjert medioavslag | flint | 112 | 105 | SØ | 1 | |
| 1015 | 1 | Retusjert avslag | retusjert medioavslag | flint | 112 | 105 | SØ | 1 | |
| 1016 | 1 | Kjernefragment | bipolart kjernefragment | flint | 112 | 105 | SØ | 1 | |
| 1017 | 84 | Avslag | | flint | 112 | 106 | NV | 1 | |
| 1018 | 1 | Avslag | | kvarts | 112 | 106 | NV | 1 | |
| 1019 | 1 | Kjerne | bipolar kjerne | flint | 112 | 106 | NV | 1 | |
| 1020 | 1 | Retusjert avslag | retusjert medioavslag | flint | 112 | 106 | NV | 1 | |
| 1021 | 1 | Kjernefragment | bipolart kjernefragment | flint | 112 | 106 | NV | 1 | |
| 1022 | 64 | Avslag | | flint | 112 | 106 | NØ | 1 | |
| 1023 | 1 | Avslag | | kvartsitt | 112 | 106 | NØ | 1 | |
| 1024 | 1 | Kjerne | bipolar kjerne | flint | 112 | 106 | NØ | 1 | |
| 1025 | 1 | Kjerne | bipolar kjerne | flint | 112 | 106 | NØ | 1 | |
| 1026 | 1 | Kjernefragment | bipolart kjernefragment | flint | 112 | 106 | NØ | 1 | |

| Unr. | Antall | Gjenstand | Form | Materiale | X | Y | Kvadrant | Mek.Lag | Funnkontekst |
|-------------|---------------|------------------|-------------------------|------------------|----------|----------|-----------------|----------------|---------------------|
| 1027 | 1 | Kjernefragment | bipolart kjernefragment | flint | 112 | 106 | NØ | 1 | |
| 1028 | 1 | Kjernefragment | bipolart kjernefragment | bergkrystall | 112 | 106 | NØ | 1 | |
| 1029 | 1 | Slipestein | pimpstein med bruksspor | pimpstein | 112 | 106 | NØ | 1 | |
| 1030 | 73 | Avslag | | flint | 112 | 106 | SV | 1 | |
| 1031 | 1 | Avslag | | kvarts | 112 | 106 | SV | 1 | |
| 1032 | 1 | Kniv | avslagskniv | flint | 112 | 106 | SV | 1 | |
| 1033 | 1 | Kjerne | bipolar kjerne | flint | 112 | 106 | SV | 1 | |
| 1034 | 1 | Kjerne | bipolar kjerne | flint | 112 | 106 | SV | 1 | |
| 1035 | 1 | Kjerne | bipolar kjerne | flint | 112 | 106 | SV | 1 | |
| 1036 | 1 | Kernefragment | ubestemt kernefragment | flint | 112 | 106 | SV | 1 | |
| 1037 | 1 | Retusjert avslag | retusjert medioavslag | flint | 112 | 106 | SV | 1 | |
| 1038 | 1 | Retusjert avslag | retusjert medioavslag | flint | 112 | 106 | SV | 1 | |
| 1039 | 1 | Retusjert avslag | retusjert medioavslag | flint | 112 | 106 | SV | 1 | |
| 1040 | 1 | Kernefragment | bipolart kernefragment | flint | 112 | 106 | SV | 1 | |
| 1041 | 1 | Kjerne | ubestemt kjerne | kvarts | 112 | 106 | SV | 1 | |
| 1042 | 93 | Avslag | | flint | 112 | 106 | SØ | 1 | |
| 1043 | 1 | Avslag | | kvarts | 112 | 106 | SØ | 1 | |
| 1044 | 1 | Avslag | | sandstein | 112 | 106 | SØ | 1 | |
| 1045 | 1 | Kjerne | bipolar kjerne | flint | 112 | 106 | SØ | 1 | |
| 1046 | 1 | Avslag | medioavslag | flint | 112 | 106 | SØ | 1 | |
| 1047 | 2 | Kernefragment | bipolart kernefragment | flint | 112 | 106 | SØ | 1 | |
| 1048 | 18 | Avslag | | flint | 112 | 107 | NV | 1 | |
| 1049 | 86 | Avslag | | flint | 112 | 107 | SV | 1 | |
| 1050 | 1 | Avslag | | bergkrystall | 112 | 107 | SV | 1 | |
| 1051 | 1 | Kjerne | bipolar kjerne | flint | 112 | 107 | SV | 1 | |
| 1052 | 1 | Kjerne | bipolar kjerne | flint | 112 | 107 | SV | 1 | |
| 1053 | 1 | Retusjert avslag | retusjert medioavslag | flint | 112 | 107 | SV | 1 | |
| 1054 | 1 | Kernefragment | bipolart kernefragment | flint | 112 | 107 | SV | 1 | |
| 1055 | 35 | Avslag | | flint | 112 | 107 | SØ | 1 | |
| 1056 | 1 | Avslag | | kvarts | 112 | 107 | SØ | 1 | |
| 1057 | 1 | Skrapere | ubestemt skrapere | flint | 112 | 107 | SØ | 1 | |
| 1058 | 1 | Retusjert avslag | retusjert medioavslag | flint | 112 | 107 | SØ | 1 | |
| 1059 | 1 | Kjerne | bipolar kjerne | flint | 112 | 107 | SØ | 1 | |
| 1060 | 1 | Kjerne | bipolar kjerne | flint | 112 | 107 | SØ | 1 | |
| 1061 | 1 | Slipestein | pimpstein med bruksspor | pimpstein | 112 | 107 | SØ | 1 | |
| 1062 | 11 | Avslag | | flint | 113 | 101 | NV | 1 | |
| 1063 | 14 | Avslag | | flint | 113 | 101 | NØ | 1 | |
| 1064 | 1 | Kjerne | bipolar kjerne | flint | 113 | 101 | NØ | 1 | |
| 1065 | 2 | Avslag | medioavslag | flint | 113 | 101 | NØ | 1 | |
| 1066 | 23 | Avslag | | flint | 113 | 101 | SV | 1 | |
| 1067 | 1 | Pilspiss | slipt pilspiss | skifer | 113 | 101 | SV | 1 | |

| Unr. | Antall | Gjenstand | Form | Materiale | X | Y | Kvadrant | Mek.Lag | Funnkontekst |
|-------------|---------------|------------------|-------------------------|------------------|----------|----------|-----------------|----------------|---------------------|
| 1068 | 1 | Avslag | medioavslag | flint | 113 | 101 | SV | 1 | |
| 1069 | 27 | Avslag | | flint | 113 | 101 | SØ | 1 | |
| 1070 | 1 | Retusjert avslag | retusjert medioavslag | flint | 113 | 101 | SØ | 1 | |
| 1071 | 6 | Avslag | | flint | 113 | 102 | NV | 1 | |
| 1072 | 37 | Avslag | | flint | 113 | 102 | NØ | 1 | |
| 1073 | 1 | Kjerne | bipolar kjerne | flint | 113 | 102 | NØ | 1 | |
| 1074 | 1 | Avslag | medioavslag | flint | 113 | 102 | NØ | 1 | |
| 1075 | 14 | Avslag | | flint | 113 | 102 | SV | 1 | |
| 1076 | 1 | Avslag | | kvarts | 113 | 102 | SV | 1 | |
| 1077 | 27 | Avslag | | flint | 113 | 102 | SØ | 1 | |
| 1078 | 1 | Retusjert avslag | retusjert medioavslag | flint | 113 | 102 | SØ | 1 | |
| 1079 | 1 | Kjernefragment | bipolart kjernefragment | flint | 113 | 102 | SØ | 1 | |
| 1080 | 34 | Avslag | | flint | 113 | 103 | NV | 1 | |
| 1081 | 1 | Avslag | | kvarts | 113 | 103 | NV | 1 | |
| 1082 | 1 | Kjerne | bipolar kjerne | flint | 113 | 103 | NV | 1 | |
| 1083 | 1 | Kjerne | bipolar kjerne | flint | 113 | 103 | NV | 1 | |
| 1084 | 1 | Avslag | medioavslag | flint | 113 | 103 | NV | 1 | |
| 1085 | 59 | Avslag | | flint | 113 | 103 | NØ | 1 | |
| 1086 | 1 | Avslag | | kvarts | 113 | 103 | NØ | 1 | |
| 1087 | 1 | Pilspiss | slipt pilspiss | skifer | 113 | 103 | NØ | 1 | |
| 1088 | 1 | Kjerne | bipolar kjerne | flint | 113 | 103 | NØ | 1 | |
| 1089 | 1 | Avslag | medioavslag | flint | 113 | 103 | NØ | 1 | |
| 1090 | 27 | Avslag | | flint | 113 | 103 | SV | 1 | |
| 1091 | 1 | Pilspiss | slipt pilspiss | skifer | 113 | 103 | SV | 1 | |
| 1092 | 1 | Retusjert avslag | retusjert medioavslag | flint | 113 | 103 | SV | 1 | |
| 1093 | 1 | Avslag | medioavslag | flint | 113 | 103 | SV | 1 | |
| 1094 | 37 | Avslag | | flint | 113 | 103 | SØ | 1 | |
| 1095 | 1 | Avslag | | kvarts | 113 | 103 | SØ | 1 | |
| 1096 | 1 | Avslag | medioavslag | flint | 113 | 103 | SØ | 1 | |
| 1097 | 46 | Avslag | | flint | 113 | 104 | NV | 1 | |
| 1098 | 1 | Flekke | mikroflekke | flint | 113 | 104 | NV | 1 | |
| 1099 | 19 | Avslag | | flint | 113 | 104 | NØ | 1 | |
| 1100 | 62 | Avslag | | flint | 113 | 104 | SV | 1 | |
| 1101 | 1 | Retusjert avslag | retusjert medioavslag | flint | 113 | 104 | SV | 1 | |
| 1102 | 38 | Avslag | | flint | 113 | 104 | SØ | 1 | |
| 1103 | 1 | Pilspiss | slipt pilspiss | skifer | 113 | 104 | SØ | 1 | |
| 1104 | 1 | Avslag | medioavslag | flint | 113 | 104 | SØ | 1 | |
| 1105 | 1 | Kjernefragment | bipolart kjernefragment | flint | 113 | 104 | SØ | 1 | |
| 1106 | 42 | Avslag | | flint | 113 | 105 | NV | 1 | |
| 1107 | 1 | Pilspiss | slipt pilspiss | skifer | 113 | 105 | NV | 1 | |
| 1108 | 1 | Retusjert avslag | retusjert medioavslag | flint | 113 | 105 | NV | 1 | |
| 1109 | 1 | Kjerne | bipolar kjerne | flint | 113 | 105 | NV | 1 | |

| Unr. | Antall | Gjenstand | Form | Materiale | X | Y | Kvadrant | Mek.Lag | Funnkontekst |
|-------------|---------------|--------------------|-------------------------|------------------|----------|----------|-----------------|----------------|---------------------|
| 1110 | 1 | Avslag | medioavslag | flint | 113 | 105 | NV | 1 | |
| 1111 | 1 | Avslag | medioavslag | flint | 113 | 105 | NV | 1 | |
| 1112 | 24 | Avslag | | flint | 113 | 105 | NØ | 1 | |
| 1113 | 1 | Kjerne | bipolar kjerne | flint | 113 | 105 | NØ | 1 | |
| 1114 | 1 | Avslag | mikroavslag | flint | 113 | 105 | NØ | 1 | |
| 1115 | 52 | Avslag | | flint | 113 | 105 | SV | 1 | |
| 1116 | 1 | Kjerne | bipolar kjerne | flint | 113 | 105 | SV | 1 | |
| 1117 | 1 | Retusjert avslag | retusjert medioavslag | flint | 113 | 105 | SV | 1 | |
| 1118 | 1 | Retusjert avslag | retusjert medioavslag | flint | 113 | 105 | SV | 1 | |
| 1119 | 1 | Retusjert avslag | retusjert medioavslag | flint | 113 | 105 | SV | 1 | |
| 1120 | 1 | Avslag | medioavslag | flint | 113 | 105 | SV | 1 | |
| 1121 | 1 | Kjernefragment | bipolart kjernefragment | flint | 113 | 105 | SV | 1 | |
| 1122 | 1 | Kjernefragment | bipolart kjernefragment | flint | 113 | 105 | SV | 1 | |
| 1123 | 48 | Avslag | | flint | 113 | 105 | SØ | 1 | |
| 1124 | 1 | Avslag | | bergkrystall | 113 | 105 | SØ | 1 | |
| 1125 | 1 | Avslag | | kvartsitt | 113 | 105 | SØ | 1 | |
| 1126 | 1 | Pilspiss | slipt pilspiss | skifer | 113 | 105 | SØ | 1 | |
| 1127 | 1 | Retusjert avslag | retusjert medioavslag | flint | 113 | 105 | SØ | 1 | |
| 1128 | 2 | Avslag | medioavslag | flint | 113 | 105 | SØ | 1 | |
| 1129 | 1 | Kjernefragment | bipolart kjernefragment | flint | 113 | 105 | SØ | 1 | |
| 1130 | 47 | Avslag | | flint | 113 | 106 | NV | 1 | |
| 1131 | 1 | Avslag | | kvarts | 113 | 106 | NV | 1 | |
| 1132 | 1 | Diagnostisk avslag | hengselflekke | flint | 113 | 106 | NV | 1 | |
| 1133 | 1 | Kjerne | bipolar kjerne | flint | 113 | 106 | NV | 1 | |
| 1134 | 1 | Retusjert avslag | retusjert medioavslag | flint | 113 | 106 | NV | 1 | |
| 1135 | 3 | Avslag | medioavslag | flint | 113 | 106 | NV | 1 | |
| 1136 | 1 | Kjernefragment | bipolart kjernefragment | flint | 113 | 106 | NV | 1 | |
| 1137 | 46 | Avslag | | flint | 113 | 106 | NØ | 1 | |
| 1138 | 2 | Avslag | | kvarts | 113 | 106 | NØ | 1 | |
| 1139 | 1 | Avslag | medioavslag | kvartsitt | 113 | 106 | NØ | 1 | |
| 1140 | 3 | Kjernefragment | bipolart kjernefragment | flint | 113 | 106 | NØ | 1 | |
| 1141 | 71 | Avslag | | flint | 113 | 106 | SV | 1 | |
| 1142 | 4 | Avslag | | kvarts | 113 | 106 | SV | 1 | |
| 1143 | 1 | Avslag | | kvartsitt | 113 | 106 | SV | 1 | |
| 1144 | 1 | Flekke | mikrflekke | flint | 113 | 106 | SV | 1 | |
| 1145 | 1 | Retusjert avslag | retusjert makroavslag | flint | 113 | 106 | SV | 1 | |
| 1146 | 4 | Kjernefragment | bipolart kjernefragment | flint | 113 | 106 | SV | 1 | |
| 1147 | 36 | Avslag | | flint | 113 | 106 | SØ | 1 | |
| 1148 | 1 | Avslag | | bergkrystall | 113 | 106 | SØ | 1 | |
| 1149 | 3 | Avslag | | kvarts | 113 | 106 | SØ | 1 | |
| 1150 | 1 | Pilspiss | slipt pilspiss | skifer | 113 | 106 | SØ | 1 | |

| Unr. | Antall | Gjenstand | Form | Materiale | X | Y | Kvadrant | Mek.Lag | Funnkontekst |
|-------------|---------------|------------------|-------------------------|------------------|----------|----------|-----------------|----------------|---------------------|
| 1151 | 1 | Fragment | slipt fragment | skifer | 113 | 106 | SØ | 1 | |
| 1152 | 1 | Kjernefragment | bipolart kjernefragment | flint | 113 | 106 | SØ | 1 | |
| 1153 | 1 | Slipestein | pimpstein med bruksspor | pimpstein | 113 | 106 | SØ | 1 | |
| 1154 | 1 | Slipestein | pimpstein med bruksspor | pimpstein | 113 | 106 | SØ | 1 | |
| 1155 | 1 | Slipestein | pimpstein med bruksspor | pimpstein | 113 | 106 | SØ | 1 | |
| 1156 | 17 | Avslag | | flint | 113 | 107 | NV | 1 | |
| 1157 | 17 | Avslag | | flint | 113 | 107 | NØ | 1 | |
| 1158 | 1 | Flekke | medioflekke | flint | 113 | 107 | NØ | 1 | |
| 1159 | 31 | Avslag | | flint | 113 | 107 | SV | 1 | |
| 1160 | 1 | Kernefragment | bipolart kernefragment | flint | 113 | 107 | SV | 1 | |
| 1161 | 20 | Avslag | | flint | 113 | 107 | SØ | 1 | |
| 1162 | 1 | Avslag | | skifer | 113 | 107 | SØ | 1 | |
| 1163 | 1 | Kerne | bipolar kerne | flint | 113 | 107 | SØ | 1 | |
| 1164 | 6 | Avslag | | flint | 114 | 101 | NV | 1 | |
| 1165 | 1 | Flekke | mikroflekke | flint | 114 | 101 | NV | 1 | |
| 1166 | 2 | Kernefragment | bipolart kernefragment | flint | 114 | 101 | NV | 1 | |
| 1167 | 8 | Avslag | | flint | 114 | 101 | NØ | 1 | |
| 1168 | 1 | Kniv | platekniv | sandstein | 114 | 101 | NØ | 1 | |
| 1169 | 1 | Kernefragment | bipolart kernefragment | flint | 114 | 101 | NØ | 1 | |
| 1170 | 1 | Kernefragment | bipolart kernefragment | flint | 114 | 101 | NØ | 1 | |
| 1171 | 17 | Avslag | | flint | 114 | 101 | SV | 1 | |
| 1172 | 1 | Avslag | | kvartsitt | 114 | 101 | SV | 1 | |
| 1173 | 1 | Øks | firesidig bergartsøks | diabas | 114 | 101 | SV | 1 | |
| 1174 | 12 | Avslag | | flint | 114 | 101 | SØ | 1 | |
| 1175 | 64 | Avslag | | flint | 114 | 102 | NV | 1 | |
| 1176 | 1 | Retusjert avslag | retusjert medioavslag | flint | 114 | 102 | NV | 1 | |
| 1177 | 1 | Retusjert avslag | retusjert medioavslag | flint | 114 | 102 | NV | 1 | |
| 1178 | 1 | Kerne | bipolar kerne | flint | 114 | 102 | NV | 1 | |
| 1179 | 44 | Avslag | | flint | 114 | 102 | NØ | 1 | |
| 1180 | 3 | Kernefragment | bipolart kernefragment | flint | 114 | 102 | NØ | 1 | |
| 1181 | 32 | Avslag | | flint | 114 | 102 | SV | 1 | |
| 1182 | 1 | Flekke | mikroflekke | flint | 114 | 102 | SV | 1 | |
| 1183 | 1 | Avslag | medioavslag | flint | 114 | 102 | SV | 1 | |
| 1184 | 2 | Kernefragment | bipolart kernefragment | flint | 114 | 102 | SV | 1 | |
| 1185 | 47 | Avslag | | flint | 114 | 102 | SØ | 1 | Prøvekvadrant |
| 1186 | 1 | Avslag | | kvartsitt | 114 | 102 | SØ | 1 | Prøvekvadrant |
| 1187 | 1 | Kerne | bipolar kerne | flint | 114 | 102 | SØ | 1 | Prøvekvadrant |
| 1188 | 2 | Kernefragment | bipolart kernefragment | flint | 114 | 102 | SØ | 1 | Prøvekvadrant |
| 1189 | 62 | Avslag | | flint | 114 | 103 | NV | 1 | |
| 1190 | 4 | Kernefragment | bipolart kernefragment | flint | 114 | 103 | NV | 1 | |
| 1191 | 28 | Avslag | | flint | 114 | 103 | NØ | 1 | |

| Unr. | Antall | Gjenstand | Form | Materiale | X | Y | Kvadrant | Mek.Lag | Funnkontekst |
|------|--------|--------------------|---------------------------|--------------|-----|-----|----------|---------|--------------|
| 1192 | 57 | Avslag | | flint | 114 | 103 | SV | 1 | |
| 1193 | 1 | Avslag | | bergkrystall | 114 | 103 | SV | 1 | |
| 1194 | 1 | Diagnostisk avslag | avslag av slipt gjenstand | sandstein | 114 | 103 | SV | 1 | |
| 1195 | 1 | Retusjert avslag | retusjert medioavslag | flint | 114 | 103 | SV | 1 | |
| 1196 | 1 | Kjerne | bipolar kjerne | flint | 114 | 103 | SV | 1 | |
| 1197 | 1 | Avslag | medioavslag | flint | 114 | 103 | SV | 1 | |
| 1198 | 2 | Kjernefragment | bipolart kjernefragment | flint | 114 | 103 | SV | 1 | |
| 1199 | 56 | Avslag | | flint | 114 | 103 | SØ | 1 | |
| 1200 | 1 | Pilspiss | slipt pilspiss | skifer | 114 | 103 | SØ | 1 | |
| 1201 | 1 | Pilspiss | slipt pilspiss | skifer | 114 | 103 | SØ | 1 | |
| 1202 | 1 | Diagnostisk avslag | avslag av slipt gjenstand | sandstein | 114 | 103 | SØ | 1 | |
| 1203 | 1 | Retusjert avslag | retusjert medioavslag | flint | 114 | 103 | SØ | 1 | |
| 1204 | 1 | Retusjert avslag | retusjert medioavslag | flint | 114 | 103 | SØ | 1 | |
| 1205 | 1 | Kjerne | bipolar kjerne | flint | 114 | 103 | SØ | 1 | |
| 1206 | 1 | Avslag | medioavslag | flint | 114 | 103 | SØ | 1 | |
| 1207 | 46 | Avslag | | flint | 114 | 104 | NV | 1 | |
| 1208 | 1 | Avslag | | kvarts | 114 | 104 | NV | 1 | |
| 1209 | 1 | Kjerne | bipolar kjerne | flint | 114 | 104 | NV | 1 | |
| 1210 | 1 | Knoll | | flint | 114 | 104 | NV | 1 | |
| 1211 | 29 | Avslag | | flint | 114 | 104 | NØ | 1 | |
| 1212 | 1 | Flekke | medioflekke | flint | 114 | 104 | NØ | 1 | |
| 1213 | 1 | Avslag | medioavslag | flint | 114 | 104 | NØ | 1 | |
| 1214 | 1 | Kjernefragment | bipolart kjernefragment | flint | 114 | 104 | NØ | 1 | |
| 1215 | 1 | Knakkestein | | bergart | 114 | 104 | NØ | 1 | |
| 1216 | 35 | Avslag | | flint | 114 | 104 | SV | 1 | |
| 1217 | 1 | Retusjert avslag | retusjert medioavslag | flint | 114 | 104 | SV | 1 | |
| 1218 | 1 | Kjerne | bipolar kjerne | flint | 114 | 104 | SV | 1 | |
| 1219 | 1 | Kjerne | bipolar kjerne | flint | 114 | 104 | SV | 1 | |
| 1220 | 3 | Kjernefragment | bipolart kjernefragment | flint | 114 | 104 | SV | 1 | |
| 1221 | 32 | Avslag | | flint | 114 | 104 | SØ | 1 | |
| 1222 | 1 | Retusjert avslag | retusjert medioavslag | flint | 114 | 104 | SØ | 1 | |
| 1223 | 2 | Kjernefragment | bipolart kjernefragment | flint | 114 | 104 | SØ | 1 | |
| 1224 | 43 | Avslag | | flint | 114 | 105 | SV | 1 | |
| 1225 | 1 | Avslag | | sandstein | 114 | 105 | SV | 1 | |
| 1226 | 1 | Kjerne | bipolar kjerne | flint | 114 | 105 | SV | 1 | |
| 1227 | 1 | Kjerne | bipolar kjerne | flint | 114 | 105 | SV | 1 | |
| 1228 | 1 | Retusjert avslag | retusjert medioavslag | flint | 114 | 105 | SV | 1 | |
| 1229 | 1 | Kjernefragment | bipolart kjernefragment | kvarts | 114 | 105 | SV | 1 | |
| 1230 | 1 | Knakkestein | | bergart | 114 | 105 | SV | 1 | |
| 1231 | 18 | Avslag | | flint | 114 | 105 | SØ | 1 | |
| 1232 | 1 | Kjerne | ubestemt kjerne | flint | 114 | 105 | SØ | 1 | |

| Unr. | Antall | Gjenstand | Form | Materiale | X | Y | Kvadrant | Mek.Lag | Funnkontekst |
|-------------|---------------|------------------|-------------------------|------------------|----------|----------|-----------------|----------------|---------------------|
| 1233 | 1 | Kjerne | bipolar kjerne | flint | 114 | 105 | SØ | 1 | |
| 1234 | 55 | Avslag | | flint | 114 | 106 | SV | 1 | |
| 1235 | 1 | Kjerne | bipolar kjerne | flint | 114 | 106 | SV | 1 | |
| 1236 | 1 | Kjerne | bipolar kjerne | flint | 114 | 106 | SV | 1 | |
| 1237 | 1 | Kjerne | bipolar kjerne | flint | 114 | 106 | SV | 1 | |
| 1238 | 1 | Retusjert avslag | retusjert medioavslag | flint | 114 | 106 | SV | 1 | |
| 1239 | 1 | Kjernefragment | bipolart kjernefragment | flint | 114 | 106 | SV | 1 | |
| 1240 | 55 | Avslag | | flint | 114 | 106 | SØ | 1 | Prøvekvadrant |
| 1241 | 1 | Avslag | | bergkrystall | 114 | 106 | SØ | 1 | Prøvekvadrant |
| 1242 | 2 | Avslag | | kvarts | 114 | 106 | SØ | 1 | Prøvekvadrant |
| 1243 | 1 | Retusjert avslag | retusjert medioavslag | flint | 114 | 106 | SØ | 1 | Prøvekvadrant |
| 1244 | 1 | Avslag | medioavslag | flint | 114 | 106 | SØ | 1 | Prøvekvadrant |
| 1245 | 3 | Kjernefragment | bipolart kjernefragment | flint | 114 | 106 | SØ | 1 | Prøvekvadrant |
| 1246 | 13 | Avslag | | flint | 114 | 120 | NV | 1 | |
| 1247 | 1 | Pilspiss | slipt pilspiss | skifer | 114 | 120 | NV | 1 | |
| 1248 | 1 | Retusjert avslag | retusjert medioavslag | flint | 114 | 120 | NV | 1 | |
| 1249 | 1 | Avslag | mikroavslag | flint | 114 | 120 | NV | 1 | |
| 1250 | 7 | Avslag | | flint | 114 | 120 | NØ | 1 | |
| 1251 | 5 | Avslag | | flint | 114 | 120 | SV | 1 | |
| 1252 | 1 | Avslag | | bergkrystall | 114 | 120 | SV | 1 | |
| 1253 | 19 | Avslag | | flint | 114 | 121 | NV | 1 | |
| 1254 | 6 | Avslag | | flint | 114 | 121 | NØ | 1 | |
| 1255 | 1 | Avslag | | bergkrystall | 114 | 121 | NØ | 1 | |
| 1256 | 1 | Kjerne | bipolar kjerne | flint | 114 | 121 | NØ | 1 | |
| 1257 | 10 | Avslag | | flint | 114 | 121 | SV | 1 | |
| 1258 | 1 | Avslag | | sandstein | 114 | 121 | SV | 1 | |
| 1259 | 1 | Retusjert avslag | retusjert medioavslag | flint | 114 | 121 | SV | 1 | |
| 1260 | 3 | Avslag | | flint | 114 | 121 | SØ | 1 | |
| 1261 | 4 | Avslag | | flint | 114 | 122 | NV | 1 | |
| 1262 | 1 | Avslag | medioavslag | flint | 114 | 122 | NV | 1 | |
| 1263 | 3 | Avslag | | flint | 114 | 122 | NØ | 1 | |
| 1264 | 3 | Avslag | | flint | 114 | 122 | SV | 1 | |
| 1265 | 7 | Avslag | | flint | 114 | 122 | SØ | 1 | |
| 1266 | 12 | Avslag | | flint | 114 | 123 | NV | 1 | |
| 1267 | 1 | Retusjert avslag | retusjert medioavslag | flint | 114 | 123 | NV | 1 | |
| 1268 | 1 | Avslag | medioavslag | flint | 114 | 123 | NØ | 1 | |
| 1269 | 15 | Avslag | | flint | 115 | 101 | NV | 1 | |
| 1270 | 1 | Avslag | | bergkrystall | 115 | 101 | NV | 1 | |
| 1271 | 1 | Avslag | | kvartsitt | 115 | 101 | NV | 1 | |
| 1272 | 1 | Kjernefragment | bipolart kjernefragment | flint | 115 | 101 | NV | 1 | |
| 1273 | 50 | Avslag | | flint | 115 | 101 | NØ | 1 | |
| 1274 | 2 | Avslag | | kvarts | 115 | 101 | NØ | 1 | |

| Unr. | Antall | Gjenstand | Form | Materiale | X | Y | Kvadrant | Mek.Lag | Funnkontekst |
|-------------|---------------|------------------|----------------------------|------------------|----------|----------|-----------------|----------------|---------------------|
| 1275 | 1 | Kjerne | ubestemt kjerne | flint | 115 | 101 | NØ | 1 | |
| 1276 | 1 | Avslag | medioavslag | flint | 115 | 101 | NØ | 1 | |
| 1277 | 1 | Kjernefragment | bipolart kjernefragment | flint | 115 | 101 | NØ | 1 | |
| 1278 | 6 | Avslag | | flint | 115 | 101 | SØ | 1 | |
| 1279 | 1 | Retusjert avslag | retusjert medioavslag | flint | 115 | 101 | SØ | 1 | |
| 1280 | 53 | Avslag | | flint | 115 | 102 | NV | 1 | |
| 1281 | 1 | Flekke | mikroflekke | flint | 115 | 102 | NV | 1 | |
| 1282 | 1 | Flekke | mikroflekke | flint | 115 | 102 | NV | 1 | |
| 1283 | 1 | Avslag | medioavslag | flint | 115 | 102 | NV | 1 | |
| 1284 | 2 | Kjernefragment | bipolart kjernefragment | flint | 115 | 102 | NV | 1 | |
| 1285 | 16 | Avslag | | flint | 115 | 102 | NØ | 1 | |
| 1286 | 1 | Avslag | | kvartsitt | 115 | 102 | NØ | 1 | |
| 1287 | 1 | Skrapere | ubestemt skrapere | flint | 115 | 102 | NØ | 1 | |
| 1288 | 1 | Emne | emne med knekkfure | skifer | 115 | 102 | NØ | 1 | |
| 1289 | 1 | Kjernefragment | bipolart kjernefragment | flint | 115 | 102 | NØ | 1 | |
| 1290 | 10 | Avslag | | flint | 115 | 102 | SV | 1 | |
| 1291 | 1 | Avslag | | sandstein | 115 | 102 | SV | 1 | |
| 1292 | 1 | Kjerne | bipolar kjerne | flint | 115 | 102 | SV | 1 | |
| 1293 | 6 | Avslag | | flint | 115 | 102 | SØ | 1 | |
| 1294 | 1 | Avslag | medioavslag | flint | 115 | 102 | SØ | 1 | |
| 1295 | 17 | Avslag | | flint | 115 | 103 | SV | 1 | |
| 1296 | 1 | Avslag | medioavslag | flint | 115 | 103 | SV | 1 | |
| 1297 | 1 | Avslag | medioavslag | flint | 115 | 103 | SV | 1 | |
| 1298 | 1 | Kjernefragment | bipolart kjernefragment | flint | 115 | 103 | SV | 1 | |
| 1299 | 13 | Avslag | | flint | 115 | 103 | SØ | 1 | |
| 1300 | 1 | Avslag | | bergkrystall | 115 | 103 | SØ | 1 | |
| 1301 | 1 | Kjerne | bipolar kjerne | flint | 115 | 103 | SØ | 1 | |
| 1302 | 31 | Avslag | | flint | 115 | 104 | SV | 1 | |
| 1303 | 1 | Kjernefragment | ubestemt kjernefragment | flint | 115 | 104 | SV | 1 | |
| 1304 | 1 | Retusjert avslag | retusjert medioavslag | flint | 115 | 104 | SV | 1 | |
| 1305 | 1 | Avslag | medioavslag | flint | 115 | 104 | SV | 1 | |
| 1306 | 5 | Avslag | | flint | 115 | 104 | SØ | 1 | |
| 1307 | 38 | Avslag | | flint | 115 | 119 | NØ | 1 | |
| 1308 | 1 | Kjerne | bipolar kjerne | flint | 115 | 119 | NØ | 1 | |
| 1309 | 1 | Slipestein | pimpstein med brukspor | pimpstein | 115 | 119 | NØ | 1 | |
| 1310 | 1 | Slipestein | pimpstein med brukspor | pimpstein | 115 | 119 | NØ | 1 | |
| 1311 | 60 | Avslag | | flint | 115 | 119 | SØ | 1 | |
| 1312 | 1 | Avslag | | kvarts | 115 | 119 | SØ | 1 | |
| 1313 | 1 | Flekke | mikroflekke | flint | 115 | 119 | SØ | 1 | |
| 1314 | 1 | Retusjert avslag | retusjert medioavslag | flint | 115 | 119 | SØ | 1 | |
| 1315 | 1 | Retusjert avslag | retusjert medioavslag | flint | 115 | 119 | SØ | 1 | |

| Unr. | Antall | Gjenstand | Form | Materiale | X | Y | Kvadrant | Mek.Lag | Funnkontekst |
|-------------|---------------|--------------------|---------------------------|------------------|----------|----------|-----------------|----------------|---------------------|
| 1316 | 1 | Retusjert avslag | retusjert mikroavslag | flint | 115 | 119 | SØ | 1 | |
| 1317 | 1 | Retusjert avslag | retusjert medioavslag | flint | 115 | 119 | SØ | 1 | |
| 1318 | 1 | Retusjert avslag | retusjert makroavslag | flint | 115 | 119 | SØ | 1 | |
| 1319 | 1 | Slipestein | pimpstein med bruksspor | pimpstein | 115 | 119 | SØ | 1 | |
| 1320 | 1 | Slipestein | pimpstein med bruksspor | pimpstein | 115 | 119 | SØ | 1 | |
| 1321 | 1 | Avslag | medioavslag | flint | 115 | 119 | SØ | 1 | |
| 1322 | 1 | Kjernefragment | bipolart kjernefragment | flint | 115 | 119 | SØ | 1 | |
| 1323 | 34 | Avslag | | flint | 115 | 120 | NV | 1 | |
| 1324 | 1 | Avslag | | kvartsitt | 115 | 120 | NV | 1 | |
| 1325 | 1 | Avslag | | sandstein | 115 | 120 | NV | 1 | |
| 1326 | 1 | Diagnostisk avslag | avslag av slipt gjenstand | skifer | 115 | 120 | NV | 1 | |
| 1327 | 1 | Retusjert avslag | retusjert medioavslag | flint | 115 | 120 | NV | 1 | |
| 1328 | 1 | Kjerne | bipolar kjerne | flint | 115 | 120 | NV | 1 | |
| 1329 | 1 | Retusjert avslag | retusjert medioavslag | flint | 115 | 120 | NV | 1 | |
| 1330 | 1 | Avslag | medioavslag | flint | 115 | 120 | NV | 1 | |
| 1331 | 25 | Avslag | | flint | 115 | 120 | SV | 1 | |
| 1332 | 1 | Avslag | | sandstein | 115 | 120 | SV | 1 | |
| 1333 | 1 | Avslag | medioavslag | flint | 115 | 120 | SV | 1 | |
| 1334 | 17 | Avslag | | flint | 115 | 121 | NV | 1 | |
| 1335 | 1 | Avslag | | kvarts | 115 | 121 | NV | 1 | |
| 1336 | 1 | Avslag | fragment | skifer | 115 | 121 | NV | 1 | |
| 1337 | 1 | Kjerne | ubestemt kjerne | flint | 115 | 121 | NV | 1 | |
| 1338 | 1 | Kniv | avslagskniv | flint | 115 | 121 | NV | 1 | |
| 1339 | 1 | Retusjert avslag | retusjert medioavslag | flint | 115 | 121 | NV | 1 | |
| 1340 | 1 | Retusjert avslag | retusjert medioavslag | flint | 115 | 121 | NV | 1 | |
| 1341 | 1 | Retusjert avslag | retusjert makroavslag | flint | 115 | 121 | NV | 1 | |
| 1342 | 3 | Avslag | | flint | 115 | 121 | NØ | 1 | |
| 1343 | 8 | Avslag | | flint | 115 | 121 | SV | 1 | |
| 1344 | 1 | Avslag | | kvarts | 115 | 121 | SV | 1 | |
| 1345 | 1 | Kjerne | bipolar kjerne | flint | 115 | 121 | SV | 1 | |
| 1346 | 1 | Retusjert avslag | retusjert medioavslag | flint | 115 | 121 | SV | 1 | |
| 1347 | 4 | Avslag | | flint | 115 | 121 | SØ | 1 | |
| 1348 | 2 | Avslag | | kvarts | 115 | 121 | SØ | 1 | |
| 1349 | 1 | Avslag | | flint | 115 | 123 | SØ | 1 | |
| 1350 | 3 | Avslag | | flint | 115 | 124 | NV | 1 | |
| 1351 | 1 | Avslag | | kvartsitt | 115 | 124 | NV | 1 | |
| 1352 | 8 | Avslag | | flint | 115 | 124 | NØ | 1 | |
| 1353 | 2 | Avslag | | flint | 115 | 124 | SV | 1 | |
| 1354 | 2 | Avslag | | flint | 115 | 124 | SØ | 1 | |
| 1355 | 1 | Kjernefragment | bipolart kjernefragment | flint | 115 | 124 | SØ | 1 | |
| 1356 | 52 | Avslag | | flint | 116 | 101 | NV | 1 | |

| Unr. | Antall | Gjenstand | Form | Materiale | X | Y | Kvadrant | Mek.Lag | Funnkontekst |
|-------------|---------------|--------------------|-------------------------|------------------|----------|----------|-----------------|----------------|---------------------|
| 1357 | 3 | Kjernefragment | bipolart kjernefragment | flint | 116 | 101 | NV | 1 | |
| 1358 | 79 | Avslag | | flint | 116 | 101 | NØ | 1 | |
| 1359 | 1 | Diagnostisk avslag | cortexflekke | flint | 116 | 101 | NØ | 1 | |
| 1360 | 1 | Kjerne | bipolar kjerne | flint | 116 | 101 | NØ | 1 | |
| 1361 | 1 | Kjerne | bipolar kjerne | flint | 116 | 101 | NØ | 1 | |
| 1362 | 1 | Retusjert avslag | retusjert medioavslag | flint | 116 | 101 | NØ | 1 | |
| 1363 | 1 | Retusjert avslag | retusjert medioavslag | flint | 116 | 101 | NØ | 1 | |
| 1364 | 1 | Retusjert avslag | retusjert medioavslag | flint | 116 | 101 | NØ | 1 | |
| 1365 | 1 | Kernefragment | bipolart kernefragment | flint | 116 | 101 | NØ | 1 | |
| 1366 | 42 | Avslag | | flint | 116 | 101 | SV | 1 | |
| 1367 | 1 | Kjerne | bipolar kjerne | flint | 116 | 101 | SV | 1 | |
| 1368 | 1 | Kjerne | bipolar kjerne | flint | 116 | 101 | SV | 1 | |
| 1369 | 1 | Knakkestein | | bergart | 116 | 101 | SV | 1 | |
| 1370 | 77 | Avslag | | flint | 116 | 101 | SØ | 1 | |
| 1371 | 1 | Kjerne | bipolar kjerne | flint | 116 | 101 | SØ | 1 | |
| 1372 | 1 | Kernefragment | bipolart kernefragment | flint | 116 | 101 | SØ | 1 | |
| 1373 | 66 | Avslag | | flint | 116 | 102 | NV | 1 | |
| 1374 | 1 | Avslag | | kvarts | 116 | 102 | NV | 1 | |
| 1375 | 1 | Avslag | | kvartsitt | 116 | 102 | NV | 1 | |
| 1376 | 1 | Avslag | | sandstein | 116 | 102 | NV | 1 | |
| 1377 | 1 | Avslag | | bergart | 116 | 102 | NV | 1 | |
| 1378 | 1 | Retusjert avslag | retusjert medioavslag | flint | 116 | 102 | NV | 1 | |
| 1379 | 1 | Slipestein | pimpstein med bruksspor | pimpstein | 116 | 102 | NV | 1 | |
| 1380 | 1 | Retusjert avslag | retusjert medioavslag | flint | 116 | 102 | NV | 1 | |
| 1381 | 2 | Avslag | medioavslag | flint | 116 | 102 | NV | 1 | |
| 1382 | 1 | Kernefragment | bipolart kernefragment | flint | 116 | 102 | NV | 1 | |
| 1383 | 1 | Kernefragment | bipolart kernefragment | flint | 116 | 102 | NV | 1 | |
| 1384 | 37 | Avslag | | flint | 116 | 102 | NØ | 1 | |
| 1385 | 1 | Flekke | mikroflekke | flint | 116 | 102 | NØ | 1 | |
| 1386 | 1 | Diagnostisk avslag | cortexflekke | flint | 116 | 102 | NØ | 1 | |
| 1387 | 1 | Kjerne | bipolar kjerne | flint | 116 | 102 | NØ | 1 | |
| 1388 | 1 | Kjerne | bipolar kjerne | flint | 116 | 102 | NØ | 1 | |
| 1389 | 1 | Retusjert avslag | retusjert medioavslag | flint | 116 | 102 | NØ | 1 | |
| 1390 | 2 | Kernefragment | bipolart kernefragment | flint | 116 | 102 | NØ | 1 | |
| 1391 | 46 | Avslag | | flint | 116 | 102 | SV | 1 | |
| 1392 | 1 | Avslag | | kvartsitt | 116 | 102 | SV | 1 | |
| 1393 | 1 | Kjerne | bipolar kjerne | flint | 116 | 102 | SV | 1 | |
| 1394 | 1 | Kjerne | bipolar kjerne | flint | 116 | 102 | SV | 1 | |
| 1395 | 49 | Avslag | | flint | 116 | 102 | SØ | 1 | |
| 1396 | 1 | Avslag | | kvarts | 116 | 102 | SØ | 1 | |
| 1397 | 1 | Retusjert avslag | retusjert medioavslag | flint | 116 | 102 | SØ | 1 | |

| Unr. | Antall | Gjenstand | Form | Materiale | X | Y | Kvadrant | Mek.Lag | Funnkontekst |
|-------------|---------------|------------------|-------------------------|------------------|----------|----------|-----------------|----------------|---------------------|
| 1398 | 1 | Kjerne | bipolar kjerne | flint | 116 | 102 | SØ | 1 | |
| 1399 | 1 | Kjernefragment | bipolart kjernefragment | flint | 116 | 102 | SØ | 1 | |
| 1400 | 46 | Avslag | | flint | 116 | 103 | NV | 1 | |
| 1401 | 1 | Kjerne | bipolar kjerne | flint | 116 | 103 | NV | 1 | |
| 1402 | 1 | Kernefagment | bipolart kernefagment | flint | 116 | 103 | NV | 1 | |
| 1403 | 18 | Avslag | | flint | 116 | 103 | NØ | 1 | |
| 1404 | 1 | Avslag | | kvarts | 116 | 103 | NØ | 1 | |
| 1405 | 1 | Kernefagment | bipolart kernefagment | flint | 116 | 103 | NØ | 1 | |
| 1406 | 31 | Avslag | | flint | 116 | 103 | SV | 1 | |
| 1407 | 1 | Avslag | | kvarts | 116 | 103 | SV | 1 | |
| 1408 | 1 | Avslag | | kvartsitt | 116 | 103 | SV | 1 | |
| 1409 | 1 | Kjerne | bipolar kjerne | flint | 116 | 103 | SV | 1 | |
| 1410 | 1 | Retusjert avslag | retusjert medioavslag | flint | 116 | 103 | SV | 1 | |
| 1411 | 1 | Avslag | medioavslag | flint | 116 | 103 | SV | 1 | |
| 1412 | 29 | Avslag | | flint | 116 | 103 | SØ | 1 | |
| 1413 | 1 | Avslag | | kvartsitt | 116 | 103 | SØ | 1 | |
| 1414 | 1 | Kjerne | bipolar kjerne | flint | 116 | 103 | SØ | 1 | |
| 1415 | 31 | Avslag | | flint | 116 | 104 | NØ | 1 | |
| 1416 | 1 | Kjerne | bipolar kjerne | flint | 116 | 104 | NØ | 1 | |
| 1417 | 1 | Kjerne | bipolar kjerne | flint | 116 | 104 | NØ | 1 | |
| 1418 | 1 | Retusjert avslag | retusjert medioavslag | flint | 116 | 104 | NØ | 1 | |
| 1419 | 1 | Retusjert avslag | retusjert medioavslag | flint | 116 | 104 | NØ | 1 | |
| 1420 | 2 | Avslag | medioavslag | flint | 116 | 104 | NØ | 1 | |
| 1421 | 12 | Avslag | | flint | 116 | 104 | SV | 1 | |
| 1422 | 1 | Avslag | | diabas | 116 | 104 | SV | 1 | |
| 1423 | 1 | Kernefagment | bipolart kernefagment | flint | 116 | 104 | SV | 1 | |
| 1424 | 15 | Avslag | | flint | 116 | 119 | SØ | 1 | |
| 1425 | 6 | Avslag | | flint | 116 | 120 | NV | 1 | |
| 1426 | 1 | Avslag | | bergart | 116 | 120 | NV | 1 | |
| 1427 | 3 | Avslag | | flint | 116 | 120 | NØ | 1 | |
| 1428 | 36 | Avslag | | flint | 116 | 120 | SV | 1 | |
| 1429 | 2 | Avslag | | kvarts | 116 | 120 | SV | 1 | |
| 1430 | 1 | Skrapere | endeskrapere | flint | 116 | 120 | SV | 1 | |
| 1431 | 1 | Flekke | medioflekke | kvartsitt | 116 | 120 | SV | 1 | |
| 1432 | 1 | Kernefagment | bipolart kernefagment | kvarts | 116 | 120 | SV | 1 | |
| 1433 | 1 | Kjerne | bipolar kjerne | flint | 116 | 120 | SV | 1 | |
| 1434 | 1 | Retusjert avslag | retusjert mikroavslag | flint | 116 | 120 | SV | 1 | |
| 1435 | 1 | Avslag | medioavslag | flint | 116 | 120 | SV | 1 | |
| 1436 | 1 | Kjerne | ubestemt kjerne | kvarts | 116 | 120 | SV | 1 | |
| 1437 | 8 | Avslag | | flint | 116 | 120 | SØ | 1 | |
| 1438 | 2 | Avslag | | kvarts | 116 | 120 | SØ | 1 | |
| 1439 | 1 | Kjerne | bipolar kjerne | flint | 116 | 120 | SØ | 1 | |

| Unr. | Antall | Gjenstand | Form | Materiale | X | Y | Kvadrant | Mek.Lag | Funnkontekst |
|-------------|---------------|------------------|-------------------------|------------------|----------|----------|-----------------|----------------|---------------------|
| 1440 | 2 | Avslag | | flint | 116 | 121 | NV | 1 | |
| 1441 | 1 | Avslag | | flint | 116 | 121 | SV | 1 | |
| 1442 | 1 | Kjernefragment | bipolart kjernefragment | kvarts | 116 | 121 | SV | 1 | |
| 1443 | 11 | Avslag | | flint | 116 | 124 | NV | 1 | |
| 1444 | 1 | Flekke | mikroflekke | flint | 116 | 124 | NV | 1 | |
| 1445 | 1 | Avslag | medioavslag | flint | 116 | 124 | NV | 1 | |
| 1446 | 9 | Avslag | | flint | 116 | 124 | NØ | 1 | |
| 1447 | 1 | Flekke | medioflekke | flint | 116 | 124 | NØ | 1 | |
| 1448 | 1 | Avslag | makroavslag | flint | 116 | 124 | NØ | 1 | |
| 1449 | 1 | Kjernefragment | bipolart kernefragment | flint | 116 | 124 | NØ | 1 | |
| 1450 | 8 | Avslag | | flint | 116 | 124 | SV | 1 | |
| 1451 | 1 | Kernefragment | bipolart kernefragment | flint | 116 | 124 | SV | 1 | |
| 1452 | 11 | Avslag | | flint | 116 | 124 | SØ | 1 | |
| 1453 | 1 | Avslag | | kvartsitt | 116 | 124 | SØ | 1 | |
| 1454 | 10 | Avslag | | flint | 116 | 125 | NV | 1 | |
| 1455 | 4 | Avslag | | kvarts | 116 | 125 | NV | 1 | |
| 1456 | 1 | Retusjert avslag | retusjert makroavslag | flint | 116 | 125 | NV | 1 | |
| 1457 | 1 | Kerne | ubestemt kerne | bergkrystall | 116 | 125 | NV | 1 | |
| 1458 | 1 | Kernefragment | bipolart kernefragment | flint | 116 | 125 | NV | 1 | |
| 1459 | 11 | Avslag | | flint | 116 | 125 | NØ | 1 | |
| 1460 | 22 | Avslag | | flint | 116 | 125 | SV | 1 | |
| 1461 | 1 | Avslag | | kvarts | 116 | 125 | SV | 1 | |
| 1462 | 1 | Avslag | medioavslag | flint | 116 | 125 | SV | 1 | |
| 1463 | 25 | Avslag | | flint | 116 | 125 | SØ | 1 | |
| 1464 | 1 | Kerne | bipolar kerne | flint | 116 | 125 | SØ | 1 | |
| 1465 | 2 | Avslag | | flint | 116 | 126 | NV | 1 | |
| 1466 | 5 | Avslag | | flint | 116 | 126 | NØ | 1 | |
| 1467 | 5 | Avslag | | flint | 116 | 126 | SV | 1 | |
| 1468 | 1 | Pilspiss | slipt pilspiss | skifer | 116 | 126 | SV | 1 | |
| 1469 | 1 | Avslag | medioavslag | flint | 116 | 126 | SV | 1 | |
| 1470 | 1 | Avslag | | flint | 116 | 126 | SØ | 1 | |
| 1471 | 1 | Avslag | | flint | 116 | 127 | SV | 1 | |
| 1472 | 7 | Avslag | | flint | 117 | 101 | NV | 1 | |
| 1473 | 32 | Avslag | | flint | 117 | 101 | NØ | 1 | |
| 1474 | 1 | Avslag | | sandstein | 117 | 101 | NØ | 1 | |
| 1475 | 1 | Retusjert avslag | retusjert medioavslag | flint | 117 | 101 | NØ | 1 | |
| 1476 | 1 | Kernefragment | bipolart kernefragment | flint | 117 | 101 | NØ | 1 | |
| 1477 | 28 | Avslag | | flint | 117 | 101 | SØ | 1 | |
| 1478 | 1 | Kernefragment | bipolart kernefragment | flint | 117 | 101 | SØ | 1 | |
| 1479 | 1 | Kernefragment | bipolart kernefragment | flint | 117 | 101 | SØ | 1 | |
| 1480 | 26 | Avslag | | flint | 117 | 101 | SV | 1 | Prøvekvadrant |
| 1481 | 1 | Avslag | | bergkrystall | 117 | 101 | SV | 1 | Prøvekvadrant |

| Unr. | Antall | Gjenstand | Form | Materiale | X | Y | Kvadrant | Mek.Lag | Funnkontekst |
|-------------|---------------|------------------|-------------------------|------------------|----------|----------|-----------------|----------------|---------------------|
| 1482 | 66 | Avslag | | flint | 117 | 102 | NV | 1 | |
| 1483 | 1 | Pilspiss | slipt pilspiss | skifer | 117 | 102 | NV | 1 | |
| 1484 | 1 | Retusjert flekke | retusjert medioflekke | flint | 117 | 102 | NV | 1 | |
| 1485 | 1 | Kjernefragment | bipolart kjernefragment | flint | 117 | 102 | NV | 1 | |
| 1486 | 1 | Avslag | medioavslag | flint | 117 | 102 | NV | 1 | |
| 1487 | 1 | Avslag | medioavslag | flint | 117 | 102 | NV | 1 | |
| 1488 | 46 | Avslag | | flint | 117 | 102 | NØ | 1 | |
| 1489 | 1 | Pilspiss | slipt pilspiss | skifer | 117 | 102 | NØ | 1 | |
| 1490 | 1 | Ukjent | ukjent slipt gjenstand | skifer | 117 | 102 | NØ | 1 | |
| 1491 | 1 | Kjernefragment | bipolart kjernefragment | bergkrystall | 117 | 102 | NØ | 1 | |
| 1492 | 1 | Kjernefragment | bipolart kernefragment | flint | 117 | 102 | NØ | 1 | |
| 1493 | 66 | Avslag | | flint | 117 | 102 | SV | 1 | |
| 1494 | 1 | Pilspiss | slipt pilspiss | skifer | 117 | 102 | SV | 1 | |
| 1495 | 1 | Pilspiss | slipt pilspiss | skifer | 117 | 102 | SV | 1 | |
| 1496 | 91 | Avslag | | flint | 117 | 102 | SØ | 1 | |
| 1497 | 1 | Pilspiss | slipt pilspiss | skifer | 117 | 102 | SØ | 1 | |
| 1498 | 1 | Flekke | mikroflekke | flint | 117 | 102 | SØ | 1 | |
| 1499 | 1 | Kjerne | bipolar kjerne | bergkrystall | 117 | 102 | SØ | 1 | |
| 1500 | 1 | Kjerne | bipolar kjerne | flint | 117 | 102 | SØ | 1 | |
| 1501 | 30 | Avslag | | flint | 117 | 103 | SV | 1 | |
| 1502 | 44 | Avslag | | flint | 117 | 104 | NV | 1 | |
| 1503 | 1 | Pilspiss | slipt pilspiss | skifer | 117 | 104 | NV | 1 | |
| 1504 | 1 | Flekke | mikroflekke | flint | 117 | 104 | NV | 1 | |
| 1505 | 49 | Avslag | | flint | 117 | 104 | NØ | 1 | |
| 1506 | 1 | Avslag | | kvartsitt | 117 | 104 | NØ | 1 | |
| 1507 | 1 | Kjerne | bipolar kjerne | bergkrystall | 117 | 104 | NØ | 1 | |
| 1508 | 50 | Avslag | | flint | 117 | 104 | SØ | 1 | |
| 1509 | 1 | Flekke | medioflekke | flint | 117 | 104 | SØ | 1 | |
| 1510 | 1 | Retusjert avslag | retusjert medioavslag | flint | 117 | 104 | SØ | 1 | |
| 1511 | 1 | Retusjert avslag | retusjert medioavslag | flint | 117 | 104 | SØ | 1 | |
| 1512 | 2 | Avslag | medioavslag | flint | 117 | 104 | SØ | 1 | |
| 1513 | 8 | Avslag | | flint | 117 | 120 | NV | 1 | |
| 1514 | 1 | Avslag | | kvarts | 117 | 120 | NV | 1 | |
| 1515 | 1 | Avslag | | kvartsitt | 117 | 120 | NV | 1 | |
| 1516 | 11 | Avslag | | flint | 117 | 120 | NØ | 1 | |
| 1517 | 3 | Avslag | | kvarts | 117 | 120 | NØ | 1 | |
| 1518 | 6 | Avslag | | flint | 117 | 120 | SV | 1 | |
| 1519 | 5 | Avslag | | flint | 117 | 120 | SØ | 1 | |
| 1520 | 1 | Avslag | medioavslag | flint | 117 | 120 | SØ | 1 | |
| 1521 | 5 | Avslag | | flint | 117 | 121 | NV | 1 | |
| 1522 | 7 | Avslag | | flint | 117 | 121 | NØ | 1 | |
| 1523 | 4 | Avslag | | kvarts | 117 | 121 | NØ | 1 | |

| Unr. | Antall | Gjenstand | Form | Materiale | X | Y | Kvadrant | Mek.Lag | Funnkontekst |
|-------------|---------------|------------------|------------------------|------------------|----------|----------|-----------------|----------------|---------------------|
| 1524 | 3 | Avslag | medioavslag | flint | 117 | 121 | NØ | 1 | |
| 1525 | 7 | Avslag | | flint | 117 | 121 | SV | 1 | |
| 1526 | 1 | Kniv | flekkekni | flint | 117 | 121 | SV | 1 | |
| 1527 | 1 | Retusjert avslag | retusjert medioavslag | flint | 117 | 121 | SV | 1 | |
| 1528 | 1 | Avslag | | flint | 117 | 121 | SØ | 1 | |
| 1529 | 3 | Avslag | | flint | 117 | 122 | NV | 1 | |
| 1530 | 3 | Avslag | | flint | 117 | 122 | NØ | 1 | |
| 1531 | 1 | Retusjert avslag | retusjert mikroavslag | flint | 117 | 122 | NØ | 1 | |
| 1532 | 3 | Avslag | | flint | 117 | 123 | NV | 1 | |
| 1533 | 6 | Avslag | | flint | 117 | 123 | NØ | 1 | |
| 1534 | 16 | Avslag | | flint | 117 | 124 | NV | 1 | |
| 1535 | 20 | Avslag | | flint | 117 | 124 | NØ | 1 | |
| 1536 | 10 | Avslag | | flint | 117 | 124 | SV | 1 | |
| 1537 | 1 | Kjernefragment | bipolar kjernefragment | flint | 117 | 124 | SV | 1 | |
| 1538 | 11 | Avslag | | flint | 117 | 124 | SØ | 1 | |
| 1539 | 12 | Avslag | | flint | 117 | 125 | NØ | 1 | |
| 1540 | 1 | Pilspiss | slipt pilspiss | skifer | 117 | 125 | NØ | 1 | |
| 1541 | 18 | Avslag | | flint | 117 | 125 | SV | 1 | |
| 1542 | 1 | Flekke | mikrflekke | flint | 117 | 125 | SV | 1 | |
| 1543 | 1 | Kjerne | bipolar kjerne | flint | 117 | 125 | SV | 1 | |
| 1544 | 6 | Avslag | | flint | 117 | 125 | SØ | 1 | |
| 1545 | 1 | Avslag | | sandstein | 117 | 125 | SØ | 1 | |
| 1546 | 1 | Kjerne | bipolar kjerne | flint | 117 | 125 | SØ | 1 | |
| 1547 | 8 | Avslag | | flint | 117 | 126 | NV | 1 | |
| 1548 | 1 | Avslag | | kvartsitt | 117 | 126 | NV | 1 | |
| 1549 | 2 | Avslag | | flint | 117 | 126 | NØ | 1 | |
| 1550 | 1 | Avslag | | flint | 117 | 126 | SV | 1 | |
| 1551 | 1 | Avslag | | flint | 117 | 127 | SV | 1 | |
| 1552 | 47 | Avslag | | flint | 118 | 102 | SØ | 1 | |
| 1553 | 1 | Avslag | | bergart | 118 | 102 | SØ | 1 | |
| 1554 | 1 | Flekke | mikrflekke | flint | 118 | 102 | SØ | 1 | |
| 1555 | 1 | Retusjert avslag | retusjert medioavslag | flint | 118 | 102 | SØ | 1 | |
| 1556 | 1 | Avslag | | flint | 118 | 122 | NV | 1 | |
| 1557 | 4 | Avslag | | flint | 118 | 122 | NØ | 1 | |
| 1558 | 3 | Avslag | | kvarts | 118 | 122 | NØ | 1 | |
| 1559 | 1 | Flekke | mikrflekke | flint | 118 | 122 | NØ | 1 | |
| 1560 | 6 | Avslag | | flint | 118 | 122 | SV | 1 | |
| 1561 | 1 | Retusjert avslag | retusjert medioavslag | flint | 118 | 122 | SV | 1 | |
| 1562 | 7 | Avslag | | flint | 118 | 122 | SØ | 1 | |
| 1563 | 1 | Flekke | makrflekke | flint | 118 | 122 | SØ | 1 | |
| 1564 | 5 | Avslag | | flint | 118 | 123 | NV | 1 | |
| 1565 | 16 | Avslag | | flint | 118 | 123 | NØ | 1 | |

| Unr. | Antall | Gjenstand | Form | Materiale | X | Y | Kvadrant | Mek.Lag | Funnkontekst |
|-------------|---------------|------------------|-------------------------|------------------|----------|----------|-----------------|----------------|---------------------|
| 1566 | 2 | Avslag | | kvarts | 118 | 123 | NØ | 1 | |
| 1567 | 8 | Avslag | | flint | 118 | 123 | SV | 1 | |
| 1568 | 8 | Avslag | | flint | 118 | 123 | SØ | 1 | |
| 1569 | 4 | Avslag | | kvarts | 118 | 123 | SØ | 1 | |
| 1570 | 1 | Avslag | medioavslag | flint | 118 | 123 | SØ | 1 | |
| 1571 | 16 | Avslag | | flint | 118 | 124 | NV | 1 | |
| 1572 | 1 | Retusjert avslag | retusjert medioavslag | flint | 118 | 124 | NV | 1 | |
| 1573 | 1 | Avslag | medioavslag | flint | 118 | 124 | NV | 1 | |
| 1574 | 1 | Kjernefragment | bipolart kjernefragment | flint | 118 | 124 | NV | 1 | |
| 1575 | 4 | Avslag | | flint | 118 | 124 | NØ | 1 | |
| 1576 | 20 | Avslag | | flint | 118 | 124 | SV | 1 | |
| 1577 | 11 | Avslag | | flint | 118 | 124 | SØ | 1 | |
| 1578 | 14 | Avslag | | flint | 118 | 125 | NV | 1 | |
| 1579 | 1 | Avslag | | kvarts | 118 | 125 | NV | 1 | |
| 1580 | 1 | Avslag | | kvartsitt | 118 | 125 | NV | 1 | |
| 1581 | 7 | Avslag | | flint | 118 | 125 | NØ | 1 | |
| 1582 | 1 | Avslag | | kvarts | 118 | 125 | NØ | 1 | |
| 1583 | 7 | Avslag | | flint | 118 | 125 | SV | 1 | |
| 1584 | 2 | Avslag | | kvarts | 118 | 125 | SV | 1 | |
| 1585 | 6 | Avslag | | flint | 118 | 125 | SØ | 1 | |
| 1586 | 2 | Kjernefragment | bipolart kjernefragment | flint | 118 | 125 | SØ | 1 | |
| 1587 | 1 | Avslag | | flint | 118 | 126 | NV | 1 | |
| 1588 | 1 | Avslag | | flint | 118 | 126 | SV | 1 | |
| 1589 | 1 | Kjernefragment | bipolart kjernefragment | flint | 118 | 126 | SV | 1 | |
| 1590 | 1 | Avslag | | kvarts | 118 | 128 | SV | 1 | |
| 1591 | 6 | Avslag | | flint | 119 | 123 | NV | 1 | |
| 1592 | 2 | Avslag | | kvarts | 119 | 123 | NV | 1 | |
| 1593 | 8 | Avslag | | flint | 119 | 123 | NØ | 1 | |
| 1594 | 21 | Avslag | | flint | 119 | 123 | SV | 1 | |
| 1595 | 2 | Avslag | | kvarts | 119 | 123 | SV | 1 | |
| 1596 | 22 | Avslag | | flint | 119 | 123 | SØ | 1 | |
| 1597 | 4 | Avslag | medioavslag | flint | 119 | 123 | SØ | 1 | |
| 1598 | 3 | Avslag | | flint | 119 | 124 | NV | 1 | |
| 1599 | 1 | Avslag | | kvarts | 119 | 124 | NV | 1 | |
| 1600 | 10 | Avslag | | flint | 119 | 124 | NØ | 1 | |
| 1601 | 2 | Kjernefragment | bipolart kjernefragment | flint | 119 | 124 | NØ | 1 | |
| 1602 | 7 | Avslag | | flint | 119 | 124 | SV | 1 | |
| 1603 | 11 | Avslag | | flint | 119 | 124 | SØ | 1 | |
| 1604 | 1 | Pilspiss | slipt pilspiss | skifer | 119 | 124 | SØ | 1 | |
| 1605 | 1 | Kjernefragment | bipolart kjernefragment | flint | 119 | 124 | SØ | 1 | |
| 1606 | 3 | Avslag | | flint | 119 | 125 | NV | 1 | |
| 1607 | 3 | Avslag | | flint | 119 | 125 | NØ | 1 | |

| Unr. | Antall | Gjenstand | Form | Materiale | X | Y | Kvadrant | Mek.Lag | Funnkontekst |
|------|--------|--------------------|-------------------------|-----------|-----|-----|----------|---------|--------------|
| 1608 | 12 | Avslag | | flint | 119 | 125 | SV | 1 | |
| 1609 | 1 | Avslag | | flint | 119 | 125 | SØ | 1 | |
| 1610 | 1 | Kjerne | bipolar kjerne | flint | 119 | 125 | SØ | 1 | |
| 1611 | 2 | Avslag | | flint | 119 | 126 | NV | 1 | |
| 1612 | 1 | Avslag | | flint | 119 | 126 | NØ | 1 | |
| 1613 | 1 | Kjernefragment | bipolart kjernefragment | flint | 119 | 127 | SV | 1 | |
| 1614 | 3 | Avslag | | flint | 120 | 124 | SV | 1 | |
| 1615 | 1 | Avslag | | flint | 120 | 124 | SØ | 1 | |
| 1616 | 2 | Avslag | | flint | 120 | 125 | NV | 1 | |
| 1617 | 1 | Avslag | | flint | 120 | 125 | SØ | 1 | |
| 1618 | 1 | Pilspiss | slipt pilspiss | skifer | 120 | 125 | SØ | 1 | |
| 1619 | 15 | Avslag | | flint | 107 | 102 | NV | 2 | |
| 1620 | 1 | Kjernefragment | bipolart kjernefragment | flint | 107 | 102 | NV | 2 | |
| 1621 | 18 | Avslag | | flint | 107 | 102 | NØ | 2 | |
| 1622 | 1 | Kniv | tveegget skiferkniv | skifer | 107 | 102 | NØ | 2 | |
| 1623 | 1 | Kjernefragment | bipolart kjernefragment | flint | 107 | 102 | NØ | 2 | |
| 1624 | 47 | Avslag | | flint | 107 | 103 | NV | 2 | |
| 1625 | 1 | Pilspiss | slipt pilspiss | skifer | 107 | 103 | NV | 2 | |
| 1626 | 1 | Flekke | makroflekke | flint | 107 | 103 | NV | 2 | |
| 1627 | 1 | Diagnostisk avslag | flekkelignende avslag | flint | 107 | 103 | NV | 2 | |
| 1628 | 1 | Kjerne | bipolar kjerne | flint | 107 | 103 | NV | 2 | |
| 1629 | 72 | Avslag | | flint | 107 | 103 | NØ | 2 | |
| 1630 | 1 | Avslag | | kvartsitt | 107 | 103 | NØ | 2 | |
| 1631 | 1 | Skraper | ubestemt skraper | flint | 107 | 103 | NØ | 2 | |
| 1632 | 1 | Flekke | medioflekke | flint | 107 | 103 | NØ | 2 | |
| 1633 | 1 | Flekke | mikroflekke | flint | 107 | 103 | NØ | 2 | |
| 1634 | 2 | Kjernefragment | bipolart kjernefragment | flint | 107 | 103 | NØ | 2 | |
| 1635 | 1 | Avslag | medioavslag | flint | 107 | 103 | NØ | 2 | |
| 1636 | 1 | Knakkestein | | bergart | 107 | 103 | NØ | 2 | |
| 1637 | 80 | Avslag | | flint | 107 | 104 | NV | 2 | |
| 1638 | 1 | Flekke | medioflekke | flint | 107 | 104 | NV | 2 | |
| 1639 | 1 | Flekke | makroflekke | flint | 107 | 104 | NV | 2 | |
| 1640 | 1 | Fragment | slipt fragment | sandstein | 107 | 104 | NV | 2 | |
| 1641 | 1 | Knakkestein | | bergart | 107 | 104 | NV | 2 | |
| 1642 | 47 | Avslag | | flint | 107 | 104 | NØ | 2 | |
| 1643 | 1 | Avslag | | sandstein | 107 | 104 | NØ | 2 | |
| 1644 | 1 | Kjerne | bipolar kjerne | flint | 107 | 104 | NØ | 2 | |
| 1645 | 1 | Retusjert avslag | retusjert medioavslag | flint | 107 | 104 | NØ | 2 | |
| 1646 | 1 | Kjernefragment | bipolart kjernefragment | flint | 107 | 104 | NØ | 2 | |
| 1647 | 3 | Avslag | medioavslag | flint | 107 | 104 | NØ | 2 | |
| 1648 | 14 | Avslag | | flint | 107 | 105 | NV | 2 | |

| Unr. | Antall | Gjenstand | Form | Materiale | X | Y | Kvadrant | Mek.Lag | Funnkontekst |
|------|--------|--------------------|-------------------------|-----------|-----|-----|----------|---------|--------------|
| 1649 | 1 | Avslag | makroavslag | kvartsitt | 107 | 105 | NV | 2 | |
| 1650 | 1 | Avslag | medioavslag | flint | 107 | 105 | NV | 2 | |
| 1651 | 12 | Avslag | | flint | 107 | 105 | NØ | 2 | |
| 1652 | 13 | Avslag | | flint | 107 | 106 | NV | 2 | |
| 1653 | 1 | Slipeplate | | bergart | 107 | 106 | NV | 2 | |
| 1654 | 1 | Slipestein | pimpstein med bruksspor | pimpstein | 107 | 106 | NV | 2 | |
| 1655 | 1 | Slipestein | pimpstein med bruksspor | pimpstein | 107 | 106 | NV | 2 | |
| 1656 | 1 | Avslag | medioavslag | flint | 107 | 106 | NV | 2 | |
| 1657 | 12 | Avslag | | flint | 107 | 106 | NØ | 2 | |
| 1658 | 7 | Avslag | | flint | 107 | 106 | SV | 2 | |
| 1659 | 1 | Kniv | avslagskniv | flint | 107 | 106 | SV | 2 | |
| 1660 | 12 | Avslag | | flint | 107 | 106 | SØ | 2 | |
| 1661 | 21 | Avslag | | flint | 108 | 100 | NV | 2 | |
| 1662 | 1 | Kjerne | bipolar kjerne | flint | 108 | 100 | NV | 2 | |
| 1663 | 1 | Kjernefragment | bipolart kjernefragment | flint | 108 | 100 | NV | 2 | |
| 1664 | 13 | Avslag | | flint | 108 | 100 | NØ | 2 | |
| 1665 | 1 | Avslag | | kvarts | 108 | 100 | NØ | 2 | |
| 1666 | 1 | Diagnostisk avslag | cortexflekke | flint | 108 | 100 | NØ | 2 | |
| 1667 | 1 | Kjerne | bipolar kjerne | flint | 108 | 100 | NØ | 2 | |
| 1668 | 1 | Slipestein | pimpstein med bruksspor | pimpstein | 108 | 100 | NØ | 2 | |
| 1669 | 12 | Avslag | | flint | 108 | 101 | NV | 2 | |
| 1670 | 1 | Avslag | | kvarts | 108 | 101 | NV | 2 | |
| 1671 | 11 | Avslag | | flint | 108 | 101 | NØ | 2 | |
| 1672 | 22 | Avslag | | flint | 108 | 101 | SV | 2 | |
| 1673 | 3 | Avslag | | kvarts | 108 | 101 | SV | 2 | |
| 1674 | 1 | Avslag | | sandstein | 108 | 101 | SV | 2 | |
| 1675 | 1 | Kjernefragment | plattformkjernefragment | flint | 108 | 101 | SV | 2 | |
| 1676 | 1 | Retusjert avslag | retusjert medioavslag | flint | 108 | 101 | SV | 2 | |
| 1677 | 7 | Avslag | | flint | 108 | 101 | SØ | 2 | |
| 1678 | 1 | Avslag | | kvarts | 108 | 101 | SØ | 2 | |
| 1679 | 3 | Avslag | | flint | 108 | 102 | NV | 2 | |
| 1680 | 1 | Slipestein | pimpstein med bruksspor | pimpstein | 108 | 102 | NV | 2 | |
| 1681 | 1 | Slipestein | pimpstein med bruksspor | pimpstein | 108 | 102 | NV | 2 | |
| 1682 | 10 | Avslag | | flint | 108 | 102 | NØ | 2 | |
| 1683 | 7 | Avslag | | flint | 108 | 102 | SV | 2 | |
| 1684 | 1 | Avslag | | kvarts | 108 | 102 | SV | 2 | |
| 1685 | 1 | Slipestein | pimpstein med bruksspor | pimpstein | 108 | 102 | SV | 2 | |
| 1686 | 1 | Slipestein | pimpstein med bruksspor | pimpstein | 108 | 102 | SV | 2 | |
| 1687 | 1 | Avslag | medioavslag | flint | 108 | 102 | SV | 2 | |
| 1688 | 16 | Avslag | | flint | 108 | 102 | SØ | 2 | |

| Unr. | Antall | Gjenstand | Form | Materiale | X | Y | Kvadrant | Mek.Lag | Funnkontekst |
|-------------|---------------|--------------------|-------------------------|------------------|----------|----------|-----------------|----------------|---------------------|
| 1689 | 1 | Kjerne | bipolar kjerne | flint | 108 | 102 | SØ | 2 | |
| 1690 | 1 | Retusjert avslag | retusjert medioavslag | flint | 108 | 102 | SØ | 2 | |
| 1691 | 1 | Slipestein | pimpstein med bruksspor | pimpstein | 108 | 102 | SØ | 2 | |
| 1692 | 1 | Slipestein | pimpstein med bruksspor | pimpstein | 108 | 102 | SØ | 2 | |
| 1693 | 39 | Avslag | | flint | 108 | 103 | NV | 2 | |
| 1694 | 1 | Kjerne | bipolar kjerne | flint | 108 | 103 | NV | 2 | |
| 1695 | 1 | Kjerne | bipolar kjerne | flint | 108 | 103 | NV | 2 | |
| 1696 | 1 | Kjerne | bipolar kjerne | flint | 108 | 103 | NV | 2 | |
| 1697 | 48 | Avslag | | flint | 108 | 103 | NØ | 2 | |
| 1698 | 1 | Avslag | | skifer | 108 | 103 | NØ | 2 | |
| 1699 | 1 | Kjerne | ubestemt kjerne | flint | 108 | 103 | NØ | 2 | |
| 1700 | 1 | Kjernefragment | bipolart kjernefragment | flint | 108 | 103 | NØ | 2 | |
| 1701 | 8 | Avslag | | flint | 108 | 103 | SV | 2 | |
| 1702 | 43 | Avslag | | flint | 108 | 103 | SØ | 2 | |
| 1703 | 1 | Kjerne | bipolar kjerne | flint | 108 | 103 | SØ | 2 | |
| 1704 | 1 | Retusjert avslag | retusjert medioavslag | flint | 108 | 103 | SØ | 2 | |
| 1705 | 2 | Avslag | medioavslag | flint | 108 | 103 | SØ | 2 | |
| 1706 | 2 | Kjernefragment | bipolart kjernefragment | flint | 108 | 103 | SØ | 2 | |
| 1707 | 71 | Avslag | | flint | 108 | 104 | NV | 2 | |
| 1708 | 1 | Kjerne | bipolar kjerne | flint | 108 | 104 | NV | 2 | |
| 1709 | 1 | Retusjert avslag | retusjert medioavslag | flint | 108 | 104 | NV | 2 | |
| 1710 | 2 | Kjernefragment | bipolart kjernefragment | flint | 108 | 104 | NV | 2 | |
| 1711 | 13 | Avslag | | flint | 108 | 104 | NØ | 2 | |
| 1712 | 29 | Avslag | | flint | 108 | 104 | SV | 2 | |
| 1713 | 2 | Kjernefragment | bipolart kjernefragment | flint | 108 | 104 | SV | 2 | |
| 1714 | 17 | Avslag | | flint | 108 | 104 | SØ | 2 | |
| 1715 | 4 | Avslag | | flint | 108 | 105 | NV | 2 | |
| 1716 | 16 | Avslag | | flint | 108 | 105 | NØ | 2 | |
| 1717 | 1 | Kjerne | ubestemt kjerne | flint | 108 | 105 | NØ | 2 | |
| 1718 | 1 | Retusjert avslag | retusjert medioavslag | flint | 108 | 105 | NØ | 2 | |
| 1719 | 1 | Avslag | medioavslag | flint | 108 | 105 | NØ | 2 | |
| 1720 | 2 | Avslag | | flint | 108 | 105 | SV | 2 | |
| 1721 | 1 | Retusjert avslag | retusjert medioavslag | flint | 108 | 105 | SV | 2 | |
| 1722 | 31 | Avslag | | flint | 108 | 105 | SØ | 2 | |
| 1723 | 1 | Avslag | | bergart | 108 | 105 | SØ | 2 | |
| 1724 | 1 | Flekke | medioflekke | flint | 108 | 105 | SØ | 2 | |
| 1725 | 1 | Diagnostisk avslag | cortexflekke | flint | 108 | 105 | SØ | 2 | |
| 1726 | 2 | Avslag | medioavslag | flint | 108 | 105 | SØ | 2 | |
| 1727 | 9 | Avslag | | flint | 108 | 106 | NV | 2 | |
| 1728 | 1 | Kjerne | bipolar kjerne | flint | 108 | 106 | NV | 2 | |
| 1729 | 16 | Avslag | | flint | 108 | 106 | NØ | 2 | |

| Unr. | Antall | Gjenstand | Form | Materiale | X | Y | Kvadrant | Mek.Lag | Funnkontekst |
|-------------|---------------|------------------|-------------------------|------------------|----------|----------|-----------------|----------------|---------------------|
| 1730 | 1 | Avslag | | skifer | 108 | 106 | NØ | 2 | |
| 1731 | 14 | Avslag | | flint | 108 | 106 | SV | 2 | |
| 1732 | 1 | Slipestein | pimpstein med bruksspor | pimpstein | 108 | 106 | SV | 2 | |
| 1733 | 12 | Avslag | | flint | 108 | 106 | SØ | 2 | |
| 1734 | 1 | Avslag | | bergart | 108 | 106 | SØ | 2 | |
| 1735 | 7 | Avslag | | flint | 108 | 107 | NV | 2 | |
| 1736 | 2 | Kjernefragment | bipolart kjernefragment | flint | 108 | 107 | NV | 2 | |
| 1737 | 7 | Avslag | | flint | 108 | 107 | NØ | 2 | |
| 1738 | 1 | Avslag | | kvartsitt | 108 | 107 | NØ | 2 | |
| 1739 | 1 | Flekke | mikroflekke | flint | 108 | 107 | NØ | 2 | |
| 1740 | 1 | Retusjert avslag | retusjert fragment | flint | 108 | 107 | NØ | 2 | |
| 1741 | 3 | Avslag | | flint | 108 | 107 | SV | 2 | |
| 1742 | 1 | Kjernefragment | bipolart kernefragment | flint | 108 | 107 | SV | 2 | |
| 1743 | 1 | Avslag | | flint | 108 | 107 | SØ | 2 | |
| 1744 | 1 | Kernefragment | ubestemt kernefragment | flint | 108 | 107 | SØ | 2 | |
| 1745 | 12 | Avslag | | flint | 108 | 108 | NV | 2 | |
| 1746 | 1 | Avslag | | sandstein | 108 | 108 | NV | 2 | |
| 1747 | 3 | Avslag | | flint | 108 | 108 | NØ | 2 | |
| 1748 | 2 | Avslag | | flint | 108 | 108 | SV | 2 | |
| 1749 | 2 | Avslag | | flint | 108 | 108 | SØ | 2 | |
| 1750 | 17 | Avslag | | flint | 109 | 99 | NV | 2 | |
| 1751 | 1 | Kernefragment | ubestemt kernefragment | flint | 109 | 99 | NV | 2 | |
| 1752 | 22 | Avslag | | flint | 109 | 99 | NØ | 2 | |
| 1753 | 1 | Avslag | | sandstein | 109 | 99 | NØ | 2 | |
| 1754 | 20 | Avslag | | flint | 109 | 99 | SV | 2 | |
| 1755 | 1 | Avslag | | kvarts | 109 | 99 | SV | 2 | |
| 1756 | 11 | Avslag | | flint | 109 | 99 | SØ | 2 | |
| 1757 | 1 | Kerne | bipolar kerne | flint | 109 | 99 | SØ | 2 | |
| 1758 | 37 | Avslag | | flint | 109 | 100 | NV | 2 | |
| 1759 | 2 | Kernefragment | bipolart kernefragment | flint | 109 | 100 | NV | 2 | |
| 1760 | 31 | Avslag | | flint | 109 | 100 | NØ | 2 | |
| 1761 | 1 | Retusjert avslag | retusjert fragment | flint | 109 | 100 | NØ | 2 | |
| 1762 | 1 | Avslag | medioavslag | flint | 109 | 100 | NØ | 2 | |
| 1763 | 23 | Avslag | | flint | 109 | 100 | SV | 2 | |
| 1764 | 5 | Avslag | | kvarts | 109 | 100 | SV | 2 | |
| 1765 | 1 | Skrapere | ubestemt skrapere | flint | 109 | 100 | SV | 2 | |
| 1766 | 1 | Kerne | bipolar kerne | flint | 109 | 100 | SV | 2 | |
| 1767 | 1 | Slipestein | pimpstein med bruksspor | pimpstein | 109 | 100 | SV | 2 | |
| 1768 | 1 | Slipestein | pimpstein med bruksspor | pimpstein | 109 | 100 | SV | 2 | |
| 1769 | 2 | Kernefragment | bipolart kernefragment | flint | 109 | 100 | SV | 2 | |
| 1770 | 12 | Avslag | | flint | 109 | 100 | SØ | 2 | |

| Unr. | Antall | Gjenstand | Form | Materiale | X | Y | Kvadrant | Mek.Lag | Funnkontekst |
|-------------|---------------|------------------|-------------------------|------------------|----------|----------|-----------------|----------------|---------------------|
| 1771 | 1 | Avslag | medioavslag | flint | 109 | 100 | SØ | 2 | |
| 1772 | 36 | Avslag | | flint | 109 | 101 | NV | 2 | |
| 1773 | 1 | Kjerne | bipolar kjerne | flint | 109 | 101 | NV | 2 | |
| 1774 | 50 | Avslag | | flint | 109 | 101 | NØ | 2 | |
| 1775 | 6 | Avslag | | flint | 109 | 101 | SV | 2 | |
| 1776 | 3 | Avslag | | kvarts | 109 | 101 | SV | 2 | |
| 1777 | 3 | Avslag | | flint | 109 | 101 | SØ | 2 | |
| 1778 | 2 | Avslag | medioavslag | flint | 109 | 101 | SØ | 2 | |
| 1779 | 34 | Avslag | | flint | 109 | 102 | NV | 2 | |
| 1780 | 54 | Avslag | | flint | 109 | 102 | NØ | 2 | |
| 1781 | 1 | Fiskekrok | | bein | 109 | 102 | NØ | 2 | |
| 1782 | 2 | Kjernefragment | bipolart kjernefragment | flint | 109 | 102 | NØ | 2 | |
| 1783 | 1 | Avslag | medioavslag | flint | 109 | 102 | NØ | 2 | |
| 1784 | 6 | Avslag | | flint | 109 | 102 | SV | 2 | |
| 1785 | 1 | Slipestein | pimpstein med bruksspor | pimpstein | 109 | 102 | SV | 2 | |
| 1786 | 9 | Avslag | | flint | 109 | 102 | SØ | 2 | |
| 1787 | 1 | Slipestein | pimpstein med bruksspor | pimpstein | 109 | 102 | SØ | 2 | |
| 1788 | 1 | Slipestein | pimpstein med bruksspor | pimpstein | 109 | 102 | SØ | 2 | |
| 1789 | 1 | Slipestein | pimpstein med bruksspor | pimpstein | 109 | 102 | SØ | 2 | |
| 1790 | 1 | Kjerne | bipolar kjerne | flint | 109 | 102 | SØ | 2 | |
| 1791 | 61 | Avslag | | flint | 109 | 103 | NV | 2 | |
| 1792 | 1 | Kjernefragment | bipolart kjernefragment | flint | 109 | 103 | NV | 2 | |
| 1793 | 3 | Avslag | medioavslag | flint | 109 | 103 | NV | 2 | |
| 1794 | 67 | Avslag | | flint | 109 | 103 | NØ | 2 | |
| 1795 | 1 | Avslag | | kvartsitt | 109 | 103 | NØ | 2 | |
| 1796 | 2 | Kjernefragment | bipolart kjernefragment | flint | 109 | 103 | NØ | 2 | |
| 1797 | 65 | Avslag | | flint | 109 | 103 | SV | 2 | |
| 1798 | 1 | Avslag | | kvarts | 109 | 103 | SV | 2 | |
| 1799 | 113 | Avslag | | flint | 109 | 103 | SØ | 2 | |
| 1800 | 1 | Avslag | | kvarts | 109 | 103 | SØ | 2 | |
| 1801 | 1 | Kjerne | bipolar kjerne | flint | 109 | 103 | SØ | 2 | |
| 1802 | 1 | Kjerne | ubestemt kjerne | flint | 109 | 103 | SØ | 2 | |
| 1803 | 4 | Kjernefragment | bipolart kjernefragment | flint | 109 | 103 | SØ | 2 | |
| 1804 | 1 | Avslag | medioavslag | flint | 109 | 103 | SØ | 2 | |
| 1805 | 42 | Avslag | | flint | 109 | 104 | NV | 2 | |
| 1806 | 1 | Kjerne | bipolar kjerne | flint | 109 | 104 | NV | 2 | |
| 1807 | 1 | Kjerne | bipolar kjerne | flint | 109 | 104 | NV | 2 | |
| 1808 | 1 | Kjerne | bipolar kjerne | flint | 109 | 104 | NV | 2 | |
| 1809 | 1 | Slipestein | pimpstein med bruksspor | pimpstein | 109 | 104 | NV | 2 | |
| 1810 | 1 | Kjernefragment | bipolart kjernefragment | flint | 109 | 104 | NV | 2 | |
| 1811 | 14 | Avslag | | flint | 109 | 104 | NØ | 2 | |

| Unr. | Antall | Gjenstand | Form | Materiale | X | Y | Kvadrant | Mek.Lag | Funnkontekst |
|-------------|---------------|--------------------|---------------------------|------------------|----------|----------|-----------------|----------------|---------------------|
| 1812 | 1 | Flekke | mikroflekke | flint | 109 | 104 | NØ | 2 | |
| 1813 | 1 | Kjerne | bipolar kjerne | flint | 109 | 104 | NØ | 2 | |
| 1814 | 1 | Kjernefragment | bipolart kernefragment | flint | 109 | 104 | NØ | 2 | |
| 1815 | 75 | Avslag | | flint | 109 | 104 | SV | 2 | |
| 1816 | 1 | Flekke | medioflekke | flint | 109 | 104 | SV | 2 | |
| 1817 | 1 | Kjerne | bipolar kjerne | flint | 109 | 104 | SV | 2 | |
| 1818 | 3 | Avslag | | flint | 109 | 104 | SØ | 2 | |
| 1819 | 19 | Avslag | | flint | 109 | 105 | NV | 2 | |
| 1820 | 1 | Kjerne | bipolar kjerne | flint | 109 | 105 | NV | 2 | |
| 1821 | 1 | Slipestein | pimpstein med bruksspor | pimpstein | 109 | 105 | NV | 2 | |
| 1822 | 1 | Slipestein | pimpstein med bruksspor | pimpstein | 109 | 105 | NV | 2 | |
| 1823 | 1 | Slipestein | pimpstein med bruksspor | pimpstein | 109 | 105 | NV | 2 | |
| 1824 | 1 | Slipestein | pimpstein med bruksspor | pimpstein | 109 | 105 | NV | 2 | |
| 1825 | 1 | Kernefragment | bipolart kernefragment | flint | 109 | 105 | NV | 2 | |
| 1826 | 3 | Avslag | | flint | 109 | 105 | NØ | 2 | |
| 1827 | 1 | Pilspiss | slipt pilspiss | skifer | 109 | 105 | NØ | 2 | |
| 1828 | 17 | Avslag | | flint | 109 | 105 | SV | 2 | |
| 1829 | 8 | Avslag | | flint | 109 | 105 | SØ | 2 | |
| 1830 | 13 | Avslag | | flint | 109 | 106 | NV | 2 | |
| 1831 | 1 | Diagnostisk avslag | avslag av slipt gjenstand | sandstein | 109 | 106 | NV | 2 | |
| 1832 | 10 | Avslag | | flint | 109 | 106 | NØ | 2 | |
| 1833 | 1 | Pilspiss | slipt pilspiss | skifer | 109 | 106 | NØ | 2 | |
| 1834 | 5 | Avslag | | flint | 109 | 106 | SV | 2 | Prøvekvadrant |
| 1835 | 1 | Kjerne | bipolar kjerne | flint | 109 | 106 | SV | 2 | Prøvekvadrant |
| 1836 | 10 | Avslag | | flint | 109 | 106 | SØ | 2 | |
| 1837 | 21 | Avslag | | flint | 109 | 107 | NV | 2 | |
| 1838 | 8 | Avslag | | kvarts | 109 | 107 | NV | 2 | |
| 1839 | 1 | Retusjert avslag | retusjert medioavslag | flint | 109 | 107 | NV | 2 | |
| 1840 | 1 | Retusjert avslag | retusjert medioavslag | flint | 109 | 107 | NV | 2 | |
| 1841 | 1 | Retusjert avslag | retusjert medioavslag | flint | 109 | 107 | NV | 2 | |
| 1842 | 2 | Kernefragment | bipolart kernefragment | flint | 109 | 107 | NV | 2 | |
| 1843 | 1 | Kernefragment | bipolart kernefragment | kvarts | 109 | 107 | NV | 2 | |
| 1844 | 62 | Avslag | | flint | 109 | 107 | NØ | 2 | |
| 1845 | 16 | Avslag | | kvarts | 109 | 107 | NØ | 2 | |
| 1846 | 1 | Diagnostisk avslag | flekkelignende avslag | flint | 109 | 107 | NØ | 2 | |
| 1847 | 14 | Avslag | | flint | 109 | 107 | SV | 2 | |
| 1848 | 1 | Pilspiss | slipt pilspiss | skifer | 109 | 107 | SV | 2 | |
| 1849 | 1 | Kjerne | bipolar kjerne | flint | 109 | 107 | SV | 2 | |
| 1850 | 33 | Avslag | | flint | 109 | 107 | SØ | 2 | |
| 1851 | 1 | Kjerne | bipolar kjerne | flint | 109 | 107 | SØ | 2 | |
| 1852 | 36 | Avslag | | flint | 109 | 108 | SV | 2 | |

| Unr. | Antall | Gjenstand | Form | Materiale | X | Y | Kvadrant | Mek.Lag | Funnkontekst |
|-------------|---------------|--------------------|---------------------------|------------------|----------|----------|-----------------|----------------|---------------------|
| 1853 | 1 | Kjerne | bipolar kjerne | flint | 109 | 108 | SV | 2 | |
| 1854 | 8 | Avslag | | flint | 109 | 108 | SØ | 2 | |
| 1855 | 1 | Avslag | | kvarts | 109 | 108 | SØ | 2 | |
| 1856 | 1 | Retusjert avslag | retusjert medioavslag | flint | 109 | 108 | SØ | 2 | |
| 1857 | 8 | Avslag | | flint | 110 | 99 | NØ | 2 | |
| 1858 | 1 | Kjerne | bipolar kjerne | flint | 110 | 99 | NØ | 2 | |
| 1859 | 1 | Avslag | makroavslag | bergart | 110 | 99 | NØ | 2 | |
| 1860 | 29 | Avslag | | flint | 110 | 99 | SV | 2 | |
| 1861 | 1 | Retusjert avslag | retusjert mikroavslag | flint | 110 | 99 | SV | 2 | |
| 1862 | 28 | Avslag | | flint | 110 | 99 | SØ | 2 | |
| 1863 | 1 | Diagnostisk avslag | avslag av slipt gjenstand | bergart | 110 | 99 | SØ | 2 | |
| 1864 | 1 | Retusjert avslag | retusjert medioavslag | flint | 110 | 99 | SØ | 2 | |
| 1865 | 28 | Avslag | | flint | 110 | 100 | NV | 2 | |
| 1866 | 2 | Avslag | | kvarts | 110 | 100 | NV | 2 | |
| 1867 | 1 | Kniv | avslagskniv | flint | 110 | 100 | NV | 2 | |
| 1868 | 2 | Kjernefragment | bipolart kjernefragment | flint | 110 | 100 | NV | 2 | |
| 1869 | 16 | Avslag | | flint | 110 | 100 | NØ | 2 | |
| 1870 | 35 | Avslag | | flint | 110 | 100 | SV | 2 | |
| 1871 | 1 | Avslag | | kvarts | 110 | 100 | SV | 2 | |
| 1872 | 1 | Slipestein | pimpstein med bruksspor | pimpstein | 110 | 100 | SV | 2 | |
| 1873 | 32 | Avslag | | flint | 110 | 100 | SØ | 2 | |
| 1874 | 1 | Retusjert avslag | retusjert medioavslag | flint | 110 | 100 | SØ | 2 | |
| 1875 | 19 | Avslag | | flint | 110 | 101 | NV | 2 | |
| 1876 | 5 | Avslag | | kvarts | 110 | 101 | NV | 2 | |
| 1877 | 1 | Retusjert avslag | retusjert fragment | flint | 110 | 101 | NV | 2 | |
| 1878 | 49 | Avslag | | flint | 110 | 101 | NØ | 2 | |
| 1879 | 2 | Avslag | | bergart | 110 | 101 | NØ | 2 | |
| 1880 | 1 | Flekke | mikrflekke | flint | 110 | 101 | NØ | 2 | |
| 1881 | 1 | Kjerne | bipolar kjerne | flint | 110 | 101 | NØ | 2 | |
| 1882 | 1 | Kjerne | bipolar kjerne | flint | 110 | 101 | NØ | 2 | |
| 1883 | 3 | Kjernefragment | bipolart kjernefragment | flint | 110 | 101 | NØ | 2 | |
| 1884 | 39 | Avslag | | flint | 110 | 101 | SV | 2 | |
| 1885 | 1 | Avslag | | kvarts | 110 | 101 | SV | 2 | |
| 1886 | 1 | Avslag | | kvartsitt | 110 | 101 | SV | 2 | |
| 1887 | 1 | Kjerne | bipolar kjerne | flint | 110 | 101 | SV | 2 | |
| 1888 | 1 | Kjernefragment | bipolart kjernefragment | flint | 110 | 101 | SV | 2 | |
| 1889 | 69 | Avslag | | flint | 110 | 101 | SØ | 2 | |
| 1890 | 1 | Retusjert avslag | retusjert medioavslag | flint | 110 | 101 | SØ | 2 | |
| 1891 | 1 | Knakkestein | | bergart | 110 | 101 | SØ | 2 | |
| 1892 | 2 | Kjernefragment | bipolart kjernefragment | flint | 110 | 101 | SØ | 2 | |
| 1893 | 124 | Avslag | | flint | 110 | 102 | NV | 2 | |

| Unr. | Antall | Gjenstand | Form | Materiale | X | Y | Kvadrant | Mek.Lag | Funnkontekst |
|------|--------|--------------------|---------------------------|-----------|-----|-----|----------|---------|---------------|
| 1894 | 1 | Avslag | | kvarts | 110 | 102 | NV | 2 | |
| 1895 | 1 | Kjerne | bipolar kjerne | flint | 110 | 102 | NV | 2 | |
| 1896 | 1 | Kjerne | bipolar kjerne | flint | 110 | 102 | NV | 2 | |
| 1897 | 1 | Kjerne | bipolar kjerne | flint | 110 | 102 | NV | 2 | |
| 1898 | 2 | Kjernefragment | bipolart kjernefragment | flint | 110 | 102 | NV | 2 | |
| 1899 | 137 | Avslag | | flint | 110 | 102 | NØ | 2 | |
| 1900 | 1 | Kjerne | bipolar kjerne | flint | 110 | 102 | NØ | 2 | |
| 1901 | 1 | Kjerne | bipolar kjerne | flint | 110 | 102 | NØ | 2 | |
| 1902 | 1 | Kjerne | bipolar kjerne | flint | 110 | 102 | NØ | 2 | |
| 1903 | 136 | Avslag | | flint | 110 | 102 | SV | 2 | Prøvekvadrant |
| 1904 | 1 | Diagnostisk avslag | avslag av slipt gjenstand | skifer | 110 | 102 | SV | 2 | Prøvekvadrant |
| 1905 | 1 | Harpun | | bein | 110 | 102 | SV | 2 | Prøvekvadrant |
| 1906 | 1 | Flekke | mikroflekke | flint | 110 | 102 | SV | 2 | Prøvekvadrant |
| 1907 | 1 | Flekke | mikroflekke | flint | 110 | 102 | SV | 2 | Prøvekvadrant |
| 1908 | 1 | Kjerne | bipolar kjerne | flint | 110 | 102 | SV | 2 | Prøvekvadrant |
| 1909 | 1 | Kjerne | bipolar kjerne | flint | 110 | 102 | SV | 2 | Prøvekvadrant |
| 1910 | 1 | Kjerne | bipolar kjerne | flint | 110 | 102 | SV | 2 | Prøvekvadrant |
| 1911 | 1 | Kjerne | bipolar kjerne | flint | 110 | 102 | SV | 2 | Prøvekvadrant |
| 1912 | 2 | Kjernefragment | bipolart kjernefragment | flint | 110 | 102 | SV | 2 | Prøvekvadrant |
| 1913 | 1 | Avslag | medioavslag | flint | 110 | 102 | SV | 2 | Prøvekvadrant |
| 1914 | 127 | Avslag | | flint | 110 | 102 | SØ | 2 | |
| 1915 | 1 | Avslag | | kvarts | 110 | 102 | SØ | 2 | |
| 1916 | 1 | Pilspiss | slipt pilspiss | skifer | 110 | 102 | SØ | 2 | |
| 1917 | 1 | Avslag | medioavslag | flint | 110 | 102 | SØ | 2 | |
| 1918 | 1 | Kjernefragment | bipolart kjernefragment | flint | 110 | 102 | SØ | 2 | |
| 1919 | 123 | Avslag | | flint | 110 | 103 | NV | 2 | |
| 1920 | 4 | Avslag | | kvarts | 110 | 103 | NV | 2 | |
| 1921 | 1 | Avslag | | kvartsitt | 110 | 103 | NV | 2 | |
| 1922 | 1 | Avslag | | bergart | 110 | 103 | NV | 2 | |
| 1923 | 1 | Pilspiss | slipt pilspiss | skifer | 110 | 103 | NV | 2 | |
| 1924 | 1 | Skrapere | endeskrapere | flint | 110 | 103 | NV | 2 | |
| 1925 | 1 | Flekke | mikroflekke | flint | 110 | 103 | NV | 2 | |
| 1926 | 1 | Kjernefragment | bipolart kjernefragment | flint | 110 | 103 | NV | 2 | |
| 1927 | 24 | Avslag | | flint | 110 | 103 | NØ | 2 | |
| 1928 | 1 | Spydspiss | slipt spydspiss | bergart | 110 | 103 | NØ | 2 | |
| 1929 | 1 | Retusjert avslag | retusjert medioavslag | flint | 110 | 103 | NØ | 2 | |
| 1930 | 100 | Avslag | | flint | 110 | 103 | SV | 2 | |
| 1931 | 1 | Diagnostisk avslag | hengselflekke | flint | 110 | 103 | SV | 2 | |
| 1932 | 1 | Retusjert avslag | retusjert fragment | flint | 110 | 103 | SV | 2 | |
| 1933 | 1 | Retusjert avslag | retusjert fragment | flint | 110 | 103 | SV | 2 | |
| 1934 | 1 | Kjerne | bipolar kjerne | flint | 110 | 103 | SV | 2 | |

| Unr. | Antall | Gjenstand | Form | Materiale | X | Y | Kvadrant | Mek.Lag | Funnkontekst |
|------|--------|------------------|-------------------------|-----------|-----|-----|----------|---------|--------------|
| 1935 | 1 | Kjerne | bipolar kjerne | flint | 110 | 103 | SV | 2 | |
| 1936 | 1 | Kjernefragment | bipolart kernefragment | flint | 110 | 103 | SV | 2 | |
| 1937 | 86 | Avslag | | flint | 110 | 103 | SØ | 2 | |
| 1938 | 1 | Avslag | | kvarts | 110 | 103 | SØ | 2 | |
| 1939 | 1 | Retusjert avslag | retusjert medioavslag | flint | 110 | 103 | SØ | 2 | |
| 1940 | 1 | Retusjert avslag | retusjert medioavslag | flint | 110 | 103 | SØ | 2 | |
| 1941 | 1 | Kjerne | bipolar kjerne | flint | 110 | 103 | SØ | 2 | |
| 1942 | 1 | Avslag | medioavslag | flint | 110 | 103 | SØ | 2 | |
| 1943 | 1 | Kernefragment | bipolart kernefragment | flint | 110 | 103 | SØ | 2 | |
| 1944 | 77 | Avslag | | flint | 110 | 104 | NV | 2 | |
| 1945 | 1 | Avslag | medioavslag | flint | 110 | 104 | NV | 2 | |
| 1946 | 39 | Avslag | | flint | 110 | 104 | NØ | 2 | |
| 1947 | 1 | Kernefragment | bipolart kernefragment | flint | 110 | 104 | NØ | 2 | |
| 1948 | 12 | Avslag | | flint | 110 | 104 | SV | 2 | |
| 1949 | 30 | Avslag | | flint | 110 | 104 | SØ | 2 | |
| 1950 | 1 | Kernefragment | bipolart kernefragment | flint | 110 | 104 | SØ | 2 | |
| 1951 | 1 | Avslag | | flint | 110 | 105 | NV | 2 | |
| 1952 | 1 | Kjerne | bipolar kjerne | flint | 110 | 105 | NV | 2 | |
| 1953 | 6 | Avslag | | flint | 110 | 105 | NØ | 2 | |
| 1954 | 2 | Avslag | | flint | 110 | 105 | SV | 2 | |
| 1955 | 6 | Avslag | | flint | 110 | 105 | SØ | 2 | |
| 1956 | 1 | Slipestein | pimpstein med bruksspor | pimpstein | 110 | 105 | SØ | 2 | |
| 1957 | 11 | Avslag | | flint | 110 | 106 | NV | 2 | |
| 1958 | 1 | Pilspiss | slipt pilspiss | skifer | 110 | 106 | NV | 2 | |
| 1959 | 45 | Avslag | | flint | 110 | 106 | SØ | 2 | |
| 1960 | 3 | Avslag | | kvarts | 110 | 106 | SØ | 2 | |
| 1961 | 1 | Avslag | fragment | flint | 110 | 106 | SØ | 2 | |
| 1962 | 1 | Flekke | mikroflekke | flint | 110 | 106 | SØ | 2 | |
| 1963 | 1 | Retusjert avslag | retusjert fragment | flint | 110 | 106 | SØ | 2 | |
| 1964 | 1 | Kjerne | bipolar kjerne | flint | 110 | 106 | SØ | 2 | |
| 1965 | 1 | Kjerne | bipolar kjerne | flint | 110 | 106 | SØ | 2 | |
| 1966 | 34 | Avslag | | flint | 110 | 107 | NV | 2 | |
| 1967 | 1 | Kjerne | bipolar kjerne | flint | 110 | 107 | NV | 2 | |
| 1968 | 1 | Kjerne | bipolar kjerne | flint | 110 | 107 | NV | 2 | |
| 1969 | 1 | Avslag | medioavslag | flint | 110 | 107 | NV | 2 | |
| 1970 | 2 | Kernefragment | bipolart kernefragment | flint | 110 | 107 | NV | 2 | |
| 1971 | 14 | Avslag | | flint | 110 | 107 | NØ | 2 | |
| 1972 | 43 | Avslag | | flint | 110 | 107 | SV | 2 | |
| 1973 | 3 | Avslag | | kvarts | 110 | 107 | SV | 2 | |
| 1974 | 1 | Retusjert avslag | retusjert medioavslag | flint | 110 | 107 | SV | 2 | |
| 1975 | 1 | Retusjert avslag | retusjert medioavslag | flint | 110 | 107 | SV | 2 | |

| Unr. | Antall | Gjenstand | Form | Materiale | X | Y | Kvadrant | Mek.Lag | Funnkontekst |
|-------------|---------------|--------------------|---------------------------|------------------|----------|----------|-----------------|----------------|---------------------|
| 1976 | 1 | Avslag | medioavslag | flint | 110 | 107 | SV | 2 | |
| 1977 | 43 | Avslag | | flint | 110 | 107 | SØ | 2 | |
| 1978 | 11 | Avslag | | flint | 111 | 100 | SØ | 2 | |
| 1979 | 1 | Avslag | | kvarts | 111 | 100 | SØ | 2 | |
| 1980 | 1 | Kjerne | bipolar kjerne | flint | 111 | 100 | SØ | 2 | |
| 1981 | 1 | Avslag | medioavslag | flint | 111 | 100 | SØ | 2 | |
| 1982 | 8 | Avslag | | flint | 111 | 101 | NØ | 2 | |
| 1983 | 1 | Diagnostisk avslag | avslag av slipt gjenstand | skifer | 111 | 101 | NØ | 2 | |
| 1984 | 7 | Avslag | | flint | 111 | 101 | SV | 2 | |
| 1985 | 1 | Avslag | | kvarts | 111 | 101 | SV | 2 | |
| 1986 | 29 | Avslag | | flint | 111 | 101 | SØ | 2 | |
| 1987 | 1 | Avslag | | kvarts | 111 | 101 | SØ | 2 | |
| 1988 | 1 | Kjerne | bipolar kjerne | kvarts | 111 | 101 | SØ | 2 | |
| 1989 | 61 | Avslag | | flint | 111 | 102 | NV | 2 | |
| 1990 | 1 | Avslag | | kvartsitt | 111 | 102 | NV | 2 | |
| 1991 | 1 | Kjerne | bipolar kjerne | flint | 111 | 102 | NV | 2 | |
| 1992 | 1 | Kjernefragment | bipolart kjernefragment | flint | 111 | 102 | NV | 2 | |
| 1993 | 60 | Avslag | | flint | 111 | 102 | NØ | 2 | |
| 1994 | 1 | Avslag | | kvarts | 111 | 102 | NØ | 2 | |
| 1995 | 1 | Avslag | medioavslag | flint | 111 | 102 | NØ | 2 | |
| 1996 | 147 | Avslag | | flint | 111 | 102 | SV | 2 | |
| 1997 | 1 | Avslag | | kvarts | 111 | 102 | SV | 2 | |
| 1998 | 1 | Pilspiss | slipt pilspiss | skifer | 111 | 102 | SV | 2 | |
| 1999 | 1 | Kjerne | bipolar kjerne | flint | 111 | 102 | SV | 2 | |
| 2000 | 1 | Avslag | medioavslag | flint | 111 | 102 | SV | 2 | |
| 2001 | 95 | Avslag | | flint | 111 | 102 | SØ | 2 | |
| 2002 | 1 | Avslag | | kvarts | 111 | 102 | SØ | 2 | |
| 2003 | 1 | Retusjert avslag | retusjert medioavslag | flint | 111 | 102 | SØ | 2 | |
| 2004 | 2 | Avslag | medioavslag | flint | 111 | 102 | SØ | 2 | |
| 2005 | 2 | Kjernefragment | bipolart kjernefragment | flint | 111 | 102 | SØ | 2 | |
| 2006 | 6 | Avslag | | flint | 111 | 103 | NV | 2 | |
| 2007 | 76 | Avslag | | flint | 111 | 103 | NØ | 2 | |
| 2008 | 1 | Avslag | | kvarts | 111 | 103 | NØ | 2 | |
| 2009 | 2 | Avslag | medioavslag | flint | 111 | 103 | NØ | 2 | |
| 2010 | 1 | Avslag | medioavslag | kvartsitt | 111 | 103 | NØ | 2 | |
| 2011 | 52 | Avslag | | flint | 111 | 103 | SV | 2 | |
| 2012 | 22 | Avslag | | flint | 111 | 103 | SØ | 2 | |
| 2013 | 45 | Avslag | | flint | 111 | 104 | NV | 2 | |
| 2014 | 1 | Flekke | mikrflekke | flint | 111 | 104 | NV | 2 | |
| 2015 | 1 | Kjerne | bipolar kjerne | flint | 111 | 104 | NV | 2 | |
| 2016 | 1 | Avslag | medioavslag | flint | 111 | 104 | NV | 2 | |

| Unr. | Antall | Gjenstand | Form | Materiale | X | Y | Kvadrant | Mek.Lag | Funnkontekst |
|-------------|---------------|------------------|-------------------------|------------------|----------|----------|-----------------|----------------|---------------------|
| 2017 | 1 | Kjernefragment | bipolart kjernefragment | flint | 111 | 104 | NV | 2 | |
| 2018 | 13 | Avslag | | flint | 111 | 104 | NØ | 2 | |
| 2019 | 1 | Kjerne | bipolar kjerne | flint | 111 | 104 | NØ | 2 | |
| 2020 | 91 | Avslag | | flint | 111 | 104 | SV | 2 | |
| 2021 | 1 | Kjerne | bipolar kjerne | flint | 111 | 104 | SV | 2 | |
| 2022 | 1 | Kjerne | bipolar kjerne | flint | 111 | 104 | SV | 2 | |
| 2023 | 1 | Avslag | medioavslag | flint | 111 | 104 | SV | 2 | |
| 2024 | 48 | Avslag | | flint | 111 | 104 | SØ | 2 | |
| 2025 | 1 | Flekke | mikroflekke | flint | 111 | 104 | SØ | 2 | |
| 2026 | 1 | Kjerne | bipolar kjerne | flint | 111 | 104 | SØ | 2 | |
| 2027 | 2 | Avslag | medioavslag | flint | 111 | 104 | SØ | 2 | |
| 2028 | 1 | Kernefragment | bipolart kernefragment | flint | 111 | 104 | SØ | 2 | |
| 2029 | 9 | Avslag | | flint | 111 | 105 | NV | 2 | |
| 2030 | 1 | Avslag | medioavslag | flint | 111 | 105 | NV | 2 | |
| 2031 | 7 | Avslag | | flint | 111 | 105 | NØ | 2 | |
| 2032 | 1 | Retusjert avslag | retusjert medioavslag | flint | 111 | 105 | NØ | 2 | |
| 2033 | 5 | Avslag | | flint | 111 | 105 | SV | 2 | |
| 2034 | 1 | Avslag | | kvarts | 111 | 105 | SV | 2 | |
| 2035 | 1 | Retusjert avslag | retusjert medioavslag | flint | 111 | 105 | SV | 2 | |
| 2036 | 14 | Avslag | | flint | 111 | 105 | SØ | 2 | |
| 2037 | 9 | Avslag | | flint | 111 | 106 | NV | 2 | |
| 2038 | 13 | Avslag | | flint | 111 | 106 | NØ | 2 | |
| 2039 | 1 | Avslag | medioavslag | flint | 111 | 106 | NØ | 2 | |
| 2040 | 24 | Avslag | | flint | 111 | 106 | SV | 2 | |
| 2041 | 1 | Pilspiss | slipt pilspiss | skifer | 111 | 106 | SV | 2 | |
| 2042 | 1 | Avslag | medioavslag | flint | 111 | 106 | SV | 2 | |
| 2043 | 12 | Avslag | | flint | 111 | 106 | SØ | 2 | |
| 2044 | 1 | Retusjert avslag | retusjert medioavslag | flint | 111 | 106 | SØ | 2 | |
| 2045 | 1 | Avslag | medioavslag | flint | 111 | 106 | SØ | 2 | |
| 2046 | 33 | Avslag | | flint | 111 | 107 | NV | 2 | |
| 2047 | 1 | Avslag | | skifer | 111 | 107 | NV | 2 | |
| 2048 | 1 | Emne | Spissette | kvarts | 111 | 107 | NV | 2 | |
| 2049 | 1 | Avslag | medioavslag | flint | 111 | 107 | NV | 2 | |
| 2050 | 14 | Avslag | | flint | 111 | 107 | SØ | 2 | |
| 2051 | 1 | Kernefragment | bipolart kernefragment | flint | 111 | 107 | SØ | 2 | |
| 2052 | 10 | Avslag | | flint | 112 | 101 | NØ | 2 | |
| 2053 | 3 | Avslag | | flint | 112 | 101 | SØ | 2 | |
| 2054 | 36 | Avslag | | flint | 112 | 102 | NV | 2 | |
| 2055 | 1 | Avslag | | kvarts | 112 | 102 | NV | 2 | |
| 2056 | 26 | Avslag | | flint | 112 | 102 | NØ | 2 | |
| 2057 | 1 | Avslag | | kvarts | 112 | 102 | NØ | 2 | |

| Unr. | Antall | Gjenstand | Form | Materiale | X | Y | Kvadrant | Mek.Lag | Funnkontekst |
|-------------|---------------|------------------|-------------------------|------------------|----------|----------|-----------------|----------------|---------------------|
| 2058 | 26 | Avslag | | flint | 112 | 102 | SV | 2 | |
| 2059 | 1 | Kjerne | bipolar kjerne | flint | 112 | 102 | SV | 2 | |
| 2060 | 24 | Avslag | | flint | 112 | 102 | SØ | 2 | |
| 2061 | 1 | Avslag | | kvarts | 112 | 102 | SØ | 2 | |
| 2062 | 1 | Kjernefragment | bipolart kjernefragment | flint | 112 | 102 | SØ | 2 | |
| 2063 | 1 | Slipestein | pimpstein med bruksspor | pimpstein | 112 | 102 | SØ | 2 | |
| 2064 | 7 | Avslag | | flint | 112 | 103 | NV | 2 | |
| 2065 | 1 | Kjerne | bipolar kjerne | flint | 112 | 103 | NV | 2 | |
| 2066 | 17 | Avslag | | flint | 112 | 103 | NØ | 2 | |
| 2067 | 8 | Avslag | | flint | 112 | 103 | SV | 2 | |
| 2068 | 28 | Avslag | | flint | 112 | 103 | SØ | 2 | |
| 2069 | 1 | Kjerne | bipolar kjerne | flint | 112 | 103 | SØ | 2 | |
| 2070 | 1 | Kjerne | bipolar kjerne | flint | 112 | 103 | SØ | 2 | |
| 2071 | 1 | Kjerne | bipolar kjerne | flint | 112 | 103 | SØ | 2 | |
| 2072 | 1 | Kjernefragment | bipolart kjernefragment | flint | 112 | 103 | SØ | 2 | |
| 2073 | 10 | Avslag | | flint | 112 | 104 | NV | 2 | |
| 2074 | 3 | Avslag | | flint | 112 | 104 | NØ | 2 | |
| 2075 | 1 | Kjernefragment | bipolart kjernefragment | flint | 112 | 104 | NØ | 2 | |
| 2076 | 12 | Avslag | | flint | 112 | 104 | SV | 2 | |
| 2077 | 1 | Kjernefragment | bipolart kjernefragment | flint | 112 | 104 | SV | 2 | |
| 2078 | 4 | Avslag | | flint | 112 | 105 | NV | 2 | |
| 2079 | 2 | Avslag | | flint | 112 | 105 | NØ | 2 | |
| 2080 | 1 | Flekke | mikroflekke | flint | 112 | 105 | NØ | 2 | |
| 2081 | 7 | Avslag | | flint | 112 | 105 | SV | 2 | |
| 2082 | 1 | Avslag | medioavslag | flint | 112 | 105 | SV | 2 | |
| 2083 | 16 | Avslag | | flint | 112 | 105 | SØ | 2 | |
| 2084 | 1 | Avslag | medioavslag | flint | 112 | 105 | SØ | 2 | |
| 2085 | 1 | Kjernefragment | bipolart kjernefragment | flint | 112 | 105 | SØ | 2 | |
| 2086 | 19 | Avslag | | flint | 112 | 106 | NV | 2 | |
| 2087 | 1 | Kjerne | bipolar kjerne | flint | 112 | 106 | NV | 2 | |
| 2088 | 20 | Avslag | | flint | 112 | 106 | NØ | 2 | |
| 2089 | 1 | Avslag | medioavslag | flint | 112 | 106 | NØ | 2 | |
| 2090 | 15 | Avslag | | flint | 112 | 106 | SV | 2 | |
| 2091 | 26 | Avslag | | flint | 112 | 106 | SØ | 2 | |
| 2092 | 1 | Kjernefragment | bipolart kjernefragment | flint | 112 | 106 | SØ | 2 | |
| 2093 | 13 | Avslag | | flint | 112 | 107 | NV | 2 | |
| 2094 | 23 | Avslag | | flint | 112 | 107 | SV | 2 | |
| 2095 | 1 | Knoll | | flint | 112 | 107 | SV | 2 | |
| 2096 | 8 | Avslag | | flint | 112 | 107 | SØ | 2 | |
| 2097 | 1 | Avslag | | skifer | 112 | 107 | SØ | 2 | |
| 2098 | 14 | Avslag | | flint | 113 | 101 | NØ | 2 | |

| Unr. | Antall | Gjenstand | Form | Materiale | X | Y | Kvadrant | Mek.Lag | Funnkontekst |
|-------------|---------------|------------------|-------------------------|------------------|----------|----------|-----------------|----------------|---------------------|
| 2099 | 1 | Retusjert avslag | retusjert medioavslag | flint | 113 | 101 | NØ | 2 | |
| 2100 | 1 | Retusjert avslag | retusjert medioavslag | flint | 113 | 101 | NØ | 2 | |
| 2101 | 27 | Avslag | | flint | 113 | 101 | SØ | 2 | |
| 2102 | 8 | Avslag | | flint | 113 | 102 | NV | 2 | |
| 2103 | 69 | Avslag | | flint | 113 | 102 | NØ | 2 | |
| 2104 | 1 | Kjerne | bipolar kjerne | flint | 113 | 102 | NØ | 2 | |
| 2105 | 33 | Avslag | | flint | 113 | 102 | SV | 2 | |
| 2106 | 32 | Avslag | | flint | 113 | 102 | SØ | 2 | |
| 2107 | 1 | Pilspiss | slipt pilspiss | skifer | 113 | 102 | SØ | 2 | |
| 2108 | 1 | Avslag | medioavslag | flint | 113 | 102 | SØ | 2 | |
| 2109 | 35 | Avslag | | flint | 113 | 103 | NV | 2 | |
| 2110 | 1 | Kjernefragment | bipolart kjernefragment | flint | 113 | 103 | NV | 2 | |
| 2111 | 1 | Retusjert avslag | retusjert medioavslag | flint | 113 | 103 | NV | 2 | |
| 2112 | 20 | Avslag | | flint | 113 | 103 | NØ | 2 | |
| 2113 | 1 | Avslag | | kvarts | 113 | 103 | NØ | 2 | |
| 2114 | 1 | Kjerne | bipolar kjerne | flint | 113 | 103 | NØ | 2 | |
| 2115 | 16 | Avslag | | flint | 113 | 103 | SV | 2 | |
| 2116 | 1 | Skraper | ubestemt skraper | flint | 113 | 103 | SV | 2 | |
| 2117 | 4 | Avslag | | flint | 113 | 103 | SØ | 2 | |
| 2118 | 8 | Avslag | | flint | 113 | 104 | SV | 2 | |
| 2119 | 1 | Avslag | | flint | 113 | 104 | SØ | 2 | |
| 2120 | 10 | Avslag | | flint | 113 | 105 | NV | 2 | |
| 2121 | 8 | Avslag | | flint | 113 | 105 | NØ | 2 | |
| 2122 | 5 | Avslag | | flint | 113 | 105 | SV | 2 | |
| 2123 | 1 | Avslag | | skifer | 113 | 105 | SV | 2 | |
| 2124 | 8 | Avslag | | flint | 113 | 105 | SØ | 2 | |
| 2125 | 1 | Retusjert avslag | retusjert medioavslag | flint | 113 | 105 | SØ | 2 | |
| 2126 | 24 | Avslag | | flint | 113 | 106 | NV | 2 | |
| 2127 | 1 | Retusjert avslag | retusjert medioavslag | flint | 113 | 106 | NV | 2 | |
| 2128 | 1 | Retusjert avslag | retusjert medioavslag | flint | 113 | 106 | NV | 2 | |
| 2129 | 31 | Avslag | | flint | 113 | 106 | NØ | 2 | |
| 2130 | 1 | Kjerne | bipolar kjerne | flint | 113 | 106 | NØ | 2 | |
| 2131 | 1 | Kjernefragment | bipolart kjernefragment | flint | 113 | 106 | NØ | 2 | |
| 2132 | 20 | Avslag | | flint | 113 | 106 | SV | 2 | |
| 2133 | 1 | Kjernefragment | bipolart kjernefragment | flint | 113 | 106 | SV | 2 | |
| 2134 | 35 | Avslag | | flint | 113 | 106 | SØ | 2 | |
| 2135 | 1 | Flekke | mikroflekke | flint | 113 | 106 | SØ | 2 | |
| 2136 | 1 | Flekke | mikroflekke | flint | 113 | 106 | SØ | 2 | |
| 2137 | 1 | Kjerne | ubestemt kjerne | flint | 113 | 106 | SØ | 2 | |
| 2138 | 1 | Kjernefragment | bipolart kjernefragment | flint | 113 | 106 | SØ | 2 | |
| 2139 | 10 | Avslag | | flint | 113 | 107 | NV | 2 | |
| 2140 | 16 | Avslag | | flint | 113 | 107 | NØ | 2 | |

| Unr. | Antall | Gjenstand | Form | Materiale | X | Y | Kvadrant | Mek.Lag | Funnkontekst |
|-------------|---------------|--------------------|-------------------------|------------------|----------|----------|-----------------|----------------|---------------------|
| 2141 | 1 | Kjernefragment | bipolart kjernefragment | flint | 113 | 107 | NØ | 2 | |
| 2142 | 9 | Avslag | | flint | 113 | 107 | SV | 2 | |
| 2143 | 13 | Avslag | | flint | 113 | 107 | SØ | 2 | |
| 2144 | 1 | Avslag | | kvarts | 113 | 107 | SØ | 2 | |
| 2145 | 7 | Avslag | | flint | 114 | 101 | NØ | 2 | |
| 2146 | 4 | Avslag | | flint | 114 | 101 | SV | 2 | |
| 2147 | 23 | Avslag | | flint | 114 | 101 | SØ | 2 | |
| 2148 | 1 | Kjerne | bipolar kjerne | flint | 114 | 101 | SØ | 2 | |
| 2149 | 21 | Avslag | | flint | 114 | 102 | NV | 2 | |
| 2150 | 21 | Avslag | | flint | 114 | 102 | NØ | 2 | |
| 2151 | 34 | Avslag | | flint | 114 | 102 | SV | 2 | |
| 2152 | 1 | Kjerne | ubestemt kjerne | flint | 114 | 102 | SV | 2 | |
| 2153 | 42 | Avslag | | flint | 114 | 102 | SØ | 2 | Prøvekvadrant |
| 2154 | 1 | Diagnostisk avslag | flekkelignende avslag | flint | 114 | 102 | SØ | 2 | Prøvekvadrant |
| 2155 | 1 | Slipestein | pimpstein med bruksspor | pimpstein | 114 | 102 | SØ | 2 | Prøvekvadrant |
| 2156 | 1 | Kernefragment | ubestemt kernefragment | flint | 114 | 102 | SØ | 2 | Prøvekvadrant |
| 2157 | 4 | Avslag | | flint | 114 | 103 | NV | 2 | |
| 2158 | 1 | Avslag | | flint | 114 | 103 | NØ | 2 | |
| 2159 | 1 | Kjerne | bipolar kjerne | flint | 114 | 103 | NØ | 2 | |
| 2160 | 52 | Avslag | | flint | 114 | 103 | SV | 2 | |
| 2161 | 1 | Kjerne | bipolar kjerne | flint | 114 | 103 | SV | 2 | |
| 2162 | 1 | Kernefragment | bipolart kernefragment | flint | 114 | 103 | SV | 2 | |
| 2163 | 22 | Avslag | | flint | 114 | 103 | SØ | 2 | |
| 2164 | 1 | Retusjert avslag | retusjert medioavslag | flint | 114 | 103 | SØ | 2 | |
| 2165 | 16 | Avslag | | flint | 114 | 104 | NV | 2 | |
| 2166 | 45 | Avslag | | flint | 114 | 104 | NØ | 2 | |
| 2167 | 1 | Kernefragment | bipolart kernefragment | flint | 114 | 104 | NØ | 2 | |
| 2168 | 38 | Avslag | | flint | 114 | 104 | SV | 2 | |
| 2169 | 2 | Kernefragment | bipolart kernefragment | flint | 114 | 104 | SV | 2 | |
| 2170 | 20 | Avslag | | flint | 114 | 104 | SØ | 2 | |
| 2171 | 1 | Kernefragment | bipolart kernefragment | flint | 114 | 104 | SØ | 2 | |
| 2172 | 25 | Avslag | | flint | 114 | 105 | NV | 2 | |
| 2173 | 33 | Avslag | | flint | 114 | 105 | SV | 2 | |
| 2174 | 1 | Kernefragment | bipolart kernefragment | flint | 114 | 105 | SV | 2 | |
| 2175 | 15 | Avslag | | flint | 114 | 121 | NØ | 2 | |
| 2176 | 1 | Avslag | | kvarts | 114 | 121 | NØ | 2 | |
| 2177 | 1 | Pilspiss | slipt pilspiss | skifer | 114 | 121 | NØ | 2 | |
| 2178 | 1 | Flekke | mikroflekke | flint | 114 | 121 | NØ | 2 | |
| 2179 | 1 | Kjerne | bipolar kjerne | flint | 114 | 121 | NØ | 2 | |
| 2180 | 11 | Avslag | | flint | 114 | 121 | SØ | 2 | |
| 2181 | 1 | Avslag | | kvarts | 114 | 121 | SØ | 2 | |

| Unr. | Antall | Gjenstand | Form | Materiale | X | Y | Kvadrant | Mek.Lag | Funnkontekst |
|------|--------|------------------|-------------------------|--------------|-----|-----|----------|---------|--------------|
| 2182 | 12 | Avslag | | flint | 114 | 122 | NV | 2 | |
| 2183 | 1 | Avslag | | kvarts | 114 | 122 | NV | 2 | |
| 2184 | 1 | Avslag | | kvartsitt | 114 | 122 | NV | 2 | |
| 2185 | 10 | Avslag | | flint | 114 | 122 | NØ | 2 | |
| 2186 | 1 | Avslag | | kvarts | 114 | 122 | NØ | 2 | |
| 2187 | 1 | Avslag | | kvartsitt | 114 | 122 | NØ | 2 | |
| 2188 | 1 | Avslag | medioavslag | flint | 114 | 122 | NØ | 2 | |
| 2189 | 9 | Avslag | | flint | 114 | 122 | SV | 2 | |
| 2190 | 13 | Avslag | | flint | 114 | 122 | SØ | 2 | |
| 2191 | 29 | Avslag | | flint | 115 | 101 | NV | 2 | |
| 2192 | 55 | Avslag | | flint | 115 | 101 | NØ | 2 | |
| 2193 | 1 | Avslag | | kvarts | 115 | 101 | NØ | 2 | |
| 2194 | 1 | Retusjert avslag | retusjert medioavslag | flint | 115 | 101 | NØ | 2 | |
| 2195 | 43 | Avslag | | flint | 115 | 102 | NV | 2 | |
| 2196 | 1 | Kjerne | bipolar kjerne | flint | 115 | 102 | NV | 2 | |
| 2197 | 9 | Avslag | | flint | 115 | 119 | NØ | 2 | |
| 2198 | 29 | Avslag | | flint | 115 | 119 | SØ | 2 | |
| 2199 | 1 | Retusjert avslag | retusjert medioavslag | flint | 115 | 119 | SØ | 2 | |
| 2200 | 1 | Avslag | medioavslag | flint | 115 | 119 | SØ | 2 | |
| 2201 | 11 | Avslag | | flint | 115 | 120 | NV | 2 | |
| 2202 | 38 | Avslag | | flint | 115 | 120 | NØ | 2 | |
| 2203 | 3 | Avslag | | bergkrystall | 115 | 120 | NØ | 2 | |
| 2204 | 1 | Avslag | | kvartsitt | 115 | 120 | NØ | 2 | |
| 2205 | 1 | Slipestein | pimpstein med bruksspor | pimpstein | 115 | 120 | NØ | 2 | |
| 2206 | 1 | Avslag | makroavslag | kvartsitt | 115 | 120 | NØ | 2 | |
| 2207 | 1 | Avslag | makroavslag | flint | 115 | 120 | NØ | 2 | |
| 2208 | 1 | Avslag | medioavslag | flint | 115 | 120 | NØ | 2 | |
| 2209 | 10 | Avslag | | flint | 115 | 120 | SV | 2 | |
| 2210 | 45 | Avslag | | flint | 115 | 121 | NV | 2 | |
| 2211 | 1 | Avslag | | bergart | 115 | 121 | NV | 2 | |
| 2212 | 1 | Kjerne | ubestemt kjerne | flint | 115 | 121 | NV | 2 | |
| 2213 | 22 | Avslag | | flint | 115 | 121 | NØ | 2 | |
| 2214 | 13 | Avslag | | flint | 115 | 121 | SV | 2 | |
| 2215 | 2 | Avslag | | kvarts | 115 | 121 | SV | 2 | |
| 2216 | 35 | Avslag | | flint | 115 | 121 | SØ | 2 | |
| 2217 | 2 | Avslag | | kvarts | 115 | 121 | SØ | 2 | |
| 2218 | 1 | Kjerne | bipolar kjerne | flint | 115 | 121 | SØ | 2 | |
| 2219 | 5 | Avslag | | flint | 115 | 122 | NV | 2 | |
| 2220 | 16 | Avslag | | flint | 115 | 122 | NØ | 2 | |
| 2221 | 2 | Avslag | | kvarts | 115 | 122 | NØ | 2 | |
| 2222 | 1 | Avslag | | kvartsitt | 115 | 122 | NØ | 2 | |

| Unr. | Antall | Gjenstand | Form | Materiale | X | Y | Kvadrant | Mek.Lag | Funnkontekst |
|-------------|---------------|--------------------|------------------------------|------------------|----------|----------|-----------------|----------------|---------------------|
| 2223 | 1 | Diagnostisk avslag | avslag fra skraperproduksjon | flint | 115 | 122 | NØ | 2 | |
| 2224 | 13 | Avslag | | flint | 115 | 122 | SV | 2 | |
| 2225 | 3 | Avslag | | kvarts | 115 | 122 | SV | 2 | |
| 2226 | 5 | Avslag | | flint | 115 | 122 | SØ | 2 | |
| 2227 | 1 | Avslag | | kvarts | 115 | 122 | SØ | 2 | |
| 2228 | 1 | Avslag | medioavslag | flint | 115 | 122 | SØ | 2 | |
| 2229 | 15 | Avslag | | flint | 115 | 123 | NV | 2 | |
| 2230 | 1 | Avslag | | kvarts | 115 | 123 | NV | 2 | |
| 2231 | 17 | Avslag | | flint | 115 | 123 | NØ | 2 | |
| 2232 | 1 | Avslag | | kvarts | 115 | 123 | NØ | 2 | |
| 2233 | 1 | Kjerne | bipolar kjerne | flint | 115 | 123 | NØ | 2 | |
| 2234 | 23 | Avslag | | flint | 115 | 123 | SV | 2 | |
| 2235 | 1 | Avslag | | kvartsitt | 115 | 123 | SV | 2 | |
| 2236 | 1 | Retusjert avslag | retusjert medioavslag | flint | 115 | 123 | SV | 2 | |
| 2237 | 1 | Kjernefragment | bipolart kjernefragment | flint | 115 | 123 | SV | 2 | |
| 2238 | 13 | Avslag | | flint | 115 | 123 | SØ | 2 | |
| 2239 | 1 | Kjerne | bipolar kjerne | flint | 115 | 123 | SØ | 2 | |
| 2240 | 1 | Kjerne | bipolar kjerne | flint | 115 | 123 | SØ | 2 | |
| 2241 | 17 | Avslag | | flint | 115 | 124 | NV | 2 | |
| 2242 | 1 | Avslag | | kvarts | 115 | 124 | NV | 2 | |
| 2243 | 15 | Avslag | | flint | 115 | 124 | SV | 2 | |
| 2244 | 2 | Avslag | medioavslag | flint | 115 | 124 | SV | 2 | |
| 2245 | 43 | Avslag | | flint | 116 | 101 | NV | 2 | |
| 2246 | 1 | Retusjert avslag | retusjert mikroavslag | flint | 116 | 101 | NV | 2 | |
| 2247 | 1 | Avslag | medioavslag | flint | 116 | 101 | NV | 2 | |
| 2248 | 1 | Kjernefragment | bipolart kjernefragment | flint | 116 | 101 | NV | 2 | |
| 2249 | 42 | Avslag | | flint | 116 | 101 | NØ | 2 | |
| 2250 | 2 | Avslag | | kvarts | 116 | 101 | NØ | 2 | |
| 2251 | 38 | Avslag | | flint | 116 | 101 | SV | 2 | |
| 2252 | 1 | Skrapere | ubestemt skrapere | flint | 116 | 101 | SV | 2 | |
| 2253 | 57 | Avslag | | flint | 116 | 101 | SØ | 2 | |
| 2254 | 1 | Kjerne | bipolar kjerne | flint | 116 | 101 | SØ | 2 | |
| 2255 | 65 | Avslag | | flint | 116 | 102 | NV | 2 | |
| 2256 | 1 | Avslag | | bergkrystall | 116 | 102 | NV | 2 | |
| 2257 | 1 | Kjernefragment | bipolart kjernefragment | flint | 116 | 102 | NV | 2 | |
| 2258 | 42 | Avslag | | flint | 116 | 102 | NØ | 2 | |
| 2259 | 1 | Kjernefragment | bipolart kjernefragment | flint | 116 | 102 | NØ | 2 | |
| 2260 | 99 | Avslag | | flint | 116 | 102 | SV | 2 | |
| 2261 | 2 | Avslag | | bergart | 116 | 102 | SV | 2 | |
| 2262 | 1 | Flekke | mikroflekke | flint | 116 | 102 | SV | 2 | |
| 2263 | 1 | Flekke | mikroflekke | flint | 116 | 102 | SV | 2 | |

| Unr. | Antall | Gjenstand | Form | Materiale | X | Y | Kvadrant | Mek.Lag | Funnkontekst |
|-------------|---------------|------------------|-------------------------|------------------|----------|----------|-----------------|----------------|---------------------|
| 2264 | 1 | Retusjert avslag | retusjert mikroavslag | flint | 116 | 102 | SV | 2 | |
| 2265 | 1 | Kjerne | bipolar kjerne | flint | 116 | 102 | SV | 2 | |
| 2266 | 1 | Kjerne | bipolar kjerne | flint | 116 | 102 | SV | 2 | |
| 2267 | 1 | Kjerne | bipolar kjerne | flint | 116 | 102 | SV | 2 | |
| 2268 | 1 | Avslag | medioavslag | flint | 116 | 102 | SV | 2 | |
| 2269 | 50 | Avslag | | flint | 116 | 102 | SØ | 2 | |
| 2270 | 1 | Kjernefragment | bipolart kjernefragment | flint | 116 | 102 | SØ | 2 | |
| 2271 | 14 | Avslag | | flint | 116 | 103 | NV | 2 | |
| 2272 | 5 | Avslag | | flint | 116 | 103 | NØ | 2 | |
| 2273 | 1 | Pilspiss | slipt pilspiss | skifer | 116 | 103 | NØ | 2 | |
| 2274 | 20 | Avslag | | flint | 116 | 103 | SV | 2 | |
| 2275 | 1 | Avslag | | skifer | 116 | 103 | SV | 2 | |
| 2276 | 1 | Kjernefragment | bipolart kjernefragment | flint | 116 | 103 | SV | 2 | |
| 2277 | 28 | Avslag | | flint | 116 | 103 | SØ | 2 | |
| 2278 | 1 | Ukjent | ukjent slipt gjenstand | skifer | 116 | 103 | SØ | 2 | |
| 2279 | 1 | Retusjert avslag | retusjert medioavslag | flint | 116 | 103 | SØ | 2 | |
| 2280 | 1 | Slipestein | pimpstein med bruksspor | pimpstein | 116 | 103 | SØ | 2 | |
| 2281 | 1 | Avslag | | flint | 116 | 119 | SØ | 2 | |
| 2282 | 1 | Retusjert avslag | retusjert mikroavslag | flint | 116 | 119 | SØ | 2 | |
| 2283 | 1 | Avslag | | kvartsitt | 116 | 120 | NV | 2 | |
| 2284 | 85 | Avslag | | flint | 116 | 120 | NØ | 2 | |
| 2285 | 2 | Avslag | | kvartsitt | 116 | 120 | NØ | 2 | |
| 2286 | 1 | Avslag | | sandstein | 116 | 120 | NØ | 2 | |
| 2287 | 1 | Avslag | | bergart | 116 | 120 | NØ | 2 | |
| 2288 | 1 | Skraper | ubestemt skraper | flint | 116 | 120 | NØ | 2 | |
| 2289 | 1 | Retusjert avslag | retusjert medioavslag | flint | 116 | 120 | NØ | 2 | |
| 2290 | 1 | Retusjert avslag | retusjert medioavslag | flint | 116 | 120 | NØ | 2 | |
| 2291 | 1 | Kjerne | ubestemt kjerne | flint | 116 | 120 | NØ | 2 | |
| 2292 | 1 | Kjerne | bipolar kjerne | flint | 116 | 120 | NØ | 2 | |
| 2293 | 1 | Kjerne | bipolar kjerne | flint | 116 | 120 | NØ | 2 | |
| 2294 | 1 | Avslag | makroavslag | flint | 116 | 120 | NØ | 2 | |
| 2295 | 2 | Kjernefragment | bipolart kjernefragment | flint | 116 | 120 | NØ | 2 | |
| 2296 | 4 | Avslag | | flint | 116 | 120 | SV | 2 | |
| 2297 | 35 | Avslag | | flint | 116 | 120 | SØ | 2 | |
| 2298 | 3 | Avslag | | kvartsitt | 116 | 120 | SØ | 2 | |
| 2299 | 1 | Kjernefragment | bipolart kjernefragment | flint | 116 | 120 | SØ | 2 | |
| 2300 | 82 | Avslag | | flint | 116 | 121 | NV | 2 | |
| 2301 | 1 | Skraper | ubestemt skraper | flint | 116 | 121 | NV | 2 | |
| 2302 | 56 | Avslag | | flint | 116 | 121 | NØ | 2 | |
| 2303 | 1 | Avslag | | kvarts | 116 | 121 | NØ | 2 | |
| 2304 | 2 | Avslag | | skifer | 116 | 121 | NØ | 2 | |

| Unr. | Antall | Gjenstand | Form | Materiale | X | Y | Kvadrant | Mek.Lag | Funnkontekst |
|-------------|---------------|--------------------|------------------------------|------------------|----------|----------|-----------------|----------------|---------------------|
| 2305 | 1 | Diagnostisk avslag | avslag fra skraperproduksjon | flint | 116 | 121 | NØ | 2 | |
| 2306 | 1 | Diagnostisk avslag | avslag fra skraperproduksjon | flint | 116 | 121 | NØ | 2 | |
| 2307 | 1 | Retusjert avslag | retusjert medioavslag | flint | 116 | 121 | NØ | 2 | |
| 2308 | 85 | Avslag | | flint | 116 | 121 | SV | 2 | |
| 2309 | 1 | Avslag | | kvarts | 116 | 121 | SV | 2 | |
| 2310 | 1 | Avslag | | kvartsitt | 116 | 121 | SV | 2 | |
| 2311 | 1 | Skraper | ubestemt skraper | flint | 116 | 121 | SV | 2 | |
| 2312 | 1 | Kjerne | bipolar kjerne | flint | 116 | 121 | SV | 2 | |
| 2313 | 1 | Kjerne | bipolar kjerne | flint | 116 | 121 | SV | 2 | |
| 2314 | 1 | Avslag | medioavslag | chert | 116 | 121 | SV | 2 | |
| 2315 | 1 | Kjernefragment | bipolart kjernefragment | flint | 116 | 121 | SV | 2 | |
| 2316 | 1 | Kjernefragment | bipolart kjernefragment | flint | 116 | 121 | SV | 2 | |
| 2317 | 64 | Avslag | | flint | 116 | 121 | SØ | 2 | |
| 2318 | 1 | Avslag | | bergkrystall | 116 | 121 | SØ | 2 | |
| 2319 | 1 | Ukjent | ukjent slipt gjenstand | skifer | 116 | 121 | SØ | 2 | |
| 2320 | 1 | Kjerne | bipolar kjerne | flint | 116 | 121 | SØ | 2 | |
| 2321 | 1 | Kjernefragment | bipolart kjernefragment | flint | 116 | 121 | SØ | 2 | |
| 2322 | 1 | Knoll | | flint | 116 | 121 | SØ | 2 | |
| 2323 | 26 | Avslag | | flint | 116 | 122 | NV | 2 | |
| 2324 | 2 | Kjernefragment | bipolart kjernefragment | flint | 116 | 122 | NV | 2 | |
| 2325 | 19 | Avslag | | flint | 116 | 122 | NØ | 2 | |
| 2326 | 1 | Avslag | medioavslag | flint | 116 | 122 | NØ | 2 | |
| 2327 | 1 | Kjernefragment | bipolart kjernefragment | flint | 116 | 122 | NØ | 2 | |
| 2328 | 24 | Avslag | | flint | 116 | 122 | SV | 2 | |
| 2329 | 28 | Avslag | | flint | 116 | 122 | SØ | 2 | |
| 2330 | 1 | Retusjert avslag | retusjert medioavslag | flint | 116 | 122 | SØ | 2 | |
| 2331 | 1 | Kjerne | bipolar kjerne | flint | 116 | 122 | SØ | 2 | |
| 2332 | 25 | Avslag | | flint | 116 | 123 | NV | 2 | |
| 2333 | 1 | Avslag | | kvarts | 116 | 123 | NV | 2 | |
| 2334 | 1 | Retusjert avslag | retusjert fragment | flint | 116 | 123 | NV | 2 | |
| 2335 | 1 | Avslag | makroavslag | flint | 116 | 123 | NV | 2 | |
| 2336 | 1 | Avslag | medioavslag | flint | 116 | 123 | NV | 2 | |
| 2337 | 6 | Avslag | | flint | 116 | 123 | NØ | 2 | |
| 2338 | 1 | Avslag | | kvarts | 116 | 123 | NØ | 2 | |
| 2339 | 1 | Slipestein | pimpstein med bruksspor | pimpstein | 116 | 123 | NØ | 2 | |
| 2340 | 7 | Avslag | | flint | 116 | 123 | SV | 2 | |
| 2341 | 17 | Avslag | | flint | 116 | 123 | SØ | 2 | |
| 2342 | 1 | Avslag | | kvarts | 116 | 123 | SØ | 2 | |
| 2343 | 1 | Kjerne | bipolar kjerne | flint | 116 | 123 | SØ | 2 | |
| 2344 | 1 | Kjernefragment | bipolart kjernefragment | flint | 116 | 123 | SØ | 2 | |
| 2345 | 22 | Avslag | | flint | 116 | 124 | NV | 2 | |

| Unr. | Antall | Gjenstand | Form | Materiale | X | Y | Kvadrant | Mek.Lag | Funnkontekst |
|------|--------|------------------|-------------------------|-----------|-----|-----|----------|---------|---------------|
| 2346 | 15 | Avslag | | flint | 116 | 124 | SV | 2 | |
| 2347 | 1 | Avslag | | kvarts | 116 | 124 | SV | 2 | |
| 2348 | 1 | Meisel | | sandstein | 116 | 124 | SV | 2 | |
| 2349 | 1 | Kjerne | bipolar kjerne | flint | 116 | 124 | SV | 2 | |
| 2350 | 41 | Avslag | | flint | 117 | 101 | SV | 2 | Prøvekvadrant |
| 2351 | 1 | Avslag | | sandstein | 117 | 101 | SV | 2 | Prøvekvadrant |
| 2352 | 1 | Avslag | medioavslag | flint | 117 | 101 | SV | 2 | Prøvekvadrant |
| 2353 | 25 | Avslag | | flint | 117 | 101 | SØ | 2 | |
| 2354 | 1 | Avslag | medioavslag | flint | 117 | 101 | SØ | 2 | |
| 2355 | 23 | Avslag | | flint | 117 | 102 | NV | 2 | |
| 2356 | 2 | Avslag | medioavslag | flint | 117 | 102 | NV | 2 | |
| 2357 | 44 | Avslag | | flint | 117 | 102 | SV | 2 | |
| 2358 | 8 | Avslag | | flint | 117 | 102 | SØ | 2 | |
| 2359 | 10 | Avslag | | flint | 117 | 121 | SV | 2 | |
| 2360 | 27 | Avslag | | flint | 117 | 121 | SØ | 2 | |
| 2361 | 1 | Retusjert avslag | retusjert medioavslag | flint | 117 | 121 | SØ | 2 | |
| 2362 | 1 | Avslag | medioavslag | flint | 117 | 121 | SØ | 2 | |
| 2363 | 31 | Avslag | | flint | 117 | 122 | NØ | 2 | |
| 2364 | 1 | Pilspiss | slipt pilspiss | skifer | 117 | 122 | NØ | 2 | |
| 2365 | 1 | Kjerne | bipolar kjerne | flint | 117 | 122 | NØ | 2 | |
| 2366 | 1 | Kjernefragment | bipolart kjernefragment | kvartsitt | 117 | 122 | NØ | 2 | |
| 2367 | 1 | Avslag | makroavslag | flint | 117 | 122 | NØ | 2 | |
| 2368 | 38 | Avslag | | flint | 117 | 122 | SV | 2 | |
| 2369 | 48 | Avslag | | flint | 117 | 122 | SØ | 2 | |
| 2370 | 24 | Avslag | | flint | 117 | 123 | NV | 2 | |
| 2371 | 1 | Avslag | | kvartsitt | 117 | 123 | NV | 2 | |
| 2372 | 1 | Retusjert avslag | retusjert medioavslag | flint | 117 | 123 | NV | 2 | |
| 2373 | 1 | Avslag | medioavslag | flint | 117 | 123 | NV | 2 | |
| 2374 | 8 | Avslag | | flint | 117 | 123 | NØ | 2 | |
| 2375 | 1 | Avslag | | chert | 117 | 123 | NØ | 2 | |
| 2376 | 1 | Kjernefragment | bipolart kjernefragment | kvarts | 117 | 123 | NØ | 2 | |
| 2377 | 24 | Avslag | | flint | 117 | 123 | SV | 2 | |
| 2378 | 1 | Fragment | slipt fragment | bergart | 117 | 123 | SV | 2 | |
| 2379 | 1 | Retusjert avslag | retusjert medioavslag | flint | 117 | 123 | SV | 2 | |
| 2380 | 14 | Avslag | | flint | 117 | 123 | SØ | 2 | |
| 2381 | 2 | Avslag | | flint | 118 | 123 | SV | 2 | |
| 2382 | 1 | Kjerne | bipolar kjerne | flint | 118 | 123 | SV | 2 | |
| 2383 | 4 | Avslag | | flint | 107 | 103 | NØ | 3 | |
| 2384 | 18 | Avslag | | flint | 107 | 104 | NV | 3 | |
| 2385 | 1 | Avslag | | kvarts | 107 | 104 | NV | 3 | |
| 2386 | 11 | Avslag | | flint | 107 | 104 | NØ | 3 | |
| 2387 | 1 | Kjerne | bipolar kjerne | flint | 107 | 104 | NØ | 3 | |

| Unr. | Antall | Gjenstand | Form | Materiale | X | Y | Kvadrant | Mek.Lag | Funnkontekst |
|-------------|---------------|--------------------|------------------------------|------------------|----------|----------|-----------------|----------------|---------------------|
| 2388 | 1 | Kjernefragment | bipolart kjernefragment | flint | 107 | 104 | NØ | 3 | |
| 2389 | 2 | Avslag | | flint | 107 | 105 | NV | 3 | |
| 2390 | 4 | Avslag | | flint | 107 | 106 | NV | 3 | |
| 2391 | 2 | Avslag | | flint | 107 | 106 | SV | 3 | |
| 2392 | 1 | Avslag | | flint | 107 | 106 | SØ | 3 | |
| 2393 | 10 | Avslag | | flint | 108 | 100 | NV | 3 | |
| 2394 | 1 | Avslag | | kvarts | 108 | 100 | NV | 3 | |
| 2395 | 1 | Avslag | medioavslag | flint | 108 | 100 | NV | 3 | |
| 2396 | 20 | Avslag | | flint | 108 | 100 | NØ | 3 | |
| 2397 | 1 | Avslag | | kvarts | 108 | 100 | NØ | 3 | |
| 2398 | 1 | Avslag | | kvartsitt | 108 | 100 | NØ | 3 | |
| 2399 | 8 | Avslag | | flint | 108 | 103 | NV | 3 | |
| 2400 | 10 | Avslag | | flint | 108 | 103 | NØ | 3 | |
| 2401 | 2 | Avslag | | flint | 108 | 103 | SV | 3 | |
| 2402 | 3 | Avslag | | flint | 108 | 103 | SØ | 3 | |
| 2403 | 5 | Avslag | | flint | 108 | 104 | NV | 3 | |
| 2404 | 1 | Avslag | medioavslag | flint | 108 | 104 | NV | 3 | |
| 2405 | 1 | Avslag | | flint | 108 | 104 | NØ | 3 | |
| 2406 | 1 | Avslag | | flint | 108 | 104 | SV | 3 | |
| 2407 | 3 | Avslag | | flint | 108 | 104 | SØ | 3 | |
| 2408 | 8 | Avslag | | flint | 108 | 105 | NV | 3 | |
| 2409 | 1 | Diagnostisk avslag | avslag fra skraperproduksjon | flint | 108 | 105 | NV | 3 | |
| 2410 | 8 | Avslag | | flint | 108 | 105 | NØ | 3 | |
| 2411 | 4 | Avslag | | flint | 108 | 105 | SØ | 3 | |
| 2412 | 5 | Avslag | | flint | 108 | 106 | NV | 3 | |
| 2413 | 2 | Avslag | | flint | 108 | 106 | SV | 3 | |
| 2414 | 4 | Avslag | | flint | 108 | 106 | SØ | 3 | |
| 2415 | 5 | Avslag | | flint | 108 | 107 | NV | 3 | |
| 2416 | 1 | Avslag | | flint | 108 | 107 | NØ | 3 | |
| 2417 | 1 | Avslag | | kvarts | 108 | 107 | NØ | 3 | |
| 2418 | 6 | Avslag | | flint | 108 | 108 | NV | 3 | |
| 2419 | 5 | Avslag | | flint | 109 | 99 | SV | 3 | |
| 2420 | 11 | Avslag | | flint | 109 | 99 | SØ | 3 | |
| 2421 | 23 | Avslag | | flint | 109 | 100 | SV | 3 | |
| 2422 | 11 | Avslag | | flint | 109 | 100 | SØ | 3 | |
| 2423 | 1 | Pilspiss | slipt pilspiss | skifer | 109 | 100 | SØ | 3 | |
| 2424 | 1 | Avslag | medioavslag | flint | 109 | 100 | SØ | 3 | |
| 2425 | 3 | Avslag | | flint | 109 | 102 | NV | 3 | |
| 2426 | 13 | Avslag | | flint | 109 | 102 | NØ | 3 | |
| 2427 | 10 | Avslag | | flint | 109 | 103 | NV | 3 | |
| 2428 | 1 | Avslag | | flint | 109 | 103 | NØ | 3 | |

| Unr. | Antall | Gjenstand | Form | Materiale | X | Y | Kvadrant | Mek.Lag | Funnkontekst |
|-------------|---------------|------------------|-------------------------|------------------|----------|----------|-----------------|----------------|---------------------|
| 2429 | 3 | Avslag | | flint | 109 | 103 | SV | 3 | |
| 2430 | 3 | Avslag | | flint | 109 | 103 | SØ | 3 | |
| 2431 | 5 | Avslag | | flint | 109 | 104 | NV | 3 | |
| 2432 | 5 | Avslag | | flint | 109 | 105 | SV | 3 | |
| 2433 | 13 | Avslag | | flint | 109 | 105 | SØ | 3 | |
| 2434 | 1 | Avslag | | bergkrystall | 109 | 105 | SØ | 3 | |
| 2435 | 1 | Avslag | | bergart | 109 | 106 | SV | 3 | |
| 2436 | 2 | Avslag | | flint | 109 | 106 | SØ | 3 | |
| 2437 | 4 | Avslag | | flint | 109 | 107 | SV | 3 | |
| 2438 | 1 | Avslag | | skifer | 109 | 107 | SV | 3 | |
| 2439 | 8 | Avslag | | flint | 109 | 107 | SØ | 3 | |
| 2440 | 6 | Avslag | | flint | 109 | 108 | SV | 3 | |
| 2441 | 4 | Avslag | | flint | 109 | 108 | SØ | 3 | |
| 2442 | 4 | Avslag | | flint | 110 | 99 | NØ | 3 | |
| 2443 | 10 | Avslag | | flint | 110 | 99 | SV | 3 | |
| 2444 | 7 | Avslag | | flint | 110 | 99 | SØ | 3 | |
| 2445 | 1 | Avslag | medioavslag | flint | 110 | 99 | SØ | 3 | |
| 2446 | 7 | Avslag | | flint | 110 | 100 | NV | 3 | |
| 2447 | 4 | Avslag | | flint | 110 | 100 | NØ | 3 | |
| 2448 | 4 | Avslag | | flint | 110 | 100 | SV | 3 | |
| 2449 | 1 | Avslag | | kvarts | 110 | 100 | SV | 3 | |
| 2450 | 1 | Pilspiss | slipt pilspiss | skifer | 110 | 100 | SV | 3 | |
| 2451 | 1 | Avslag | | flint | 110 | 100 | SØ | 3 | |
| 2452 | 3 | Avslag | | flint | 110 | 101 | NØ | 3 | |
| 2453 | 3 | Avslag | | flint | 110 | 101 | SØ | 3 | |
| 2454 | 58 | Avslag | | flint | 110 | 102 | NV | 3 | |
| 2455 | 1 | Avslag | | kvarts | 110 | 102 | NV | 3 | |
| 2456 | 2 | Avslag | | kvartsitt | 110 | 102 | NV | 3 | |
| 2457 | 1 | Avslag | medioavslag | flint | 110 | 102 | NV | 3 | |
| 2458 | 79 | Avslag | | flint | 110 | 102 | NØ | 3 | |
| 2459 | 1 | Avslag | | kvarts | 110 | 102 | NØ | 3 | |
| 2460 | 1 | Avslag | | kvartsitt | 110 | 102 | NØ | 3 | |
| 2461 | 1 | Øks | firesidig bergartsøks | bergart | 110 | 102 | NØ | 3 | |
| 2462 | 1 | Skraper | ubestemt skraper | flint | 110 | 102 | NØ | 3 | |
| 2463 | 1 | Kjerne | bipolar kjerne | flint | 110 | 102 | NØ | 3 | |
| 2464 | 1 | Kjernefragment | bipolart kjernefragment | flint | 110 | 102 | NØ | 3 | |
| 2465 | 23 | Avslag | | flint | 110 | 102 | SV | 3 | Prøvekvadrant |
| 2466 | 42 | Avslag | | flint | 110 | 102 | SØ | 3 | |
| 2467 | 13 | Avslag | | flint | 110 | 103 | NV | 3 | |
| 2468 | 1 | Avslag | | bergart | 110 | 103 | NV | 3 | |
| 2469 | 1 | Kjerne | bipolar kjerne | flint | 110 | 103 | NV | 3 | |
| 2470 | 4 | Avslag | | flint | 110 | 103 | NØ | 3 | |

| Unr. | Antall | Gjenstand | Form | Materiale | X | Y | Kvadrant | Mek.Lag | Funnkontekst |
|-------------|---------------|------------------|-----------------------|------------------|----------|----------|-----------------|----------------|---------------------|
| 2471 | 1 | Pilspiss | slipt pilspiss | skifer | 110 | 103 | NØ | 3 | |
| 2472 | 10 | Avslag | | flint | 110 | 103 | SV | 3 | |
| 2473 | 1 | Avslag | | kvarts | 110 | 103 | SV | 3 | |
| 2474 | 1 | Kjerne | bipolar kjerne | flint | 110 | 103 | SV | 3 | |
| 2475 | 14 | Avslag | | flint | 110 | 103 | SØ | 3 | |
| 2476 | 1 | Avslag | | kvarts | 110 | 103 | SØ | 3 | |
| 2477 | 6 | Avslag | | flint | 110 | 104 | NV | 3 | |
| 2478 | 1 | Avslag | | flint | 110 | 104 | NØ | 3 | |
| 2479 | 1 | Avslag | | flint | 110 | 104 | SV | 3 | |
| 2480 | 8 | Avslag | | flint | 110 | 105 | NV | 3 | |
| 2481 | 18 | Avslag | | flint | 110 | 105 | NØ | 3 | |
| 2482 | 1 | Retusjert avslag | retusjert medioavslag | flint | 110 | 105 | NØ | 3 | |
| 2483 | 2 | Avslag | | flint | 110 | 105 | SV | 3 | |
| 2484 | 7 | Avslag | | flint | 110 | 105 | SØ | 3 | |
| 2485 | 1 | Avslag | | kvarts | 110 | 105 | SØ | 3 | |
| 2486 | 14 | Avslag | | flint | 110 | 106 | NV | 3 | |
| 2487 | 1 | Avslag | | kvartsitt | 110 | 106 | NV | 3 | |
| 2488 | 1 | Fragment | slipt fragment | skifer | 110 | 106 | NV | 3 | |
| 2489 | 7 | Avslag | | flint | 110 | 106 | SV | 3 | |
| 2490 | 12 | Avslag | | flint | 110 | 106 | SØ | 3 | |
| 2491 | 1 | Pilspiss | slipt pilspiss | skifer | 110 | 106 | SØ | 3 | |
| 2492 | 5 | Avslag | | flint | 110 | 107 | NV | 3 | |
| 2493 | 1 | Avslag | | flint | 110 | 107 | NØ | 3 | |
| 2494 | 6 | Avslag | | flint | 110 | 107 | SV | 3 | |
| 2495 | 43 | Avslag | | flint | 110 | 107 | SØ | 3 | |
| 2496 | 2 | Avslag | | kvarts | 110 | 107 | SØ | 3 | |
| 2497 | 1 | Kjerne | bipolar kjerne | flint | 110 | 107 | SØ | 3 | |
| 2498 | 6 | Avslag | | flint | 111 | 102 | SV | 3 | |
| 2499 | 1 | Avslag | | kvarts | 111 | 102 | SV | 3 | |
| 2500 | 29 | Avslag | | flint | 111 | 102 | SØ | 3 | |
| 2501 | 1 | Avslag | | kvarts | 111 | 102 | SØ | 3 | |
| 2502 | 1 | Kniv | avslagskniv | flint | 111 | 102 | SØ | 3 | |
| 2503 | 1 | Retusjert avslag | retusjert medioavslag | flint | 111 | 102 | SØ | 3 | |
| 2504 | 8 | Avslag | | flint | 111 | 103 | NØ | 3 | |
| 2505 | 1 | Skrapere | endeskrapere | flint | 111 | 103 | NØ | 3 | |
| 2506 | 1 | Retusjert avslag | retusjert medioavslag | flint | 111 | 103 | NØ | 3 | |
| 2507 | 1 | Avslag | | flint | 111 | 103 | SV | 3 | |
| 2508 | 1 | Avslag | | bergart | 111 | 103 | SV | 3 | |
| 2509 | 1 | Avslag | | flint | 111 | 103 | SØ | 3 | |
| 2510 | 1 | Avslag | | flint | 111 | 104 | NV | 3 | |
| 2511 | 3 | Avslag | | flint | 111 | 104 | SV | 3 | |
| 2512 | 3 | Avslag | | flint | 111 | 104 | SØ | 3 | |

| Unr. | Antall | Gjenstand | Form | Materiale | X | Y | Kvadrant | Mek.Lag | Funnkontekst |
|------|--------|--------------------|-------------------------|--------------|-----|-----|----------|---------|---------------|
| 2513 | 2 | Avslag | | flint | 111 | 105 | NV | 3 | |
| 2514 | 1 | Skrapere | ubestemt skrapere | flint | 111 | 105 | NV | 3 | |
| 2515 | 5 | Avslag | | flint | 111 | 105 | NØ | 3 | |
| 2516 | 5 | Avslag | | flint | 111 | 105 | SV | 3 | |
| 2517 | 11 | Avslag | | flint | 111 | 105 | SØ | 3 | |
| 2518 | 4 | Avslag | | flint | 111 | 106 | NV | 3 | |
| 2519 | 7 | Avslag | | flint | 111 | 106 | NØ | 3 | |
| 2520 | 1 | Retusjert avslag | retusjert medioavslag | flint | 111 | 106 | NØ | 3 | |
| 2521 | 20 | Avslag | | flint | 111 | 106 | SV | 3 | |
| 2522 | 1 | Avslag | | bergkrystall | 111 | 106 | SV | 3 | |
| 2523 | 1 | Diagnostisk avslag | hengselflekke | flint | 111 | 106 | SV | 3 | |
| 2524 | 8 | Avslag | | flint | 111 | 106 | SØ | 3 | |
| 2525 | 1 | Retusjert avslag | retusjert medioavslag | flint | 111 | 106 | SØ | 3 | |
| 2526 | 14 | Avslag | | flint | 111 | 107 | NV | 3 | |
| 2527 | 4 | Avslag | | flint | 111 | 107 | SØ | 3 | |
| 2528 | 3 | Avslag | | flint | 108 | 106 | NV | 4 | |
| 2529 | 1 | Avslag | | flint | 108 | 106 | NØ | 4 | |
| 2530 | 1 | Avslag | | flint | 109 | 105 | SV | 4 | |
| 2531 | 2 | Avslag | | flint | 109 | 105 | SØ | 4 | |
| 2532 | 2 | Avslag | | flint | 109 | 106 | SV | 4 | Prøvekvadrant |
| 2533 | 41 | Avslag | | flint | 110 | 110 | SV | 1 | Prøvekvadrant |
| 2534 | 5 | Avslag | | flint | 110 | 110 | SV | 2 | Prøvekvadrant |
| 2535 | 5 | Avslag | | flint | 110 | 114 | SV | 1 | Prøvekvadrant |
| 2536 | 10 | Avslag | | flint | 114 | 106 | SØ | 2 | Prøvekvadrant |
| 2537 | 1 | Slipestein | pimpstein med bruksspor | pimpstein | 114 | 106 | SØ | 2 | Prøvekvadrant |
| 2538 | 1 | Kjernefragment | bipolart kjernefragment | flint | 114 | 106 | SØ | 2 | Prøvekvadrant |
| 2539 | 6 | Avslag | | flint | 114 | 106 | SØ | 3 | Prøvekvadrant |
| 2540 | 1 | Avslag | medioavslag | flint | 114 | 106 | SØ | 3 | Prøvekvadrant |
| 2541 | 60 | Avslag | | flint | 114 | 110 | SØ | 1 | Prøvekvadrant |
| 2542 | 1 | Avslag | | bergart | 114 | 110 | SØ | 1 | Prøvekvadrant |
| 2543 | 1 | Kjerne | bipolar kjerne | flint | 114 | 110 | SØ | 1 | Prøvekvadrant |
| 2544 | 1 | Kjernefragment | bipolart kjernefragment | flint | 114 | 110 | SØ | 1 | Prøvekvadrant |
| 2545 | 16 | Avslag | | flint | 114 | 110 | SØ | 2 | Prøvekvadrant |
| 2546 | 1 | Kjerne | ubestemt kjerne | flint | 114 | 110 | SØ | 2 | Prøvekvadrant |
| 2547 | 1 | Kjerne | bipolar kjerne | flint | 114 | 110 | SØ | 2 | Prøvekvadrant |
| 2548 | 1 | Kjernefragment | bipolart kjernefragment | flint | 114 | 110 | SØ | 2 | Prøvekvadrant |
| 2549 | 1 | Avslag | | flint | 114 | 110 | SØ | 3 | Prøvekvadrant |
| 2550 | 53 | Avslag | | flint | 114 | 114 | SV | 1 | Prøvekvadrant |
| 2551 | 1 | Flekke | mikroflekke | flint | 114 | 114 | SV | 1 | Prøvekvadrant |
| 2552 | 1 | Slipestein | pimpstein med bruksspor | pimpstein | 114 | 114 | SV | 1 | Prøvekvadrant |
| 2553 | 1 | Kjerne | bipolar kjerne | flint | 114 | 114 | SV | 1 | Prøvekvadrant |

| Unr. | Antall | Gjenstand | Form | Materiale | X | Y | Kvadrant | Mek.Lag | Funnkontekst |
|------|--------|----------------|-------------------------|-----------|-----|-----|----------|---------|---------------|
| 2554 | 1 | Kjernefragment | bipolart kjernefragment | flint | 114 | 114 | SV | 1 | Prøvekvadrant |
| 2555 | 20 | Avslag | | flint | 114 | 114 | SV | 2 | Prøvekvadrant |
| 2556 | 1 | Slipestein | pimpstein med bruksspor | pimpstein | 114 | 114 | SV | 2 | Prøvekvadrant |
| 2557 | 1 | Slipestein | pimpstein med bruksspor | pimpstein | 114 | 114 | SV | 2 | Prøvekvadrant |
| 2558 | 20 | Avslag | | flint | 114 | 118 | SV | 1 | Prøvekvadrant |
| 2559 | 1 | Avslag | | kvarts | 114 | 118 | SV | 1 | Prøvekvadrant |
| 2560 | 1 | Avslag | medioavslag | flint | 114 | 118 | SV | 1 | Prøvekvadrant |
| 2561 | 1 | Kernefragment | bipolart kernefragment | flint | 114 | 118 | SV | 1 | Prøvekvadrant |
| 2562 | 24 | Avslag | | flint | 114 | 118 | SV | 2 | Prøvekvadrant |
| 2563 | 1 | Avslag | | kvarts | 114 | 118 | SV | 2 | Prøvekvadrant |
| 2564 | 3 | Avslag | | flint | 114 | 118 | SV | 3 | Prøvekvadrant |
| 2565 | 7 | Avslag | | flint | 117 | 101 | SV | 3 | Prøvekvadrant |
| 2566 | 1 | Avslag | medioavslag | flint | 117 | 101 | SV | 3 | Prøvekvadrant |
| 2567 | 5 | Avslag | | flint | 117 | 105 | SØ | 2 | Prøvekvadrant |
| 2568 | 18 | Avslag | | flint | 117 | 105 | SØ | 3 | Prøvekvadrant |
| 2569 | 1 | Avslag | | kvarts | 117 | 105 | SØ | 3 | Prøvekvadrant |
| 2570 | 1 | Kerne | bipolar kerne | flint | 117 | 105 | SØ | 3 | Prøvekvadrant |
| 2571 | 1 | Kernefragment | bipolart kernefragment | flint | 117 | 105 | SØ | 3 | Prøvekvadrant |
| 2572 | 45 | Avslag | | flint | 117 | 105 | SØ | 4 | Prøvekvadrant |
| 2573 | 2 | Avslag | | kvarts | 117 | 105 | SØ | 4 | Prøvekvadrant |
| 2574 | 1 | Kerne | bipolar kerne | flint | 117 | 105 | SØ | 4 | Prøvekvadrant |
| 2575 | 1 | Kerne | bipolar kerne | flint | 117 | 105 | SØ | 4 | Prøvekvadrant |
| 2576 | 2 | Kernefragment | bipolart kernefragment | flint | 117 | 105 | SØ | 4 | Prøvekvadrant |
| 2577 | 35 | Avslag | | flint | 117 | 105 | SØ | 5 | Prøvekvadrant |
| 2578 | 1 | Kerne | ubestemt kerne | flint | 117 | 105 | SØ | 5 | Prøvekvadrant |
| 2579 | 1 | Kerne | bipolar kerne | flint | 117 | 105 | SØ | 5 | Prøvekvadrant |
| 2580 | 1 | Kerne | bipolar kerne | flint | 117 | 105 | SØ | 5 | Prøvekvadrant |
| 2581 | 7 | Avslag | | flint | 117 | 105 | SØ | 6 | Prøvekvadrant |
| 2582 | 1 | Slipestein | pimpstein med bruksspor | pimpstein | 117 | 105 | SØ | 6 | Prøvekvadrant |
| 2583 | 1 | Avslag | medioavslag | flint | 117 | 105 | SØ | 6 | Prøvekvadrant |
| 2584 | 39 | Avslag | | flint | 117 | 110 | SV | 1 | Prøvekvadrant |
| 2585 | 3 | Avslag | | kvarts | 117 | 110 | SV | 1 | Prøvekvadrant |
| 2586 | 1 | Kernefragment | bipolart kernefragment | flint | 117 | 110 | SV | 1 | Prøvekvadrant |
| 2587 | 53 | Avslag | | flint | 117 | 110 | SV | 2 | Prøvekvadrant |
| 2588 | 1 | Kerne | bipolar kerne | flint | 117 | 110 | SV | 2 | Prøvekvadrant |
| 2589 | 1 | Kerne | bipolar kerne | flint | 117 | 110 | SV | 2 | Prøvekvadrant |
| 2590 | 7 | Avslag | | flint | 117 | 110 | SV | 3 | Prøvekvadrant |
| 2591 | 1 | Flekke | mikrflekke | flint | 117 | 110 | SV | 3 | Prøvekvadrant |
| 2592 | 26 | Avslag | | flint | 117 | 114 | SV | 1 | Prøvekvadrant |
| 2593 | 2 | Avslag | | kvarts | 117 | 114 | SV | 1 | Prøvekvadrant |
| 2594 | 1 | Avslag | | bergart | 117 | 114 | SV | 1 | Prøvekvadrant |

| Unr. | Antall | Gjenstand | Form | Materiale | X | Y | Kvadrant | Mek.Lag | Funnkontekst |
|------|--------|-----------------------|-------------------------|-----------|-----|-----|----------|---------|---|
| 2595 | 4 | Avslag | | flint | 117 | 114 | SV | 2 | Prøvekvadrant |
| 2596 | 27 | Avslag | | flint | 119 | 119 | SV | 1 | Prøvekvadrant |
| 2597 | 2 | Avslag | | kvarts | 119 | 119 | SV | 1 | Prøvekvadrant |
| 2598 | 1 | Kjerne | bipolar kjerne | flint | 119 | 119 | SV | 1 | Prøvekvadrant |
| 2599 | 1 | Retusjert avslag | retusjert medioavslag | flint | 119 | 119 | SV | 1 | Prøvekvadrant |
| 2600 | 2 | Avslag | | flint | 119 | 119 | SV | 2 | Prøvekvadrant |
| 2601 | 25 | Avslag | | flint | | | | | Opprensing under steinlegging A204 da denne ble sett på som mulig grav, senere avskrevet. |
| 2602 | 18 | Avslag | | flint | | | | | Opprensing av slam topp lag 3. |
| 2603 | 1 | Avslag | medioavslag | flint | | | | | Opprensing av slam topp lag 3. |
| 2604 | 1 | Kjernefragment | bipolart kjernefragment | flint | | | | | Opprensing av slam topp lag 3. |
| 2605 | 38 | Avslag | | flint | | | | | Opprensing av profilbenk før dokumentasjon. Profil 2574, søndre side. |
| 2606 | 1 | Avslag | | bergart | | | | | Opprensing av profilbenk før dokumentasjon. Profil 2574, søndre side. |
| 2607 | 1 | Kjerne | ubestemt kjerne | flint | | | | | Opprensing av profilbenk før dokumentasjon. Profil 2574, søndre side. |
| 2608 | 38 | Avslag | | flint | | | | | Opprensing av profilbenk før dokumentasjon. Profil 2575, nordre side. |
| 2609 | 26 | Avslag | | flint | | | | | Løsfunn |
| 2610 | 4 | Avslag | | kvarts | | | | | Løsfunn |
| 2611 | 1 | Avslag | | kvartsitt | | | | | Løsfunn |
| 2612 | 1 | Skraper | endeskrapere | flint | | | | | Løsfunn |
| 2613 | 1 | Kjerne | ubestemt kjerne | flint | | | | | Løsfunn |
| 2614 | 1 | Kjerne | bipolar kjerne | flint | | | | | Løsfunn |
| 2615 | 1 | Avslag | makroavslag | flint | | | | | Løsfunn |
| 2616 | 1 | Avslag | medioavslag | flint | | | | | Løsfunn |
| 2617 | 1 | Kjernefragment | bipolart kjernefragment | flint | | | | | Løsfunn |
| 2618 | 1 | Osteologisk materiale | brent animalosteologisk | bein | 107 | 102 | NØ | 1 | |
| 2619 | 1 | Osteologisk materiale | brent animalosteologisk | bein | 107 | 103 | NV | 1 | |
| 2620 | 1 | Osteologisk materiale | brent animalosteologisk | bein | 107 | 103 | NØ | 1 | |
| 2621 | 1 | Osteologisk materiale | brent animalosteologisk | bein | 107 | 104 | NV | 1 | |
| 2622 | 1 | Osteologisk materiale | brent animalosteologisk | bein | 107 | 104 | NØ | 1 | |
| 2623 | 1 | Osteologisk materiale | brent animalosteologisk | bein | 107 | 105 | NV | 1 | |

| Unr. | Antall | Gjenstand | Form | Materiale | X | Y | Kvadrant | Mek.Lag | Funnkontekst |
|-------------|---------------|-----------------------|-------------------------|------------------|----------|----------|-----------------|----------------|---------------------|
| 2624 | 1 | Osteologisk materiale | brent animalosteologisk | bein | 108 | 102 | NV | 1 | |
| 2626 | 1 | Osteologisk materiale | brent animalosteologisk | bein | 108 | 102 | NØ | 1 | |
| 2627 | 1 | Osteologisk materiale | brent animalosteologisk | bein | 108 | 102 | SV | 1 | |
| 2628 | 1 | Osteologisk materiale | brent animalosteologisk | bein | 108 | 102 | SØ | 1 | |
| 2629 | 1 | Osteologisk materiale | brent animalosteologisk | bein | 108 | 103 | NV | 1 | |
| 2630 | 1 | Osteologisk materiale | brent animalosteologisk | bein | 108 | 103 | NØ | 1 | |
| 2631 | 1 | Osteologisk materiale | brent animalosteologisk | bein | 108 | 103 | SV | 1 | |
| 2632 | 1 | Osteologisk materiale | brent animalosteologisk | bein | 108 | 103 | SØ | 1 | |
| 2633 | 1 | Osteologisk materiale | brent animalosteologisk | bein | 108 | 104 | NV | 1 | |
| 2634 | 1 | Osteologisk materiale | brent animalosteologisk | bein | 108 | 104 | NØ | 1 | |
| 2635 | 1 | Osteologisk materiale | brent animalosteologisk | bein | 108 | 104 | SV | 1 | |
| 2636 | 1 | Osteologisk materiale | brent animalosteologisk | bein | 108 | 104 | SØ | 1 | |
| 2637 | 1 | Osteologisk materiale | brent animalosteologisk | tann | 108 | 104 | SØ | 1 | |
| 2638 | 1 | Osteologisk materiale | brent animalosteologisk | bein | 108 | 105 | SV | 1 | |
| 2639 | 1 | Osteologisk materiale | brent animalosteologisk | bein | 108 | 108 | NØ | 1 | |
| 2640 | 1 | Osteologisk materiale | brent animalosteologisk | bein | 109 | 102 | NV | 1 | |
| 2641 | 1 | Osteologisk materiale | brent animalosteologisk | bein | 109 | 102 | NØ | 1 | |
| 2642 | 1 | Osteologisk materiale | brent animalosteologisk | bein | 109 | 102 | SV | 1 | |
| 2643 | 1 | Osteologisk materiale | brent animalosteologisk | bein | 109 | 102 | SØ | 1 | |
| 2644 | 1 | Osteologisk materiale | brent animalosteologisk | bein | 109 | 103 | NV | 1 | |
| 2645 | 1 | Osteologisk materiale | brent animalosteologisk | bein | 109 | 103 | NØ | 1 | |
| 2646 | 1 | Osteologisk materiale | brent animalosteologisk | bein | 109 | 103 | SV | 1 | |
| 2647 | 1 | Osteologisk materiale | brent animalosteologisk | bein | 109 | 104 | NV | 1 | |
| 2648 | 1 | Osteologisk materiale | brent animalosteologisk | bein | 109 | 104 | SV | 1 | |
| 2649 | 1 | Osteologisk materiale | brent animalosteologisk | bein | 109 | 104 | SØ | 1 | |
| 2650 | 1 | Osteologisk materiale | brent animalosteologisk | bein | 109 | 107 | NØ | 1 | |
| 2651 | 1 | Osteologisk materiale | brent animalosteologisk | bein | 110 | 102 | NV | 1 | |
| 2652 | 1 | Osteologisk materiale | brent animalosteologisk | bein | 110 | 102 | NØ | 1 | |
| 2653 | 1 | Osteologisk materiale | brent animalosteologisk | bein | 110 | 102 | SV | 1 | Prøvekvadrant |
| 2654 | 1 | Osteologisk materiale | brent animalosteologisk | bein | 110 | 102 | SØ | 1 | |
| 2655 | 1 | Osteologisk materiale | brent animalosteologisk | bein | 110 | 103 | NV | 1 | |
| 2656 | 1 | Osteologisk materiale | brent animalosteologisk | bein | 110 | 103 | SV | 1 | |
| 2657 | 1 | Osteologisk materiale | brent animalosteologisk | bein | 110 | 103 | SØ | 1 | |
| 2658 | 1 | Osteologisk materiale | brent animalosteologisk | bein | 110 | 104 | NV | 1 | |
| 2659 | 1 | Osteologisk materiale | brent animalosteologisk | bein | 110 | 104 | SV | 1 | |
| 2660 | 1 | Osteologisk materiale | brent animalosteologisk | bein | 110 | 110 | SV | 1 | Prøvekvadrant |

| Unr. | Antall | Gjenstand | Form | Materiale | X | Y | Kvadrant | Mek.Lag | Funnkontekst |
|-------------|---------------|-----------------------|-------------------------|------------------|----------|----------|-----------------|----------------|---------------------|
| 2661 | 1 | Osteologisk materiale | brent animalosteologisk | bein | 110 | 114 | SV | 1 | Prøvekvadrant |
| 2662 | 1 | Osteologisk materiale | brent animalosteologisk | bein | 111 | 101 | NØ | 1 | |
| 2663 | 1 | Osteologisk materiale | brent animalosteologisk | bein | 111 | 101 | SØ | 1 | |
| 2664 | 1 | Osteologisk materiale | brent animalosteologisk | bein | 111 | 102 | NV | 1 | |
| 2665 | 1 | Osteologisk materiale | brent animalosteologisk | bein | 111 | 102 | NØ | 1 | |
| 2666 | 1 | Osteologisk materiale | brent animalosteologisk | bein | 111 | 102 | SØ | 1 | |
| 2667 | 1 | Osteologisk materiale | brent animalosteologisk | bein | 111 | 102 | SV | 1 | |
| 2668 | 1 | Osteologisk materiale | | tann | 111 | 102 | SV | 1 | |
| 2669 | 1 | Osteologisk materiale | brent animalosteologisk | bein | 111 | 103 | NV | 1 | |
| 2670 | 1 | Osteologisk materiale | brent animalosteologisk | bein | 111 | 103 | NØ | 1 | |
| 2671 | 1 | Osteologisk materiale | brent animalosteologisk | bein | 111 | 103 | SV | 1 | |
| 2672 | 1 | Osteologisk materiale | brent animalosteologisk | bein | 111 | 103 | SØ | 1 | |
| 2673 | 1 | Osteologisk materiale | brent animalosteologisk | bein | 111 | 104 | NV | 1 | |
| 2674 | 1 | Osteologisk materiale | brent animalosteologisk | bein | 111 | 104 | SV | 1 | |
| 2675 | 1 | Osteologisk materiale | brent animalosteologisk | bein | 112 | 101 | NØ | 1 | |
| 2676 | 1 | Osteologisk materiale | brent animalosteologisk | bein | 112 | 101 | SØ | 1 | |
| 2677 | 1 | Osteologisk materiale | brent animalosteologisk | bein | 112 | 102 | SV | 1 | |
| 2678 | 1 | Osteologisk materiale | brent animalosteologisk | bein | 112 | 102 | SØ | 1 | |
| 2679 | 1 | Osteologisk materiale | brent animalosteologisk | bein | 112 | 103 | NV | 1 | |
| 2680 | 1 | Osteologisk materiale | brent animalosteologisk | bein | 112 | 103 | SV | 1 | |
| 2681 | 1 | Osteologisk materiale | brent animalosteologisk | bein | 112 | 103 | SØ | 1 | |
| 2682 | 1 | Osteologisk materiale | brent animalosteologisk | bein | 112 | 104 | SV | 1 | |
| 2683 | 1 | Osteologisk materiale | brent animalosteologisk | bein | 112 | 104 | SØ | 1 | |
| 2684 | 1 | Osteologisk materiale | brent animalosteologisk | bein | 113 | 101 | SV | 1 | |
| 2685 | 1 | Osteologisk materiale | brent animalosteologisk | bein | 113 | 101 | SØ | 1 | |
| 2686 | 1 | Osteologisk materiale | brent animalosteologisk | bein | 113 | 103 | NØ | 1 | |
| 2687 | 1 | Osteologisk materiale | brent animalosteologisk | bein | 113 | 104 | NV | 1 | |
| 2688 | 1 | Osteologisk materiale | brent animalosteologisk | bein | 114 | 101 | NV | 1 | |
| 2689 | 1 | Osteologisk materiale | brent animalosteologisk | bein | 114 | 101 | NØ | 1 | |
| 2690 | 1 | Osteologisk materiale | brent animalosteologisk | bein | 114 | 101 | SØ | 1 | |
| 2691 | 1 | Osteologisk materiale | brent animalosteologisk | bein | 114 | 102 | SØ | 1 | Prøvekvadrant |
| 2692 | 1 | Osteologisk materiale | brent animalosteologisk | bein | 114 | 103 | NV | 1 | |
| 2693 | 1 | Osteologisk materiale | brent animalosteologisk | bein | 114 | 103 | SV | 1 | |
| 2694 | 1 | Osteologisk materiale | brent animalosteologisk | bein | 114 | 103 | SØ | 1 | |
| 2695 | 1 | Osteologisk materiale | brent animalosteologisk | bein | 114 | 104 | SV | 1 | |
| 2696 | 1 | Osteologisk materiale | brent animalosteologisk | bein | 114 | 120 | SV | 1 | |

| Unr. | Antall | Gjenstand | Form | Materiale | X | Y | Kvadrant | Mek.Lag | Funnkontekst |
|-------------|---------------|-----------------------|-------------------------|------------------|----------|----------|-----------------|----------------|---------------------|
| 2697 | 1 | Osteologisk materiale | brent animalosteologisk | bein | 115 | 101 | NV | 1 | |
| 2698 | 1 | Osteologisk materiale | brent animalosteologisk | bein | 115 | 101 | NØ | 1 | |
| 2699 | 1 | Osteologisk materiale | brent animalosteologisk | bein | 115 | 101 | SØ | 1 | |
| 2700 | 1 | Osteologisk materiale | brent animalosteologisk | bein | 115 | 102 | NV | 1 | |
| 2701 | 1 | Osteologisk materiale | brent animalosteologisk | bein | 115 | 102 | NØ | 1 | |
| 2702 | 1 | Osteologisk materiale | brent animalosteologisk | bein | 115 | 102 | SØ | 1 | |
| 2703 | 1 | Osteologisk materiale | brent animalosteologisk | bein | 115 | 104 | SV | 1 | |
| 2704 | 1 | Osteologisk materiale | brent animalosteologisk | bein | 115 | 104 | SØ | 1 | |
| 2705 | 1 | Osteologisk materiale | brent animalosteologisk | bein | 115 | 124 | NØ | 1 | |
| 2706 | 1 | Osteologisk materiale | brent animalosteologisk | bein | 116 | 101 | NV | 1 | |
| 2707 | 1 | Osteologisk materiale | brent animalosteologisk | bein | 116 | 101 | NØ | 1 | |
| 2708 | 1 | Osteologisk materiale | brent animalosteologisk | bein | 116 | 101 | SV | 1 | |
| 2709 | 1 | Osteologisk materiale | brent animalosteologisk | tann | 116 | 101 | SV | 1 | |
| 2710 | 1 | Osteologisk materiale | brent animalosteologisk | bein | 116 | 101 | SØ | 1 | |
| 2711 | 1 | Osteologisk materiale | brent animalosteologisk | bein | 116 | 102 | NV | 1 | |
| 2712 | 1 | Osteologisk materiale | brent animalosteologisk | bein | 116 | 102 | NØ | 1 | |
| 2713 | 1 | Osteologisk materiale | brent animalosteologisk | bein | 116 | 102 | SV | 1 | |
| 2714 | 1 | Osteologisk materiale | brent animalosteologisk | tann | 116 | 102 | SV | 1 | |
| 2715 | 1 | Osteologisk materiale | brent animalosteologisk | bein | 116 | 102 | SØ | 1 | |
| 2716 | 1 | Osteologisk materiale | brent animalosteologisk | bein | 116 | 103 | NV | 1 | |
| 2717 | 1 | Osteologisk materiale | brent animalosteologisk | bein | 116 | 103 | NØ | 1 | |
| 2718 | 1 | Osteologisk materiale | brent animalosteologisk | bein | 116 | 103 | SV | 1 | |
| 2719 | 1 | Osteologisk materiale | brent animalosteologisk | bein | 116 | 103 | SØ | 1 | |
| 2720 | 1 | Osteologisk materiale | brent animalosteologisk | bein | 116 | 126 | SV | 1 | |
| 2721 | 1 | Osteologisk materiale | brent animalosteologisk | bein | 116 | 126 | SØ | 1 | |
| 2722 | 1 | Osteologisk materiale | brent animalosteologisk | bein | 117 | 102 | SV | 1 | |
| 2723 | 1 | Osteologisk materiale | brent animalosteologisk | bein | 117 | 102 | SØ | 1 | |
| 2724 | 1 | Osteologisk materiale | brent animalosteologisk | bein | 117 | 110 | SV | 1 | Prøvekvadrant |
| 2725 | 1 | Osteologisk materiale | brent animalosteologisk | bein | 117 | 120 | NV | 1 | |
| 2726 | 1 | Osteologisk materiale | brent animalosteologisk | bein | 117 | 120 | NØ | 1 | |
| 2727 | 1 | Osteologisk materiale | brent animalosteologisk | bein | 117 | 121 | NØ | 1 | |
| 2728 | 1 | Osteologisk materiale | brent animalosteologisk | bein | 117 | 122 | NV | 1 | |
| 2729 | 1 | Osteologisk materiale | brent animalosteologisk | bein | 117 | 124 | NØ | 1 | |
| 2730 | 1 | Osteologisk materiale | brent animalosteologisk | bein | 118 | 124 | SØ | 1 | |
| 2731 | 1 | Osteologisk materiale | brent animalosteologisk | bein | 118 | 125 | SØ | 1 | |
| 2732 | 1 | Osteologisk materiale | brent animalosteologisk | bein | 119 | 123 | NV | 1 | |

| Unr. | Antall | Gjenstand | Form | Materiale | X | Y | Kvadrant | Mek.Lag | Funnkontekst |
|-------------|---------------|-----------------------|-------------------------|------------------|----------|----------|-----------------|----------------|---------------------|
| 2733 | 1 | Osteologisk materiale | brent animalosteologisk | bein | 119 | 123 | NØ | 1 | |
| 2734 | 1 | Osteologisk materiale | brent animalosteologisk | bein | 119 | 123 | SV | 1 | |
| 2735 | 1 | Osteologisk materiale | brent animalosteologisk | bein | 119 | 124 | NV | 1 | |
| 2736 | 1 | Osteologisk materiale | brent animalosteologisk | bein | 119 | 124 | SØ | 1 | |
| 2737 | 1 | Osteologisk materiale | brent animalosteologisk | bein | 119 | 125 | SV | 1 | |
| 2738 | 1 | Osteologisk materiale | brent animalosteologisk | bein | 119 | 127 | SV | 1 | |
| 2739 | 1 | Osteologisk materiale | brent animalosteologisk | bein | 120 | 124 | SV | 1 | |
| 2740 | 1 | Osteologisk materiale | brent animalosteologisk | bein | 109 | 103 | SØ | 1 | |
| 2741 | 1 | Osteologisk materiale | brent animalosteologisk | bein | 107 | 102 | NV | 2 | |
| 2742 | 1 | Osteologisk materiale | brent animalosteologisk | bein | 107 | 102 | NØ | 2 | |
| 2743 | 1 | Osteologisk materiale | brent animalosteologisk | bein | 107 | 103 | NV | 2 | |
| 2744 | 1 | Osteologisk materiale | brent animalosteologisk | bein | 107 | 103 | NØ | 2 | |
| 2745 | 1 | Osteologisk materiale | brent animalosteologisk | bein | 107 | 104 | NV | 2 | |
| 2746 | 1 | Osteologisk materiale | brent animalosteologisk | bein | 107 | 104 | NØ | 2 | |
| 2747 | 1 | Osteologisk materiale | brent animalosteologisk | bein | 108 | 102 | NV | 2 | |
| 2748 | 1 | Osteologisk materiale | brent animalosteologisk | bein | 108 | 102 | NØ | 2 | |
| 2749 | 1 | Osteologisk materiale | brent animalosteologisk | bein | 108 | 102 | SØ | 2 | |
| 2750 | 1 | Osteologisk materiale | brent animalosteologisk | bein | 108 | 103 | NV | 2 | |
| 2751 | 1 | Osteologisk materiale | brent animalosteologisk | bein | 108 | 103 | NØ | 2 | |
| 2752 | 1 | Osteologisk materiale | brent animalosteologisk | bein | 108 | 104 | SV | 2 | |
| 2753 | 1 | Osteologisk materiale | brent animalosteologisk | bein | 109 | 100 | NV | 2 | |
| 2754 | 1 | Osteologisk materiale | brent animalosteologisk | bein | 109 | 101 | NØ | 2 | |
| 2755 | 1 | Osteologisk materiale | brent animalosteologisk | bein | 109 | 102 | NV | 2 | |
| 2756 | 1 | Osteologisk materiale | brent animalosteologisk | bein | 109 | 102 | NØ | 2 | |
| 2757 | 1 | Osteologisk materiale | brent animalosteologisk | bein | 109 | 102 | SV | 2 | |
| 2758 | 1 | Osteologisk materiale | brent animalosteologisk | bein | 109 | 102 | SØ | 2 | |
| 2759 | 1 | Osteologisk materiale | brent animalosteologisk | bein | 109 | 103 | NV | 2 | |
| 2760 | 1 | Osteologisk materiale | brent animalosteologisk | bein | 109 | 103 | NØ | 2 | |
| 2761 | 1 | Osteologisk materiale | brent animalosteologisk | bein | 109 | 103 | SV | 2 | |
| 2762 | 1 | Osteologisk materiale | brent animalosteologisk | bein | 109 | 103 | SØ | 2 | |
| 2763 | 1 | Osteologisk materiale | brent animalosteologisk | bein | 109 | 104 | NV | 2 | |
| 2764 | 1 | Osteologisk materiale | brent animalosteologisk | bein | 109 | 104 | SV | 2 | |
| 2765 | 1 | Osteologisk materiale | brent animalosteologisk | bein | 109 | 107 | NV | 2 | |
| 2766 | 1 | Osteologisk materiale | brent animalosteologisk | bein | 109 | 107 | NØ | 2 | |
| 2767 | 1 | Osteologisk materiale | brent animalosteologisk | bein | 110 | 100 | NV | 2 | |
| 2768 | 1 | Osteologisk materiale | brent animalosteologisk | bein | 110 | 100 | NØ | 2 | |

| Unr. | Antall | Gjenstand | Form | Materiale | X | Y | Kvadrant | Mek.Lag | Funnkontekst |
|-------------|---------------|-----------------------|--------------------------|------------------|----------|----------|-----------------|----------------|---------------------|
| 2769 | 1 | Osteologisk materiale | brent animalosteologisk | bein | 110 | 100 | SV | 2 | |
| 2770 | 1 | Osteologisk materiale | brent animalosteologisk | bein | 110 | 100 | SØ | 2 | |
| 2771 | 1 | Osteologisk materiale | brent animalosteologisk | bein | 110 | 101 | NØ | 2 | |
| 2772 | 1 | Osteologisk materiale | brent animalosteologisk | bein | 110 | 101 | SV | 2 | |
| 2773 | 1 | Osteologisk materiale | brent animalosteologisk | bein | 110 | 101 | SØ | 2 | |
| 2774 | 1 | Osteologisk materiale | brent animalosteologisk | bein | 110 | 102 | NV | 2 | |
| 2775 | 1 | Osteologisk materiale | brent animalosteologisk | bein | 110 | 102 | NØ | 2 | |
| 2776 | 1 | Osteologisk materiale | ubrent animalosteologisk | tann | 110 | 102 | NØ | 2 | |
| 2777 | 1 | Osteologisk materiale | brent animalosteologisk | bein | 110 | 102 | SV | 2 | Prøvekvadrant |
| 2778 | 1 | Osteologisk materiale | brent animalosteologisk | bein | 110 | 102 | SØ | 2 | |
| 2779 | 1 | Osteologisk materiale | brent animalosteologisk | bein | 110 | 103 | NV | 2 | |
| 2780 | 1 | Osteologisk materiale | brent animalosteologisk | bein | 110 | 103 | NØ | 2 | |
| 2781 | 1 | Osteologisk materiale | brent animalosteologisk | bein | 110 | 103 | SV | 2 | |
| 2782 | 1 | Osteologisk materiale | brent animalosteologisk | bein | 110 | 103 | SØ | 2 | |
| 2783 | 1 | Osteologisk materiale | brent animalosteologisk | bein | 110 | 104 | NV | 2 | |
| 2784 | 1 | Osteologisk materiale | brent animalosteologisk | bein | 110 | 104 | SØ | 2 | |
| 2785 | 1 | Osteologisk materiale | brent animalosteologisk | bein | 111 | 100 | SØ | 2 | |
| 2786 | 1 | Osteologisk materiale | brent animalosteologisk | bein | 111 | 101 | NØ | 2 | |
| 2787 | 1 | Osteologisk materiale | brent animalosteologisk | bein | 111 | 101 | SV | 2 | |
| 2788 | 1 | Osteologisk materiale | brent animalosteologisk | bein | 111 | 101 | SØ | 2 | |
| 2789 | 1 | Osteologisk materiale | brent animalosteologisk | bein | 111 | 102 | NV | 2 | |
| 2790 | 1 | Osteologisk materiale | brent animalosteologisk | bein | 111 | 102 | NØ | 2 | |
| 2791 | 1 | Osteologisk materiale | brent animalosteologisk | bein | 111 | 102 | SV | 2 | |
| 2792 | 1 | Osteologisk materiale | brent animalosteologisk | bein | 111 | 102 | SØ | 2 | |
| 2793 | 1 | Osteologisk materiale | brent animalosteologisk | bein | 111 | 103 | NV | 2 | |
| 2794 | 1 | Osteologisk materiale | brent animalosteologisk | bein | 111 | 103 | NØ | 2 | |
| 2795 | 1 | Osteologisk materiale | brent animalosteologisk | bein | 111 | 103 | SV | 2 | |
| 2796 | 1 | Osteologisk materiale | brent animalosteologisk | bein | 111 | 103 | SØ | 2 | |
| 2797 | 1 | Osteologisk materiale | brent animalosteologisk | bein | 111 | 104 | SV | 2 | |
| 2798 | 1 | Osteologisk materiale | brent animalosteologisk | bein | 112 | 102 | NV | 2 | |
| 2799 | 1 | Osteologisk materiale | brent animalosteologisk | bein | 112 | 102 | NØ | 2 | |
| 2800 | 1 | Osteologisk materiale | brent animalosteologisk | bein | 112 | 102 | SV | 2 | |
| 2801 | 1 | Osteologisk materiale | brent animalosteologisk | bein | 112 | 102 | SØ | 2 | |
| 2802 | 1 | Osteologisk materiale | brent animalosteologisk | bein | 112 | 103 | SØ | 2 | |
| 2803 | 1 | Osteologisk materiale | brent animalosteologisk | bein | 113 | 101 | NØ | 2 | |
| 2804 | 1 | Osteologisk materiale | brent animalosteologisk | bein | 113 | 101 | SØ | 2 | |

| Unr. | Antall | Gjenstand | Form | Materiale | X | Y | Kvadrant | Mek.Lag | Funnkontekst |
|-------------|---------------|-----------------------|--------------------------|------------------|----------|----------|-----------------|----------------|---------------------|
| 2805 | 1 | Osteologisk materiale | brent animalosteologisk | bein | 113 | 102 | NØ | 2 | |
| 2806 | 1 | Osteologisk materiale | brent animalosteologisk | bein | 113 | 102 | SV | 2 | |
| 2807 | 1 | Osteologisk materiale | brent animalosteologisk | bein | 113 | 102 | SØ | 2 | |
| 2808 | 1 | Osteologisk materiale | brent animalosteologisk | bein | 113 | 103 | NØ | 2 | |
| 2809 | 1 | Osteologisk materiale | brent animalosteologisk | bein | 114 | 101 | NØ | 2 | |
| 2810 | 1 | Osteologisk materiale | brent animalosteologisk | bein | 114 | 101 | SV | 2 | |
| 2811 | 1 | Osteologisk materiale | brent animalosteologisk | bein | 114 | 101 | SØ | 2 | |
| 2812 | 1 | Osteologisk materiale | brent animalosteologisk | bein | 114 | 102 | NV | 2 | |
| 2813 | 1 | Osteologisk materiale | brent animalosteologisk | bein | 114 | 102 | NØ | 2 | |
| 2814 | 1 | Osteologisk materiale | brent animalosteologisk | bein | 114 | 102 | SV | 2 | |
| 2815 | 1 | Osteologisk materiale | brent animalosteologisk | bein | 114 | 102 | SØ | 2 | Prøvekvadrant |
| 2816 | 1 | Osteologisk materiale | brent animalosteologisk | bein | 114 | 103 | NV | 2 | |
| 2817 | 1 | Osteologisk materiale | brent animalosteologisk | bein | 114 | 103 | NØ | 2 | |
| 2818 | 1 | Osteologisk materiale | brent animalosteologisk | bein | 114 | 103 | SV | 2 | |
| 2819 | 1 | Osteologisk materiale | brent animalosteologisk | bein | 114 | 103 | SØ | 2 | |
| 2820 | 1 | Osteologisk materiale | brent animalosteologisk | bein | 114 | 104 | NV | 2 | |
| 2821 | 1 | Osteologisk materiale | brent animalosteologisk | bein | 114 | 104 | NØ | 2 | |
| 2822 | 1 | Osteologisk materiale | brent animalosteologisk | bein | 114 | 104 | SV | 2 | |
| 2823 | 1 | Osteologisk materiale | brent animalosteologisk | bein | 114 | 104 | SØ | 2 | |
| 2824 | 1 | Osteologisk materiale | brent animalosteologisk | bein | 114 | 105 | NV | 2 | |
| 2825 | 1 | Osteologisk materiale | brent animalosteologisk | bein | 114 | 105 | SV | 2 | |
| 2826 | 1 | Osteologisk materiale | brent animalosteologisk | bein | 114 | 110 | SØ | 2 | Prøvekvadrant |
| 2827 | 1 | Osteologisk materiale | brent animalosteologisk | bein | 115 | 101 | NV | 2 | |
| 2828 | 1 | Osteologisk materiale | brent animalosteologisk | bein | 115 | 101 | NØ | 2 | |
| 2829 | 1 | Osteologisk materiale | ubrent animalosteologisk | bein | 115 | 101 | NØ | 2 | |
| 2830 | 1 | Osteologisk materiale | brent animalosteologisk | bein | 115 | 102 | NV | 2 | |
| 2831 | 1 | Osteologisk materiale | ubrent animalosteologisk | bein | 115 | 102 | NV | 2 | |
| 2832 | 1 | Osteologisk materiale | brent animalosteologisk | bein | 116 | 101 | NV | 2 | |
| 2833 | 1 | Osteologisk materiale | brent animalosteologisk | bein | 116 | 101 | NØ | 2 | |
| 2834 | 1 | Osteologisk materiale | brent animalosteologisk | bein | 116 | 101 | SV | 2 | |
| 2835 | 1 | Osteologisk materiale | brent animalosteologisk | bein | 116 | 101 | SØ | 2 | |
| 2836 | 1 | Osteologisk materiale | ubrent animalosteologisk | bein | 116 | 101 | SØ | 2 | |
| 2837 | 1 | Osteologisk materiale | brent animalosteologisk | bein | 116 | 102 | NV | 2 | |
| 2838 | 1 | Osteologisk materiale | brent animalosteologisk | bein | 116 | 102 | NØ | 2 | |
| 2839 | 1 | Osteologisk materiale | brent animalosteologisk | bein | 116 | 102 | SV | 2 | |
| 2840 | 1 | Osteologisk materiale | ubrent animalosteologisk | bein | 116 | 102 | SV | 2 | |

| Unr. | Antall | Gjenstand | Form | Materiale | X | Y | Kvadrant | Mek.Lag | Funnkontekst |
|-------------|---------------|-----------------------|--------------------------|------------------|----------|----------|-----------------|----------------|---------------------|
| 2841 | 2 | Osteologisk materiale | ubrent animalosteologisk | tann | 116 | 102 | SV | 2 | |
| 2842 | 1 | Osteologisk materiale | brent animalosteologisk | bein | 116 | 102 | SØ | 2 | |
| 2843 | 1 | Osteologisk materiale | brent animalosteologisk | bein | 116 | 103 | NV | 2 | |
| 2844 | 1 | Osteologisk materiale | brent animalosteologisk | bein | 116 | 103 | NØ | 2 | |
| 2845 | 1 | Osteologisk materiale | brent animalosteologisk | bein | 116 | 103 | SV | 2 | |
| 2846 | 1 | Osteologisk materiale | brent animalosteologisk | bein | 116 | 103 | SØ | 2 | |
| 2847 | 1 | Osteologisk materiale | brent animalosteologisk | bein | 117 | 110 | SV | 2 | Prøvekvadrant |
| 2848 | 1 | Osteologisk materiale | brent animalosteologisk | bein | 107 | 103 | NV | 3 | |
| 2849 | 1 | Osteologisk materiale | brent animalosteologisk | bein | 107 | 103 | NØ | 3 | |
| 2850 | 1 | Osteologisk materiale | brent animalosteologisk | bein | 107 | 104 | NV | 3 | |
| 2851 | 1 | Osteologisk materiale | brent animalosteologisk | bein | 107 | 104 | NØ | 3 | |
| 2852 | 1 | Osteologisk materiale | brent animalosteologisk | bein | 108 | 104 | SØ | 3 | |
| 2853 | 1 | Osteologisk materiale | brent animalosteologisk | bein | 109 | 108 | SV | 3 | |
| 2854 | 1 | Osteologisk materiale | brent animalosteologisk | bein | 110 | 100 | NØ | 3 | |
| 2855 | 1 | Osteologisk materiale | brent animalosteologisk | bein | 110 | 101 | SØ | 3 | |
| 2856 | 1 | Osteologisk materiale | brent animalosteologisk | bein | 110 | 102 | NV | 3 | |
| 2857 | 1 | Osteologisk materiale | brent animalosteologisk | bein | 110 | 102 | NØ | 3 | |
| 2858 | 1 | Osteologisk materiale | brent animalosteologisk | bein | 110 | 102 | SV | 3 | Prøvekvadrant |
| 2859 | 1 | Osteologisk materiale | brent animalosteologisk | bein | 110 | 102 | SØ | 3 | |
| 2860 | 1 | Osteologisk materiale | brent animalosteologisk | bein | 110 | 103 | NV | 3 | |
| 2861 | 1 | Osteologisk materiale | brent animalosteologisk | bein | 110 | 103 | NØ | 3 | |
| 2862 | 1 | Osteologisk materiale | brent animalosteologisk | bein | 110 | 103 | SV | 3 | |
| 2863 | 1 | Osteologisk materiale | brent animalosteologisk | bein | 110 | 103 | SØ | 3 | |
| 2864 | 1 | Osteologisk materiale | brent animalosteologisk | bein | 110 | 107 | SØ | 3 | |
| 2865 | 1 | Osteologisk materiale | brent animalosteologisk | bein | 111 | 102 | SV | 3 | |
| 2866 | 1 | Osteologisk materiale | brent animalosteologisk | bein | 111 | 102 | SØ | 3 | |
| 2867 | 1 | Osteologisk materiale | brent animalosteologisk | bein | 111 | 103 | NØ | 3 | |
| 2868 | 1 | Osteologisk materiale | brent animalosteologisk | bein | 111 | 103 | SV | 3 | |
| 2869 | 1 | Osteologisk materiale | brent animalosteologisk | bein | 111 | 103 | SØ | 3 | |
| 2870 | 1 | Osteologisk materiale | brent animalosteologisk | bein | 117 | 110 | SV | 3 | Prøvekvadrant |
| 2871 | 1 | Osteologisk materiale | brent animalosteologisk | bein | 117 | 105 | SØ | 5 | Prøvekvadrant |
| 2872 | 1 | Nøtteskall | brent nøtteskall | nøtteskall | 108 | 102 | NØ | 1 | Prøvenr. 2600 |
| 2873 | 1 | Nøtteskall | brent nøtteskall | nøtteskall | 108 | 108 | SV | 1 | Prøvenr. 2581 |
| 2874 | 1 | Nøtteskall | brent nøtteskall | nøtteskall | 111 | 105 | NV | 1 | Prøvenr. 2585 |
| 2875 | 1 | Nøtteskall | brent nøtteskall | nøtteskall | 111 | 105 | NØ | 1 | Prøvenr. 2587 |
| 2876 | 1 | Nøtteskall | brent nøtteskall | nøtteskall | 112 | 105 | SV | 1 | Prøvenr. 2583 |
| 2877 | 1 | Nøtteskall | brent nøtteskall | nøtteskall | 112 | 106 | SV | 1 | Prøvenr. 2589 |

| Unr. | Antall | Gjenstand | Form | Materiale | X | Y | Kvadrant | Mek.Lag | Funnkontekst |
|-------------|---------------|------------------|------------------|------------------|----------|----------|-----------------|----------------|----------------------------------|
| 2878 | 1 | Nøtteskall | brent nøtteskall | nøtteskall | 113 | 106 | NØ | 1 | Prøvenr. 2597 |
| 2879 | 1 | Nøtteskall | brent nøtteskall | nøtteskall | 116 | 102 | SV | 1 | Prøvenr. 2591 |
| 2880 | 1 | Nøtteskall | brent nøtteskall | nøtteskall | 116 | 103 | NØ | 1 | Prøvenr. 2588 |
| 2881 | 1 | Nøtteskall | brent nøtteskall | nøtteskall | 120 | 125 | NV | 1 | Prøvenr. 2596 |
| 2882 | 1 | Nøtteskall | brent nøtteskall | nøtteskall | 107 | 103 | NØ | 2 | Prøvenr. 2586 |
| 2883 | 1 | Nøtteskall | brent nøtteskall | nøtteskall | 109 | 106 | NØ | 2 | Prøvenr. 2604 |
| 2884 | 1 | Nøtteskall | brent nøtteskall | nøtteskall | 110 | 101 | NV | 2 | Prøvenr. 2598 |
| 2885 | 1 | Nøtteskall | brent nøtteskall | nøtteskall | 110 | 102 | NV | 2 | Prøvenr. 2599 |
| 2886 | 1 | Nøtteskall | brent nøtteskall | nøtteskall | 110 | 102 | SØ | 2 | Prøvenr. 2601 |
| 2887 | 1 | Nøtteskall | brent nøtteskall | nøtteskall | 110 | 104 | NØ | 2 | Prøvenr. 2603 |
| 2888 | 1 | Nøtteskall | brent nøtteskall | nøtteskall | 111 | 102 | NØ | 2 | Prøvenr. 2602 |
| 2889 | 1 | Nøtteskall | brent nøtteskall | nøtteskall | 114 | 118 | SV | 2 | Prøvekvadrant, prøvenr. 2593 |
| 2890 | 1 | Nøtteskall | brent nøtteskall | nøtteskall | 109 | 106 | SV | 3 | Prøvenr. 2594 |
| 2891 | 1 | Prøve | trekullprøve | kull | 109 | 105 | SV | 1 | Profil 2574, kullprøve 2261 |
| 2892 | 1 | Prøve | trekullprøve | kull | 114 | 118 | SV | 1 | Prøvekvadrant, kullprøve 2578 |
| 2893 | 1 | Prøve | trekullprøve | kull | 117 | 104 | SØ | 1 | Kullprøve 2580 |
| 2894 | 1 | Prøve | trekullprøve | kull | 117 | 125 | NØ | 1 | Kullprøve 2576 |
| 2895 | 1 | Prøve | trekullprøve | kull | 109 | 103 | SØ | 2 | Profil 2574, kullprøve 2257 |
| 2896 | 1 | Prøve | trekullprøve | kull | 110 | 107 | SV | 2 | Profil 2575, kullprøve 2262 |
| 2897 | 1 | Prøve | trekullprøve | kull | 109 | 103 | SØ | 3 | Profil 2574, kullprøve 2256 |
| 2898 | 1 | Prøve | trekullprøve | kull | 108 | 106 | NV | 4 | Kullprøve 2579 |
| 2899 | 1 | Prøve | trekullprøve | kull | 108 | 106 | NØ | 4 | Kullprøve 2577 |
| 2900 | 1 | Prøve | trekullprøve | kull | 109 | 105 | SV | 4 | Profil 2574, kullprøve 2260 |

Vedlegg 6.1: Katalogtekst T27310

Boplassfunn fra tidligmesolitikum fra KORSMYRA 2 av KALSVIK YTRE (112 /609), FRÆNA K., MØRE OG ROMSDAL.

Sammendrag, gjenstander

Flekke

| | |
|-------------|----|
| Makroflekke | 75 |
| Medioflekke | 61 |
| Mikroflekke | 78 |

Avslag

| | |
|---------------------------|------|
| Avslag | 7551 |
| Makroavslag | 1 |
| Makroavslag med bruksspor | 26 |
| Medioavslag med bruksspor | 91 |
| Fragment | 2 |

Diagnostisk avslag

| | |
|---|----|
| Cortexflekke | 93 |
| Flekkelignende avslag | 36 |
| Hengselflekke | 18 |
| Kantavslag fra skiveøksproduksjon | 10 |
| Eggoppeskjerpingsavslag av skive-/kjerneøks | 9 |
| Stikkelaavslag | 2 |
| Stikkelslag med lederygg | 1 |
| Mikrostikkelslag | 1 |
| Oddmikrostikkelslag | 3 |
| Oddoppeskjerping | 10 |
| Mikrostikkelslag med feilbrudd | 1 |
| Ubestembar mikrostikkelslagteknikk | 4 |

Kjerne

| | |
|---------------------------------------|----|
| Kjerne | 1 |
| Ensidig kjerne med en plattform | 1 |
| Ensidig kjerne med flere plattformer | 5 |
| Bipolar kjerne | 25 |
| Ubestemt kjerne | 1 |
| Ubestemt kjerne med en plattform | 6 |
| Ubestemt kjerne med flere plattformer | 23 |
| Forarbeide til kjerne | 2 |

Kjernefragment

| | |
|-------------------------|----|
| Bipolart kjernefragment | 18 |
| Plattformkjernefragment | 6 |
| Overløpen flesk | 6 |
| Ubestemt kjernefragment | 2 |

Prepareringsavslag

| | |
|------------------------------------|----|
| <i>Prepareringsavslag</i> | 1 |
| <i>Ryggflekke</i> | 8 |
| <i>Ryggmakroflekke</i> | 4 |
| <i>Ryggmedioflekke</i> | 5 |
| <i>Ryggmikroflekke</i> | 6 |
| <i>Plattformavslag</i> | 10 |
| <i>Skiveformet plattformavslag</i> | 2 |
| <i>Vingeformet plattformavslag</i> | 6 |
| <i>Flekkefront</i> | 4 |

Øks

| | |
|------------------|---|
| <i>Kjerneøks</i> | 1 |
|------------------|---|

Kniv

| | |
|---|---|
| <i>Skrå enderetusj</i> | 1 |
| <i>Skråbuet enderetusj</i> | 1 |
| <i>Konveks retusj og skarp sidekant</i> | 1 |
| <i>Annen avslagskniv</i> | 3 |

Pilspiss

| | |
|---|---|
| <i>Pilspiss</i> | 3 |
| <i>Tangespiss med odd i distalenden</i> | 4 |
| <i>Ubestemt tangespiss med kantretusj</i> | 4 |
| <i>Enegget spiss</i> | 2 |
| <i>Slipt pilspiss med rombisk bladsnitt</i> | 1 |

Mikrolitt

| | |
|-------------------------|---|
| <i>Lansettmikrolitt</i> | 1 |
|-------------------------|---|

Borspiss

| | |
|---------------------------|---|
| <i>Borspiss på fleske</i> | 1 |
|---------------------------|---|

Skaper

| | |
|------------------------|---|
| <i>Skaper</i> | 1 |
| <i>Endeskaper</i> | 1 |
| <i>Ubestemt skaper</i> | 2 |

Retusjert avslag

| | |
|--------------------------------------|----|
| <i>Makroavslag med rett retusj</i> | 2 |
| <i>Makroavslag med annen retusj</i> | 5 |
| <i>Makroavslag med hakk</i> | 3 |
| <i>Retusjert medioavslag</i> | 4 |
| <i>Medioavslag med rett retusj</i> | 25 |
| <i>Medioavslag med konkav retusj</i> | 14 |
| <i>Medioavslag med annen retusj</i> | 22 |
| <i>Medioavslag med hakk</i> | 2 |
| <i>Retusjert mikroavslag</i> | 4 |
| <i>Retusjert fragment</i> | 1 |
| <i>Fragment med rett retusj</i> | 1 |

Retusjert fleske

| | |
|--|---|
| <i>Makroflekke med konkav enderetusj</i> | 1 |
| <i>Makroflekke med annen retusj</i> | 3 |

| | |
|-------------------------------------|-------------|
| <i>Medioflekke med annen retusj</i> | 3 |
| Stikkel | |
| <i>Kantstikkel</i> | 3 |
| <i>Kantstikkel på brudd</i> | 1 |
| <i>Kjernestikkel</i> | 1 |
| <i>Ubestemt stikkel</i> | 2 |
| Knakkestein | |
| <i>Knakkestein</i> | 1 |
| Slipestein | |
| <i>Pimpstein med fure</i> | 1 |
| <i>Annen slipestein</i> | 1 |
| Emne | |
| <i>Slipt emne med knekkfure</i> | 1 |
| Pren | |
| <i>Pren</i> | 5 |
| Hengesmykke | |
| <i>Hengesmykke</i> | 1 |
| Ukjent | |
| <i>Ukjent slipt gjenstand</i> | 1 |
| Prøve | |
| <i>Trekullprøve</i> | 1 |
| Knoll | |
| <i>Knoll</i> | 7 |
| Krystall | |
| <i>Krystall</i> | 1 |
| SUM | 8359 |

Sammendrag, råstoff

| | |
|---------------------|------|
| <i>Bergart</i> | 1 |
| <i>Bergkrystall</i> | 165 |
| <i>Flint</i> | 8116 |
| <i>Kull</i> | 1 |
| <i>Kvarts</i> | 68 |
| <i>Kvartsitt</i> | 2 |
| <i>Pimpstein</i> | 1 |
| <i>Sandstein</i> | 1 |
| <i>Skifer</i> | 4 |

Funnomstendighet: Arkeologisk undersøkelse av to steinalderlokaliteter på Korsmyra i Bud, Møre og Romsdal. Undersøkelsen ble gjennomført høsten 2016 i forkant av boligutbygging på området. Lokalitetene daterte seg henholdsvis til tidligmesolitikum (T27310) og neolitikum (T27311), og det ble til sammen gjort over 35000 funn på de to lokalitetene. Korsmyra 2 (T27310) var et aktivitetsområde fra tidligmesolitikum. Området som ble avdekket hadde en total størrelse på 471 m², mens det utgravde området var på 48 m². Det ble katalogisert 8359 litiske funn og 1 kullprøve fra lokaliteten. Funnmengden koncentrerte seg til det nordøstre hjørnet av lokaliteten og var svært koncentrert rundt et ildsted (A223) som ble datert til BP 9480 +/- 35, Cal. 9117-8639 BC (T27310:1051). I tillegg ble det gjort enkelte gjenstandsfunn etter en yngre aktivitetsfase på lokaliteten. Disse gjenstandene var slipe skifergjenstander og bestod av slipt pilspiss med rombisk bladsnitt, slipt emne med knekkfure og fragment fra mulig hengesmykke, samt slipestein. Trolig har området også vært i bruk i neolitikum og kan sees i sammenheng med den høye aktiviteten på Korsmyra 1.

Kartreferanse/-KOORDINATER: Projeksjon: EU89-UTM; Sone 32, N: 6976743,022, Ø: 394745,643.

Innberetning/litteratur: Bryn, H. og Sauvage, R., 27.11.2017, Arkeologisk undersøkelse, Korsmyra, Fræna kommune, Møre og Romsdal. NTNU Vitenskapsmuseet arkeologisk rapport.

Funnet av: Hanne Bryn.

Funnår: 2016.

Vedlegg 6.2: Katalogtekst T27311

Boplassfunn fra yngre steinalder fra KORSMYRA 1 av KALSVIK YTRE (112 /18, 609), FRÆNA K., MØRE OG ROMSDAL.

Sammendrag, gjenstander

Flekke

| | |
|-------------|----|
| Makroflekke | 9 |
| Medioflekke | 32 |
| Mikroflekke | 67 |

Avslag

| | |
|----------------------------------|-------|
| Avslag | 25106 |
| <i>Makroavslag med bruksspor</i> | 12 |
| <i>Medioavslag med bruksspor</i> | 233 |
| <i>Mikroavslag med bruksspor</i> | 4 |
| <i>Fragment</i> | 4 |

Diagnostisk avslag

| | |
|-------------------------------------|----|
| Cortexflekke | 14 |
| <i>Flekkelignende avslag</i> | 4 |
| <i>Hengselflekke</i> | 4 |
| <i>Avslag av slipt gjenstand</i> | 20 |
| <i>Avslag fra skraperproduksjon</i> | 1 |
| <i>Skrapereggoppeskjerping</i> | 4 |

Kjerne

| | |
|--|-----|
| <i>Bipolar kjerne</i> | 396 |
| <i>Ubestemt kjerne</i> | 10 |
| <i>Ubestemt kjerne med en plattform</i> | 2 |
| <i>Ubestemt kjerne med flere plattformer</i> | 6 |
| <i>Ubestemt mikroflekkekjerne med en plattform</i> | 1 |
| <i>Forarbeide til kjerne</i> | 1 |

Kjernefragment

| | |
|--------------------------------|-----|
| <i>Bipolart kjernefragment</i> | 408 |
| <i>Plattformkjernefragment</i> | 1 |
| <i>Ubestemt kjernefragment</i> | 6 |

Øks

| | |
|------------------------------|---|
| <i>Firesidig bergartsøks</i> | 3 |
|------------------------------|---|

Meisel

| | |
|---------------------------------|---|
| <i>Meisel</i> | 1 |
| <i>Firesidig bergartsmeisel</i> | 2 |

Kniv

| | |
|---|---|
| <i>Tveegget skiferkniv</i> | 1 |
| <i>Halvmåneformet med rettslipt egg</i> | 1 |
| <i>Ubestemt platekniv</i> | 2 |

Skråbuet enderetusj 2

Konveks retusj og skarp sidekant 3

Annen avslagskniv 3

Pilspiss

Sløpt pilspiss 6

Sløpt pilspiss med spissovalt bladsnitt 5

Sløpt pilspiss med rombisk bladsnitt 46

Sløpt pilspiss med triangulært bladsnitt 1

Sløpt pilspiss med ubestemt bladsnitt 5

Spydspiss

Sløpt spydspiss 1

Skraper

Endeskramer på flekke 1

Endeskramer på avslag 5

Ubestemt skraper 20

Retusjert avslag

Makroavslag med rett retusj 1

Makroavslag med konkav retusj 2

Makroavslag med annen retusj 5

Makroavslag med hakk 1

Medioavslag med rett retusj 63

Medioavslag med konkav retusj 25

Medioavslag med annen retusj 144

Medioavslag med hakk 2

Medioavslag med tanning 2

Medioavslag med hjørneretusj 14

Retusjert mikroavslag 24

Fragment med rett retusj 2

Fragment med annen retusj 6

Fragment med hjørneretusj 1

Retusjert flekke

Makroflekke med annen retusj 3

Medioflekke med annen retusj 2

Mikroflekke med annen retusj 2

Slipeplate

Slipeplate 1

Knakkestein

Knakkestein 6

Slipestein

Pimpstein med fure 44

Annen bearbeidet pimpstein 31

Annen slipestein 1

Emne

Spisselmenne 2

Sløpt emne med knekkfure 3

| | |
|---------------------------------|-----|
| <i>Ubestemt hugget emne</i> | 2 |
| Fragment | |
| <i>Slipt fragment</i> | 7 |
| Fiskekrok | |
| <i>Fiskekrok</i> | 1 |
| Harpun | |
| <i>Harpun</i> | 1 |
| Søkke | |
| <i>Garnsøkke</i> | 1 |
| Ukjent | |
| <i>Ukjent slipt gjenstand</i> | 3 |
| Prøve | |
| <i>Trekullprøve</i> | 10 |
| Osteologisk materiale | |
| <i>Osteologisk materiale</i> | 1 |
| <i>Brent animalosteologisk</i> | 246 |
| <i>Ubrent animalosteologisk</i> | 7 |
| Nøtteskall | |
| <i>Brent nøtteskall</i> | 19 |
| Knoll | |
| <i>Knoll</i> | 6 |

SUM **27144**

Sammendrag, råstoff

| | |
|---------------------|-------|
| <i>Bein</i> | 249 |
| <i>Bergart</i> | 37 |
| <i>Bergkrystall</i> | 42 |
| <i>Chert</i> | 2 |
| <i>Diabas</i> | 2 |
| <i>Flint</i> | 26168 |
| <i>Kull</i> | 10 |
| <i>Kvarts</i> | 310 |
| <i>Kvartsitt</i> | 73 |
| <i>Nøtteskall</i> | 19 |
| <i>Pimpstein</i> | 74 |
| <i>Sandstein</i> | 40 |
| <i>Skifer</i> | 111 |
| <i>Tann</i> | 7 |

Funnomstendighet: Arkeologisk undersøkelse av to steinalderlokaliteter på Korsmyra i Bud, Møre og Romsdal. Undersøkelsen ble gjennomført høsten 2016 i forkant av boligutbygging på området. Lokalitetene daterte seg henholdsvis til tidligmesolitikum (T27310) og neolitikum (T27311), og det ble til sammen gjort over 35000 funn på de to lokalitetene. Korsmyra 1 (T27311) var en kulturlagslokalitet med svært stor funnhet. Området som ble avdekket hadde en størrelse på 489 m², og det utgravde området var på tilsammen 218 m². Kulturlaget dekket hele lokaliteten og hadde flere steder en tykkelse på mer enn 40 cm. Til sammen ble det katalogisert 26861 litiske funn fra lokaliteten. Flint var det dominerende råstoffet, men det ble også funnet mer enn 50 pilspisser av slipt skifer. Skiferskniv, fragment av en fiskekrok og en harpun trolig av horn/gevir finnes også blant funnmaterialet. 10 kullprøver og 19 brente hasselnøttskall er katalogisert. C14-dateringene fra disse prøvene viste en gjentagende bruk av lokaliteten gjennom hele neolitikum, med en hovedfase i mellomneolitikum. Kulturlaget hadde gode bevaringsforhold og det ble gjort funn av en større mengde animalosteologisk materiale, og til sammen 247 kontekster animalosteologisk materiale ble katalogisert. 24 av disse kontekstene ble analysert av Universitetsmuseet i Bergen.

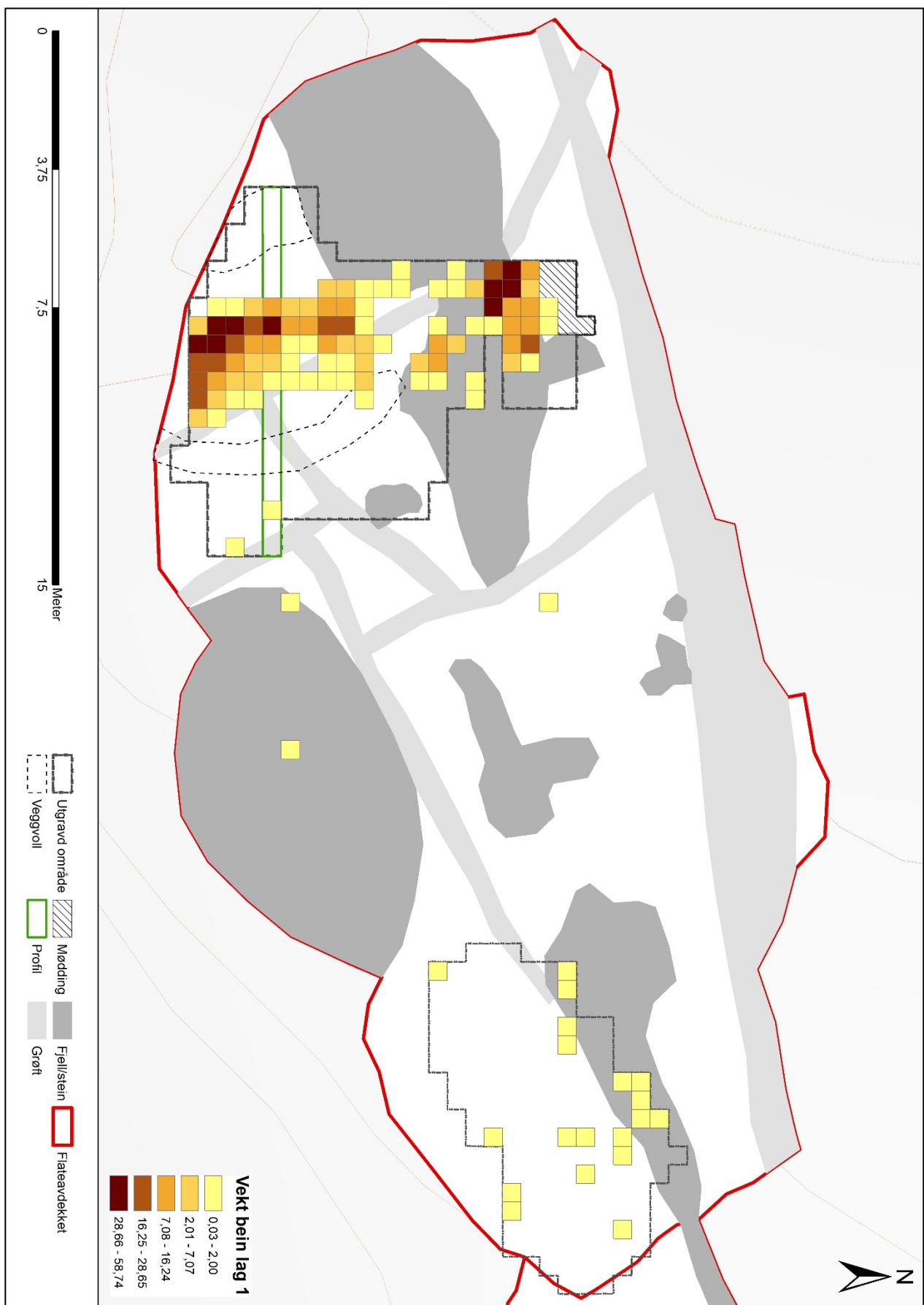
Kartreferanse/-KOORDINATER: Prosjekt: EU89-UTM; Sone 32, N: 6976718,936, Ø: 394694,781.

Innberetning/litteratur: Bryn, H., og Sauvage, R., 27.11.2017, Arkeologisk undersøkelse, Korsmyra, Fræna kommune, Møre og Romsdal. NTNU Vitenskapsmuseet arkeologisk rapport..

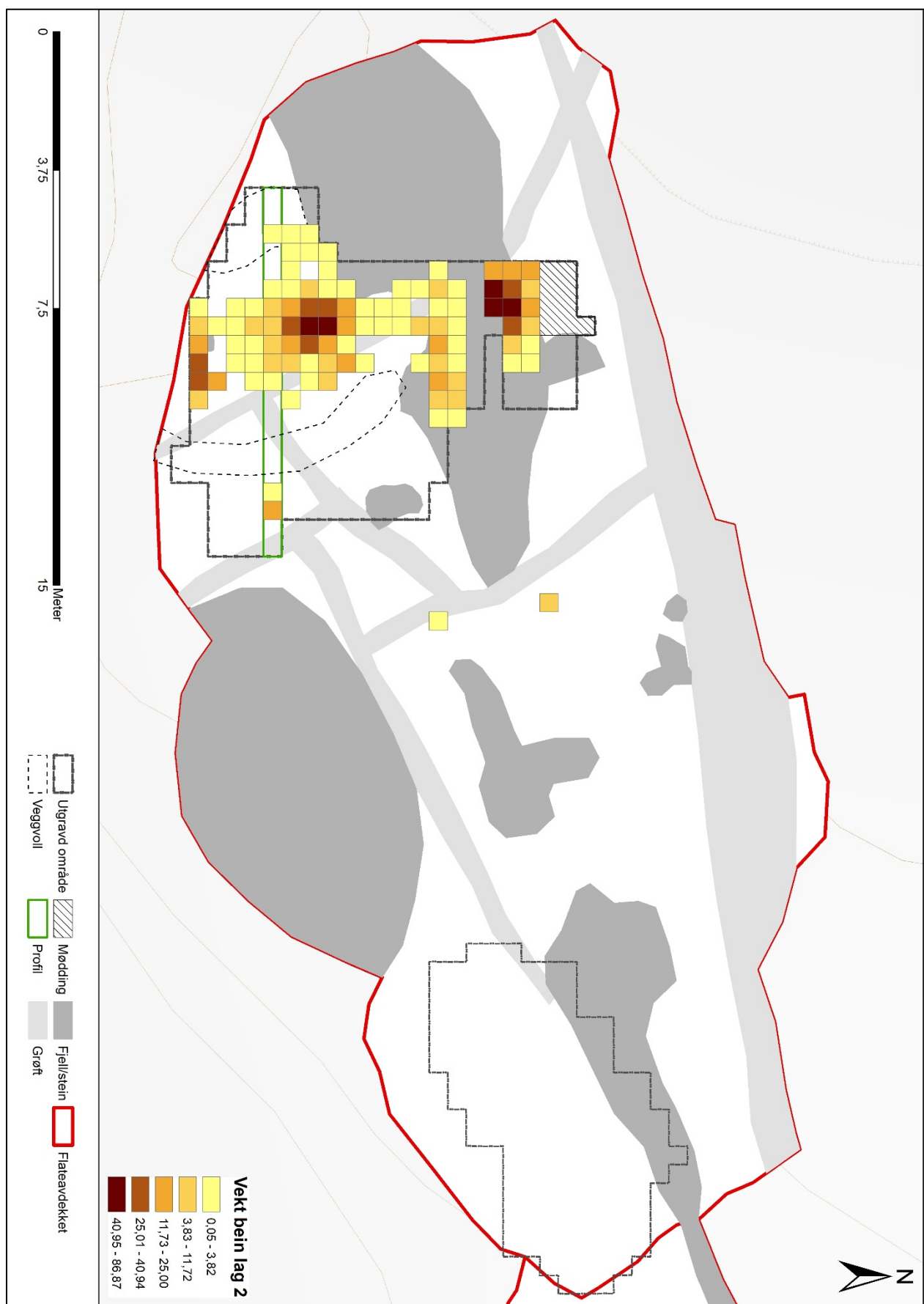
Funnet av: Hanne Bryn.

Funnår: 2016.

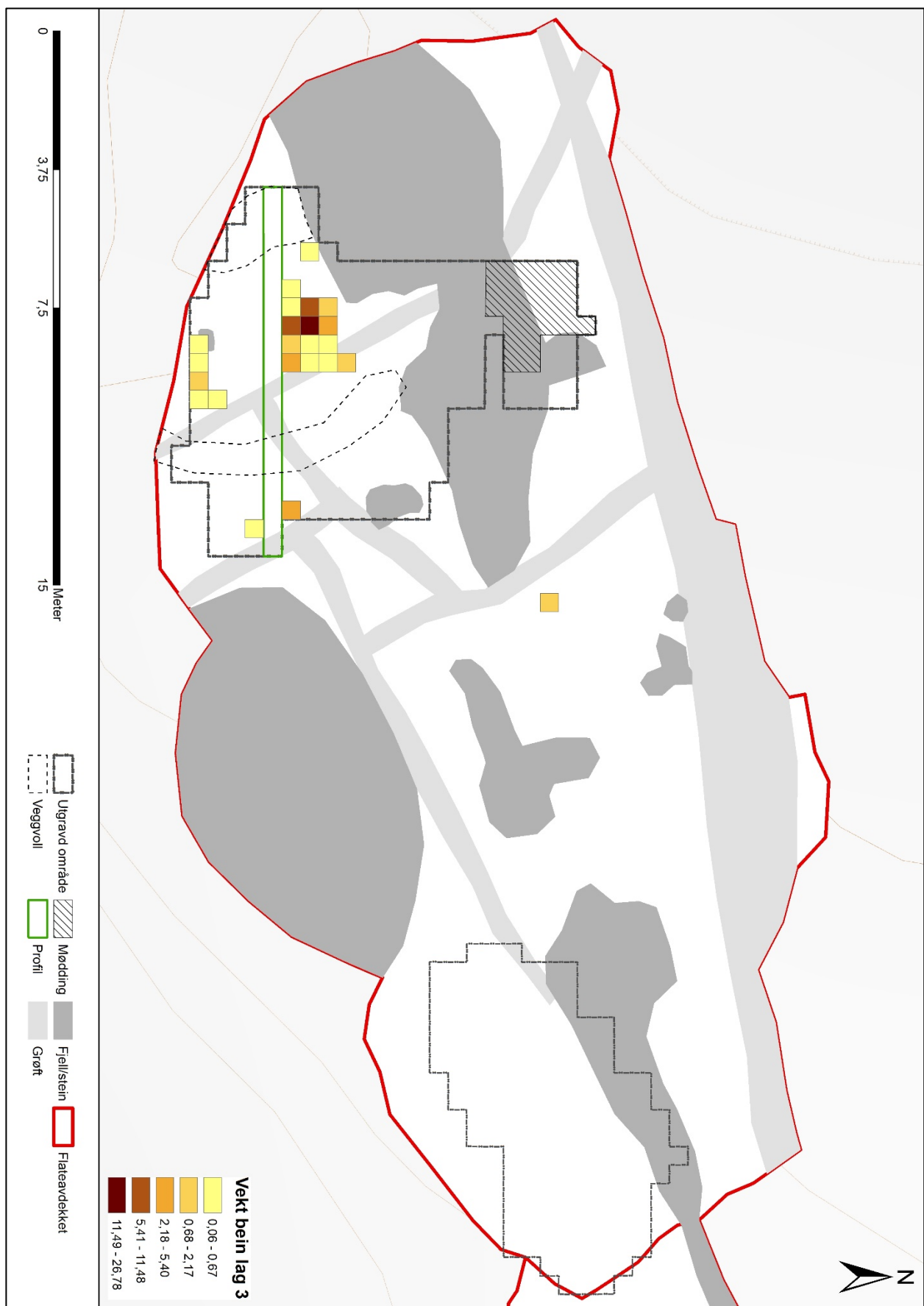
Vedlegg 7.1: Spredningskart vekt bein lag 1



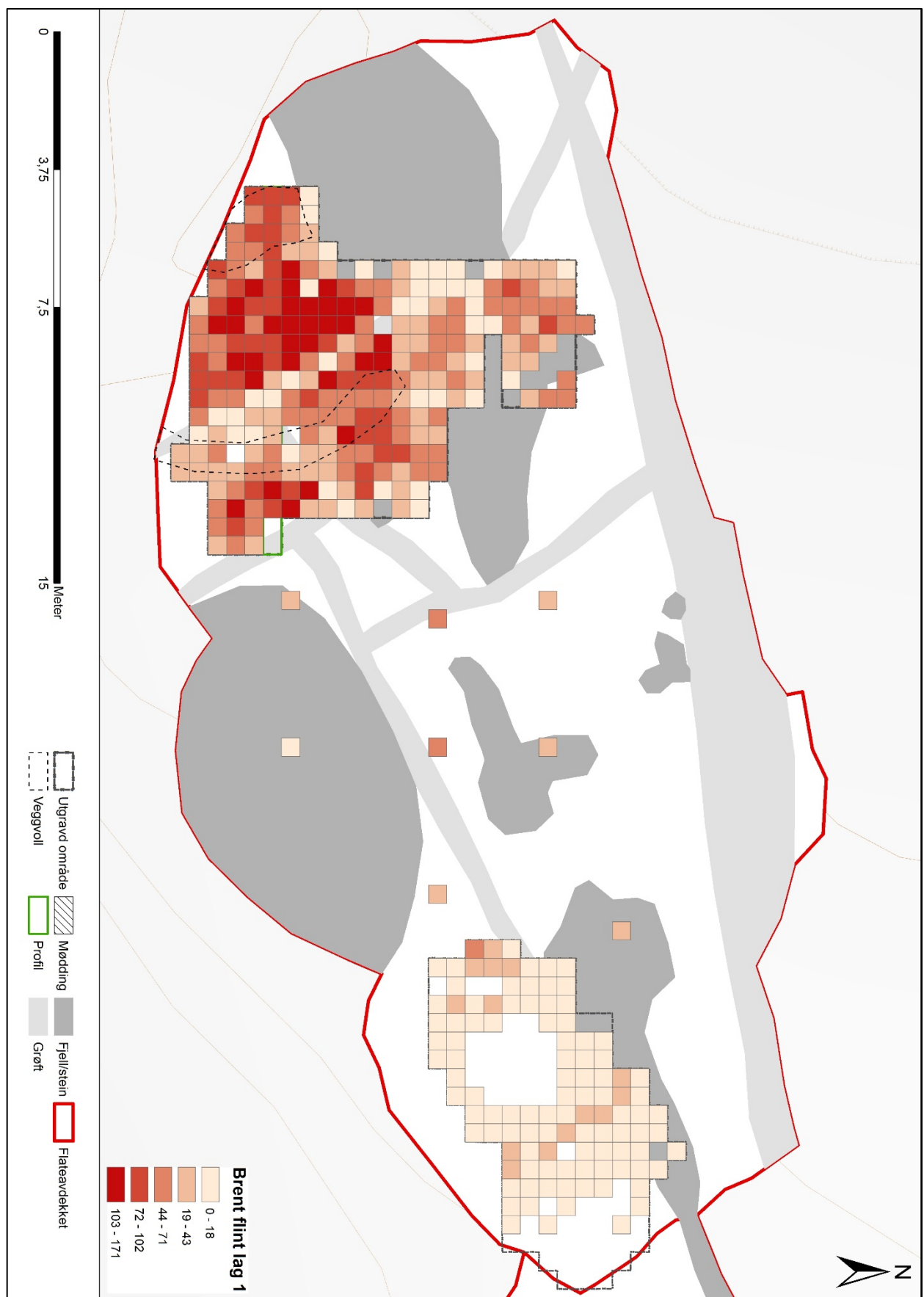
Vedlegg 7.2: Spredningskart vekt bein lag 2



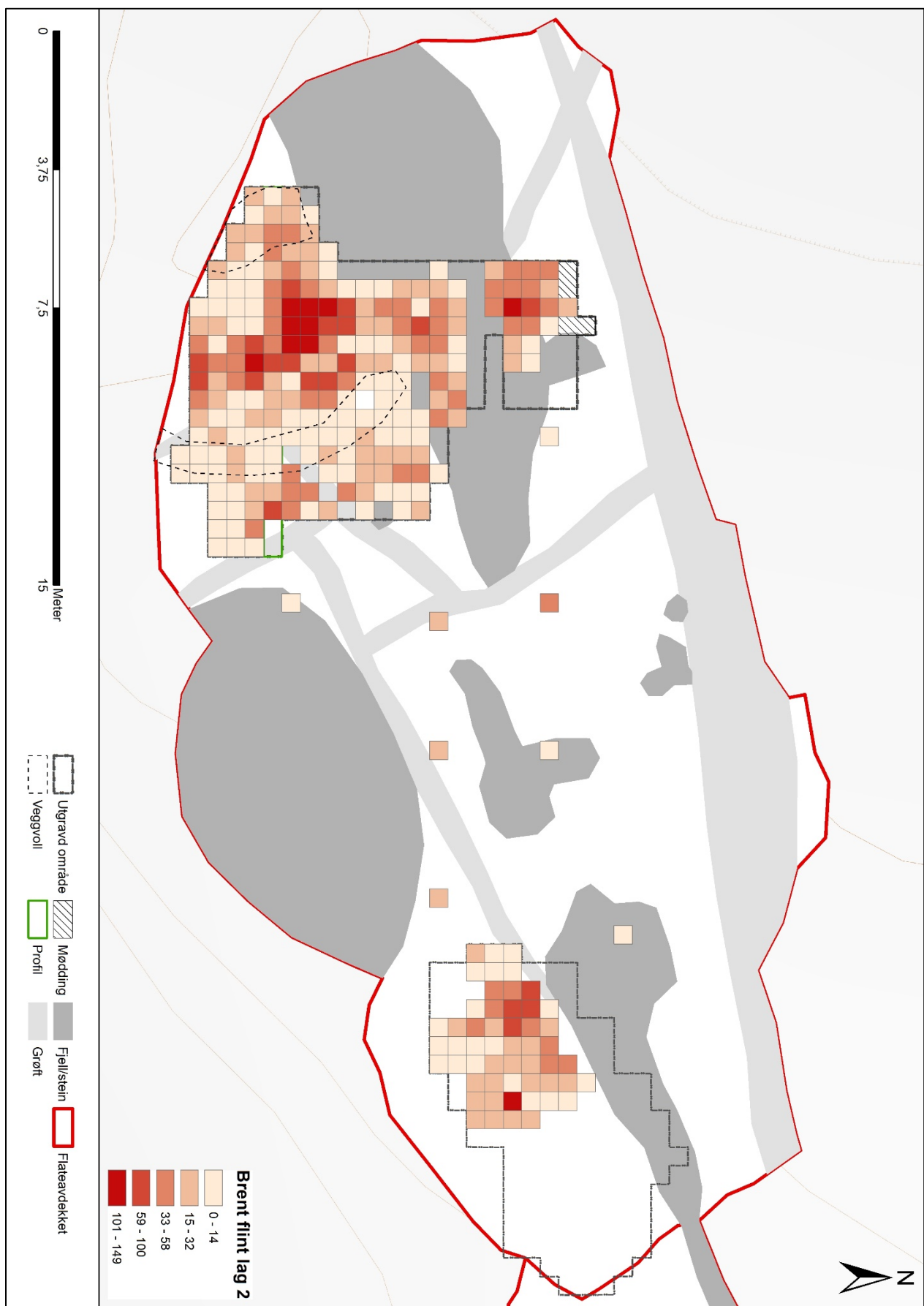
Vedlegg 7.3: Spredningskart vekt bein lag 3



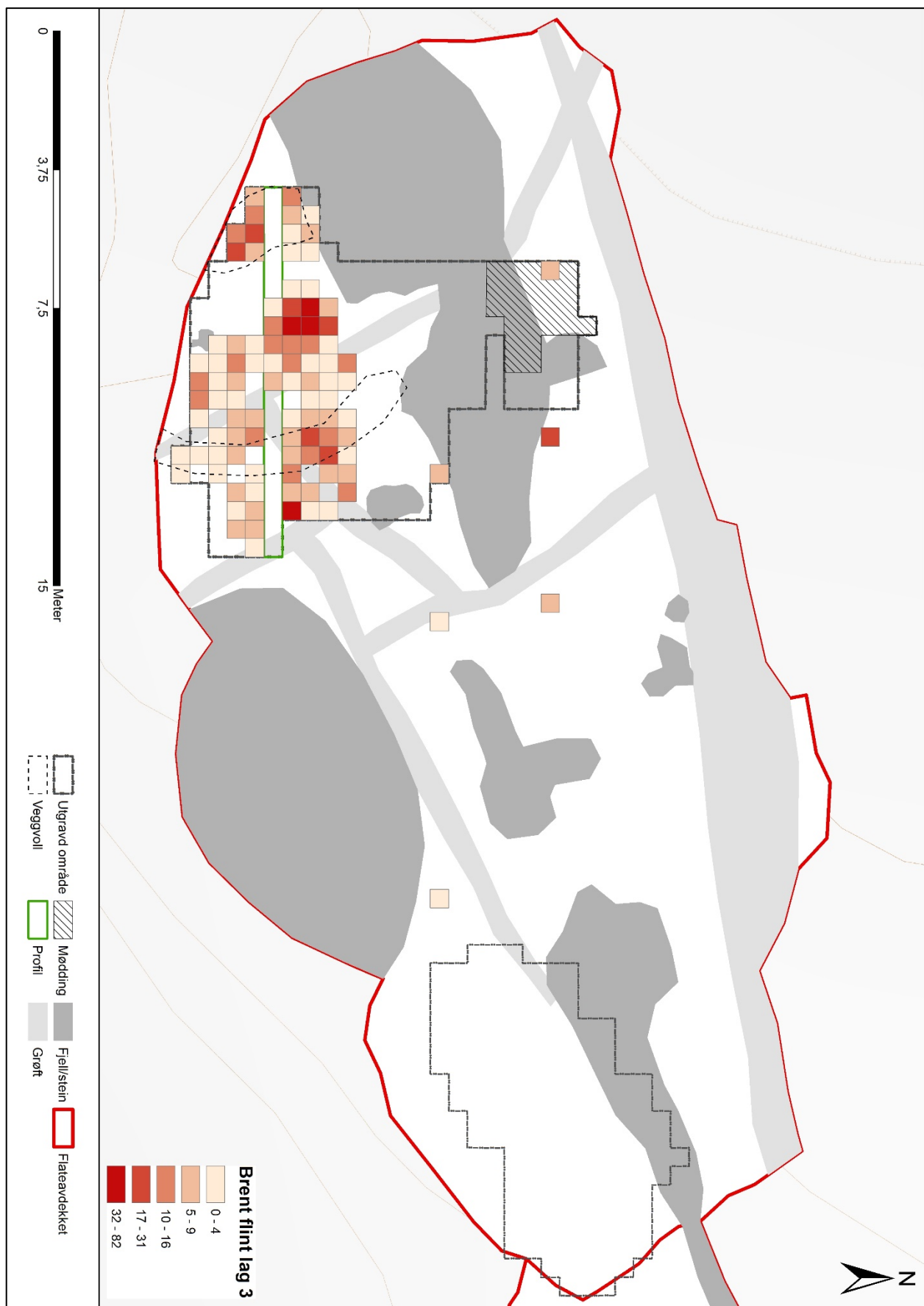
Vedlegg 7.4: Spredningskart brent flint lag 1



Vedlegg 7.5: Spredningskart brent flint lag 2



Vedlegg 7.6: Spredningskart brent flint lag 3





Makrofossilanalyser
fra
Korsmyra I,
Bud, Møra og Romsdal

Annine S. A. Moltsen

NOK-rapport nr. 10 -2017



Cand.scient Annine S. A Moltsen -
Tietgensgade 64, st. th. - DK-1704 København V
Tlf.: 40 98 86 75
mail: nok@nokam.dk - www.nokam.dk
Partner i Dansk Miljøarkæologisk Center



Indledning

Fra den arkæologiske udgravnning Korsmyra I, Bud, Møre og Romsdal er der af Raymond Sauvage fra Vitenskabsmuseet i Trondheim indsendt 3 prøver til makrofossilanalyse. Prøverne er udtaget i kulturlag fra stenalderen, der ligger inde på en tomt

Metode

Prøverne blev floteret i postevand. Ved floteringen blev det forkullede materiale opsamlet i en analysesigter med maskevidde på 0,5 mm. Floteringsresten blev gennemset for materiale af kulturhistorisk værdi der er så tungt at det ikke flyder ned i sigten under floteringen.

Volumen af den floterede prøve blev målt. Prøverne blev herefter analyseret under stereolup ved op til 80 x forstørrelse.

Indholdet i prøverne blev beskrevet og kvantificeret. Korn og andre frø blev sorteret fra bestemt ud fra diverse litteraturværker og ved sammenligning med NOK's komparative samling af recente frø.

Resultater

I tabellen er indholdet af forkullet materiale i prøverne angivet med x hvor xxx = alt i prøven var forkullet og (x) = der var kun enkelte forkullede stykker. S = skarpkantede, R= afrundede. Cf. Angiver at bestemmelsen er usikker.

| ID | Kontekst | Volumen Jordprøve ml | Volumen floteret ml | Indhold forkullet og slitagegrad | Indhold |
|------|----------------------------|----------------------|---------------------|----------------------------------|--|
| 2258 | Bunn kulturlag profil 2574 | 1150 | 40 | xx R og lidt S | |
| 2259 | Topp kulturlag profil 2574 | 1050 | 70 | xx R og lidt S | |
| 2263 | Bunn kulturlag Profil 2575 | 1000 | 50 | xxx små R og lidt S | Hvidbrændt knogle 20 + ca. 50 små fragmenter Hassel nøddeskål 2f ildskørnede sten (x) |

Baggrund

Slitagegrad på forkullet materiale

Da forkullet materiale er meget porøst vil det hurtigt blive slidt og afrundet når det udsættes for mekanisk slid, f.eks. hvis det har ligget på en eksponeret flade, eller i agerjord der har været bearbejdet utallige gange. Skarpkantede trækul har derimod ligget beskyttet siden afbrændingen.

Diskussion og sammenfatning

I alle 3 prøver var hovedparten af trækullene noget slidte, de må derfor have ligget eksponeret, hvor de har været udsat for mekanisk slid.

I prøve 2263 fra den nordre langside profil 2575 blev der blev fundet en del små fragmenter knogle, der var hvidbrændte. Flere af fragmenterne synes at være små rørknogler. Der var desuden 2 fragmenter hasselnøddeskaller, men desværre ingen andre frø. Indholdet kan tyde på at det er rester fra et måltid der er blevet kastet i ilden. Der var da også lidt ildskørnede sten i prøven, der formentlig stammer fra ildstedet.

De to sidste prøver er udtaget lidt østligere i den søndre langside af profilbænken (profil 2574). Prøverne indeholdt kun trækul, der overvejende var slidte og afrundede. I prøve 2259 fra det øverste lag sås den største koncentration af trækul.



***Korsmyra 1, Bud, Møre og Romsdal, Norway: soil micromorphology
(including SEM/EDS), chemistry and magnetic susceptibility studies***

by

Richard I Macphail Institute of Archaeology, University College London (UCL), 31-34,
Gordon Sq., London WC1H 0PY, UK

(Report for NTNU Vitenskapsmuseet, Institutt for arkeologi og kulturhistorie, October 2017)

Extended Summary

A two thin section study associated with SEM/EDS on thin section 2267 and two bulk sample analyses were carried out. Intermittent (seasonal?) occupation (cf. Ålesund, Møre og Romsdal County) probably occurred producing charcoal and burnt bone-rich occupation floors between sand and gravel, and sand layers (coarse silting and wind blow?). Rooting traces also suggest breaks between occupation, when the site became vegetated. Unlike some occupation deposits within pit houses, such as along the west coast of British Columbia, floor deposits show little major reworking. Burnt bone examples have typical chemistry (~18% P and ~38% Ca; with an example of ~2% F). It can also be noted that iron-phosphate stained charcoal (e.g. ~14-16% Fe, with ~6-7% Ca, ~6-7% P and ~1-5% Cl), can be chlorine enriched indicating possible use of drift wood as noted at other coastal Norwegian sites. Weathering of the site included post-depositional inwash of amorphous iron and clay (~7-22% Si, 8-31% Al, ~5-14% Fe, and 0-~6% P).

Introduction

Two soil micromorphology samples from a Middle Neolithic dwelling site at Korsmyra in Bud, Møre og Romsdal, were received from Raymond Suavage (NTNU). The associated osteological material consisted mostly of fish bones, but some bones from birds, seal as well as sharks teeth (R. Sauvage, pers. comm.); the majority of both the lithic and the osteological material were burned. The monolith samples were assessed and studied according established methods (see below). The samples underwent a soil micromorphology study (with SEM/EDS).

Samples and methods

Soil Micromorphology

The undisturbed monolith samples (Tables 1 and 2) were impregnated with a clear polyester resin-acetone mixture; 15 thin section samples were then topped up with resin, ahead of curing and slabbing for 75x50 mm-size thin section manufacture by Spectrum Petrographics,

Vancouver, Washington, USA (Goldberg and Macphail, 2006; Murphy, 1986) (Figs 1 and 4). Thin sections were further polished with 1,000 grit papers and analysed using a petrological microscope under plane polarised light (PPL), crossed polarised light (XPL), oblique incident light (OIL) and using fluorescence microscopy (blue light – BL), at magnifications ranging from x1 to x200/400. Charcoal and bone in sample 2267 were investigated using SEM/EDS (Energy Dispersive X-Ray Spectrometry; (Weiner, 2010) (Table 3; Figs 9-10). Thin sections were described, ascribed soil microfabric types (MFTs) and microfacies types (MFTs) (see Tables 1 and 2), and counted according to established methods (Bullock et al., 1985; Courty, 2001; Courty et al., 1989; Macphail and Cruise, 2001; Nicosia and Stoops, 2017; Stoops, 2003; Stoops et al., 2010).

Results

Bulk soil chemical and physical properties

Soil micromorphology

Soil micromorphology results are presented in Tables 1-3, illustrated in Figs 1-10, and supported by material on the accompanying CD-Rom. 11 characteristics were identified and counted from the 2 layers in the 2 thin sections analysed.

Profile 2275 – Cultural Layer

Lower cultural layer (M2266): The lowermost deposits occur as loose, massive stony black sands, with very dominant gravel and small stones (max 15mm) (Fig 1). There are rare charred organic matter, which becomes abundant amounts upwards, rare charcoal (max ~0.5mm) and trace of fine burnt bone that increases to ‘occasional’ in amount (Tables 1-2); the fine burnt bone is mainly rubefied; max >1.5mm, with rare probable burnt minerals (Figs 1-3). A trace of amorphous sand coatings, rare broad burrows becoming many upwards, with many thin burrows, and rare very thin and thin essentially organic excrements, become ‘many’ upwards, occur.

The substrate is composed of poorly sorted sands, gravel and small stones, which are a probable mixture of weathered rock substrate and beach deposits – the sand element could also be in-part wind-blown. The anthropogenic character of this layer is apparently burrowed-in mainly charred amorphous organic matter and fine burnt bone. These derive from

occupation floors above. A trace amount of amorphous grain coatings testifies to some form of liquid contamination from the floors above.

Upper cultural layer (M2267): The thin section here records possibly diffusely layered 5-20mm-thick stony black sands with ~10mm-thick stony layers (Figs 4, 7-8). It is composed of poorly sorted sands with frequent to dominant gravel and small stones, including a fissured 25mm-long igneous rock fragment, and characterised by probably many heated rock fragments, some perhaps showing fissuring, very abundant charred organic matter, many wood charcoal (max 4mm), with very abundant burnt (rubefied and calcined) bone (max >5mm), and including many probable fish bone (Figs 5-10) (Nicosia and Stoops, 2017, chapter 1), and 7.5mm-size unidentified vesicular colourless charcoal slag(?) that is partially infilled with down-washed soil, and possible amorphous stained remains of roots. There are occasional amorphous isotropic coatings affecting rock fragments and some bone residues with trace of possible mineralised root residues, many broad and thin burrows, and many very thin and occasional thin essentially (charred) organic excrements. SEM/EDS showed typical Ca-P bone chemistry (~18% P and ~38% Ca; with an example of ~2% F), with examples of iron-phosphate stained charcoal (~14-16% Fe, with ~6-7% Ca, ~6-7% P and ~1-5% Cl; Figs 9-10), and phosphate-enriched soil inwash within the occupation layers (~14% Fe and ~6% P) (Table 3).

Here, there are possible diffuse occupation floor layers, composed of intercalated stones and charred organic matter and burnt bone rich occupations. Much charcoal and bone has probably been fragmented by trampling. Some amorphous (iron-phosphate) staining is contemporary whilst root traces may suggest minor vegetating of the site between occupations, that were also separated by ‘silting’ of sands and gravels from the cut feature’s sides, and possibly also by (beach sand?) wind blow.

Discussion and summary

A two thin section study associated with SEM/EDS on thin section 2267 and two bulk sample analyses were carried out. Intermittent (seasonal?) occupation (cf. Ålesund, Møre og Romsdal County) (Macphail, 2016a) probably occurred producing charcoal and burnt bone-rich occupation floors between sand and gravel, and sand layers (coarse silting and wind blow?) (Cammas et al., 1996; Gé et al., 1993). Rooting traces also suggest breaks between occupation, when the site became vegetated. Unlike some occupation deposits within pit houses, such as along the west coast of British Columbia, floor deposits show little major

reworking (Goldberg, 2000; Macphail, 2016b). Burnt bone examples have typical chemistry (~18% P and ~38% Ca; with an example of ~2% F). It can also be noted that iron-phosphate stained charcoal (e.g. ~14-16% Fe, with ~6-7% Ca, ~6-7% P and ~1-5% Cl), can be chlorine enriched indicating possible use of drift wood as noted at other coastal Norwegian sites (Macphail, 2016c, 2017; Macphail et al., 2016). Weathering of the site included post-depositional inwash of amorphous iron and clay (~7-22% Si, 8-31% Al, ~5-14% Fe, and 0-~6% P).

Acknowledgements

Raymond Sauvage (NTNU) is thanks for supplying samples and background information. Tom Gregory (UCL) kindly provided SEM/EDS support.

References

- Bullock, P., Fedoroff, N., Jongerius, A., Stoops, G., and Tursina, T., 1985, *Handbook for Soil Thin Section Description*, Wolverhampton, Waine Research Publications, 152 p.:
- Cammas, C., Wattez, J., and Courty, M.-A., 1996, L'enregistrement sédimentaire des modes d'occupation de l'espace, in Castelletti, L., and Cremaschi, M., eds., *Paleoecology: Colloquium 3 of XIII International Congress of Prehistoric and Protohistoric Sciences*, Volume 3: Forli, ABACO, p. 81-86.
- Courty, M. A., 2001, Microfacies analysis assisting archaeological stratigraphy, in P. Goldberg, Holliday, V. T., and Ferring, C. R., eds., *Earth Sciences and Archaeology*: New York, Kluwer, p. 205-239.
- Courty, M. A., Goldberg, P., and Macphail, R. I., 1989, *Soils and Micromorphology in Archaeology*, Cambridge, Cambridge University Press, Cambridge Manuals in Archaeology, 344 p.:
- Gé, T., Courty, M. A., Matthews, W., and Wattez, J., 1993, Sedimentary formation processes of occupation surfaces, in Goldberg, P., Nash, D. T., and Petraglia, M. D., eds., *Formation Proceses in Archaeological Contexts*, Volume Monographs in World Archaeology No. 17: Madison, Wisconsin, Prehistory Press, p. 149-163.
- Goldberg, P., 2000, Micromorphological aspects of site formation at Keatley Creek, in Hayden, B., ed., *The Ancient Past of Keatley Creek*: Simon Fraser University, Burnaby, B.C., Archaeology Press, p. 79-95.
- Goldberg, P., and Macphail, R. I., 2006, *Practical and Theoretical Geoarchaeology*, Oxford, Blackwell Publishing, 455 p.:
- Macphail, R. I., 2016a, *Ålesund, Møre og Romsdal County, Norway: soil micromorphology* (report for MAL, Umeå University): Institute of Archaeology, University College London.
- , 2016b, House Pits & Grubenhausen, in Gilbert, A. S., ed., *Encyclopedia of Geoarchaeology*: Dordrecht, Springer Scientific, p. 425-432.
- , 2016c, *Ørland Main Air Station (near Trondheim, Norway): soil micromorphology (report for NTNU)*: Institute of Archaeology, University College London.
- Macphail, R. I., 2017, *Ørland Main Air Station (2016 samples), Norway: soil micromorphology (including SEM/EDS analyses)* (report for NTNU): Institute of Archaeaology, University College London

- Macphail, R. I., and Cruise, G. M., 2001, The soil micromorphologist as team player: a multianalytical approach to the study of European microstratigraphy, in Goldberg, P., Holliday, V., and Ferring, R., eds., *Earth Science and Archaeology*: New York, Kluwer Academic/Plenum Publishers, p. 241-267.
- Macphail, R. I., Linderholm, J., and Eriksson, S., 2016, *Holtebråtan-Tusse, Forgn kommunen, Akerhus fylke, Norway: soil micromorphology, chemistry and magnetic susceptibility studies* (report for Cultural history Museum, University of Oslo): Institute of Archaeology, University College London.
- Murphy, C. P., 1986, *Thin Section Preparation of Soils and Sediments*, Berkhamsted, A B Academic Publishers.
- Nicosia, C., and Stoops, G., 2017, *Archaeological Soil and Sediment Micromorphology*. : Chichester, Wiley Blackwell, p. 476.
- Stoops, G., 2003, *Guidelines for Analysis and Description of Soil and Regolith Thin Sections*, Madison, Wisconsin, Soil Science Society of America, Inc., 184 p.:
- Stoops, G., Marcelino, V., and Mees, F., 2010, *Interpretation of Micromorphological Features of Soils and Regoliths*.: Amsterdam, Elsevier, p. 720.
- Weiner, S., 2010, *Microarchaeology. Beyond the Visible Archaeological Record*, Cambridge, Cambridge University Press, 396 p.:

Table 1: Korsmyra 2, Bud, Møre og Romsdal, Norway: samples, soil micromorphology and counts

| Thin | ASL | Layer | MFT | SMT | Voids | Stones | Charred | Wood | Burnt | Fish bone | Burnt |
|-----------------------|---------|----------|---------|---------------|---------------|---------|---------|----------|--------|-----------|---------|
| section | | | | | | | OM | charcoal | bone | | mineral |
| 2267 | 9.41 | Cultural | B1 | 1a | 40-60% | ff-ffff | aaaaaa | aaa | aaaaaa | aaa? | aaa |
| 2266 | 9.243 | Layer | B1/A1 | 1a | 45% | fffff | aaaa/a | a/0 | aa/a* | a? | a |
| <i>Table 1, cont.</i> | | | | | | | | | | | |
| Thin | Amorph. | Thin | Broad | V. thin | Thin | | | | | | |
| section | coats | burrows | burrows | Org. Excr. | Org. Excr. | | | | | | |
| 2267 | aa | aaa | aaa | aaa | aaa | | | | | | |
| 2266 | | aaa | aaa/a | aaa/a | aaa/a | | | | | | |

* - very few 0-5%, f - few 5-15%, ff - frequent 15-30%, fff - common 30-50%, ffff - dominant 50-70%, fffff - very dominant >70%;

a - rare <2% (a*1%; a-1, single occurrence), aa - occasional 2-5%, aaa - many 5-10%, aaaa - abundant 10-20%, aaaaa - very abundant >20

Table 2: Korsmyra 2, Bud, Møre og Romsdal, Norway: soil micromorphology descriptions and preliminary interpretations

| Microfacies type (MFT)/Soil microfabric type (SMT) | Sample No. | Depth (relative depth) Soil Micromorphology (SM) | Preliminary Interpretation and Comments |
|---|-------------------|--|---|
| | | | Profile 2275 – Cultural Layer |
| MFT B1/SMT 1a | 2267 | 9.410 m asl SM: Possibly diffusely layered 5-20mm-thick stony black sands with ~10mm-thick stony layers (SMT 1a); <i>Microstructure</i> : massive with diffuse layering, 40-60% voids, mainly simple and complex packing voids, with open channels; <i>Coarse Mineral</i> : C:F as below; poorly sorted sands with frequent to dominant gravel and small stones, including a fissured 25mm-long igneous rock fragment; <i>Organic and Anthropogenic</i> : probably many heated rock fragments, some perhaps showing fissuring, very abundant charred organic matter, many wood charcoal (max 4mm), with very abundant burnt (rubefied and calcined) bone (max >5mm), and including many probable fish bone, and 7.5mm-size unidentified vesicular colourless slag(?), and possible amorphous stained remains of roots. There are occasional amorphous isotropic coatings affecting rock fragments and some bone residues with trace of possible mineralised root residues, many broad and thin burrows, and many very thin and occasional thin essentially (charred) organic excrements. <i>Possible diffuse occupation floor layers, composed of intercalated stones and charred</i> | Upper cultural layer Possibly diffusely layered 5-20mm-thick stony black sands with ~10mm-thick stony layers. It is poorly sorted sands with frequent to dominant gravel and small stones, including a fissured 25mm-long igneous rock fragment, and characterised by probably many heated rock fragments, some perhaps showing fissuring, very abundant charred organic matter, many wood charcoal (max 4mm), with very abundant burnt (rubefied and calcined) bone (max >5mm), and including many probable fish bone, and 7.5mm-size unidentified vesicular colourless slag(?), and possible amorphous stained remains of roots. There are occasional amorphous isotropic coatings affecting rock fragments and some bone residues with trace of possible mineralised root residues, many broad and thin burrows, and many very thin and occasional thin essentially (charred) organic excrements. <i>Possible diffuse occupation floor layers, composed of intercalated stones and charred</i> |

| | | | |
|-------------------------------------|------|--|---|
| | | broad and thin burrows; <i>Excrements</i> : many very thin and occasional thin essentially (charred) organic excrements. | <i>organic matter and burnt bone rich occupations. Much charcoal and bone has probably been fragmented by trampling. Some amorphous staining is contemporary whilst root traces may suggest minor vegetating of the site between occupations.</i> |
| MFT B1/SMT 1a over MFT A1/SMT 1a | 2266 | 9.243 m asl SM: stony with black sands (SMT 1a); <i>Microstructure</i> : loose, massive, 45% voids, simple and complex packing voids; <i>Coarse Mineral</i> : C:F (coarse:fine limit at ~10µm), C:F=90:10, becoming 80:20, upwards; very poorly sorted sands with very dominant gravel and small stones (max 15mm) of plagioclase feldspar rich igneous rocks and schistose sandstones with sometimes high amounts of micas; <i>Organic and Anthropogenic</i> : rare, becoming abundant charred organic matter, rare charcoal (max ~0.5mm) and trace becoming occasional fine burnt bone (mainly rubefied; max >1.5mm), with rare probable burnt minerals; <i>Fine Fabric</i> : SMT 1a: black (PPL), isotropic (intergrain aggregate and coated grain, undifferentiated b-fabric, XPL), black (OIL), dominantly charred organic matter, with rare very fine rubefied bone fragments; <i>Pedofeatures</i> : <i>Amorphous</i> : trace of amorphous sand coatings; <i>Fabric</i> : rare broad burrows becoming many upwards, with many thin burrows; <i>Excrements</i> : rare very thin and thin | Lower cultural layer Loose, massive stony black sands, with very dominant gravel and small stones (max 15mm). There are rare charred organic matter, becoming abundant amounts upwards, rare charcoal (max ~0.5mm) and trace becoming occasional fine burnt bone (mainly rubefied; max >1.5mm), with rare probable burnt minerals. A trace of amorphous sand coatings, rare broad burrows becoming many upwards, with many thin burrows, and rare very thin and thin essentially organic excrements, become many upwards, occur. <i>The substrate is composed of poorly sorted sands, gravel and small stones, which are a probable mixture of weathered rock substrate and beach deposits – the sand element could be wind-blown. The anthropogenic character of this layer is apparently burrowed-in mainly charred amorphous organic matter and fine burnt bone. These derive from occupation floors above. A trace amount of amorphous grain coatings testifies to some form of liquid contamination from the floors above.</i> |

| | | | |
|--|--|--|--|
| | | essentially organic excrements, become many upwards. | |
|--|--|--|--|

Table 3: Korsmyra; SEM/EDS analyses on samples M2267 (% element O² included in total sum)

| Feature | F | Na | Mg | Al | Si | P | Cl | S | K | Ca | Ti | Fe |
|---------------------------|------|------|------|------|------|--|------|------|---------------------|------|------|------|
| <i>M2267</i> | | | | | | | | | | | | |
| Bone 1 | | | | 0.65 | 0.36 | 18.2 41.30 P ₂ O ₅ | 1.02 | | 39.3 55.1 CaO | | 0.62 | |
| Ditto | | | | 0.72 | | 18.5 | 1.21 | | 38.9 | | 0.67 | |
| Stained charcoal | | | | 19.2 | 7.71 | 7.48 | 4.92 | | 6.53 | | 15.9 | |
| Ditto | | | | 22.2 | 8.33 | 6.31 | 1.39 | | 7.38 | | 14.1 | |
| Soil infill of charred OM | | 3.39 | 0.61 | 7.52 | 31.4 | | | 2.62 | 2.57 | 0.68 | 5.17 | |
| Ditto | | 1.96 | | 19.3 | 20.9 | 1.97 | 0.58 | | 0.78 | 4.20 | | 4.35 |
| Bone 2 | | | | 1.46 | 0.30 | 18.4 42.3 P ₂ O ₅ | 0.44 | | 38.1 53.3 CaO | | 0.61 | |
| Ditto | 1.78 | 0.64 | | 1.54 | | 18.0 | 0.51 | | 36.5 | 0.34 | 0.97 | |

Korsmyra 1 Soil Micromorphology Figures 1-10

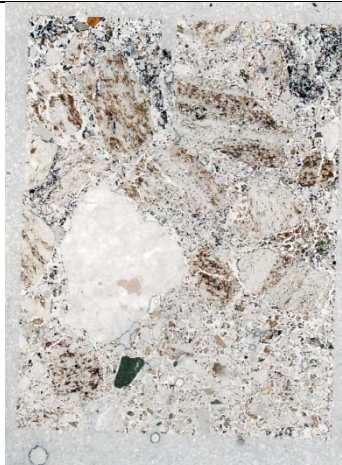


Fig. 1: Scan of M2266 (Lower Cultural layer, Profile 2275); sands and gravels become more humic up-profile with charred organic matter. Frame width is ~50mm.



Fig. 2: Photomicrograph of M2266 (Lower Cultural layer, Profile 2275); charred organic matter and orange coloured burnt bone are evident. Plane polarised light (PPL), frame width is ~4.62mm.

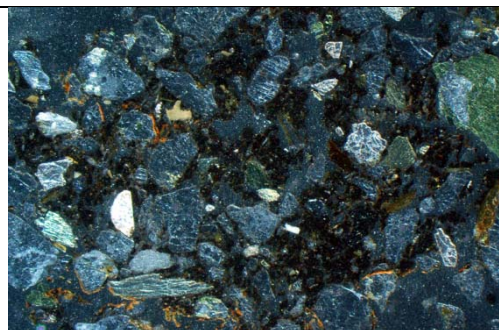


Fig. 3: As Fig 2, under oblique incident light (OIL); note reddish amorphous (iron) grain coatings.

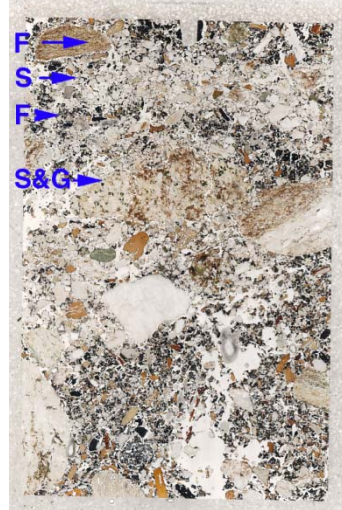


Fig. 4: Scan of M2267 (Lower Cultural layer, Profile 2275); occupation floor deposits, including possible diffusely layered charcoal-dominated floors (F) between sands (S) and sands and gravel (S&G) layers, indicative of intermittent use. Frame width is ~50mm.

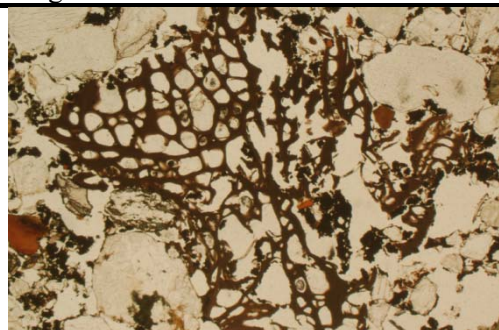


Fig. 5: Photomicrograph of M2267 (Lower Cultural layer, Profile 2275); burnt (calcined) fish(?) bone. PPL, frame width is ~4.62mm.

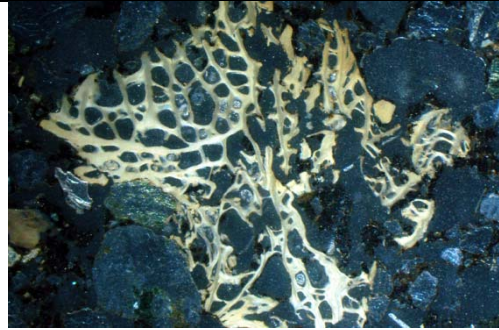


Fig. 6: As Fig 5, under OIL.

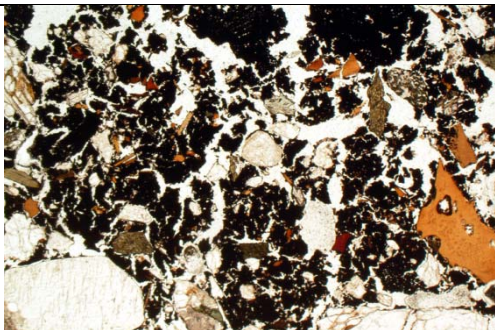


Fig. 7: Photomicrograph of M2267 (Lower Cultural layer, Profile 2275); concentrated charred organic matter and charcoal, with orange burnt bone fragments, possibly recording occupation floor (see Fig 4). PPL, frame width is ~4.62mm.

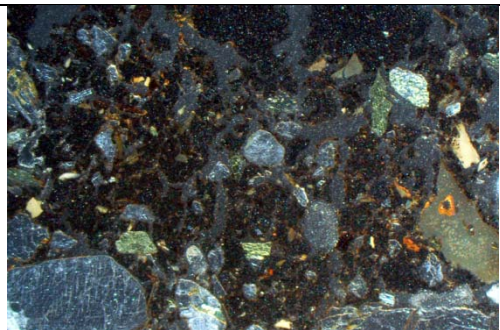


Fig. 8: As Fig 7, under OIL.

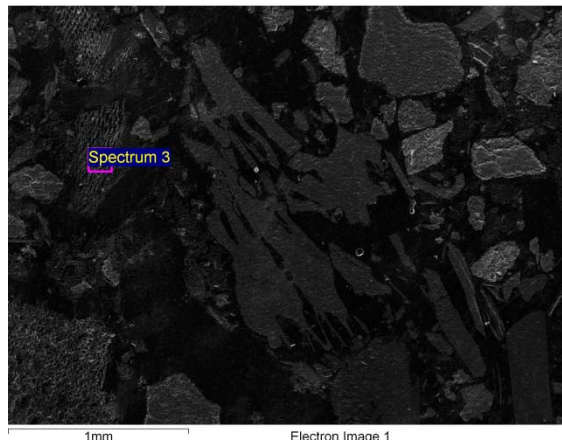


Fig. 9: M2267 (Lower Cultural layer, Profile 2275); X-ray backscatter image of fragmented burnt bone (~18% P and ~38% Ca), with stained charcoal (Spectrum 3: ~14-16% Fe, with ~6-7% Ca, ~6-7% P and ~1-5% Cl) (Table 3). Scale bar=1mm.

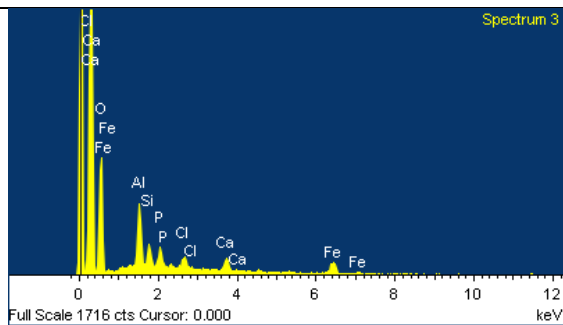


Fig. 10: As Fig 9, X-ray Spectrum 3 of stained charcoal – with iron-phosphate stained (15.9% Fe and 7.48% P) charcoal (6.53% Ca) that is also chlorine-enriched (4.92% Cl) (Table 3).

Korsmyra

Animal osteological analyses

Liselotte Takken Beijersbergen, Olaug Flatnes Bratbak & Anne Karin Hufthammer



UNIVERSITY OF BERGEN, NORWAY
University Museum of Bergen – Department of Natural History
Section Osteology

February 2018



UNIVERSITY OF BERGEN, NORWAY
University Museum of Bergen – Department of Natural History

| | |
|--------------------------|---|
| Supplier: Institution | University Museum of Bergen Department of Natural History, Section Osteology |
| Contact | Anne Karin Hufthammer |
| Address | P.O. Box 7800 |
| Tel. nr. | 5020 Bergen |
| Email | 55 58 29 13 Anne.Hufthammer@uib.no |
| Client: Institution | NTNU University Museum Section for Archaeology and Cultural History |
| Contact | Raymond Sauvage |
| Address | 7491 Trondheim |
| Email | raymond.sauvage@ntnu.no |

Photo title page: A random selection of burnt fragments from T27311:2828, layer 2 (photo: L. Takken Beijersbergen).

Contents

| | |
|---|----|
| Project background and goals | 4 |
| Methods | 4 |
| Overview of species present | 7 |
| Fish | 8 |
| Lamnidae | 8 |
| Porbeagle (<i>Lamna nasus</i>) | 8 |
| Salmonidae | 8 |
| Gadidae..... | 8 |
| Cod (<i>Gadus morhua</i>)..... | 8 |
| Saithe (<i>Pollachius virens</i>) | 8 |
| Lotidae..... | 9 |
| Ling (<i>Molva molva</i>)..... | 9 |
| Anarhichadidae..... | 9 |
| Wolfish (<i>Anarhichas lupus</i>) | 9 |
| Amphibians | 9 |
| Birds | 9 |
| Sulidae | 9 |
| Northern gannet (<i>Morus bassanus</i>) | 9 |
| Alcidae | 9 |
| Razorbill (<i>Alca torda</i>) | 9 |
| Mammals | 10 |
| Taphonomy | 10 |
| Interpretation and discussion | 12 |
| References | 15 |

PROJECT BACKGROUND AND GOALS

The faunal material studied for this report was collected during the excavation of a middle Neolithic hunter- and gatherer site at Bud in Fræna municipality. The Department of Archaeology and Cultural History of the University Museum of Trondheim excavated the site in 2016 in connection with planned housing development. Large amounts of animal bones were collected from cultural layers connected with a dwelling structure and a midden. This faunal material consists of mostly burnt bones in a varying degree of fragmentation.

The University Museum of Trondheim has asked the Section of Osteology, Natural History Collections, University Museum of Bergen to analyse the osteological material from the Korsmyra project. The analysis had the following objectives:

- To gain insight in the fishing and hunting strategies practiced at Korsmyra (including depth and distance out to sea from the settlement);
- To describe the treatment and deposition of fish and the deposition of fish bones at the site;
- To identify and interpret the taphonomical processes and depositional strategies that formed the site;
- To identify mammal bones in the assemblage, while focusing on domestic animals and marine mammals;
- To place and interpret the site in a wider context.

METHODS

The excavated area at the Korsmyra site comprises a midden and a dwelling structure (see Fig. 1). The site was excavated mechanically by square metre, divided into 50x50 cm quadrants in 10 cm thick layers. All the removed sediments were wet sieved through 4 mm mesh sieves and the faunal material was collected from the sieves. Twenty-four of the quadrants (see Table 1) were selected for faunal analysis. Ten quadrants within the dwelling and five quadrants within the midden were selected for their high number of bones; a further nine quadrants were selected randomly. Two of the “random” quadrants were located in the midden and the dwelling each. These four quadrants were included in their respective main context.

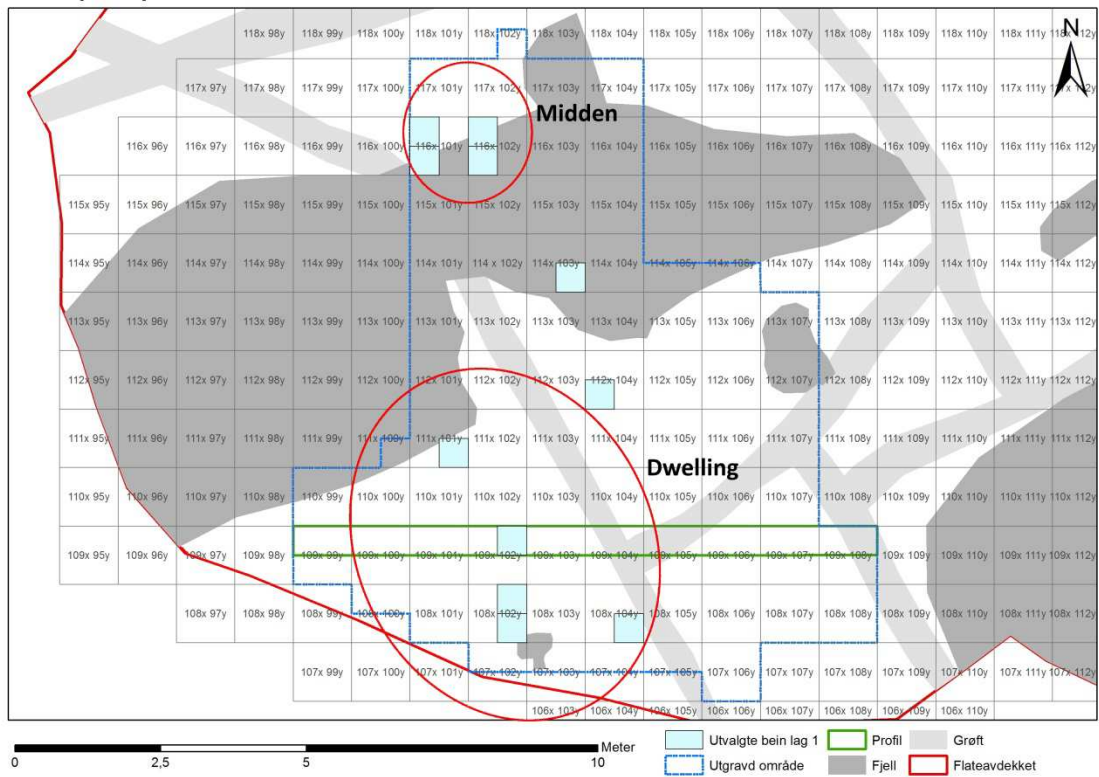
The faunal analysis was carried out in 2017 and 2018 at the Osteological Department of the University Museum of Bergen, University of Bergen by Olaug Flatnes Bratbak and Liselotte Takken Beijersbergen. Each specimen was sorted by family, and, if possible, identified to taxon and skeletal element level, before pathologies and bone surface modifications were recorded under JS 1761. Due to the fragmented and burnt nature of the material, identification of mammal bones was only possible to class level. The identification of fish

bones was possible to a higher degree. At this stage, an estimate of the class (fish/ bird/ mammal) and species composition of the total assemblage was made, after which indeterminable fragments were excluded from further study. As expected based on the fragmented nature of the assemblage, no elements were suitable for measuring, sexing, or ageing. The material is stored at the University Museum in Trondheim. Chi-square and Fisher's exact tests were used to test for differences in distribution (e.g. between the number of fish, mammals, and birds in each archaeological context).

| Local X | Local Y | Quadrant | Layer | Museums-number | Context |
|---------|---------|----------|-------|------------------|------------------|
| 108 | 102 | NØ | 1 | T27311:2626 | Dwelling |
| 108 | 102 | SØ | 1 | T27311:2628 | Dwelling |
| 108 | 104 | SØ | 1 | T27311:2636 | Dwelling |
| 109 | 102 | NØ | 1 | T27311:2641 | Dwelling, random |
| 111 | 101 | SØ | 1 | T27311:2663 | Dwelling, random |
| 112 | 104 | SV | 1 | T27311:2682 | Random |
| 114 | 103 | SØ | 1 | T27311:2694 | Random |
| 116 | 101 | NV | 1 | T27311:2706 | Midden |
| 116 | 101 | SV | 1 | T27311:2708 | Midden |
| 116 | 102 | NV | 1 | T27311:2711 | Midden |
| 116 | 102 | SV | 1 | T27311:2713 | Midden |
| 108 | 104 | SV | 2 | T27311:2752 | Dwelling |
| 109 | 103 | NV | 2 | T27311:2759 | Dwelling |
| 109 | 107 | NØ | 2 | T27311:2766 | Random |
| 110 | 102 | NV | 2 | T27311:2774 | Dwelling |
| 110 | 102 | NØ | 2 | T27311:2775 | Dwelling |
| 110 | 102 | SV | 2 | T27311:2777 | Dwelling |
| 110 | 102 | SØ | 2 | T27311:2778 | Dwelling |
| 111 | 102 | NV | 2 | T27311:2789 | Dwelling |
| 114 | 102 | SØ | 2 | T27311:2815 | Random |
| 114 | 104 | SV | 2 | T27311:2822 | Random |
| 115 | 101 | NØ | 2 | T27311:2828-2829 | Midden, random |
| 116 | 101 | NV | 2 | T27311:2832 | Midden, random |
| 116 | 102 | SV | 2 | T27311:2839-2840 | Midden |

Table 1: The quadrants selected for faunal analysis, providing the local X- and Y-coordinates, the mechanical layer, the number assigned by the University Museum in Trondheim, and the archaeological context.

Korsmyra Layer 1



Korsmyra Layer 2

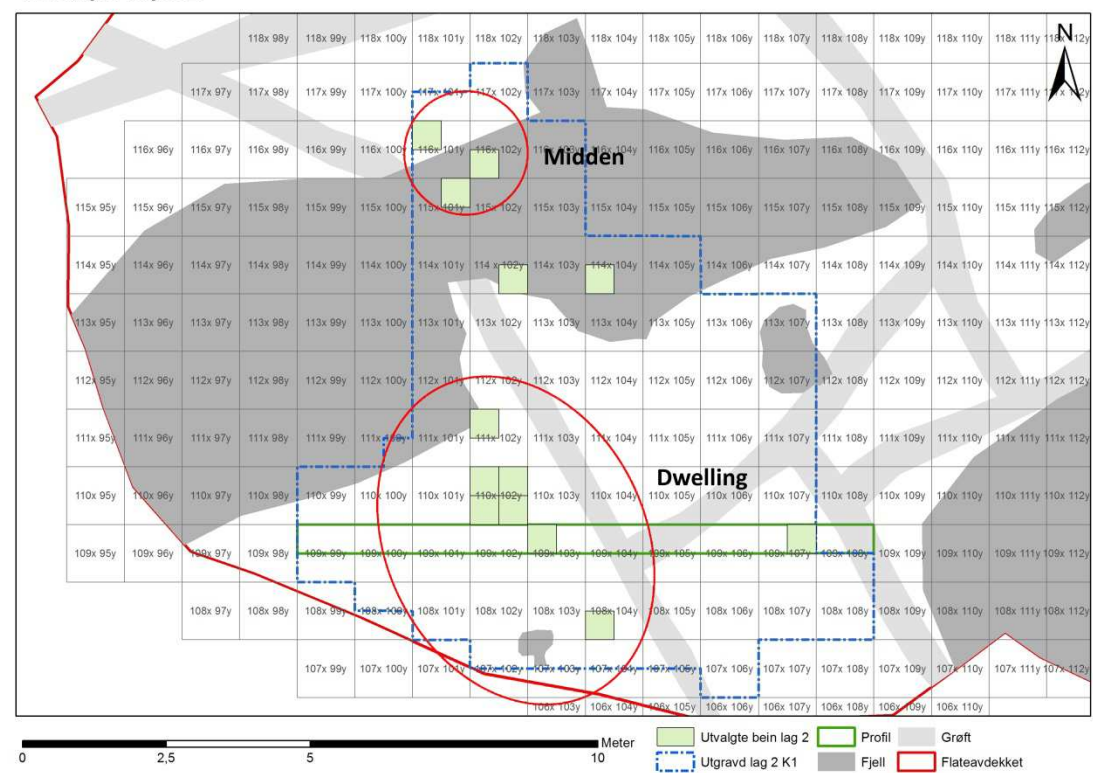


Fig. 1: The areas selected for faunal analysis for layer 1 (top) and layer 2 (bottom), with the location of the midden and dwelling indicated in red (altered from the figures provided by the University Museum in Trondheim).

OVERVIEW OF SPECIES PRESENT

An overview of the identified taxa is presented in Table 2. The total of NISP (Number of Identified Specimens) comes to 11313, whereof just 32 fragments were identified to taxon. The material consists of burnt, mainly small fragments, and identification was therefore difficult. Nevertheless, it was often possible to classify specimens at least to class (bird/ mammal/ fish/ amphibian) or family. The selected quadrants in the dwelling yielded not only more faunal material: they also contained more identifiable specimens. Throughout the entire assemblage, fish bones dominate; especially gadids are well represented in the assemblage. Many fragments could only be assigned to the cod family, but Atlantic cod (*Gadus morhua*), ling (*Molva molva*), and saithe (*Pollachius virens*) were identified with certainty. Along with these, six teeth from a porbeagle (*Lamna nasus*), and a tooth and a fragment of a praemaxillare or maxillare of an Atlantic wolffish were also identified. A diaphysis, likely a femur, of an amphibian was identified in the material from layer 1. In total, 524 fragments were identified as mammalian, but none of these could be assigned to a species with certainty. Just over 50 bird bone fragments, including a distal ulna of a northern gannet (*Morus bassanus*) and a fragment of a sternum of a razorbill (*Alca torda*) were also identified.

| | MIDDEN | | DWELLING | | RANDOM | |
|----------------------------------|-------------|--------------|-------------|--------------|-------------|-------------|
| | NISP | Weight (g) | NISP | Weight (g) | NISP | Weight (g) |
| <i>Lamna nasus</i> | 4 | 0.2 | 2 | | | |
| Salmonidae, unspecified | | | | | 1 | |
| Gadidae, unspecified | 24 | 3.5 | 639 | 36.8 | | |
| <i>Gadus morhua</i> | 4 | 1.3 | 5 | 1 | 1 | 0.2 |
| <i>Gadus morhua/ Molva molva</i> | 1 | 0.8 | | | | |
| <i>Pollachius virens</i> | 3 | 0.6 | 1 | 0.1 | | |
| <i>Molva molva</i> | 2 | 1 | 6 | 1.3 | | |
| <i>Anarhichas lupus</i> | 2 | 0.1 | | | | |
| Fish, unspecified | 3257 | 212.5 | 4105 | 220.3 | 1139 | 52.5 |
| Amphibian, unspecified | 1 | < 0.1 | | | | |
| <i>Morus bassanus</i> | | | 1 | 0.3 | | |
| <i>Alca torda</i> | 1 | 0.4 | | | | |
| Alcidae, unspecified | 1 | < 0.1 | | | 1 | 0.1 |
| Bird, unspecified | 4 | 0.2 | 38 | 2 | 5 | 0.3 |
| Mammal, unspecified | 175 | 17.7 | 308 | 27.1 | 41 | 5.3 |
| Mammal/ fish, unspecified | 27 | 1.8 | 1514 | 83 | | |
| Total | 3506 | 240.1 | 6619 | 371.9 | 1188 | 58.4 |

Table 2: Number of identified specimens (NISP) and weight (g) per archaeological context and per species of the identified specimens.

FISH

No freshwater fish were identified at Korsmyra (only andromous in the case of the salmonid). Within the fish remains that could be assigned to a family at least, cranial bones dominate. Postcranial elements, especially fragmented vertebrae, are present in the unidentifiable material. No measurable specimens were present in the assemblage; nevertheless the presence of both large and small fish was established by comparison to modern individuals.

LAMNIDAE

Porbeagle (*Lamna nasus*)

Six porbeagle teeth, likely representing a single individual, were identified in the Korsmyra assemblage. Four of these were identified in the midden (from contexts T27311:2709, T27311:2714, and T27311:2841), the remaining two were found within the dwelling (contexts T27311:2636 and T27311:2776).

SALMONIDAE

A salmonid vertebra fragment was found in one of the random contexts (T27311:2822) situated outside the midden and the dwelling.

GADIDAE

Fish from the gadid family dominate the assemblage. It is noteworthy that the quadrants from the dwelling contained relatively more unidentifiable gadid fragments than the midden quadrants, although they yielded a similar number of identifiable specimens.

Cod (*Gadus morhua*)

Only cranial cod bones have been recovered from Korsmyra: seven dentaries and three premaxillas. Half of these were found within the dwelling, one was from a random context (T27311:2822), and four were recovered in the midden. Based on the size of the bones we estimate that both small and large cods are represented.

Saithe (*Pollachius virens*)

Like for cod, only cranial bones were identified as saithe. Two dentaries and a premaxilla were recovered from the midden, and a dentary from the dwelling.

LOTIDAE

Ling (*Molva molva*)

Six ling fragments were identified from the dwelling, two from the midden. A vertebra fragment from the midden (T27311:2829) stands out, because it is unburnt.

ANARHICHADIDAE

Wolfish (*Anarhichas lupus*)

A tooth and a fragment of either a premaxilla or a maxilla of a wolffish were found in the midden (T27311:2706).

AMPHIBIANS

A burned amphibian bone, possibly a femur, was recovered from the midden (T27311:2708). Identification of herpetofaunal remains is difficult, and often requires the consideration of the whole skeleton (Gleed-Owen 1998). Adding the fact that the bone is burned, a more detailed identification is impossible.

BIRDS

The Korsmyra assemblage also contains a small percentage of bird bones. The four identified birds are all seabirds; most of the bird bones were however unidentifiable. The majority of bird bones were recovered from the dwelling contexts ($n = 39$), while the midden contexts contained just six.

SULIDAE

Northern gannet (*Morus bassanus*)

A distal ulna of a northern gannet was recovered from within the dwelling (T27311:2752).

ALCIDAE

A fragment of a quadrate and a fragment of a humerus were recognised as belonging to a member of the auk family. Many birds in the auk family were killed and eaten in the past, and the family is often present at marine-orientated sites (e.g. Hufthammer 1992; Serjeantson 2001).

Razorbill (*Alca torda*)

A fragment of a sternum of a razorbill was found in the midden (T27311:2713).

MAMMALS

Among the 524 mammalian specimens none could be determined with certainty. The majority was recovered from the dwelling (58.8%), 33.4% from the midden and 7.8% from the random contexts outside the archaeological structures. This corresponds with the analysed amount of material per context. We deem it likely that the assemblage contains remains of otter (*Lutra lutra*, possible n = 4) and a seal (Phocidae, possible n = 1). Additionally, there is a fragment of a tibia that could belong to a fox. Due to the fragmented nature of the material this must however remain a possibility. Forty-seven long bone fragments belonged to animals in the size category of otters.

TAPHONOMY

Almost all bones in the Korsmyra assemblage are burned to the stage that they are calcined. Several authors have reported that burned bones are more susceptible to fragmentation, resulting in a corresponding reduction in identifiability (e.g. Lyman 1994). This certainly seems to be the case for the Korsmyra assemblage. The majority of specimens measure less than 2 cm. Within the fish material, 99 % of the specimens that could be assigned to taxon or family level and a specific element were head bones. The relative lack of vertebrae may be due to the high level of fragmentation, as very small fragments of vertebrae are not identifiable to species level (230 fish vertebra fragments were found that could not be identified to family/taxon level). Steffen and Mackie (2005) investigated how fish bones are affected by exposure to high temperatures and fire, and how burning affects identifiability. They found that the condition of fish remains after burning depends on their position in the fire, and the degree and duration of the maximum fire temperature. Flat, less sculptural diagnostic elements are less likely to survive heating in identifiable condition than simple, robust bones. They observed a maximum size reduction of 10.9 %, but state that burning does not result in the complete absence of certain skeletal regions in the identifiable bones. However, in the Korsmyra material only head bones and vertebrae were identified. It is thus possible that human behaviour further influenced the assemblage composition. Large numbers of head bones and small numbers of vertebrae can indicate that the fish were decapitated for curing, after which the cranial elements are left at the processing site, and the post-cranial elements are discarded at the final destination (Barrett 1997). This would mean that parts of the fish were transported and consumed elsewhere, while the heads must have been thrown into the fire where they reached the current state of burning. It should also be noted that burned fish remains are extremely fragile, and can easily be destroyed during excavation or sieving (Nicholson 1995). The assemblage may therefore not be representative of the original deposited material. Like at Kotedalen (Hufthammer 1992), taphonomy and identifiability are likely to have influenced the composition of the assemblage further.

ASSESSMENT OF THE SAMPLING STRATEGY

As described above, the removed sediments were wet sieved through 4 mm mesh sieves. Whilst 4 mm meshes are narrow enough to catch most bird and mammalian bone fragments, they are too wide to give an accurate representation of fish remains. Some economically important fish species have a maximum length that does not exceed 20 cm, thus stressing the importance of retrieving small fish remains (Zohar and Belmaker 2005). As demonstrated at the site of Kotedalen (Hordaland), even sieving through 2 mm meshes can increase species diversity (Hufthammer 1992). The absence of smaller species in the Korsmyra assemblage can be explained by the fact that a mesh size of 4 mm was used. Not only does mesh size influence species richness and abundance, but also body size distribution of the larger species. As a general rule when looking for fish remains, sieving to 1 mm is most appropriate (Wheeler and Jones 1989: 50). Deciding how thorough to be in the recovery efforts remains however a tactical question, and depends amongst others on the research questions. Sorting the sieved residues is time consuming and thus costly. Therefore, making a selection and sieving but part of the sediments to finer mesh sizes may be a solution. If the sorting is done by experienced personnel, sorting can be done selectively, i.e. collecting only bones which are considered identifiable, and passing over small fragments of broken bones (Wheeler and Jones 1989).

DISTRIBUTION OF THE FAUNAL REMAINS

No statistically significant difference in faunal composition was found between the different contexts.

| CONTEXT | MUSEUMS-NR | MAMMALIA | PISCES | AMPHIBIA | AVES |
|------------------|-------------|----------|--------|----------|------|
| Midden | T27311:2706 | 8 | 187 | | |
| Midden | T27311:2708 | 10 | 443 | 1 | 1 |
| Midden | T27311:2709 | | 1 | | |
| Midden | T27311:2711 | | 171 | | |
| Midden | T27311:2713 | | 160 | | 3 |
| Midden | T27311:2714 | | 1 | | |
| Midden | T27311:2839 | 47 | 1190 | | 1 |
| Midden | T27311:2840 | 2 | | | |
| Midden | T27311:2841 | | 2 | | |
| Midden, random | T27311:2828 | | 865 | | 1 |
| Midden, random | T27311:2829 | 76 | 6 | | |
| Midden, random | T27311:2832 | 32 | 271 | | |
| Random | T27311:2682 | 1 | 59 | | 1 |
| Random | T27311:2694 | 14 | 240 | | |
| Random | T27311:2766 | 20 | 316 | | 3 |
| Random | T27311:2815 | 1 | 107 | | 1 |
| Random | T27311:2822 | 5 | 419 | | 1 |
| Dwelling | T27311:2626 | | 936 | | |
| Dwelling | T27311:2628 | 20 | 773 | | |
| Dwelling | T27311:2636 | 8 | 77 | | |
| Dwelling | T27311:2752 | 112 | 47 | | 35 |
| Dwelling | T27311:2759 | 13 | 152 | | |
| Dwelling | T27311:2774 | 58 | 635 | | |
| Dwelling | T27311:2775 | | 107 | | 2 |
| Dwelling | T27311:2776 | | 1 | | |
| Dwelling | T27311:2777 | 8 | 211 | | 1 |
| Dwelling | T27311:2778 | 64 | 614 | | |
| Dwelling | T27311:2789 | 17 | 312 | | |
| Dwelling, random | T27311:2641 | | 802 | | |
| Dwelling, random | T27311:2663 | 8 | 91 | | 1 |

Table 3: Number of specimens per archaeological context and per class.

INTERPRETATION AND DISCUSSION

The people that dwelled at Korsmyra in the middle Neolithic clearly had a marine-focussed subsistence strategy. No freshwater fish were found, the identified birds were exclusively sea birds, and although no mammalian remains could be identified to taxon level with certainty, otters and seals are likely to be present in the assemblage. The only possible deviation from a completely marine subsistence is the presence of a tibia that may belong to a fox.

The fish remains that could be identified with certainty are all fish that can be caught close to shore (at least during part of the year), but usually occur in deeper waters. The presence of the porbeagle shark is surprising. The porbeagle is a fast hunter that is most abundant on continental offshore fishing banks, but also occurs in ocean basins and occasionally close inshore (www.fishbase.org). According to Wheeler and Jones (1989:16), mackerel sharks (which include the porbeagle) are "...large, active and dangerous sharks; unlikely to be exploited except by specialists". Porbeagles can be taken in the pursuit of other prey fish, and are often taken by line fishing from the shore (Pickard and Bonsall 2004). Strong equipment is needed, however. Whether the porbeagle at Korsmyra was caught or washed up on the beach is unknown. However, it is likely to have been used by the people at Korsmyra since the teeth (and probably the rest of the head) were burned together with other fish waste. Finds of cartilaginous fish are often limited to the teeth and dermal structures, as cartilage usually does not persist in recognisable form in soil (Wheeler and Jones 1989).

Due to the burned, fragmented nature of the assemblage, no specimens could be measured, and any statements concerning size of the fish present is purely based on assessment by eye. Thus, the presence of e.g. small cod cannot be stated with certainty. Different fishing strategies may be needed to target small or large cods: small cod can be caught in shallow waters close to shore, whereas larger ones usually are found in deeper waters (www.fishbase.org). Saithe (Hodgetts 1999) and especially ling (Pickard and Bonsall 2004) occur mainly in fairly deep water, but they may be found closer to shore. Wolffish occurs in deep water near the bottom; large wolffish usually stay in deep water, but can be found in inshore waters in spring (Hodgetts 1999). With this selection of fish present, the people at Korsmyra likely fished in deep waters. Like at many other locations in Norway, deep waters are found not far from the coast: less than 0.5 km from Kalsneset (a peninsula close to the site) the water is 200 m deep: deep enough for each of the present fish species. The sea level in the middle Neolithic was up to 20 m higher than today (Svendsen and Mangerud 1987), so the Korsmyra site was probably located even closer to the shoreline. Probably no advanced fishing technique was needed to catch demersal species.

The only seasonal indicator found at Korsmyra is a salmonid. Because salmonids spawn in fresh water, but spend most of their lives in the open sea, they are often used as an indicator for summer occupation.

Next to fish, sea birds probably also were part of the diet of the Neolithic people at Korsmyra. Gannets are colonial nesting seabirds that spend most of their life at sea. The first Norwegian breeding colony on the island of Runde was recorded in 1947 (Montevecchi and Hufthammer 1990), and is the closest colony to Korsmyra (ca. 90km linear distance). Today, gannets are present in the area year-round (Gjershaug et al. 1994). In Neolithic times, gannets probably bred more widely and were more abundant along the Norwegian coast (Montevecchi and Hufthammer 1990; Serjeantson 2001). Catching gannets at sea is tricky, although apparently the species is prone to getting entangled in fishing gear (Camphuysen 2008). Catching them during the breeding season is easier. Serjeantson (2001) states that prehistoric finds of gannet bones in any quantity suggest the proximity of a breeding site. The local topography at Bud would provide ample opportunities for gannets to breed. Like the gannet, the razorbill is present year-round near Korsmyra. Today, razorbills nest mainly from the coastal areas of Møre and northwards, but no breeding grounds have been registered near the site. Hunting strategies targeting swimming birds have been suggested for the site of Kotedalen (Hordaland), where razorbills are more numerous during the winter (Hufthammer 1992), but the small quantity of alcid bones does not justify defining seasonality for Korsmyra.

It is likely that the mammalian remains at Korsmyra belonged to animals hunted for their fur, and in the case of the possible seal, also for consumption. Compared to fish, mammals were apparently of lesser importance at the site. We found no indications for the presence of domestic animals.

Comparing Korsmyra to other contemporary faunal assemblages is difficult. Most sites are rock shelters or caves, where conservation conditions for bones are better. Kotedalen, a coastal open-air site in Hordaland is very similar, however. The local phases 14 and 15 there have also been dated to the Middle Neolithic (Olsen 1992). Like Korsmyra, Kotedalen features a marine-focussed subsistence strategy, the faunal material consists of burned fragments, and is dominated by fish remains, complemented with birds and mammals. However, more terrestrial mammals were present in the Neolithic phases of Kotedalen. The faunal composition of the previous phases at Kotedalen is more like the Korsmyra assemblage, as they contain few terrestrial mammals.

Bud (Fræna municipality) has been a fishing community since 1500 AD and was visited seasonally in the Viking age (<https://digitalmuseum.no/011085443174/bud-fiskevaer>). The Neolithic fauna of Korsmyra fits thus well within the more recent history of the area.

REFERENCES

- Barrett, J. H. 1997. Fish trade in Norse Orkney and Caithness: A zooarchaeological approach. *Antiquity*. - *Antiquity* 71: 616-638.
- Camphuysen, C. J. 2008. Verstrikkingen van zeevogels in zwerfvuil en vistuig, 1970-2007. - *Sula* 21: 88-92.
- Gjershaug, J. O., Thingstad, P. G., Eldøy, S. and Byrkjeland, S. 1994. *Norsk Fugleatlas. Hekkefuglenes utbredelse og bestandsstatus i Norge*. 552 pp. Norsk Ornitologisk Forening, Bergen 1994.
- Gleed-Owen, C. P. 1998. *Quaternary Herpetofaunas of the British Isles: Taxonomic Descriptions, Palaeoenvironmental reconstructions, and Biostratigraphic Implications*. Coventry University, Coventry 1998.
- Hodgetts, L. M. 1999. *Animal bones and human society in the late younger stone age of arctic Norway*, Durham theses. Durham University, Durham.
- Hufthammer, A. K. 1992. De osteologiske undersøkelsene fra Kotedalen. In: Hjelle, K. L., Hufthammer, A. K., Kaland, P. E., Olsen, A. B. and Soltvedt, E. C., (Eds.) *Kotedalen - en boplass gjennom 5000 år. Naturvitenskapelige undersøkelser. Bind 2*. Universitetet i Bergen, Bergen.
- Lyman, R. L. 1994. *Vertebrate taphonomy*. Cambridge University Press, Cambridge [England]; New York.
- Montevecchi, W. A. and Hufthammer, A. K. 1990. Zooarchaeological Implications for Prehistoric Distributions of Seabirds along the Norwegian Coasts. - *Arctic* 43: 110-114.
- Nicholson, R. A. 1995. Out of the frying pan into the fire: what value are burnt fish bones to archaeology? - *Archaeofauna* 4.
- Olsen, A. B. 1992. *Kotedalen - en boplass gjennom 5000 år. Bind 1*. Universitetet i Bergen, Bergen.
- Pickard, C. and Bonsall, C. 2004. Deep-Sea Fishing in the European Mesolithic: Fact or Fantasy? - *European Journal of Archaeology* 7: 273-290.
- Serjeantson, D. 2001. The great auk and the gannet: a prehistoric perspective on the extinction of the great auk. - *International Journal of Osteoarchaeology* 11: 43-55.
- Steffen, M. and Mackie, Q. 2005. An Experimental Approach to Understanding Burnt Fish Bone Assemblages within Archaeological Hearth Contexts. - *Canadian Zooarchaeology* 23: 11-38.
- Svendsen, J. I. and Mangerud, J. 1987. Late Weichselian and Holocene sea-level history for a cross-section of western Norway. - *Journal of Quaternary Science* 2: 113-132.

Wheeler, A. and Jones, A. K. G. 1989. *Fishes. Cambridge Manuals in Archaeology*. Cambridge University Press, Cambridge.

Zohar, I. and Belmaker, M. 2005. Size does matter: methodological comments on sieve size and species richness in fishbone assemblages. - *Journal of Archaeological Science* 32: 635-641.

www.fishbase.org

<https://digitalmuseum.no/011085443174/bud-fiskevaer>

APPENDIX: LIST OF DETERMINED SPECIMENS

| T27311 | LAYER | X | Y | Q | CLASS | FAMILY/ SPECIES | NORWEGIAN | ENGLISH | ELEMENT | PART | N | SIDE | BURNT | WEIGHT (G) | COMMENTS |
|--------|-------|-----|-----|----|----------|-------------------------|----------------|--------------|---------------------|---------------|----|------|-------|---------------|-----------------------|
| 2706 | 1 | 116 | 101 | NV | Mammalia | Indet. | Pattedyr | Mammals | Dens | Root | 1 | | yes | 0 | <0.1g |
| 2706 | 1 | 116 | 101 | NV | Mammalia | Indet. | Pattedyr | Mammals | Indet. | | 7 | | yes | 0.1 | |
| 2706 | 1 | 116 | 101 | NV | Pisces | <i>Anarhichas lupus</i> | Gråsteinbit | Wolfish | Praemax/Max | | 1 | | yes | 0.1 | |
| 2706 | 1 | 116 | 101 | NV | Pisces | <i>Anarhichas lupus</i> | Gråsteinbit | Wolfish | Cranium | Dens | 1 | | yes | 0 | <0.1g |
| 2706 | 1 | 116 | 101 | NV | Pisces | <i>Molva molva</i> | Lange | Ling | Dentale | | 1 | Dex | yes | 0.5 | |
| 2706 | 1 | 116 | 101 | NV | Pisces | <i>Gadus morhua</i> | Torsk (Skrei) | Atlantic cod | Dentale | | 1 | Sin | yes | 0.2 | Very likely cod |
| 2706 | 1 | 116 | 101 | NV | Pisces | Gadidae | Torskefamilien | Gadids | Dentale | | 2 | | yes | 0.2 | Probably <i>Molva</i> |
| 2706 | 1 | 116 | 101 | NV | Pisces | Gadidae | Torskefamilien | Gadids | Dentale | | 1 | Sin | yes | 0.1 | |
| 2706 | 1 | 116 | 101 | NV | Pisces | Gadidae | Torskefamilien | Gadids | Praemaxillare | | 5 | | yes | 0.7 | |
| 2706 | 1 | 116 | 101 | NV | Pisces | Indet. | Fisk | Fish | Angulare | | 1 | | yes | 0 | <0.1g |
| 2706 | 1 | 116 | 101 | NV | Pisces | Gadidae | Torskefamilien | Gadids | Praemaxillare | | 1 | | yes | 0 | <0.1g |
| 2706 | 1 | 116 | 101 | NV | Pisces | Indet. | Fisk | Fish | Radii branchiostegi | | 1 | | yes | 0 | <0.1g |
| 2706 | 1 | 116 | 101 | NV | Pisces | Indet. | Fisk | Fish | Vertebra | | 10 | | yes | 0.7 | Large fish |
| 2706 | 1 | 116 | 101 | NV | Pisces | Indet. | Fisk | Fish | Indet. | with alveoles | 5 | | yes | 0.4 | |

Korsmyra - Animal osteological analyses

| T27311 | LAYER | X | Y | Q | CLASS | FAMILY/ SPECIES | NORWEGIAN | ENGLISH | ELEMENT | PART | N | SIDE | BURNT | WEIGHT (G) | COMMENTS |
|--------|-------|-----|-----|----|---------------------|--------------------|----------------|------------------|------------------------|------------------|---------|------|-------|---------------|----------------------------|
| 2706 | 1 | 116 | 101 | NV | Pisces | Indet. | Fisk | Fish | Indet. | | 15 7 | | yes | 12.2 | |
| 2709 | 1 | 116 | 101 | SV | Pisces | <i>Lamna nasus</i> | Håbrann | Porbeagle | Cranium | Dens | 1 | | yes | 0.1 | in use |
| 2708 | 1 | 116 | 101 | SV | Mammalia | Indet. | Pattedyr | Mammals | Indet. | | 10 | | yes | 2.1 | |
| 2708 | 1 | 116 | 101 | SV | Mammalia/ Pisces | Indet. | Pattedyr/ Fisk | Mammals/ Fish | Indet. | | 27 | | yes | 1.8 | |
| 2708 | 1 | 116 | 101 | SV | Amphibia | Amphibia | Padder | Amphibians | Indet. | | 1 | | yes | 0 | <0.1g. Possibly femur |
| 2708 | 1 | 116 | 101 | SV | Aves | Alcidae | Alkefamilien | Auks | Quadratum | | 1 | | yes | 0 | 0.1g |
| 2708 | 1 | 116 | 101 | SV | Pisces | Gadidae | Torskefamilien | Gadids | Dentale | | 1 | Dex | yes | 0.3 | |
| 2708 | 1 | 116 | 101 | SV | Pisces | Gadidae | Torskefamilien | Gadids | Dentale | | 1 | Sin | yes | 0.1 | |
| 2708 | 1 | 116 | 101 | SV | Pisces | Gadidae | Torskefamilien | Gadids | Praemaxillare | Prox | 2 | | yes | 0.2 | |
| 2708 | 1 | 116 | 101 | SV | Pisces | Gadidae | Torskefamilien | Gadids | Praemaxillare | | 2 | | yes | 0.3 | |
| 2708 | 1 | 116 | 101 | SV | Pisces | Gadidae | Torskefamilien | Gadids | Dentale | | 1 | Dex | yes | 0.1 | Probably saithe/pollack |
| 2708 | 1 | 116 | 101 | SV | Pisces | Indet. | Fisk | Fish | Indet. | with alveoles | 15 | | yes | 1.8 | Mainly Gadidae (likely) |
| 2708 | 1 | 116 | 101 | SV | Pisces | Indet. | Fisk | Fish | Vertebra | | 20 | | yes | 1.7 | |
| 2708 | 1 | 116 | 101 | SV | Pisces | Indet. | Fisk | Fish | Radii branchiostegi | | 4 | | yes | 0.2 | |
| 2708 | 1 | 116 | 101 | SV | Pisces | Indet. | Fisk | Fish | Indet. | | 39 5 | | yes | 28.1 | |
| 2708 | 1 | 116 | 101 | SV | Pisces | Indet. | Fisk | Fish | Angulare | | 1 | | yes | 0.6 | |
| 2708 | 1 | 116 | 101 | SV | Pisces | Indet. | Fisk | Fish | Praemaxillare | Prox | 1 | | yes | 0.4 | Probably halibut |
| 2711 | 1 | 116 | 102 | NV | Pisces | Indet. | Fisk | Fish | Dentale | | 1 | Sin | yes | 0.3 | |
| 2711 | 1 | 116 | 102 | NV | Pisces | Indet. | Fisk | Fish | Dentale | | 1 | | yes | 0.1 | |
| 2711 | 1 | 116 | 102 | NV | Pisces | Indet. | Fisk | Fish | Praemaxillare | | 1 | | yes | 0.2 | |

Korsmyra - Animal osteological analyses

| T27311 | LAYER | X | Y | Q | CLASS | FAMILY/ SPECIES | NORWEGIAN | ENGLISH | ELEMENT | PART | N | SIDE | BURNT | WEIGHT (G) | COMMENTS |
|--------|-------|-----|-----|----|----------|--------------------|-----------|-----------|------------------|---------------|---------|------|-------|---------------|-------------------------|
| 2711 | 1 | 116 | 102 | NV | Pisces | Indet. | Fisk | Fish | Praemaxillare | | 1 | | yes | 0.2 | Probably saithe/pollack |
| 2711 | 1 | 116 | 102 | NV | Pisces | Indet. | Fisk | Fish | Vertebra | | 1 | | yes | 0.1 | |
| 2711 | 1 | 116 | 102 | NV | Pisces | Indet. | Fisk | Fish | Indet. | with alveoles | 9 | | yes | 1 | |
| 2711 | 1 | 116 | 102 | NV | Pisces | Indet. | Fisk | Fish | Indet. | | 15 7 | | yes | 8.5 | |
| 2682 | 1 | 112 | 104 | SV | Mammalia | Indet. | Pattedyr | Mammals | Long bone indet. | | 1 | | yes | 0.1 | |
| 2682 | 1 | 112 | 104 | SV | Pisces | Indet. | Fisk | Fish | Dentale | | 1 | Dex | yes | 0 | <0.1g |
| 2682 | 1 | 112 | 104 | SV | Pisces | Indet. | Fisk | Fish | Indet. | | 58 | | yes | 2.8 | |
| 2682 | 1 | 112 | 104 | SV | Aves | Indet. | Fugler | Birds | Indet. | | 1 | | yes | 0 | <0.1g |
| 2714 | 1 | 116 | 102 | SV | Pisces | <i>Lamna nasus</i> | Håbrann | Porbeagle | Cranium | Dens | 1 | | yes | 0.1 | In use |
| 2713 | 1 | 116 | 102 | SV | Aves | <i>Alca torda</i> | Alke | Razorbill | Sternum | | 1 | | yes | 0.4 | |
| 2713 | 1 | 116 | 102 | SV | Aves | Indet. | Fugler | Birds | Indet. | | 2 | | yes | 0.1 | |
| 2713 | 1 | 116 | 102 | SV | Pisces | Indet. | Fisk | Fish | Dentale | | 1 | Dex | yes | 0.2 | |
| 2713 | 1 | 116 | 102 | SV | Pisces | Indet. | Fisk | Fish | Indet. | with alveoles | 1 | | yes | 0.3 | |
| 2713 | 1 | 116 | 102 | SV | Pisces | Indet. | Fisk | Fish | Vertebra | | 1 | | yes | 0 | <0.1g |
| 2713 | 1 | 116 | 102 | SV | Pisces | Indet. | Fisk | Fish | Indet. | | 15 7 | | yes | 10.7 | |
| 2694 | 1 | 114 | 103 | SØ | Mammalia | Indet. | Pattedyr | Mammals | Indet. | | 14 | | yes | 1.9 | |
| 2694 | 1 | 114 | 103 | SØ | Pisces | Indet. | Fisk | Fish | Angulare | | 1 | | yes | 0.3 | |
| 2694 | 1 | 114 | 103 | SØ | Pisces | Indet. | Fisk | Fish | Vertebra | | 3 | | yes | 0.2 | |
| 2694 | 1 | 114 | 103 | SØ | Pisces | Indet. | Fisk | Fish | Praemaxillare | | 3 | | yes | 0.3 | |
| 2694 | 1 | 114 | 103 | SØ | Pisces | Indet. | Fisk | Fish | Vomer | | 1 | | yes | 0.2 | |

Korsmyra - Animal osteological analyses

| T27311 | LAYER | X | Y | Q | CLASS | FAMILY/ SPECIES | NORWEGIAN | ENGLISH | ELEMENT | PART | N | SIDE | BURNT | WEIGHT (G) | COMMENTS |
|--------|-------|-----|-----|----|---------------------|--------------------|----------------|------------------|---------------|------------------|---------|------|-------|---------------|-------------------|
| 2694 | 1 | 114 | 103 | SØ | Pisces | Indet. | Fisk | Fish | Dentale | | 1 | | yes | 0 | <0.1g |
| 2694 | 1 | 114 | 103 | SØ | Pisces | Indet. | Fisk | Fish | Indet. | | 23 1 | | yes | 12.2 | |
| 2641 | 1 | 109 | 102 | NØ | Pisces/Mam malia | Indet. | Fisk/Pattedyr | Fish/Mamm als | Indet. | | 12 | | yes | 1.2 | |
| 2641 | 1 | 109 | 102 | NØ | Pisces | <i>Molva molva</i> | Lange | Ling | Dentale | | 2 | | yes | 0.3 | |
| 2641 | 1 | 109 | 102 | NØ | Pisces | Gadidae | Torskefamilien | Gadids | Dentale | | 3 | | yes | 0.5 | Probably ling |
| 2641 | 1 | 109 | 102 | NØ | Pisces | Gadidae | Torskefamilien | Gadids | Dentale | | 1 | | yes | 0.2 | Probably cod |
| 2641 | 1 | 109 | 102 | NØ | Pisces | Indet. | Fisk | Fish | Dentale | | 1 | Sin | yes | 0.1 | |
| 2641 | 1 | 109 | 102 | NØ | Pisces | Indet. | Fisk | Fish | Praemaxillare | | 2 | | yes | 0.3 | Probably ling |
| 2641 | 1 | 109 | 102 | NØ | Pisces | Gadidae | Torskefamilien | Gadids | Vomer | | 3 | | yes | 0.3 | |
| 2641 | 1 | 109 | 102 | NØ | Pisces | Indet. | Fisk | Fish | Indet. | with alveoles | 19 | | yes | 1.4 | |
| 2641 | 1 | 109 | 102 | NØ | Pisces | Indet. | Fisk | Fish | Vertebra | | 17 | | yes | 0.8 | |
| 2641 | 1 | 109 | 102 | NØ | Pisces | Indet. | Fisk | Fish | Angulare | | 1 | | yes | 0.1 | |
| 2641 | 1 | 109 | 102 | NØ | Pisces | Indet. | Fisk | Fish | Indet. | | 75 3 | | yes | 40.2 | |
| 2636 | 1 | 108 | 104 | SØ | Pisces | <i>Lamna nasus</i> | Håbrann | Porbeagle | Cranium | Dens | 1 | | yes | 0 | <0.1g, substitute |
| 2636 | 1 | 108 | 104 | SØ | Pisces | Indet. | Fisk | Fish | Indet. | with alveoles | 1 | | yes | 0.1 | Large species |
| 2636 | 1 | 108 | 104 | SØ | Pisces | Indet. | Fisk | Fish | Indet. | | 75 | | yes | 4 | |

Korsmyra - Animal osteological analyses

| T27311 | LAYER | X | Y | Q | CLASS | FAMILY/ SPECIES | NORWEGIAN | ENGLISH | ELEMENT | PART | N | SIDE | BURNT | WEIGHT (G) | COMMENTS |
|--------|-------|-----|-----|----|-----------------------|---------------------|-----------------|--------------------|------------------------|------|---------|------|-------|---------------|----------------|
| 2636 | 1 | 108 | 104 | SØ | Mammalia | Indet. | Pattedyr | Mammals | Long bone indet. | | 1 | | yes | 0.1 | |
| 2636 | 1 | 108 | 104 | SØ | Mammalia | Indet. | Pattedyr | Mammals | Indet. | | 7 | | yes | 0.6 | |
| 2626 | 1 | 108 | 102 | NØ | Mammalia/ (Pisces) | Indet. | Pattedyr/(Fisk) | Mammals/(Fish) | Indet. | | 27 | | yes | 4 | |
| 2626 | 1 | 108 | 102 | NØ | Pisces | Indet. | Fisk | Fish | Cranium | Dens | 1 | | yes | 0 | <0.1g |
| 2626 | 1 | 108 | 102 | NØ | Pisces | Indet. | Fisk | Fish | Angulare | | 1 | | yes | 0.4 | Likely Gadidae |
| 2626 | 1 | 108 | 102 | NØ | Pisces | Indet. | Fisk | Fish | Posttemporale | | 1 | | yes | 0.2 | Likely Gadidae |
| 2626 | 1 | 108 | 102 | NØ | Pisces | Indet. | Fisk | Fish | Radii branchiostegi | | 1 | | yes | 0.1 | |
| 2626 | 1 | 108 | 102 | NØ | Pisces | Indet. | Fisk | Fish | Vertebra | | 17 | | yes | 0.8 | |
| 2626 | 1 | 108 | 102 | NØ | Pisces | Indet. | Fisk | Fish | Indet. | | 4 | | yes | 0.3 | with alveoles |
| 2626 | 1 | 108 | 102 | NØ | Pisces | Indet. | Fisk | Fish | Indet. | | 91 1 | | yes | 47.1 | |
| 2628 | 1 | 108 | 102 | SØ | Mammalia | Indet. | Pattedyr | Mammals | Indet. | | 19 | | yes | 2.6 | |
| 2628 | 1 | 108 | 102 | SØ | Mammalia | Indet. | Pattedyr | Mammals | Dens | Root | 1 | | yes | 0.1 | Probably seal |
| 2628 | 1 | 108 | 102 | SØ | Pisces | <i>Gadus morhua</i> | Torsk (Skrei) | Atlantic cod | Praemaxillare | | 1 | Dex | yes | 0.6 | |
| 2628 | 1 | 108 | 102 | SØ | Pisces | <i>Gadus morhua</i> | Torsk (Skrei) | Atlantic cod | Dentale | | 1 | Sin | yes | 0.2 | |
| 2628 | 1 | 108 | 102 | SØ | Pisces | <i>Gadus morhua</i> | Torsk (Skrei) | Atlantic cod | Dentale | | 1 | | yes | 0 | <0.1g |
| 2628 | 1 | 108 | 102 | SØ | Pisces | <i>Molva molva</i> | Lange | Ling | Praemaxillare | | 1 | Dex | yes | 0.3 | |

Korsmyra - Animal osteological analyses

| T27311 | LAYER | X | Y | Q | CLASS | FAMILY/ SPECIES | NORWEGIAN | ENGLISH | ELEMENT | PART | N | SIDE | BURNT | WEIGHT (G) | COMMENTS |
|--------|-------|-----|-----|----|----------|--------------------|----------------|---------|------------------------|------------------|---------|------|-------|---------------|----------------------------|
| 2628 | 1 | 108 | 102 | SØ | Pisces | <i>Molva molva</i> | Lange | Ling | Praemaxillare | | 1 | | yes | 0.2 | |
| 2628 | 1 | 108 | 102 | SØ | Pisces | <i>Molva molva</i> | Lange | Ling | Dentale | | 1 | | yes | 0.3 | |
| 2628 | 1 | 108 | 102 | SØ | Pisces | Gadidae | Torskefamilien | Gadids | Vomer | | 1 | | yes | 0.2 | |
| 2628 | 1 | 108 | 102 | SØ | Pisces | Gadidae | Torskefamilien | Gadids | Praemaxillare | | 3 | | yes | 0.3 | |
| 2628 | 1 | 108 | 102 | SØ | Pisces | Gadidae | Torskefamilien | Gadids | Dentale | | 1 | Dex | yes | 0.2 | |
| 2628 | 1 | 108 | 102 | SØ | Pisces | Indet. | Fisk | Fish | Indet. | with alveoles | 32 | | yes | 0.9 | Probably mostly Gadidae |
| 2628 | 1 | 108 | 102 | SØ | Pisces | Indet. | Fisk | Fish | Radii branchiostegi | | 4 | | yes | 0.2 | |
| 2628 | 1 | 108 | 102 | SØ | Pisces | Indet. | Fisk | Fish | Vertebra | | 8 | | yes | 0.3 | |
| 2628 | 1 | 108 | 102 | SØ | Pisces | Indet. | Fisk | Fish | Indet. | | 71 8 | | yes | 37.6 | |
| 2663 | 1 | 111 | 101 | SØ | Pisces | <i>Molva molva</i> | Lange | Ling | Praemaxillare | | 1 | Dex | yes | 0.2 | |
| 2663 | 1 | 111 | 101 | SØ | Pisces | Indet. | Fisk | Fish | Vertebra | | 1 | | yes | 0 | <0.1g |
| 2663 | 1 | 111 | 101 | SØ | Pisces | Indet. | Fisk | Fish | Indet. | | 89 | | yes | 3.9 | |
| 2663 | 1 | 111 | 101 | SØ | Aves | Indet. | Fugler | Birds | Phalanx pes | Phal. 3 | 1 | | yes | 0.1 | |
| 2663 | 1 | 111 | 101 | SØ | Mammalia | Indet. | Pattedyr | Mammals | Indet. | | 8 | | yes | 1.3 | |
| 2815 | 2 | 114 | 102 | SØ | Aves | Indet. | Fugler | Birds | Vertebra | | 1 | | yes | 0.1 | Size and form: gannet |
| 2815 | 2 | 114 | 102 | SØ | Mammalia | Indet. | Pattedyr | Mammals | Indet. | | 1 | | yes | 0.1 | |

Korsmyra - Animal osteological analyses

| T27311 | LAYER | X | Y | Q | CLASS | FAMILY/ SPECIES | NORWEGIAN | ENGLISH | ELEMENT | PART | N | SIDE | BURNT | WEIGHT (G) | COMMENTS |
|--------|-------|-----|-----|----|----------|---------------------|---------------|--------------|------------------------|-------|---------|------|-------|---------------|-------------------|
| 2815 | 2 | 114 | 102 | SØ | Pisces | Indet. | Fisk | Fish | Vertebra | | 2 | | yes | 0 | <0.1g |
| 2815 | 2 | 114 | 102 | SØ | Pisces | Indet. | Fisk | Fish | Indet. | | 10 3 | | yes | 5 | |
| 2815 | 2 | 114 | 102 | SØ | Pisces | Indet. | Fisk | Fish | Indet. | | 2 | | yes | 0.2 | with alveoles |
| 2777 | 2 | 110 | 102 | SV | Mammalia | Indet. | Pattedyr | Mammals | Indet. | | 8 | | yes | 1.2 | |
| 2777 | 2 | 110 | 102 | SV | Aves | Indet. | Fugler | Birds | Indet. | | 1 | | yes | 0.1 | |
| 2777 | 2 | 110 | 102 | SV | Pisces | Indet. | Fisk | Fish | Vertebra | | 1 | | yes | 0 | <0.1g |
| 2777 | 2 | 110 | 102 | SV | Pisces | Indet. | Fisk | Fish | Vomer | | 1 | | yes | 0.1 | |
| 2777 | 2 | 110 | 102 | SV | Pisces | Indet. | Fisk | Fish | Praemaxillare | | 1 | | yes | 0.2 | |
| 2777 | 2 | 110 | 102 | SV | Pisces | Indet. | Fisk | Fish | Indet. | | 20 8 | | yes | 11 | |
| 2822 | 2 | 114 | 104 | SV | Mammalia | Indet. | Pattedyr | Mammals | Dens | Root | 1 | | yes | 0.2 | |
| 2822 | 2 | 114 | 104 | SV | Mammalia | Indet. | Pattedyr | Mammals | Indet. | | 4 | | yes | 0.7 | |
| 2822 | 2 | 114 | 104 | SV | Aves | Alcidae | Alkefamilien | Auks | Humerus | Dia | 1 | | yes | 0.1 | |
| 2822 | 2 | 114 | 104 | SV | Pisces | <i>Gadus morhua</i> | Torsk (Skrei) | Atlantic cod | Dentale | | 1 | Dex | yes | 0.2 | |
| 2822 | 2 | 114 | 104 | SV | Pisces | Salmonidae | Laksefamilien | Salmonids | Vertebra | | 1 | | yes | 0 | <0.1g |
| 2822 | 2 | 114 | 104 | SV | Pisces | Indet. | Fisk | Fish | Praemaxillare | | 1 | | yes | 0.2 | |
| 2822 | 2 | 114 | 104 | SV | Pisces | Indet. | Fisk | Fish | Vertebra | | 12 | | yes | 0.6 | |
| 2822 | 2 | 114 | 104 | SV | Pisces | Indet. | Fisk | Fish | Praemaxillare | | 2 | | yes | 0.2 | |
| 2822 | 2 | 114 | 104 | SV | Pisces | Indet. | Fisk | Fish | Radii branchiostegi | | 1 | | yes | 0.1 | |
| 2822 | 2 | 114 | 104 | SV | Pisces | Indet. | Fisk | Fish | Indet. | | 6 | | yes | 0.6 | with alveoles |
| 2822 | 2 | 114 | 104 | SV | Pisces | Indet. | Fisk | Fish | Indet. | | 39 5 | | yes | 17.7 | |
| 2766 | 2 | 109 | 107 | NØ | Mammalia | Indet. | Pattedyr | Mammals | Indet. | | 20 | | yes | 2.3 | |
| 2766 | 2 | 109 | 107 | NØ | Aves | Indet. | Fugler | Birds | Tarsometatarsus | Dist. | 1 | | yes | 0.1 | size wise Alcidae |

Korsmyra - Animal osteological analyses

| T27311 | LAYER | X | Y | Q | CLASS | FAMILY/ SPECIES | NORWEGIAN | ENGLISH | ELEMENT | PART | N | SIDE | BURNT | WEIGHT (G) | COMMENTS |
|--------|-------|-----|-----|----|-----------------------|---------------------|-----------------|--------------------|-------------------------|-------|---------|------|-------|---------------|-------------------|
| 2766 | 2 | 109 | 107 | NØ | Aves | Indet. | Fugler | Birds | Ulna | Dist. | 1 | | yes | 0.1 | Size wise Alcidae |
| 2766 | 2 | 109 | 107 | NØ | Aves | Indet. | Fugler | Birds | Long bone indet. | | 1 | | yes | 0 | <0.1g |
| 2766 | 2 | 109 | 107 | NØ | Pisces | Indet. | Fisk | Fish | Vertebra | | 3 | | yes | 0.1 | |
| 2766 | 2 | 109 | 107 | NØ | Pisces | Indet. | Fisk | Fish | Radius branchiostegi | | 1 | | yes | 0.1 | |
| 2766 | 2 | 109 | 107 | NØ | Pisces | Indet. | Fisk | Fish | Dentale | | 1 | | yes | 0.2 | |
| 2766 | 2 | 109 | 107 | NØ | Pisces | Indet. | Fisk | Fish | Indet. | | 2 | | yes | 0.1 | with alveoles |
| 2766 | 2 | 109 | 107 | NØ | Pisces | Indet. | Fisk | Fish | Indet. | | 30 9 | | yes | 11.4 | |
| 2776 | 2 | 110 | 102 | NØ | Pisces | <i>Lamna nasus</i> | Håbrann | Porbeagle | Cranium | Dens | 1 | | yes | 0 | <0.1g, substitute |
| 2775 | 2 | 110 | 102 | NØ | Mammalia/(Pisces) | Indet. | Pattedyr/(Fisk) | Mammals/(Fish) | Indet. | | 78 | | yes | 7.8 | |
| 2775 | 2 | 110 | 102 | NØ | Aves | Indet. | Fugler | Birds | Fibula | | 1 | Sin | yes | 0.1 | |
| 2775 | 2 | 110 | 102 | NØ | Aves | Indet. | Fugler | Birds | Indet. | | 1 | | yes | 0 | <0.1g |
| 2775 | 2 | 110 | 102 | NØ | Pisces | <i>Gadus morhua</i> | Torsk (Skrei) | Atlantic cod | Dentale | | 1 | Dex | yes | 0.1 | |
| 2775 | 2 | 110 | 102 | NØ | Pisces | <i>Gadus morhua</i> | Torsk (Skrei) | Atlantic cod | Dentale | | 1 | Dex | yes | 0.1 | |
| 2775 | 2 | 110 | 102 | NØ | Pisces | Gadidae | Torskefamilien | Gadids | Praemaxillare | | 1 | Sin | yes | 0 | <0.1g |
| 2775 | 2 | 110 | 102 | NØ | Pisces | Gadidae | Torskefamilien | Gadids | Dentale | | 1 | Sin | yes | 0.3 | Likely cod |
| 2775 | 2 | 110 | 102 | NØ | Pisces | Gadidae | Torskefamilien | Gadids | Dentale | | 1 | Dex | yes | 0.1 | Likely cod |

Korsmyra - Animal osteological analyses

| T27311 | LAYER | X | Y | Q | CLASS | FAMILY/ SPECIES | NORWEGIAN | ENGLISH | ELEMENT | PART | N | SIDE | BURNT | WEIGHT (G) | COMMENTS |
|--------|-------|-----|-----|----|----------------------|--------------------|----------------|---------|------------------------|------|----------|------|-------|---------------|-------------------------|
| 2775 | 2 | 110 | 102 | NØ | Pisces | Gadidae | Torskefamilien | Gadids | Dentale | | 1 | Sin | yes | 0 | <0.1g |
| 2775 | 2 | 110 | 102 | NØ | Pisces | Gadidae | Torskefamilien | Gadids | Dentale | | 1 | | yes | 0.1 | |
| 2775 | 2 | 110 | 102 | NØ | Pisces | Gadidae | Torskefamilien | Gadids | Dentale | | 1 | Sin | yes | 0.2 | |
| 2775 | 2 | 110 | 102 | NØ | Pisces | Gadidae | Torskefamilien | Gadids | Dentale | | 1 | Dex | yes | 0.3 | Possibly ling |
| 2775 | 2 | 110 | 102 | NØ | Pisces | Gadidae | Torskefamilien | Gadids | Vomer | | 2 | | yes | 0.1 | |
| 2775 | 2 | 110 | 102 | NØ | Pisces | Gadidae | Torskefamilien | Gadids | Maxillare | | 1 | Sin | yes | 0.1 | |
| 2775 | 2 | 110 | 102 | NØ | Pisces | Gadidae | Torskefamilien | Gadids | Dentale | | 1 | | yes | 0 | <0.1g |
| 2775 | 2 | 110 | 102 | NØ | Pisces | Indet. | Fisk | Fish | Pharyngeum | | 2 | | yes | 0.3 | |
| 2775 | 2 | 110 | 102 | NØ | Pisces | Indet. | Fisk | Fish | Praemaxillare | | 2 | | yes | 0.3 | |
| 2775 | 2 | 110 | 102 | NØ | Pisces | Indet. | Fisk | Fish | Indet. | | 35 | | yes | 2.9 | with alveoles |
| 2775 | 2 | 110 | 102 | NØ | Pisces | Indet. | Fisk | Fish | Cranium | Dens | 1 | | yes | 0 | <0.1g |
| 2775 | 2 | 110 | 102 | NØ | Pisces | Indet. | Fisk | Fish | Radii branchiostegi | | 9 | | yes | 0.6 | |
| 2775 | 2 | 110 | 102 | NØ | Pisces | Indet. | Fisk | Fish | Vertebra | | 45 | | yes | 1.9 | Probably many gadids |
| 2775 | 2 | 110 | 102 | NØ | Pisces (Mammalia) | Indet. | Fisk | Fish | Indet. | | 13 97 | | yes | 70 | Probably many gadids |
| 2829 | 2 | 115 | 101 | NØ | Pisces | <i>Molva molva</i> | Lange | Ling | Vertebra | | 1 | | no | 0.5 | |
| 2829 | 2 | 115 | 101 | NØ | Pisces | Indet. | Fisk | Fish | Vertebra | | 2 | | no | 0.5 | Possibly ling |

Korsmyra - Animal osteological analyses

| T27311 | LAYER | X | Y | Q | CLASS | FAMILY/ SPECIES | NORWEGIAN | ENGLISH | ELEMENT | PART | N | SIDE | BURNT | WEIGHT (G) | COMMENTS |
|--------|-------|-----|-----|----|----------|-----------------------------------|----------------|---------------------|---------------|------|----|------|-------|---------------|---------------|
| 2829 | 2 | 115 | 101 | NØ | Pisces | Indet. | Fisk | Fish | Vertebra | | 2 | | no | 0 | weathered |
| 2829 | 2 | 115 | 101 | NØ | Pisces | Indet. | Fisk | Fish | Indet. | | 1 | | no | 0.1 | |
| 2829 | 2 | 115 | 101 | NØ | Mammalia | Indet. | Pattedyr | Mammals | Indet. | | 76 | | yes | 9.8 | |
| 2828 | 2 | 115 | 101 | NØ | Aves | Indet. | Fugler | Birds | Phalanx pes | | 1 | | yes | 0.1 | Goose-sized |
| 2828 | 2 | 115 | 101 | NØ | Pisces | <i>Pollachius virens</i> | Sei | Saithe | Praemaxillare | | 1 | Dex | yes | 0.2 | |
| 2828 | 2 | 115 | 101 | NØ | Pisces | <i>Pollachius virens</i> | Sei | Saithe | Dentale | | 2 | Sin | yes | 0.4 | |
| 2828 | 2 | 115 | 101 | NØ | Pisces | <i>Gadus morhua</i> | Torsk (Skrei) | Atlantic cod | Praemaxillare | | 1 | Sin | yes | 0.5 | |
| 2828 | 2 | 115 | 101 | NØ | Pisces | <i>Gadus morhua</i> | Torsk (Skrei) | Atlantic cod | Dentale | | 1 | Sin | yes | 0.3 | |
| 2828 | 2 | 115 | 101 | NØ | Pisces | <i>Gadus morhua</i> | Torsk (Skrei) | Atlantic cod | Praemaxillare | | 1 | | yes | 0.3 | |
| 2828 | 2 | 115 | 101 | NØ | Pisces | <i>Gadus morhua/(Molva molva)</i> | Torsk/(Lange) | Atlantic cod/(Ling) | Dentale | | 1 | | yes | 0.8 | |
| 2828 | 2 | 115 | 101 | NØ | Pisces | Gadidae | Torskefamilien | Gadids | Vomer | | 2 | | yes | 0.2 | |
| 2828 | 2 | 115 | 101 | NØ | Pisces | Gadidae | Torskefamilien | Gadids | Maxillare | | 3 | | yes | 0.8 | |
| 2828 | 2 | 115 | 101 | NØ | Pisces | Gadidae | Torskefamilien | Gadids | Dentale | | 2 | Dex | yes | 0.3 | |
| 2828 | 2 | 115 | 101 | NØ | Pisces | Indet. | Fisk | Fish | Angulare | | 1 | | yes | 0.4 | |
| 2828 | 2 | 115 | 101 | NØ | Pisces | Indet. | Fisk | Fish | Indet. | | 21 | | yes | 9.4 | with alveoles |

Korsmyra - Animal osteological analyses

| T27311 | LAYER | X | Y | Q | CLASS | FAMILY/ SPECIES | NORWEGIAN | ENGLISH | ELEMENT | PART | N | SIDE | BURNT | WEIGHT (G) | COMMENTS |
|--------|-------|-----|-----|----|----------|--------------------|----------------|-----------|------------------------|------|----------|------|-------|---------------|------------------------------|
| 2828 | 2 | 115 | 101 | NØ | Pisces | Indet. | Fisk | Fish | Cranium | Dens | 1 | | yes | 0 | |
| 2828 | 2 | 115 | 101 | NØ | Pisces | Indet. | Fisk | Fish | Vertebra | | 22 | | yes | 2.1 | |
| 2828 | 2 | 115 | 101 | NØ | Pisces | Indet. | Fisk | Fish | Radii branchiostegi | | 7 | | yes | 0.8 | |
| 2828 | 2 | 115 | 101 | NØ | Pisces | Indet. | Fisk | Fish | Indet. | | 79 9 | | yes | 42.9 | |
| 2840 | 2 | 116 | 102 | SV | Mammalia | Indet. | Pattedyr | Mammals | Indet. | | 2 | | yes | 0.1 | |
| 2841 | 2 | 116 | 102 | SV | Pisces | <i>Lamna nasus</i> | Håbrann | Porbeagle | Cranium | Dens | 2 | | yes | 0 | <0.1g, substitute |
| 2839 | 2 | 116 | 102 | SV | Mammalia | Indet. | Pattedyr | Mammals | Indet. | | 47 | | yes | 1.5 | |
| 2839 | 2 | 116 | 102 | SV | Aves | Indet. | Fugler | Birds | Long bone indet. | | 1 | | yes | 0 | <0.1g |
| 2839 | 2 | 116 | 102 | SV | Pisces | Gadidae | Torskefamilien | Gadids | Dentale | | 1 | Dex | yes | 0.2 | Likely cod |
| 2839 | 2 | 116 | 102 | SV | Pisces | Indet. | Fisk | Fish | Indet. | | 1 | | yes | 4.2 | with alveoles |
| 2839 | 2 | 116 | 102 | SV | Pisces | Indet. | Fisk | Fish | Radii branchiostegi | | 7 | | yes | 0.6 | |
| 2839 | 2 | 116 | 102 | SV | Pisces | Indet. | Fisk | Fish | Vertebra | | 24 | | yes | 1.5 | |
| 2839 | 2 | 116 | 102 | SV | Pisces | Indet. | Fisk | Fish | Indet. | | 11 56 | | yes | 66.1 | Likely some mammals included |
| 2839 | 2 | 116 | 102 | SV | Pisces | Indet. | Fisk | Fish | Cranium | Dens | 1 | | yes | 0 | <0.1g |
| 2832 | 2 | 116 | 101 | NV | Mammalia | Indet. | Pattedyr | Mammals | Long bone indet. | | 1 | | yes | 0.7 | Possibly a tibia of a fox |
| 2832 | 2 | 116 | 101 | NV | Mammalia | Indet. | Pattedyr | Mammals | Indet. | | 31 | | yes | 3.4 | |
| 2832 | 2 | 116 | 101 | NV | Pisces | Indet. | Fisk | Fish | Vertebra | | 7 | | yes | 0.6 | |
| 2832 | 2 | 116 | 101 | NV | Pisces | Indet. | Fisk | Fish | Radii branchiostegi | | 5 | | yes | 0.7 | |

Korsmyra - Animal osteological analyses

| T27311 | LAYER | X | Y | Q | CLASS | FAMILY/ SPECIES | NORWEGIAN | ENGLISH | ELEMENT | PART | N | SIDE | BURNT | WEIGHT (G) | COMMENTS |
|--------|-------|-----|-----|----|----------|--------------------------|----------------|-----------------|------------------|-----------------|---------|------|-------|---------------|-------------------------------------|
| 2832 | 2 | 116 | 101 | NV | Pisces | Indet. | Fisk | Fish | Indet. | | 8 | | yes | 0.9 | with aveoles |
| 2832 | 2 | 116 | 101 | NV | Pisces | Indet. | Fisk | Fish | Indet. | | 25 1 | | yes | 14 | |
| 2752 | 2 | 108 | 104 | SV | Mammalia | Indet. | Pattedyr | Mammals | Metatarsus | Dia (distal) | 1 | | yes | 0 | <0.1g. Probably otter |
| 2752 | 2 | 108 | 104 | SV | Mammalia | Indet. | Pattedyr | Mammals | Metapodium | | 1 | | yes | 0 | <0.1g. Size wise otter |
| 2752 | 2 | 108 | 104 | SV | Mammalia | Indet. | Pattedyr | Mammals | Costa | | 1 | | yes | 0 | <0.1g. –possibly otter or smaller |
| 2752 | 2 | 108 | 104 | SV | Mammalia | Indet. | Pattedyr | Mammals | Long bone indet. | | 47 | | yes | 4.3 | Medium sized mammal, possibly otter |
| 2752 | 2 | 108 | 104 | SV | Mammalia | Indet. | Pattedyr | Mammals | Vertebra | | 1 | | yes | 0.1 | Size and shape like otter |
| 2752 | 2 | 108 | 104 | SV | Mammalia | Indet. | Pattedyr | Mammals | Indet. | | 61 | | yes | 3.3 | |
| 2752 | 2 | 108 | 104 | SV | Aves | <i>Morus bassanus</i> | Havsule | Northern gannet | Ulna | Dist. | 1 | | yes | 0.3 | |
| 2752 | 2 | 108 | 104 | SV | Aves | Indet. | Fugler | Birds | Long bone indet. | | 19 | | yes | 1 | |
| 2752 | 2 | 108 | 104 | SV | Aves | Indet. | Fugler | Birds | Indet. | | 15 | | yes | 0.7 | |
| 2752 | 2 | 108 | 104 | SV | Pisces | <i>Pollachius virens</i> | Sei | Saithe | Dentale | | 1 | Dex | yes | 0.1 | |
| 2752 | 2 | 108 | 104 | SV | Pisces | Gadidae | Torskefamilien | Gadids | Vomer | | 1 | | yes | 0.1 | |
| 2752 | 2 | 108 | 104 | SV | Pisces | Gadidae | Torskefamilien | Gadids | Praemaxillare | | 1 | | yes | 0.1 | Probably cod |
| 2752 | 2 | 108 | 104 | SV | Pisces | Indet. | Fisk | Fish | Indet. | | 4 | | yes | 0.5 | with alveoles |
| 2752 | 2 | 108 | 104 | SV | Pisces | Indet. | Fisk | Fish | Indet. | | 40 | | yes | 2.3 | |
| 2774 | 2 | 110 | 102 | NV | Mammalia | Indet. | Pattedyr | Mammals | Indet. | | 58 | | yes | 5.4 | |

Korsmyra - Animal osteological analyses

| T27311 | LAYER | X | Y | Q | CLASS | FAMILY/ SPECIES | NORWEGIAN | ENGLISH | ELEMENT | PART | N | SIDE | BURNT | WEIGHT (G) | COMMENTS |
|--------|-------|-----|-----|----|----------|--------------------|----------------|---------|------------------------|------|---------|------|-------|---------------|---|
| 2774 | 2 | 110 | 102 | NV | Pisces | Indet. | Fisk | Fish | Dentale | | 1 | Dex | yes | 0.3 | |
| 2774 | 2 | 110 | 102 | NV | Pisces | Indet. | Fisk | Fish | Radii branchiostegi | | 1 | | yes | 0 | <0.1g |
| 2774 | 2 | 110 | 102 | NV | Pisces | Indet. | Fisk | Fish | Vertebra | | 12 | | yes | 0.8 | |
| 2774 | 2 | 110 | 102 | NV | Pisces | Indet. | Fisk | Fish | Indet. | | 12 | | yes | 1.3 | with alveoles |
| 2774 | 2 | 110 | 102 | NV | Pisces | Gadidae | Torskefamilien | Gadids | Praemaxillare | | 1 | | yes | 0.1 | |
| 2774 | 2 | 110 | 102 | NV | Pisces | Gadidae | Torskefamilien | Gadids | Dentale | | 1 | | yes | 0.5 | Probably ling |
| 2774 | 2 | 110 | 102 | NV | Pisces | Gadidae | Torskefamilien | Gadids | Indet. | | 60 7 | | yes | 32 | |
| 2778 | 2 | 110 | 102 | SØ | Mammalia | Indet. | Pattedyr | Mammals | Indet. | | 64 | | yes | 5.8 | Probably including birds and fish |
| 2778 | 2 | 110 | 102 | SØ | Pisces | Gadidae | Torskefamilien | Gadids | Dentale | | 1 | Dex | yes | 0.4 | Probably ling |
| 2778 | 2 | 110 | 102 | SØ | Pisces | Gadidae | Torskefamilien | Gadids | Dentale | | 1 | Sin | yes | 0.2 | Probably cod |
| 2778 | 2 | 110 | 102 | SØ | Pisces | Gadidae | Torskefamilien | Gadids | Dentale | | 1 | | yes | 0.3 | Likely cod |
| 2778 | 2 | 110 | 102 | SØ | Pisces | Indet. | Fisk | Fish | Indet. | | 10 | | yes | 1.3 | with alveoles |
| 2778 | 2 | 110 | 102 | SØ | Pisces | Indet. | Fisk | Fish | Vertebra | | 11 | | yes | 0.7 | |
| 2778 | 2 | 110 | 102 | SØ | Pisces | Indet. | Fisk | Fish | Indet. | | 59 0 | | yes | 32.8 | Probably some mammals included |
| 2789 | 2 | 111 | 102 | NV | Mammalia | Indet. | Pattedyr | Mammals | Indet. | | 17 | | yes | 1.5 | |

Korsmyra - Animal osteological analyses

| T27311 | LAYER | X | Y | Q | CLASS | FAMILY/ SPECIES | NORWEGIAN | ENGLISH | ELEMENT | PART | N | SIDE | BURNT | WEIGHT (G) | COMMENTS |
|--------|-------|-----|-----|----|----------|--------------------|----------------|---------|---------------|------------------|---------|------|-------|---------------|----------|
| 2789 | 2 | 111 | 102 | NV | Pisces | Gadidae | Torskefamilien | Gadids | Dentale | | 1 | Sin | yes | 0.1 | |
| 2789 | 2 | 111 | 102 | NV | Pisces | Gadidae | Torskefamilien | Gadids | Praemaxillare | | 1 | Sin | yes | 0.1 | |
| 2789 | 2 | 111 | 102 | NV | Pisces | Indet. | Fisk | Fish | Cranium | Dens | 1 | | yes | 0 | <0.1g |
| 2789 | 2 | 111 | 102 | NV | Pisces | Indet. | Fisk | Fish | Vertebra | | 7 | | yes | 0.1 | |
| 2789 | 2 | 111 | 102 | NV | Pisces | Indet. | Fisk | Fish | Indet. | with alveoles | 14 | | yes | 1 | |
| 2789 | 2 | 111 | 102 | NV | Pisces | Indet. | Fisk | Fish | Indet. | | 28 7 | | yes | 15.3 | |
| 2789 | 2 | 111 | 102 | NV | Pisces | Indet. | Fisk | Fish | Vomer | | 1 | | yes | 0.2 | |
| 2759 | 2 | 109 | 103 | NV | Mammalia | Indet. | Pattedyr | Mammals | Indet. | | 13 | | yes | 0.8 | |
| 2759 | 2 | 109 | 103 | NV | Pisces | Indet. | Fisk | Fish | Vertebra | | 2 | | yes | 0 | <0.1g |
| 2759 | 2 | 109 | 103 | NV | Pisces | Indet. | Fisk | Fish | Indet. | with alveoles | 2 | | yes | 0.1 | |
| 2759 | 2 | 109 | 103 | NV | Pisces | Indet. | Fisk | Fish | Indet. | | 14 8 | | yes | 7.5 | |

NTNU Vitenskapsmuseet er en enhet ved Norges teknisk-naturvitenskapelige universitet, NTNU.

NTNU Vitenskapsmuseet skal utvikle og formidle kunnskap om natur, kultur og vitenskap. Museet skal sikre og forvalte de vitenskapelige samlingene og aktivisere dem gjennom forskning, formidling og undervisning.

Institutt for arkeologi og kulturhistorie har forvaltningsansvar for automatisk fredete kulturminner og skipsfunn i Nordmøre, Sør-Trøndelag, Nord-Trøndelag, nordlige Romsdal og Nordland til og med Rana. Instituttet foretar arkeologiske undersøkelser på kulturminner over og under vann, i henhold til kulturminneloven.

ISBN 978-82-8322-157-2

ISSN 2387-3965

© NTNU Vitenskapsmuseet
Publikasjonen kan siteres fritt med kildeangivelse

www.ntnu.no/vitenskapsmuseet